



Vlaanderen
is wetenschap

Trends op basis van de Algemene Broedvogelmonitoring Vlaanderen (ABV)

Technisch achtergrondrapport voor de periode
2007-2022

Thierry Onkelinx, Glenn Vermeersch, Koen Devos

INSTITUUT
NATUUR- EN BOSONDERZOEK

Auteurs:

Thierry Onkelinx , Glenn Vermeersch , Koen Devos 

Reviewers:

Hans Van Calster 

Het INBO is het onafhankelijk onderzoeksinstituut van de Vlaamse overheid dat via toegepast wetenschappelijk onderzoek, data- en kennisontsluiting het biodiversiteitsbeleid en -beheer onderbouwt en evalueert.

Vestiging:

INBO Brussel

Herman Teirlinckgebouw, Havenlaan 88 bus 73, 1000 Brussel

vlaanderen.be/inbo

e-mail:

thierry.onkelinx@inbo.be

Wijze van citeren:

Onkelinx, T.; Vermeersch, G. & Devos, K. (2023). Trends op basis van de Algemene Broedvogelmonitoring Vlaanderen (ABV). Technisch achtergrondrapport voor de periode 2007-2022. Rapporten van het Instituut voor Natuur- en Bosonderzoek 2023 (1). Instituut voor Natuur- en Bosonderzoek, Brussel. DOI: 10.21436/inbor.89419879

D/2023/3241/035

Rapporten van het Instituut voor Natuur- en Bosonderzoek 2023 (1)

ISSN: 1782-9054

Verantwoordelijke uitgever:

Maurice Hoffmann

Foto cover:

Zwarte specht (*Dryocopus martius*) zittend op een stam. (© Yves Adams, Vildaphoto)

Dit onderzoek werd uitgevoerd in samenwerking met:

Natuurpunt Studie vzw

Coxiestraat 11, 2800 Mechelen

<https://www.natuurpunt.be>



Dit werk valt onder een [Creative Commons Naamsvermelding 4.0 Internationaal-licentie](https://creativecommons.org/licenses/by/4.0/).

TRENDS OP BASIS VAN DE ALGEMENE
BROEDVOGELMONITORING VLAANDEREN (ABV)

**Technisch achtergrondrapport voor de periode
2007-2022**

Thierry Onkelinx, Glenn Vermeersch, Koen Devos

10.21436/inbor.89419879

Samenvatting

Dit rapport publiceert de meest recente analyses op basis van het telwerk voor het project “Algemene Broedvogelmonitoring Vlaanderen” of kortweg ABV. Dit project is een gezamenlijk initiatief van het Instituut voor Natuur- en Bosonderzoek (INBO) en Natuurpunt Studie in samenwerking met de lokale vogelwerkgroepen. De samenwerking tussen deze organisaties staat garant voor een goede ondersteuning van en communicatie naar het vrijwilligersnetwerk door Natuurpunt Studie, en een degelijke professionele wetenschappelijke ondersteuning en dataverwerking door het INBO. Sinds 2016 maakt het integraal deel uit van het project Soortenmeetnetten, dat door INBO en Agentschap Natuur en Bos (ANB) wordt gefinancierd.

Het project werd opgestart in 2007 en heeft als doelstelling het beschrijven van aantalsontwikkelingen van een set van ca. 80 algemene broedvogelsoorten in Vlaanderen. Zowel jaarlijkse schommelingen als meerjarige trends zijn daarbij interessante resultaten in functie van lokaal, regionaal en internationaal beleid.

Dit rapport is bedoeld als een technisch achtergrondrapport. Het bestaat uit drie delen: het eerste deel beschrijft de methodiek van de verwerking en de weergave van de resultaten; het tweede deel geeft een aantal indicatoren gebaseerd op trends van meerdere soorten; het derde deel beschrijft de tijdreeks van individuele soorten. We beperken ons in delen twee en drie tot een gestandaardiseerde weergave van de meest relevante cijfers zonder ecologische interpretatie. Voor een ecologische interpretatie van de resultaten verwijzen we naar andere publicaties zoals [INBO Vogelnieuws](#).

English abstract

This report publishes the most recent analyses based on the census work carried out for the project “Common Breeding Bird Survey Flanders”. This project is a joint initiative of the Research Institute for Nature and Forest (INBO) and Natuurpunt Studie in cooperation with the local bird working groups. The cooperation between these organisations guarantees a good support of and communication to the volunteer network by Natuurpunt Studie, and solid professional scientific support and data processing by INBO. Since 2016, this monitoring scheme makes an integral part of the larger Soortenmeetnetten program that is financially supported by INBO and Agency Nature and Forest (ANB).

The project was started in 2007 and aims at describing the trend in numbers of a set of ca. 80 general breeding bird species in Flanders. Both annual fluctuations and multi-annual trends are interesting results in function of local, regional and international policy.

This report serves as a technical background report. It consists of three parts: the first part describes the methodology of processing and presenting the results; the second part presents a number of indicators based on trends of several types; the third part describes the time series of individual species. In parts two and three, we limit ourselves to a standardised representation of the most relevant analysis results without an ecological interpretation. For an ecological interpretation of the results we refer to other publications such as [INBO Vogelnieuws](#)).

Inhoudsopgave

Samenvatting	1
English abstract	2
Inhoudsopgave	3
I Methodologie	7
1 Inzameling van de tellingen in het veld	8
1.1 Steekproef	8
1.2 Steekproefeenheid	8
1.3 Tellingen	8
2 Verwerking van de gegevens	11
2.1 Selectie van relevante gegevens per soort	11
2.2 Trendberekening	12
2.3 Gemiddeld aantal dieren per meetpunt	15
2.4 Vergelijken van jaren	15
2.5 Gewicht van de strata	16
2.6 Samengestelde indices	16
3 Voorstelling van de gegevens	18
3.1 Onzekerheid	18
3.2 Opdeling van de effecten in een aantal klassen	18
3.3 Overzicht van de lineaire trends	20
3.4 Evolutie van gemiddelde aantallen per soort	20
3.5 Paarsgewijze vergelijking van jaren	20
4 Reproduceerbaarheid en traceerbaarheid van de gegevensverwerking	22
4.1 Versiebeheer	22
4.2 Reproduceerbaarheid	22
4.3 Traceerbaarheid	22
4.4 Downloadbaar cijfermateriaal	23
II Indicatoren	24
5 Bos	25
6 Generalist	27
7 Landbouw	29
8 NARA2020	31
9 Standvogel	34
10 SubSaharaMigrant	36
11 Watervogel	38
III Resultaten per soort	40
12 Overzicht van de trends	41

13	Aalscholver	48
14	Bergeend	51
15	Blauwborst	54
16	Blauwe reiger	57
17	Boerenzwaluw	60
18	Bonte vliegenvanger	64
19	Boomklever	68
20	Boomkruiper	71
21	Boomleeuwerik	74
22	Boompieper	77
23	Bosrietzanger	82
24	Bruine kiekendief	85
25	Buizerd	88
26	Canadese gans	91
27	Cetti's zanger	94
28	Dodaars	97
29	Ekster	100
30	Fazant	104
31	Fitis	107
32	Fuut	110
33	Gaai	113
34	Geelgors	116
35	Gekraagde roodstaart	119
36	Gele kwikstaart	123
37	Gierzwaluw	126
38	Glanskop	129
39	Goudhaan	132
40	Grasmus	135
41	Graspieper	138
42	Grauwe gans	141
43	Groene specht	144
44	Groenling	147
45	Grote bonte specht	150
46	Grote lijster	154
47	Grutto	157
48	Halsbandparkiet	160
49	Havik	163
50	Heggenmus	166
51	Holenduif	169
52	Houtduif	172
53	Huismus	175



54	Huiswaluw	178
55	Kauw	181
56	Kievit	184
57	Kleine karekiet	187
58	Kleine mantelmeeuw	192
59	Kneu	196
60	Knobbelzwaan	199
61	Koekoek	202
62	Kokmeeuw	205
63	Koolmees	208
64	Krakeend	211
65	Kuifeend	214
66	Kuifmees	217
67	Matkop	220
68	Meerkoet	223
69	Merel	226
70	Middelste Bonte Specht	229
71	Nachtegaal	233
72	Nijlgans	236
73	Patrijs	239
74	Pimpelmees	242
75	Putter	245
76	Rietgors	248
77	Rietzanger	251
78	Ringmus	254
79	Roek	257
80	Roodborst	260
81	Roodborsttapuit	263
82	Scholekster	266
83	Sperwer	269
84	Spotvogel	272
85	Spreeuw	275
86	Sprinkhaanzanger	278
87	Staartmees	281
88	Stadsduif	284
89	Tafeleend	287
90	Tjiftjaf	290
91	Torenvalk	293
92	Tuinfluit	296
93	Turkse tortel	299
94	Veldleeuwerik	302

95	Vink	305
96	Waterhoen	308
97	Wielewaal	311
98	Wilde eend	314
99	Winterkoning	317
100	Witte kwikstaart	320
101	Wulp	323
102	Zanglijster	326
103	Zilvermeeuw	329
104	Zwarte kraai	332
105	Zwarte mees	335
106	Zwarte roodstaart	338
107	Zwarte specht	342
108	Zwartkop	345
	Referenties	348

1 INZAMELING VAN DE TELLINGEN IN HET VELD

Hier beschrijven we beknopt het veldwerk, voor de details verwijzen we naar Vermeersch *et al.* (2018b).

1.1 STEEKPROEF

De UTM 1 x 1 km hokken vormen de basis waaruit de steekproef getrokken is. Bij de start van het meetnet hebben we de hokken opgedeeld in een aantal strata. De regels zijn gebaseerd op het oppervlaktaandeel van een bepaald landgebruik op basis van de Biologische Waarderingkaart (Vriens *et al.*, 2011).

1. Landbouw: minstens 80% landbouw. 6311 hokken.
2. Urbaan: minstens 80% urbaan. 416 hokken.
3. Bos: minstens 80% bos. 319 hokken.
4. Suburbaan: minstens 80% suburbaan. 201 hokken.
5. Heide en duin: minstens 20% heide of duin. 199 hokken.
6. Moeras en water: minstens 20% moeras en water. 137 hokken.

Uit deze set trekken we een aselechte, gestratificeerde steekproef van 1200 hokken waarbij zeldzamere habitats overbemonsterd worden. We streven er naar om jaarlijks 300 hokken te bemonsteren in een driejarige rotatie. De waarnemers mochten in het eerste jaar 300 hokken kiezen uit de set van 1200. Deze set van hokken komen in principe opnieuw aan bod in jaren 4, 7, 10, ... In jaar 2 kiezen ze 300 hokken uit de overgebleven 900 hokken. Deze set komt opnieuw aan bod in jaren 5, 8, 11, ... Tenslotte kiezen de waarnemers in het derde jaar een laatste set van 300 hokken uit de laatste 900 hokken. Deze set hokken bemonsteren we in de jaren 3, 6, 9, 12, ...

Figuur 1.1 geeft de effectieve monitoringsinspanning weer. In deze figuur hebben we de hokken gesorteerd volgens 1) het eerste jaar met gegevens, 2) het laatste jaar met gegevens, 3) het tweede jaar met gegevens, 4) het derde jaar met gegevens, ... Hierdoor staan hokken met een meer gelijkende onderzoeksgeschiedenis dicht bij elkaar. Merk op dat de driejarige cyclus voor de meest hokken wordt gerespecteerd. Voor sommige hokken is de inspanning variabel, soms frequenter dan om de drie jaar, soms zit er meer tijd tussen. Sommige hokken werden slechts in een of twee jaar onderzocht (fig. 1.2). Voor het onderscheid tussen mogelijk bruikbaar en voorlopig niet bruikbaar verwijzen we naar §2.1.

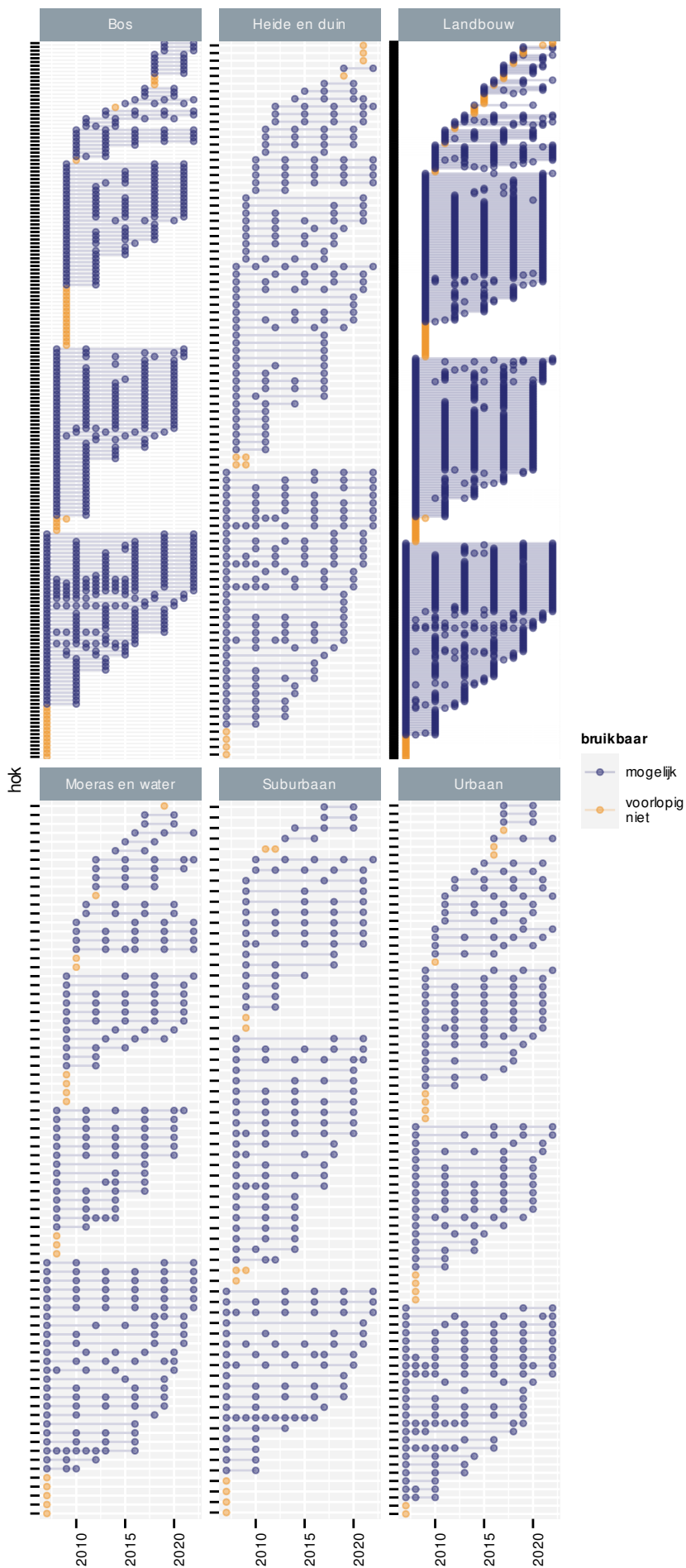
1.2 STEEKPROEFEENHEID

De steekproefeenheid bestaat uit een hok van 1 x 1 km. Binnen dit hok worden zes punten vastgelegd in een vaste patroon (fig. 1.3). Indien de punten in de praktijk niet bereikbaar zijn, mag de waarnemer ze verplaatsen naar het dichtstbijzijnde bereikbare punt. De waarnemer documenteert deze wijziging zodat we in de toekomst steeds op dezelfde punten blijven waarnemen.

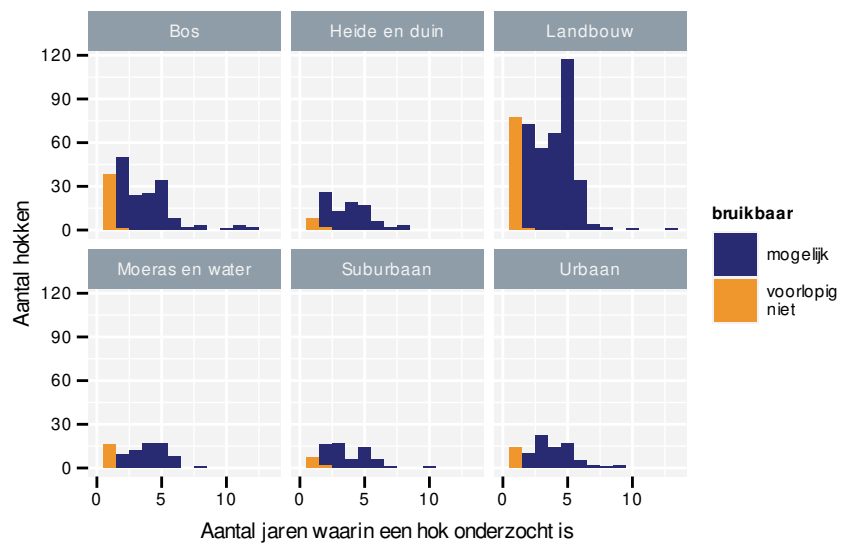
1.3 TELLINGEN

In het jaar dat we een hok bemonsteren zal de waarnemer het hok in drie periodes bezoeken: 1 maart - 15 april, 16 april - 31 mei, 1 juni - 15 juli. Tussen twee opeenvolgende bezoeken moet er minstens twee weken liggen. Alle meetpunten van een hok worden op dezelfde dag onderzocht tussen zonsopgang en 4 uur na zonsopgang. Op elk meetpunt telt de waarnemer gedurende 5 minuten het aantal volwassen vogels per soort. Overvliegende groepen vogels worden hierbij niet meegeteld.

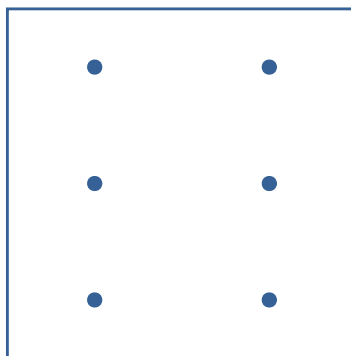




Figuur 1.1: Overzicht van de effectieve monitoringsinspanning. Elk punt is een hok dat onderzocht is in een bepaald jaar. De horizontale lijnen verbinden het eerste en meest recente bezoek aan eenzelfde hok.



Figuur 1.2: Histogram van het aantal jaren waarin een hok onderzocht is opgesplitst per stratum.



Figuur 1.3: Standaardlocatie van meetpunten binnen een km hok.

2 VERWERKING VAN DE GEGEVENS

2.1 SELECTIE VAN RELEVANTE GEGEVENS PER SOORT

Hoewel we alle waargenomen vogelsoorten op een meetpunt noteren, toch zijn niet alle hokken even relevant voor een bepaalde soort. Om de redenering op te bouwen, beschouwen we een fictieve soort die enkel op een afgelegen eiland voorkomt. Alle vogeltellingen buiten dit eiland zijn uiteraard niet informatief voor wijzigingen in de aantallen van deze fictieve soort. Buiten het eiland zullen de getelde aantallen immers per definitie nul zijn. Wanneer we deze tellingen toch zouden in rekening brengen, dan zullen ze de globale trend afvlakken. De globale trend is min of meer equivalent met een “gemiddelde” trend over de verschillende locaties. Als een locatie steeds nul geeft, dan zijn lokaal de aantallen wiskundig “stabiel” (geen lokale trend). Daarom is het noodzakelijk om de locaties die niet relevant zijn voor een soort buiten beschouwing te houden.

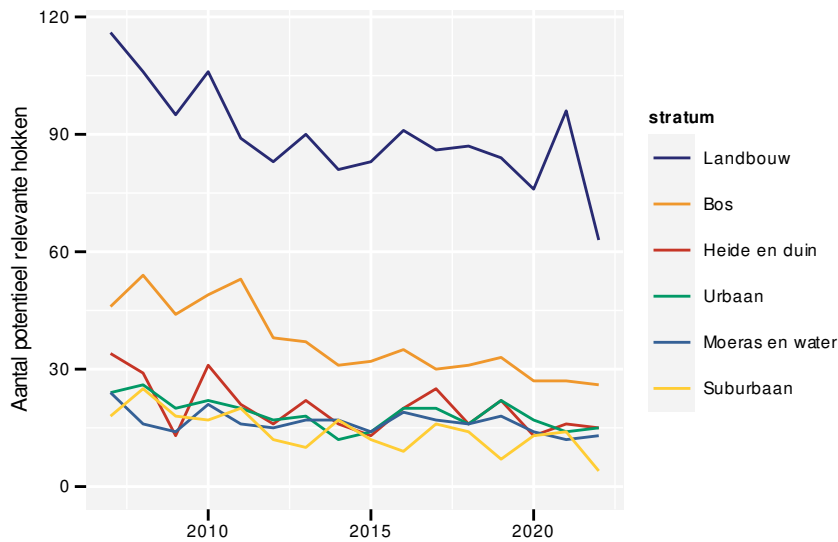
In Vlaanderen is de situatie niet zo zwart-wit als bij het voorbeeld met het afgelegen eiland. Daarom hebben we nood aan een set regels die we toepassen op de beschikbare gegevens.

1. We beschouwen een hok als relevant voor een soort wanneer we deze soort tijdens minstens twee verschillende driejarige cycli waarnemen. Op deze manier sluiten we hokken uit waar de soort nooit of slechts toevallig waargenomen is. Hokken die slechts binnen één driejarige cyclus onderzocht zijn, kunnen we hierdoor voorlopig niet gebruiken. Figuur 2.1 geeft een overzicht van het aantal hokken die gedurende minstens twee cycli onderzocht zijn.
2. Binnen een hok is een meetpunt pas relevant wanneer we de soort er minstens eenmaal waarnemen.
3. Een stratum is relevant voor een soort wanneer het minstens drie relevante hokken bevat.
4. Op basis van de overblijvende gegevens berekenen we het (meetkundig¹) gemiddelde van de aantallen in elk van de drie perioden. De periode met het hoogste gemiddelde gebruiken we als referentieperiode. We houden enkel de periodes waarbij het gemiddelde minstens 15% van de referentieperiode bedraagt. Op deze manier sluiten we periodes uit waarbij de soort zelden gezien wordt. Bijvoorbeeld een trekvogel die pas in de loop van de tweede periode toekomt en waarvoor de eerste periode bijgevolg niet relevant is.
5. We passen de regels voor relevante hokken en strata opnieuw toe. Het negeren van een of twee irrelevante periodes kan er voor zorgen dat een hok niet langer relevant is.

Na het toepassen van deze regels gaan we na of we minstens 100 waarnemingen van de soort hebben. Hierbij is een waarneming de telling van minstens één dier in een combinatie van jaar, periode, hok en meetpunt. Stel dat we een soort hebben waarbij we de drie periodes weerhouden en de waarnemer ziet de soort op elk van de zes meetpunten tijdens alle periodes van een bepaald jaar, dan hebben we $3 \times 6 = 18$ waarnemingen voor dat hok in dat jaar.

¹Het meetkundig gemiddelde of geometrisch gemiddelde van n getallen wordt verkregen door de getallen met elkaar te vermenigvuldigen en vervolgens van het product de n^{de} machtswortel te nemen.

$$m = \left(\prod_{i=1}^n a_i \right)^{1/n}$$



Figuur 2.1: Aantal onderzochte hokken per stratum en per jaar waarbij we enkel rekening houden met hokken die in minstens twee verschillende driejarige cycli onderzocht zijn.

Als we minder dan 100 waarnemingen voorhouden voor een soort, dan stopt voorlopig het verhaal voor deze soort. We hebben dan te weinig waarnemingen voor een betrouwbare trendberekening. Dit wil niet zeggen dat we deze soort permanent afschrijven! Wanneer we deze regels in de toekomst opnieuw toepassen hebben we mogelijk wel voldoende waarnemingen. Ook hokken of strata in de toekomst gekoloniseerd worden, worden dan opgepikt.

2.2 TRENDBEREKENING

2.2.1 Niet-lineaire trends

Om de trends te berekenen, voorspellen we de waargenomen aantallen aan de hand van een statistisch model. $Y_{jpsh m}$ is de voorspelling voor jaar j , periode p , stratum s , hok h en meetpunt m . Veronderstellen dat deze aantallen uit een zero-inflated negative binomial² verdeling komen met parameters $\mu_{jpsh m}$, ν en π .

$$Y_{jpsh m} \sim ZINB(\mu_{jpsh m}, \nu, \pi)$$

Laat ons eerst focussen op $\mu_{jpsh m}$. Deze parameter is via een log link gerelateerd aan de lineaire predictor $\eta_{jpsh m}$. Door deze log link kunnen we de individuele termen van de lineaire predictor interpreteren als relatieve effecten.

$$\log \mu_{jpsh m} = \eta_{jpsh m}$$

En nu wordt het interessant want deze lineaire predictor hangt af van vijf termen:

- β_s : het effect van stratum s .
- β_p : het verschil tussen periode p en de referentieperiode.
- b_h : het effect van hok h . Deze effecten komen uit een Gaussiaanse verdeling met gemiddelde 0 en variantie σ_h^2 .

²Een negatief binomiale verdeling met een overmaat aan nullen.

- b_m : het effect van meetpunt m . Deze effecten komen uit een Gaussiaanse verdeling met gemiddelde 0 en variantie σ_m^2 .
- $b_{j,s}$: het effect van jaar j in stratum s . Dit effect modelleert een eerste orde random walk per stratum. Het verschil tussen twee opeenvolgende jaren komt uit een Gaussiaanse verdeling met gemiddelde 0 en variantie σ_j^2 .

$$\eta_{jps hm} = \beta_s + \beta_p + b_h + b_m + b_{j,s}$$

$$b_h \sim \mathcal{N}(0, \sigma_h^2)$$

$$b_m \sim \mathcal{N}(0, \sigma_m^2)$$

$$b_{j,s} - b_{j-1,s} = \Delta b_{j,s} \sim \mathcal{N}(0, \sigma_j^2)$$

De random walk $b_{j,s}$ is de term die ons het meest interesseert aangezien deze modelleert hoe de aantallen in de tijd wijzigen. Het komt er op neer dat de aantallen in jaar j en stratum s een factor $e^{\Delta b_{j,s}}$ verschillen van het voorgaande jaar in datzelfde stratum. De variantie σ_j^2 bepaalt hoe groot de sterkste schommelingen tussen de opeenvolgende jaren kunnen zijn. Het model laat toe dat elk stratum zijn eigen trend heeft.

2.2.2 Statistische verdelingen

Een standaard distributie voor aantallen is de Poisson verdeling. Deze heeft als kenmerk dat de variantie gelijk is aan het gemiddelde ($\sigma^2 = \mu$). Bij veel ecologisch gegevens zien we dat de variantie in de praktijk groter is dan het gemiddelde, een fenomeen dat we overdispersie noemen. In dat geval kunnen we een negatief binomiale verdeling gebruiken. Deze heeft als variantie $\sigma^2 = \mu + \mu^2/\nu$, waarbij de parameter ν is een maat voor overdispersie. Merk op dat als de overdispersieparameter zeer groot wordt ($\nu = \infty$), dan wordt de term $\mu/\nu = 0$ en bijgevolg reduceert de negatief binomiale verdeling dan tot een Poisson verdeling.

Sommige ecologische gegevens vertonen een ‘overmaat’ aan nullen, dat zijn meer nulwaarnemingen dan de Poisson of negatief binomiale verdeling kan modelleren. In dergelijke gevallen kunnen we overschakelen naar de zero-inflated versie van deze verdelingen. Deze hebben een parameter π die een maat is voor de kans op een overmatige nul.

Bij het modelleren zullen we in eerste instantie deze twee parameters instellen op $\nu = \infty$ en $\pi = 0$, m.a.w. geen overdispersie en geen overmaat aan nullen zodat we een Poisson verdeling krijgen. Vervolgens gaan we na of er voldoende aanwijzingen zijn voor overdispersie of een overmaat aan nullen. In het geval van overdispersie laten we ν door het model schatten waardoor we overgaan van een Poisson naar een negatief binomiaal. In het geval van een overmaat aan nullen laten we π door het model schatten waardoor we overgaan van een Poisson naar een zero-inflated Poisson. Soms hebben we zowel aanwijzingen voor overdispersie als een overmaat aan nullen. In die gevallen kiezen we de negatief binomiaal of zero-inflated Poisson naargelang welke de sterkste aanwijzingen heeft. Vervolgens gaan we na of we de andere parameter ook nog een probleem vormt. Zo ja, gaan we over naar een zero-inflated negatief binomiaal waarbij het model zowel ν als π zal schatten.

2.2.3 Lineaire trends

Lineaire trends veronderstellen dat er een constante wijziging is over de volledige looptijd. Het model dat we hiervoor gebruiken is nagenoeg identiek aan het niet-lineaire model. Het enige verschil zit in de lineaire predictor waar we de first order random walk ($b_{j,s}$) vervangen door een lineaire trend per stratum (β_{s1j}).

$$\eta_{jps hm} = \beta_s + \beta_p + b_h + b_m + \beta_{s1j}$$

Het lineaire model is een vereenvoudiging van het niet-lineaire model. We kunnen deze modellen met elkaar vergelijken op basis van het Wantanabe-Akaike Information Criterion (WAIC) (Gelman *et al.*, 2014). De WAIC waarde daalt naarmate het model de gegevens beter kan beschrijven en stijgt wanneer het model complexer wordt. Als we modellen met elkaar vergelijken op basis van WAIC, zal het model met de laagste WAIC de beste mix zijn tussen een goede beschrijving van de gegevens en een zo eenvoudig mogelijk model. We beschouwen de trend als **lineair** wanneer het lineaire model de laagste WAIC heeft. Wanneer de WAIC van het niet-lineaire model minder dan 2 eenheden lager is dan deze van het lineaire model, beschouwen de trend als **mogelijk niet-lineair**. Pas wanneer de WAIC van het niet-lineaire model duidelijk lager is dan het lineaire model, stellen we dat de trend **niet-lineair** is. In dat geval de gebruiker moet de gerapporteerde lineaire trend met de nodige voorzichtigheid interpreteren. Kijk zeker naar de bijhorende niet-lineaire trend vooraleer de cijfers te interpreteren.

2.2.4 Resultaten per driejarige cyclus

Zoals aangegeven in §1.1 zullen we een bepaald hok in principe om de drie jaar herbezoeken. Hierdoor krijgen we drie sets van hokken. Er bestaat een kans dat de schatting voor een bepaald jaar beïnvloed is door de set van hokken die in dat jaar onderzocht worden. Om dit effect uit te schakelen, analyseren we de gegevens tevens op basis van de driejarige cyclus c i.p.v. jaar j .

De eerste cyclus omvat de eerste drie jaar sinds de start van het meetnet (2007-2009). De volgende cyclus omvat telkens de volgende drie jaar aansluitend op de vorige cyclus. Aangezien we alle beschikbare gegevens gebruiken bij de analyse bevat de laatste cyclus mogelijk minder dan drie jaar. Dit is duidelijk zichtbaar doordat het laatste jaar van de cyclus op dat ogenblik in de toekomst ligt. Als bijvoorbeeld 2019 het meest recente jaar met gegevens is, dan is de laatste cyclus 2019-2021.

Hieronder geven we aan op welke manier we de eerste beschreven modellen aanpassen.

$$Y_{cpshm} \sim ZINB(\mu_{cpshm}, \nu, \pi)$$

$$\log \mu_{cpshm} = \eta_{cpshm}$$

Niet-lineaire trend

$$\eta_{cpshm} = \beta_s + \beta_p + b_h + b_m + b_{c,s}$$

$$b_{c,s} - b_{c-1,s} = \Delta b_{c,s} \sim \mathcal{N}(0, \sigma_c^2)$$

$b_{c,s}$: het effect van driejarige cyclus c in stratum s . Dit effect modelleert een eerste orde random walk per stratum. Het verschil tussen twee opeenvolgende driejarige cycli komt uit een Gaussiaanse verdeling met gemiddelde 0 en variantie σ_c^2 .

Lineaire trend

$$\eta_{cpshm} = \beta_s + \beta_p + b_h + b_m + \beta_{s1}c$$

2.2.5 Modellen fitten

We fitten de statische modellen in R (R Core Team, 2022) met het INLA package (Rue *et al.*, 2009). INLA gebruikt een Bayesiaanse benadering om de modellen te fitten. Daarom moeten we priors specificeren voor de parameters en hyperparameters.

- β_s, β_p en β_{s1} krijgen een Gaussiaanse prior $\mathcal{N}(0, 5)$.
- σ_h^2 krijgt een penalised complexity prior (Simpson *et al.*, 2017) zodat $Prob(\sigma_h > 1) = 0.01$.



- σ_m^2 krijgt een penalised complexity prior zodat $Prob(\sigma_m > 1) = 0.01$.
- σ_j^2 krijgt een penalised complexity prior zodat $Prob(\sigma_j > 0.5) = 0.01$.
- σ_c^2 krijgt een penalised complexity prior zodat $Prob(\sigma_c > 0.5) = 0.01$.
- ν krijgt een Gamma prior zodat $\nu \sim \Gamma(1/7, 1/7)$.
- π wordt intern geparametriseerd als $\theta = \log \frac{\pi}{1-\pi}$ met Gaussiaanse prior $\theta \sim \mathcal{N}(-1, 5)$.

2.3 GEMIDDELD AANTAL DIEREN PER MEETPUNT

Een gemiddeld hok heeft als effect $b_h = 0$ en een gemiddeld meetpunt $b_m = 0$. In de referentieperiode is $\beta_p = 0$. In deze gevallen vereenvoudigt de lineaire predictor tot het effect van stratum s en de trend in dat stratum:

$$\eta_{js} = \beta_s + b_{j,s}$$

Door de effecten van de strata te vermenigvuldigen met hun stratumgewicht (γ_s) krijgen we een schatting voor Vlaanderen.

$$\eta_j = \sum_s (\gamma_s \beta_s + \gamma_s b_{j,s})$$

Om de schatting van het gemiddelde aantal in Vlaanderen te krijgen, moeten we de lineaire predictor terug omzetten van de log schaal naar de natuurlijke schaal en corrigeren voor de eventuele overmaat aan nullen. We krijgen dan:

$$E[Y_j] = (1 - \pi) e^{\eta_j} \prod_s (e^{\gamma_s \beta_s} e^{\gamma_s b_{j,s}})$$

2.4 VERGELIJKEN VAN JAREN

We kunnen twee jaren a en b met elkaar vergelijken door hun lineaire predictoren voor het gemiddeld aantal dieren van elkaar af te trekken.

$$\eta_a - \eta_b = \sum_s (\gamma_s \beta_s + \gamma_s b_{a,s}) - \sum_s (\gamma_s \beta_s + \gamma_s b_{b,s})$$

Aangezien het globale stratumeffecten en de stratumgewichten niet wijzigen in de tijd, kunnen we dit vereenvoudigen tot

$$\eta_a - \eta_b = \sum_s \gamma_s (b_{a,s} - b_{b,s})$$

De wijziging in Vlaanderen is het gewogen gemiddelde van de wijzigingen in de strata. Na omzetting van de log schaal naar de natuurlijke schaal krijgen we het relatieve aantal $I_{a|b}$ van jaar a t.o.v. jaar b

$$I_{a|b} = \frac{e^{\nu_a}}{e^{\nu_b}} = \prod_s \left(\frac{e^{\gamma_s b_{a,s}}}{e^{\gamma_s b_{b,s}}} \right)$$

Wanneer we een jaar met zichzelf vergelijken krijgen we per definitie $I_{a|a} = 1 = 100\%$. Wanneer we meerdere jaren met eenzelfde referentiejaar vergelijken krijgen we een indexwaarde: het relatieve verschil van elk jaar t.o.v. van een bepaald referentiejaar.



2.5 GEWICHT VAN DE STRATA

In het vorige onderdeel hebben gebruikt gemaakt van stratumgewichten γ_s zonder deze te definiëren. We bepalen het gewicht van een stratum op basis van drie kenmerken: het totaal aantal hokken van het stratum in Vlaanderen (N_s), het aantal onderzochte hokken in het stratum (T_s) ongeacht of ze al dan niet relevant zijn voor de soort en het aantal relevante hokken voor de soort in het stratum (R_s).

Het aandeel relevante hokken per stratum (R_s/T_s) is een goede maat van de frequentie waarmee een soort aanwezig is binnen een stratum. Wanneer een soort in nagenoeg alle onderzochte hokken van het stratum waargenomen wordt is $R_s/T_s \simeq 1$. Is de soort zeer zeldzaam (komt slechts in een paar van de onderzochte hokken voor) dan is $R_s/T_s \simeq 0$.

Het basisgewicht γ_{sb} voor stratum s is het aandeel relevante hokken vermenigvuldigd met het totaal aantal hokken in het stratum. Dit is een schatting van het totaal aantal hokken in het stratum waar de soort voldoende frequent voorkomt.

$$\gamma_{sb} = \frac{R_s}{T_s} N_s$$

Om makkelijker te kunnen rekenen delen we de basisgewichten door hun som zodat de stratumgewichten sommeren tot 1.

$$\gamma_s = \frac{\gamma_{sb}}{\sum_s \gamma_{sb}}$$

Merk op dat het aantal relevante hokken per stratum (R_s) soortafhankelijk is. Bijgevolg zijn de stratumgewichten eveneens soortafhankelijk.

2.6 SAMENGESTELDE INDICES

We berekenen een aantal samengestelde indices die de trends voor een groep van soorten aggregeren. Deze indices zijn het meetkundig gemiddelde van de verschillen tussen jaren voor alle soorten van de groep. Bij de berekening maken we gebruik van het trucje dat we een product kunnen schrijven als een som van logaritmes die we nadien terug exponentiëren. Een meetkundig gemiddelde in de natuurlijke schaal kunnen we dat schrijven als een rekenkundig gemiddelde in de log-schaal.

$$\sqrt[n]{\prod_{i=1}^n a_i} = \exp\left(\frac{\sum_{i=1}^n \log a_i}{n}\right)$$

Het voordeel aan deze techniek is dat de schattingen van de paarsgewijze verschillen tussen de jaren reeds beschikbaar zijn in de log-schaal. Bovendien beschikken we tevens over hun variantie in de log-schaal. Dit laat ons toe om makkelijk het betrouwbaarheidsinterval te berekenen aan de hand van een paar vuistregels.

1. Bij onafhankelijke variabelen geldt dat de variantie van hun som gelijk is aan de som van de varianties.
 $\sigma_{\sum X_i}^2 = \sum \sigma_{X_i}^2$
2. De variantie van het product van een variabele en een constante is gelijk aan de variantie van de variabele vermenigvuldigd met die constante. $\sigma_{aX}^2 = a\sigma_X^2$
3. Het model veronderstelt dat de individuele modelparameters een Gaussiaanse verdeling volgen. Hierdoor volgen de paarsgewijze verschillen tussen de jaren en hun gemiddelde (telkens in de log-schaal) een Gaussiaanse verdeling. Aangezien we zowel het gemiddeld als de variantie van deze verdeling kennen, kunnen we hieruit de gewenste kwantielen voor de betrouwbaarheidsintervallen berekenen (nog steeds in de log-schaal).

3 VOORSTELLING VAN DE GEGEVENS

3.1 ONZEKERHEID

Alle resultaten zijn gebaseerd op een steekproef en op de waarnemingen zit onvermijdelijk een zekere meetfout. Vandaar dat we bij de puntschattingen tevens een betrouwbaarheidsinterval weergeven. In de tekst gebruiken we het 90% (5%; 95%) interval waarbij er 5% kans is dat de werkelijke waarde kleiner is dan de ondergrens en 5% dat ze groter is dan de bovengrens. Het 90% interval is iets smaller dan het traditionele 95% (2.5%; 97.5%) interval. Door een smaller interval te kiezen zullen we sneller uitspraken kunnen doen, waardoor de kans kleiner wordt dat we ten onrechte stellen dat er geen effect is. De prijs die we hiervoor betalen is dat de kans dat we ten onrechte stellen dat er een significant effect is, stijgt van 5% naar 10%. De doelstelling van de algemene broedvogelmonitoring is zo spoedig mogelijk detecteren wanneer er iets aan de hand is de broedvogels. Vanuit dat oogpunt is het vermijden van vals negatieve signalen (ten onrechte stellen dat er niets aan de hand is) belangrijker dan het vermijden van vals positieve signalen (ten onrechte stellen dat er iets aan de hand is).

Wanneer we het interval op een figuur (bijvoorbeeld fig. 3.1) weergeven, vullen we het 90% interval aan met een 60% (20%; 80%) interval en een 30% (35%; 65%) interval. Britton *et al.* (1998) waren de inspiratie voor deze manier van weergeven. Het 30% interval vormt het donkerste deel van het interval en geeft de meeste waarschijnlijke locatie van de werkelijke waarde weer. Naarmate het interval lichter wordt, neemt de onzekerheid toe.

3.2 OPDELING VAN DE EFFECTEN IN EEN AANTAL KLASSEN

Bij het niet-lineaire model berekenen we alle paarsgewijze relatieve verschillen tussen de verschillende jaren. Bij het lineaire model hebben we de gemiddelde jaarlijkse relatieve verandering. Deze laatste rekenen we tevens om naar de totale wijziging over de looptijd van het meetnet omdat dit eenvoudiger te interpreteren is. Vergelijk een daling met -5% per jaar of een daling met -50% over 15 jaar. Deze laatste klinkt dramatischer door het grotere cijfer, terwijl -5% per jaar overeenkomt met -54% over 15 jaar. De totale wijziging over de looptijd van het lineaire model is tevens vergelijkbaar met de wijziging tussen het eerste en laatste jaar van het niet-lineaire model.

Om de interpretatie makkelijker te maken, delen we de wijzigingen op in tien klassen door hun 90% interval te vergelijken met een referentie, ondergrens en bovengrens. Een effect is significant wanneer de referentie buiten het 90% interval ligt. We spreken over een **toename (afname)** als het interval volledig boven (onder) de referentie ligt. Niet significante effect is ook informatief wanneer het bijhorende interval voldoende smal is. Bijvoorbeeld als het interval volledig tussen de ondergrens en bovengrens ligt. In dat geval kunnen we stellen dat het effect niet significant en klein is, het immers zeker minder sterk dan de ondergrens en minder sterk dan de bovengrens. Dergelijk effect krijgt de naam **stabiel**. Heeft het effect een breed interval dat zowel de boven- als ondergrens bevat, spreken we over een **onduidelijk** effect. Daarnaast is er nog de mogelijkheid dat het interval zowel de bovengrens (ondergrens) als de referentie bevat maar niet de ondergrens (bovengrens). Dan spreken we over een **mogelijke toename (mogelijke afname)**. We kunnen de boven- en ondergrens eveneens gebruiken om een verder onderscheid te maken binnen de significante effecten. Een interval volledig boven (onder) de bovengrens (ondergrens) wordt dan een **sterke toename (sterke afname)**. Een interval volledig tussen de referentie en de de bovengrens (ondergrens) wordt dan een **matige toename (matige afname)**. Een interval dat de referentie niet bevat maar wel de

Bij de samengestelde indices hebben we aangepaste grenswaarden nodig. Veronderstel een samengestelde index op basis van n soorten. We berekenen het rekenkundig gemiddelde in de log-schaal, dan is de variantie van dit gemiddelde een factor n kleiner dan de som van de varianties. De breedte van een betrouwbaarheidsinterval hangt samen met de standaard afwijking, wat de vierkantswortel van de variantie is. Hierdoor zullen de breedtes van de betrouwbaarheidsintervallen van de samengestelde index een factor \sqrt{n} kleiner zijn. Vandaar dat we de grenswaarden van de indices tevens aanpassen door ze met een factor \sqrt{n} te verkleinen. Elke samengestelde index heeft zijn eigen soortenlijst met een variabele aantal soorten. Daarom zullen we bij elke samengestelde index zijn aangepaste grenswaarden vermelden.

3.3 OVERZICHT VAN DE LINEAIRE TRENDS

Tabellen 12.1 en 12.2 geven een overzicht van de lineaire trends voor elke soort. We hebben de trends gesorteerd volgens opdeling van de klassen en binnen de klasse volgens puntschatting van de trend. Hierdoor start de tabel met de soorten met de sterkste positieve trends. Bij de volgende soorten zal de trend minder sterk worden tot we aan de soorten met een stabiele trend komen. Daarna volgen de soorten met een negatieve trend waarbij de trend steeds sterker negatief wordt. We sluiten de tabel af met de soorten met een mogelijke of onduidelijke trend. De tabel bevat de trend uitgedrukt als een jaarlijkse wijziging en als een wijziging over de volledige looptijd van het meetnet. Verder bevat de tabel de opdeling van de trend in klassen en een indicatie of de trend al dan niet lineair is (zie §2.2.3). De naam van de soort is een snelkoppeling naar de detail van de soort zelf. We raden aan om hiervan gebruikt te maken bij de interpretatie van niet-lineaire trends.

3.4 EVOLUTIE VAN GEMIDDELDE AANTALLEN PER SOORT

Deze figuur geeft de evolutie van de gemiddelde aantallen per meetpunt weer volgens het niet-lineair model. Indien het model lineair is, zal het patroon van de niet-lineaire trend dicht bij een lineaire trend liggen. De lijn bevat de puntschatting van het gemiddelde aantal in elk jaar. Rond de lijn tonen we het 30%, 60% en 90% interval (zie §3.1). In de online versie van het rapport is de figuur interactief. Wanneer de gebruiker met de muis over de figuur gaat verschijnt er in de buurt van de lijn een pop-up met de exacte schatting van dat jaar inclusief het 90% betrouwbaarheidsinterval en het jaartal.

3.5 PAARSGEWIJZE VERGELIJKING VAN JAREN

Deze informatie hebben we telkens in twee figuren samengevat. De eerste figuur geeft het verschil van elk jaar t.o.v. 2007, het jaar waarin de metingen gestart zijn. Voor 2007 geven we geen cijfer omdat het per definitie 1 is en geen informatie bevat. Het symbool geeft de puntschatting van het relatieve verschil t.o.v. 2007 weer. De vorm van het symbool geeft de opdeling van de sterkte van het effect weer (zie fig. 3.1). Rond elke puntschatting tonen we het 30%, 60% en 90% interval (zie §3.1). De horizontale streepjeslijn geeft de referentie van 0% verschil weer. De horizontale puntlijnen geven de bovengrens (+33%) en ondergrens (-25%) weer. Deze laten toe om de vlot zelf de betrouwbaarheidsintervallen te vergelijken met de referentie, boven- en ondergrens. De figuur heeft twee y-assen. Beide assen geven dezelfde informatie weer, enkel de formattering van de labels is anders. De linkerass toont procentuele verschillen terwijl de rechterass de relatieve verschillen toont. Een procentueel verschil van +50% is equivalent met een relatieve verschil (verhouding) met een factor 1,5.

We stellen vast dat veel gebruikers ook andere jaren met elkaar willen vergelijken. Een correcte vergelijking is enkel mogelijk indien we een van deze jaren als referentie gebruiken. Voor elk jaar een afzonderlijke figuur maken, zou het rapport onoverzichtelijk groot maken. Om de vergelijkingen toch mogelijk te maken hebben we alle paarsgewijze verschillen tussen de jaren in een raster weergegeven. Elke rij in het raster staat voor een ander referentiejaar. De kolommen geven de verschillen van een bepaald jaar weer t.o.v. de verschillende referentie jaren. Op de diagonaal staan geen waarden omdat we daar een jaar met zichzelf vergelijken. De kleur van de symbolen geeft de sterkte van het verschil (gebaseerd op de puntschatting). Zwakke verschillen

zijn grijs, sterke positieve verschillen rood, sterke negatieve verschillen blauw. De vorm van de symbolen geeft zicht op de sterkte en onzekerheid van het effect (zie tab. 3.1). Wanneer een rij volledig rood (blauw) is, zijn alle verschillen met dit referentiejaar positief (negatief) m.a.w. dit is het referentiejaar met de laagste (hoogste) aantallen. Wanneer een kolom volledig rood (blauw) is, zijn alle verschillen van dit jaar t.o.v. alle referentiejaren negatief (positief) m.a.w. dit is het jaar met de hoogste (laagste) aantallen. Clusters van punten met een gelijkaardige kleur geven periodes aan waarin de aantallen geleidelijk wijzigen. In de online versie van dit rapport is deze figuur interactief. Wanneer de gebruiker met de muis over de figuur gaat verschijnt er in de buurt van de lijn een pop-up met de exacte schatting van dat punt inclusief het 90% betrouwbaarheidsinterval en het jaartal en referentiejaar.

4 REPRODUCEERBAARHEID EN TRACEERBAARHEID VAN DE GEGEVENSVERWERKING

4.1 VERSIEBEHEER

De waarnemers voeren hun waarnemingen via een webapplicatie toe aan de databank. De analyse start met het importeren van de relevante gegevens uit de databank aan de hand van een R-script. De bekomen dataset bewaren we als een collectie van tekstbestanden met behulp van het `git2rdata` package (Onkelinx, 2022a). Zowel deze code als de tekstbestanden bewaren we onze versiebeheer met `git`. Git is een gratis en open source gedistribueerd versiebeheersysteem dat is ontworpen om alles van kleine tot zeer grote projecten snel en efficiëntie te beheren. De code zit vervat in het `abvanalysis` package (Onkelinx, 2022b), dat vrij online beschikbaar is. De tekstbestanden met de gegevens zijn momenteel niet publiek toegankelijk. De ruwe gegevens worden geaggregeerd per hok en met drie jaar vertraging publiek ontsloten via GBIF (Vermeersch *et al.*, 2018a).

4.2 REPRODUCEERBAARHEID

Om de reproduceerbaarheid te garanderen starten we de analyses steeds vanaf de tekstbestanden. Aan de hand van code in het `abvanalysis` package definiëren we hoe we de tekstbestanden omzetten naar de verschillende analyses (§2.2). Dit resulteert in een resem op zichzelf staande analyseobjecten van het `n2kanalysis` package (Onkelinx, 2022c). Dergelijk analyseobject bevat naast de nodige gegevens en de modeldefinitie tevens de nodige metadata zoals alle gebruikte R packages, inclusief hun versie, en een verwijzing naar de voorafgaande analyses waarvan deze analyse afhangt. Zo verwijst de analyse van een samengestelde index (§2.6) naar de trendberekening van de bijhorende soorten (§2.2). De individuele trendberekeningen verwijzen naar de “analyse” die de gegevens importeerde uit de databank. Deze laatste bevat de nodige links naar de tekstbestanden en hun versie.

4.3 TRACEERBAARHEID

De `n2kanalysis` objecten hebben elk twee data hashes. Elk data hash is een reeks van 40 hexadecimale¹ cijfers die het resultaat zijn van de cryptografische `hashfunctie` `SHA-1`. Deze hashfunctie heeft een aantal belangrijke eigenschappen:

1. Ze zetten elke invoer om naar een uitvoer met vaste lengte (40 hexadecimale cijfers).
2. De uitvoer is stabiel: als je de hash van een bepaalde invoer opnieuw berekent krijg je steeds dezelfde uitvoer.
3. Het is niet mogelijk om de invoer te reconstrueren op basis van de uitvoer.
4. Eender welke kleine wijziging aan de invoer resulteert in een sterke wijziging van de uitvoer.
5. De kans dat twee verschillende invoeren dezelfde uitvoer opleveren is zeer klein.

¹Hexadecimaal betekent letterlijk zestientallig. Het is een talstelsel waarbij niet, zoals gebruikelijk, met tien cijfers wordt gewerkt, maar met zestien cijfers. De cijfers 0 t.e.m. 9 worden daarom uitgebreid met a (=10) t.e.m. f (=15).

De eerste data hash van het analyseobject is gebaseerd op alle informatie die gekend is op het moment dat we het analyseobject definiëren en die nooit zal wijzigen tijdens de analyse. Denk hierbij aan de definitie van de analyse, de gegevens, de soort, ... Gezien de eigenschappen van de hashfunctie kunnen we deze data hash gebruiken om ondubbelzinnig te verwijzen naar een specifieke analyse (inclusief de gebruikte gegevens.)

De tweede data hash van het analyseobject baseren we enerzijds op de eerste data hash en anderzijds van alle onderdelen van het analyseobject die wijzigen in de loop van de analyse. Dit is o.a. het resultaat van de statistische analyse, de gebruikte software, ... De analyse opnieuw uitrekenen met software van een andere versie zal de tweede data hash aanpassen.

De combinatie van deze twee data hashes laat enerzijds toe om naar een specifieke versie van de analyse te verwijzen. Anderzijds bieden ze een garantie over de inhoud van het analyseobject. In het geval van twijfel over een analyse kunnen we teruggrijpen naar de analyseobject in kwestie. De data hashes bewijzen dan dat we het correcte analyseobject hebben.

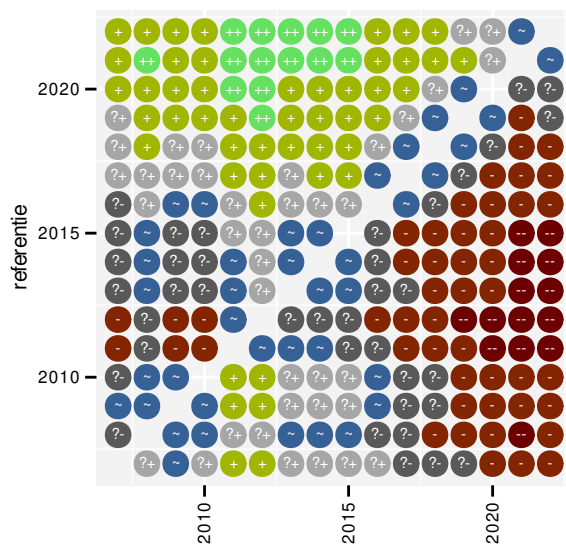
4.4 **DOWNLOADBAAR CIJFERMATERIAAL**

We stellen het cijfermateriaal om de figuren te genereren beschikbaar in de online versie van dit rapport: <https://doi.org/10.21436/inbor.89419879>.

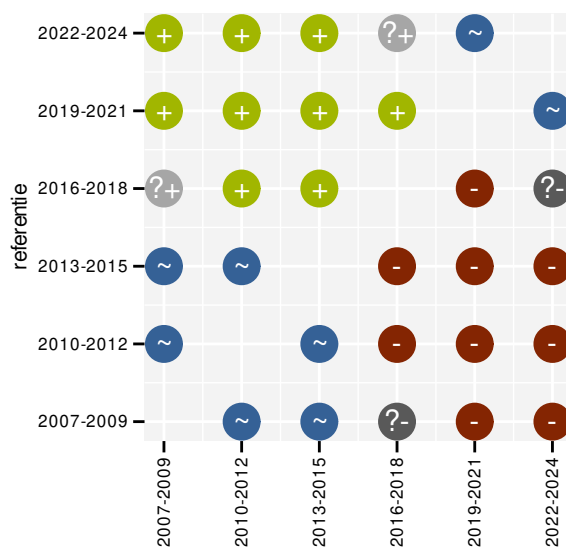


Deel II

INDICATOREN



Figuur 5.3: Paarsgewijze vergelijking tussen jaren voor Bos.



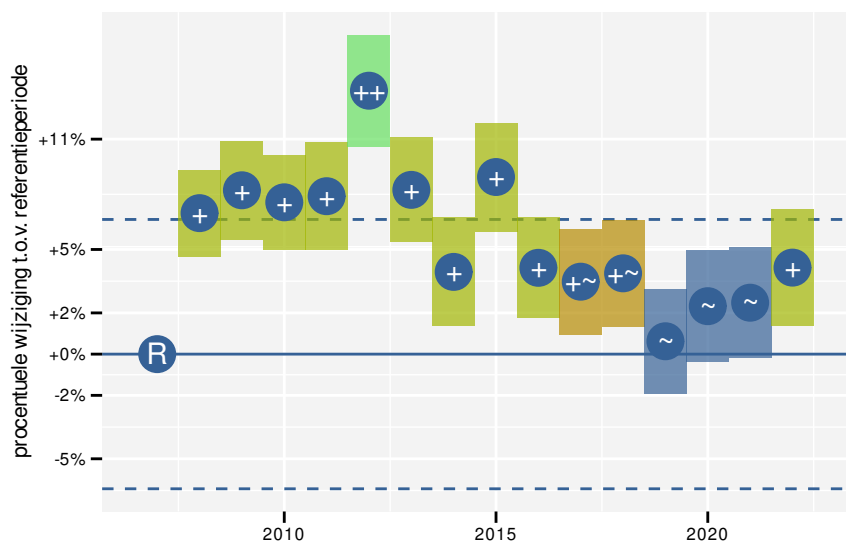
Figuur 5.4: Paarsgewijze vergelijking tussen driejarige cycli voor Bos.

Tabel 5.1: Data-hashes van de analyse in het kader van traceerbaarheid (zie §4.3).

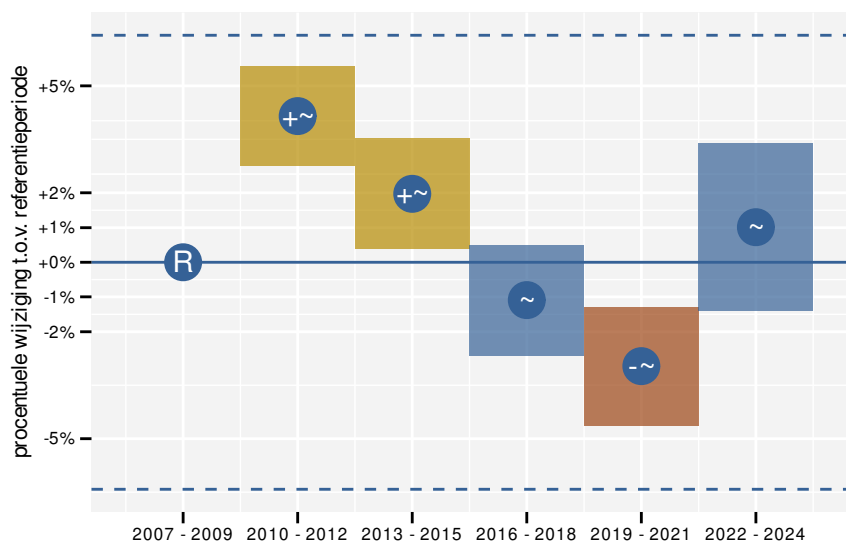
frequentie	model	analyse	status
jaarlijks	niet-lineair	ddc94646ecb369d26f3b bf9fc203bc19c0d8bf04	d8b17a328882445260ac 7a2131e1fae38f16b53d
jaarlijks	lineair	43977a862d893a53121a 90558d82aa38acc00574	48c1f7a90730c9d436e9 62e44a98eee382ca8af3
driejaarlijks	niet-lineair	a2a1ae517fcc9dea0ed5 4fb7196fd8ef04ba2dc8	9f1c962f25a1a4c1c6ec 8910e08dc306d9400c2b
driejaarlijks	lineair	d57e08fd8bbe2ab7b696 d3e558b0d6f7398b15d7	c303e75d4141971069ac 48ef679b47c889082b11

6 GENERALIST

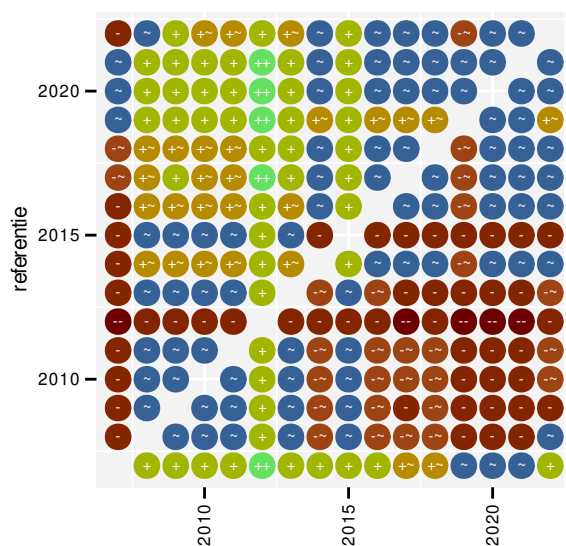
Deze indicator is gebaseerd op volgende soorten: Ekster, Fazant, Groenling, Grote bonte specht, Heggenmus, Houtduif, Huismus, Kauw, Koolmees, Merel, Pimpelmees, Roodborst, Spreeuw, Staartmees, Turkse tortel, Vink, Winterkoning, Zanglijster, Zwarte kraai. De indicator bestaat uit 19 soorten. De aangepaste grenswaarden zijn -6.4% en +6.8%.



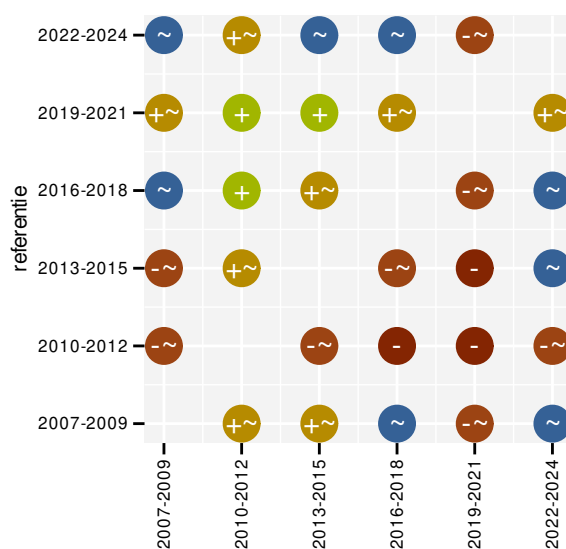
Figuur 6.1: Wijzigingen t.o.v. de start van het meetnet voor Generalist. Zie §3.1 voor een verklaring van de intervallen en §3.2 voor uitleg over de symbolen en referentielijnen.



Figuur 6.2: Wijzigingen per driejarige cyclus voor Generalist. Zie §3.1 voor een verklaring van de intervallen en §3.2 voor uitleg over de symbolen en referentielijnen.



Figuur 6.3: Paarsgewijze vergelijking tussen jaren voor Generalist.



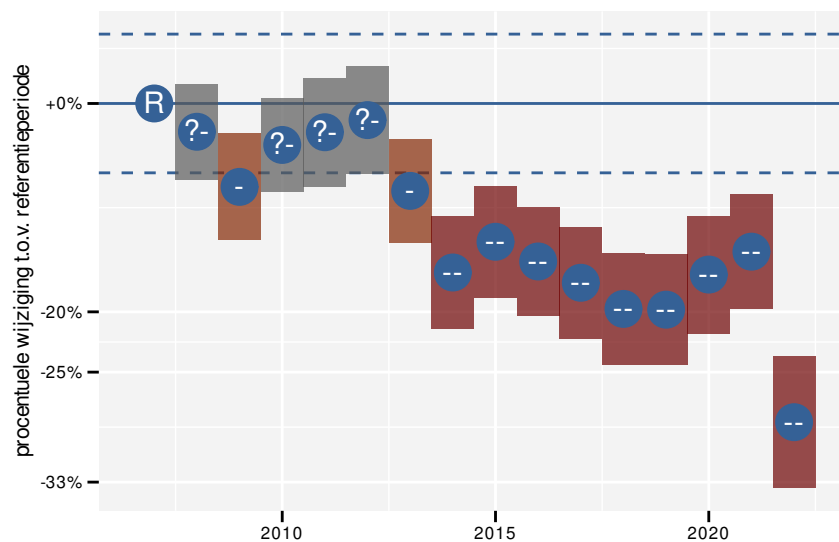
Figuur 6.4: Paarsgewijze vergelijking tussen driejarige cycli voor Generalist.

Tabel 6.1: Data-hashes van de analyse in het kader van traceerbaarheid (zie §4.3).

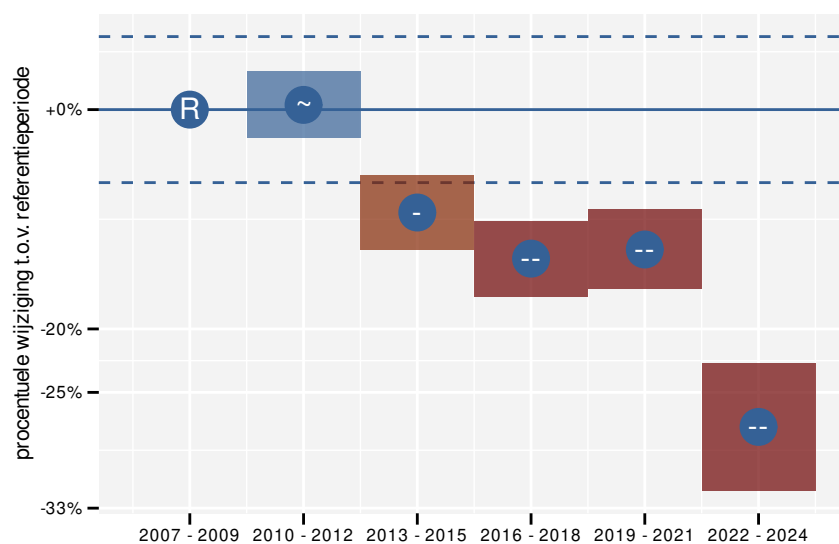
frequentie	model	analyse	status
jaarlijks	niet-lineair	a01d32835e5c0a831eca dde00082b98b58c45038	b49b0b34213ae2a5e786 262e498dd2885c1bd493
jaarlijks	lineair	f1a8117728786f01bd22 07fe455d53a5835468ab	85ce9e6369c4d5e68ac0 cdcb0eebd895fc83a38a
driejaarlijks	niet-lineair	adb8c53ab5d56e6279c5 70760fdb43b13a77da7f	5331fcc870cc1378b159 7d71551c697684c6a5fe
driejaarlijks	lineair	aac449162cd1d6f92d27 94ba9fed9cb661f02ea0	d5b48948d33c916797a0 58351038ea5ac0f88fab

7 LANDBOUW

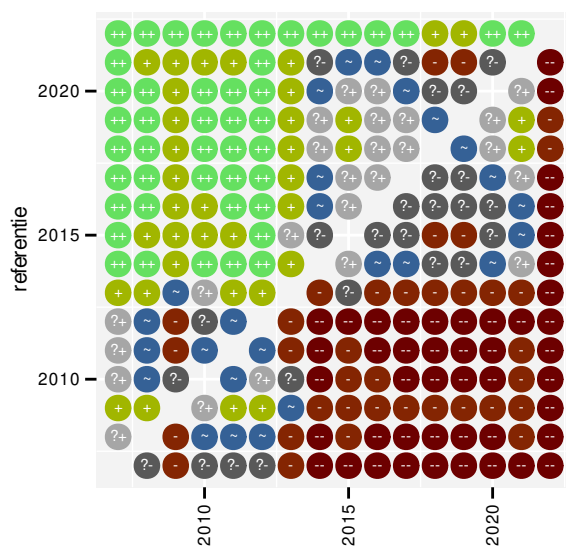
Deze indicator is gebaseerd op volgende soorten: Boerenzwaluw, Geelgors, Gele kwikstaart, Grasmus, Graspieper, Grutto, Kievit, Kneu, Patrijs, Ringmus, Roodborsttapuit, Scholekster, Torenavk, Veldleeuwerik, Wulp. De indicator bestaat uit 15 soorten. De aangepaste grenswaarden zijn -7.2% en +7.7%.



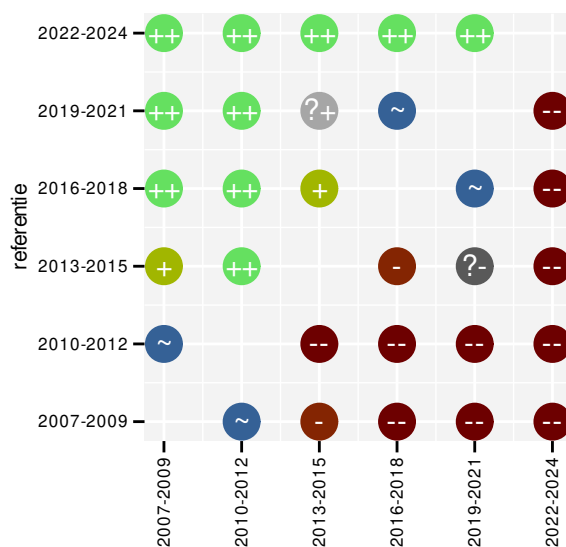
Figuur 7.1: Wijzigingen t.o.v. de start van het meetnet voor Landbouw. Zie §3.1 voor een verklaring van de intervallen en §3.2 voor uitleg over de symbolen en referentielijnen.



Figuur 7.2: Wijzigingen per driejarige cyclus voor Landbouw. Zie §3.1 voor een verklaring van de intervallen en §3.2 voor uitleg over de symbolen en referentielijnen.



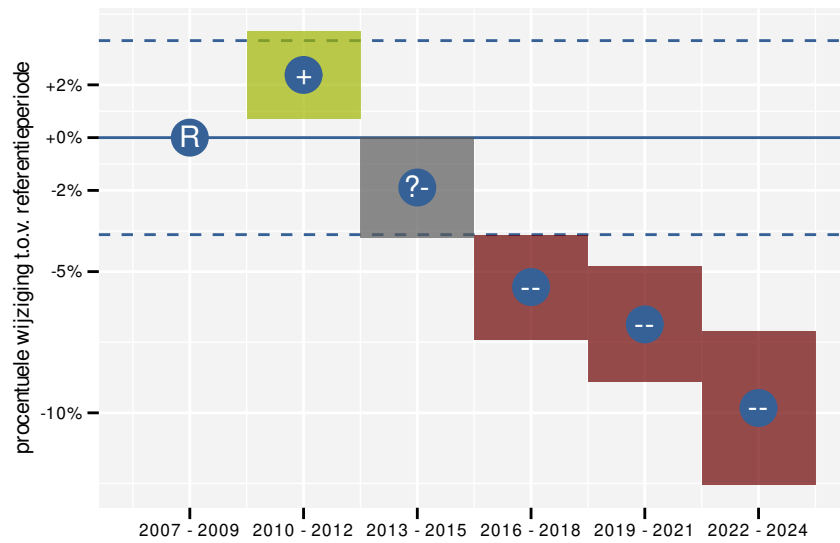
Figuur 7.3: Paarsgewijze vergelijking tussen jaren voor Landbouw.



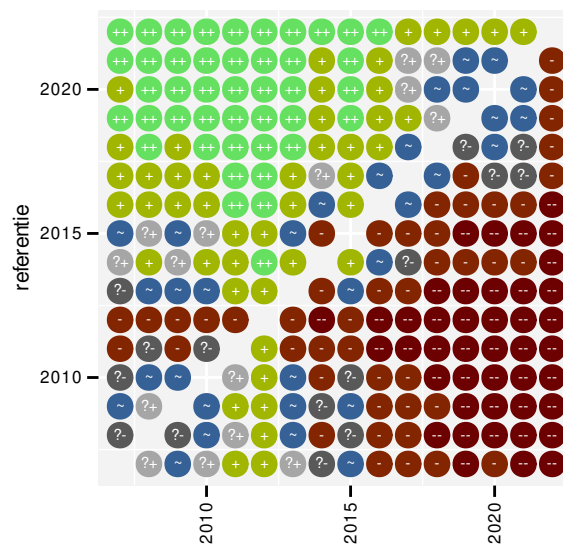
Figuur 7.4: Paarsgewijze vergelijking tussen driejarige cycli voor Landbouw.

Tabel 7.1: Data-hashes van de analyse in het kader van traceerbaarheid (zie §4.3).

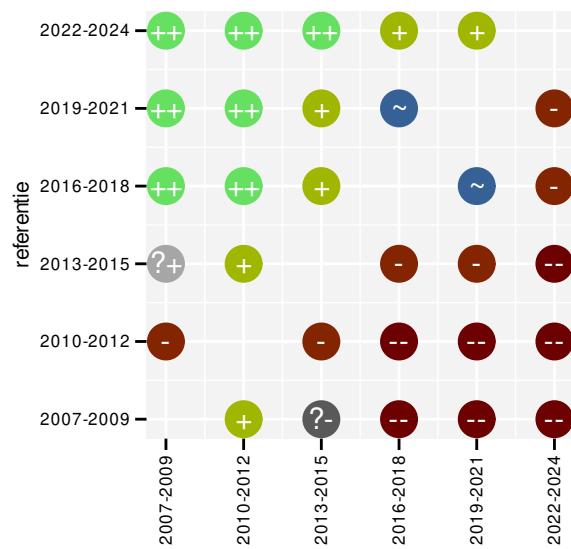
frequentie	model	analyse	status
jaarlijks	niet-lineair	d76f99380f6508b84731 7df101e9ddb574ce6cd1	5c3efda25360d473c03e 51e69db6d714cabe5d6f
jaarlijks	lineair	c471da313c0ed2734b95 9aaac13f66042a0adbf2	496f529f520eefd34eb8 011c7e20c3990982cc53
driejaarlijks	niet-lineair	89837da74bf088417b56 c030278f26f497dcd680	5e03c8a8777513d0ee44 bb4f70baa5be7585cf07
driejaarlijks	lineair	99acaa6729d9d9f9aa32 16a07118f885c07dd902	548bf9e2c08a8cd38e3d 57a998f0c68deb5b6ea3



Figuur 8.2: Wijzigingen per driejarige cyclus voor NARA2020. Zie §3.1 voor een verklaring van de intervallen en §3.2 voor uitleg over de symbolen en referentielijnen.



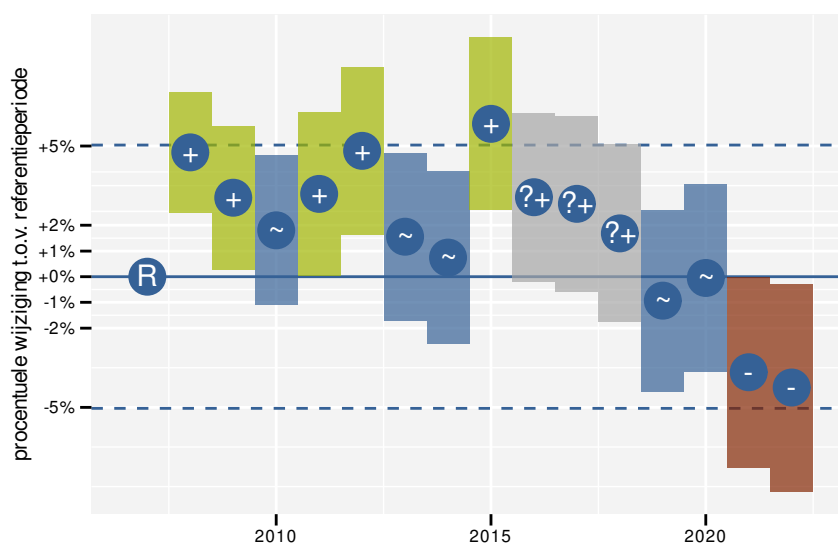
Figuur 8.3: Paarsgewijze vergelijking tussen jaren voor NARA2020.



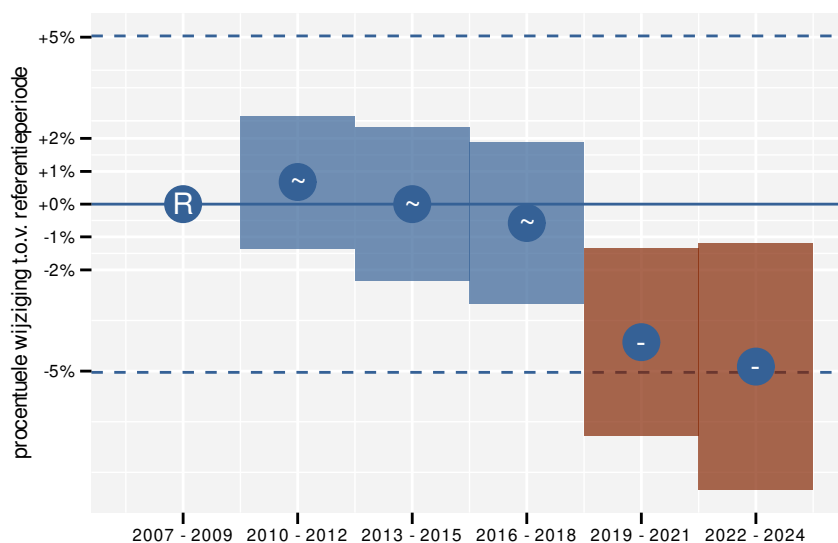
Figuur 8.4: Paarsgewijze vergelijking tussen driejarige cycli voor NARA2020.

9 STANDVOGEL

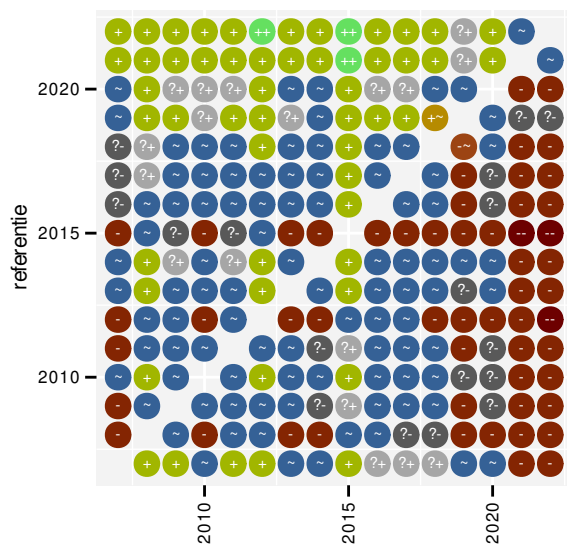
Deze indicator is gebaseerd op volgende soorten: Boomklever, Boomkruiper, Buizerd, Ekster, Fazant, Gaai, Goudhaan, Groene specht, Grote bonte specht, Heggenmus, Holenduif, Houtduif, Huismus, Kauw, Koolmees, Kuifmees, Matkop, Merel, Patrijs, Pimpelmees, Ringmus, Roodborst, Sperwer, Staartmees, Torenvalk, Turkse tortel, Vink, Winterkoning, Zwarte kraai, Zwarte mees, Zwarte specht. De indicator bestaat uit 31 soorten. De aangepaste grenswaarden zijn -5.0% en +5.3%.



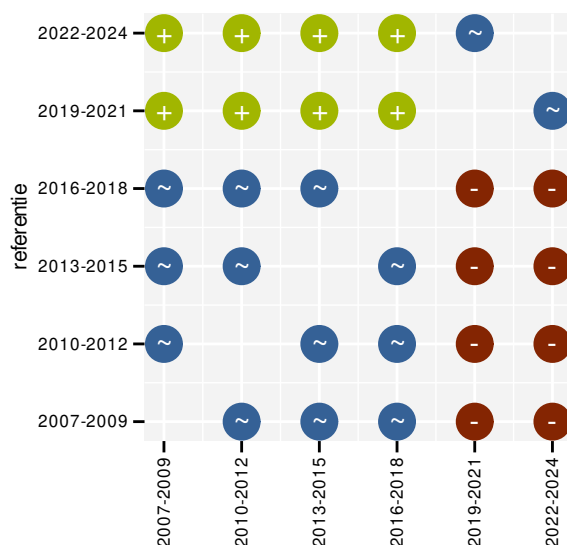
Figuur 9.1: Wijzigingen t.o.v. de start van het meetnet voor Standvogel. Zie §3.1 voor een verklaring van de intervallen en §3.2 voor uitleg over de symbolen en referentielijnen.



Figuur 9.2: Wijzigingen per driejarige cyclus voor Standvogel. Zie §3.1 voor een verklaring van de intervallen en §3.2 voor uitleg over de symbolen en referentielijnen.



Figuur 9.3: Paarsgewijze vergelijking tussen jaren voor Standvogel.



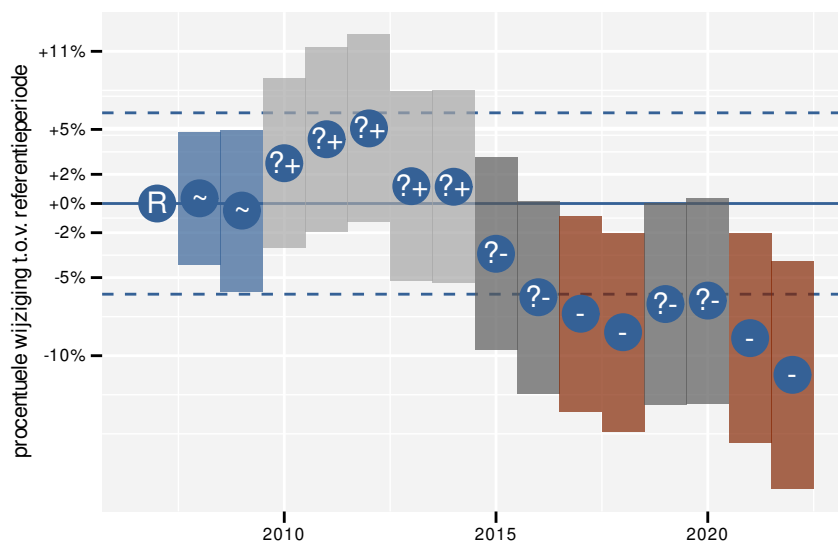
Figuur 9.4: Paarsgewijze vergelijking tussen driejarige cycli voor Standvogel.

Tabel 9.1: Data-hashes van de analyse in het kader van traceerbaarheid (zie §4.3).

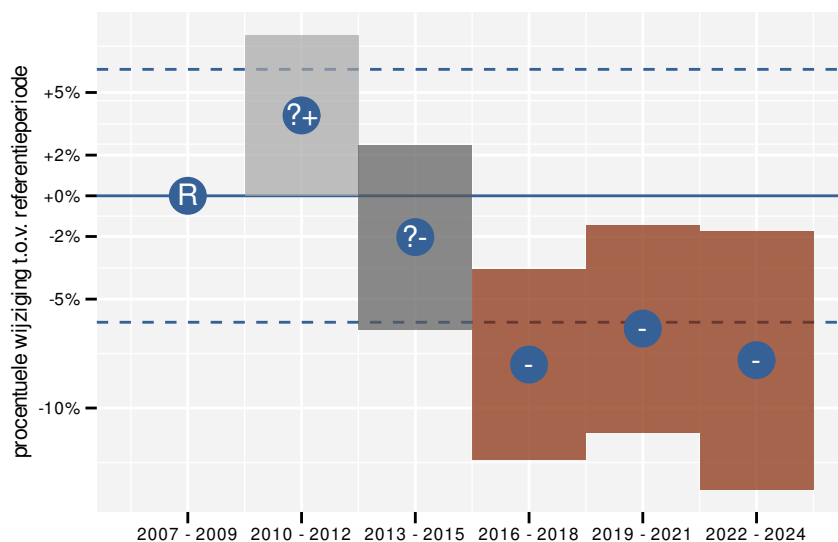
frequentie	model	analyse	status
jaarlijks	niet-lineair	794eb72d53566c6f89c8 101707e7dfa133134be8	8924ac04b277e1056b97 1393d7a73ee9154bb0f3
jaarlijks	lineair	eea126a3b112e455ae55 c56a07fcb169b6be829d	fc9ed63b6426d9cdbc99 e2d9b58e2e913bf4a269
driejaarlijks	niet-lineair	1978709d18b669a15514 f1f215a7edafbc6edeb8	f47db113a6f41e50689d d59a104fc8521c25ccc8
driejaarlijks	lineair	384c03a6571be32d43f1 eec7e3e552068f6ed27b	9ab5fb1c02beb1a8cda0 bfb7a786c677f51669cf

10 SUBSAHARAMIGRANT

Deze indicator is gebaseerd op volgende soorten: Blauwborst, Boerenwaluw, Bonte vliegenvanger, Boom-
pieper, Bosrietzanger, Fitis, Gekraagde roodstaart, Gele kwikstaart, Gierzwaluw, Grasmus, Grutto, Huiszwa-
luw, Kleine karekiet, Koekoek, Nachtegaal, Rietzanger, Spotvogel, Sprinkhaanzanger, Tjiftjaf, Tuinfluiter,
Wielewaal. De indicator bestaat uit 21 soorten. De aangepaste grenswaarden zijn -6.1% en +6.5%.



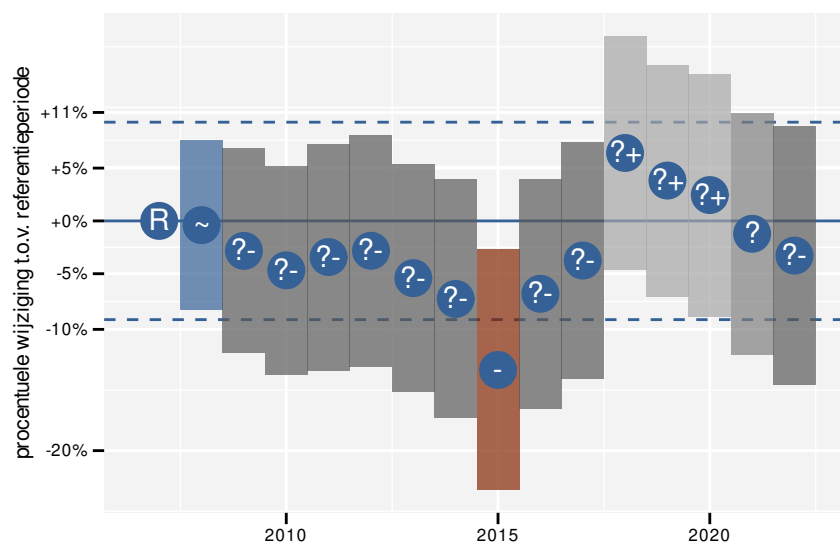
Figuur 10.1: Wijzigingen t.o.v. de start van het meetnet voor SubSaharaMigrant. Zie §3.1 voor een verklaring van de intervallen en §3.2 voor uitleg over de symbolen en referentielijnen.



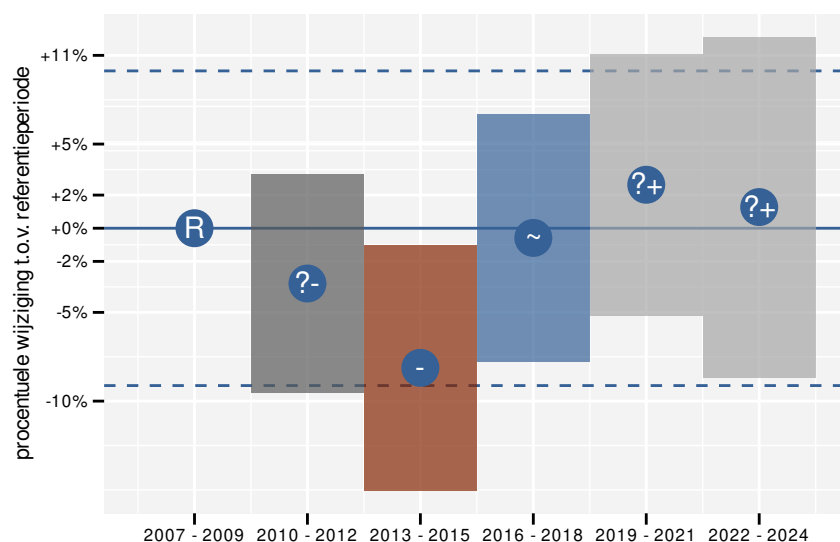
Figuur 10.2: Wijzigingen per driejarige cyclus voor SubSaharaMigrant. Zie §3.1 voor een verklaring van de intervallen en §3.2 voor uitleg over de symbolen en referentielijnen.

11 WATERVOGEL

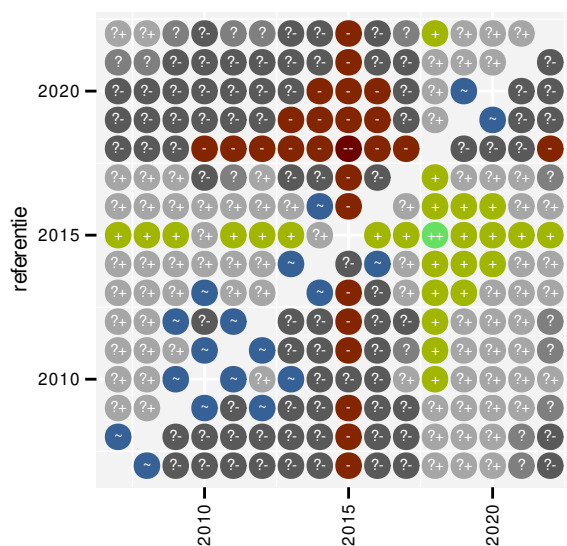
Deze indicator is gebaseerd op volgende soorten: [Bergeend](#), [Canadese gans](#), [Dodaars](#), [Fuut](#), [Grauwe gans](#), [Meerkoet](#), [Nijlgans](#), [Waterhoen](#), [Wilde eend](#). De indicator bestaat uit 9 soorten. De aangepaste grenswaarden zijn -9.1% en +10.1%.



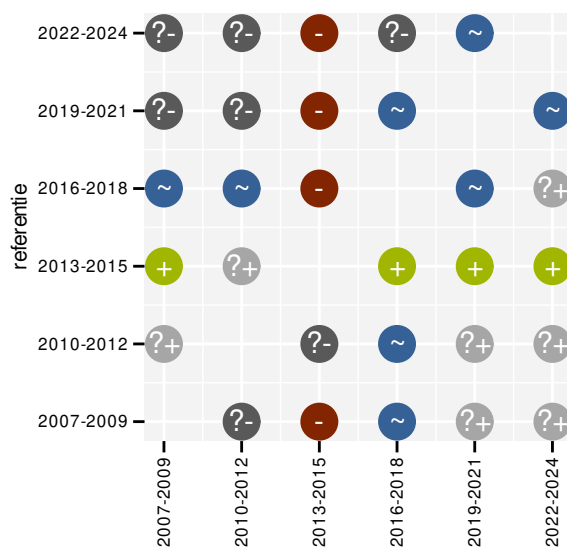
Figuur 11.1: Wijzigingen t.o.v. de start van het meetnet voor Watervogel. Zie §3.1 voor een verklaring van de intervallen en §3.2 voor uitleg over de symbolen en referentielijnen.



Figuur 11.2: Wijzigingen per driejarige cyclus voor Watervogel. Zie §3.1 voor een verklaring van de intervallen en §3.2 voor uitleg over de symbolen en referentielijnen.



Figuur 11.3: Paarsgewijze vergelijking tussen jaren voor Watervogel.



Figuur 11.4: Paarsgewijze vergelijking tussen driejarige cycli voor Watervogel.

Tabel 11.1: Data-hashes van de analyse in het kader van traceerbaarheid (zie §4.3).

frequentie	model	analyse	status
jaarlijks	niet-lineair	44d63e26b6b0299cc6ec c7b60ad5e964d50721d6	b36bd63ff36751745f12 a82f781ece9dc1dcc6d2
jaarlijks	lineair	95164dcf2a8993f5e8e0 3e5e7f0b9eb565df8732	d2584bf985d2779a7028 181f39c280dd96a15cef
driejaarlijks	niet-lineair	7348874125d09097b9af 3fcf8ce8f453bada2801	90e08ff0f7f4c11f1c73 17f7a4184e4ba70cc331
driejaarlijks	lineair	9bab3671bce96074aa8c 16efcea16dbc2a89a346	5811d16a713a174dd15e 9b6b6d3430892fa58492

Deel III

RESULTATEN PER SOORT

12 OVERZICHT VAN DE TRENDS

Tabel 12.2 geeft een overzicht van de lineaire trends voor elke soort. We hebben de trends gesorteerd volgens opdeling van de klassen (zie 3.2 voor de verklaring) en binnen de klasse volgens puntschatting van de trend. Hierdoor start de tabel met de soorten met de sterkste positieve trends. Bij de volgende soorten zal de trend minder sterk worden tot we aan de soorten met een stabiele trend komen. Daarna volgen de soorten met een negatieve trend waarbij de trend steeds sterker negatief wordt. We sluiten de tabel af met de soorten met een mogelijke of onduidelijke trend. De tabel bevat de trend uitgedrukt als een jaarlijkse wijziging en als een wijziging over de volledige looptijd van het meetnet. Verder bevat de tabel de opdeling van de trend in klassen en een indicatie of de trend al dan niet lineair is (zie §2.2.3). De naam van de soort is een snelkoppeling naar de detail van de soort zelf. We raden aan om hiervan gebruikt te maken bij de interpretatie van niet-lineaire trends.

Tabel 12.1: Gemiddelde wijziging in veronderstelling van een lineaire trend gebaseerd op driejaarlijkse gegevens. ++: sterke toename, +: toename, +~: matige toename, ~: stabiel, ~-: matige afname, -: afname, --: sterke afname, ?+: mogelijke toename, ?-: mogelijke afname, ?: onduidelijke trend. Referentie: 0%, ondergrens: -25% over de looptijd, bovengrens: +33% over de looptijd.

soort	klasse	interpretatie	jaarlijkse wijziging	wijziging over de looptijd
Cetti's zanger	++	niet-lineair	+17.5% (+12.7%; +22.5%)	+1020% (+500%; +2000%)
Kleine mantelmeeuw	++	niet-lineair	+13.4% (+7.8%; +19.2%)	+560% (+210%; +1300%)
Putter	++	niet-lineair	+12.27% (+9.10%; +15.53%)	+470% (+270%; +770%)
Roek	++	mogelijk niet-lineair	+11.23% (+7.82%; +14.75%)	+390% (+210%; +690%)
Krakeend	++	niet-lineair	+9.6% (+4.7%; +14.7%)	+290% (+100%; +680%)
Halsbandparkiet	++	lineair	+8.18% (+4.28%; +12.23%)	+230% (+90%; +460%)
Aalscholver	++	niet-lineair	+8.09% (+3.50%; +12.88%)	+220% (+70%; +520%)
Knobbelzwaan	++	niet-lineair	+6.8% (+4.1%; +9.5%)	+170% (+80%; +290%)
Kauw	++	niet-lineair	+5.44% (+4.98%; +5.90%)	+121.3% (+107.3%; +136.2%)
Boomklever	++	niet-lineair	+4.1% (+2.9%; +5.2%)	+81.7% (+53.3%; +115.2%)
Roodborsttapuit	++	niet-lineair	+4.1% (+2.5%; +5.7%)	+81.6% (+44.1%; +128.8%)
Buizerd	++	niet-lineair	+4.0% (+3.1%; +4.9%)	+80.2% (+58.0%; +105.4%)
Meerkoet	++	lineair	+3.5% (+2.1%; +4.9%)	+67.6% (+36.6%; +105.5%)



soort	klasse	interpretatie	jaarlijkse wijziging	wijziging over de looptijd
Boomleeuwerik	+	lineair	+4.9% (+1.2%; +8.8%)	+110% (+20%; +260%)
Sperwer	+	niet-lineair	+3.1% (+0.4%; +6.0%)	+59% (+6%; +139%)
Bonte vliegenvanger	+	lineair	+2.9% (+0.0%; +5.8%)	+54% (+1%; +135%)
Nijlgans	+	niet-lineair	+2.7% (+1.4%; +4.0%)	+48% (+23%; +80%)
Grote bonte specht	+	lineair	+2.4% (+1.7%; +3.1%)	+43% (+28%; +59%)
Roodborst	+	niet-lineair	+2.4% (+1.9%; +2.9%)	+42% (+32%; +54%)
Zwarte roodstaart	+	niet-lineair	+2.3% (+1.4%; +3.2%)	+41% (+23%; +61%)
Zwartkop	+	niet-lineair	+2.21% (+1.82%; +2.61%)	+39% (+31%; +47%)
Canadese gans	+	lineair	+2.0% (+0.9%; +3.2%)	+35% (+14%; +60%)
Grasmus	+	niet-lineair	+2.0% (+1.3%; +2.7%)	+34% (+21%; +48%)
Torenvalk	+	niet-lineair	+1.9% (+0.6%; +3.3%)	+33% (+9%; +62%)
Blauwborst	+	niet-lineair	+1.7% (+0.1%; +3.3%)	+29% (+2%; +63%)
Witte kwikstaart	+	niet-lineair	+1.7% (+1.0%; +2.4%)	+29% (+16%; +42%)
Bergeend	+	niet-lineair	+1.6% (+0.3%; +3.0%)	+28% (+4%; +57%)
Kneu	+	niet-lineair	+1.5% (+0.3%; +2.7%)	+25% (+4%; +50%)
Boomkruiper	+	niet-lineair	+1.5% (+0.5%; +2.4%)	+25% (+8%; +43%)
Zwarte kraai	+~	niet-lineair	+1.305% (+0.992%; +1.620%)	+21% (+16%; +27%)
Pimpelmees	+~	lineair	+1.032% (+0.538%; +1.532%)	+17% (+8%; +26%)
Vink	+~	lineair	+0.961% (+0.692%; +1.231%)	+15.4% (+10.9%; +20.1%)
Tijftjaf	+~	niet-lineair	+0.948% (+0.615%; +1.281%)	+15% (+10%; +21%)
Houtduif	+~	niet-lineair	+0.26% (+0.02%; +0.49%)	+3.9% (+0.4%; +7.6%)
Boerenzwaluw	~	niet-lineair	+0.71% (-0.02%; +1.44%)	+11% (-0%; +24%)
Kleine karekiet	~	niet-lineair	+0.34% (-0.83%; +1.52%)	+5% (-12%; +25%)
Boompieper	~	lineair	+0.16% (-1.46%; +1.80%)	+2% (-20%; +31%)
Ekster	~	niet-lineair	-0.13% (-0.50%; +0.25%)	-2% (-7%; +4%)
Fazant	--	niet-lineair	-0.51% (-0.92%; -0.09%)	-7.3% (-12.9%; -1.3%)
Groene specht	--	niet-lineair	-0.73% (-1.30%; -0.15%)	-10.4% (-17.8%; -2.3%)
Koolmees	--	niet-lineair	-0.817% (-1.130%; -0.502%)	-11.57% (-15.68%; -7.27%)
Gaai	--	niet-lineair	-0.86% (-1.68%; -0.04%)	-12% (-22%; -1%)
Holenduif	--	lineair	-0.95% (-1.50%; -0.40%)	-13% (-20%; -6%)
Winterkoning	--	niet-lineair	-0.992% (-1.249%; -0.737%)	-13.89% (-17.18%; -10.51%)

soort	klasse	interpretatie	jaarlijkse wijziging	wijziging over de looptijd
Groenling	--	niet-lineair	-1.16% (-1.88%; -0.44%)	-16% (-25%; -6%)
Scholekster	-	niet-lineair	-1.06% (-1.95%; -0.16%)	-15% (-26%; -2%)
Koekoek	-	lineair	-1.4% (-2.7%; -0.1%)	-19% (-33%; -2%)
Gele kwikstaart	-	lineair	-1.6% (-2.3%; -0.9%)	-21% (-29%; -13%)
Wulp	-	niet-lineair	-1.7% (-3.4%; -0.0%)	-23% (-41%; -0%)
Heggenmus	-	lineair	-1.75% (-2.18%; -1.33%)	-23% (-28%; -18%)
Turkse tortel	-	niet-lineair	-1.81% (-2.13%; -1.49%)	-24.0% (-27.6%; -20.1%)
Graspieper	-	niet-lineair	-2.1% (-3.1%; -1.1%)	-27% (-38%; -15%)
Kuifmees	-	niet-lineair	-2.3% (-3.7%; -0.8%)	-29% (-43%; -11%)
Goudhaan	-	niet-lineair	-2.3% (-3.8%; -0.7%)	-29% (-44%; -10%)
Spreeuw	-	lineair	-2.3% (-2.9%; -1.7%)	-29% (-35%; -23%)
Geelgors	-	niet-lineair	-2.4% (-3.5%; -1.3%)	-31% (-42%; -18%)
Matkop	-	mogelijk niet-lineair	-6.09% (-10.71%; -1.24%)	-61% (-82%; -17%)
Huismus	--	niet-lineair	-2.41% (-2.78%; -2.04%)	-30.6% (-34.5%; -26.6%)
Veldleeuwerik	--	lineair	-2.5% (-3.1%; -2.0%)	-32% (-37%; -26%)
Wilde eend	--	lineair	-2.5% (-3.2%; -1.9%)	-32% (-38%; -25%)
Waterhoen	--	niet-lineair	-2.8% (-3.7%; -1.9%)	-35% (-43%; -26%)
Zanglijster	--	niet-lineair	-3.30% (-3.79%; -2.82%)	-39.6% (-44.0%; -34.9%)
Grutto	--	niet-lineair	-3.6% (-5.0%; -2.1%)	-42% (-54%; -28%)
Merel	--	niet-lineair	-3.81% (-4.03%; -3.59%)	-44.1% (-46.0%; -42.2%)
Patrijs	--	niet-lineair	-4.3% (-5.5%; -3.1%)	-48% (-57%; -38%)
Havik	--	niet-lineair	-4.8% (-7.4%; -2.2%)	-52% (-68%; -28%)
Tuinfluitier	--	lineair	-5.2% (-6.7%; -3.7%)	-55% (-65%; -43%)
Zwarte mees	--	lineair	-5.3% (-7.9%; -2.6%)	-56% (-71%; -32%)
Wielewaal	--	niet-lineair	-5.4% (-8.5%; -2.1%)	-56% (-74%; -27%)
Fitis	--	lineair	-5.6% (-7.1%; -4.1%)	-58% (-67%; -47%)
Stadsduif	--	niet-lineair	-5.7% (-8.1%; -3.2%)	-58% (-72%; -38%)
Ringmus	--	lineair	-5.7% (-7.1%; -4.3%)	-59% (-67%; -48%)
Zilvermeeuw	--	niet-lineair	-5.7% (-9.0%; -2.3%)	-59% (-76%; -30%)
Grote lijster	--	lineair	-7.5% (-9.2%; -5.9%)	-69% (-76%; -60%)
Kievit	--	lineair	-8.4% (-8.9%; -7.8%)	-73.0% (-75.4%; -70.4%)
Sprinkhaanzanger	--	lineair	-9.15% (-12.15%; -6.05%)	-76% (-86%; -61%)
Kokmeeuw	?+	niet-lineair	+4.6% (-0.3%; +9.6%)	+100% (-0%; +300%)
Kuifeend	?+	niet-lineair	+3.0% (-1.0%; +7.2%)	+56% (-14%; +184%)
Tafeleend	?+	niet-lineair	+2.3% (-1.4%; +6.1%)	+40% (-19%; +144%)
Grauwe gans	?+	niet-lineair	+1.7% (-1.0%; +4.5%)	+30% (-10%; +90%)
Gekraagde roodstaart	?+	niet-lineair	+1.7% (-0.5%; +3.9%)	+28% (-8%; +78%)
Blauwe reiger	?+	niet-lineair	+1.3% (-0.5%; +3.2%)	+22% (-8%; +61%)

//

soort	klasse	interpretatie	jaarlijkse wijziging	wijziging over de looptijd
Gierzwaluw	?+	niet-lineair	+0.9% (-1.2%; +3.2%)	+15% (-17%; +59%)
Rietzanger	?+	mogelijk niet-lineair	+0.8% (-0.6%; +2.2%)	+13% (-8%; +38%)
Rietgors	?-	niet-lineair	-0.5% (-2.3%; +1.2%)	-8% (-29%; +20%)
Nachtegaal	?-	lineair	-0.9% (-3.2%; +1.5%)	-13% (-39%; +25%)
Bosrietzanger	?-	niet-lineair	-1.0% (-3.5%; +1.6%)	-14% (-42%; +26%)
Staartmees	?-	niet-lineair	-1.1% (-3.4%; +1.2%)	-16% (-41%; +20%)
Fuut	?-	niet-lineair	-1.4% (-3.5%; +0.7%)	-19% (-42%; +11%)
Zwarte specht	?-	niet-lineair	-1.5% (-3.9%; +1.1%)	-20% (-45%; +17%)
Spotvogel	?-	niet-lineair	-1.9% (-5.0%; +1.3%)	-25% (-53%; +22%)
Middelste Bonte Specht	?	mogelijk niet-lineair	+1.0% (-2.0%; +4.1%)	+20% (-30%; +80%)
Huiszwaluw	?	lineair	+0.8% (-2.1%; +3.8%)	+10% (-30%; +80%)
Glanskop	?	niet-lineair	+0.7% (-2.7%; +4.3%)	+10% (-30%; +90%)
Bruine kiekendief	?	lineair	+0.4% (-2.2%; +3.2%)	+7% (-29%; +60%)
Dodaars	?	niet-lineair	-2.6% (-7.4%; +2.4%)	-30% (-70%; +40%)

Tabel 12.2: Gemiddelde wijziging in veronderstelling van een lineaire trend gebaseerd op jaarlijkse gegevens. ++: sterke toename, +: toename, +~: matige toename, ~: stabiel, ~-: matige afname, -: afname, --: sterke afname, ?+: mogelijke toename, ?-: mogelijke afname, ?: onduidelijke trend. Referentie: 0%, ondergrens: -25% over de looptijd, bovengrens: +33% over de looptijd.

soort	klasse	interpretatie	jaarlijkse wijziging	wijziging over de looptijd
Cetti's zanger	++	niet-lineair	+18% (+13%; +24%)	+1200% (+600%; +2300%)
Kleine mantelmeeuw	++	niet-lineair	+13.9% (+8.4%; +19.7%)	+610% (+240%; +1390%)
Putter	++	niet-lineair	+12.41% (+9.20%; +15.73%)	+480% (+270%; +790%)
Roek	++	niet-lineair	+11.75% (+8.27%; +15.33%)	+430% (+230%; +750%)
Krakeend	++	lineair	+10.02% (+5.20%; +15.06%)	+320% (+110%; +720%)
Aalscholver	++	niet-lineair	+8.26% (+3.72%; +13.01%)	+230% (+70%; +530%)
Halsbandparkiet	++	niet-lineair	+7.84% (+4.10%; +11.73%)	+210% (+80%; +430%)
Knobbelzwaan	++	niet-lineair	+6.9% (+4.2%; +9.6%)	+170% (+90%; +300%)
Kauw	++	niet-lineair	+5.43% (+4.97%; +5.89%)	+121.1% (+107.0%; +135.8%)
Boomklever	++	niet-lineair	+4.2% (+3.0%; +5.4%)	+85.2% (+56.4%; +119.5%)
Roodborsttapuit	++	niet-lineair	+4.1% (+2.6%; +5.8%)	+83.9% (+45.9%; +131.6%)

soort	klasse	interpretatie	jaarlijkse wijziging	wijziging over de looptijd
Winterkoning	--	niet-lineair	-0.896% (-1.153%; -0.648%)	-12.63% (-15.97%; -9.29%)
Holenduif	--	niet-lineair	-1.00% (-1.55%; -0.45%)	-14% (-21%; -7%)
Groenling	--	niet-lineair	-1.06% (-1.78%; -0.35%)	-15% (-24%; -5%)
Scholekster	-	niet-lineair	-1.2% (-2.1%; -0.3%)	-16% (-27%; -4%)
Koekoek	-	lineair	-1.4% (-2.6%; -0.1%)	-18% (-33%; -1%)
Gele kwikstaart	-	niet-lineair	-1.6% (-2.2%; -0.9%)	-21% (-29%; -12%)
Heggenmus	-	niet-lineair	-1.71% (-2.13%; -1.28%)	-22.7% (-27.6%; -17.6%)
Turkse tortel	-	niet-lineair	-1.77% (-2.10%; -1.45%)	-23.5% (-27.2%; -19.7%)
Graspieper	-	niet-lineair	-1.9% (-2.9%; -0.9%)	-25% (-36%; -13%)
Kuifmees	-	niet-lineair	-1.9% (-3.4%; -0.4%)	-25% (-40%; -6%)
Goudhaan	-	niet-lineair	-2.2% (-3.7%; -0.6%)	-28% (-44%; -9%)
Spreeuw	-	lineair	-2.3% (-2.9%; -1.7%)	-30% (-36%; -23%)
Geelgors	-	niet-lineair	-2.4% (-3.5%; -1.3%)	-30% (-41%; -18%)
Wilde eend	-	niet-lineair	-2.5% (-3.1%; -1.9%)	-32% (-38%; -25%)
Zilvermeeuw	-	niet-lineair	-5.2% (-8.5%; -1.8%)	-55% (-74%; -24%)
Matkop	-	mogelijk niet-lineair	-5.89% (-10.55%; -0.99%)	-60% (-81%; -14%)
Huismus	--	niet-lineair	-2.37% (-2.74%; -2.00%)	-30.2% (-34.1%; -26.1%)
Veldleeuwerik	--	niet-lineair	-2.5% (-3.1%; -2.0%)	-32% (-37%; -26%)
Waterhoen	--	niet-lineair	-2.8% (-3.6%; -1.9%)	-34% (-43%; -25%)
Zanglijster	--	niet-lineair	-3.20% (-3.68%; -2.71%)	-38.6% (-43.0%; -33.8%)
Grutto	--	niet-lineair	-3.5% (-4.9%; -2.1%)	-41% (-53%; -27%)
Merel	--	niet-lineair	-3.76% (-3.97%; -3.54%)	-43.7% (-45.5%; -41.7%)
Patrijs	--	niet-lineair	-4.2% (-5.4%; -3.0%)	-47% (-56%; -37%)
Zwarte mees	--	niet-lineair	-5.0% (-7.7%; -2.2%)	-54% (-70%; -29%)
Havik	--	mogelijk niet-lineair	-5.1% (-7.6%; -2.4%)	-54% (-69%; -31%)
Tuinfluitier	--	niet-lineair	-5.3% (-6.8%; -3.7%)	-56% (-65%; -44%)
Stadsduif	--	niet-lineair	-5.4% (-7.8%; -2.9%)	-56% (-70%; -36%)
Wielewaal	--	niet-lineair	-5.5% (-8.6%; -2.2%)	-57% (-74%; -29%)
Ringmus	--	niet-lineair	-5.7% (-7.1%; -4.3%)	-59% (-67%; -48%)
Fitis	--	niet-lineair	-5.8% (-7.3%; -4.3%)	-59% (-68%; -48%)
Grote lijster	--	niet-lineair	-7.7% (-9.3%; -6.0%)	-70% (-77%; -60%)
Kievit	--	niet-lineair	-8.3% (-8.9%; -7.8%)	-72.8% (-75.2%; -70.2%)
Sprinkhaanzanger	--	lineair	-8.59% (-11.53%; -5.55%)	-74% (-84%; -58%)
Kokmeeuw	?+	niet-lineair	+4% (-1%; +9%)	+90% (-10%; +280%)
Kuifeend	?+	niet-lineair	+3.2% (-0.8%; +7.4%)	+61% (-11%; +191%)
Tafeleend	?+	niet-lineair	+2.6% (-1.3%; +6.7%)	+48% (-18%; +166%)
Grauwe gans	?+	niet-lineair	+2.0% (-0.7%; +4.8%)	+34% (-11%; +102%)

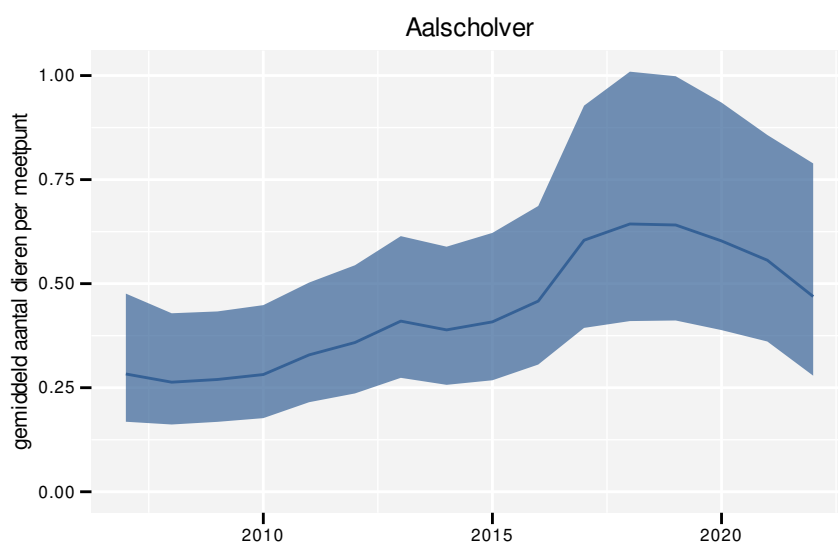
soort	klasse	interpretatie	jaarlijkse wijziging	wijziging over de looptijd
Gekraagde roodstaart	?+	niet-lineair	+1.6% (-0.6%; +3.9%)	+28% (-8%; +77%)
Blauwe reiger	?+	niet-lineair	+1.5% (-0.4%; +3.4%)	+24% (-6%; +64%)
Middelste Bonte Specht	?+	niet-lineair	+1.2% (-1.8%; +4.3%)	+20% (-20%; +90%)
Rietzanger	?+	niet-lineair	+0.9% (-0.5%; +2.2%)	+14% (-7%; +39%)
Gierzwaluw	?+	niet-lineair	+0.8% (-1.4%; +3.0%)	+12% (-19%; +55%)
Rietgors	?-	lineair	-0.6% (-2.3%; +1.2%)	-8% (-29%; +20%)
Bosrietzanger	?-	niet-lineair	-0.7% (-3.2%; +1.9%)	-10% (-38%; +32%)
Nachtegaal	?-	niet-lineair	-0.7% (-3.1%; +1.7%)	-10% (-37%; +29%)
Staartmees	?-	niet-lineair	-0.9% (-3.2%; +1.4%)	-13% (-39%; +23%)
Zwarte specht	?-	niet-lineair	-1.4% (-4.0%; +1.2%)	-20% (-45%; +19%)
Fuut	?-	niet-lineair	-1.4% (-3.4%; +0.6%)	-20% (-40%; +9%)
Spotvogel	?-	niet-lineair	-1.5% (-4.6%; +1.6%)	-21% (-51%; +28%)
Wulp	?-	niet-lineair	-1.5% (-3.2%; +0.2%)	-21% (-39%; +2%)
Glanskop	?	mogelijk niet-lineair	+0.9% (-2.6%; +4.5%)	+10% (-30%; +90%)
Bruine kiekendief	?	lineair	+0.6% (-2.1%; +3.3%)	+9% (-27%; +64%)
Huiszwaluw	?	mogelijk niet-lineair	+0.3% (-2.6%; +3.3%)	+5% (-32%; +63%)
Dodaars	?	niet-lineair	-2% (-7%; +3%)	-30% (-70%; +50%)



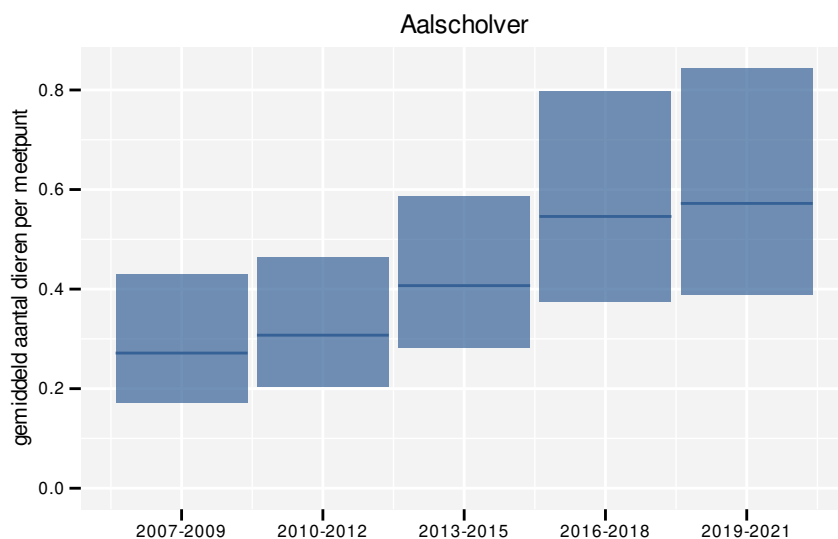
13 AALSCHOLVER

Op basis van jaarlijkse gegevens zien we gemiddeld een sterke toename met +8.26% (+3.72%; +13.01%) per jaar of +230% (+70%; +530%) over de volledige looptijd van het meetnet. Deze trend is niet-lineair.

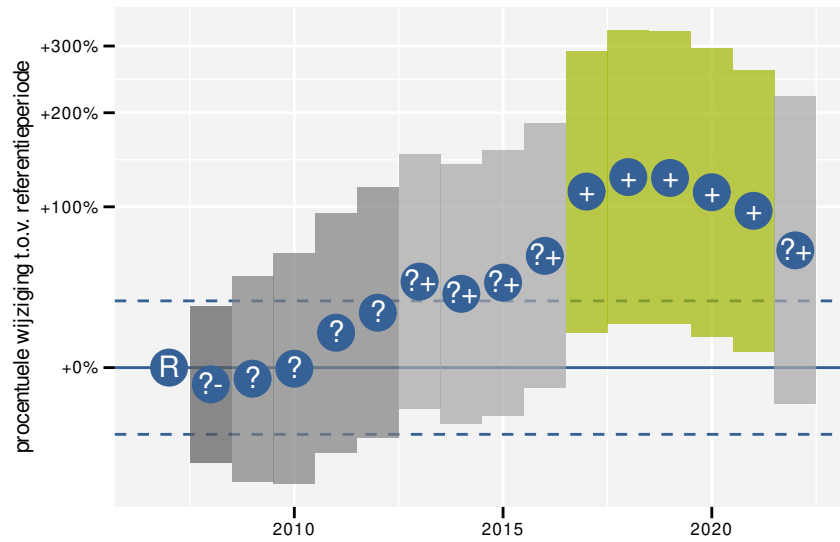
Op basis van driejaarlijkse gegevens zien we gemiddeld een sterke toename met +8.09% (+3.50%; +12.88%) per jaar of +220% (+70%; +520%) over de volledige looptijd van het meetnet. Deze trend is niet-lineair.



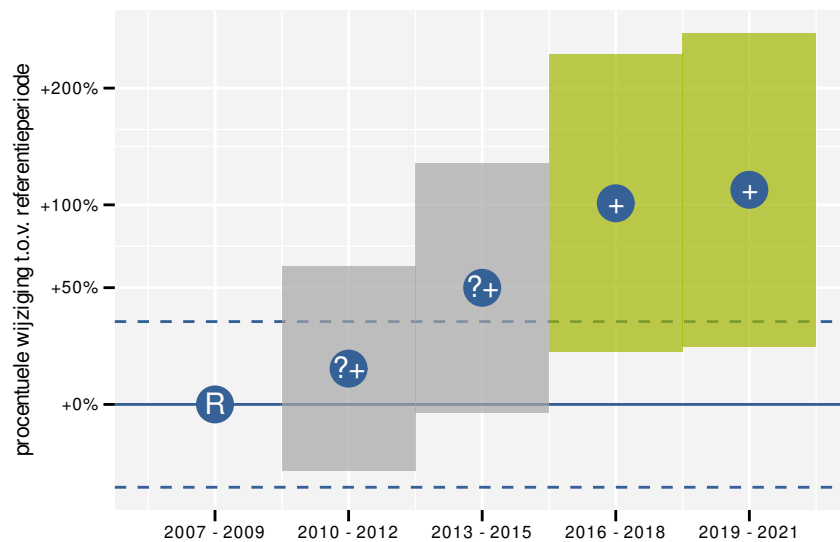
Figuur 13.1: Evolutie van het gemodelleerde gemiddeld aantal waargenomen dieren op een meetpunt voor Aalscholver tijdens de referentieperiode. Zie §3.1 voor een verklaring van de intervallen.



Figuur 13.2: Evolutie van het gemodelleerde gemiddeld aantal waargenomen dieren op een meetpunt voor Aalscholver tijdens de referentieperiode. Zie §3.1 voor een verklaring van de intervallen.



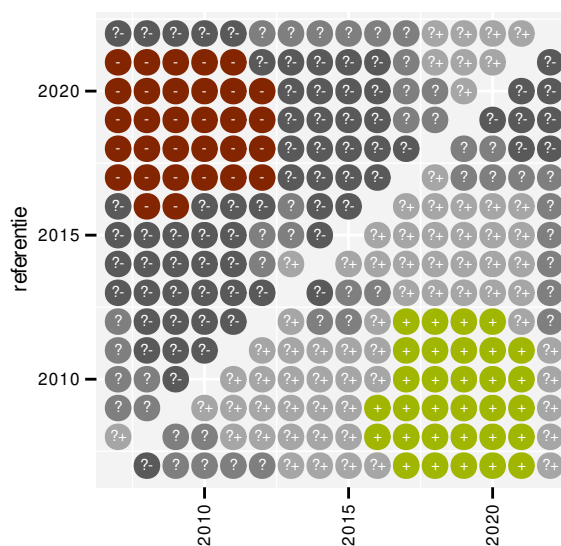
Figuur 13.3: Wijzigingen tussen jaren voor Aalscholver. Zie §3.1 voor een verklaring van de intervallen en §3.2 voor uitleg over de symbolen en referentielijnen.



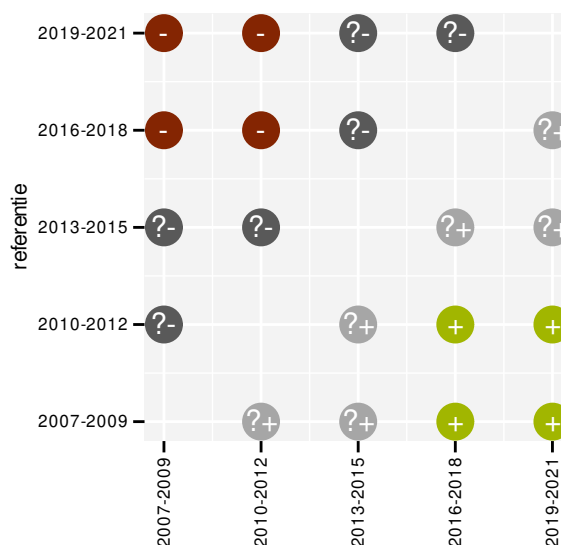
Figuur 13.4: Wijzigingen per driejarige cyclus voor Aalscholver. Zie §3.1 voor een verklaring van de intervallen en §3.2 voor uitleg over de symbolen en referentielijnen.

Tabel 13.1: Stratumgewicht, raming van het aantal hokken waarin de soort aanwezig is, aantal relevante hokken voor de analyse, aantal onderzochte hokken in het stratum, totaal aantal hokken van het stratum in Vlaanderen, aantal bezoeken aan een meetpunt en het gemiddeld aandeel relevante punten per hok voor Aalscholver (zie §2.5).

stratum	gewicht	aanwezig	relevant	onderzocht	totaal	bezoeken	punten
Landbouw	81.6%	263.6	18	431	6311	624	44.4%
Moeras en water	13.8%	44.5	26	80	137	1133	58.3%
Heide en duin	4.6%	16.9	8	94	199	285	43.8%



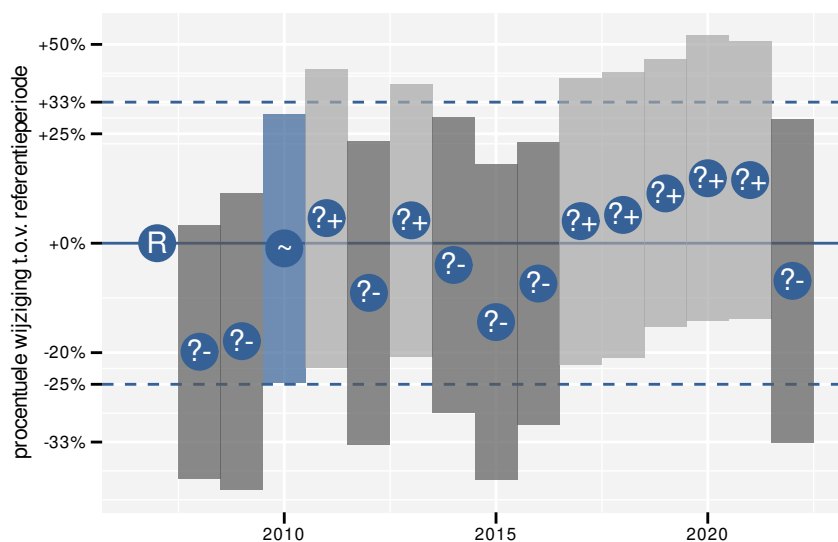
Figuur 13.5: Paarsgewijze vergelijking tussen jaren voor Aalscholver. Uitleg van de symbolen in tabel 3.1.



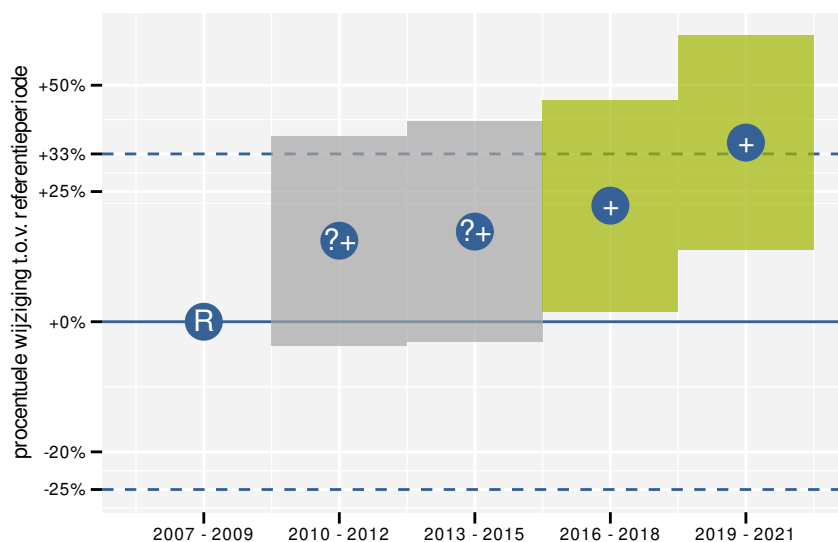
Figuur 13.6: Paarsgewijze vergelijking tussen driejarige cycli voor Aalscholver. Uitleg van de symbolen in tabel 3.1.

Tabel 13.2: Data-hashes van de analyses in het kader van traceerbaarheid (zie §4.3).

frequentie	model	analyse	status
jaarlijks	niet-lineair	8280f25548d5726cee7a 461bce703fa42d04ac8f	4eb7b70820b16c1fd72c 1dc4b2535f8a60d8c1e9
jaarlijks	lineair	1f37ecea7669f5fab8d6 424c455eff6f347b43bb	2f93e666cf12e53dbe4a 9e35354feca272556cd4
driejaarlijks	niet-lineair	84033bdf85bbc6b4e7a2 a7ca886146fcf774472d	6589fe39402c736bd7a2 c4e039437c0506fb201f
driejaarlijks	lineair	5163dc0732dd26358a52 dfb0c294dcee08bc62a4	07ade974470c49a2d986 c88862df0fce06f3675c



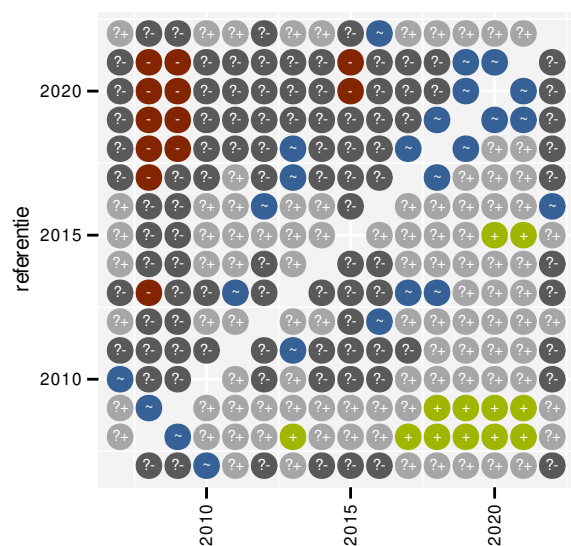
Figuur 14.3: Wijzigingen tussen jaren voor Bergeend. Zie §3.1 voor een verklaring van de intervallen en §3.2 voor uitleg over de symbolen en referentielijnen.



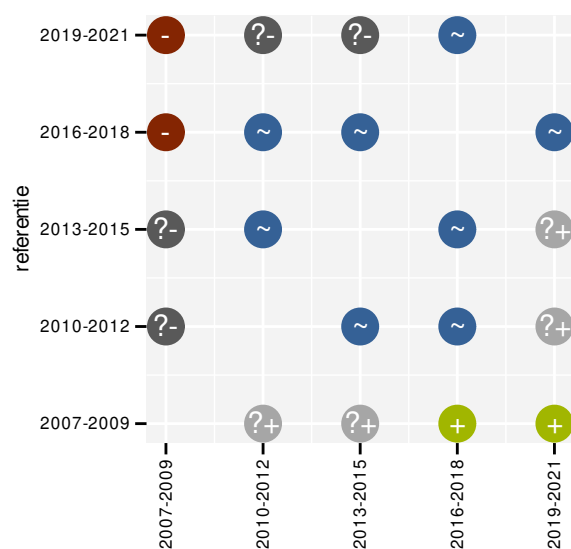
Figuur 14.4: Wijzigingen per driejarige cyclus voor Bergeend. Zie §3.1 voor een verklaring van de intervallen en §3.2 voor uitleg over de symbolen en referentielijnen.

Tabel 14.1: Stratumgewicht, raming van het aantal hokken waarin de soort aanwezig is, aantal relevante hokken voor de analyse, aantal onderzochte hokken in het stratum, totaal aantal hokken van het stratum in Vlaanderen, aantal bezoeken aan een meetpunt en het gemiddeld aandeel relevante punten per hok voor Bergeend (zie §2.5).

stratum	gewicht	aanwezig	relevant	onderzocht	totaal	bezoeken	punten
Landbouw	90.5%	849.3	58	431	6311	2635	58.6%
Moeras en water	4.7%	44.5	26	80	137	938	52.6%
Suburbaan	2.2%	23.6	8	68	201	275	54.2%
Heide en duin	2.0%	21.2	10	94	199	504	56.7%
Bos	0.5%	6.7	4	190	319	148	41.7%



Figuur 14.5: Paarsgewijze vergelijking tussen jaren voor Bergeend. Uitleg van de symbolen in tabel 3.1.



Figuur 14.6: Paarsgewijze vergelijking tussen driejarige cycli voor Bergeend. Uitleg van de symbolen in tabel 3.1.

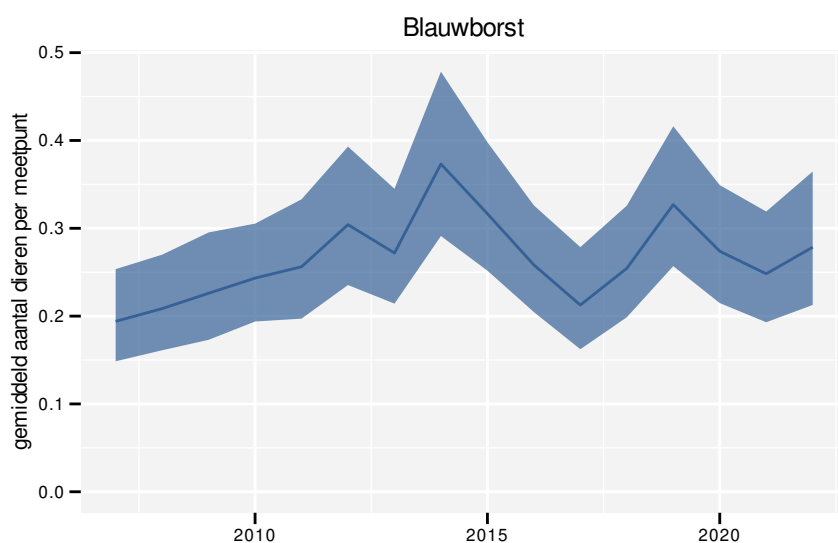
Tabel 14.2: Data-hashes van de analyses in het kader van traceerbaarheid (zie §4.3).

frequentie	model	analyse	status
jaarlijks	niet-lineair	2ea05bceb0ec2421c748	e0090b3fe9c7b7f92384
		18cb989a3c6efae34003	8811d72e2220de4ff3f3
jaarlijks	lineair	50d44390045d43093dfb	b46da87dea2c6434467a
		7df634d621060bf55f01	701589e51bc810559881
driejaarlijks	niet-lineair	66d14b04a7ea1ba3ee82	be9f8f4cd672de848b95
		9dae0fb8544370f747a7	1994c0c5d177bb033379
driejaarlijks	lineair	0b6264fbc6bb14efaed7	44e617449d30fe20b690
		638765184e3d79da62f2	13d5bcd73481b67caf41

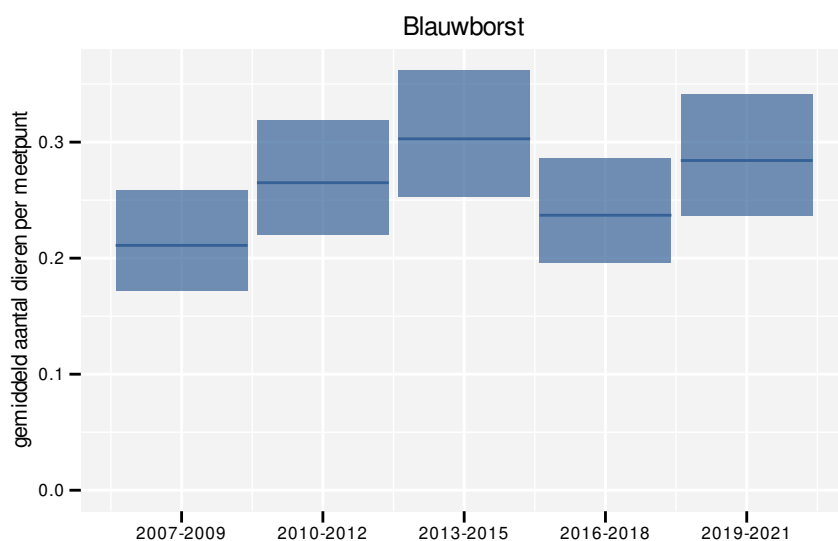
15 BLAUWBORST

Op basis van jaarlijkse gegevens zien we gemiddeld een toename met +1.7% (+0.2%; +3.3%) per jaar of +29% (+2%; +63%) over de volledige looptijd van het meetnet. Deze trend is niet-lineair.

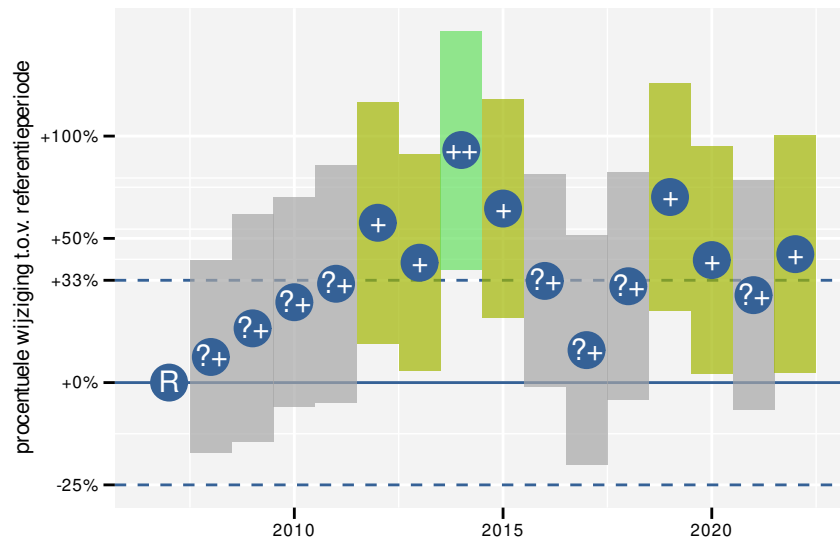
Op basis van driejaarlijkse gegevens zien we gemiddeld een toename met +1.7% (+0.1%; +3.3%) per jaar of +29% (+2%; +63%) over de volledige looptijd van het meetnet. Deze trend is niet-lineair.



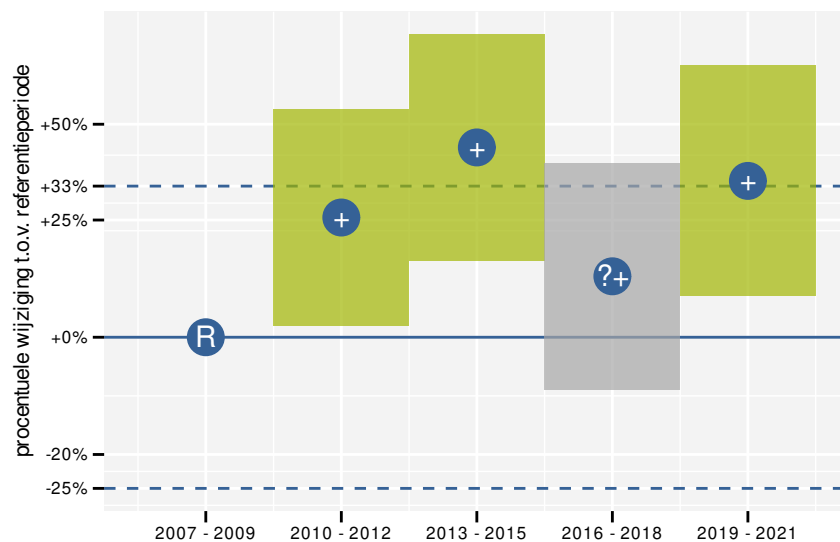
Figuur 15.1: Evolutie van het gemodelleerde gemiddeld aantal waargenomen dieren op een meetpunt voor Blauwborst tijdens de referentieperiode. Zie §3.1 voor een verklaring van de intervallen.



Figuur 15.2: Evolutie van het gemodelleerde gemiddeld aantal waargenomen dieren op een meetpunt voor Blauwborst tijdens de referentieperiode. Zie §3.1 voor een verklaring van de intervallen.



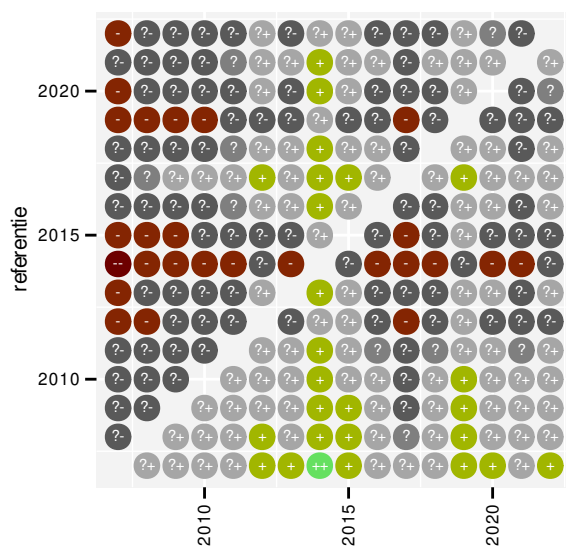
Figuur 15.3: Wijzigingen tussen jaren voor Blauwborst. Zie §3.1 voor een verklaring van de intervallen en §3.2 voor uitleg over de symbolen en referentielijnen.



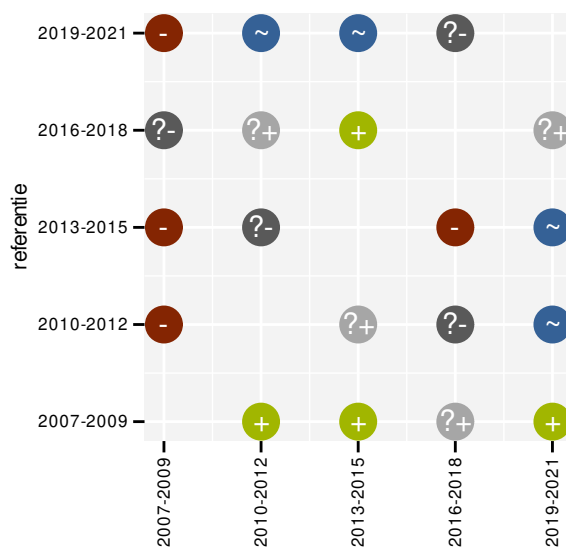
Figuur 15.4: Wijzigingen per driejarige cyclus voor Blauwborst. Zie §3.1 voor een verklaring van de intervallen en §3.2 voor uitleg over de symbolen en referentielijnen.

Tabel 15.1: Stratumgewicht, raming van het aantal hokken waarin de soort aanwezig is, aantal relevante hokken voor de analyse, aantal onderzochte hokken in het stratum, totaal aantal hokken van het stratum in Vlaanderen, aantal bezoeken aan een meetpunt en het gemiddeld aandeel relevante punten per hok voor Blauwborst (zie §2.5).

stratum	gewicht	aanwezig	relevant	onderzocht	totaal	bezoeken	punten
Landbouw	93.3%	776.1	53	431	6311	2111	50.6%
Moeras en water	3.3%	27.4	16	80	137	730	57.3%
Heide en duin	2.0%	19.1	9	94	199	258	37.0%
Suburbaan	1.4%	14.8	5	68	201	134	53.3%



Figuur 15.5: Paarsgewijze vergelijking tussen jaren voor Blauwborst. Uitleg van de symbolen in tabel 3.1.



Figuur 15.6: Paarsgewijze vergelijking tussen driejarige cycli voor Blauwborst. Uitleg van de symbolen in tabel 3.1.

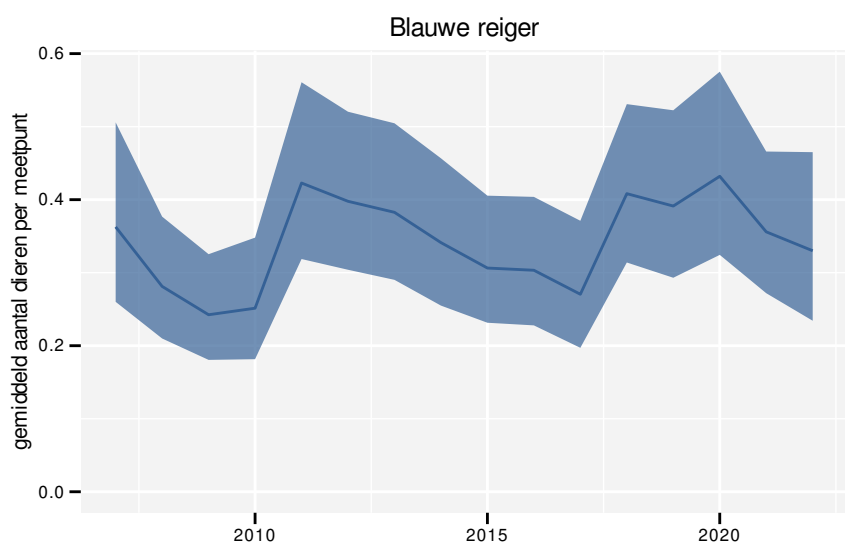
Tabel 15.2: Data-hashes van de analyses in het kader van traceerbaarheid (zie §4.3).

frequentie	model	analyse	status
jaarlijks	niet-lineair	f5a122445177340bec48 3fc58d14c1d4df5f34a5	e30253ef53b753ee7ff1 4a4e78a9cb12a580d535
jaarlijks	lineair	133c291c4aabec3e30a4 13380336a5f12045264d	fd33b87d1db97785d050 555a9ecc8fb3e0172a79
driejaarlijks	niet-lineair	6f14c749cbf69f7ce598 7564cb845c32d30e024e	f884343bf56dc92f8dcc 3beea2ab25f2d4fe6f21
driejaarlijks	lineair	9bc8203ce02b22e22b91 5b775b0001d5ac6bbe5f	fefdeb487486f08eacd 9ebde3812da29a030c3a

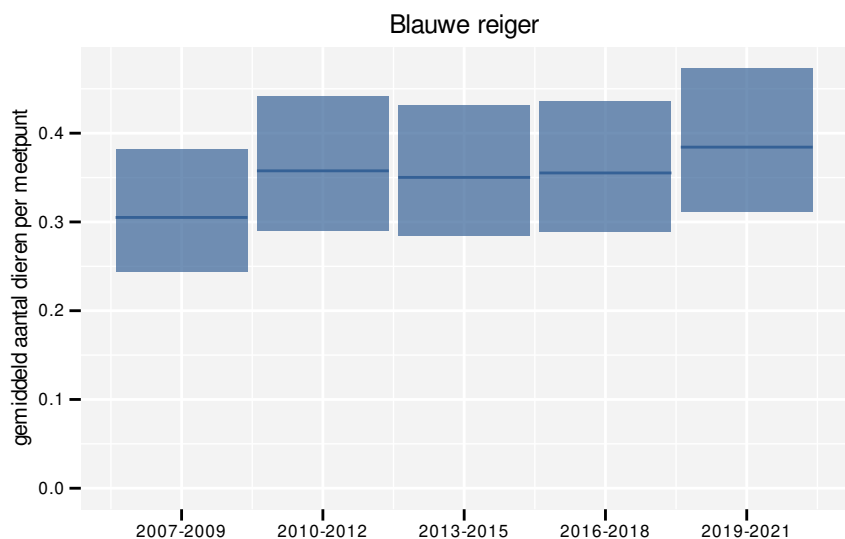
16 BLAUWE REIGER

Op basis van jaarlijkse gegevens zien we gemiddeld een mogelijke toename met +1.5% (-0.4%; +3.4%) per jaar of +24% (-6%; +64%) over de volledige looptijd van het meetnet. Deze trend is niet-lineair.

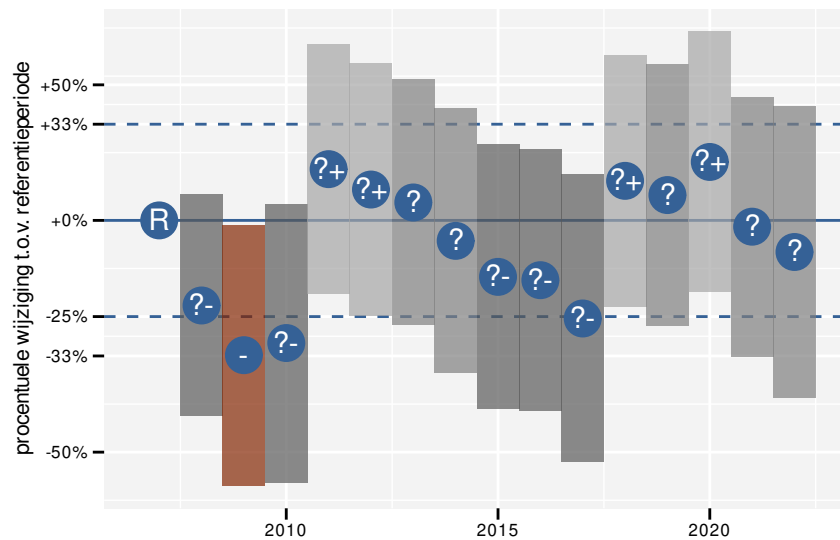
Op basis van driejaarlijkse gegevens zien we gemiddeld een mogelijke toename met +1.3% (-0.5%; +3.2%) per jaar of +22% (-8%; +61%) over de volledige looptijd van het meetnet. Deze trend is niet-lineair.



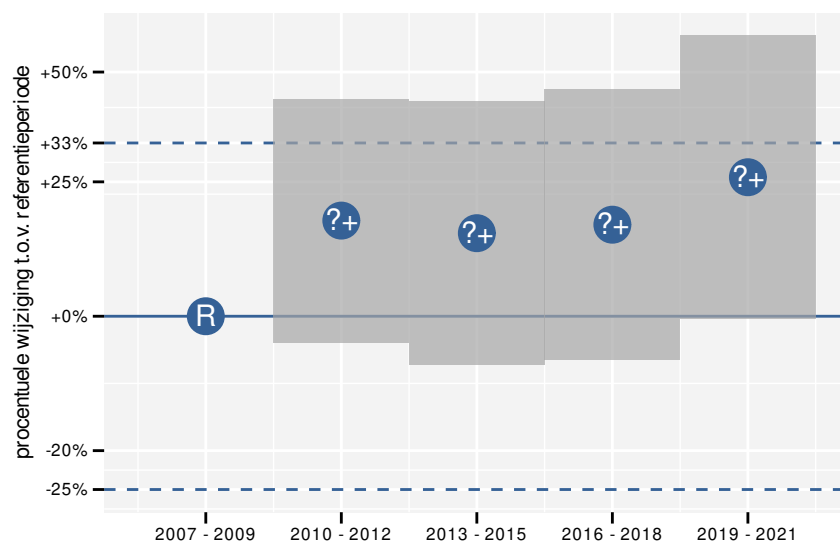
Figuur 16.1: Evolutie van het gemodelleerde gemiddeld aantal waargenomen dieren op een meetpunt voor Blauwe reiger tijdens de referentieperiode. Zie §3.1 voor een verklaring van de intervallen.



Figuur 16.2: Evolutie van het gemodelleerde gemiddeld aantal waargenomen dieren op een meetpunt voor Blauwe reiger tijdens de referentieperiode. Zie §3.1 voor een verklaring van de intervallen.



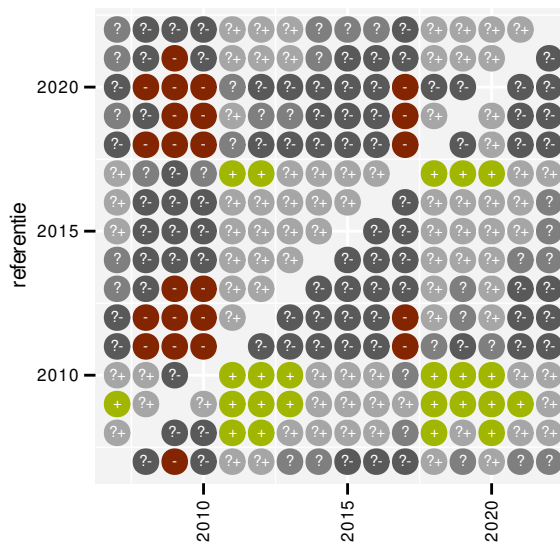
Figuur 16.3: Wijzigingen tussen jaren voor Blauwe reiger. Zie §3.1 voor een verklaring van de intervallen en §3.2 voor uitleg over de symbolen en referentielijnen.



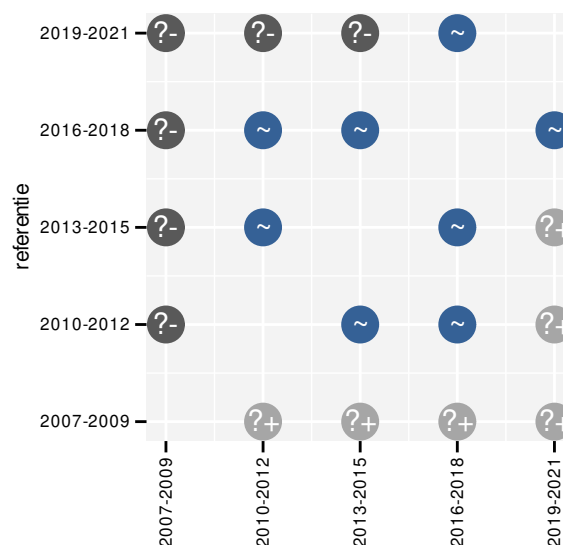
Figuur 16.4: Wijzigingen per driejarige cyclus voor Blauwe reiger. Zie §3.1 voor een verklaring van de intervallen en §3.2 voor uitleg over de symbolen en referentielijnen.

Tabel 16.1: Stratumgewicht, raming van het aantal hokken waarin de soort aanwezig is, aantal relevante hokken voor de analyse, aantal onderzochte hokken in het stratum, totaal aantal hokken van het stratum in Vlaanderen, aantal bezoeken aan een meetpunt en het gemiddeld aandeel relevante punten per hok voor Blauwe reiger (zie §2.5).

stratum	gewicht	aanwezig	relevant	onderzocht	totaal	bezoeken	punten
Landbouw	90.6%	1068.9	73	431	6311	2976	51.8%
Moeras en water	3.9%	46.2	27	80	137	1349	69.8%
Heide en duin	2.9%	33.9	16	94	199	484	37.5%
Bos	1.8%	21.8	13	190	319	614	56.4%
Suburbaan	0.8%	11.8	4	68	201	157	33.3%



Figuur 16.5: Paarsgewijze vergelijking tussen jaren voor Blauwe reiger. Uitleg van de symbolen in tabel 3.1.



Figuur 16.6: Paarsgewijze vergelijking tussen driejarige cycli voor Blauwe reiger. Uitleg van de symbolen in tabel 3.1.

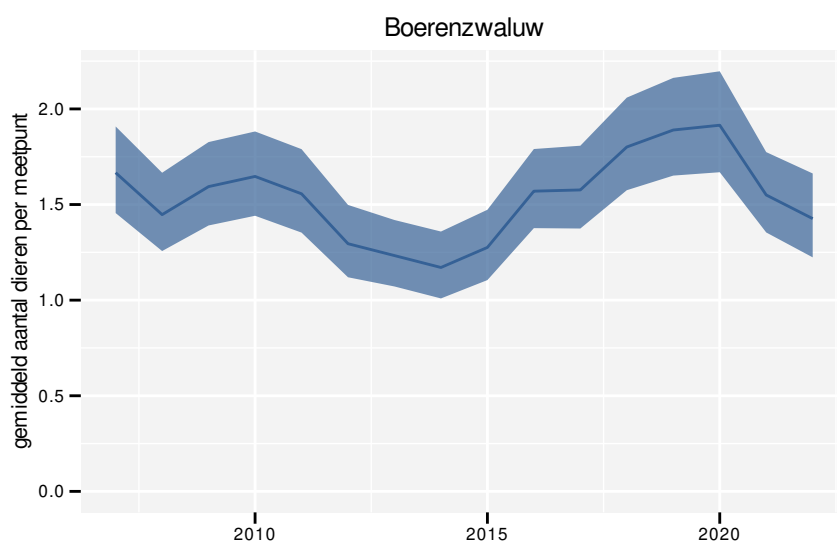
Tabel 16.2: Data-hashes van de analyses in het kader van traceerbaarheid (zie §4.3).

frequentie	model	analyse	status
jaarlijks	niet-lineair	f974cdb141848caa6fab	e002323dddf212554a32
		74f5e761e6aa0a604c29	7056784478805a029134
jaarlijks	lineair	2f136a84278bc4108c53	92f5aca712cb8bfb316
		85ec0ca51cbfe50f1603	6edc5c815b6b77e8065f
driejaarlijks	niet-lineair	7dd2439680e0b9312180	4725698b505d701ba7c2
		517ae5cb3643ace6892c	c8eea3617ee248bbbf4e
driejaarlijks	lineair	de457e2f150c9616e4ee	142395d9a9c9ada339e6
		375069861a8a9711e535	6275113cbebab418f67d

17 BOERENZWALUW

Op basis van jaarlijkse gegevens zien we gemiddeld een stabiele toestand. De trend blijft beperkt tot +0.60% (-0.11%; +1.33%) per jaar of +9% (-2%; +22%) over de volledige looptijd van het meetnet. Deze trend is niet-lineair.

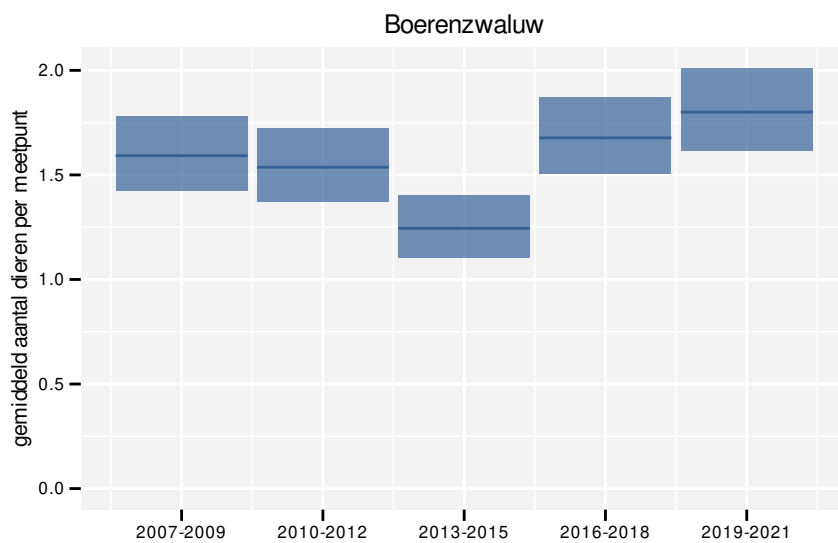
Op basis van driejaarlijkse gegevens zien we gemiddeld een stabiele toestand. De trend blijft beperkt tot +0.71% (-0.02%; +1.44%) per jaar of +11% (-0%; +24%) over de volledige looptijd van het meetnet. Deze trend is niet-lineair.



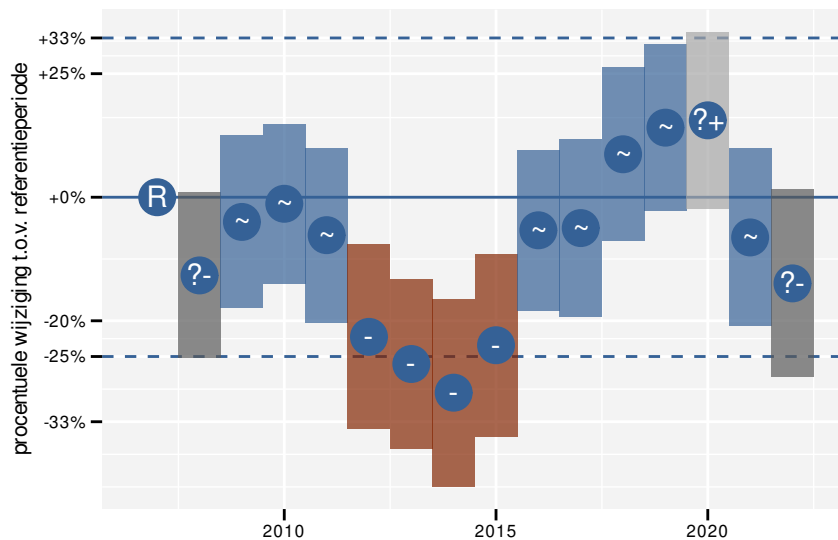
Figuur 17.1: Evolutie van het gemodelleerde gemiddeld aantal waargenomen dieren op een meetpunt voor Boerenzwaluw tijdens de referentieperiode. Zie §3.1 voor een verklaring van de intervallen.

Tabel 17.1: Stratumgewicht, raming van het aantal hokken waarin de soort aanwezig is, aantal relevante hokken voor de analyse, aantal onderzochte hokken in het stratum, totaal aantal hokken van het stratum in Vlaanderen, aantal bezoeken aan een meetpunt en het gemiddeld aandeel relevante punten per hok voor Boerenzwaluw (zie §2.5).

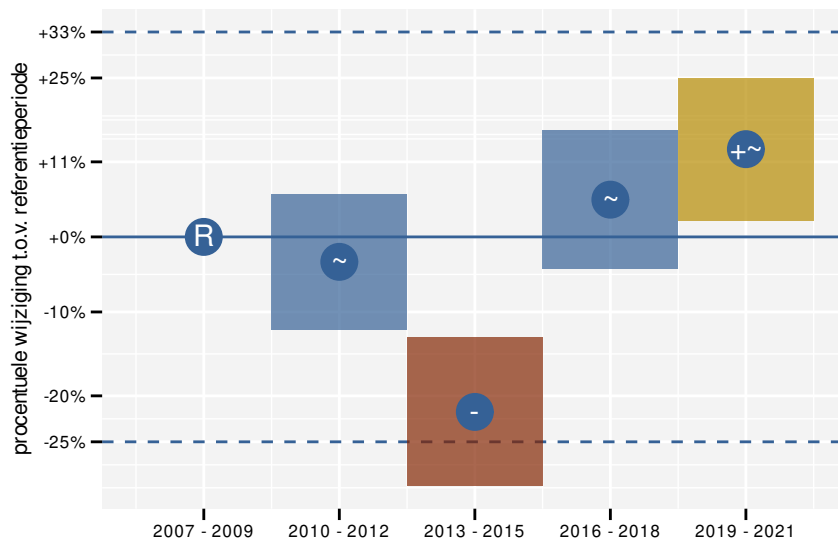
stratum	gewicht	aanwezig	relevant	onderzocht	totaal	bezoeken	punten
Landbouw	94.8%	4143.9	283	431	6311	10053	73.6%
Urbaan	1.4%	62.2	13	87	416	345	50.0%
Heide en duin	1.3%	55.0	26	94	199	723	53.2%
Moeras en water	1.1%	46.2	27	80	137	749	58.6%
Suburbaan	0.9%	41.4	14	68	201	209	40.5%
Bos	0.5%	23.5	14	190	319	314	47.6%



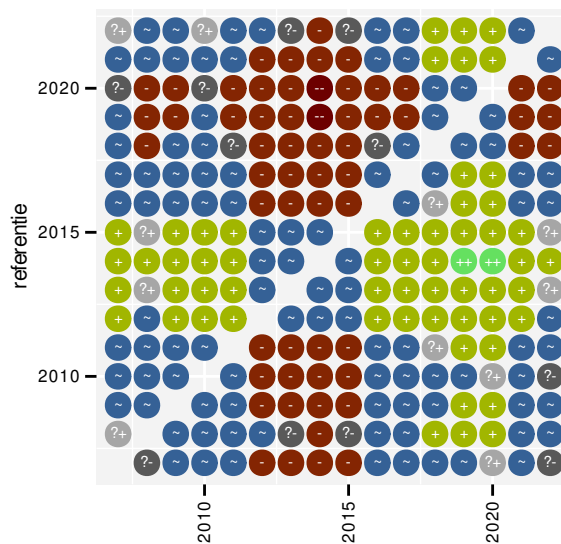
Figuur 17.2: Evolutie van het gemiddelde aantal waargenomen dieren op een meetpunt voor Boerenzwaluw tijdens de referentieperiode. Zie §3.1 voor een verklaring van de intervallen.



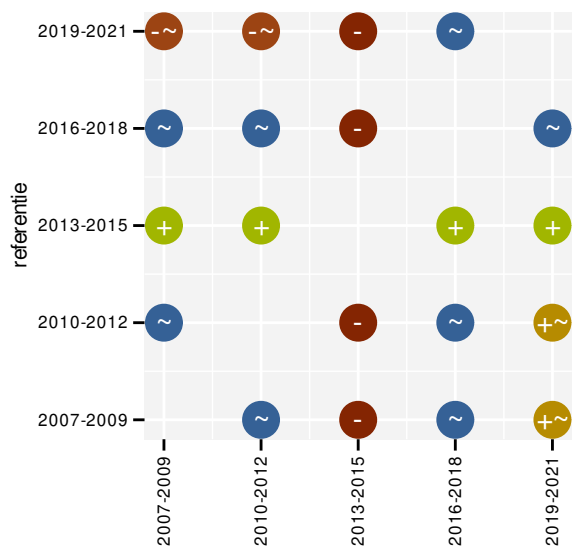
Figuur 17.3: Wijzigingen tussen jaren voor Boerenzwaluw. Zie §3.1 voor een verklaring van de intervallen en §3.2 voor uitleg over de symbolen en referentielijnen.



Figuur 17.4: Wijzigingen per driejarige cyclus voor Boerenzwaluw. Zie §3.1 voor een verklaring van de intervallen en §3.2 voor uitleg over de symbolen en referentielijnen.



Figuur 17.5: Paarsgewijze vergelijking tussen jaren voor Boerenzwaluw. Uitleg van de symbolen in tabel 3.1.



Figuur 17.6: Paarsgewijze vergelijking tussen driejarige cycli voor Boerenzwaluw. Uitleg van de symbolen in tabel 3.1.

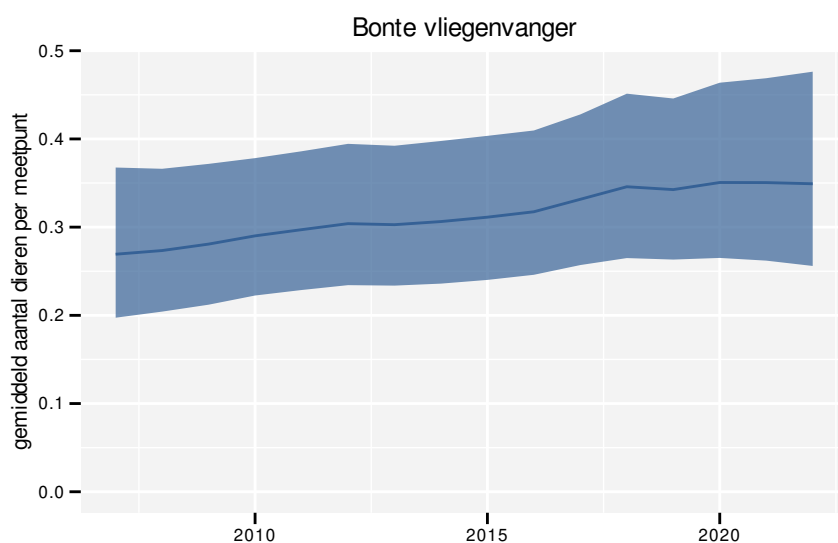
Tabel 17.2: Data-hashes van de analyses in het kader van traceerbaarheid (zie §4.3).

frequentie	model	analyse	status
jaarlijks	niet-lineair	f3dbd4870c745ed8b8c5	0fe805de0060e420f43b
		06b776c2480f3b3a1b39	6b76be7be03cb1cfc651
jaarlijks	lineair	6f9691341e680918d439	05d2aa603ba9dd62fca0
		0abccc677309db0dedea	a8eb0b88c748e697fb52
driejaarlijks	niet-lineair	a0be84ae92c4255644de	522bd4350f038d5c4c88
		2ffeabeb422968a3ef14	d4f90d465ba10a235892
driejaarlijks	lineair	2a3d6fb7d8c9254bc014	71d65a3647410fc742df
		5a0ec8b134f9b3d244d2	783dff5c5a8d51a54169

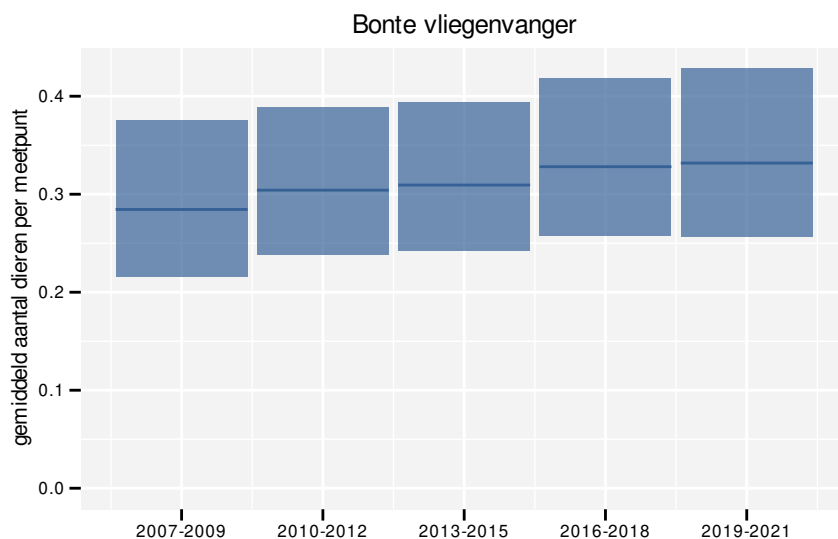
18 BONTE VLIEGENVANGER

Op basis van jaarlijkse gegevens zien we gemiddeld een toename met +3.6% (+0.8%; +6.4%) per jaar of +69% (+13%; +154%) over de volledige looptijd van het meetnet. Deze trend is lineair.

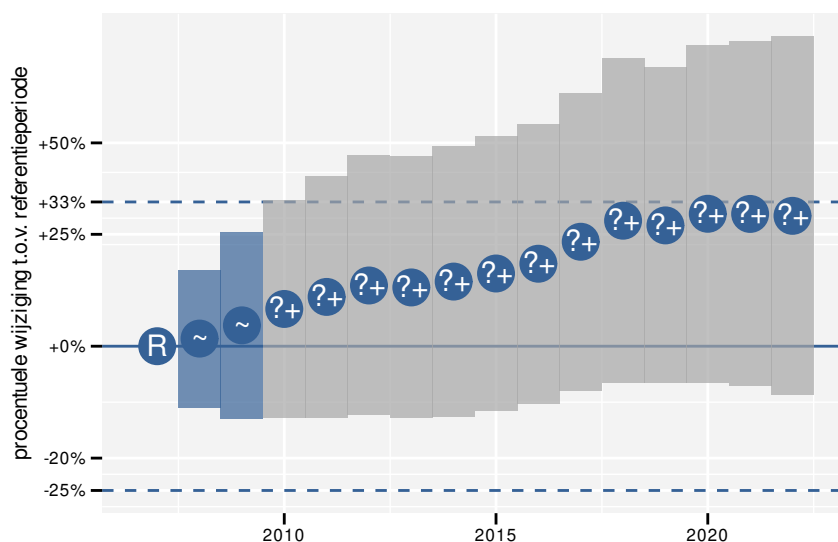
Op basis van driejaarlijkse gegevens zien we gemiddeld een toename met +2.9% (+0.0%; +5.8%) per jaar of +54% (+1%; +135%) over de volledige looptijd van het meetnet. Deze trend is lineair.



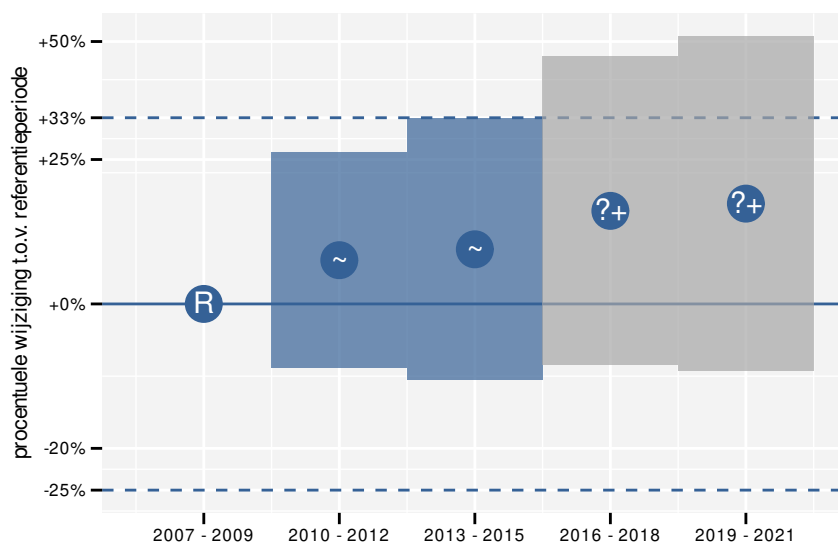
Figuur 18.1: Evolutie van het gemodelleerde gemiddeld aantal waargenomen dieren op een meetpunt voor Bonte vliegenvanger tijdens de referentieperiode. Zie §3.1 voor een verklaring van de intervallen.



Figuur 18.2: Evolutie van het gemodelleerde gemiddeld aantal waargenomen dieren op een meetpunt voor Bonte vliegenvanger tijdens de referentieperiode. Zie §3.1 voor een verklaring van de intervallen.



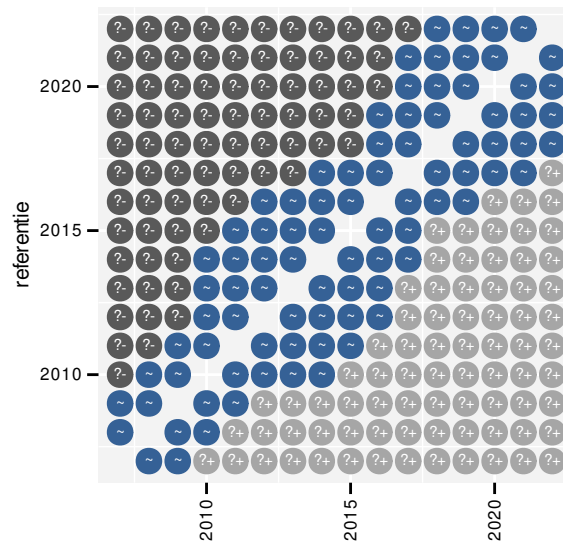
Figuur 18.3: Wijzigingen tussen jaren voor Bonte vliegenvanger. Zie §3.1 voor een verklaring van de intervallen en §3.2 voor uitleg over de symbolen en referentielijnen.



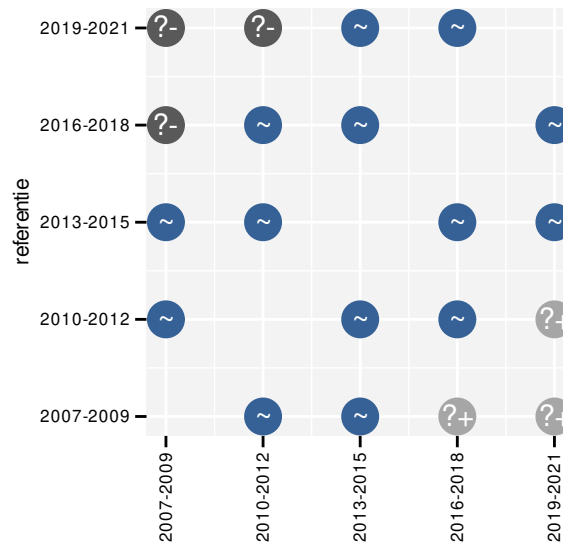
Figuur 18.4: Wijzigingen per driejarige cyclus voor Bonte vliegenvanger. Zie §3.1 voor een verklaring van de intervallen en §3.2 voor uitleg over de symbolen en referentielijnen.

Tabel 18.1: Stratumgewicht, raming van het aantal hokken waarin de soort aanwezig is, aantal relevante hokken voor de analyse, aantal onderzochte hokken in het stratum, totaal aantal hokken van het stratum in Vlaanderen, aantal bezoeken aan een meetpunt en het gemiddeld aandeel relevante punten per hok voor Bonte vliegenvanger (zie §2.5).

stratum	gewicht	aanwezig	relevant	onderzocht	totaal	bezoeken	punten
Bos	60.1%	31.9	19	190	319	427	44.7%
Heide en duin	39.9%	21.2	10	94	199	405	50.0%



Figuur 18.5: Paarsgewijze vergelijking tussen jaren voor Bonte vliegenvanger. Uitleg van de symbolen in tabel 3.1.



Figuur 18.6: Paarsgewijze vergelijking tussen driejarige cycli voor Bonte vliegenvanger. Uitleg van de symbolen in tabel 3.1.

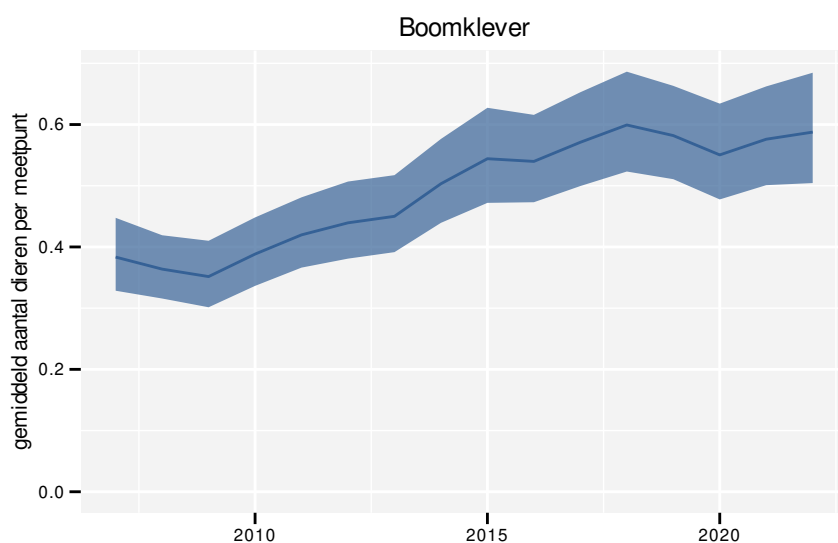
Tabel 18.2: Data-hashes van de analyses in het kader van traceerbaarheid (zie §4.3).

frequentie	model	analyse	status
jaarlijks	niet-lineair	8d6ad92c9a16d6a46a2e	0ad95dd0f9c0eec4c492
		b7a067a6c017aaafff17	3500ddab5ac5f684eecf
jaarlijks	lineair	a9d3d0375d7f8df70cb8	5e0e47f631075cf712d2
		0933059e2e00a1c92fa5	cd4e85e02ce8b64a772a
driejaarlijks	niet-lineair	2f4979fba658b61d30f6	a7c44370a59b209291d1
		51f80e78d32d58228f7d	9f2fc130943ed327aa2e
driejaarlijks	lineair	b10b11a9f6c090890891	7b5401da65404db90510
		6e71031d96b17dd0151f	634e0b9849fdb60c0338

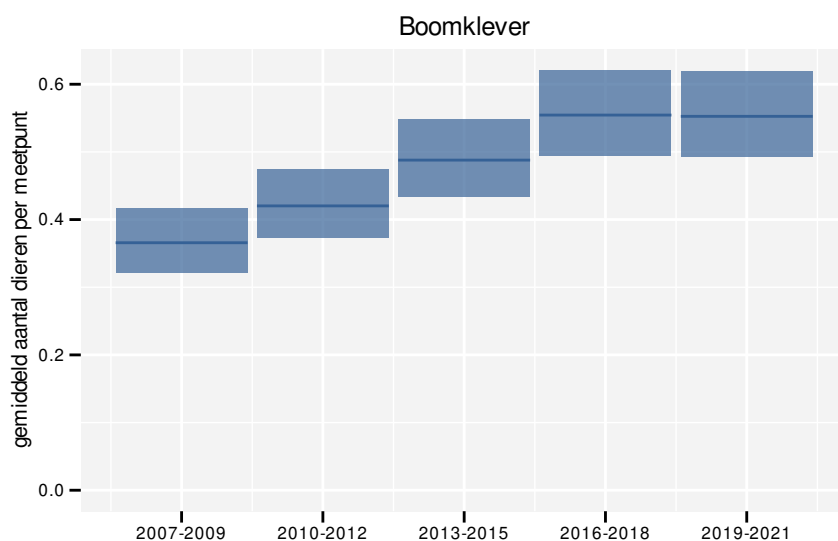
19 BOOMKLEVER

Op basis van jaarlijkse gegevens zien we gemiddeld een sterke toename met +4.2% (+3.0%; +5.4%) per jaar of +85.2% (+56.4%; +119.5%) over de volledige looptijd van het meetnet. Deze trend is niet-lineair.

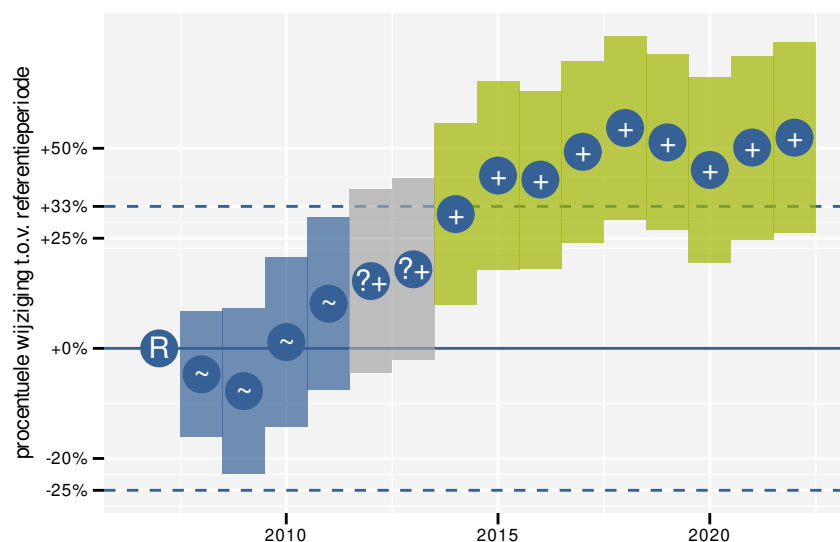
Op basis van driejaarlijkse gegevens zien we gemiddeld een sterke toename met +4.1% (+2.9%; +5.2%) per jaar of +81.7% (+53.3%; +115.2%) over de volledige looptijd van het meetnet. Deze trend is niet-lineair.



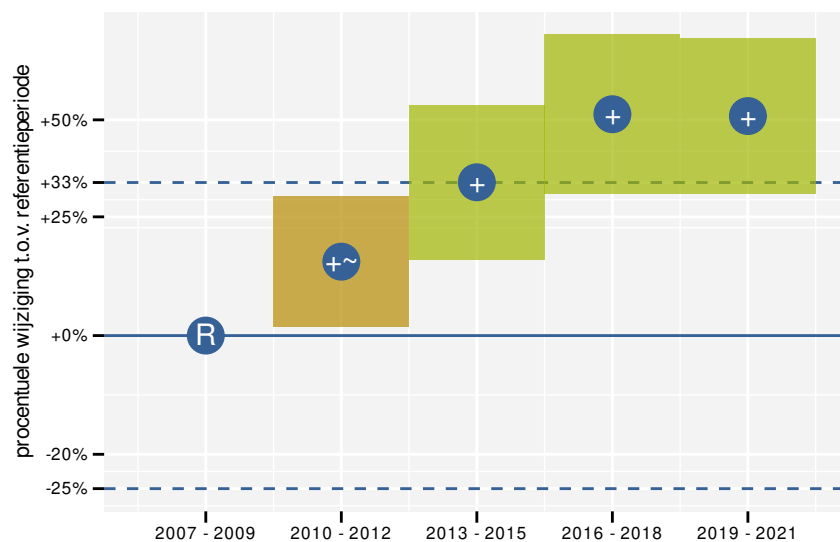
Figuur 19.1: Evolutie van het gemodelleerde gemiddeld aantal waargenomen dieren op een meetpunt voor Boomklever tijdens de referentieperiode. Zie §3.1 voor een verklaring van de intervallen.



Figuur 19.2: Evolutie van het gemodelleerde gemiddeld aantal waargenomen dieren op een meetpunt voor Boomklever tijdens de referentieperiode. Zie §3.1 voor een verklaring van de intervallen.



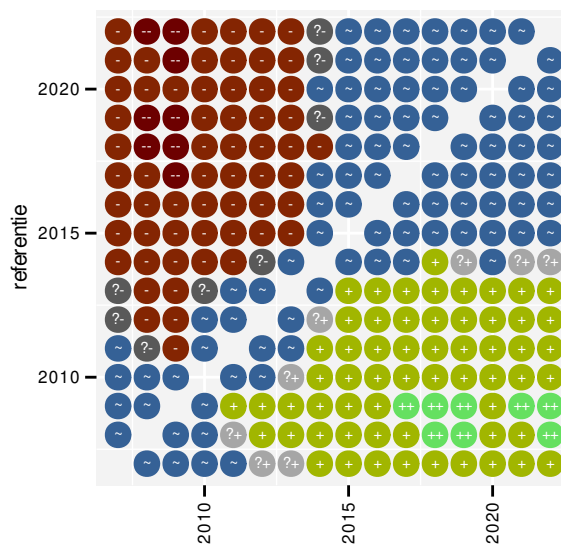
Figuur 19.3: Wijzigingen tussen jaren voor Boomklever. Zie §3.1 voor een verklaring van de intervallen en §3.2 voor uitleg over de symbolen en referentielijnen.



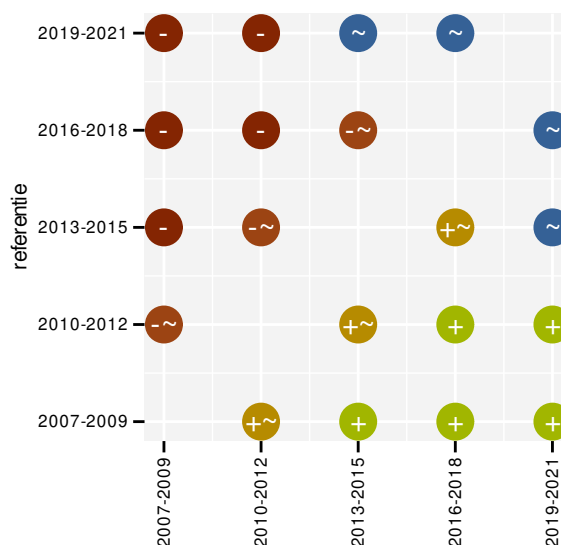
Figuur 19.4: Wijzigingen per driejarige cyclus voor Boomklever. Zie §3.1 voor een verklaring van de intervallen en §3.2 voor uitleg over de symbolen en referentielijnen.

Tabel 19.1: Stratumgewicht, raming van het aantal hokken waarin de soort aanwezig is, aantal relevante hokken voor de analyse, aantal onderzochte hokken in het stratum, totaal aantal hokken van het stratum in Vlaanderen, aantal bezoeken aan een meetpunt en het gemiddeld aandeel relevante punten per hok voor Boomklever (zie §2.5).

stratum	gewicht	aanwezig	relevant	onderzocht	totaal	bezoeken	punten
Landbouw	57.1%	600.4	41	431	6311	1516	48.8%
Bos	20.6%	216.6	129	190	319	7423	84.6%
Urbaan	7.3%	81.3	17	87	416	445	37.3%
Heide en duin	7.0%	74.1	35	94	199	1751	60.5%
Suburbaan	4.8%	50.2	17	68	201	709	63.7%
Moeras en water	3.3%	34.2	20	80	137	839	60.0%



Figuur 19.5: Paarsgewijze vergelijking tussen jaren voor Boomklever. Uitleg van de symbolen in tabel 3.1.



Figuur 19.6: Paarsgewijze vergelijking tussen driejarige cycli voor Boomklever. Uitleg van de symbolen in tabel 3.1.

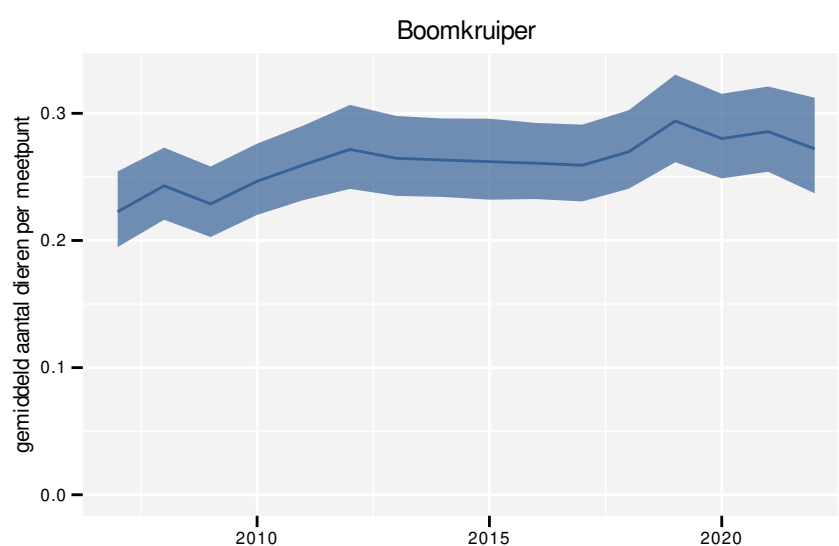
Tabel 19.2: Data-hashes van de analyses in het kader van traceerbaarheid (zie §4.3).

frequentie	model	analyse	status
jaarlijks	niet-lineair	b0fc65c6c081cae8377e 797251b2dc99027fdc17	a71dbfaece71eaaf77c6 01d6a65dbf521774fbec
jaarlijks	lineair	df7b53e5cbd07556a2d4 fb1d8d980db44e984257	cf3aee5c82778e39761d aea0417d72d40ad88474
driejaarlijks	niet-lineair	4a19085ed39289e55171 93c585b9abdf80980196	c78706c1f5050040d65f e08b1b1c6e36529b9d68
driejaarlijks	lineair	359fa66433d363c963d6 1ed4f25f7db6493962e5	ece7c1bdbb69cfea0e84 cb82b79fb7c7cfdfa2a1

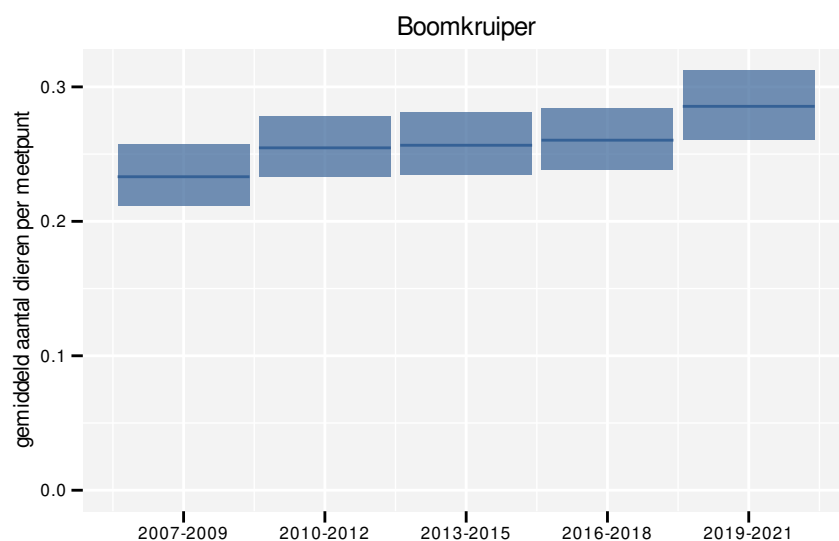
20 BOOMKRUIPER

Op basis van jaarlijkse gegevens zien we gemiddeld een toename met +1.5% (+0.5%; +2.4%) per jaar of +24% (+8%; +43%) over de volledige looptijd van het meetnet. Deze trend is niet-lineair.

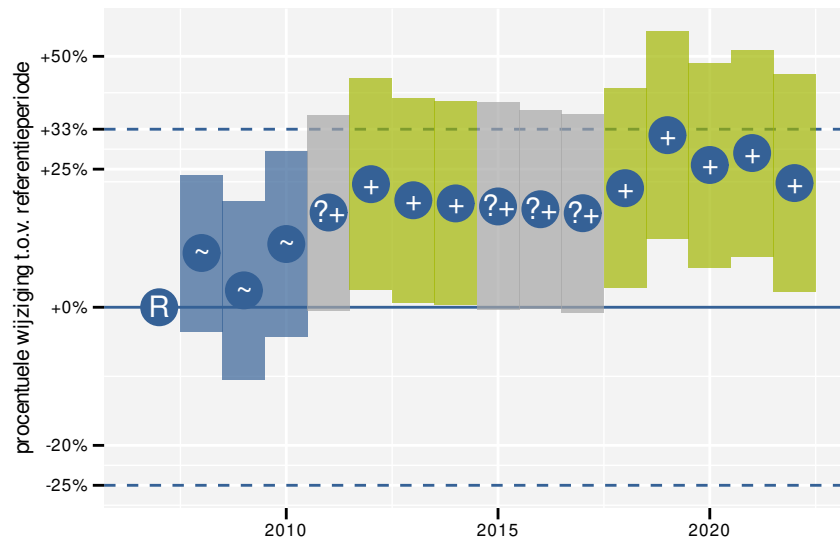
Op basis van driejaarlijkse gegevens zien we gemiddeld een toename met +1.5% (+0.5%; +2.4%) per jaar of +25% (+8%; +43%) over de volledige looptijd van het meetnet. Deze trend is niet-lineair.



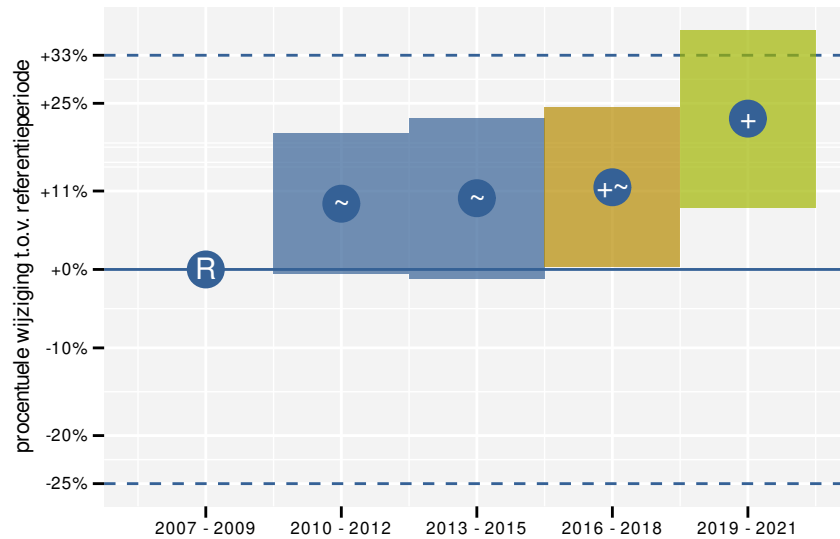
Figuur 20.1: Evolutie van het gemodelleerde gemiddeld aantal waargenomen dieren op een meetpunt voor Boomkruiper tijdens de referentieperiode. Zie §3.1 voor een verklaring van de intervallen.



Figuur 20.2: Evolutie van het gemodelleerde gemiddeld aantal waargenomen dieren op een meetpunt voor Boomkruiper tijdens de referentieperiode. Zie §3.1 voor een verklaring van de intervallen.



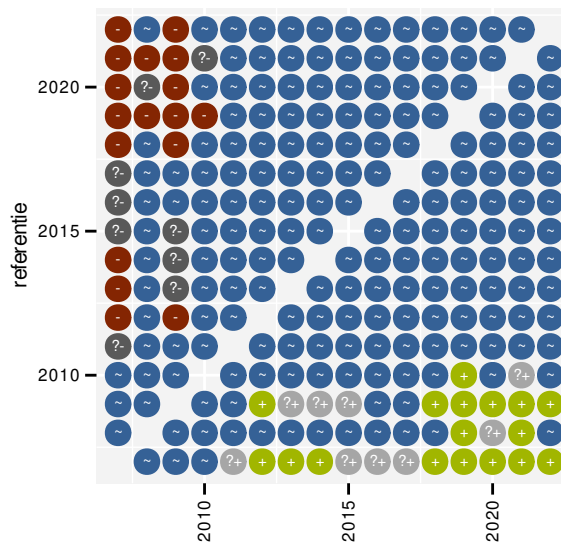
Figuur 20.3: Wijzigingen tussen jaren voor Boomkruiper. Zie §3.1 voor een verklaring van de intervallen en §3.2 voor uitleg over de symbolen en referentielijnen.



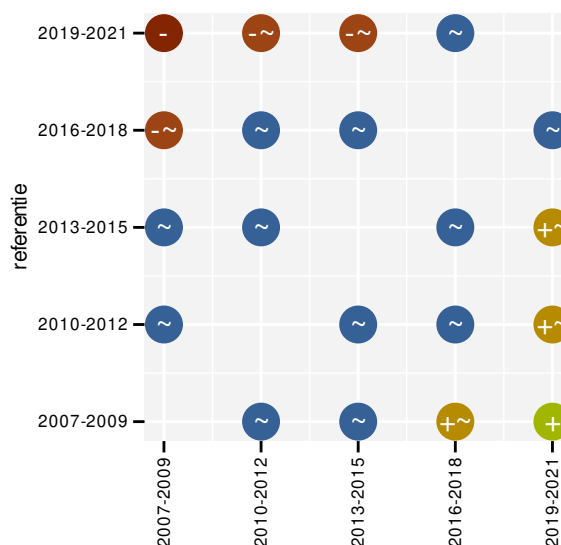
Figuur 20.4: Wijzigingen per driejarige cyclus voor Boomkruiper. Zie §3.1 voor een verklaring van de intervallen en §3.2 voor uitleg over de symbolen en referentielijnen.

Tabel 20.1: Stratumgewicht, raming van het aantal hokken waarin de soort aanwezig is, aantal relevante hokken voor de analyse, aantal onderzochte hokken in het stratum, totaal aantal hokken van het stratum in Vlaanderen, aantal bezoeken aan een meetpunt en het gemiddeld aandeel relevante punten per hok voor Boomkruiper (zie §2.5).

stratum	gewicht	aanwezig	relevant	onderzocht	totaal	bezoeken	punten
Landbouw	70.3%	1303.2	89	431	6311	3672	55.4%
Bos	11.5%	213.2	127	190	319	7784	84.8%
Urbaan	6.7%	124.3	26	87	416	810	41.0%
Heide en duin	5.7%	105.9	50	94	199	2506	64.7%
Suburbaan	3.3%	62.1	21	68	201	841	58.7%
Moeras en water	2.5%	46.2	27	80	137	1469	71.0%



Figuur 20.5: Paarsgewijze vergelijking tussen jaren voor Boomkruiper. Uitleg van de symbolen in tabel 3.1.



Figuur 20.6: Paarsgewijze vergelijking tussen driejarige cycli voor Boomkruiper. Uitleg van de symbolen in tabel 3.1.

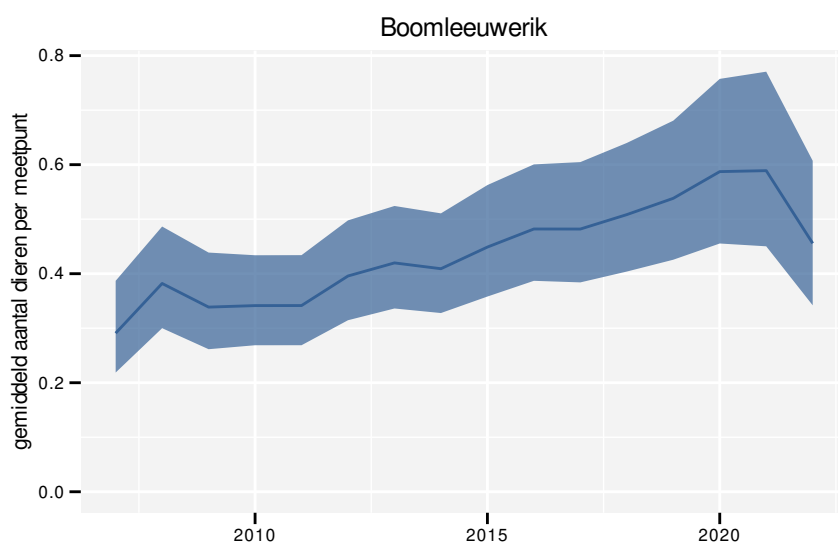
Tabel 20.2: Data-hashes van de analyses in het kader van traceerbaarheid (zie §4.3).

frequentie	model	analyse	status
jaarlijks	niet-lineair	cd13b0120b380a15ff2f 1239ca466dc7d97d8ba9	f3f790f5482b392606d3 fd138a00a947c493063e
jaarlijks	lineair	a80fe8334a19ef1f371e b2fba3a9da2c2e22767b	3c7112b18b113ea6f8ce 1f2b255987ec93a2eee4
driejaarlijks	niet-lineair	b33e7cd85322fc00fe72 43fb7ec7f6d973fa7201	dc7bdc726c48b9c52f79 34418642993efc643257
driejaarlijks	lineair	5e2b002a7c07b33d5406 13266ac2db8e1fb1e73f	aced7762b8bf926f3aea 94261b35c91996e91abd

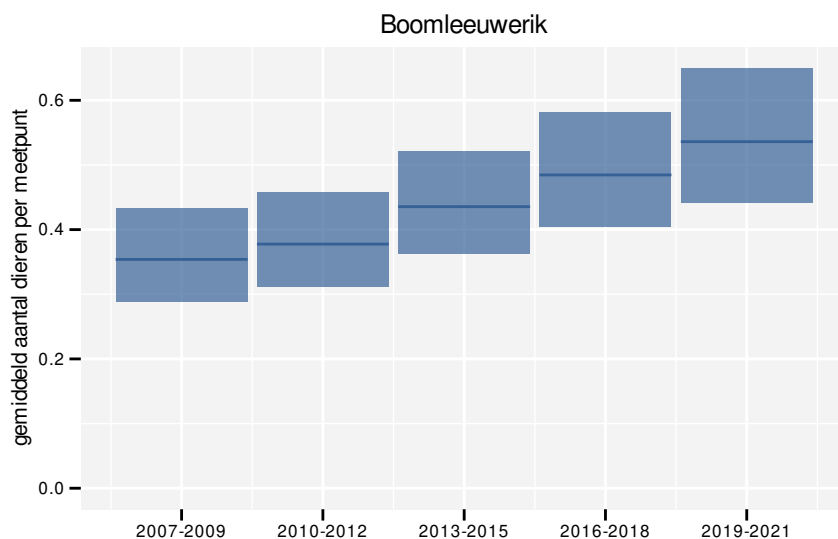
21 BOOMLEEUWERIK

Op basis van jaarlijkse gegevens zien we gemiddeld een toename met +5.2% (+1.3%; +9.2%) per jaar of +110% (+20%; +280%) over de volledige looptijd van het meetnet. Deze trend is niet-lineair.

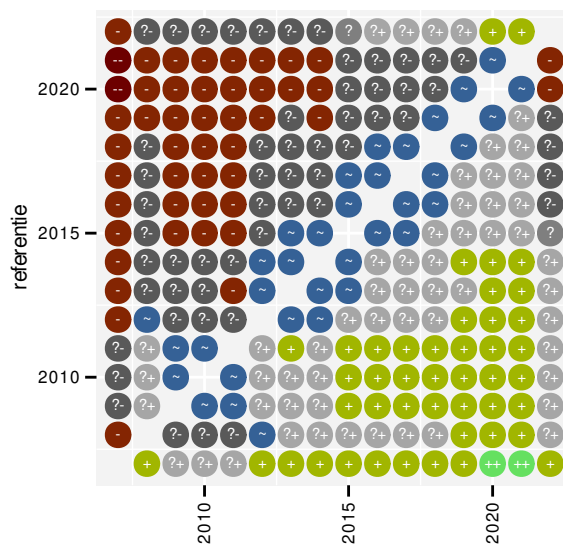
Op basis van driejaarlijkse gegevens zien we gemiddeld een toename met +4.9% (+1.2%; +8.8%) per jaar of +110% (+20%; +260%) over de volledige looptijd van het meetnet. Deze trend is lineair.



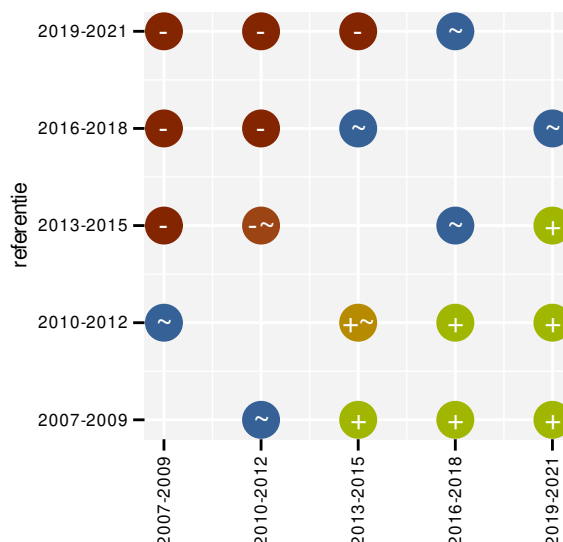
Figuur 21.1: Evolutie van het gemodelleerde gemiddeld aantal waargenomen dieren op een meetpunt voor Boomleeuwerik tijdens de referentieperiode. Zie §3.1 voor een verklaring van de intervallen.



Figuur 21.2: Evolutie van het gemodelleerde gemiddeld aantal waargenomen dieren op een meetpunt voor Boomleeuwerik tijdens de referentieperiode. Zie §3.1 voor een verklaring van de intervallen.



Figuur 21.5: Paarsgewijze vergelijking tussen jaren voor Boomleeuwerik. Uitleg van de symbolen in tabel 3.1.



Figuur 21.6: Paarsgewijze vergelijking tussen driejarige cycli voor Boomleeuwerik. Uitleg van de symbolen in tabel 3.1.

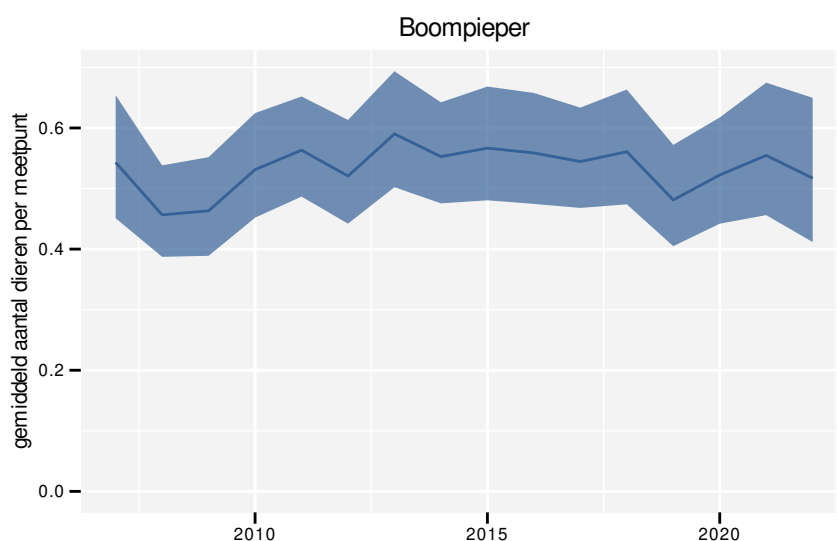
Tabel 21.2: Data-hashes van de analyses in het kader van traceerbaarheid (zie §4.3).

frequentie	model	analyse	status
jaarlijks	niet-lineair	Oda0594fcd2821725224 30f7dbe1b18ac76011bf	4587ce640eda7399d9a1 75aacba22045ab6356cb
jaarlijks	lineair	5f292202ba0b680af6fb b8d1a8c854f062e1c6cb	16bd22106b06cb46b2d5 311078dd4ba4e9e3c54a
driejaarlijks	niet-lineair	e9578952686f0fddef67 151d76803477ccb63c83	7384ba805b7d9bc2f750 b293333b1f2db15ed197
driejaarlijks	lineair	c5d6295a2a58c01374bb 0963b2616a15f4282cb1	6a370ba34eab4445cfaf 3fb0c39211d87646d428

22 BOOMPIEPER

Op basis van jaarlijkse gegevens zien we gemiddeld een stabiele toestand. De trend blijft beperkt tot +0.13% (-1.48%; +1.76%) per jaar of +2% (-20%; +30%) over de volledige looptijd van het meetnet. Deze trend is niet-lineair.

Op basis van driejaarlijkse gegevens zien we gemiddeld een stabiele toestand. De trend blijft beperkt tot +0.16% (-1.46%; +1.80%) per jaar of +2% (-20%; +31%) over de volledige looptijd van het meetnet. Deze trend is lineair.



Figuur 22.1: Evolutie van het gemodelleerde gemiddeld aantal waargenomen dieren op een meetpunt voor Boompieper tijdens de referentieperiode. Zie §3.1 voor een verklaring van de intervallen.

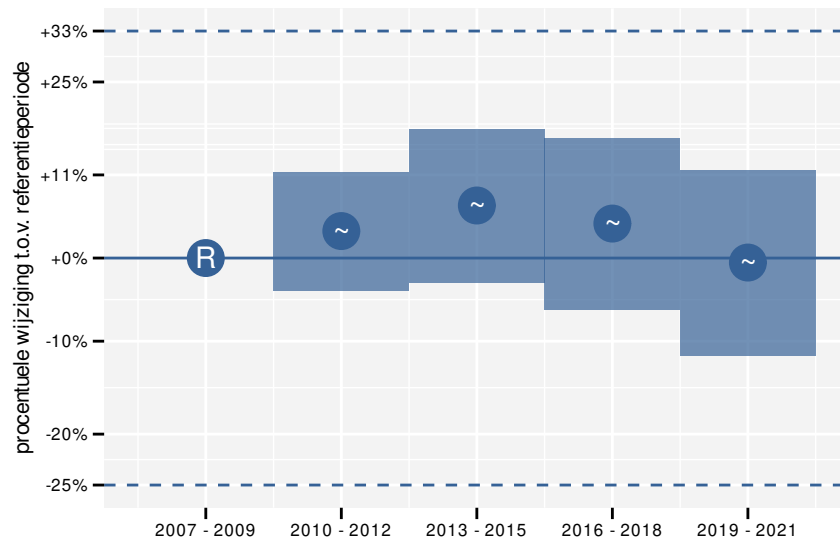
Tabel 22.1: Stratumgewicht, raming van het aantal hokken waarin de soort aanwezig is, aantal relevante hokken voor de analyse, aantal onderzochte hokken in het stratum, totaal aantal hokken van het stratum in Vlaanderen, aantal bezoeken aan een meetpunt en het gemiddeld aandeel relevante punten per hok voor Boompieper (zie §2.5).

stratum	gewicht	aanwezig	relevant	onderzocht	totaal	bezoeken	punten
Landbouw	36.3%	146.4	10	431	6311	431	51.7%
Heide en duin	32.7%	118.6	56	94	199	3383	81.5%
Bos	27.7%	100.7	60	190	319	3028	63.6%
Moeras en water	3.3%	12.0	7	80	137	339	54.8%

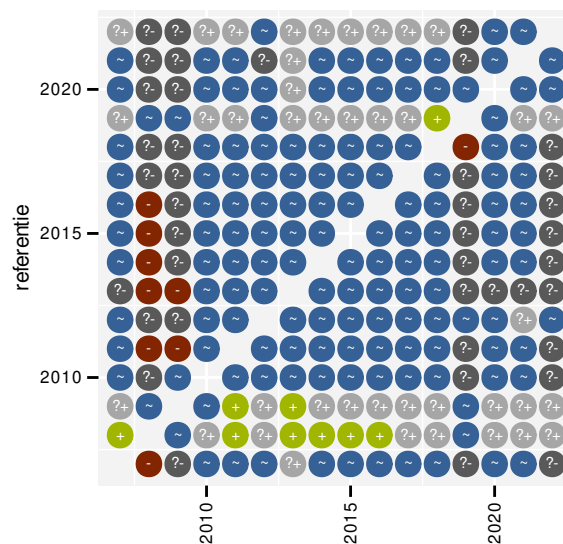
Tabel 22.2: Data-hashes van de analyses in het kader van traceerbaarheid (zie §4.3).

frequentie	model	analyse	status
jaarlijks	niet-lineair	ed3c92f7b991d4dfb888 b95bdf460a2632ba8ec2	ea9d74102797431e6516 9f10cce7d9ae2067da5b

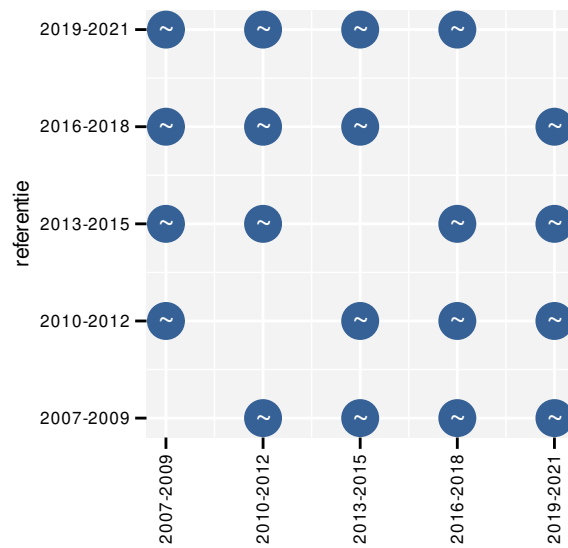
frequentie	model	analyse	status
jaarlijks	lineair	d7fd857c08432be63d78 19917f9de330ddf62664	ea6e7d6685c77190d0d7 6e136df825c857645754
driejaarlijks	niet-lineair	f08f3a7dad63d5797df 20b098ffe1f9ec80ae80	fa9e3511034018019f5c f6ea80d7a0d28ebce960
driejaarlijks	lineair	34f551998379660178f3 be66e0f05bc8eaf1a62a	1a20517c9eb8e2144e83 8f547b3e000d0ffe137f



Figuur 22.4: Wijzigingen per driejarige cyclus voor Boompieper. Zie §3.1 voor een verklaring van de intervallen en §3.2 voor uitleg over de symbolen en referentielijnen.



Figuur 22.5: Paarsgewijze vergelijking tussen jaren voor Boompieper. Uitleg van de symbolen in tabel 3.1.

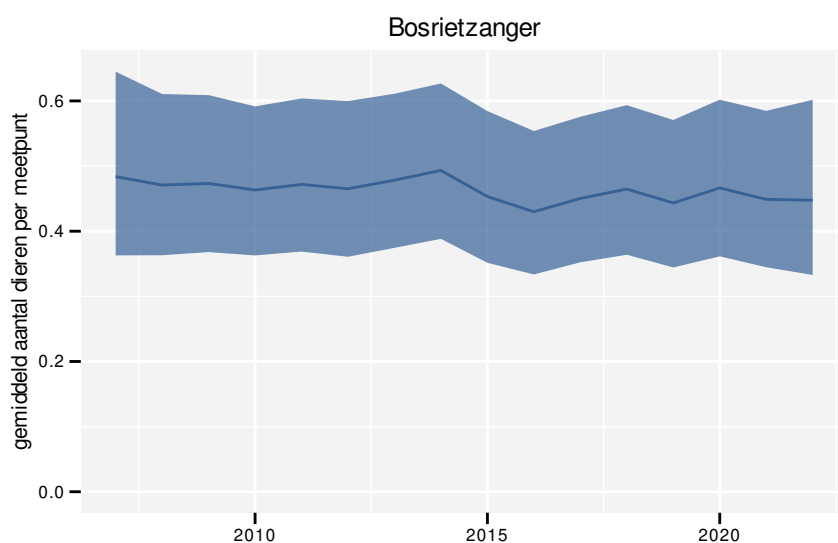


Figuur 22.6: Paarsgewijze vergelijking tussen driejarige cycli voor Boompieper. Uitleg van de symbolen in tabel 3.1.

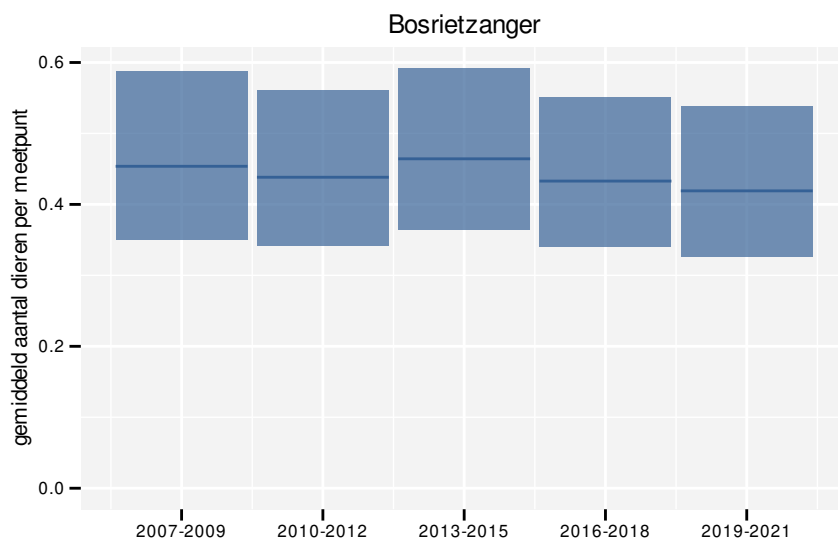
23 BOSRIETZANGER

Op basis van jaarlijkse gegevens zien we gemiddeld een mogelijke afname met -0.7% (-3.2% ; $+1.9\%$) per jaar of -10% (-38% ; $+32\%$) over de volledige looptijd van het meetnet. Deze trend is niet-lineair.

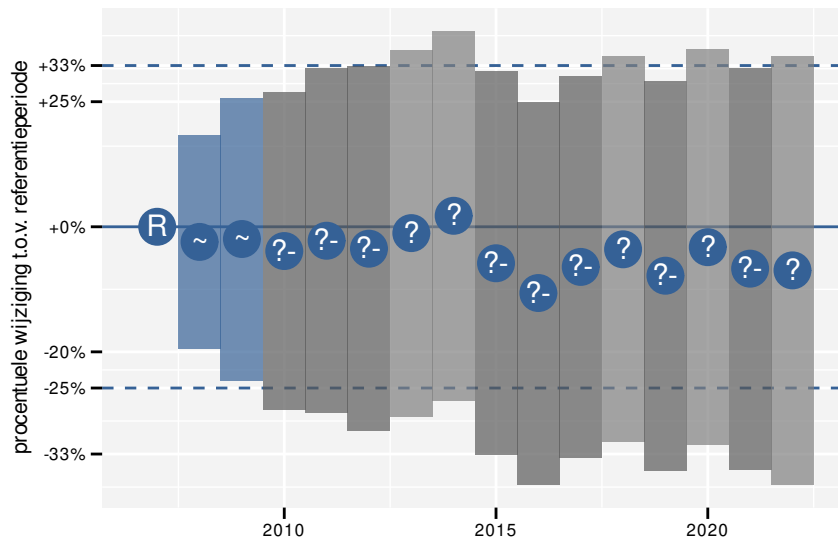
Op basis van driejaarlijkse gegevens zien we gemiddeld een mogelijke afname met -1.0% (-3.5% ; $+1.6\%$) per jaar of -14% (-42% ; $+26\%$) over de volledige looptijd van het meetnet. Deze trend is niet-lineair.



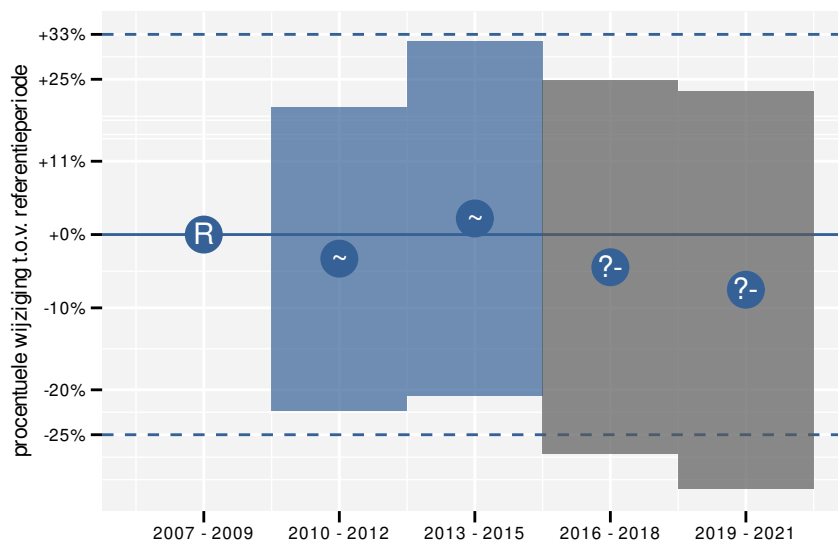
Figuur 23.1: Evolutie van het gemodelleerde gemiddeld aantal waargenomen dieren op een meetpunt voor Bosrietzanger tijdens de referentieperiode. Zie §3.1 voor een verklaring van de intervallen.



Figuur 23.2: Evolutie van het gemodelleerde gemiddeld aantal waargenomen dieren op een meetpunt voor Bosrietzanger tijdens de referentieperiode. Zie §3.1 voor een verklaring van de intervallen.



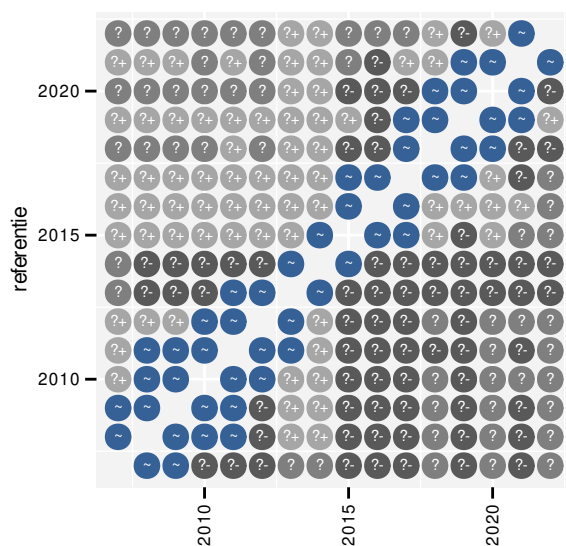
Figuur 23.3: Wijzigingen tussen jaren voor Bosrietzanger. Zie §3.1 voor een verklaring van de intervallen en §3.2 voor uitleg over de symbolen en referentielijnen.



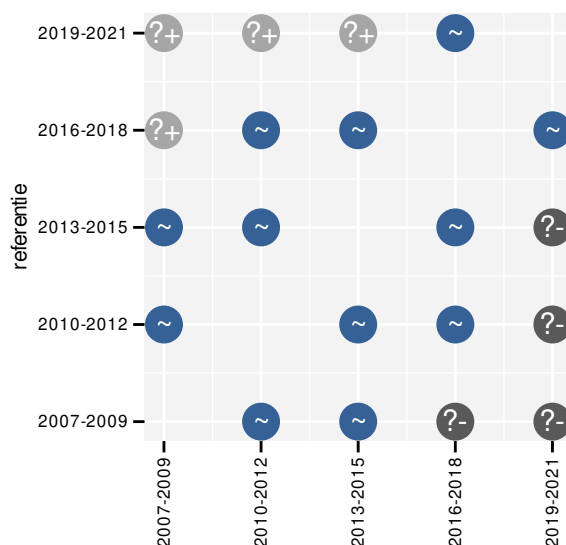
Figuur 23.4: Wijzigingen per driejarige cyclus voor Bosrietzanger. Zie §3.1 voor een verklaring van de intervallen en §3.2 voor uitleg over de symbolen en referentielijnen.

Tabel 23.1: Stratumgewicht, raming van het aantal hokken waarin de soort aanwezig is, aantal relevante hokken voor de analyse, aantal onderzochte hokken in het stratum, totaal aantal hokken van het stratum in Vlaanderen, aantal bezoeken aan een meetpunt en het gemiddeld aandeel relevante punten per hok voor Bosrietzanger (zie §2.5).

stratum	gewicht	aanwezig	relevant	onderzocht	totaal	bezoeken	punten
Landbouw	88.2%	497.9	34	431	6311	777	41.7%
Moeras en water	7.0%	39.4	23	80	137	670	56.5%
Suburbaan	3.7%	20.7	7	68	201	149	35.7%
Heide en duin	1.1%	8.5	4	94	199	85	37.5%



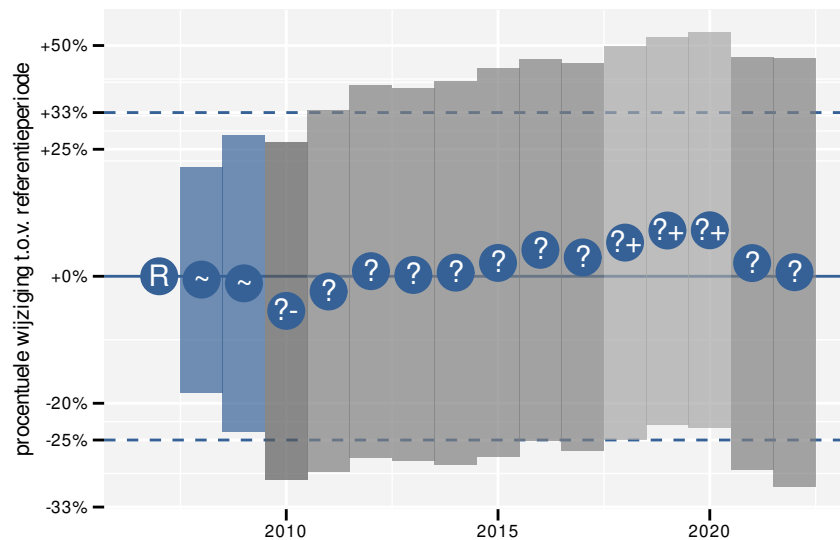
Figuur 23.5: Paarsgewijze vergelijking tussen jaren voor Bosrietzanger. Uitleg van de symbolen in tabel 3.1.



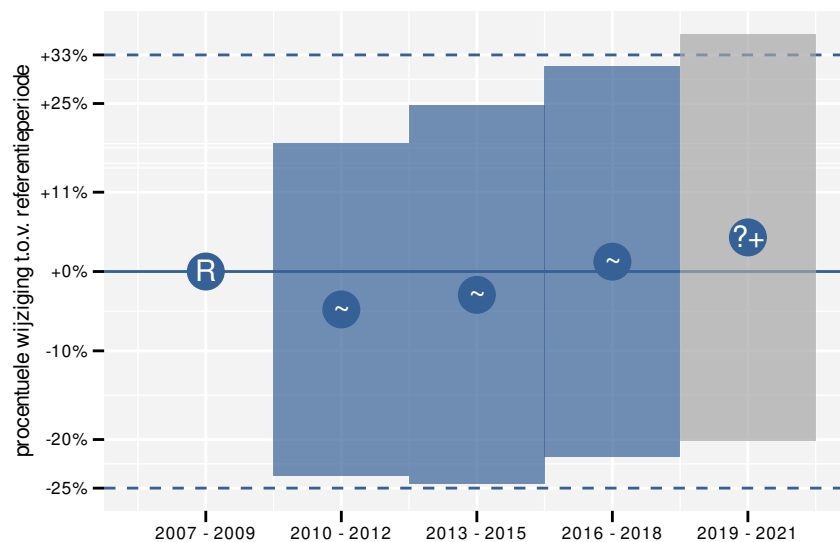
Figuur 23.6: Paarsgewijze vergelijking tussen driejarige cycli voor Bosrietzanger. Uitleg van de symbolen in tabel 3.1.

Tabel 23.2: Data-hashes van de analyses in het kader van traceerbaarheid (zie §4.3).

frequentie	model	analyse	status
jaarlijks	niet-lineair	d605c26e132890a6fa51 d47e70efa86c024babb6	a574cef4c069104ceb0a ca22d15fbcf8b6d2932f
jaarlijks	lineair	49595d88fd5b0b8b9cda e872a7a347af6078a8c7	6cde0795a72cbefbf1f3 3cf744c45754f80c47bc
driejaarlijks	niet-lineair	43ba90e7cb66ca2587da 42292197ad2658b5282a	783af5bba2b273dc5f6d c980dbb5d237f949b807
driejaarlijks	lineair	4d564c4dcbb52a8d46ba 6c9019303b957b9bd84e	1f976649109229550c1b 0176b31a96ee04940a87



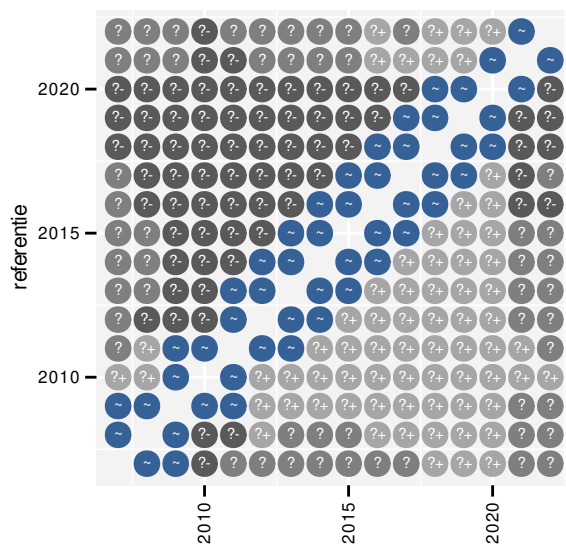
Figuur 24.3: Wijzigingen tussen jaren voor Bruine kiekendief. Zie §3.1 voor een verklaring van de intervallen en §3.2 voor uitleg over de symbolen en referentielijnen.



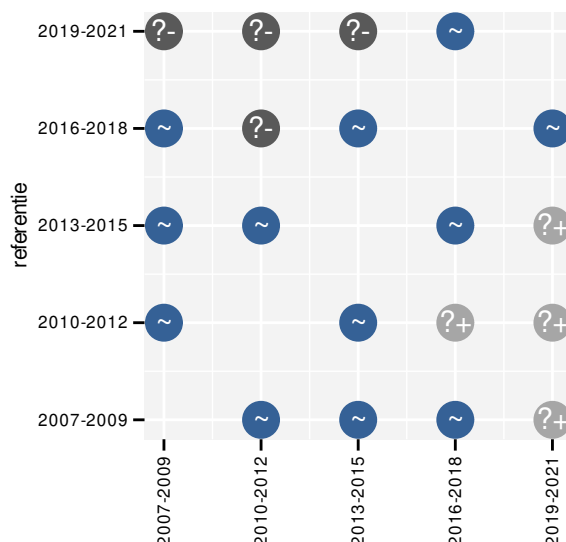
Figuur 24.4: Wijzigingen per driejarige cyclus voor Bruine kiekendief. Zie §3.1 voor een verklaring van de intervallen en §3.2 voor uitleg over de symbolen en referentielijnen.

Tabel 24.1: Stratumgewicht, raming van het aantal hokken waarin de soort aanwezig is, aantal relevante hokken voor de analyse, aantal onderzochte hokken in het stratum, totaal aantal hokken van het stratum in Vlaanderen, aantal bezoeken aan een meetpunt en het gemiddeld aandeel relevante punten per hok voor Bruine kiekendief (zie §2.5).

stratum	gewicht	aanwezig	relevant	onderzocht	totaal	bezoeken	punten
Landbouw	97.4%	380.7	26	431	6311	1099	48.1%
Moeras en water	2.6%	12.0	7	80	137	261	57.1%



Figuur 24.5: Paarsgewijze vergelijking tussen jaren voor Bruine kiekendief. Uitleg van de symbolen in tabel 3.1.



Figuur 24.6: Paarsgewijze vergelijking tussen driejarige cycli voor Bruine kiekendief. Uitleg van de symbolen in tabel 3.1.

Tabel 24.2: Data-hashes van de analyses in het kader van traceerbaarheid (zie §4.3).

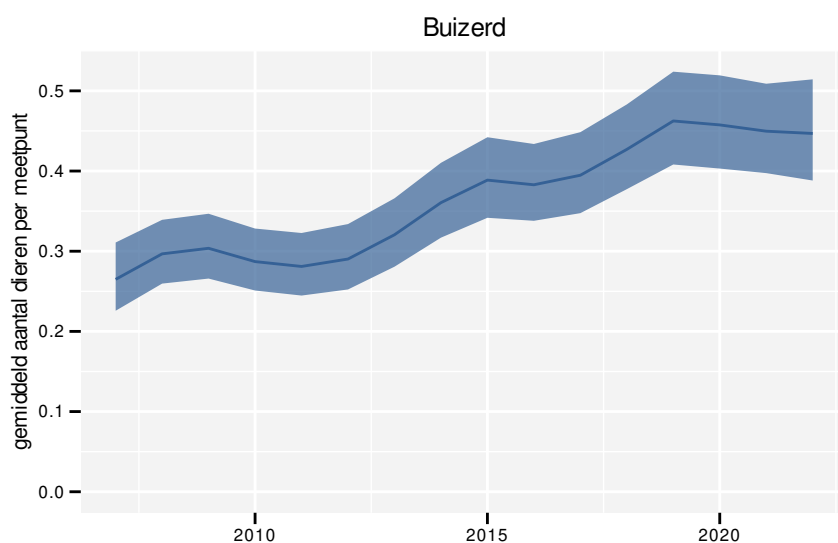
frequentie	model	analyse	status
jaarlijks	niet-lineair	fba4ff00a600eaa6939a 12a14b2dedb9e8655282	41af132f0e75c75565a9 e2b28bcc53c0a432ac28
jaarlijks	lineair	44cc98f612690f87dcfb 506cdf7014d51ff21d3e	2b5e46bddc21b0555f05 e2b666d0a74d8735bc74
driejaarlijks	niet-lineair	ea009133dedfab043690 e1b6547fe06067ca375e	657c4c32ff990f39e598 b1a3730e0604b069ed77
driejaarlijks	lineair	fb4e7a94e003a419e28c c2d5d02105a6d3d09cd9	2ac0bbb479630931796a 0fb0ca5cbdab92b95a13



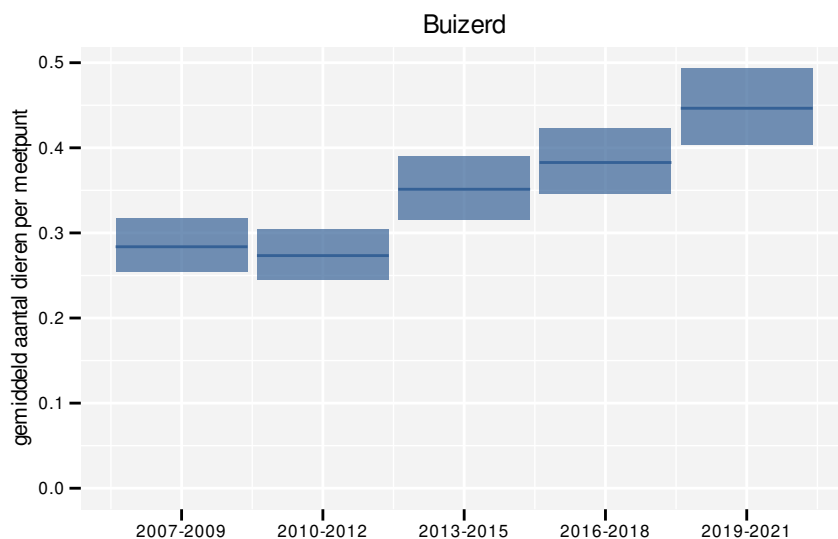
25 BUIZERD

Op basis van jaarlijkse gegevens zien we gemiddeld een sterke toename met +4.1% (+3.2%; +5.1%) per jaar of +83.6% (+61.1%; +109.5%) over de volledige looptijd van het meetnet. Deze trend is niet-lineair.

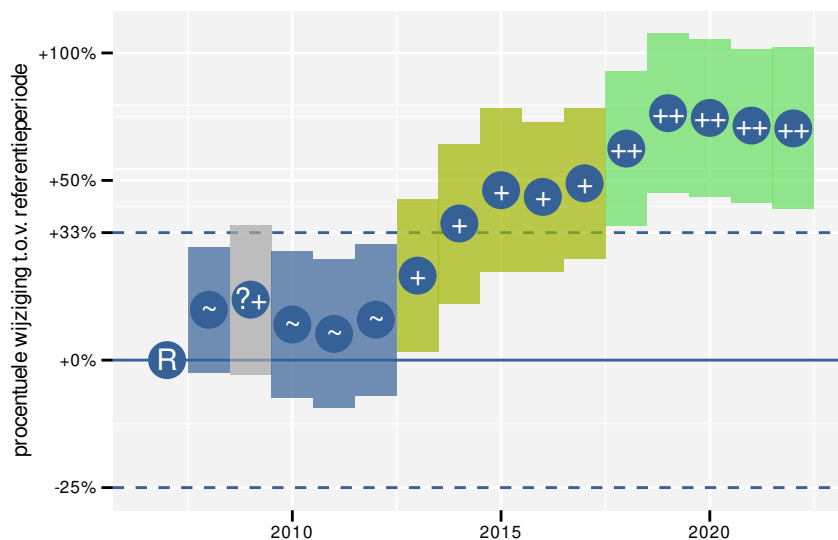
Op basis van driejaarlijkse gegevens zien we gemiddeld een sterke toename met +4.0% (+3.1%; +4.9%) per jaar of +80.2% (+58.0%; +105.4%) over de volledige looptijd van het meetnet. Deze trend is niet-lineair.



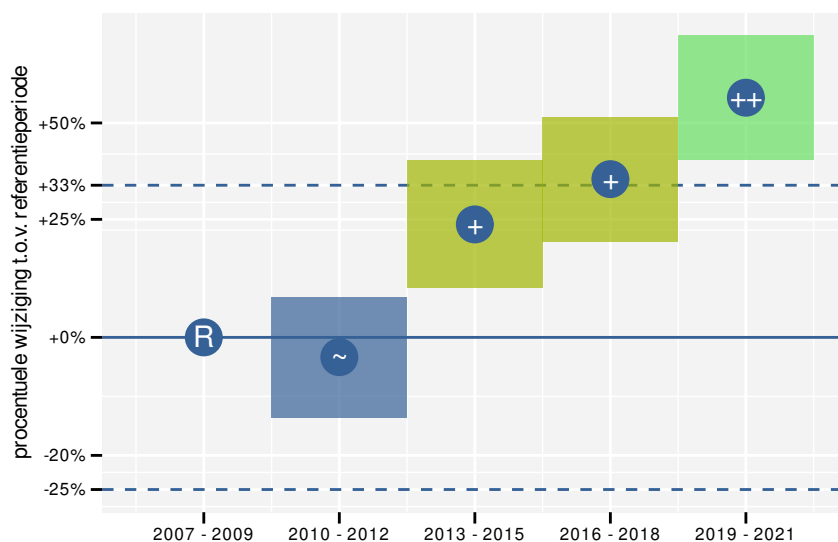
Figuur 25.1: Evolutie van het gemodelleerde gemiddeld aantal waargenomen dieren op een meetpunt voor Buizerd tijdens de referentieperiode. Zie §3.1 voor een verklaring van de intervallen.



Figuur 25.2: Evolutie van het gemodelleerde gemiddeld aantal waargenomen dieren op een meetpunt voor Buizerd tijdens de referentieperiode. Zie §3.1 voor een verklaring van de intervallen.



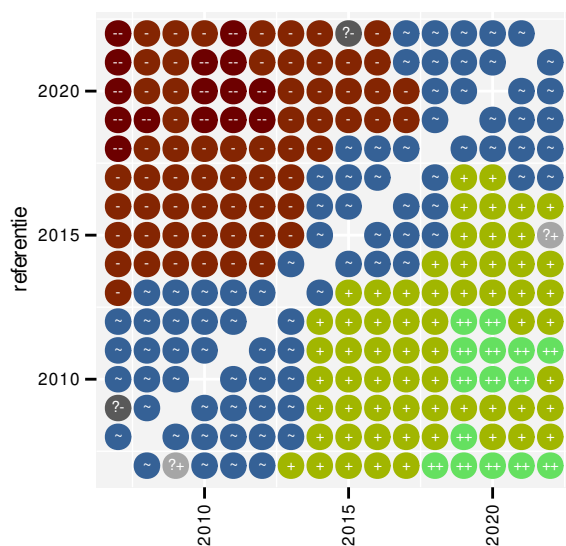
Figuur 25.3: Wijzigingen tussen jaren voor Buizerd. Zie §3.1 voor een verklaring van de intervallen en §3.2 voor uitleg over de symbolen en referentielijnen.



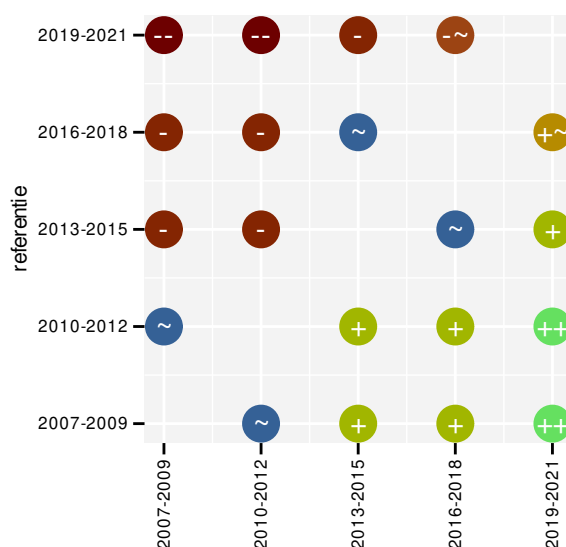
Figuur 25.4: Wijzigingen per driejarige cyclus voor Buizerd. Zie §3.1 voor een verklaring van de intervallen en §3.2 voor uitleg over de symbolen en referentielijnen.

Tabel 25.1: Stratumgewicht, raming van het aantal hokken waarin de soort aanwezig is, aantal relevante hokken voor de analyse, aantal onderzochte hokken in het stratum, totaal aantal hokken van het stratum in Vlaanderen, aantal bezoeken aan een meetpunt en het gemiddeld aandeel relevante punten per hok voor Buizerd (zie §2.5).

stratum	gewicht	aanwezig	relevant	onderzocht	totaal	bezoeken	punten
Landbouw	88.8%	2840.7	194	431	6311	8913	59.0%
Bos	6.0%	191.4	114	190	319	5523	63.9%
Heide en duin	2.8%	91.0	43	94	199	1883	53.9%
Moeras en water	1.6%	51.4	30	80	137	1257	56.1%
Suburbaan	0.7%	26.6	9	68	201	221	44.4%



Figuur 25.5: Paarsgewijze vergelijking tussen jaren voor Buizerd. Uitleg van de symbolen in tabel 3.1.



Figuur 25.6: Paarsgewijze vergelijking tussen driejarige cycli voor Buizerd. Uitleg van de symbolen in tabel 3.1.

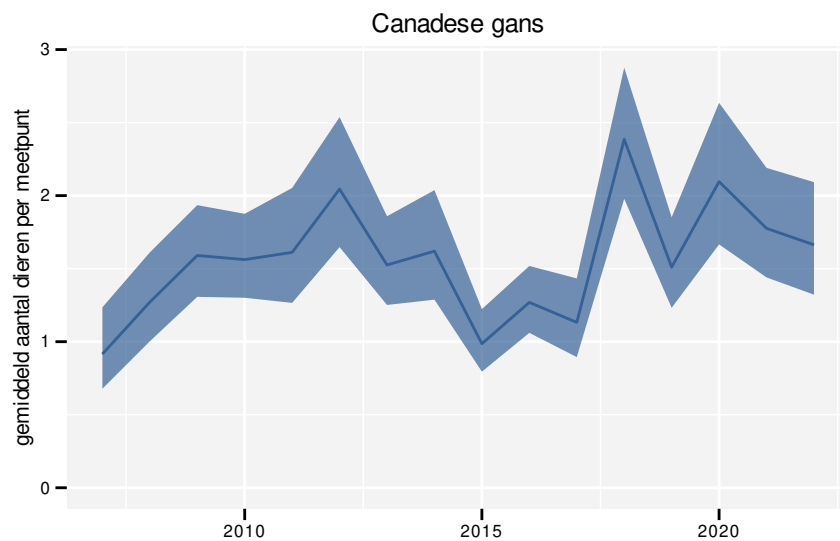
Tabel 25.2: Data-hashes van de analyses in het kader van traceerbaarheid (zie §4.3).

frequentie	model	analyse	status
jaarlijks	niet-lineair	62b770ddc93dbb37cc7f bb0d6f18164007bb361f	daf9d92fc9b964bcfe03 0c2dfc35354fe8631d5e
jaarlijks	lineair	830d575d6221700082a1 ba4ab6a8628dd10f8ffc	cb138f339fbbc9317870 4edbd457b17721d0098a
driejaarlijks	niet-lineair	0f8dd24c0625e0c3a2c0 8cf9d8066052e935ac91	3cb5e76ea38e42633e1f e53ba291b6027c7ada60
driejaarlijks	lineair	ec6a2e8efc2ff3e4549c f4a02dd7fffc8bff5d5c	cecef723dbed1b633523 6604cb04d6b0409d0480

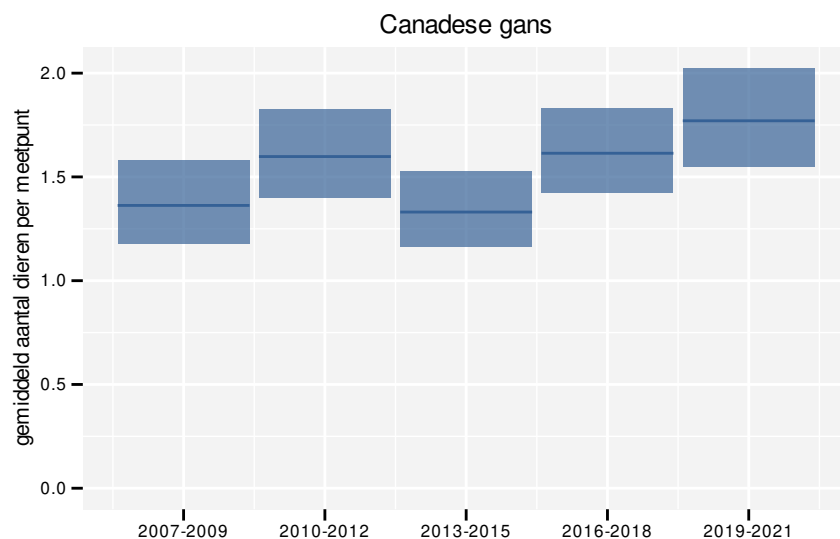
26 CANADESE GANS

Op basis van jaarlijkse gegevens zien we gemiddeld een toename met +2.3% (+1.1%; +3.4%) per jaar of +40% (+18%; +66%) over de volledige looptijd van het meetnet. Deze trend is lineair.

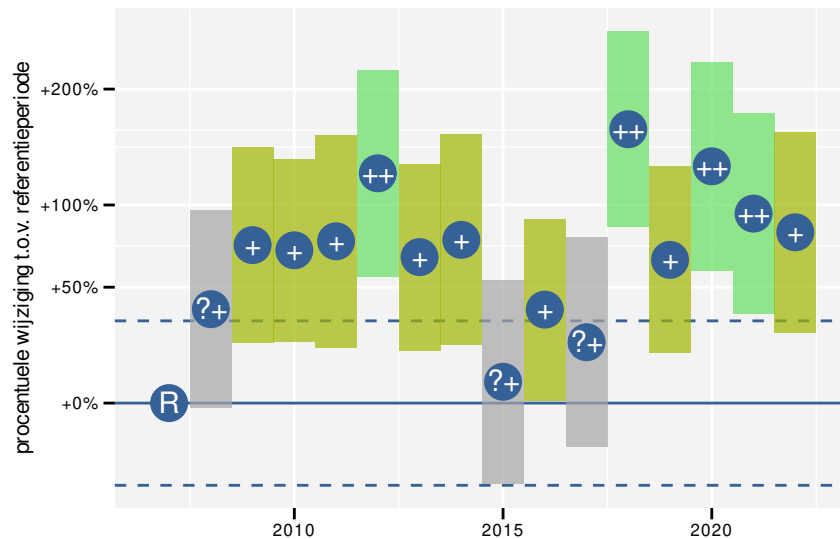
Op basis van driejaarlijkse gegevens zien we gemiddeld een toename met +2.0% (+0.9%; +3.2%) per jaar of +35% (+14%; +60%) over de volledige looptijd van het meetnet. Deze trend is lineair.



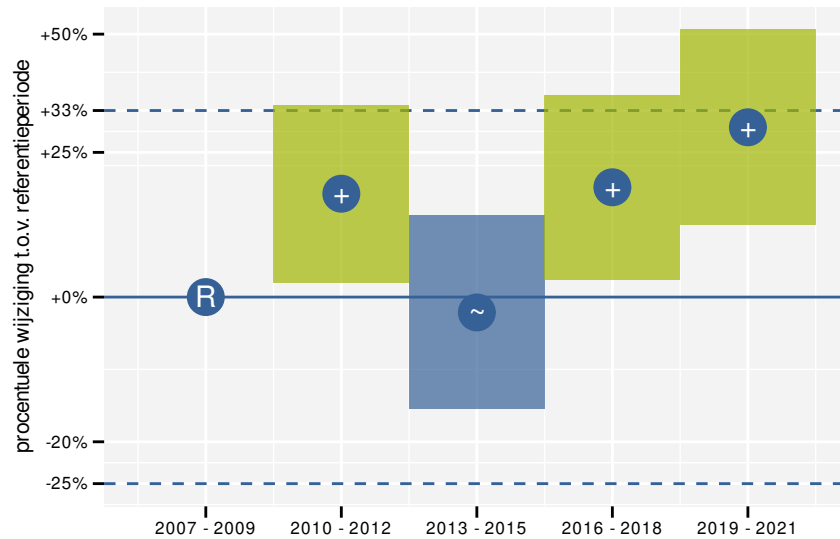
Figuur 26.1: Evolutie van het gemodelleerde gemiddeld aantal waargenomen dieren op een meetpunt voor Canadese gans tijdens de referentieperiode. Zie §3.1 voor een verklaring van de intervallen.



Figuur 26.2: Evolutie van het gemodelleerde gemiddeld aantal waargenomen dieren op een meetpunt voor Canadese gans tijdens de referentieperiode. Zie §3.1 voor een verklaring van de intervallen.



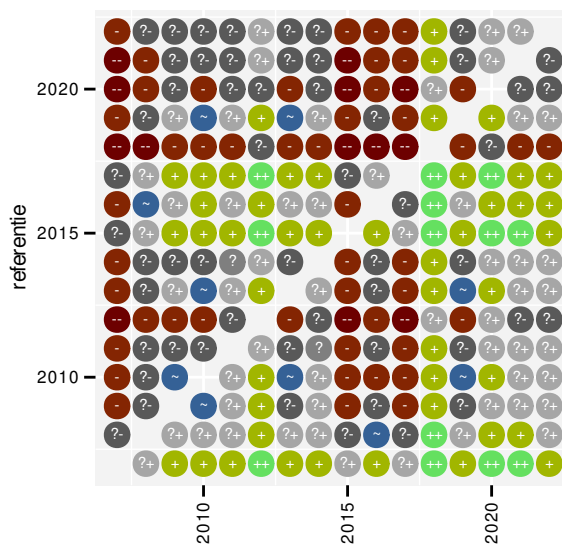
Figuur 26.3: Wijzigingen tussen jaren voor Canadese gans. Zie §3.1 voor een verklaring van de intervallen en §3.2 voor uitleg over de symbolen en referentielijnen.



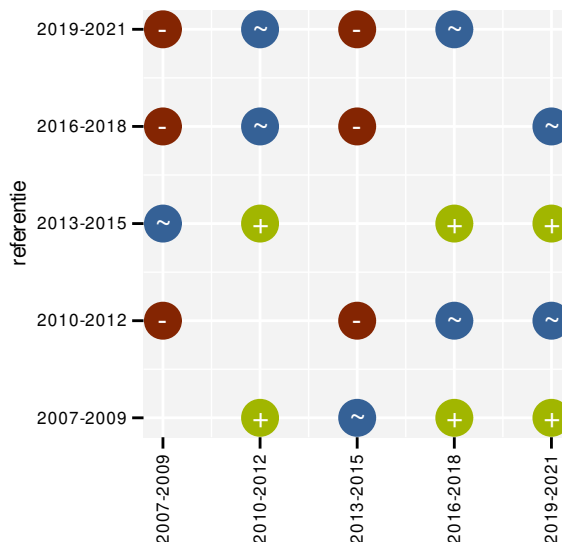
Figuur 26.4: Wijzigingen per driejarige cyclus voor Canadese gans. Zie §3.1 voor een verklaring van de intervallen en §3.2 voor uitleg over de symbolen en referentielijnen.

Tabel 26.1: Stratumgewicht, raming van het aantal hokken waarin de soort aanwezig is, aantal relevante hokken voor de analyse, aantal onderzochte hokken in het stratum, totaal aantal hokken van het stratum in Vlaanderen, aantal bezoeken aan een meetpunt en het gemiddeld aandeel relevante punten per hok voor Canadese gans (zie §2.5).

stratum	gewicht	aanwezig	relevant	onderzocht	totaal	bezoeken	punten
Landbouw	86.7%	1464.3	100	431	6311	4686	60.2%
Moeras en water	4.2%	70.2	41	80	137	1981	63.8%
Heide en duin	3.6%	61.4	29	94	199	1330	60.3%
Suburbaan	1.9%	32.5	11	68	201	476	51.5%
Bos	1.9%	31.9	19	190	319	683	43.9%
Urbaan	1.7%	33.5	7	87	416	128	28.6%



Figuur 26.5: Paarsgewijze vergelijking tussen jaren voor Canadese gans. Uitleg van de symbolen in tabel 3.1.



Figuur 26.6: Paarsgewijze vergelijking tussen driejarige cycli voor Canadese gans. Uitleg van de symbolen in tabel 3.1.

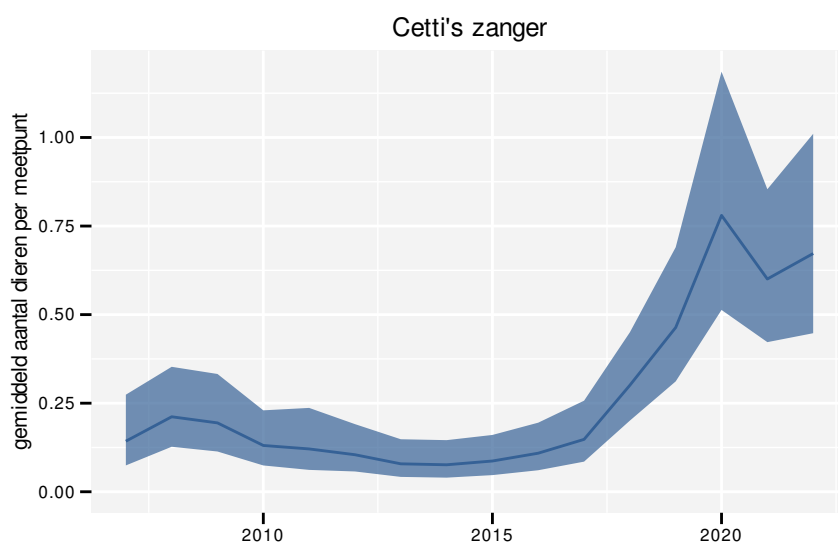
Tabel 26.2: Data-hashes van de analyses in het kader van traceerbaarheid (zie §4.3).

frequentie	model	analyse	status
jaarlijks	niet-lineair	766f09797de7c4cd12ee 3622486f0bc81b4c0d02	c77b85e13fe54b6a5acf 9d271af0574471c70145
jaarlijks	lineair	ab29ccc3442026586cfe dc5d67646dcc2ae3ad79	620cf1fe02c2d9f08386 ffc87bcf7179f4a83db
driejaarlijks	niet-lineair	32e728e4ca25e232367f 5a851b4c0e63194849ff	1a68ac87178ee8eb86f3 ff7336d47114483b24b8
driejaarlijks	lineair	6199afcd7e01a230dabb 9194d8b604ff6ebca3f5	eb6d27c505879d4f2493 5b470d692b96e8c5672d

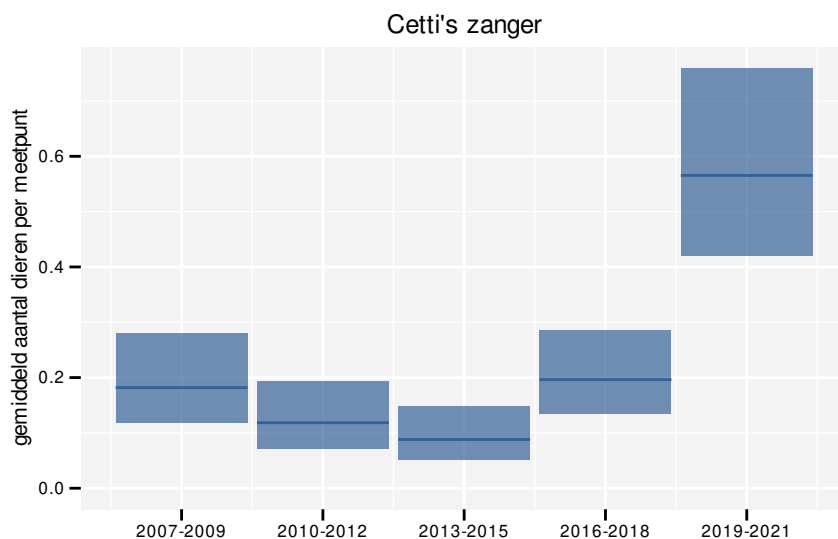
27 CETTI'S ZANGER

Op basis van jaarlijkse gegevens zien we gemiddeld een sterke toename met +18% (+13%; +24%) per jaar of +1200% (+600%; +2300%) over de volledige looptijd van het meetnet. Deze trend is niet-lineair.

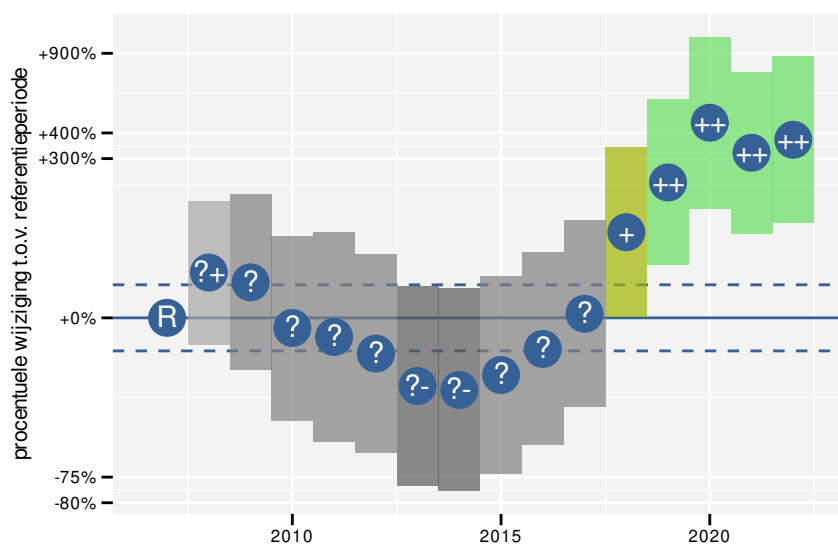
Op basis van driejaarlijkse gegevens zien we gemiddeld een sterke toename met +17.5% (+12.7%; +22.5%) per jaar of +1020% (+500%; +2000%) over de volledige looptijd van het meetnet. Deze trend is niet-lineair.



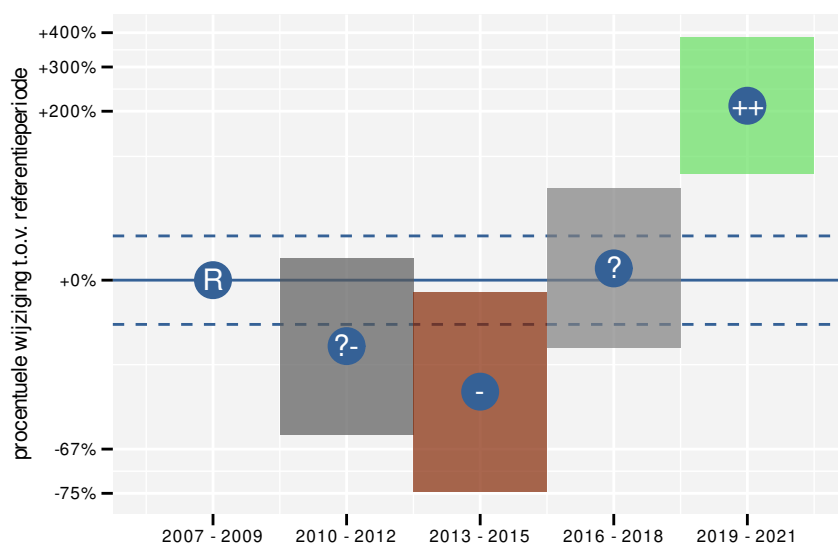
Figuur 27.1: Evolutie van het gemodelleerde gemiddeld aantal waargenomen dieren op een meetpunt voor Cetti's zanger tijdens de referentieperiode. Zie §3.1 voor een verklaring van de intervallen.



Figuur 27.2: Evolutie van het gemodelleerde gemiddeld aantal waargenomen dieren op een meetpunt voor Cetti's zanger tijdens de referentieperiode. Zie §3.1 voor een verklaring van de intervallen.



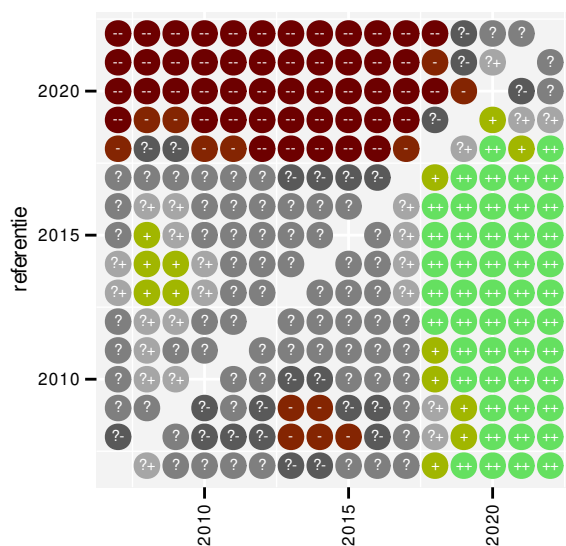
Figuur 27.3: Wijzigingen tussen jaren voor Cetti's zanger. Zie §3.1 voor een verklaring van de intervallen en §3.2 voor uitleg over de symbolen en referentielijnen.



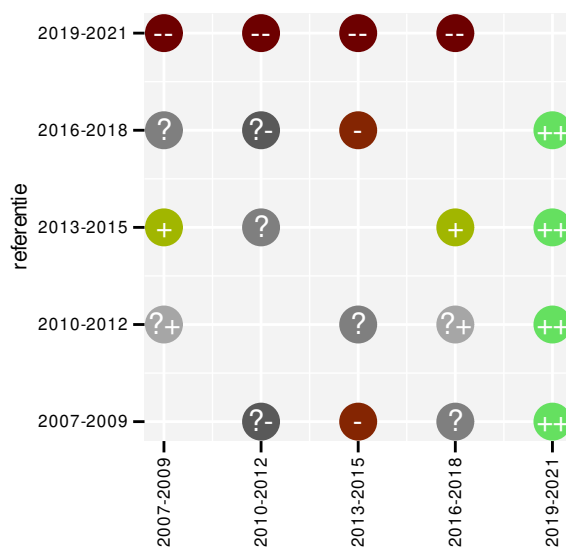
Figuur 27.4: Wijzigingen per driejarige cyclus voor Cetti's zanger. Zie §3.1 voor een verklaring van de intervallen en §3.2 voor uitleg over de symbolen en referentielijnen.

Tabel 27.1: Stratumgewicht, raming van het aantal hokken waarin de soort aanwezig is, aantal relevante hokken voor de analyse, aantal onderzochte hokken in het stratum, totaal aantal hokken van het stratum in Vlaanderen, aantal bezoeken aan een meetpunt en het gemiddeld aandeel relevante punten per hok voor Cetti's zanger (zie §2.5).

stratum	gewicht	aanwezig	relevant	onderzocht	totaal	bezoeken	punten
Landbouw	79.9%	146.4	10	431	6311	402	50.0%
Moeras en water	12.5%	20.6	12	80	137	459	54.2%
Heide en duin	7.7%	14.8	7	94	199	147	50.0%



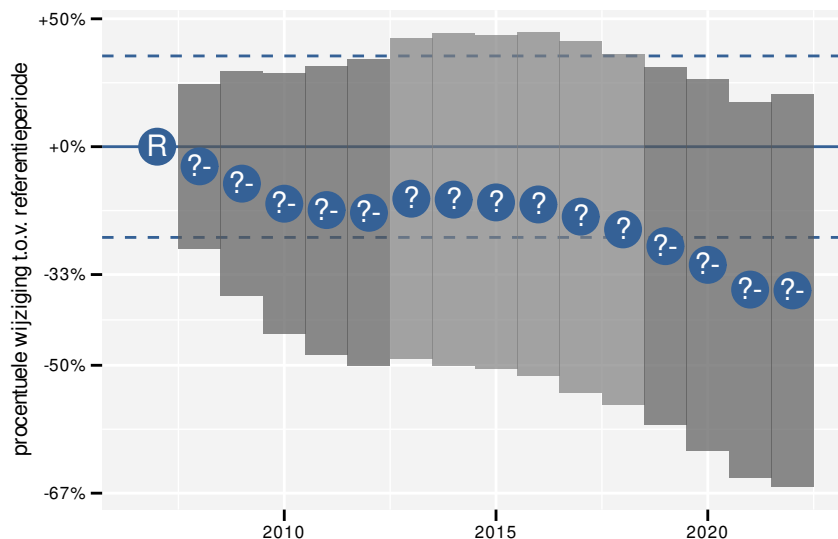
Figuur 27.5: Paarsgewijze vergelijking tussen jaren voor Cetti's zanger. Uitleg van de symbolen in tabel 3.1.



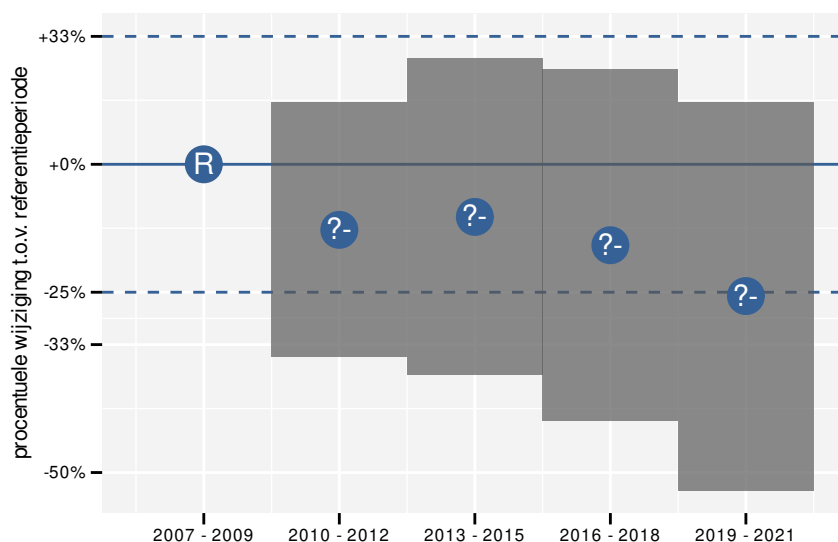
Figuur 27.6: Paarsgewijze vergelijking tussen driejarige cycli voor Cetti's zanger. Uitleg van de symbolen in tabel 3.1.

Tabel 27.2: Data-hashes van de analyses in het kader van traceerbaarheid (zie §4.3).

frequentie	model	analyse	status
jaarlijks	niet-lineair	cce57dce6ca9d18c764a	b8e03d7fbf5b0f7c22c3
		869e882c6f6f232a1919	80739a80d434f43495d5
jaarlijks	lineair	6124c25f4fd44a5c27a0	1772b6fa487bdda2d815
		d8a3beae9722c7b76a61	fc70f8722cfe2d78971c
driejaarlijks	niet-lineair	5b48715358ef9cefabc3	45b389ce476b42c4579d
		f2b31b43007ddd73026e	8a40c7ba3f2be432e12d
driejaarlijks	lineair	a0b2403b13d3a5b7c558	1394832cdb0aa3f9a5a9
		032a5005bad33ba3956c	f69313c8d01d48ad6eff



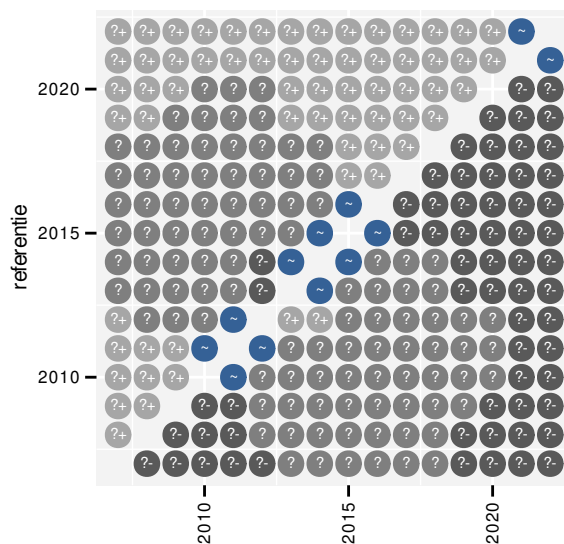
Figuur 28.3: Wijzigingen tussen jaren voor Dodaars. Zie §3.1 voor een verklaring van de intervallen en §3.2 voor uitleg over de symbolen en referentielijnen.



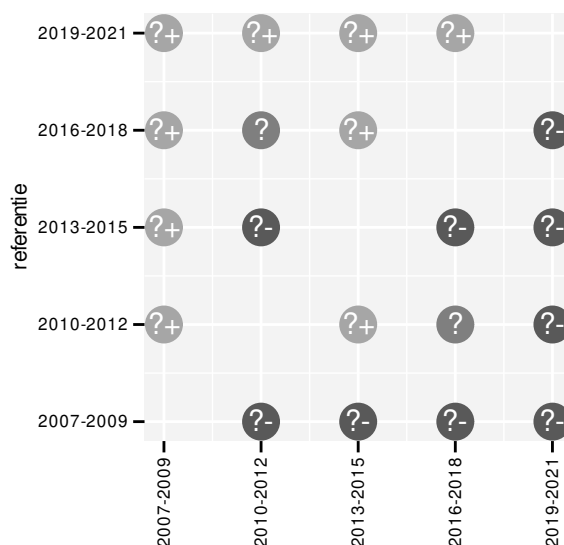
Figuur 28.4: Wijzigingen per driejarige cyclus voor Dodaars. Zie §3.1 voor een verklaring van de intervallen en §3.2 voor uitleg over de symbolen en referentielijnen.

Tabel 28.1: Stratumgewicht, raming van het aantal hokken waarin de soort aanwezig is, aantal relevante hokken voor de analyse, aantal onderzochte hokken in het stratum, totaal aantal hokken van het stratum in Vlaanderen, aantal bezoeken aan een meetpunt en het gemiddeld aandeel relevante punten per hok voor Dodaars (zie §2.5).

stratum	gewicht	aanwezig	relevant	onderzocht	totaal	bezoeken	punten
Landbouw	51.1%	87.9	6	431	6311	109	25.0%
Moeras en water	20.3%	29.1	17	80	137	599	46.1%
Heide en duin	19.2%	27.5	13	94	199	447	47.4%
Bos	9.4%	15.1	9	190	319	255	29.6%



Figuur 28.5: Paarsgewijze vergelijking tussen jaren voor Dodaars. Uitleg van de symbolen in tabel 3.1.



Figuur 28.6: Paarsgewijze vergelijking tussen driejarige cycli voor Dodaars. Uitleg van de symbolen in tabel 3.1.

Tabel 28.2: Data-hashes van de analyses in het kader van traceerbaarheid (zie §4.3).

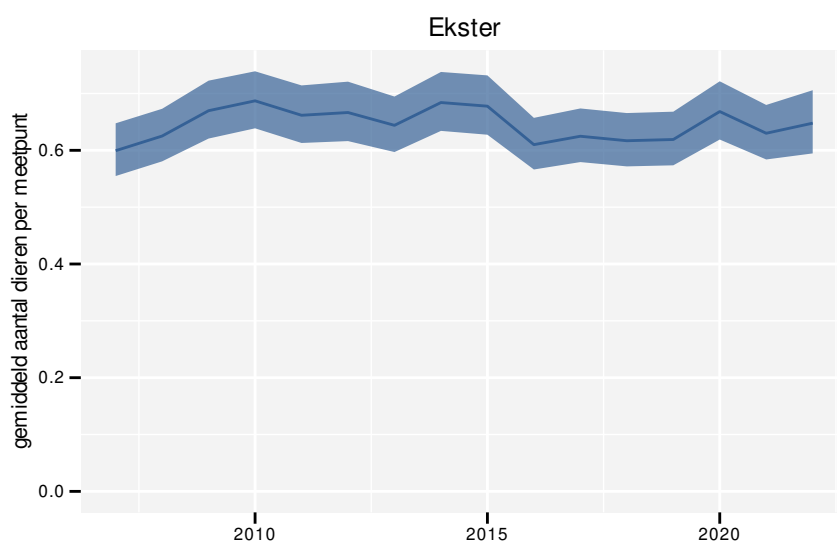
frequentie	model	analyse	status
jaarlijks	niet-lineair	26a8ff5395d890944997 fbed33a55a5b053ebfbe	5128aa8c011826cca62b b07afd9fb45a0482692b
jaarlijks	lineair	e22fedf64825c6c13f65 2834766a132d34be13af	b8d49e2b90c1369076d0 778009b343639efa20c7
driejaarlijks	niet-lineair	53fbe6e9ee038fa46aa6 281cfdcf5638756ff1a	e8cf458d9ea28b387768 5ec99361d08b52fff1b3
driejaarlijks	lineair	eedc56a3424fba2c8f75 46fcea4b84764b3aaa9c	4e5f426e64ff4c9573ee 9effe3f284337c23d8b2



29 EKSTER

Op basis van jaarlijkse gegevens zien we gemiddeld een stabiele toestand. De trend blijft beperkt tot -0.09% (-0.46%; +0.29%) per jaar of -1% (-7%; +4%) over de volledige looptijd van het meetnet. Deze trend is niet-lineair.

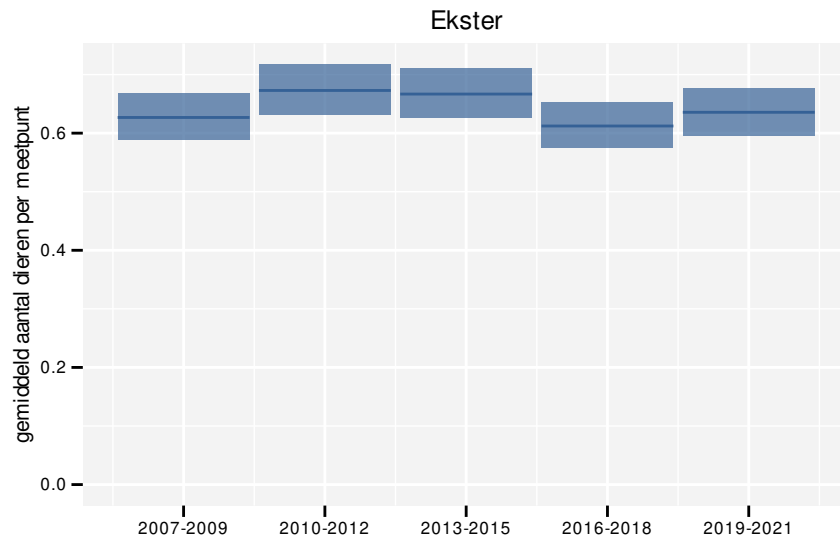
Op basis van driejaarlijkse gegevens zien we gemiddeld een stabiele toestand. De trend blijft beperkt tot -0.13% (-0.50%; +0.25%) per jaar of -2% (-7%; +4%) over de volledige looptijd van het meetnet. Deze trend is niet-lineair.



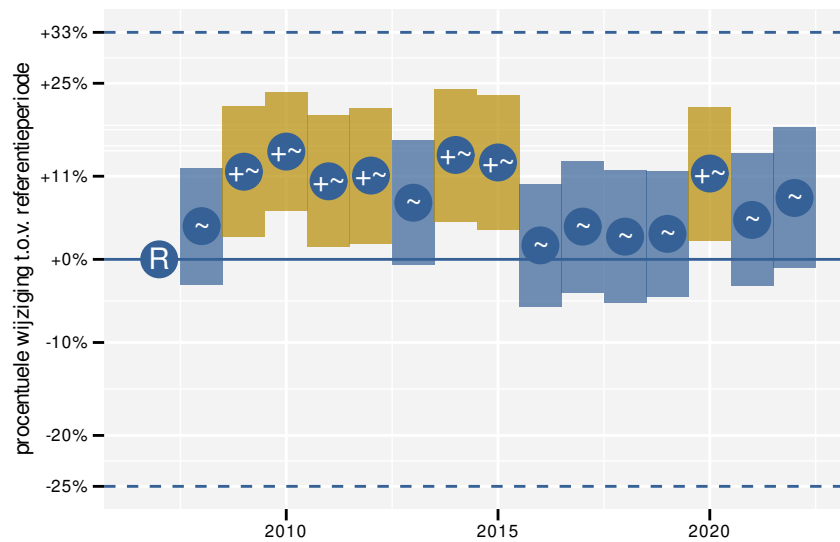
Figuur 29.1: Evolutie van het gemodelleerde gemiddeld aantal waargenomen dieren op een meetpunt voor Ekster tijdens de referentieperiode. Zie §3.1 voor een verklaring van de intervallen.

Tabel 29.1: Stratumgewicht, raming van het aantal hokken waarin de soort aanwezig is, aantal relevante hokken voor de analyse, aantal onderzochte hokken in het stratum, totaal aantal hokken van het stratum in Vlaanderen, aantal bezoeken aan een meetpunt en het gemiddeld aandeel relevante punten per hok voor Ekster (zie §2.5).

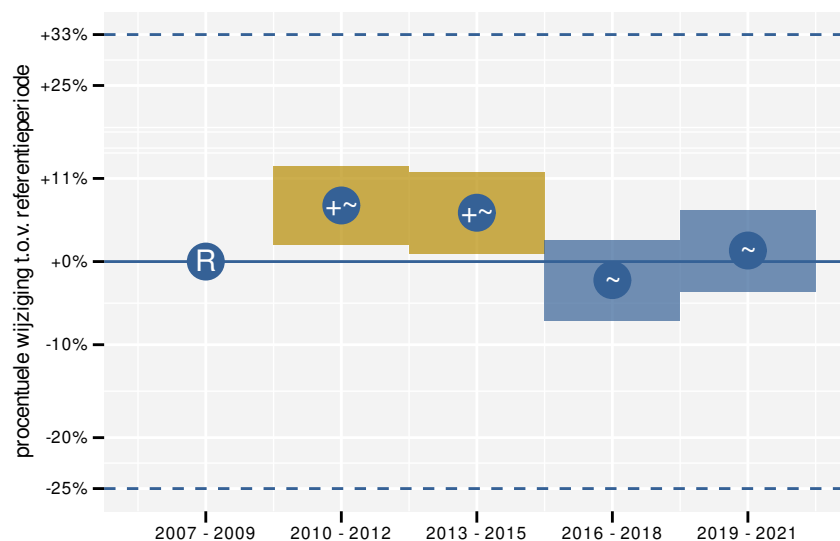
stratum	gewicht	aanwezig	relevant	onderzocht	totaal	bezoeken	punten
Landbouw	85.7%	4509.9	308	431	6311	17680	81.9%
Urbaan	6.5%	344.3	72	87	416	4663	94.4%
Suburbaan	3.2%	168.5	57	68	201	3287	88.0%
Moeras en water	1.8%	92.5	54	80	137	2868	78.4%
Heide en duin	1.5%	78.3	37	94	199	1581	66.2%
Bos	1.3%	67.2	40	190	319	2065	60.8%



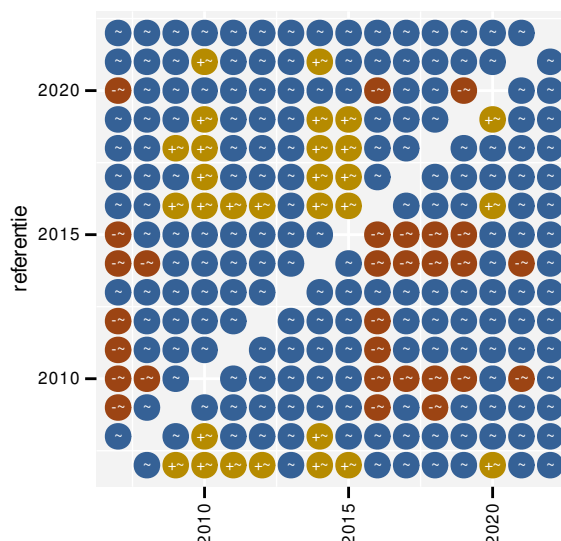
Figuur 29.2: Evolutie van het gemodelleerde gemiddeld aantal waargenomen dieren op een meetpunt voor Ekster tijdens de referentieperiode. Zie §3.1 voor een verklaring van de intervallen.



Figuur 29.3: Wijzigingen tussen jaren voor Ekster. Zie §3.1 voor een verklaring van de intervallen en §3.2 voor uitleg over de symbolen en referentielijnen.



Figuur 29.4: Wijzigingen per driejarige cyclus voor Ekster. Zie §3.1 voor een verklaring van de intervallen en §3.2 voor uitleg over de symbolen en referentielijnen.



Figuur 29.5: Paarsgewijze vergelijking tussen jaren voor Ekster. Uitleg van de symbolen in tabel 3.1.

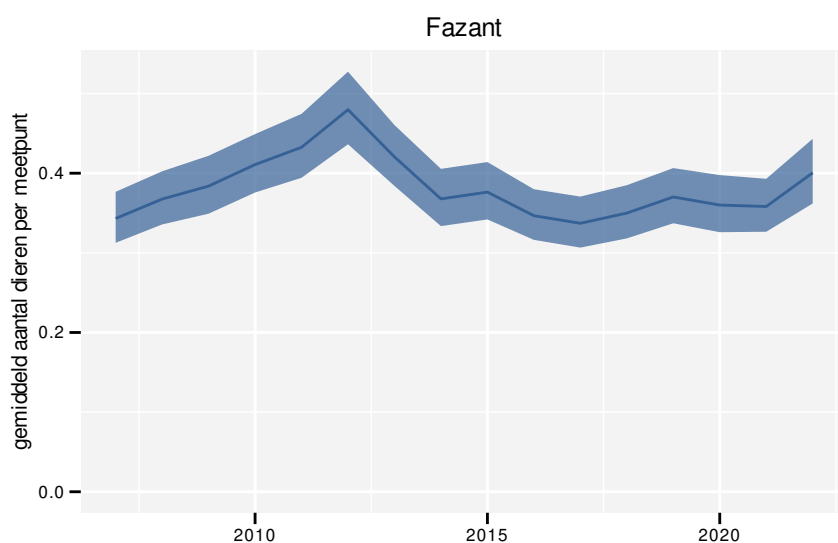
Tabel 29.2: Data-hashes van de analyses in het kader van traceerbaarheid (zie §4.3).

frequentie	model	analyse	status
jaarlijks	niet-lineair	14f3e4442d0abfd9fe28 1a22fe78d2f46eef4c79	ac73d31f64dbcd7744be 58df8e78c999aad7a9a6
jaarlijks	lineair	e5c1609580fe882b7186 8ca2ea5dea996ba4bb59	d5088e724ae91db8b257 9ae7055cb6b091716d79
driejaarlijks	niet-lineair	37365f2e880902cd5d57 3bd4552ea19149c7db0c	37b778c58756840d36d1 22ab2b2b01fb415a13c1
driejaarlijks	lineair	f8f3c16a63ff385895c2 77bb7e63587aa37ae3a8	3696a3b8b95d6f2d6e72 d362a959638391604849

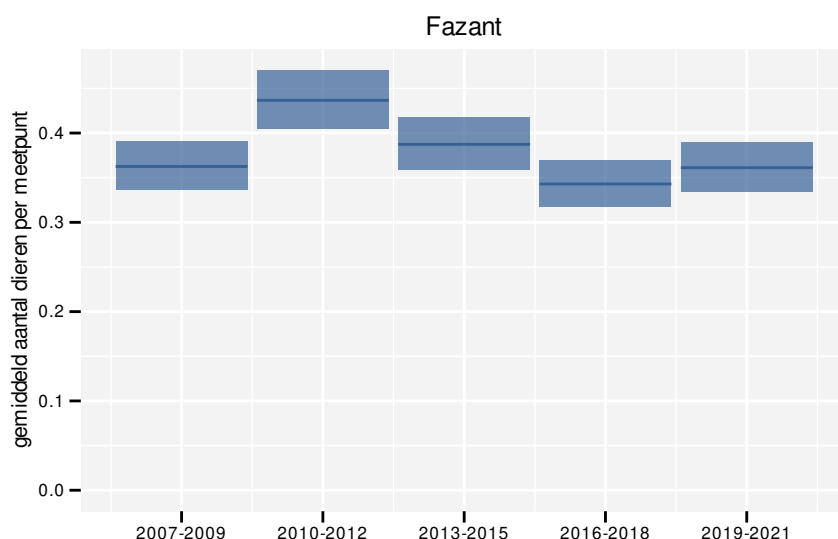
30 FAZANT

Op basis van jaarlijkse gegevens zien we gemiddeld een matige afname met -0.48% (-0.89% ; -0.06%) per jaar of -6.9% (-12.5% ; -0.9%) over de volledige looptijd van het meetnet. Deze trend is niet-lineair.

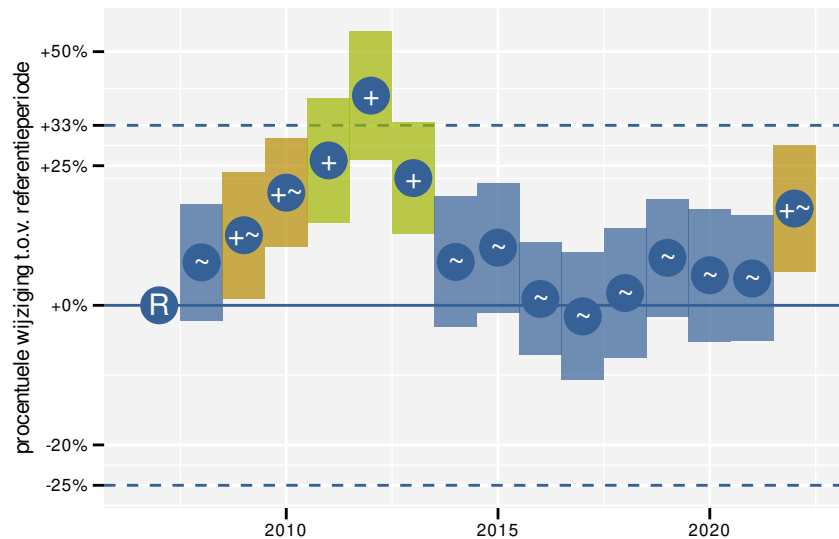
Op basis van driejaarlijkse gegevens zien we gemiddeld een matige afname met -0.51% (-0.92% ; -0.09%) per jaar of -7.3% (-12.9% ; -1.3%) over de volledige looptijd van het meetnet. Deze trend is niet-lineair.



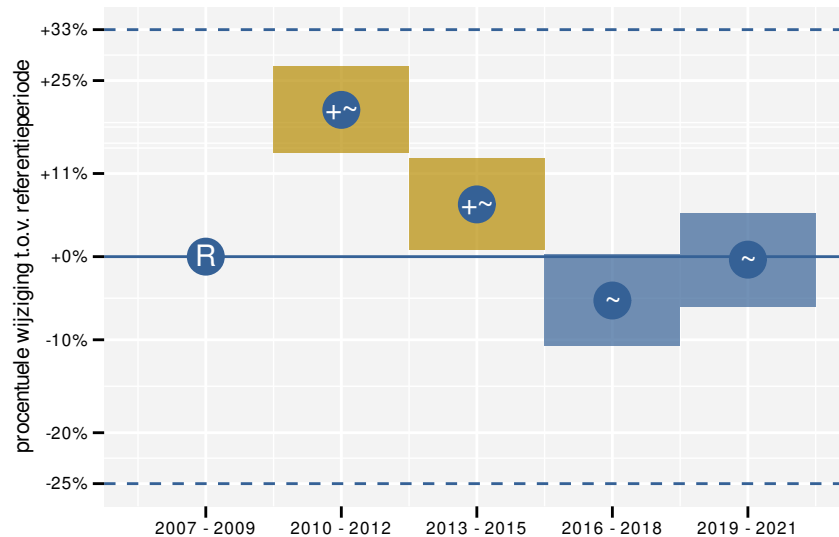
Figuur 30.1: Evolutie van het gemodelleerde gemiddeld aantal waargenomen dieren op een meetpunt voor Fazant tijdens de referentieperiode. Zie §3.1 voor een verklaring van de intervallen.



Figuur 30.2: Evolutie van het gemodelleerde gemiddeld aantal waargenomen dieren op een meetpunt voor Fazant tijdens de referentieperiode. Zie §3.1 voor een verklaring van de intervallen.



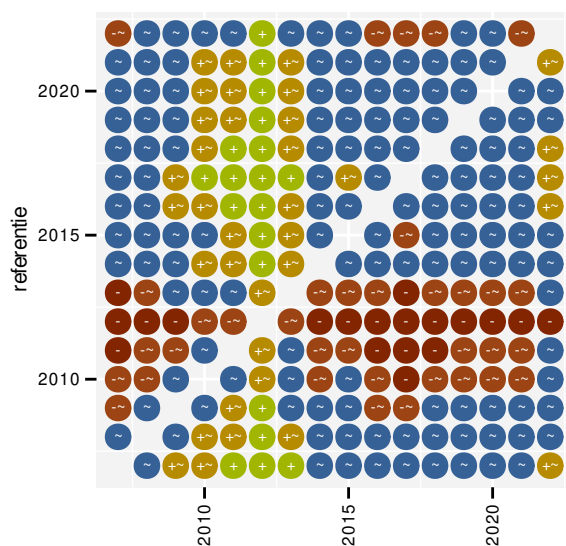
Figuur 30.3: Wijzigingen tussen jaren voor Fazant. Zie §3.1 voor een verklaring van de intervallen en §3.2 voor uitleg over de symbolen en referentielijnen.



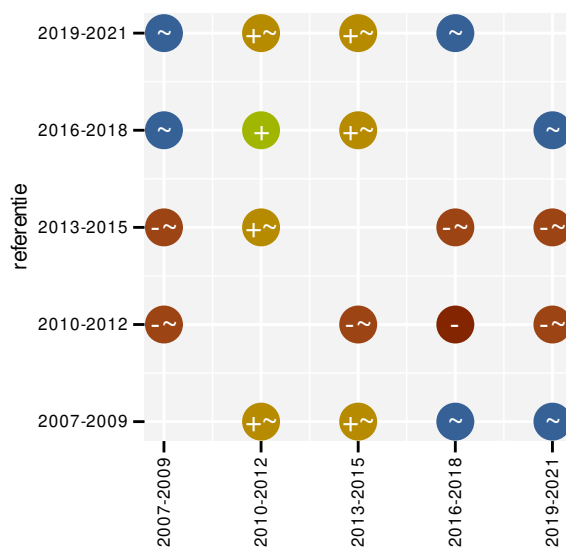
Figuur 30.4: Wijzigingen per driejarige cyclus voor Fazant. Zie §3.1 voor een verklaring van de intervallen en §3.2 voor uitleg over de symbolen en referentielijnen.

Tabel 30.1: Stratumgewicht, raming van het aantal hokken waarin de soort aanwezig is, aantal relevante hokken voor de analyse, aantal onderzochte hokken in het stratum, totaal aantal hokken van het stratum in Vlaanderen, aantal bezoeken aan een meetpunt en het gemiddeld aandeel relevante punten per hok voor Fazant (zie §2.5).

stratum	gewicht	aanwezig	relevant	onderzocht	totaal	bezoeken	punten
Landbouw	93.2%	4217.1	288	431	6311	16802	82.2%
Heide en duin	1.7%	78.3	37	94	199	1937	65.8%
Bos	1.5%	68.8	41	190	319	2309	68.3%
Moeras en water	1.5%	68.5	40	80	137	2264	77.9%
Suburbaan	1.0%	47.3	16	68	201	623	61.5%
Urbaan	1.0%	47.8	10	87	416	310	38.3%



Figuur 30.5: Paarsgewijze vergelijking tussen jaren voor Fazant. Uitleg van de symbolen in tabel 3.1.



Figuur 30.6: Paarsgewijze vergelijking tussen driejarige cycli voor Fazant. Uitleg van de symbolen in tabel 3.1.

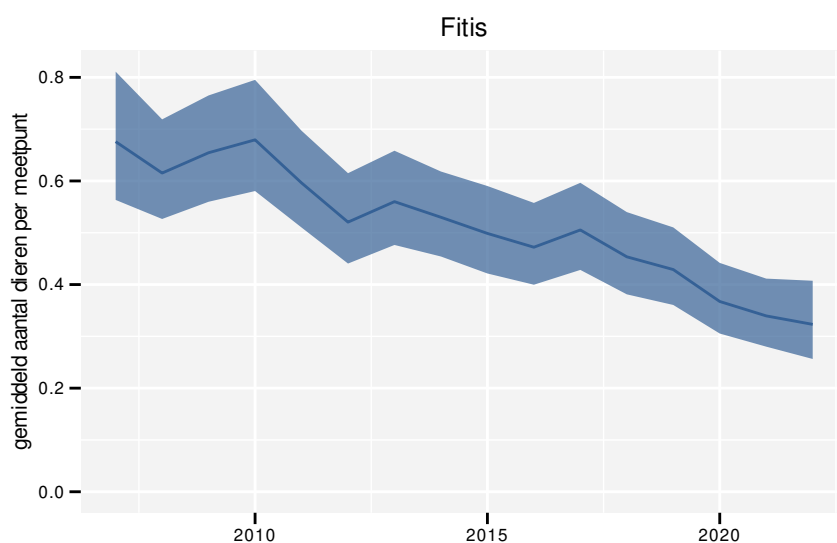
Tabel 30.2: Data-hashes van de analyses in het kader van traceerbaarheid (zie §4.3).

frequentie	model	analyse	status
jaarlijks	niet-lineair	a30493db98a2ad39a168 0b6699d5f0521c79d138	c1aeb4578f5a28442c3e dd4adbede7f572ac6583
jaarlijks	lineair	e7975c4958f1688ddf85 3762b854f66b32c54403	97f9c407f59f552b34e4 e3764853dd410a13e488
driejaarlijks	niet-lineair	c94c403597060ed4a17e 8c0d80778132adbf24b7	b702e43dce87128678a1 7c1a86b605b46b39d5dc
driejaarlijks	lineair	00219e31f9d101a8f655 ff147df21b213c55c2d2	ed1f26fe6d353a433db1 344a63738e1e9c87072c

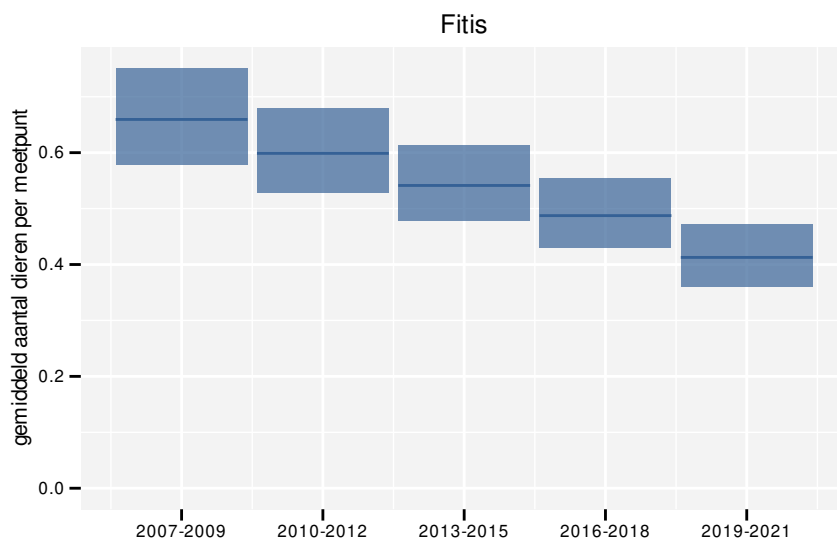
31 FITIS

Op basis van jaarlijkse gegevens zien we gemiddeld een sterke afname met -5.8% (-7.3%; -4.3%) per jaar of -59% (-68%; -48%) over de volledige looptijd van het meetnet. Deze trend is niet-lineair.

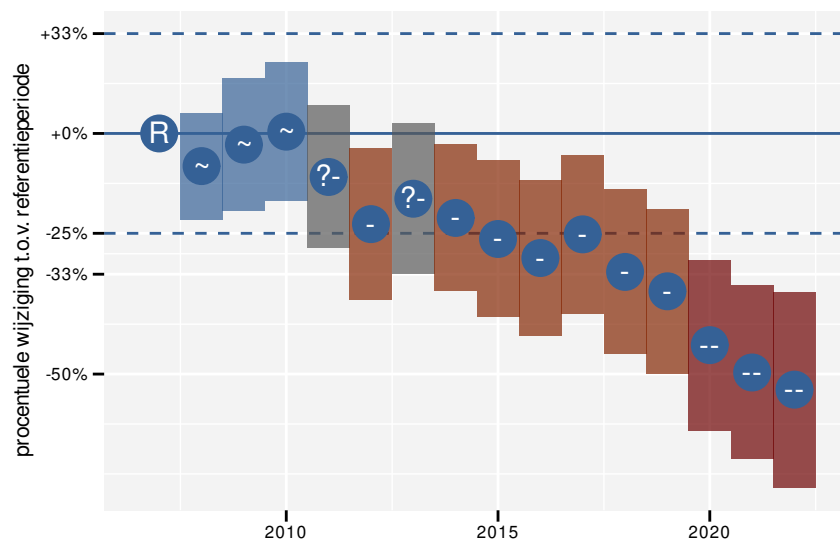
Op basis van driejaarlijkse gegevens zien we gemiddeld een sterke afname met -5.6% (-7.1%; -4.1%) per jaar of -58% (-67%; -47%) over de volledige looptijd van het meetnet. Deze trend is lineair.



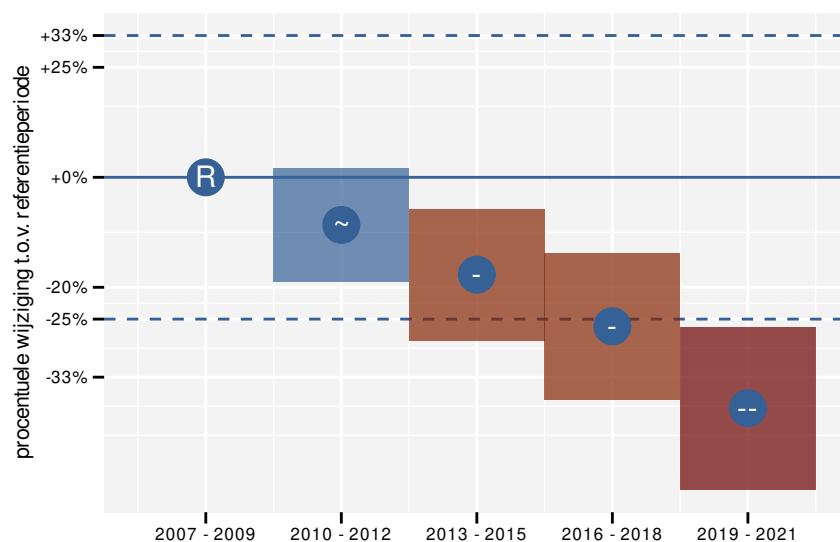
Figuur 31.1: Evolutie van het gemodelleerde gemiddeld aantal waargenomen dieren op een meetpunt voor Fitis tijdens de referentieperiode. Zie §3.1 voor een verklaring van de intervallen.



Figuur 31.2: Evolutie van het gemodelleerde gemiddeld aantal waargenomen dieren op een meetpunt voor Fitis tijdens de referentieperiode. Zie §3.1 voor een verklaring van de intervallen.



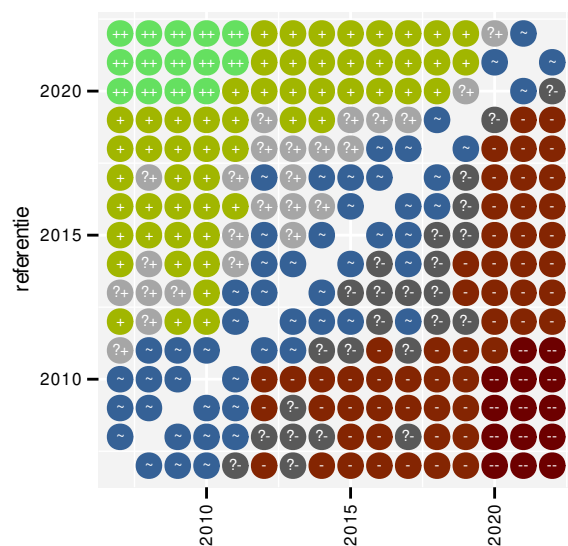
Figuur 31.3: Wijzigingen tussen jaren voor Fitis. Zie §3.1 voor een verklaring van de intervallen en §3.2 voor uitleg over de symbolen en referentielijnen.



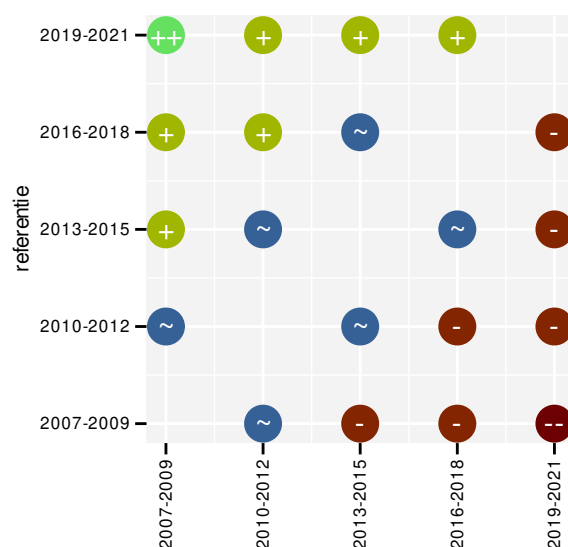
Figuur 31.4: Wijzigingen per driejarige cyclus voor Fitis. Zie §3.1 voor een verklaring van de intervallen en §3.2 voor uitleg over de symbolen en referentielijnen.

Tabel 31.1: Stratumgewicht, raming van het aantal hokken waarin de soort aanwezig is, aantal relevante hokken voor de analyse, aantal onderzochte hokken in het stratum, totaal aantal hokken van het stratum in Vlaanderen, aantal bezoeken aan een meetpunt en het gemiddeld aandeel relevante punten per hok voor Fitis (zie §2.5).

stratum	gewicht	aanwezig	relevant	onderzocht	totaal	bezoeken	punten
Landbouw	48.2%	336.8	23	431	6311	967	52.9%
Heide en duin	23.3%	163.0	77	94	199	4303	81.6%
Bos	15.9%	110.8	66	190	319	3502	69.4%
Moeras en water	6.6%	46.2	27	80	137	1674	75.9%
Suburbaan	5.9%	41.4	14	68	201	386	61.9%



Figuur 31.5: Paarsgewijze vergelijking tussen jaren voor Fitis. Uitleg van de symbolen in tabel 3.1.



Figuur 31.6: Paarsgewijze vergelijking tussen driejarige cycli voor Fitis. Uitleg van de symbolen in tabel 3.1.

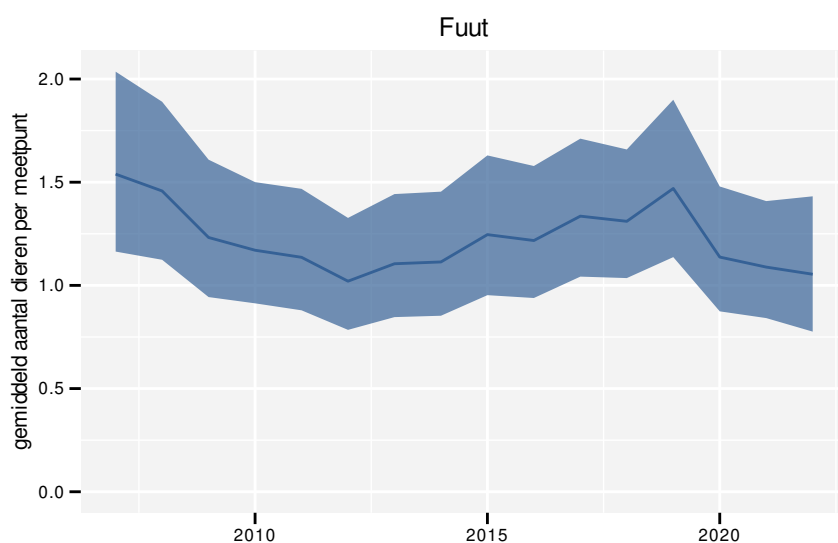
Tabel 31.2: Data-hashes van de analyses in het kader van traceerbaarheid (zie §4.3).

frequentie	model	analyse	status
jaarlijks	niet-lineair	cf5e04c56bfc14b6c0ac bf305627309429ac9280	5d22512923b88dfb4604 80196f549faa7fac0768
jaarlijks	lineair	d294da081a1191e17fa3 7d7b7c9159c7b4d3e778	f8e4a32ac1b84147aec0 3ccb5393b4fbf0d7971a
driejaarlijks	niet-lineair	95f2bd558f104694e17c 472deeb358177f3f43de	ac503c284fdb1b55aa41 86fd913d2859a7bec287
driejaarlijks	lineair	97db979225f9dc78db99 2cec5bfad05f29334d14	cbdcc928fde399e2ea3d 53c7e5c4019bd3ec25b9

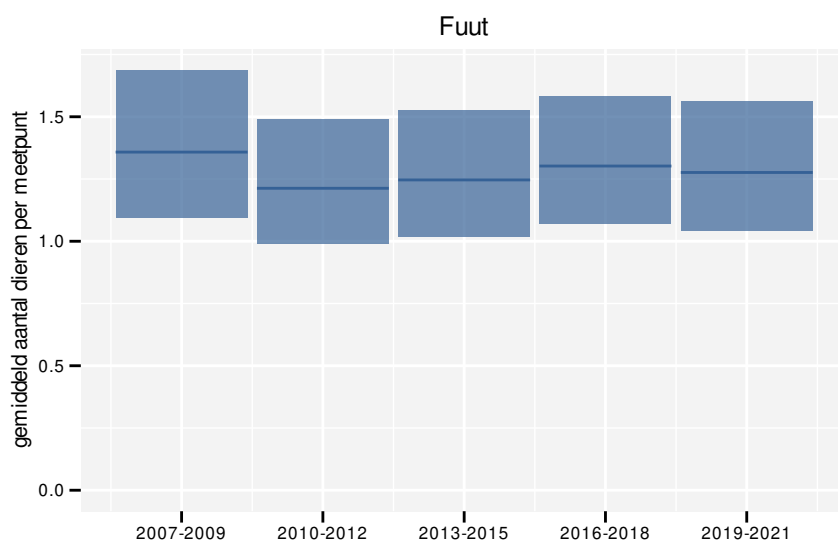
32 FUUT

Op basis van jaarlijkse gegevens zien we gemiddeld een mogelijke afname met -1.4% (-3.4%; +0.6%) per jaar of -20% (-40%; +9%) over de volledige looptijd van het meetnet. Deze trend is niet-lineair.

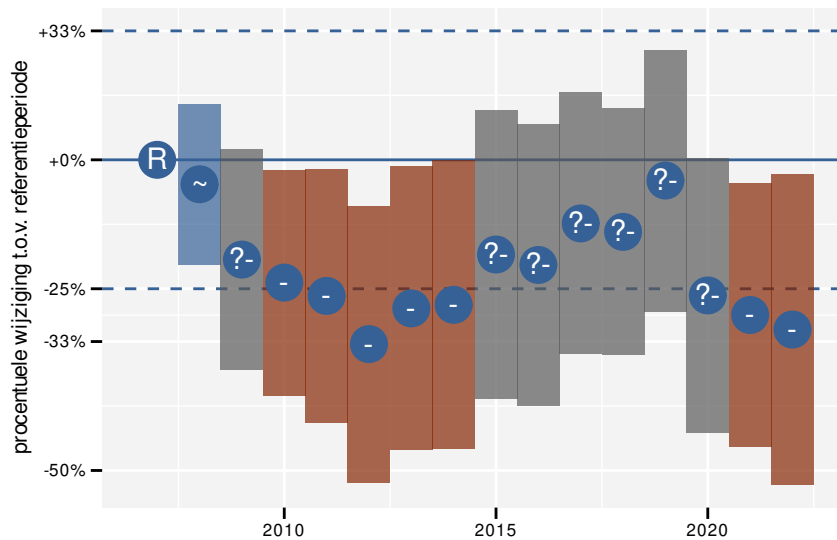
Op basis van driejaarlijkse gegevens zien we gemiddeld een mogelijke afname met -1.4% (-3.5%; +0.7%) per jaar of -19% (-42%; +11%) over de volledige looptijd van het meetnet. Deze trend is niet-lineair.



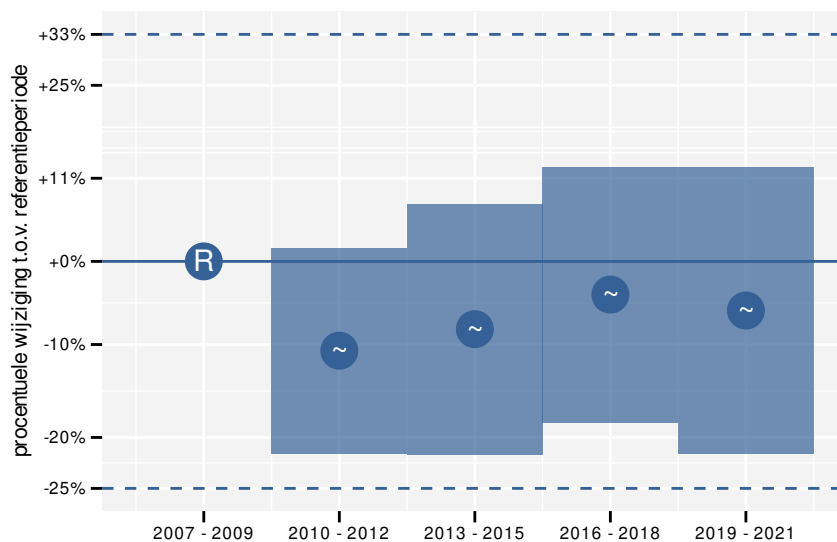
Figuur 32.1: Evolutie van het gemodelleerde gemiddeld aantal waargenomen dieren op een meetpunt voor Fuut tijdens de referentieperiode. Zie §3.1 voor een verklaring van de intervallen.



Figuur 32.2: Evolutie van het gemodelleerde gemiddeld aantal waargenomen dieren op een meetpunt voor Fuut tijdens de referentieperiode. Zie §3.1 voor een verklaring van de intervallen.



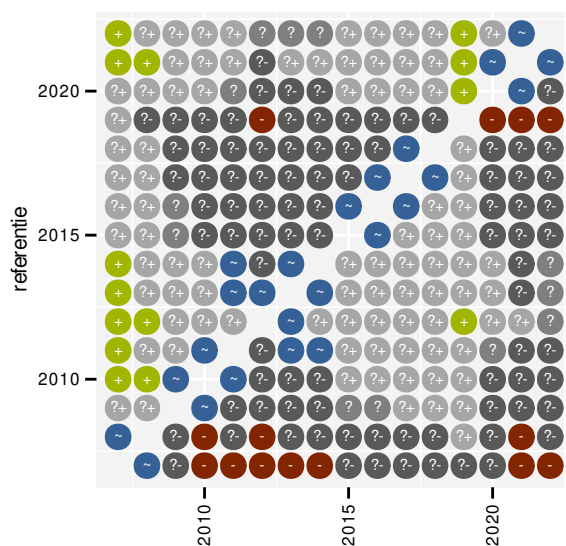
Figuur 32.3: Wijzigingen tussen jaren voor Fuut. Zie §3.1 voor een verklaring van de intervallen en §3.2 voor uitleg over de symbolen en referentielijnen.



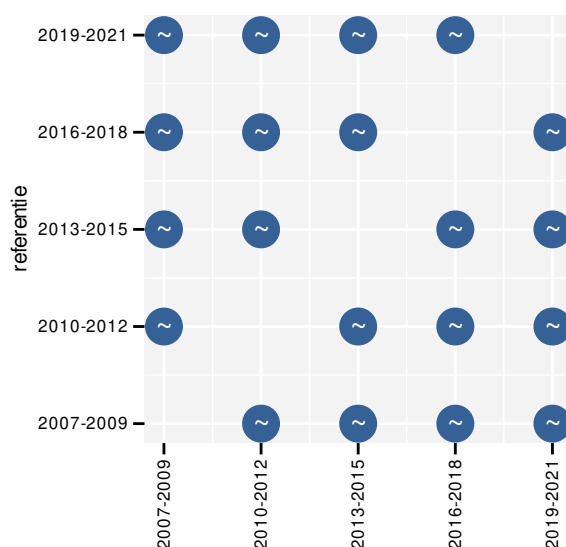
Figuur 32.4: Wijzigingen per driejarige cyclus voor Fuut. Zie §3.1 voor een verklaring van de intervallen en §3.2 voor uitleg over de symbolen en referentielijnen.

Tabel 32.1: Stratumgewicht, raming van het aantal hokken waarin de soort aanwezig is, aantal relevante hokken voor de analyse, aantal onderzochte hokken in het stratum, totaal aantal hokken van het stratum in Vlaanderen, aantal bezoeken aan een meetpunt en het gemiddeld aandeel relevante punten per hok voor Fuut (zie §2.5).

stratum	gewicht	aanwezig	relevant	onderzocht	totaal	bezoeken	punten
Landbouw	46.4%	87.9	6	431	6311	166	38.9%
Moeras en water	37.1%	70.2	41	80	137	1673	56.9%
Heide en duin	11.2%	21.2	10	94	199	205	30.0%
Bos	5.3%	11.8	7	190	319	151	26.2%



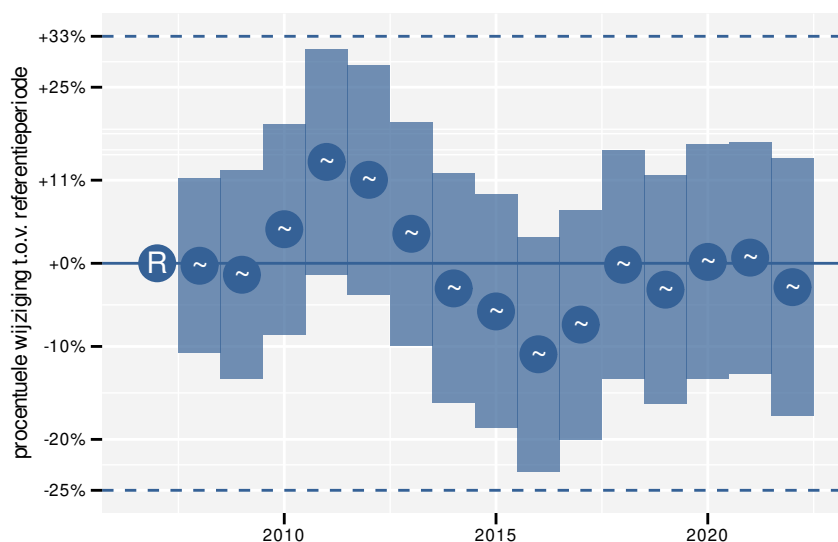
Figuur 32.5: Paarsgewijze vergelijking tussen jaren voor Fuut. Uitleg van de symbolen in tabel 3.1.



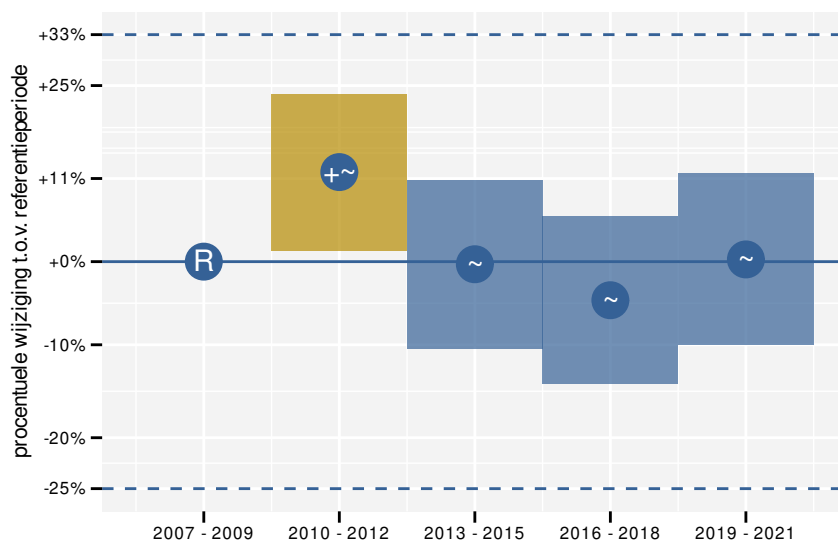
Figuur 32.6: Paarsgewijze vergelijking tussen driejarige cycli voor Fuut. Uitleg van de symbolen in tabel 3.1.

Tabel 32.2: Data-hashes van de analyses in het kader van traceerbaarheid (zie §4.3).

frequentie	model	analyse	status
jaarlijks	niet-lineair	5a9dda9c25b7d7082902 16c9353f578375bd85d2	fa4c822e441b6df0d01e 255bebbdc28983812c46
jaarlijks	lineair	a026e2d28ea92609928b 2f867f77b328d76a18e4	7ff81d70368921b3d95d e3f61da296c813dd2178
driejaarlijks	niet-lineair	dc3d2dc5ef0bd2989ebc 99bf93b47e43cc98de60	e1ac911a910097f8d43f dd4ed5a1a57df7534133
driejaarlijks	lineair	54ae33c02f6330c1b17b fbef30a032c11f91237d	56ed3e87d5241e93b810 c2e002b0b1ed0f179103



Figuur 33.3: Wijzigingen tussen jaren voor Gaai. Zie §3.1 voor een verklaring van de intervallen en §3.2 voor uitleg over de symbolen en referentielijnen.



Figuur 33.4: Wijzigingen per driejarige cyclus voor Gaai. Zie §3.1 voor een verklaring van de intervallen en §3.2 voor uitleg over de symbolen en referentielijnen.

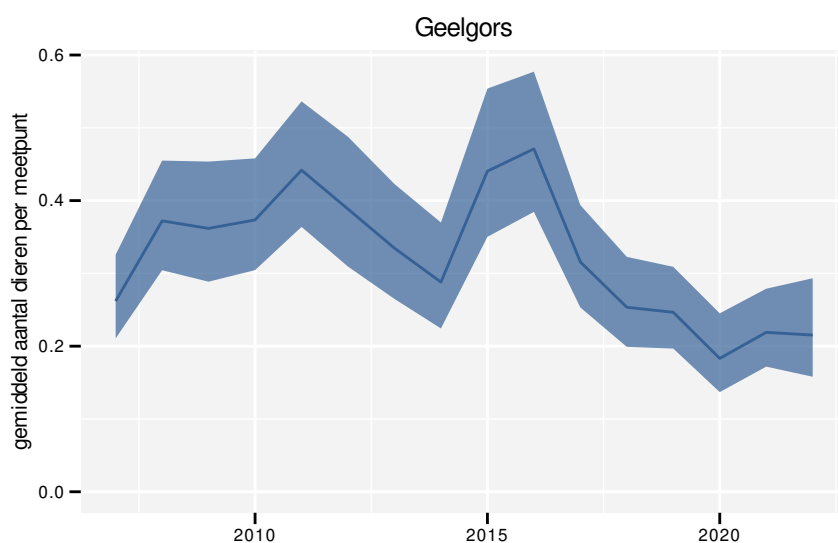
Tabel 33.1: Stratumgewicht, raming van het aantal hokken waarin de soort aanwezig is, aantal relevante hokken voor de analyse, aantal onderzochte hokken in het stratum, totaal aantal hokken van het stratum in Vlaanderen, aantal bezoeken aan een meetpunt en het gemiddeld aandeel relevante punten per hok voor Gaai (zie §2.5).

stratum	gewicht	aanwezig	relevant	onderzocht	totaal	bezoeken	punten
Landbouw	79.6%	2855.3	195	431	6311	8770	59.9%
Bos	6.5%	233.4	139	190	319	8113	79.6%
Urbaan	5.9%	210.4	44	87	416	1838	52.3%
Heide en duin	3.5%	127.0	60	94	199	3143	70.3%
Suburbaan	2.3%	82.8	28	68	201	1219	65.5%
Moeras en water	2.1%	77.1	45	80	137	2329	72.2%

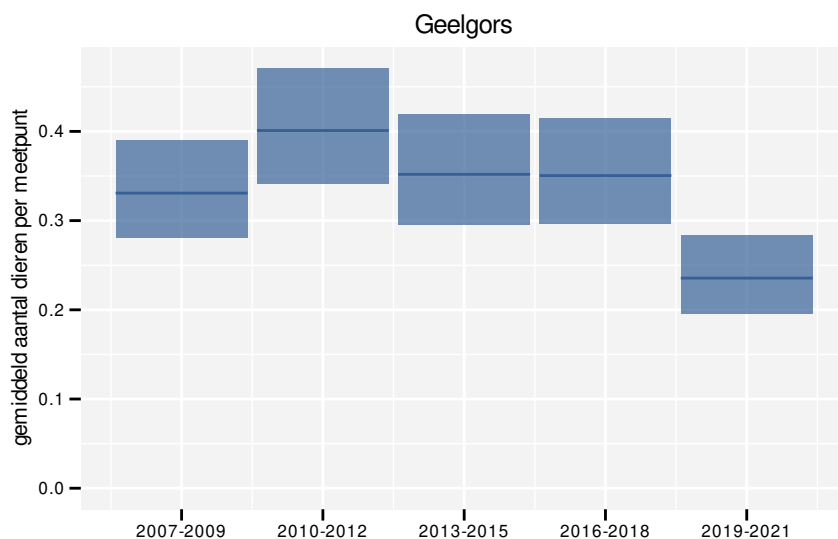
34 GEELGORS

Op basis van jaarlijkse gegevens zien we gemiddeld een afname met -2.4% (-3.5%; -1.3%) per jaar of -30% (-41%; -18%) over de volledige looptijd van het meetnet. Deze trend is niet-lineair.

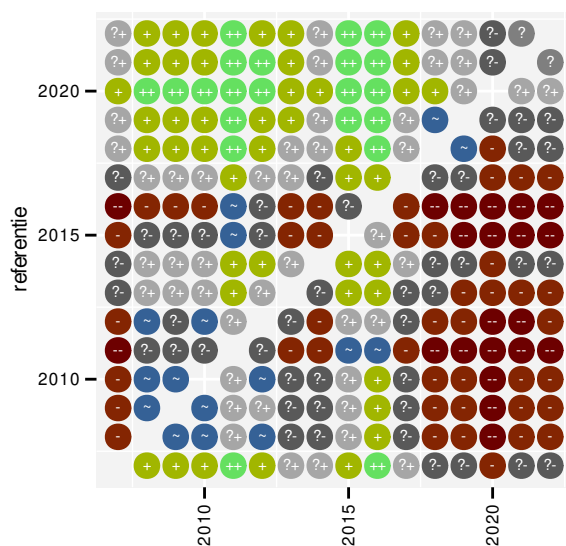
Op basis van driejaarlijkse gegevens zien we gemiddeld een afname met -2.4% (-3.5%; -1.3%) per jaar of -31% (-42%; -18%) over de volledige looptijd van het meetnet. Deze trend is niet-lineair.



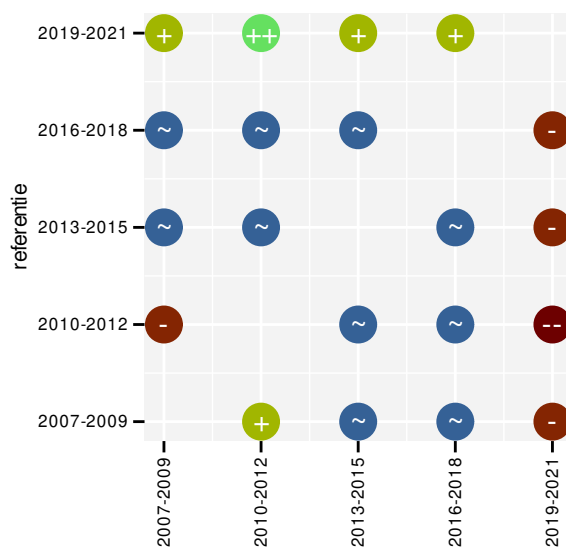
Figuur 34.1: Evolutie van het gemodelleerde gemiddeld aantal waargenomen dieren op een meetpunt voor Geelgors tijdens de referentieperiode. Zie §3.1 voor een verklaring van de intervallen.



Figuur 34.2: Evolutie van het gemodelleerde gemiddeld aantal waargenomen dieren op een meetpunt voor Geelgors tijdens de referentieperiode. Zie §3.1 voor een verklaring van de intervallen.



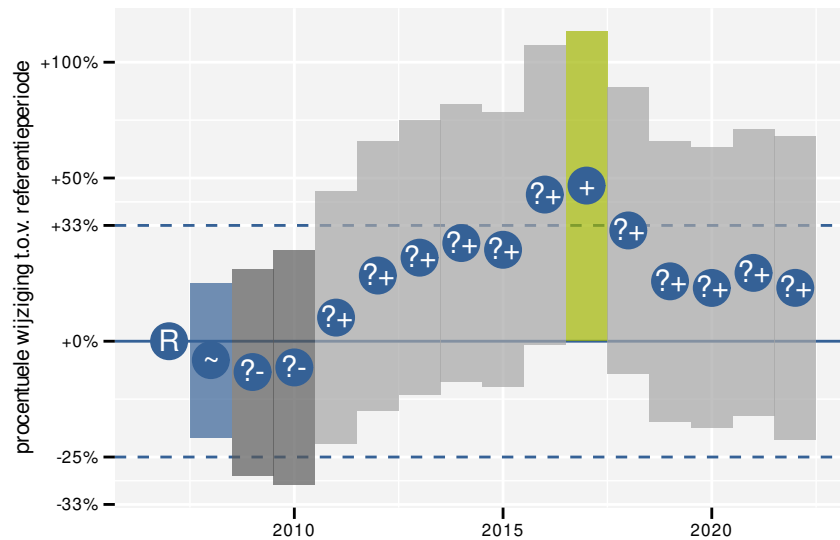
Figuur 34.5: Paarsgewijze vergelijking tussen jaren voor Geelgors. Uitleg van de symbolen in tabel 3.1.



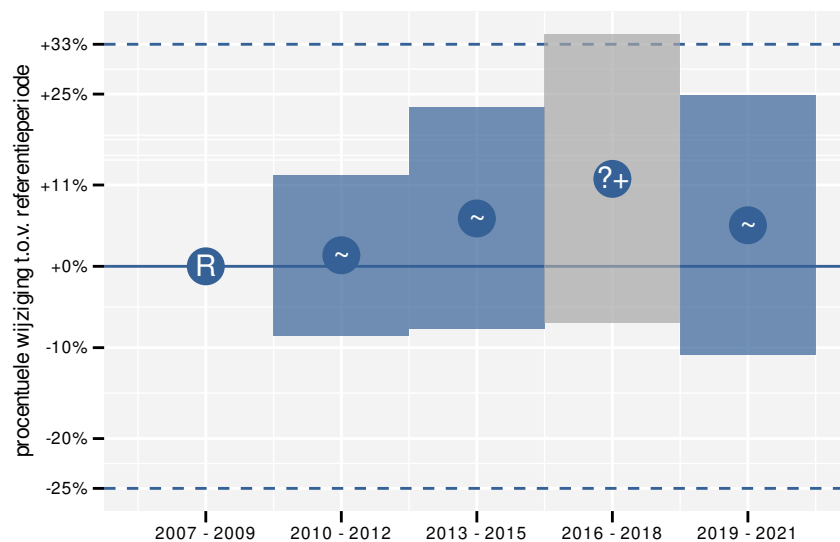
Figuur 34.6: Paarsgewijze vergelijking tussen driejarige cycli voor Geelgors. Uitleg van de symbolen in tabel 3.1.

Tabel 34.2: Data-hashes van de analyses in het kader van traceerbaarheid (zie §4.3).

frequentie	model	analyse	status
jaarlijks	niet-lineair	9906adb1650f79ada618 e344b34cbde2f6c096ab	b0618d2edc6434d7ad8b 3ab33787df4e2c43ec58
jaarlijks	lineair	394a6a0dc6f560d37bb7 badcc781583e437a4a87	99c949e66f83c2b58045 53dbe59d6219bb13db14
driejaarlijks	niet-lineair	0bf8d88a8d1242318e92 86a8430223c86a61c42c	c5f83a5cd54cb48d0561 3c9d2eaa583a63a459eb
driejaarlijks	lineair	fcfb938cfe876a2c9186 091f88865a6766cbc923	4d367debe0baea57c9f8 05d900b29b67820c2c3d



Figuur 35.3: Wijzigingen tussen jaren voor Gekraagde roodstaart. Zie §3.1 voor een verklaring van de intervallen en §3.2 voor uitleg over de symbolen en referentielijnen.



Figuur 35.4: Wijzigingen per driejarige cyclus voor Gekraagde roodstaart. Zie §3.1 voor een verklaring van de intervallen en §3.2 voor uitleg over de symbolen en referentielijnen.

Tabel 35.1: Stratumgewicht, raming van het aantal hokken waarin de soort aanwezig is, aantal relevante hokken voor de analyse, aantal onderzochte hokken in het stratum, totaal aantal hokken van het stratum in Vlaanderen, aantal bezoeken aan een meetpunt en het gemiddeld aandeel relevante punten per hok voor Gekraagde roodstaart (zie §2.5).

stratum	gewicht	aanwezig	relevant	onderzocht	totaal	bezoeken	punten
Landbouw	48.2%	146.4	10	431	6311	281	51.7%
Heide en duin	30.2%	82.6	39	94	199	1290	59.4%
Bos	19.0%	52.0	31	190	319	1082	60.2%
Moeras en water	2.5%	8.6	5	80	137	145	46.7%

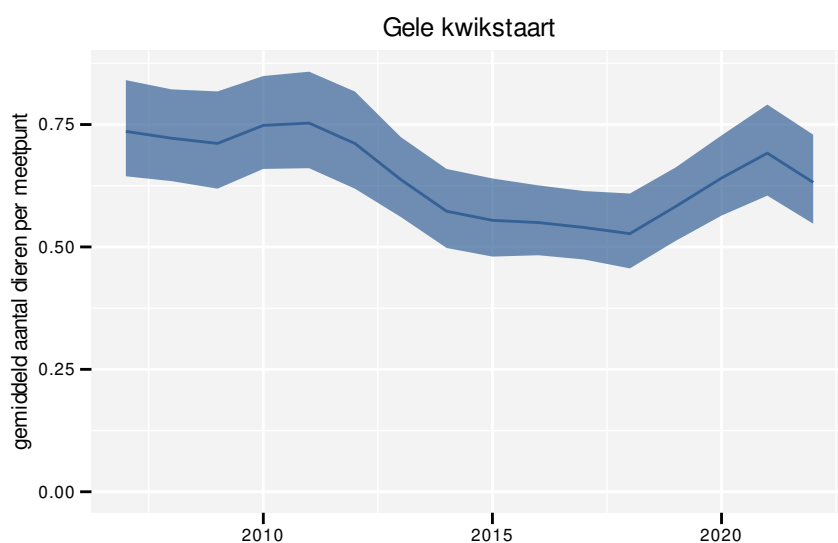
Tabel 35.2: Data-hashes van de analyses in het kader van traceerbaarheid (zie §4.3).

frequentie	model	analyse	status
jaarlijks	niet-lineair	6b11331165cab8912b5 295dc476d144bcc90a93	27269d2b8413e9b6fe00 c0ce28d8ef61ee9b2bbf
jaarlijks	lineair	9bb204456fc975c58005 d3dfd778da01ede80cc1	e306493e21ceb13e1509 4d582443bd1b073db1b7
driejaarlijks	niet-lineair	0cf1d280de0943a60930 261677fd94e9b08e684b	d8f93628c0a982b87b97 84a1f6958e95e94af6f1
driejaarlijks	lineair	bbf6ddfd38c29d5e9bd9 4c6896107f741bc20251	0d2b93044621b9af534e 849d9968e781fe4896c1

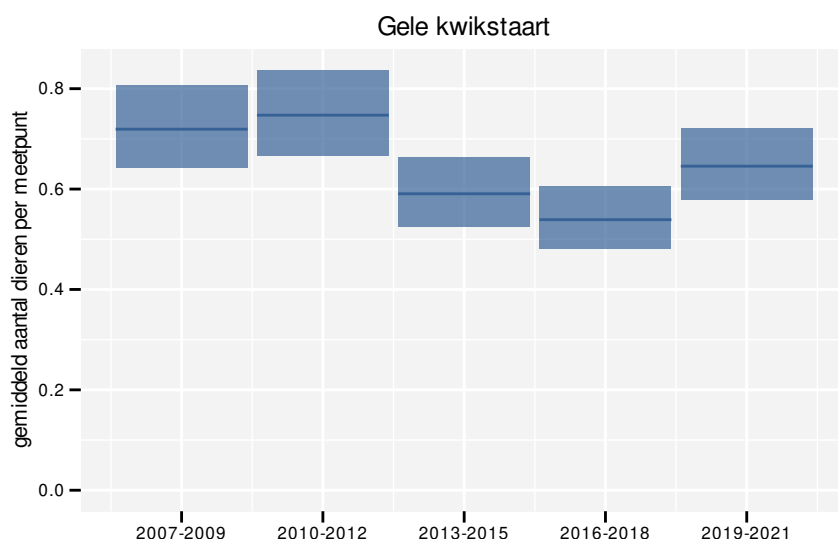
36 GELE KWIKSTAART

Op basis van jaarlijkse gegevens zien we gemiddeld een afname met -1.6% (-2.2%; -0.9%) per jaar of -21% (-29%; -12%) over de volledige looptijd van het meetnet. Deze trend is niet-lineair.

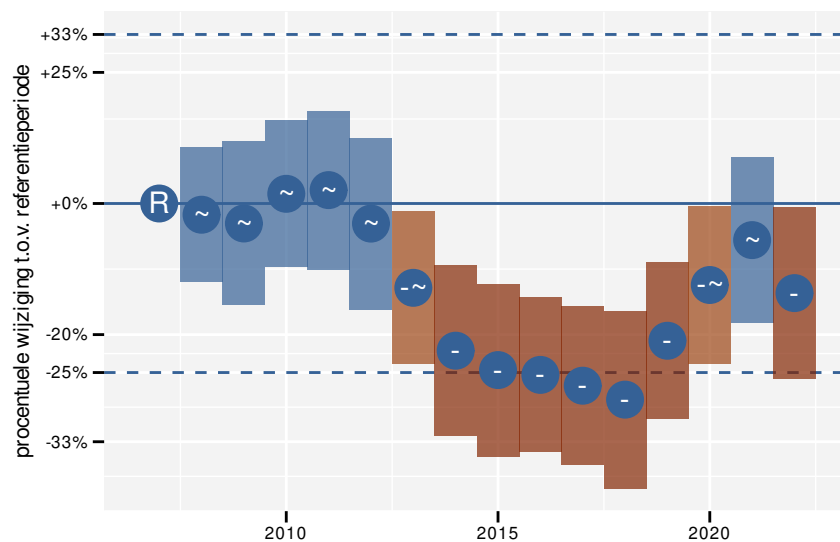
Op basis van driejaarlijkse gegevens zien we gemiddeld een afname met -1.6% (-2.3%; -0.9%) per jaar of -21% (-29%; -13%) over de volledige looptijd van het meetnet. Deze trend is lineair.



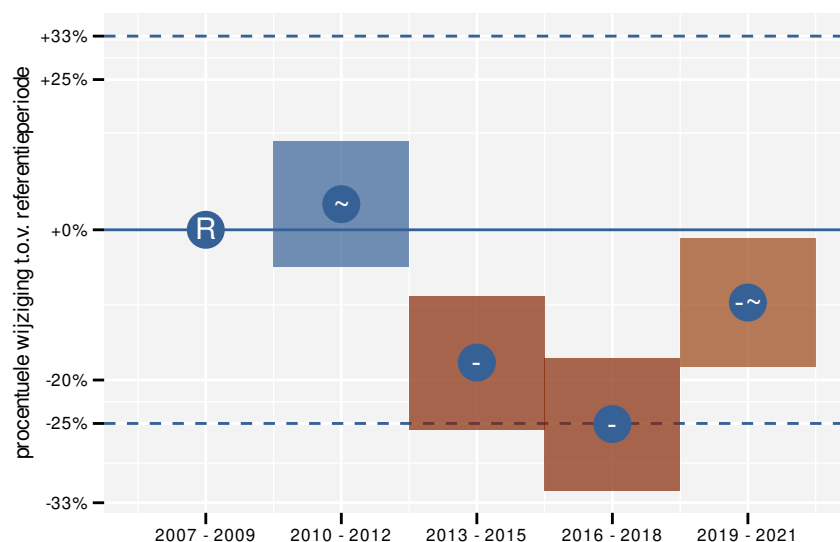
Figuur 36.1: Evolutie van het gemodelleerde gemiddeld aantal waargenomen dieren op een meetpunt voor Gele kwikstaart tijdens de referentieperiode. Zie §3.1 voor een verklaring van de intervallen.



Figuur 36.2: Evolutie van het gemodelleerde gemiddeld aantal waargenomen dieren op een meetpunt voor Gele kwikstaart tijdens de referentieperiode. Zie §3.1 voor een verklaring van de intervallen.



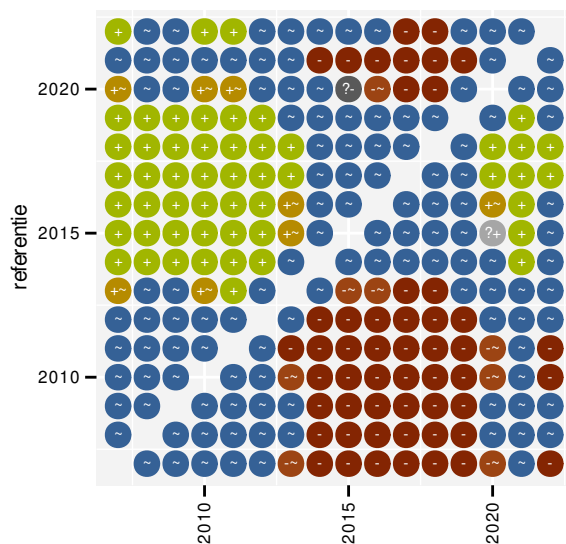
Figuur 36.3: Wijzigingen tussen jaren voor Gele kwikstaart. Zie §3.1 voor een verklaring van de intervallen en §3.2 voor uitleg over de symbolen en referentielijnen.



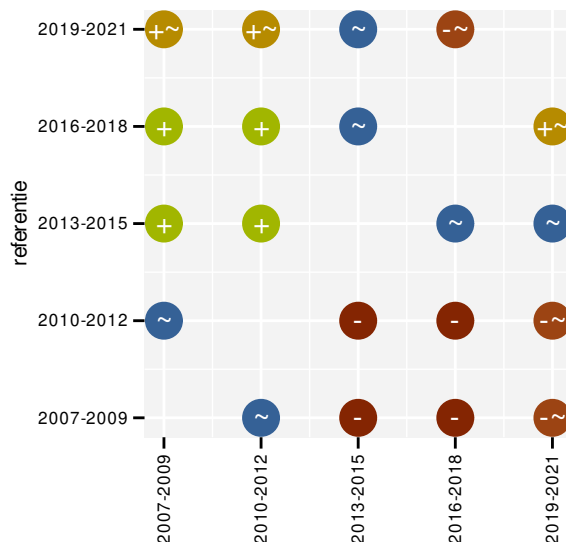
Figuur 36.4: Wijzigingen per driejarige cyclus voor Gele kwikstaart. Zie §3.1 voor een verklaring van de intervallen en §3.2 voor uitleg over de symbolen en referentielijnen.

Tabel 36.1: Stratumgewicht, raming van het aantal hokken waarin de soort aanwezig is, aantal relevante hokken voor de analyse, aantal onderzochte hokken in het stratum, totaal aantal hokken van het stratum in Vlaanderen, aantal bezoeken aan een meetpunt en het gemiddeld aandeel relevante punten per hok voor Gele kwikstaart (zie §2.5).

stratum	gewicht	aanwezig	relevant	onderzocht	totaal	bezoeken	punten
Landbouw	99.6%	2665.0	182	431	6311	8381	62.1%
Moeras en water	0.4%	13.7	8	80	137	326	56.2%



Figuur 36.5: Paarsgewijze vergelijking tussen jaren voor Gele kwikstaart. Uitleg van de symbolen in tabel 3.1.



Figuur 36.6: Paarsgewijze vergelijking tussen driejarige cycli voor Gele kwikstaart. Uitleg van de symbolen in tabel 3.1.

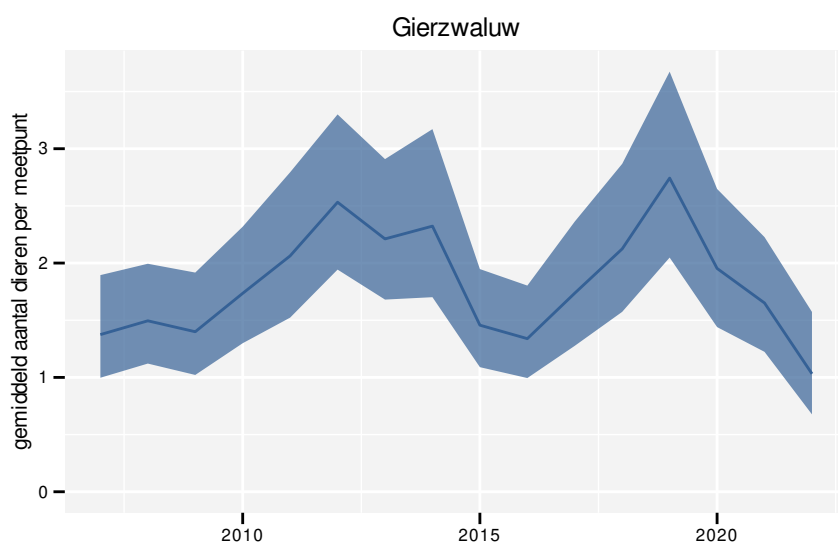
Tabel 36.2: Data-hashes van de analyses in het kader van traceerbaarheid (zie §4.3).

frequentie	model	analyse	status
jaarlijks	niet-lineair	012281aa79e0e947d0e6 48700b7d141392ca633b	92429dd655b1caf731f3 eabf9542300f5b543447
jaarlijks	lineair	a82d75c1bda1aa546338 7829f1c01fe8076b561e	4d04cb143aef7630c301 91a4d66ba9b363f3bdf7
driejaarlijks	niet-lineair	bf844060596e57bf22ac bb8dd34dfa560be2666b	dea5349ed1ed8684db7f 9eb31f8dddf4388bcfbd
driejaarlijks	lineair	a9ceec7884cf07f3744c c9222205658f751f2f0a	4561f3b64b8108ebe260 7c5f8b1baa6b6adfef5f

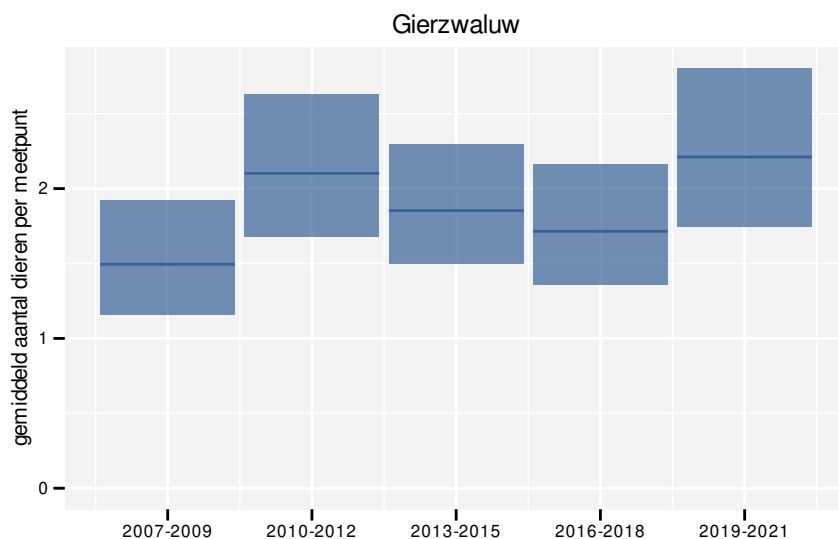
37 GIERZWALUW

Op basis van jaarlijkse gegevens zien we gemiddeld een mogelijke toename met +0.8% (-1.4%; +3.0%) per jaar of +12% (-19%; +55%) over de volledige looptijd van het meetnet. Deze trend is niet-lineair.

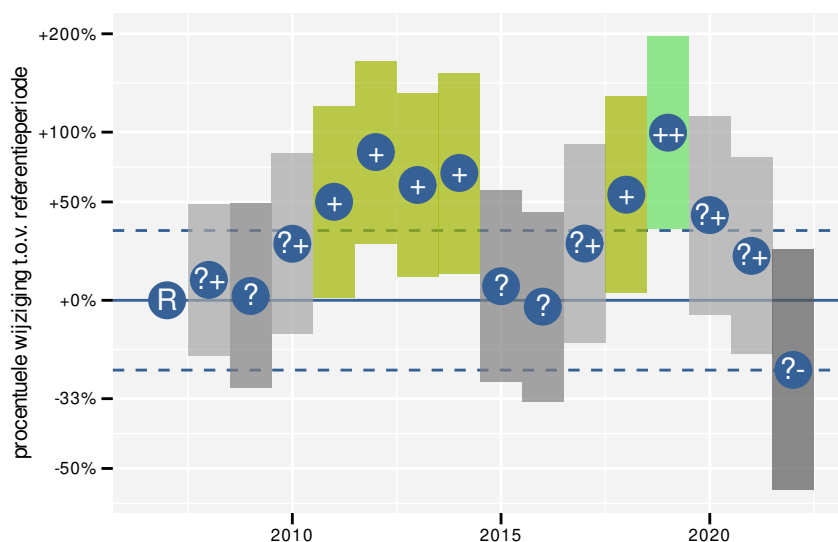
Op basis van driejaarlijkse gegevens zien we gemiddeld een mogelijke toename met +0.9% (-1.2%; +3.2%) per jaar of +15% (-17%; +59%) over de volledige looptijd van het meetnet. Deze trend is niet-lineair.



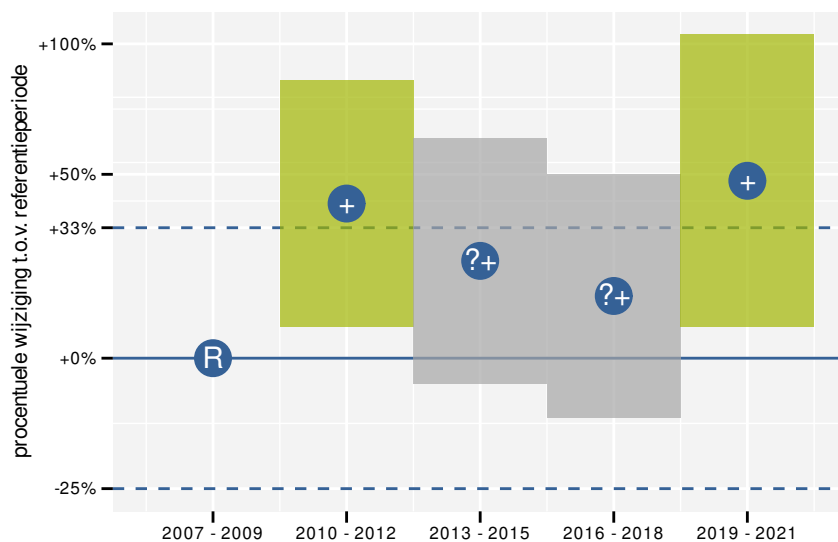
Figuur 37.1: Evolutie van het gemodelleerde gemiddeld aantal waargenomen dieren op een meetpunt voor Gierzwaluw tijdens de referentieperiode. Zie §3.1 voor een verklaring van de intervallen.



Figuur 37.2: Evolutie van het gemodelleerde gemiddeld aantal waargenomen dieren op een meetpunt voor Gierzwaluw tijdens de referentieperiode. Zie §3.1 voor een verklaring van de intervallen.



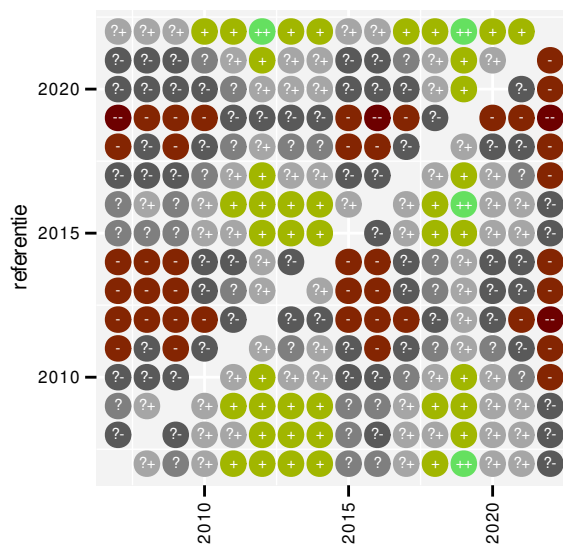
Figuur 37.3: Wijzigingen tussen jaren voor Gierzwaluw. Zie §3.1 voor een verklaring van de intervallen en §3.2 voor uitleg over de symbolen en referentielijnen.



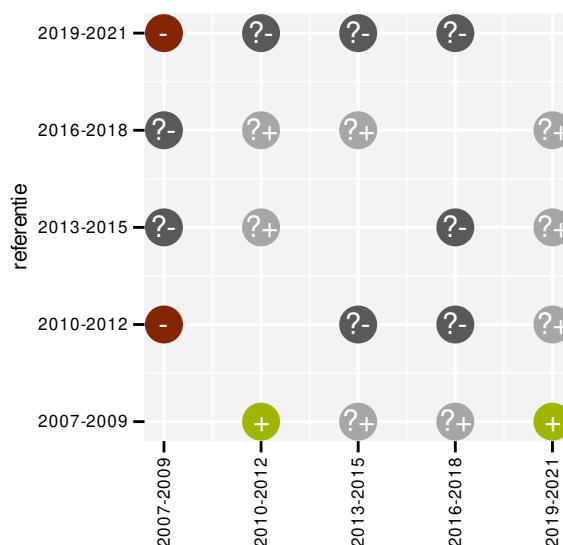
Figuur 37.4: Wijzigingen per driejarige cyclus voor Gierzwaluw. Zie §3.1 voor een verklaring van de intervallen en §3.2 voor uitleg over de symbolen en referentielijnen.

Tabel 37.1: Stratumgewicht, raming van het aantal hokken waarin de soort aanwezig is, aantal relevante hokken voor de analyse, aantal onderzochte hokken in het stratum, totaal aantal hokken van het stratum in Vlaanderen, aantal bezoeken aan een meetpunt en het gemiddeld aandeel relevante punten per hok voor Gierzwaluw (zie §2.5).

stratum	gewicht	aanwezig	relevant	onderzocht	totaal	bezoeken	punten
Landbouw	57.3%	556.4	38	431	6311	848	42.1%
Urbaan	28.6%	277.3	58	87	416	2091	80.7%
Suburbaan	6.1%	62.1	21	68	201	714	66.7%
Moeras en water	3.9%	37.7	22	80	137	640	57.6%
Heide en duin	3.1%	29.6	14	94	199	335	52.4%
Bos	1.0%	11.8	7	190	319	150	40.5%



Figuur 37.5: Paarsgewijze vergelijking tussen jaren voor Gierzwaluw. Uitleg van de symbolen in tabel 3.1.



Figuur 37.6: Paarsgewijze vergelijking tussen driejarige cycli voor Gierzwaluw. Uitleg van de symbolen in tabel 3.1.

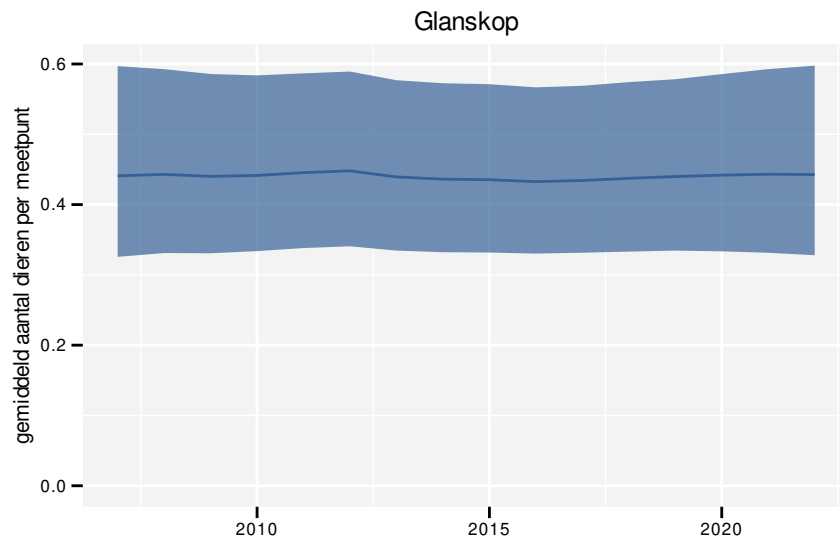
Tabel 37.2: Data-hashes van de analyses in het kader van traceerbaarheid (zie §4.3).

frequentie	model	analyse	status
jaarlijks	niet-lineair	a349541537c4b16b808a	19fb995dd99822382b36
jaarlijks	lineair	7b34b07fec1dc2579f8e	4aa7785b0a0f586b1de7
driejaarlijks	niet-lineair	b778c9c94eccc1e7f839	00580d2e60dd681702e8
driejaarlijks	lineair	f373a9e5165d89b18942	43e7dfca310bd8149eda
driejaarlijks	niet-lineair	562f90e9b641a09aa6a2	00ad5a23111673bfc4a6
driejaarlijks	lineair	f23f7ddf36ac03a815b4	c53e564a0bebb1432da4
driejaarlijks	niet-lineair	d6f92d197bbb3f8cee19	5d6b5caeea27fa2ea8c4
driejaarlijks	lineair	c93081c7da8743830980	4a94146af09c05b9abf6

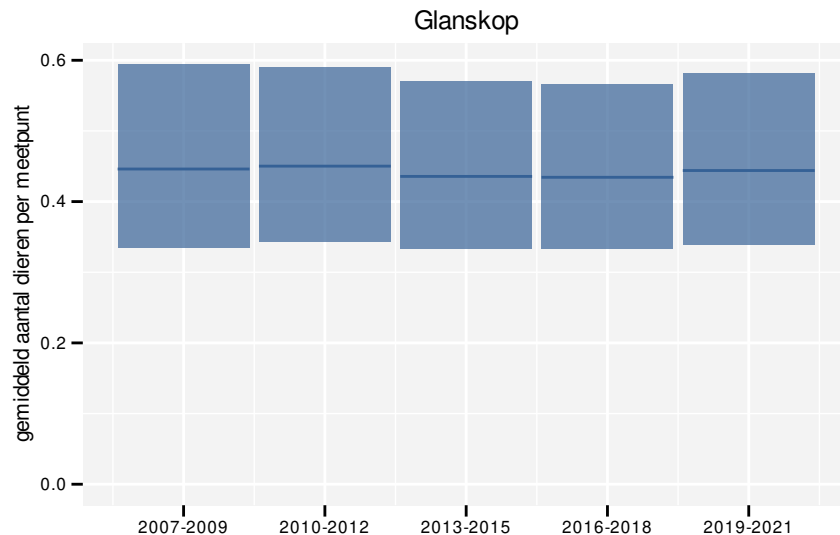
38 GLANSKOP

Op basis van jaarlijkse gegevens zien we gemiddeld een onduidelijk met $+0.9\%$ (-2.6% ; $+4.5\%$) per jaar of $+10\%$ (-30% ; $+90\%$) over de volledige looptijd van het meetnet. Deze trend is mogelijk niet-lineair.

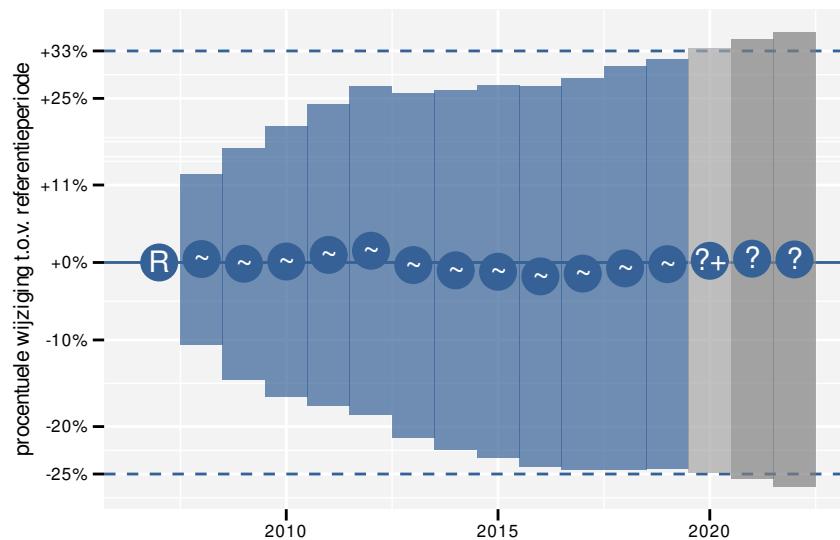
Op basis van driejaarlijkse gegevens zien we gemiddeld een onduidelijk met $+0.7\%$ (-2.7% ; $+4.3\%$) per jaar of $+10\%$ (-30% ; $+90\%$) over de volledige looptijd van het meetnet. Deze trend is niet-lineair.



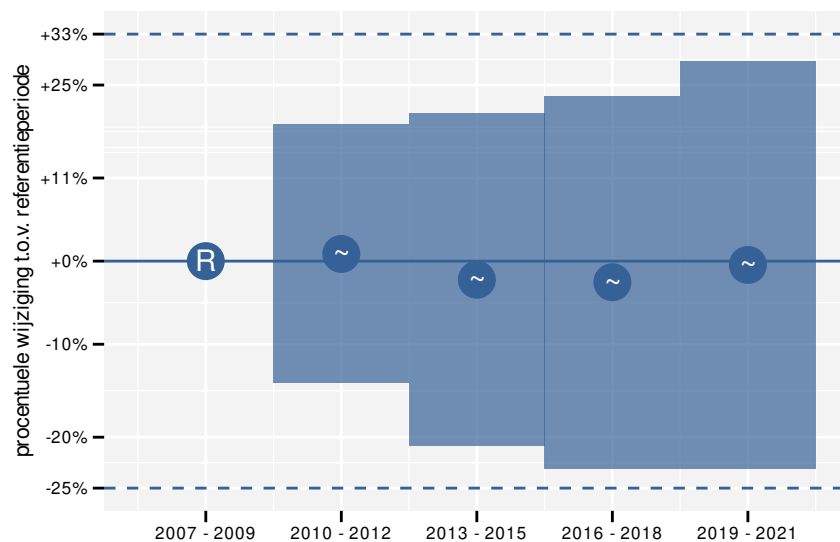
Figuur 38.1: Evolutie van het gemodelleerde gemiddeld aantal waargenomen dieren op een meetpunt voor Glanskop tijdens de referentieperiode. Zie §3.1 voor een verklaring van de intervallen.



Figuur 38.2: Evolutie van het gemodelleerde gemiddeld aantal waargenomen dieren op een meetpunt voor Glanskop tijdens de referentieperiode. Zie §3.1 voor een verklaring van de intervallen.



Figuur 38.3: Wijzigingen tussen jaren voor Glanskop. Zie §3.1 voor een verklaring van de intervallen en §3.2 voor uitleg over de symbolen en referentielijnen.



Figuur 38.4: Wijzigingen per driejarige cyclus voor Glanskop. Zie §3.1 voor een verklaring van de intervallen en §3.2 voor uitleg over de symbolen en referentielijnen.

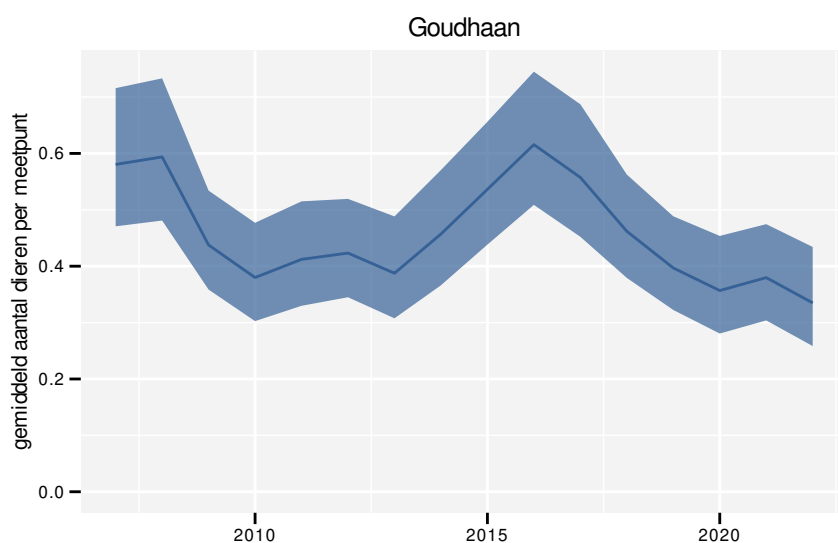
Tabel 38.1: Stratumgewicht, raming van het aantal hokken waarin de soort aanwezig is, aantal relevante hokken voor de analyse, aantal onderzochte hokken in het stratum, totaal aantal hokken van het stratum in Vlaanderen, aantal bezoeken aan een meetpunt en het gemiddeld aandeel relevante punten per hok voor Glanskop (zie §2.5).

stratum	gewicht	aanwezig	relevant	onderzocht	totaal	bezoeken	punten
Landbouw	61.8%	87.9	6	431	6311	266	52.8%
Bos	38.2%	45.3	27	190	319	1367	65.4%

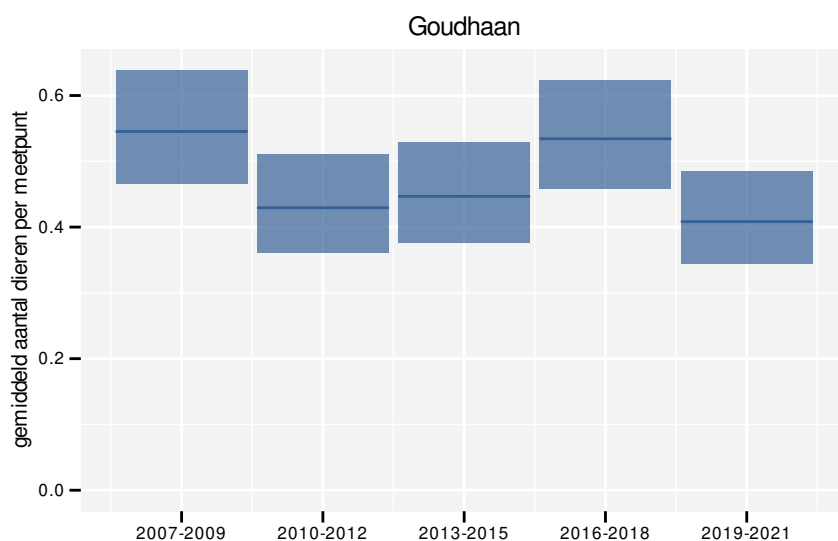
39 GOUDHAAN

Op basis van jaarlijkse gegevens zien we gemiddeld een afname met -2.2% (-3.7%; -0.6%) per jaar of -28% (-44%; -9%) over de volledige looptijd van het meetnet. Deze trend is niet-lineair.

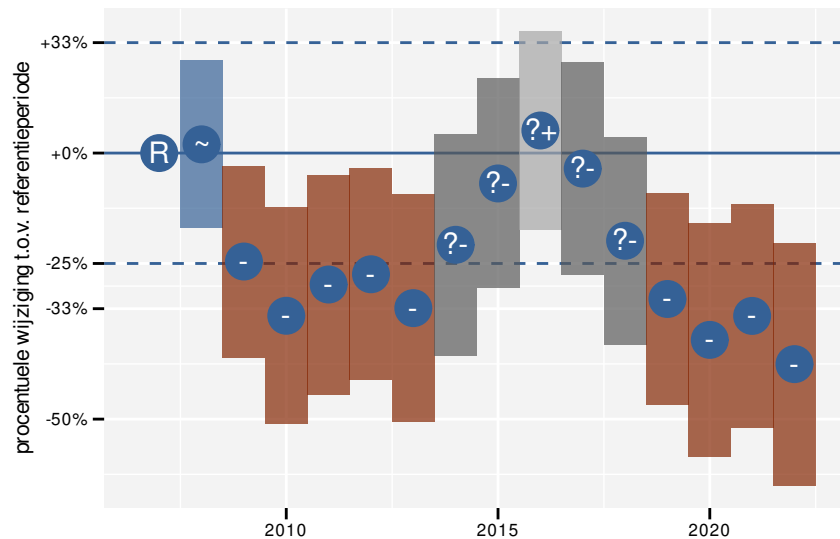
Op basis van driejaarlijkse gegevens zien we gemiddeld een afname met -2.3% (-3.8%; -0.7%) per jaar of -29% (-44%; -10%) over de volledige looptijd van het meetnet. Deze trend is niet-lineair.



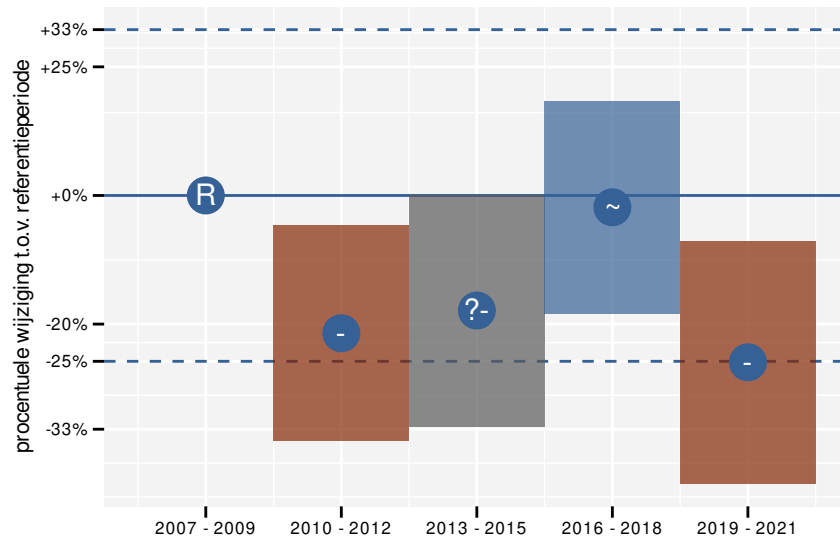
Figuur 39.1: Evolutie van het gemodelleerde gemiddeld aantal waargenomen dieren op een meetpunt voor Goudhaan tijdens de referentieperiode. Zie §3.1 voor een verklaring van de intervallen.



Figuur 39.2: Evolutie van het gemodelleerde gemiddeld aantal waargenomen dieren op een meetpunt voor Goudhaan tijdens de referentieperiode. Zie §3.1 voor een verklaring van de intervallen.



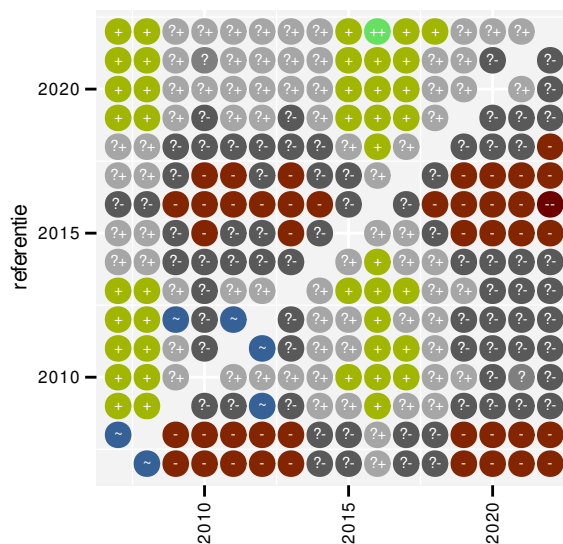
Figuur 39.3: Wijzigingen tussen jaren voor Goudhaan. Zie §3.1 voor een verklaring van de intervallen en §3.2 voor uitleg over de symbolen en referentielijnen.



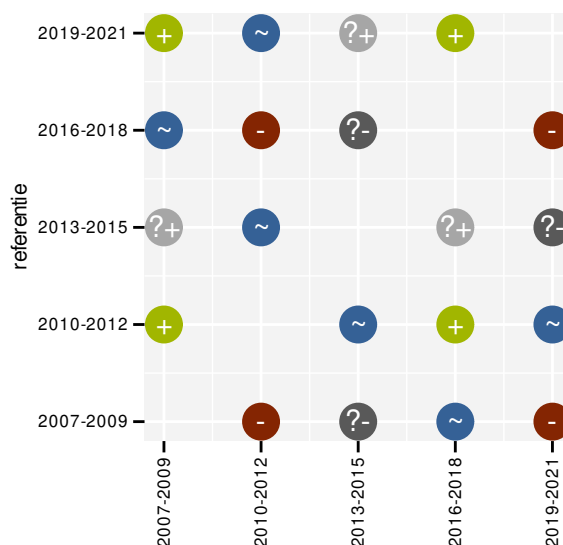
Figuur 39.4: Wijzigingen per driejarige cyclus voor Goudhaan. Zie §3.1 voor een verklaring van de intervallen en §3.2 voor uitleg over de symbolen en referentielijnen.

Tabel 39.1: Stratumgewicht, raming van het aantal hokken waarin de soort aanwezig is, aantal relevante hokken voor de analyse, aantal onderzochte hokken in het stratum, totaal aantal hokken van het stratum in Vlaanderen, aantal bezoeken aan een meetpunt en het gemiddeld aandeel relevante punten per hok voor Goudhaan (zie §2.5).

stratum	gewicht	aanwezig	relevant	onderzocht	totaal	bezoeken	punten
Landbouw	58.1%	527.1	36	431	6311	1060	33.8%
Bos	17.9%	162.9	97	190	319	5196	71.1%
Urbaan	9.5%	86.1	18	87	416	826	49.1%
Heide en duin	7.0%	63.5	30	94	199	1261	49.4%
Suburbaan	4.9%	44.3	15	68	201	702	65.6%
Moeras en water	2.6%	24.0	14	80	137	460	46.4%



Figuur 39.5: Paarsgewijze vergelijking tussen jaren voor Goudhaan. Uitleg van de symbolen in tabel 3.1.



Figuur 39.6: Paarsgewijze vergelijking tussen driejarige cycli voor Goudhaan. Uitleg van de symbolen in tabel 3.1.

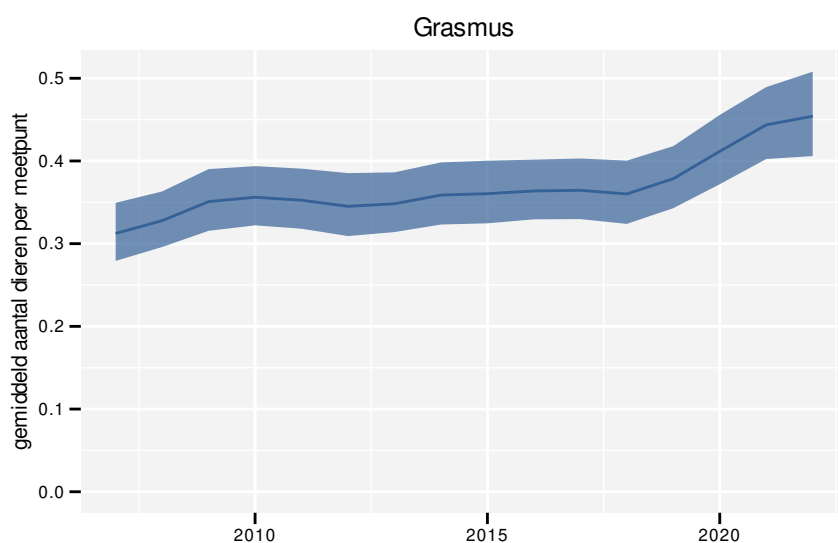
Tabel 39.2: Data-hashes van de analyses in het kader van traceerbaarheid (zie §4.3).

frequentie	model	analyse	status
jaarlijks	niet-lineair	a96bc37851828749b4cb 21d1acee3cc2ca6d3519	472963dd3c32b12e73ab 286d06aaccd16d956a10
jaarlijks	lineair	5f37ff3f821f0fba13d2 9245f6fbf072dcb8de37	6f4b6f4b40e4f5fd07ad abcd6f137d9b0fcbc558
driejaarlijks	niet-lineair	742904a09045f3f9b92d 5e01d725c1010c931f30	7dc337a1887f5e2b3c77 12ac3e0630c7f8eba05f
driejaarlijks	lineair	eb3ff393c397688a2034 15c1d1985241315e5b1e	42d75380b5cd83fd3515 8d79da3ee792307c6dcd

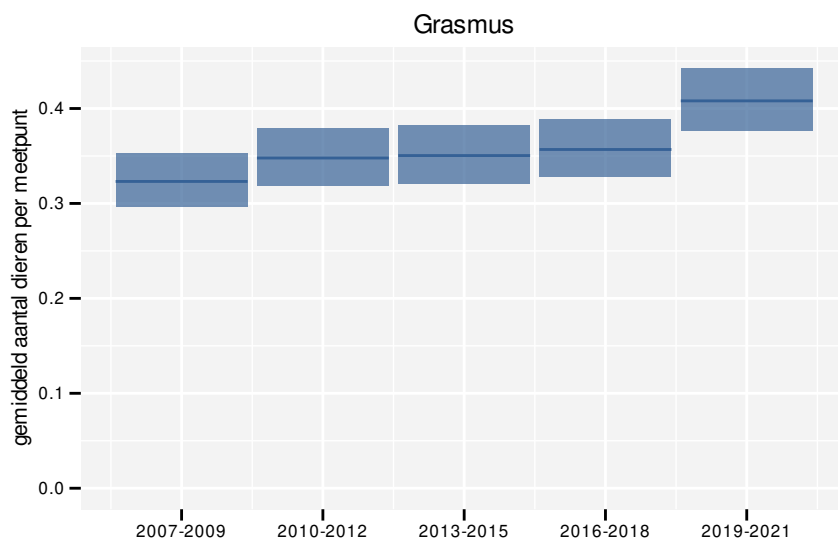
40 GRASMUS

Op basis van jaarlijkse gegevens zien we gemiddeld een toename met +2.0% (+1.3%; +2.7%) per jaar of +34% (+22%; +49%) over de volledige looptijd van het meetnet. Deze trend is niet-lineair.

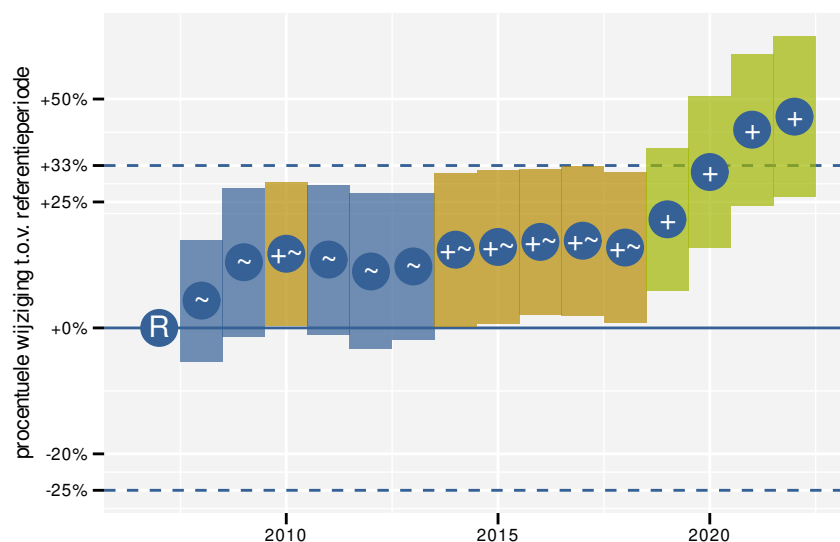
Op basis van driejaarlijkse gegevens zien we gemiddeld een toename met +2.0% (+1.3%; +2.7%) per jaar of +34% (+21%; +48%) over de volledige looptijd van het meetnet. Deze trend is niet-lineair.



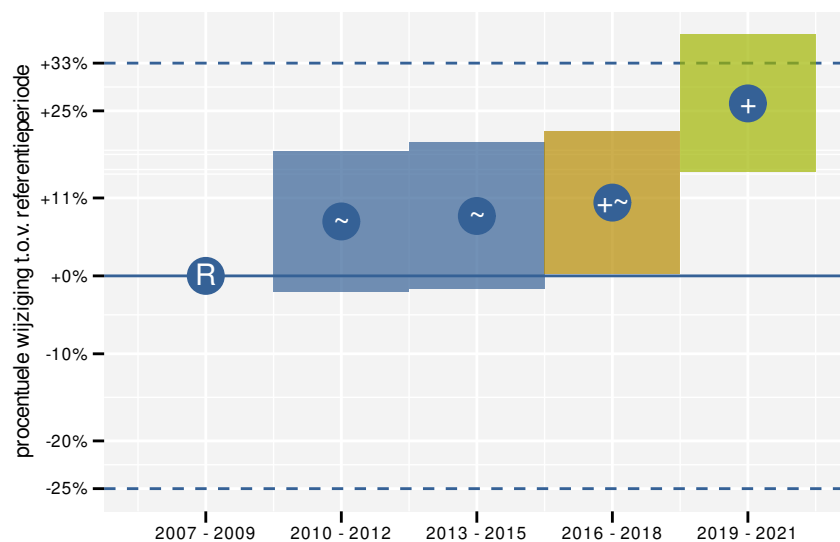
Figuur 40.1: Evolutie van het gemodelleerde gemiddeld aantal waargenomen dieren op een meetpunt voor Grasmus tijdens de referentieperiode. Zie §3.1 voor een verklaring van de intervallen.



Figuur 40.2: Evolutie van het gemodelleerde gemiddeld aantal waargenomen dieren op een meetpunt voor Grasmus tijdens de referentieperiode. Zie §3.1 voor een verklaring van de intervallen.



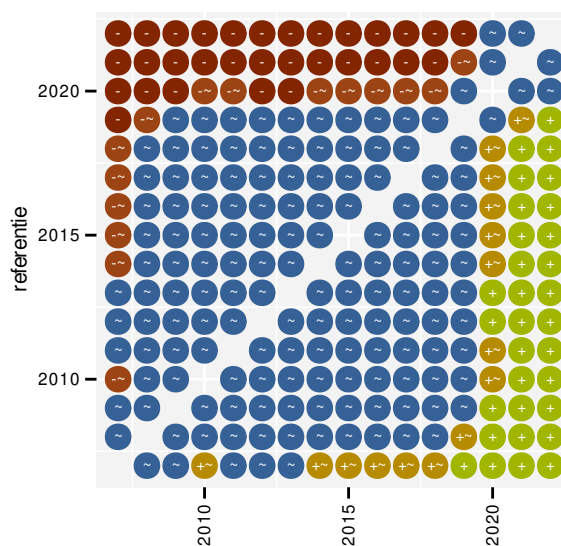
Figuur 40.3: Wijzigingen tussen jaren voor Grasmus. Zie §3.1 voor een verklaring van de intervallen en §3.2 voor uitleg over de symbolen en referentielijnen.



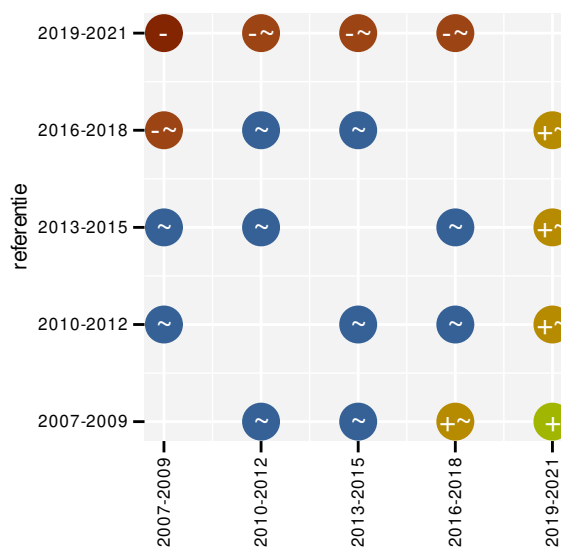
Figuur 40.4: Wijzigingen per driejarige cyclus voor Grasmus. Zie §3.1 voor een verklaring van de intervallen en §3.2 voor uitleg over de symbolen en referentielijnen.

Tabel 40.1: Stratumgewicht, raming van het aantal hokken waarin de soort aanwezig is, aantal relevante hokken voor de analyse, aantal onderzochte hokken in het stratum, totaal aantal hokken van het stratum in Vlaanderen, aantal bezoeken aan een meetpunt en het gemiddeld aandeel relevante punten per hok voor Grasmus (zie §2.5).

stratum	gewicht	aanwezig	relevant	onderzocht	totaal	bezoeken	punten
Landbouw	93.1%	3280.0	224	431	6311	7287	66.2%
Heide en duin	2.1%	74.1	35	94	199	1031	69.5%
Moeras en water	1.9%	66.8	39	80	137	1355	72.6%
Suburbaan	1.3%	44.3	15	68	201	394	53.3%
Bos	0.9%	30.2	18	190	319	480	54.6%
Urbaan	0.8%	33.5	7	87	416	95	28.6%



Figuur 40.5: Paarsgewijze vergelijking tussen jaren voor Grasmus. Uitleg van de symbolen in tabel 3.1.



Figuur 40.6: Paarsgewijze vergelijking tussen driejarige cycli voor Grasmus. Uitleg van de symbolen in tabel 3.1.

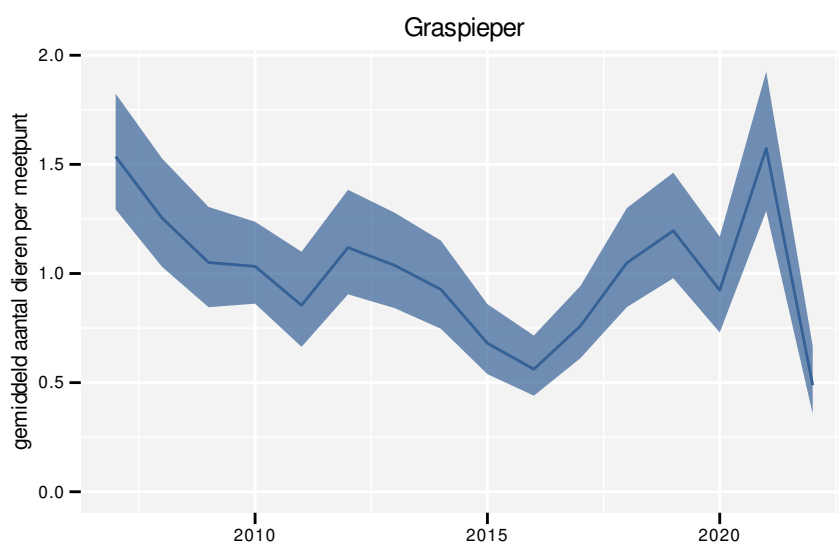
Tabel 40.2: Data-hashes van de analyses in het kader van traceerbaarheid (zie §4.3).

frequentie	model	analyse	status
jaarlijks	niet-lineair	0f6bc400e5d0ddf8f227 529b2a43962ce70886cb	a8c56057775225b89a1a 22f3e0c9a73fb09928db
jaarlijks	lineair	715904193bb53afa7e42 5dbd7381fff8cadd8d6c	db49ff1132458c4c990f 9959b59771155aea885a
driejaarlijks	niet-lineair	50a84bd5729ef1ce1690 e1a3dff838c116294356	a0b7816f244af50a2411 b1fa74b171a4425e1c0c
driejaarlijks	lineair	165ec3da3c76d9ab9fea c1cf4bf431ee680e061b	6a28ef1b3cd313752a29 da5fa3535a1ef3890c7f

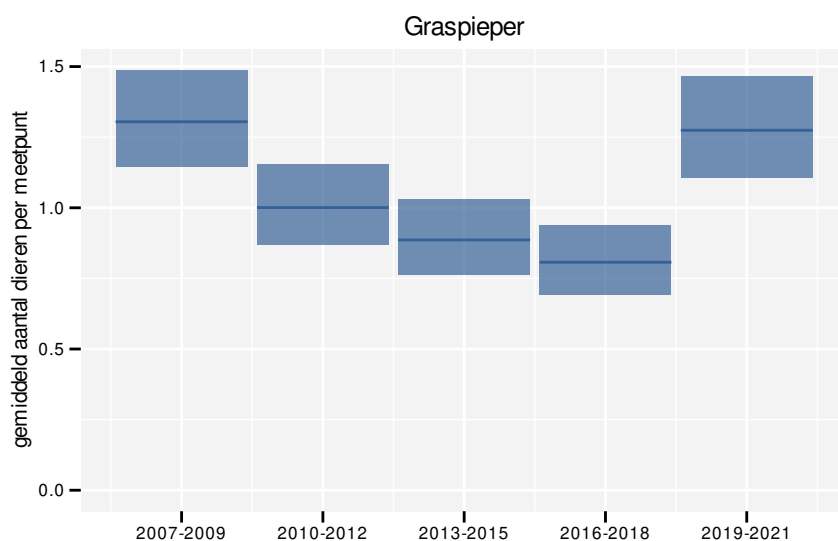
41 GRASPIEPER

Op basis van jaarlijkse gegevens zien we gemiddeld een afname met -1.9% (-2.9%; -0.9%) per jaar of -25% (-36%; -13%) over de volledige looptijd van het meetnet. Deze trend is niet-lineair.

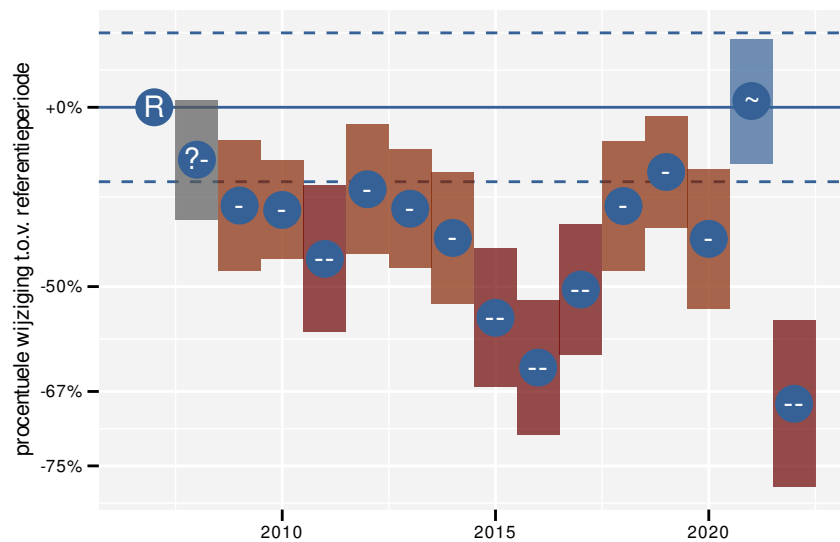
Op basis van driejaarlijkse gegevens zien we gemiddeld een afname met -2.1% (-3.1%; -1.1%) per jaar of -27% (-38%; -15%) over de volledige looptijd van het meetnet. Deze trend is niet-lineair.



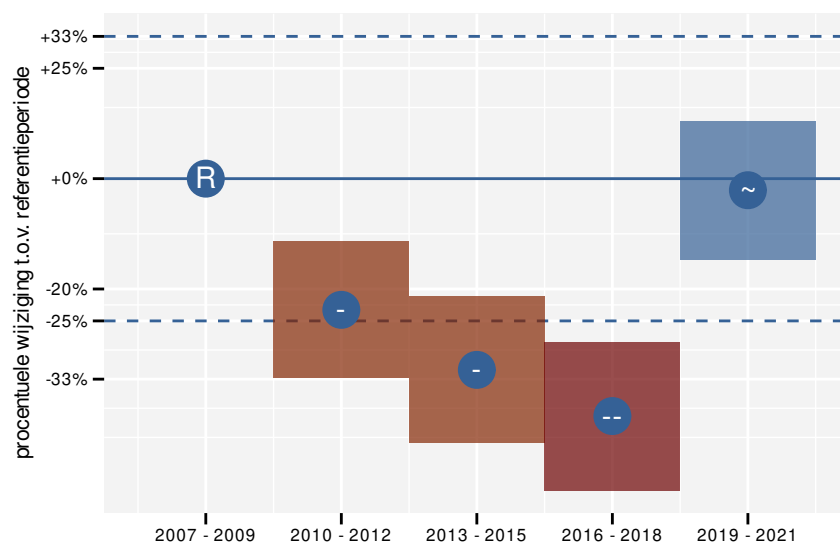
Figuur 41.1: Evolutie van het gemodelleerde gemiddeld aantal waargenomen dieren op een meetpunt voor Graspieper tijdens de referentieperiode. Zie §3.1 voor een verklaring van de intervallen.



Figuur 41.2: Evolutie van het gemodelleerde gemiddeld aantal waargenomen dieren op een meetpunt voor Graspieper tijdens de referentieperiode. Zie §3.1 voor een verklaring van de intervallen.



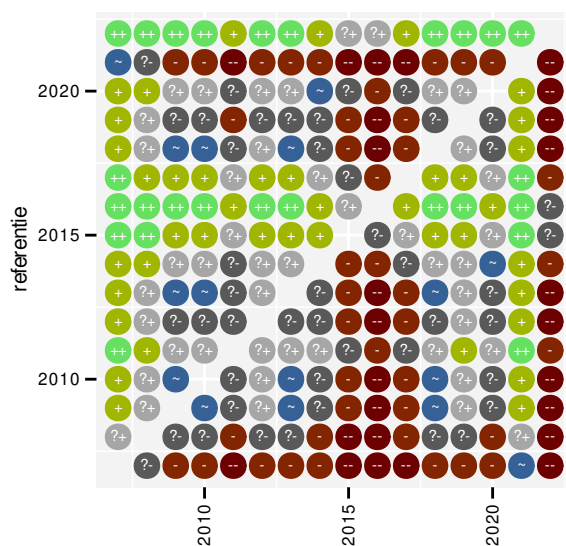
Figuur 41.3: Wijzigingen tussen jaren voor Graspieper. Zie §3.1 voor een verklaring van de intervallen en §3.2 voor uitleg over de symbolen en referentielijnen.



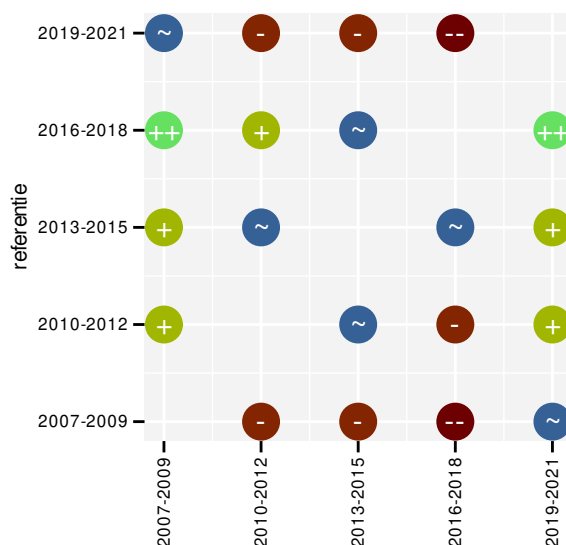
Figuur 41.4: Wijzigingen per driejarige cyclus voor Graspieper. Zie §3.1 voor een verklaring van de intervallen en §3.2 voor uitleg over de symbolen en referentielijnen.

Tabel 41.1: Stratumgewicht, raming van het aantal hokken waarin de soort aanwezig is, aantal relevante hokken voor de analyse, aantal onderzochte hokken in het stratum, totaal aantal hokken van het stratum in Vlaanderen, aantal bezoeken aan een meetpunt en het gemiddeld aandeel relevante punten per hok voor Graspieper (zie §2.5).

stratum	gewicht	aanwezig	relevant	onderzocht	totaal	bezoeken	punten
Landbouw	93.5%	1669.3	114	431	6311	5097	58.0%
Heide en duin	4.9%	86.8	41	94	199	1642	58.5%
Suburbaan	0.8%	17.7	6	68	201	107	52.8%
Moeras en water	0.8%	13.7	8	80	137	300	47.9%



Figuur 41.5: Paarsgewijze vergelijking tussen jaren voor Graspieper. Uitleg van de symbolen in tabel 3.1.



Figuur 41.6: Paarsgewijze vergelijking tussen driejarige cycli voor Graspieper. Uitleg van de symbolen in tabel 3.1.

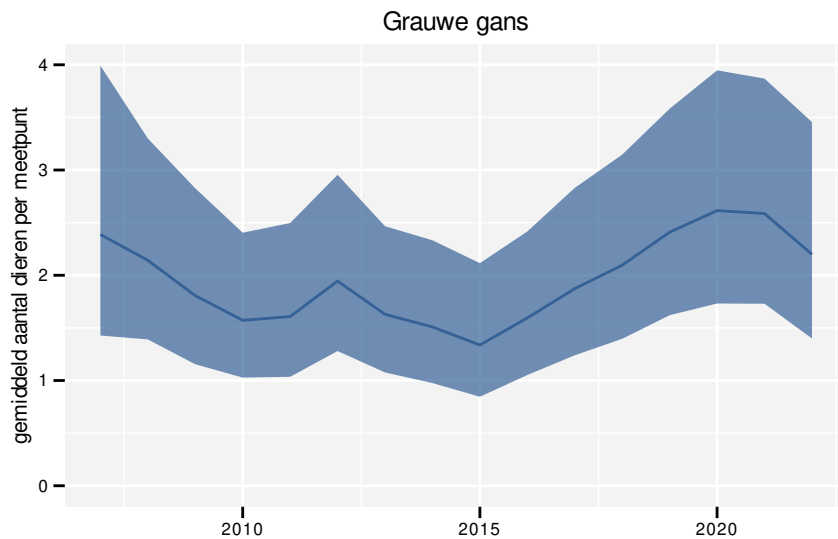
Tabel 41.2: Data-hashes van de analyses in het kader van traceerbaarheid (zie §4.3).

frequentie	model	analyse	status
jaarlijks	niet-lineair	0907efcd38ef43c3a38e	e507a7f07e07c23098f4
		794a5bba6ba830b0f784	6c658ba447b0d2b1d28c
jaarlijks	lineair	3eef65babfcf7578c161	43c6af5da452922bf7fe
		b341b0333a4f0cafec10	c4e4eb13b767109f5ae7
driejaarlijks	niet-lineair	3f88d700688e2b098669	781a2d68cdfa01dff980
		fdd35a8acf717c08e09b	4f7c12921765e9425413
driejaarlijks	lineair	26b3e3dd7e51021f9b17	72f968a51b4d5923dc69
		e820b154259ab50fa4be	8a61579a052c34fa593d

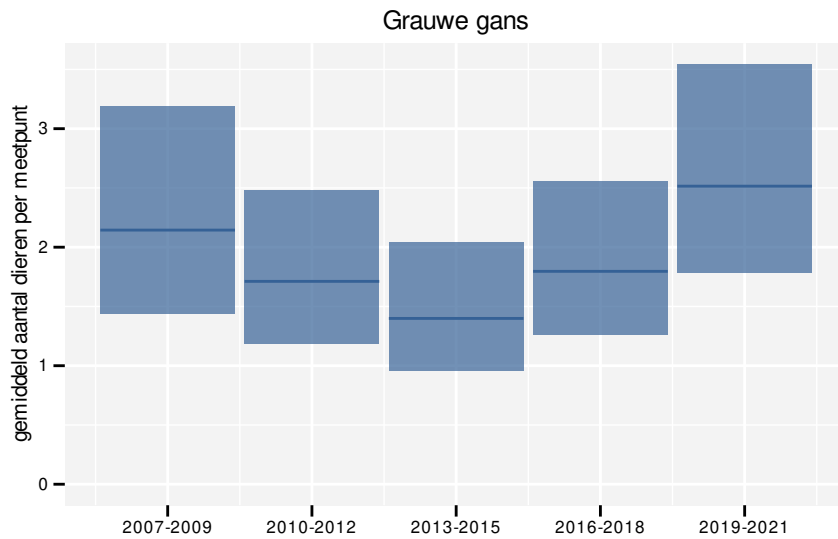
42 GRAUWE GANS

Op basis van jaarlijkse gegevens zien we gemiddeld een mogelijke toename met $+2.0\%$ (-0.7% ; $+4.8\%$) per jaar of $+34\%$ (-11% ; $+102\%$) over de volledige looptijd van het meetnet. Deze trend is niet-lineair.

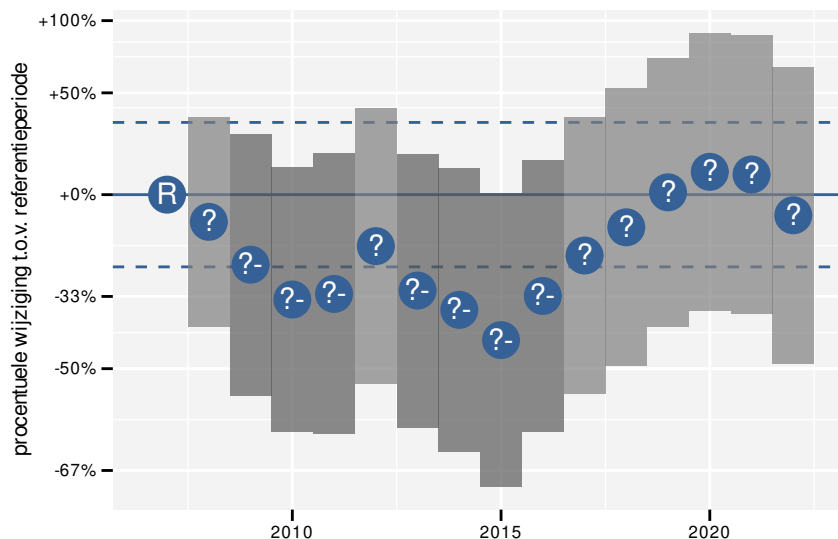
Op basis van driejaarlijkse gegevens zien we gemiddeld een mogelijke toename met $+1.7\%$ (-1.0% ; $+4.5\%$) per jaar of $+30\%$ (-10% ; $+90\%$) over de volledige looptijd van het meetnet. Deze trend is niet-lineair.



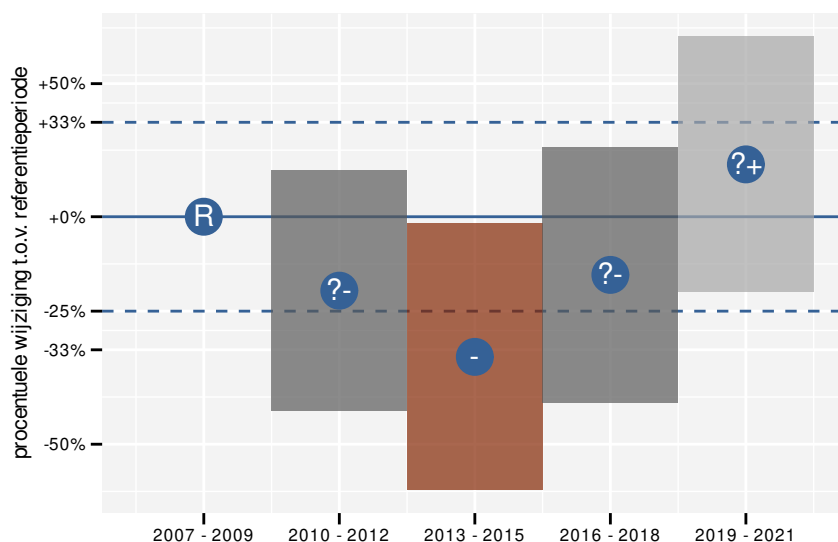
Figuur 42.1: Evolatie van het gemodelleerde gemiddeld aantal waargenomen dieren op een meetpunt voor Grauwe gans tijdens de referentieperiode. Zie §3.1 voor een verklaring van de intervallen.



Figuur 42.2: Evolatie van het gemodelleerde gemiddeld aantal waargenomen dieren op een meetpunt voor Grauwe gans tijdens de referentieperiode. Zie §3.1 voor een verklaring van de intervallen.



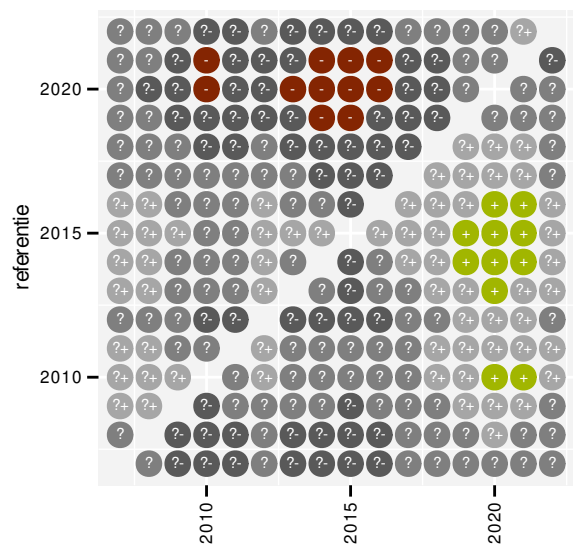
Figuur 42.3: Wijzigingen tussen jaren voor Grauwe gans. Zie §3.1 voor een verklaring van de intervallen en §3.2 voor uitleg over de symbolen en referentielijnen.



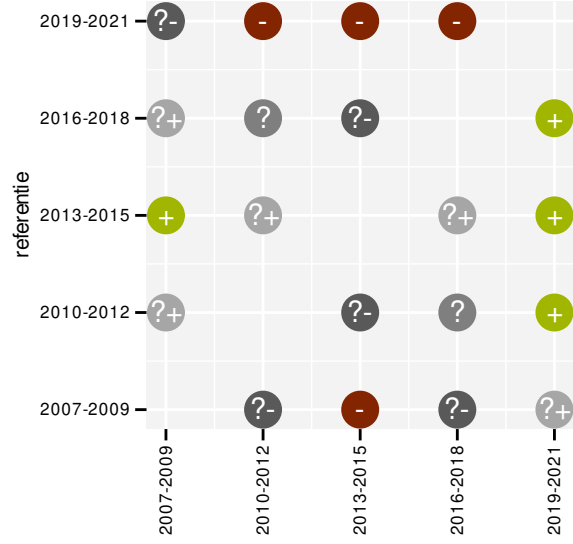
Figuur 42.4: Wijzigingen per driejarige cyclus voor Grauwe gans. Zie §3.1 voor een verklaring van de intervallen en §3.2 voor uitleg over de symbolen en referentielijnen.

Tabel 42.1: Stratumgewicht, raming van het aantal hokken waarin de soort aanwezig is, aantal relevante hokken voor de analyse, aantal onderzochte hokken in het stratum, totaal aantal hokken van het stratum in Vlaanderen, aantal bezoeken aan een meetpunt en het gemiddeld aandeel relevante punten per hok voor Grauwe gans (zie §2.5).

stratum	gewicht	aanwezig	relevant	onderzocht	totaal	bezoeken	punten
Landbouw	84.9%	468.6	32	431	6311	1453	54.7%
Moeras en water	7.8%	42.8	25	80	137	1175	64.0%
Heide en duin	4.6%	25.4	12	94	199	506	52.8%
Bos	2.7%	16.8	10	190	319	323	55.0%



Figuur 42.5: Paarsgewijze vergelijking tussen jaren voor Grauwe gans. Uitleg van de symbolen in tabel 3.1.



Figuur 42.6: Paarsgewijze vergelijking tussen driejarige cycli voor Grauwe gans. Uitleg van de symbolen in tabel 3.1.

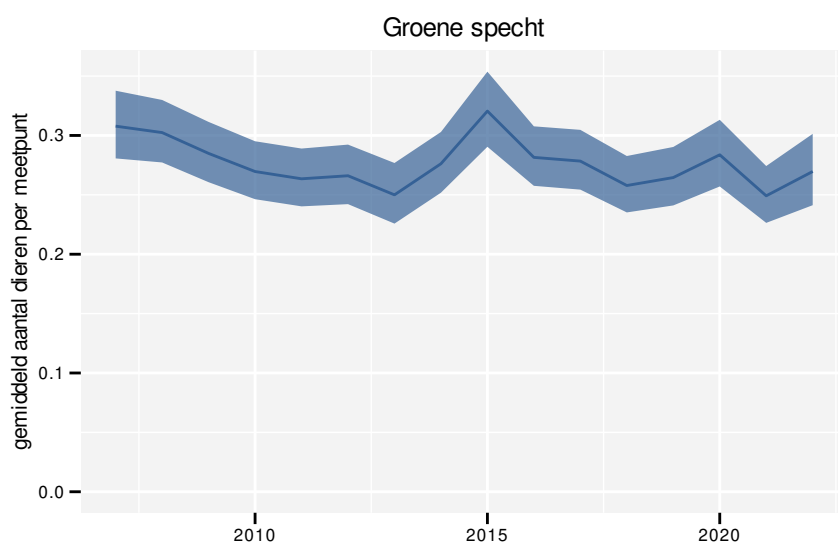
Tabel 42.2: Data-hashes van de analyses in het kader van traceerbaarheid (zie §4.3).

frequentie	model	analyse	status
jaarlijks	niet-lineair	5f1ef00268581bcbcb6e28e0b130f407fee72269	ea7a30971b51577c98bd0ab4b75f5717318912fc
jaarlijks	lineair	9650969380e25fd289eaf2c6e3d0871c3c28459a	52c4bea09b760464b4df84dbe8057acd94e39ee1
driejaarlijks	niet-lineair	a881dd1a4cd026a42ecfc7530acd9ca97a577ad3	cb8b822797d5f738eafd a38911e51be3aad4af85
driejaarlijks	lineair	bdd6680bc224b988086d2bbb7481455c9b3edbed	7eb792fa6b064537d69d3ce32803d9f2fd88708d

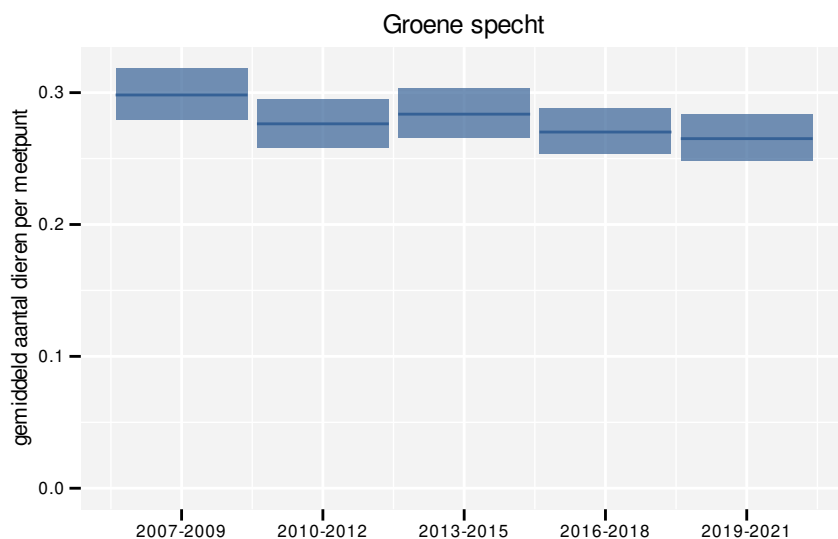
43 GROENE SPECHT

Op basis van jaarlijkse gegevens zien we gemiddeld een matige afname met -0.68% (-1.24%; -0.10%) per jaar of -9.7% (-17.1%; -1.5%) over de volledige looptijd van het meetnet. Deze trend is niet-lineair.

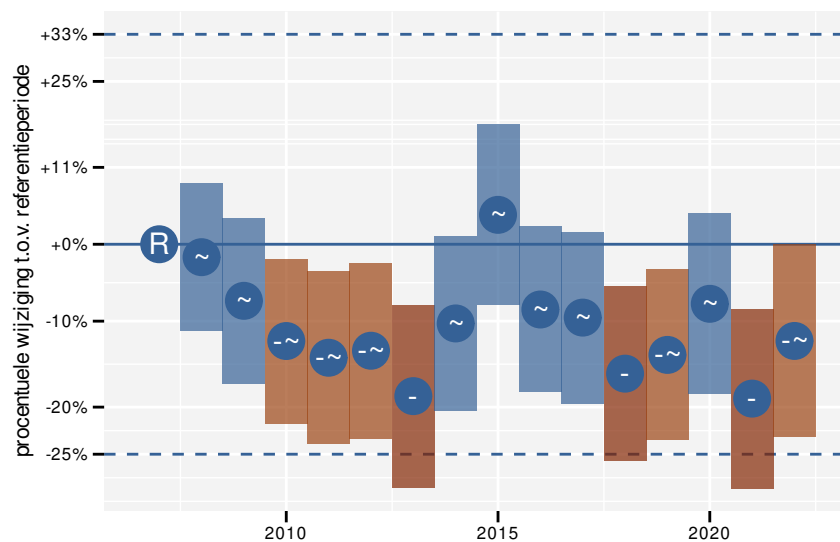
Op basis van driejaarlijkse gegevens zien we gemiddeld een matige afname met -0.73% (-1.30%; -0.15%) per jaar of -10.4% (-17.8%; -2.3%) over de volledige looptijd van het meetnet. Deze trend is niet-lineair.



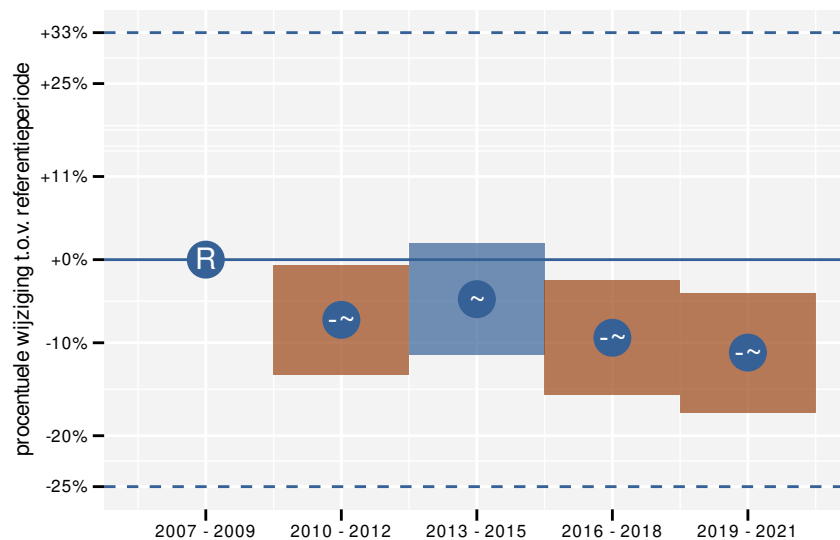
Figuur 43.1: Evolutie van het gemodelleerde gemiddeld aantal waargenomen dieren op een meetpunt voor Groene specht tijdens de referentieperiode. Zie §3.1 voor een verklaring van de intervallen.



Figuur 43.2: Evolutie van het gemodelleerde gemiddeld aantal waargenomen dieren op een meetpunt voor Groene specht tijdens de referentieperiode. Zie §3.1 voor een verklaring van de intervallen.



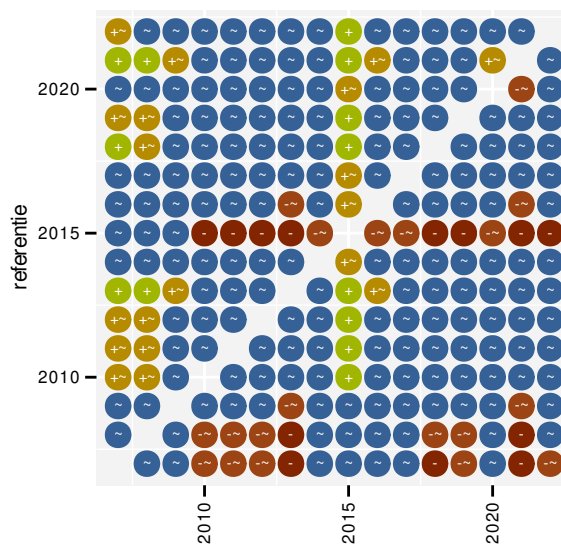
Figuur 43.3: Wijzigingen tussen jaren voor Groene specht. Zie §3.1 voor een verklaring van de intervallen en §3.2 voor uitleg over de symbolen en referentielijnen.



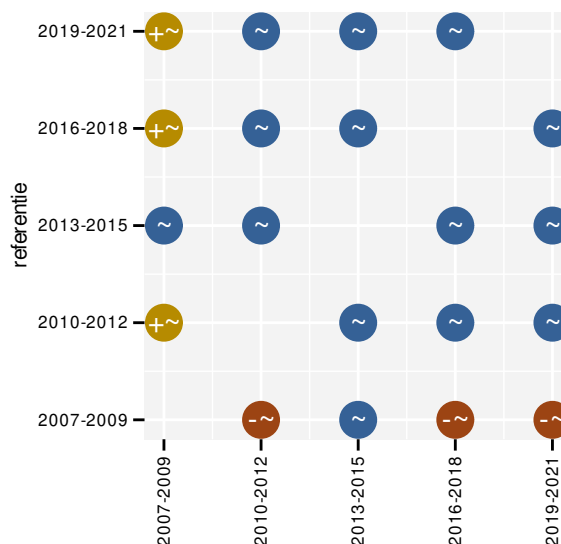
Figuur 43.4: Wijzigingen per driejarige cyclus voor Groene specht. Zie §3.1 voor een verklaring van de intervallen en §3.2 voor uitleg over de symbolen en referentielijnen.

Tabel 43.1: Stratumgewicht, raming van het aantal hokken waarin de soort aanwezig is, aantal relevante hokken voor de analyse, aantal onderzochte hokken in het stratum, totaal aantal hokken van het stratum in Vlaanderen, aantal bezoeken aan een meetpunt en het gemiddeld aandeel relevante punten per hok voor Groene specht (zie §2.5).

stratum	gewicht	aanwezig	relevant	onderzocht	totaal	bezoeken	punten
Landbouw	86.6%	3631.4	248	431	6311	13865	76.8%
Urbaan	3.8%	157.8	33	87	416	1381	54.5%
Bos	3.3%	139.4	83	190	319	4515	68.1%
Suburbaan	2.4%	100.5	34	68	201	1428	63.7%
Heide en duin	2.2%	93.1	44	94	199	2290	64.8%
Moeras en water	1.7%	71.9	42	80	137	2017	66.3%



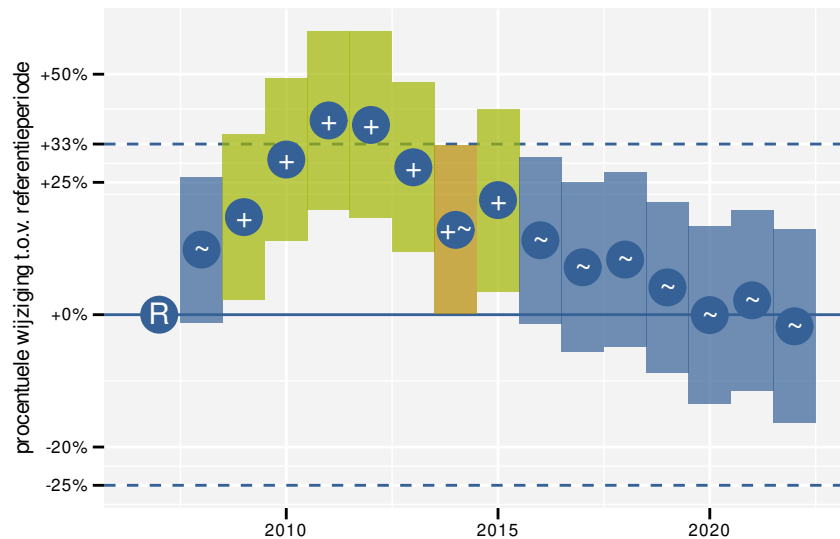
Figuur 43.5: Paarsgewijze vergelijking tussen jaren voor Groene specht. Uitleg van de symbolen in tabel 3.1.



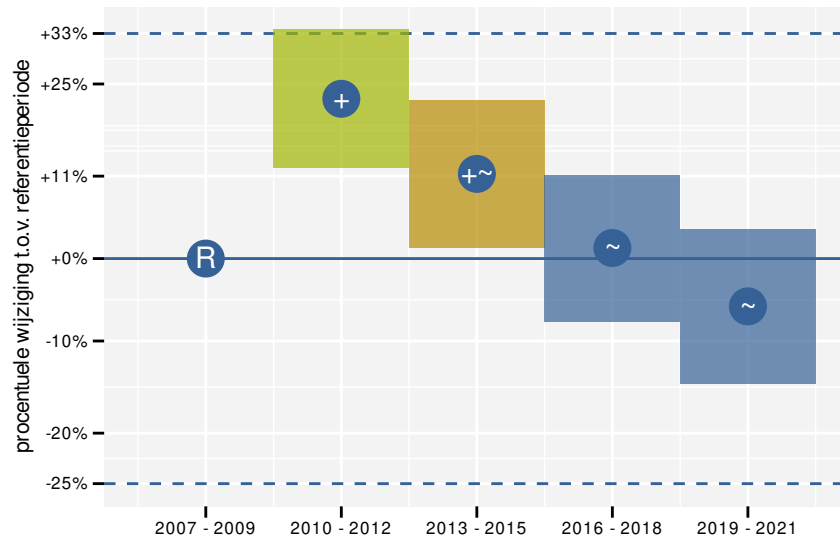
Figuur 43.6: Paarsgewijze vergelijking tussen driejarige cycli voor Groene specht. Uitleg van de symbolen in tabel 3.1.

Tabel 43.2: Data-hashes van de analyses in het kader van traceerbaarheid (zie §4.3).

frequentie	model	analyse	status
jaarlijks	niet-lineair	3073e2f7af02d6e30dd9	625fb5c88f19e16fc6dd
		781a4386a847eb6b4161	aa30fedcfa3fd376bfc1
jaarlijks	lineair	6c42bda94818696dedb3	9a405c781122e01bc0fd
		99f7f718ffe0df2bd5ee	d650507667dc95237682
driejaarlijks	niet-lineair	0fe33a9de9da4de625f6	5b69c59d770d2a3e8cfa
		228d2b31899864a4b523	8024299568006bd4d956
driejaarlijks	lineair	4f0a13c1886638f09902	4ec6604c92801b27a837
		958ebb212650fd1b8158	c486451c0e13b3f7f1b2



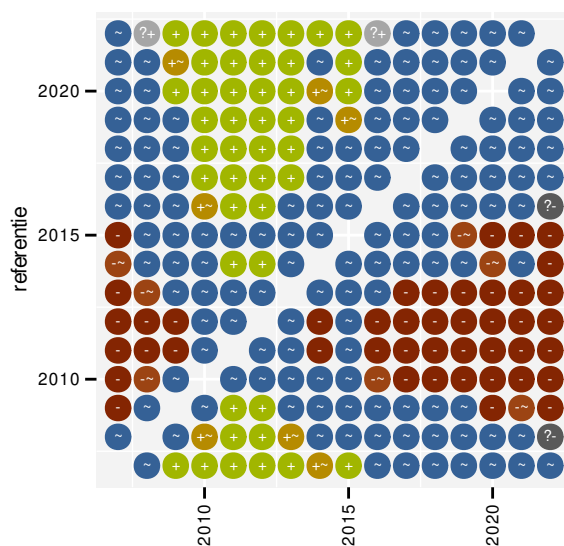
Figuur 44.3: Wijzigingen tussen jaren voor Groenling. Zie §3.1 voor een verklaring van de intervallen en §3.2 voor uitleg over de symbolen en referentielijnen.



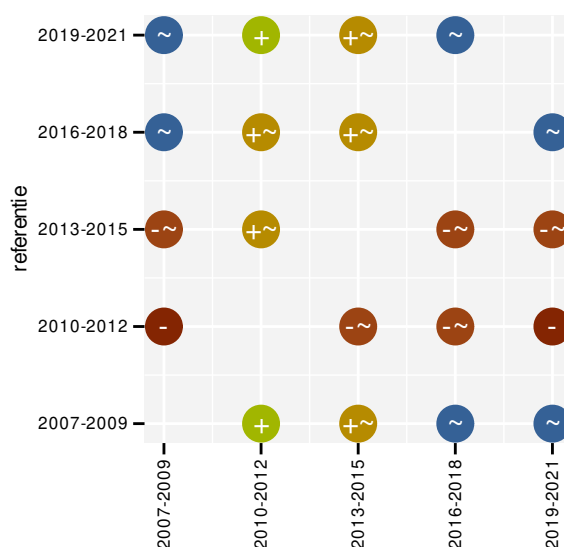
Figuur 44.4: Wijzigingen per driejarige cyclus voor Groenling. Zie §3.1 voor een verklaring van de intervallen en §3.2 voor uitleg over de symbolen en referentielijnen.

Tabel 44.1: Stratumgewicht, raming van het aantal hokken waarin de soort aanwezig is, aantal relevante hokken voor de analyse, aantal onderzochte hokken in het stratum, totaal aantal hokken van het stratum in Vlaanderen, aantal bezoeken aan een meetpunt en het gemiddeld aandeel relevante punten per hok voor Groenling (zie §2.5).

stratum	gewicht	aanwezig	relevant	onderzocht	totaal	bezoeken	punten
Landbouw	85.5%	3148.2	215	431	6311	9870	62.8%
Urbaan	7.7%	282.1	59	87	416	3110	75.4%
Suburbaan	2.8%	103.5	35	68	201	2097	80.5%
Bos	1.7%	62.1	37	190	319	1365	45.5%
Moeras en water	1.2%	44.5	26	80	137	1144	57.1%
Heide en duin	1.1%	40.2	19	94	199	708	47.4%



Figuur 44.5: Paarsgewijze vergelijking tussen jaren voor Groenling. Uitleg van de symbolen in tabel 3.1.



Figuur 44.6: Paarsgewijze vergelijking tussen driejarige cycli voor Groenling. Uitleg van de symbolen in tabel 3.1.

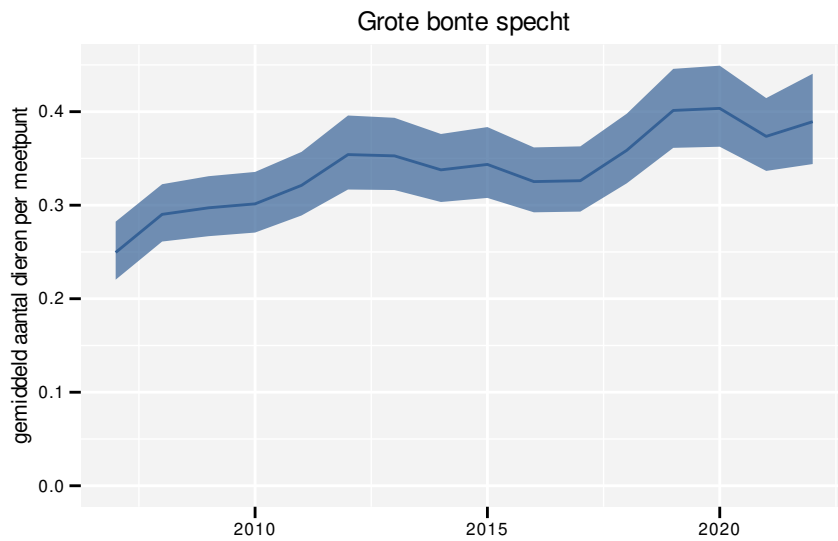
Tabel 44.2: Data-hashes van de analyses in het kader van traceerbaarheid (zie §4.3).

frequentie	model	analyse	status
jaarlijks	niet-lineair	124b74515a399a869518 28b608bf66fdcbb326e8	72a8b027a073a5762a8c 1428143c1c5a79bda154
jaarlijks	lineair	59f5c495db499e4373fd f46e74948d12c39a48d8	54a392b9792fcb9bab87 9c044874f2bad648010b
driejaarlijks	niet-lineair	b3007dde7338326c84f7 935be4b7b4f8ef175c23	90f1bf5f79f0a1b03bf7 bd000e7ceb4a65041007
driejaarlijks	lineair	6c41f2a43723f3d1dbd1 175f2d1d0d615efaa675	6a4cdbbc40c0d1004e08a df78fb19e9698f976ad3

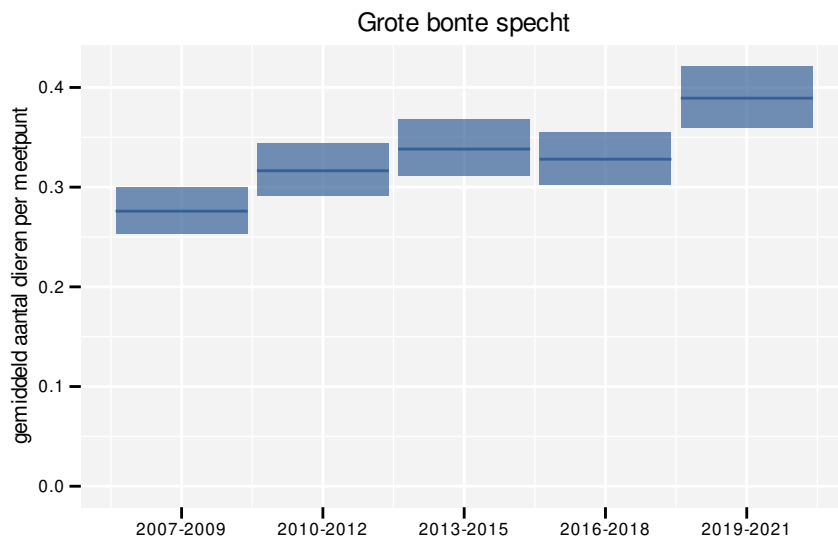
45 GROTE BONTE SPECHT

Op basis van jaarlijkse gegevens zien we gemiddeld een toename met +2.5% (+1.7%; +3.2%) per jaar of +44% (+30%; +60%) over de volledige looptijd van het meetnet. Deze trend is mogelijk niet-lineair.

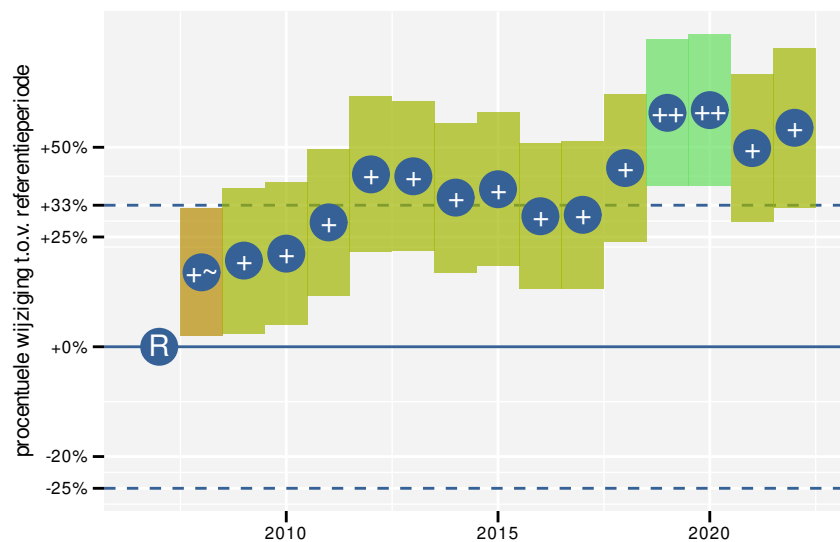
Op basis van driejaarlijkse gegevens zien we gemiddeld een toename met +2.4% (+1.7%; +3.1%) per jaar of +43% (+28%; +59%) over de volledige looptijd van het meetnet. Deze trend is lineair.



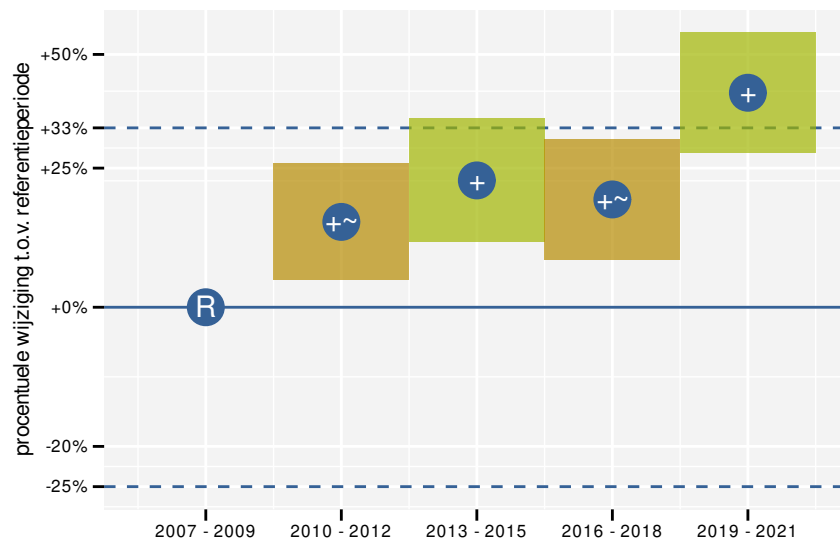
Figuur 45.1: Evolutie van het gemodelleerde gemiddeld aantal waargenomen dieren op een meetpunt voor Grote bonte specht tijdens de referentieperiode. Zie §3.1 voor een verklaring van de intervallen.



Figuur 45.2: Evolutie van het gemodelleerde gemiddeld aantal waargenomen dieren op een meetpunt voor Grote bonte specht tijdens de referentieperiode. Zie §3.1 voor een verklaring van de intervallen.



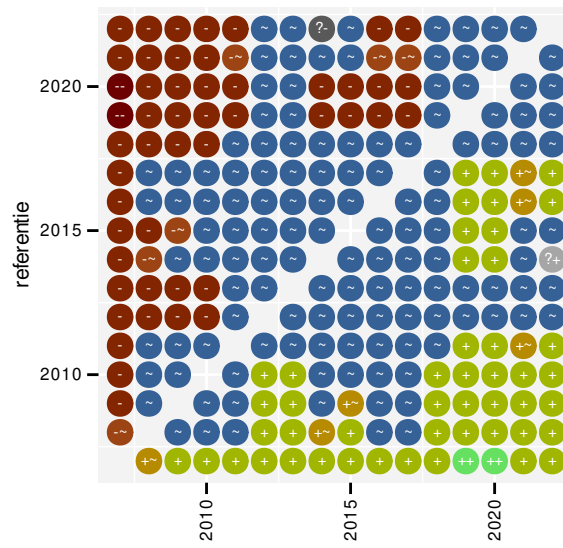
Figuur 45.3: Wijzigingen tussen jaren voor Grote bonte specht. Zie §3.1 voor een verklaring van de intervallen en §3.2 voor uitleg over de symbolen en referentielijnen.



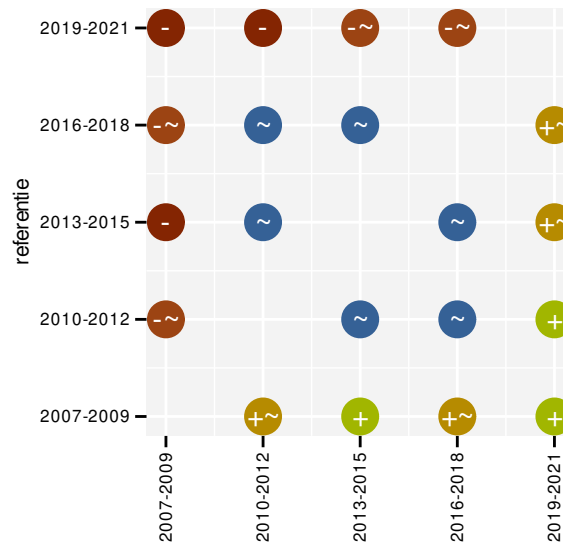
Figuur 45.4: Wijzigingen per driejarige cyclus voor Grote bonte specht. Zie §3.1 voor een verklaring van de intervallen en §3.2 voor uitleg over de symbolen en referentielijnen.

Tabel 45.1: Stratumgewicht, raming van het aantal hokken waarin de soort aanwezig is, aantal relevante hokken voor de analyse, aantal onderzochte hokken in het stratum, totaal aantal hokken van het stratum in Vlaanderen, aantal bezoeken aan een meetpunt en het gemiddeld aandeel relevante punten per hok voor Grote bonte specht (zie §2.5).

stratum	gewicht	aanwezig	relevant	onderzocht	totaal	bezoeken	punten
Landbouw	80.9%	3045.7	208	431	6311	9682	63.3%
Bos	6.5%	245.1	146	190	319	9238	92.5%
Urbaan	4.8%	181.7	38	87	416	1678	56.6%
Heide en duin	3.8%	141.8	67	94	199	3973	78.1%
Moeras en water	2.1%	78.8	46	80	137	2453	72.1%
Suburbaan	1.9%	70.9	24	68	201	1187	71.5%



Figuur 45.5: Paarsgewijze vergelijking tussen jaren voor Grote bonte specht. Uitleg van de symbolen in tabel 3.1.



Figuur 45.6: Paarsgewijze vergelijking tussen driejarige cycli voor Grote bonte specht. Uitleg van de symbolen in tabel 3.1.

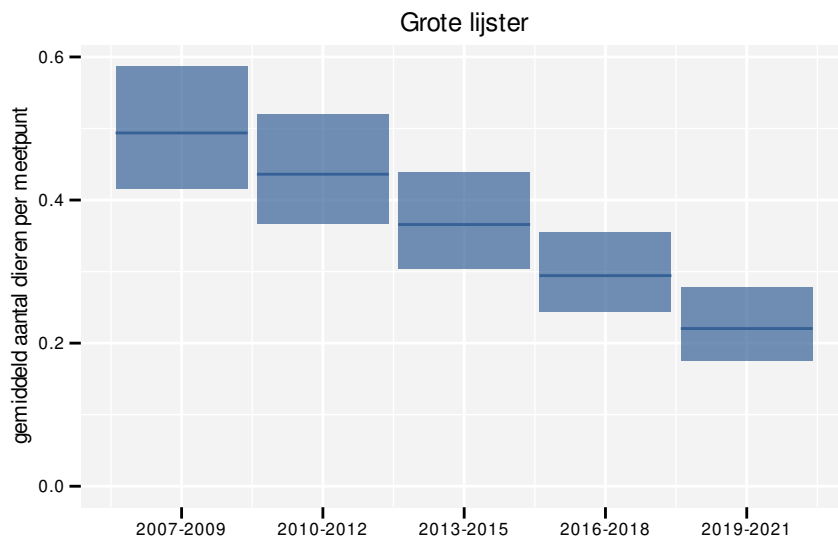
46 GROTE LIJSTER

Op basis van jaarlijkse gegevens zien we gemiddeld een sterke afname met -7.7% (-9.3%; -6.0%) per jaar of -70% (-77%; -60%) over de volledige looptijd van het meetnet. Deze trend is niet-lineair.

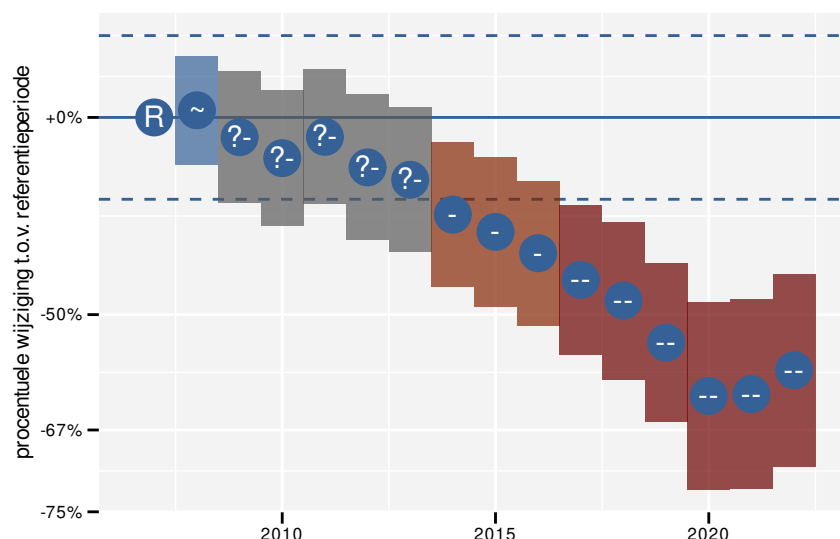
Op basis van driejaarlijkse gegevens zien we gemiddeld een sterke afname met -7.5% (-9.2%; -5.9%) per jaar of -69% (-76%; -60%) over de volledige looptijd van het meetnet. Deze trend is lineair.



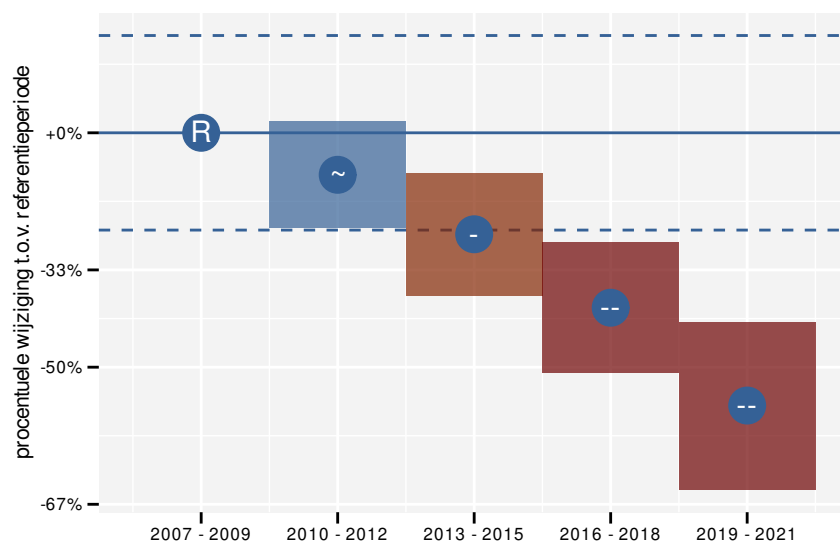
Figuur 46.1: Evolutie van het gemodelleerde gemiddeld aantal waargenomen dieren op een meetpunt voor Grote lijster tijdens de referentieperiode. Zie §3.1 voor een verklaring van de intervallen.



Figuur 46.2: Evolutie van het gemodelleerde gemiddeld aantal waargenomen dieren op een meetpunt voor Grote lijster tijdens de referentieperiode. Zie §3.1 voor een verklaring van de intervallen.



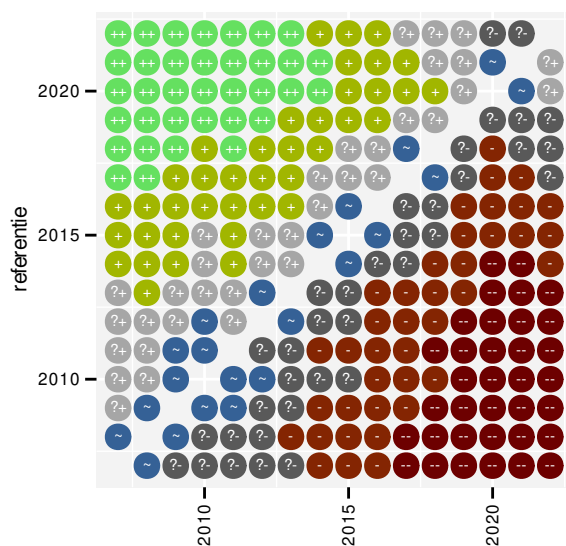
Figuur 46.3: Wijzigingen tussen jaren voor Grote lijster. Zie §3.1 voor een verklaring van de intervallen en §3.2 voor uitleg over de symbolen en referentielijnen.



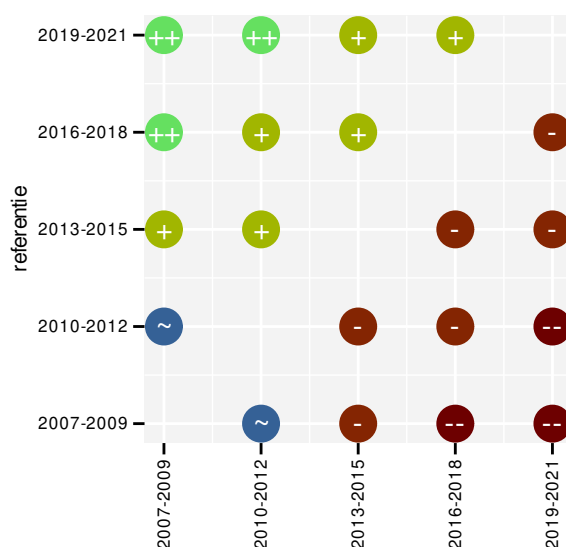
Figuur 46.4: Wijzigingen per driejarige cyclus voor Grote lijster. Zie §3.1 voor een verklaring van de intervallen en §3.2 voor uitleg over de symbolen en referentielijnen.

Tabel 46.1: Stratumgewicht, raming van het aantal hokken waarin de soort aanwezig is, aantal relevante hokken voor de analyse, aantal onderzochte hokken in het stratum, totaal aantal hokken van het stratum in Vlaanderen, aantal bezoeken aan een meetpunt en het gemiddeld aandeel relevante punten per hok voor Grote lijster (zie §2.5).

stratum	gewicht	aanwezig	relevant	onderzocht	totaal	bezoeken	punten
Landbouw	86.4%	1171.4	80	431	6311	3173	49.6%
Bos	6.6%	89.0	53	190	319	2632	58.8%
Heide en duin	5.5%	74.1	35	94	199	1628	56.2%
Moeras en water	0.9%	12.0	7	80	137	282	50.0%
Suburbaan	0.7%	11.8	4	68	201	52	29.2%



Figuur 46.5: Paarsgewijze vergelijking tussen jaren voor Grote lijst. Uitleg van de symbolen in tabel 3.1.



Figuur 46.6: Paarsgewijze vergelijking tussen driejarige cycli voor Grote lijst. Uitleg van de symbolen in tabel 3.1.

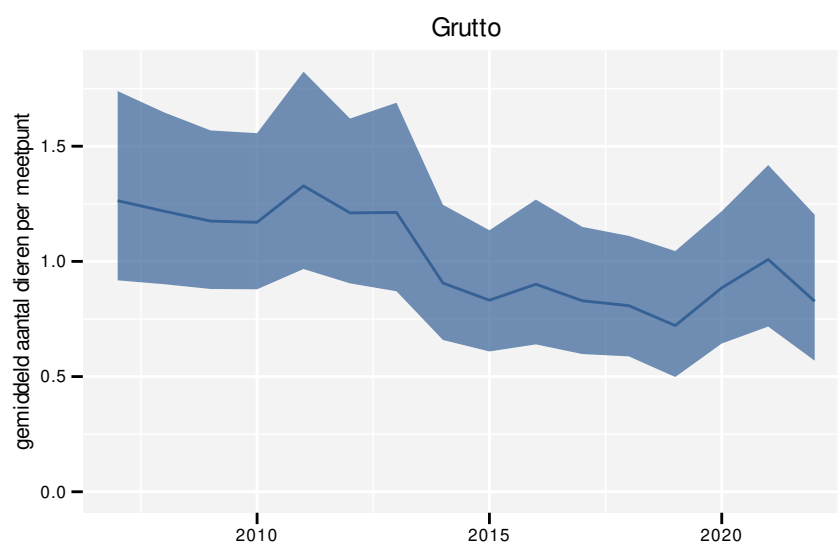
Tabel 46.2: Data-hashes van de analyses in het kader van traceerbaarheid (zie §4.3).

frequentie	model	analyse	status
jaarlijks	niet-lineair	c20130cd331b57ffae9a ee5fc3a7eb782c717513	d02ff1e64c7cd7208d88 d2c6cc20caf424b3c21b
jaarlijks	lineair	2935d55b3a4cdc3449e9 01ff03467edc1c916107	57fdf8218296b3d7181b a39c9007cfdde16ffa2
driejaarlijks	niet-lineair	d6c01cbc2286d22f6884 5f19d7574ea2e12e351c	e7eb13dc5808ade93393 2dea6dc4097a8e62baf0
driejaarlijks	lineair	291c86fa56d6b0a2a158 6f4a440ce9ce96521a2e	cca007dbfdab4113b41f 9619cbd235e9be8da128

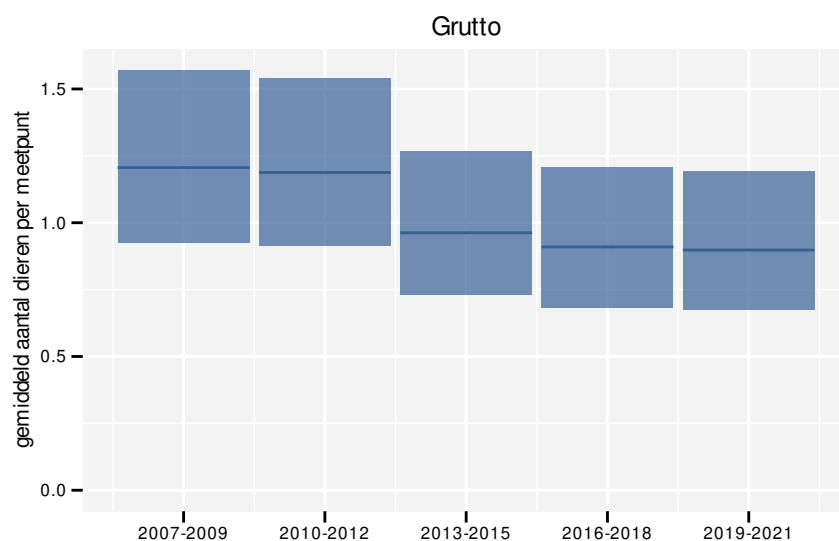
47 GRUTTO

Op basis van jaarlijkse gegevens zien we gemiddeld een sterke afname met -3.5% (-4.9%; -2.1%) per jaar of -41% (-53%; -27%) over de volledige looptijd van het meetnet. Deze trend is niet-lineair.

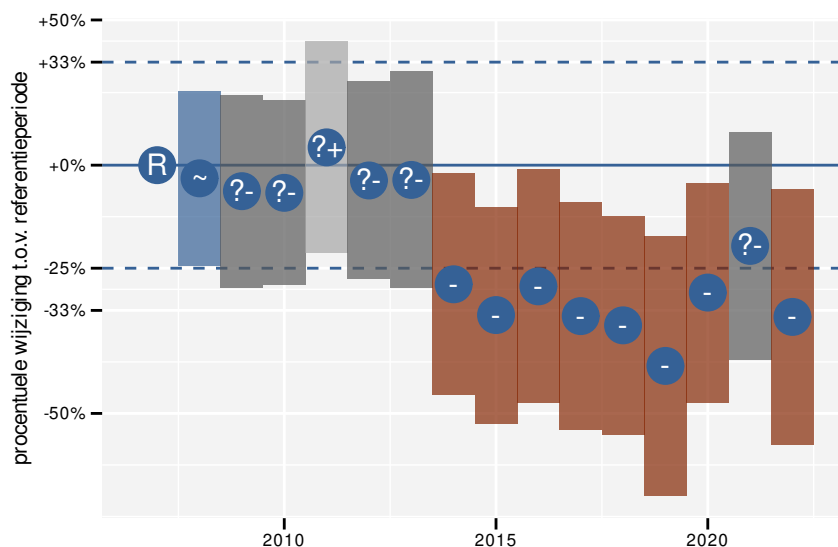
Op basis van driejaarlijkse gegevens zien we gemiddeld een sterke afname met -3.6% (-5.0%; -2.1%) per jaar of -42% (-54%; -28%) over de volledige looptijd van het meetnet. Deze trend is niet-lineair.



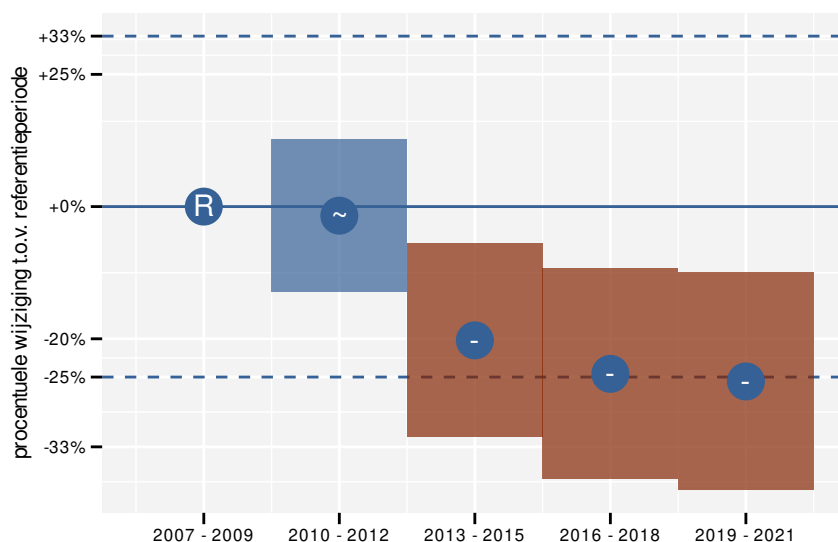
Figuur 47.1: Evolutie van het gemodelleerde gemiddeld aantal waargenomen dieren op een meetpunt voor Grutto tijdens de referentieperiode. Zie §3.1 voor een verklaring van de intervallen.



Figuur 47.2: Evolutie van het gemodelleerde gemiddeld aantal waargenomen dieren op een meetpunt voor Grutto tijdens de referentieperiode. Zie §3.1 voor een verklaring van de intervallen.



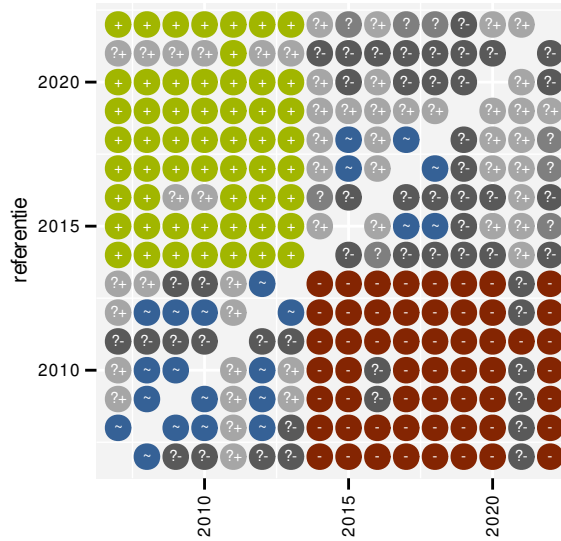
Figuur 47.3: Wijzigingen tussen jaren voor Grutto. Zie §3.1 voor een verklaring van de intervallen en §3.2 voor uitleg over de symbolen en referentielijnen.



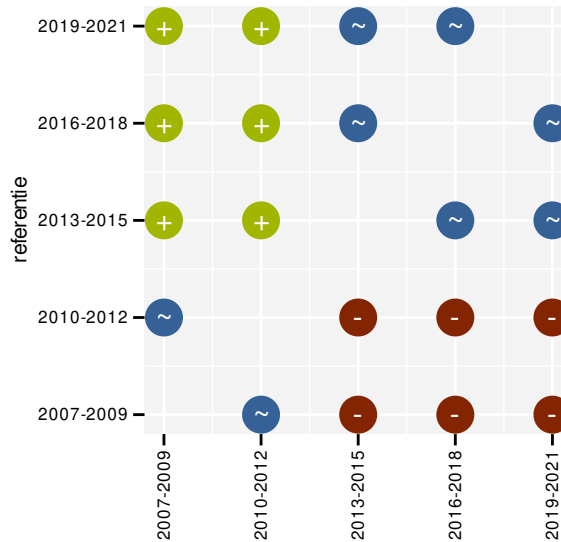
Figuur 47.4: Wijzigingen per driejarige cyclus voor Grutto. Zie §3.1 voor een verklaring van de intervallen en §3.2 voor uitleg over de symbolen en referentielijnen.

Tabel 47.1: Stratumgewicht, raming van het aantal hokken waarin de soort aanwezig is, aantal relevante hokken voor de analyse, aantal onderzochte hokken in het stratum, totaal aantal hokken van het stratum in Vlaanderen, aantal bezoeken aan een meetpunt en het gemiddeld aandeel relevante punten per hok voor Grutto (zie §2.5).

stratum	gewicht	aanwezig	relevant	onderzocht	totaal	bezoeken	punten
Landbouw	98.8%	424.6	29	431	6311	1409	60.3%
Moeras en water	1.2%	6.8	4	80	137	76	29.2%



Figuur 47.5: Paarsgewijze vergelijking tussen jaren voor Grutto. Uitleg van de symbolen in tabel 3.1.



Figuur 47.6: Paarsgewijze vergelijking tussen driejarige cycli voor Grutto. Uitleg van de symbolen in tabel 3.1.

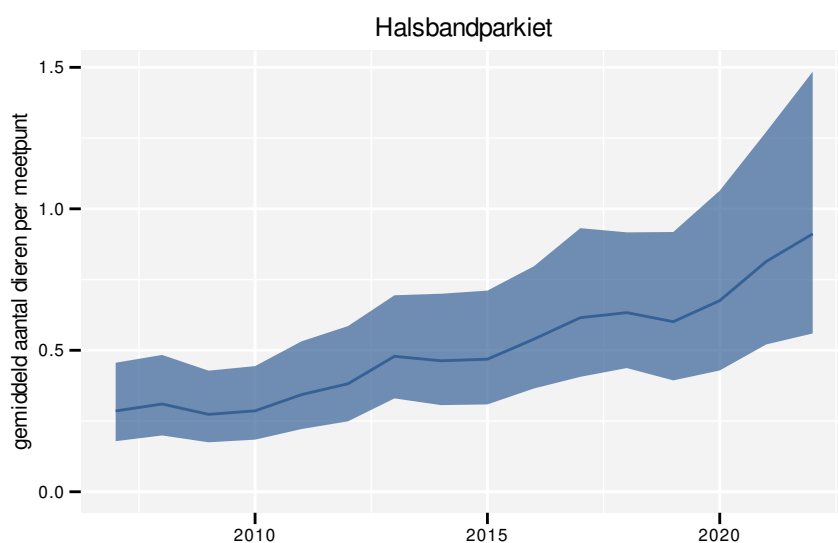
Tabel 47.2: Data-hashes van de analyses in het kader van traceerbaarheid (zie §4.3).

frequentie	model	analyse	status
jaarlijks	niet-lineair	f1781c1fc0a65e5a53e7 f828ac5ea3b9d5c7a82b	0a0b9fa0e5a180edaf7a d0da7deb5084f09f78a9
jaarlijks	lineair	3371188f4108a5358bea 1228b704013ac95a6293	0ae421bd24af4d1d5cb2 8d39fe92d19716603919
driejaarlijks	niet-lineair	31840b2b88b640c212d5 24d7551870a51a32eff9	58d29cb63cf9643b4530 8de482afa3d795f7f352
driejaarlijks	lineair	860db3f84529514dbe41 58ba73665fd913ba5d91	bd93b48b8f46c09a32be c375fdcef73ee01bf8ac

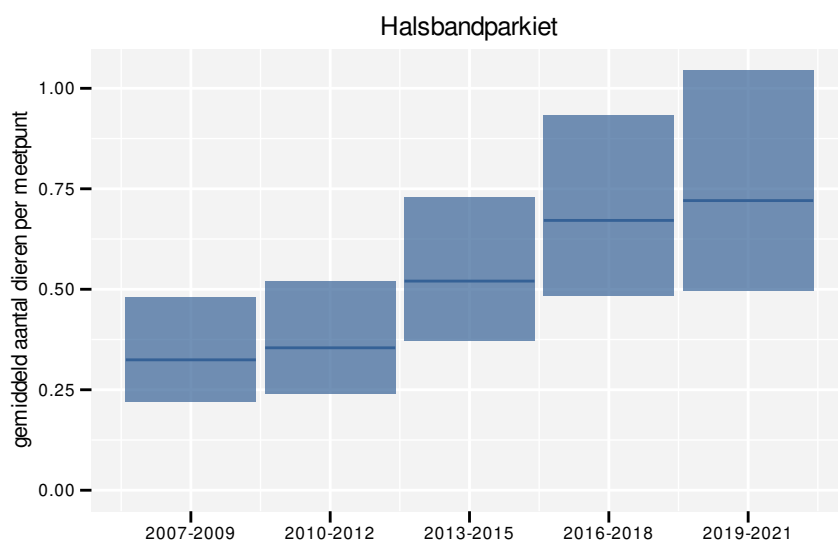
48 HALSBANDPARKIET

Op basis van jaarlijkse gegevens zien we gemiddeld een sterke toename met +7.84% (+4.10%; +11.73%) per jaar of +210% (+80%; +430%) over de volledige looptijd van het meetnet. Deze trend is niet-lineair.

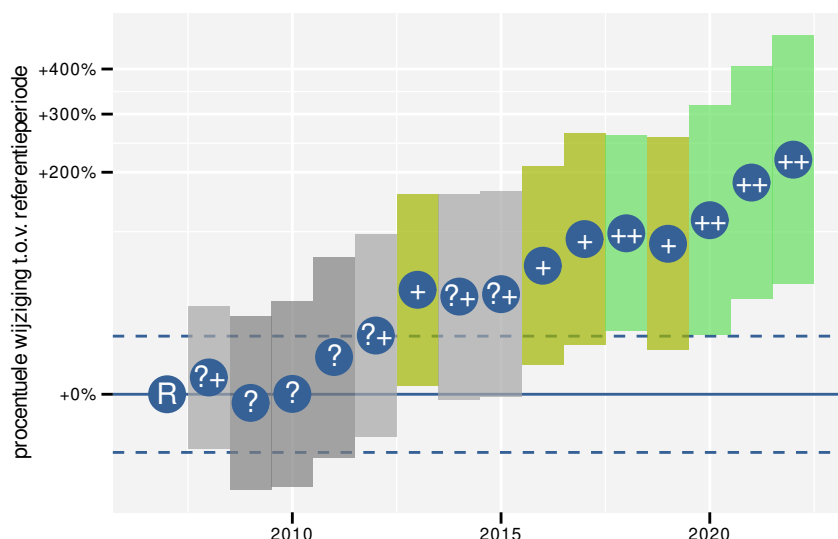
Op basis van driejaarlijkse gegevens zien we gemiddeld een sterke toename met +8.18% (+4.28%; +12.23%) per jaar of +230% (+90%; +460%) over de volledige looptijd van het meetnet. Deze trend is lineair.



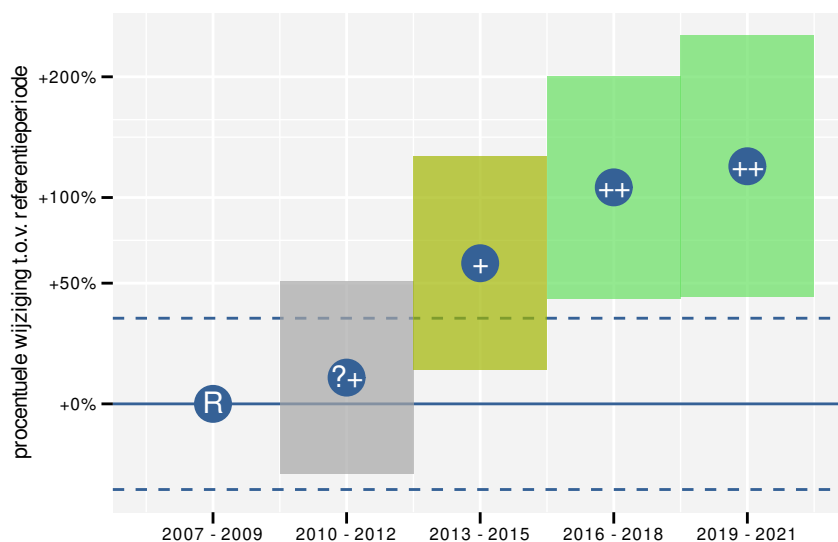
Figuur 48.1: Evolutie van het gemodelleerde gemiddeld aantal waargenomen dieren op een meetpunt voor Halsbandparkiet tijdens de referentieperiode. Zie §3.1 voor een verklaring van de intervallen.



Figuur 48.2: Evolutie van het gemodelleerde gemiddeld aantal waargenomen dieren op een meetpunt voor Halsbandparkiet tijdens de referentieperiode. Zie §3.1 voor een verklaring van de intervallen.



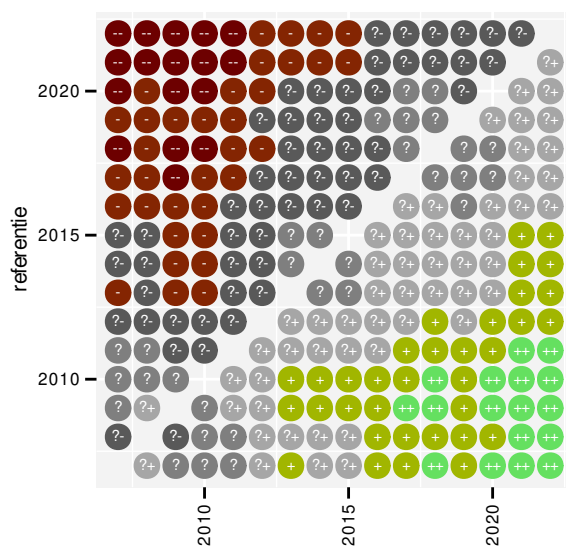
Figuur 48.3: Wijzigingen tussen jaren voor Halsbandparkiet. Zie §3.1 voor een verklaring van de intervallen en §3.2 voor uitleg over de symbolen en referentielijnen.



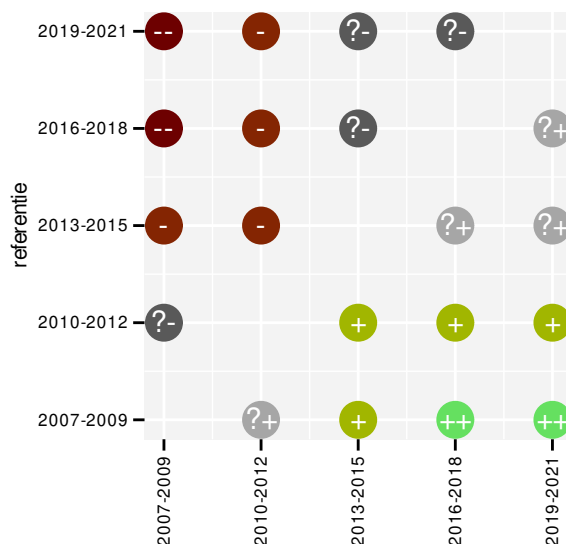
Figuur 48.4: Wijzigingen per driejarige cyclus voor Halsbandparkiet. Zie §3.1 voor een verklaring van de intervallen en §3.2 voor uitleg over de symbolen en referentielijnen.

Tabel 48.1: Stratumgewicht, raming van het aantal hokken waarin de soort aanwezig is, aantal relevante hokken voor de analyse, aantal onderzochte hokken in het stratum, totaal aantal hokken van het stratum in Vlaanderen, aantal bezoeken aan een meetpunt en het gemiddeld aandeel relevante punten per hok voor Halsbandparkiet (zie §2.5).

stratum	gewicht	aanwezig	relevant	onderzocht	totaal	bezoeken	punten
Landbouw	55.5%	117.1	8	431	6311	277	50.0%
Urbaan	20.7%	38.3	8	87	416	383	60.4%
Suburbaan	12.8%	26.6	9	68	201	535	74.1%
Moeras en water	5.6%	10.3	6	80	137	213	52.8%
Bos	5.5%	10.1	6	190	319	219	63.9%



Figuur 48.5: Paarsgewijze vergelijking tussen jaren voor Halsbandparkiet. Uitleg van de symbolen in tabel 3.1.



Figuur 48.6: Paarsgewijze vergelijking tussen driejarige cycli voor Halsbandparkiet. Uitleg van de symbolen in tabel 3.1.

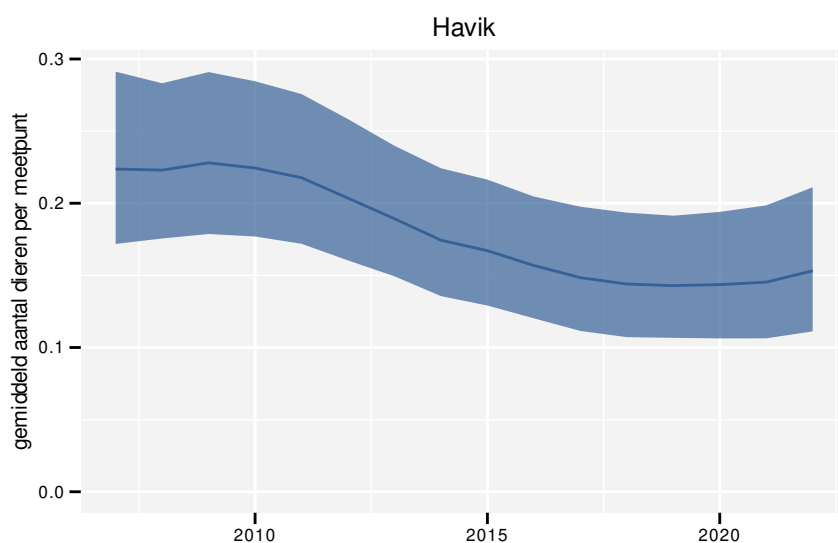
Tabel 48.2: Data-hashes van de analyses in het kader van traceerbaarheid (zie §4.3).

frequentie	model	analyse	status
jaarlijks	niet-lineair	45cb9680193879b5bfbcb 4e234f8e0f3680ff5a6e	9dae90f02206c597c5b0 92d4670776ce57406201
jaarlijks	lineair	18824a0eada5856f5851 7ec9939fd84a008dda28	f02446d84cdc6e5f5c59 f29187042fa030f75a11
driejaarlijks	niet-lineair	fc480eddec0038997c9 4858ea06706f0c9a5ec5	945f79f82666f62d3c68 f9514ea87ff4143297d9
driejaarlijks	lineair	bad8897e75519d10046a ab267f104782349928a3	23b5f2385025839b7515 f60e604a8d2f83c45294

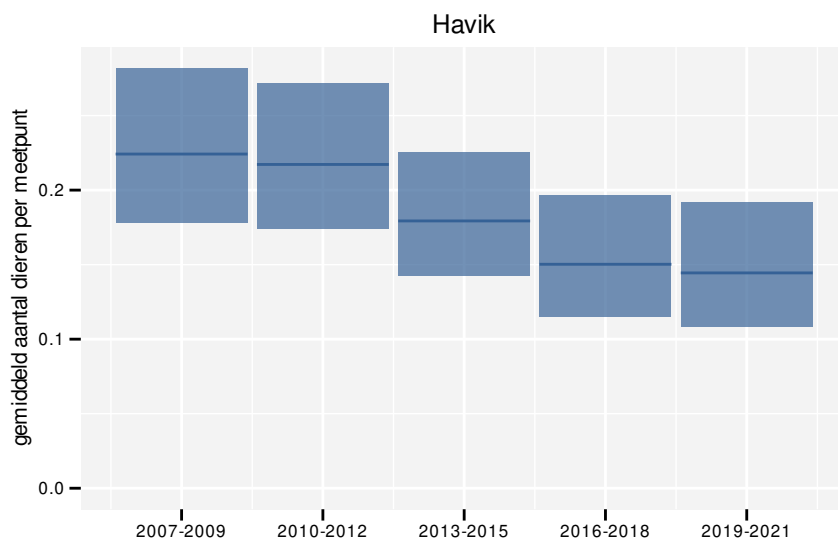
49 HAVIK

Op basis van jaarlijkse gegevens zien we gemiddeld een sterke afname met -5.1% (-7.6%; -2.4%) per jaar of -54% (-69%; -31%) over de volledige looptijd van het meetnet. Deze trend is mogelijk niet-lineair.

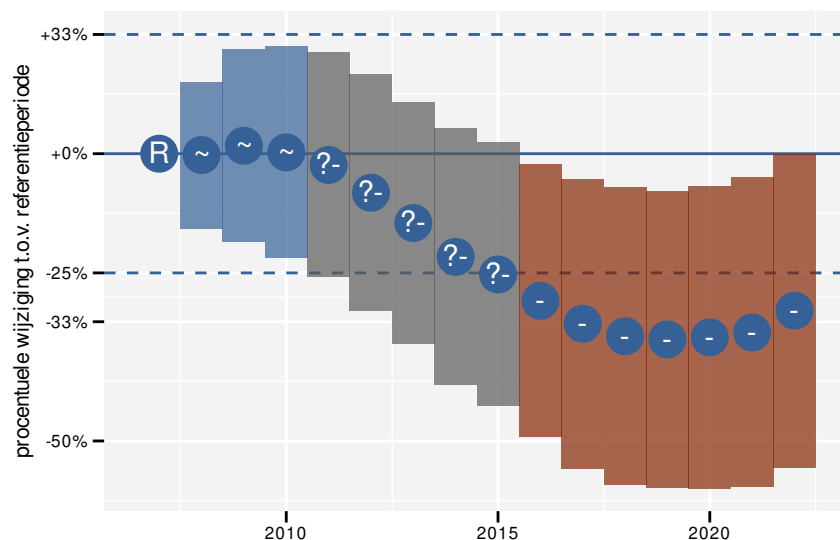
Op basis van driejaarlijkse gegevens zien we gemiddeld een sterke afname met -4.8% (-7.4%; -2.2%) per jaar of -52% (-68%; -28%) over de volledige looptijd van het meetnet. Deze trend is niet-lineair.



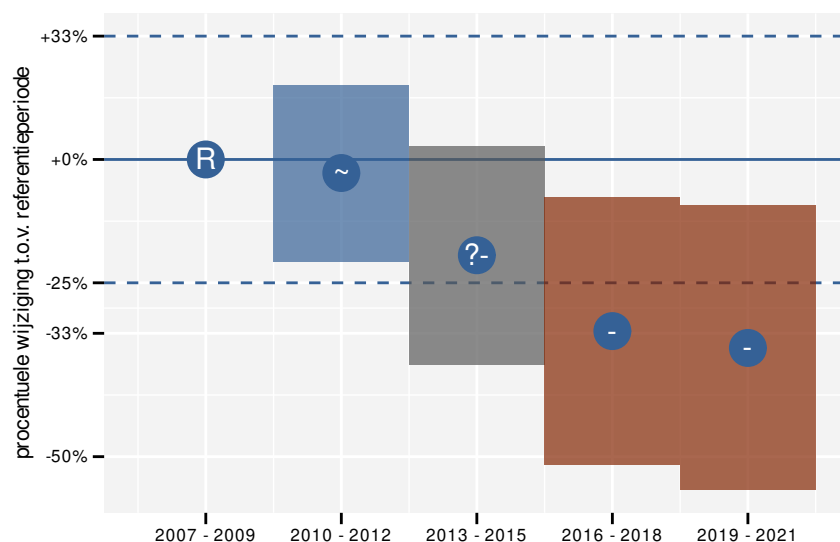
Figuur 49.1: Evolutie van het gemodelleerde gemiddeld aantal waargenomen dieren op een meetpunt voor Havik tijdens de referentieperiode. Zie §3.1 voor een verklaring van de intervallen.



Figuur 49.2: Evolutie van het gemodelleerde gemiddeld aantal waargenomen dieren op een meetpunt voor Havik tijdens de referentieperiode. Zie §3.1 voor een verklaring van de intervallen.



Figuur 49.3: Wijzigingen tussen jaren voor Havik. Zie §3.1 voor een verklaring van de intervallen en §3.2 voor uitleg over de symbolen en referentielijnen.



Figuur 49.4: Wijzigingen per driejarige cyclus voor Havik. Zie §3.1 voor een verklaring van de intervallen en §3.2 voor uitleg over de symbolen en referentielijnen.

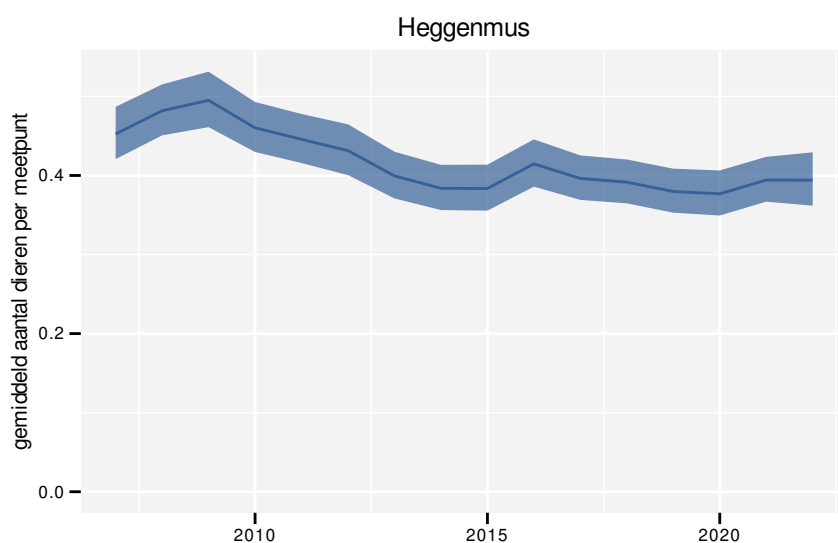
Tabel 49.1: Stratumgewicht, raming van het aantal hokken waarin de soort aanwezig is, aantal relevante hokken voor de analyse, aantal onderzochte hokken in het stratum, totaal aantal hokken van het stratum in Vlaanderen, aantal bezoeken aan een meetpunt en het gemiddeld aandeel relevante punten per hok voor Havik (zie §2.5).

stratum	gewicht	aanwezig	relevant	onderzocht	totaal	bezoeken	punten
Bos	63.9%	48.7	29	190	319	1063	44.3%
Heide en duin	36.1%	27.5	13	94	199	612	52.6%

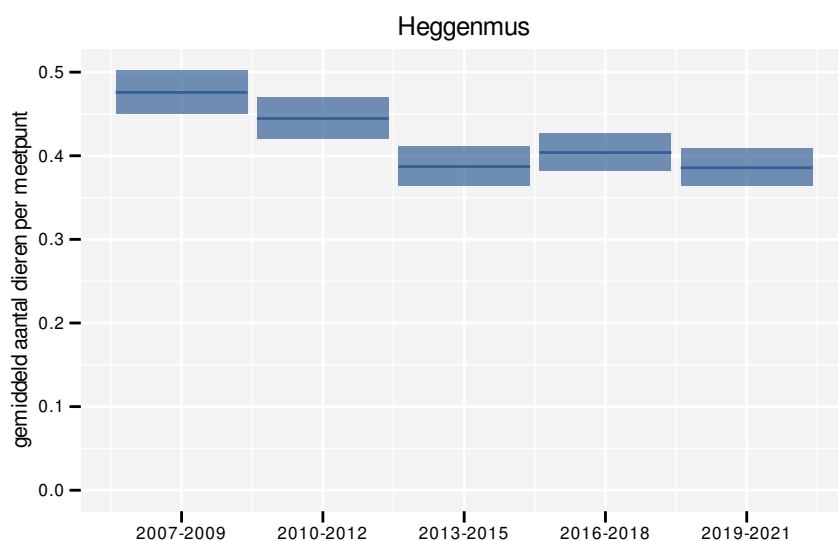
50 HEGGENMUS

Op basis van jaarlijkse gegevens zien we gemiddeld een afname met -1.71% (-2.13% ; -1.28%) per jaar of -22.7% (-27.6% ; -17.6%) over de volledige looptijd van het meetnet. Deze trend is niet-lineair.

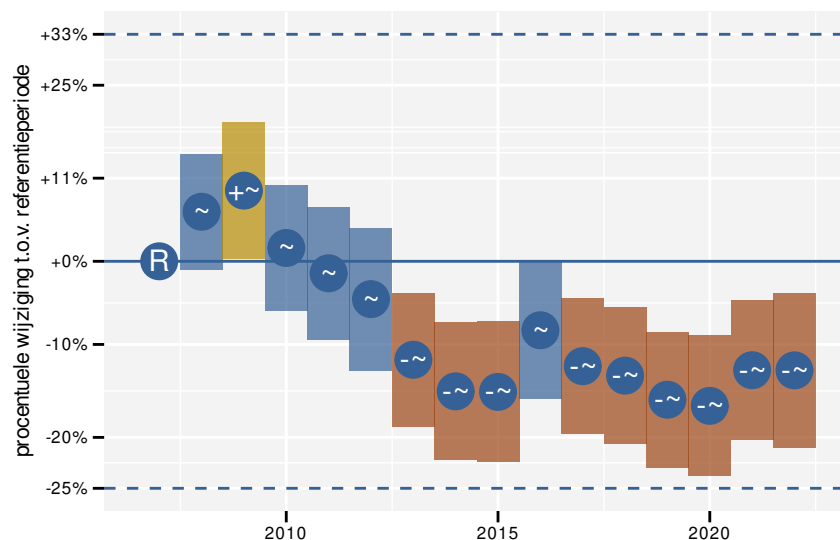
Op basis van driejaarlijkse gegevens zien we gemiddeld een afname met -1.75% (-2.18% ; -1.33%) per jaar of -23% (-28% ; -18%) over de volledige looptijd van het meetnet. Deze trend is lineair.



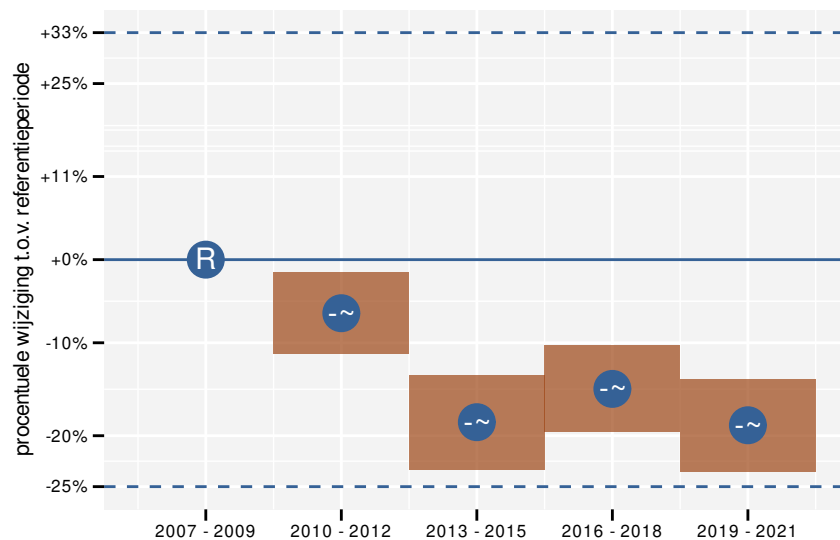
Figuur 50.1: Evolutie van het gemodelleerde gemiddeld aantal waargenomen dieren op een meetpunt voor Heggenmus tijdens de referentieperiode. Zie §3.1 voor een verklaring van de intervallen.



Figuur 50.2: Evolutie van het gemodelleerde gemiddeld aantal waargenomen dieren op een meetpunt voor Heggenmus tijdens de referentieperiode. Zie §3.1 voor een verklaring van de intervallen.



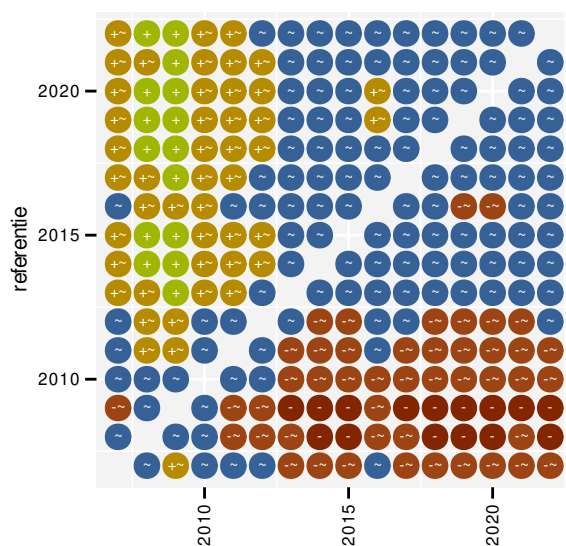
Figuur 50.3: Wijzigingen tussen jaren voor Heggenmus. Zie §3.1 voor een verklaring van de intervallen en §3.2 voor uitleg over de symbolen en referentielijnen.



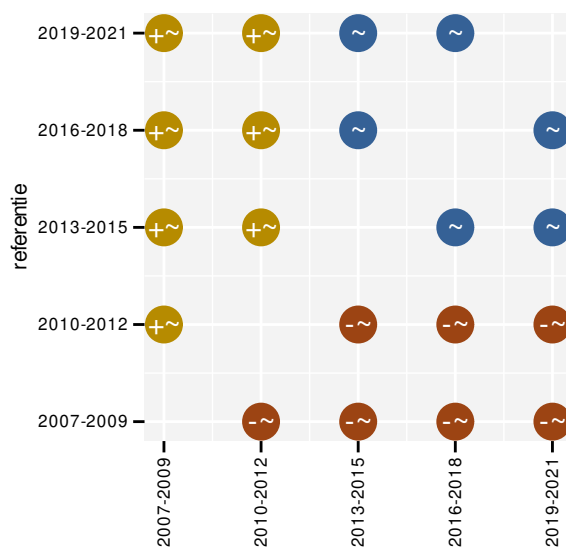
Figuur 50.4: Wijzigingen per driejarige cyclus voor Heggenmus. Zie §3.1 voor een verklaring van de intervallen en §3.2 voor uitleg over de symbolen en referentielijnen.

Tabel 50.1: Stratumgewicht, raming van het aantal hokken waarin de soort aanwezig is, aantal relevante hokken voor de analyse, aantal onderzochte hokken in het stratum, totaal aantal hokken van het stratum in Vlaanderen, aantal bezoeken aan een meetpunt en het gemiddeld aandeel relevante punten per hok voor Heggenmus (zie §2.5).

stratum	gewicht	aanwezig	relevant	onderzocht	totaal	bezoeken	punten
Landbouw	85.6%	4509.9	308	431	6311	16867	78.7%
Urbaan	6.4%	334.7	70	87	416	4269	89.0%
Suburbaan	2.9%	150.8	51	68	201	3107	89.2%
Bos	1.8%	97.4	58	190	319	2675	56.3%
Heide en duin	1.7%	88.9	42	94	199	1952	66.7%
Moeras en water	1.6%	83.9	49	80	137	2358	67.0%



Figuur 50.5: Paarsgewijze vergelijking tussen jaren voor Heggenmus. Uitleg van de symbolen in tabel 3.1.



Figuur 50.6: Paarsgewijze vergelijking tussen driejarige cycli voor Heggenmus. Uitleg van de symbolen in tabel 3.1.

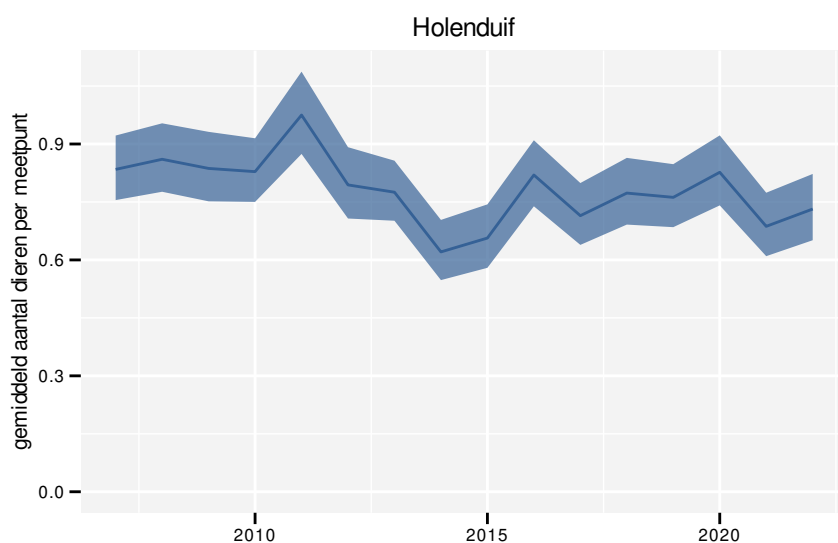
Tabel 50.2: Data-hashes van de analyses in het kader van traceerbaarheid (zie §4.3).

frequentie	model	analyse	status
jaarlijks	niet-lineair	bf29b20fc9982a7b98c6 e1b5780a822c83f853cf	6586b59821b2c7726c04 f2fddd2312407d966989
jaarlijks	lineair	f1cfe4ca8081c0468f81 125ab9e7c263992a6f16	85b034c2a6492c745a60 237a2c7f2402abbf41ae
driejaarlijks	niet-lineair	c0b70a5bdd97cff20cc5 7d32dce97045adf2226a	3dc5d735e7f569dc5a9c a79f663ba3839a5ab598
driejaarlijks	lineair	9de173f87e75fdcf4cf4 d73274be57cbe0538a90	fbd6215afd3bee64a764 ef4dcff5b810d061f1c4

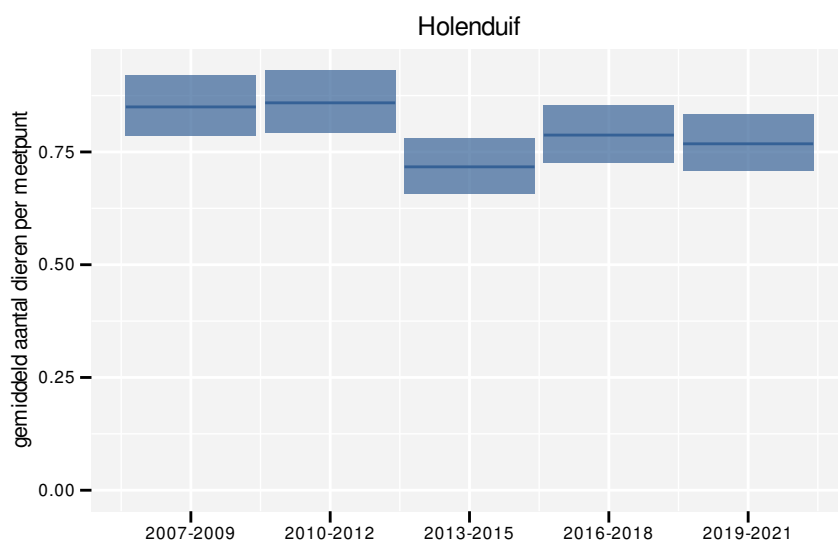
51 HOLENDUIF

Op basis van jaarlijkse gegevens zien we gemiddeld een matige afname met -1.00% (-1.55% ; -0.45%) per jaar of -14% (-21% ; -7%) over de volledige looptijd van het meetnet. Deze trend is niet-lineair.

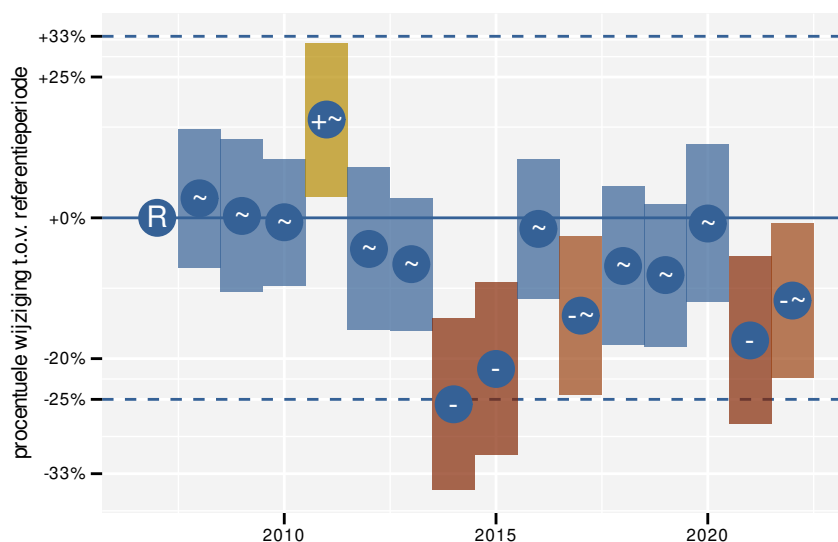
Op basis van driejaarlijkse gegevens zien we gemiddeld een matige afname met -0.95% (-1.50% ; -0.40%) per jaar of -13% (-20% ; -6%) over de volledige looptijd van het meetnet. Deze trend is lineair.



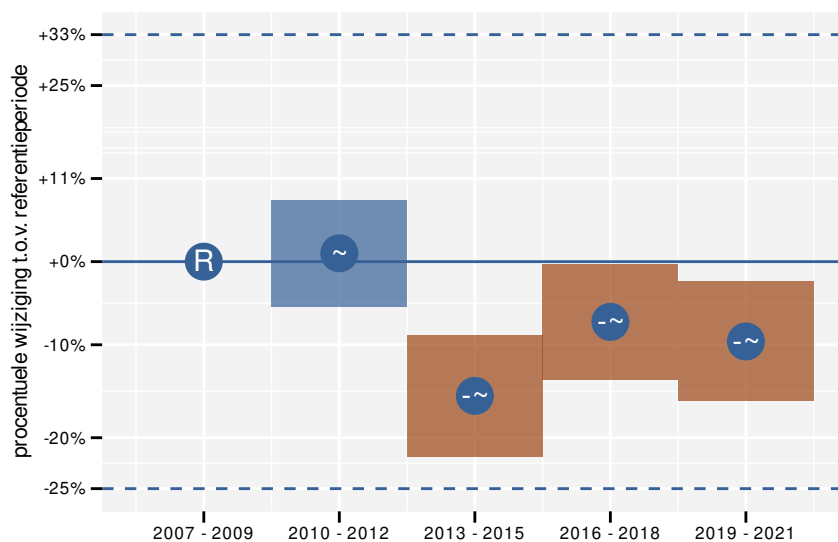
Figuur 51.1: Evolutie van het gemodelleerde gemiddeld aantal waargenomen dieren op een meetpunt voor Holenduif tijdens de referentieperiode. Zie §3.1 voor een verklaring van de intervallen.



Figuur 51.2: Evolutie van het gemodelleerde gemiddeld aantal waargenomen dieren op een meetpunt voor Holenduif tijdens de referentieperiode. Zie §3.1 voor een verklaring van de intervallen.



Figuur 51.3: Wijzigingen tussen jaren voor Holenduif. Zie §3.1 voor een verklaring van de intervallen en §3.2 voor uitleg over de symbolen en referentielijnen.



Figuur 51.4: Wijzigingen per driejarige cyclus voor Holenduif. Zie §3.1 voor een verklaring van de intervallen en §3.2 voor uitleg over de symbolen en referentielijnen.

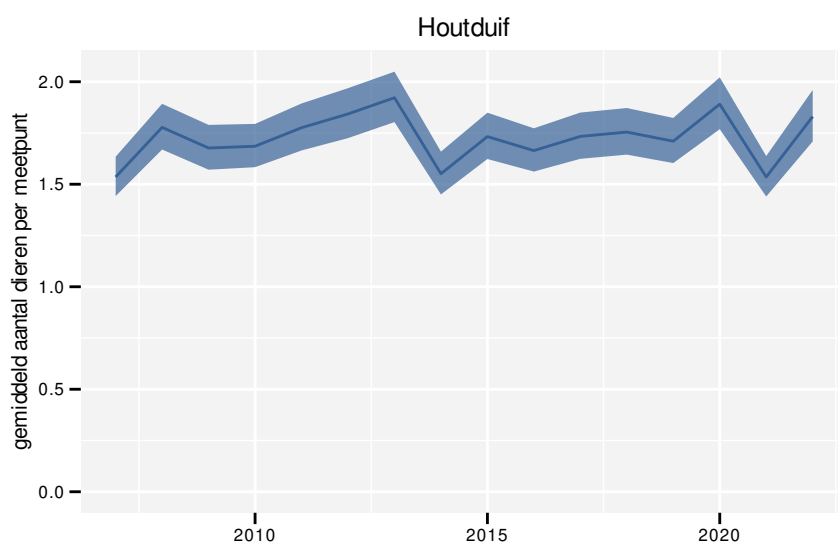
Tabel 51.1: Stratumgewicht, raming van het aantal hokken waarin de soort aanwezig is, aantal relevante hokken voor de analyse, aantal onderzochte hokken in het stratum, totaal aantal hokken van het stratum in Vlaanderen, aantal bezoeken aan een meetpunt en het gemiddeld aandeel relevante punten per hok voor Holenduif (zie §2.5).

stratum	gewicht	aanwezig	relevant	onderzocht	totaal	bezoeken	punten
Landbouw	89.2%	3719.2	254	431	6311	14384	75.8%
Bos	3.2%	134.3	80	190	319	4547	68.1%
Urbaan	2.5%	105.2	22	87	416	727	44.7%
Suburbaan	2.1%	88.7	30	68	201	1012	51.1%
Moeras en water	1.6%	65.1	38	80	137	1620	57.9%
Heide en duin	1.4%	57.2	27	94	199	1487	61.7%

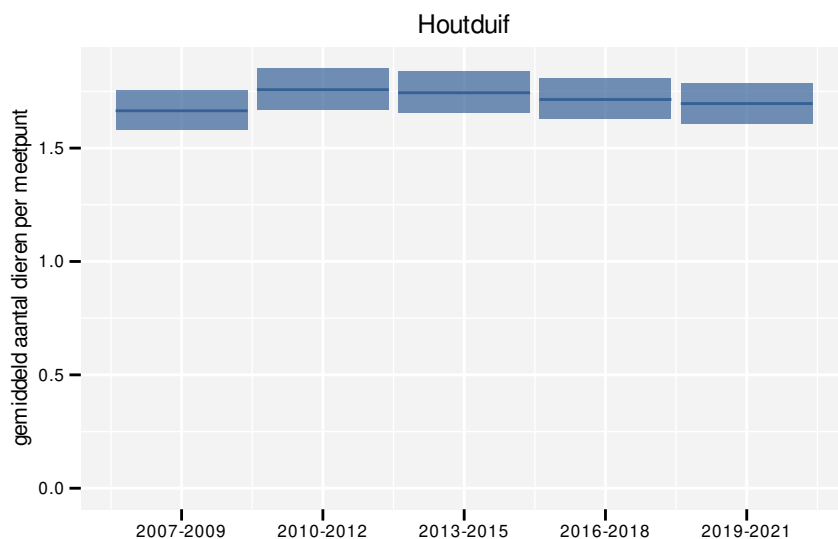
52 HOUTDUIF

Op basis van jaarlijkse gegevens zien we gemiddeld een matige toename met +0.25% (+0.02%; +0.48%) per jaar of +3.8% (+0.3%; +7.5%) over de volledige looptijd van het meetnet. Deze trend is niet-lineair.

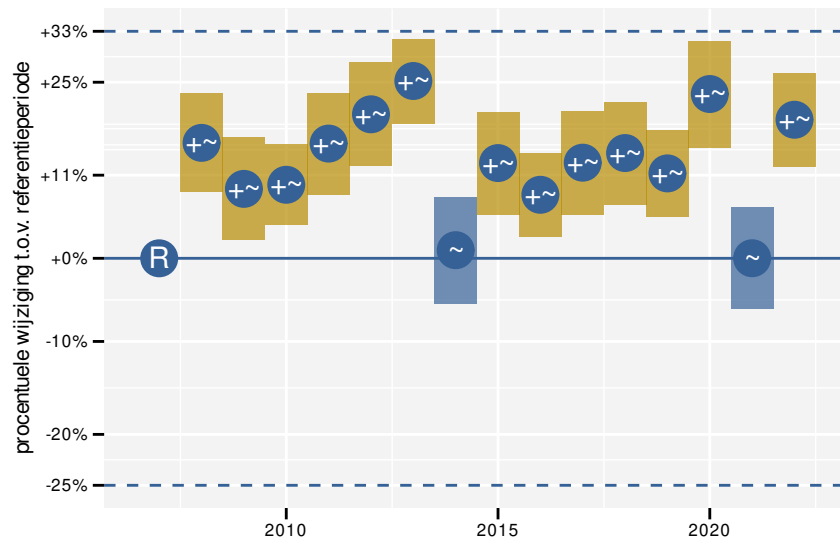
Op basis van driejaarlijkse gegevens zien we gemiddeld een matige toename met +0.26% (+0.02%; +0.49%) per jaar of +3.9% (+0.4%; +7.6%) over de volledige looptijd van het meetnet. Deze trend is niet-lineair.



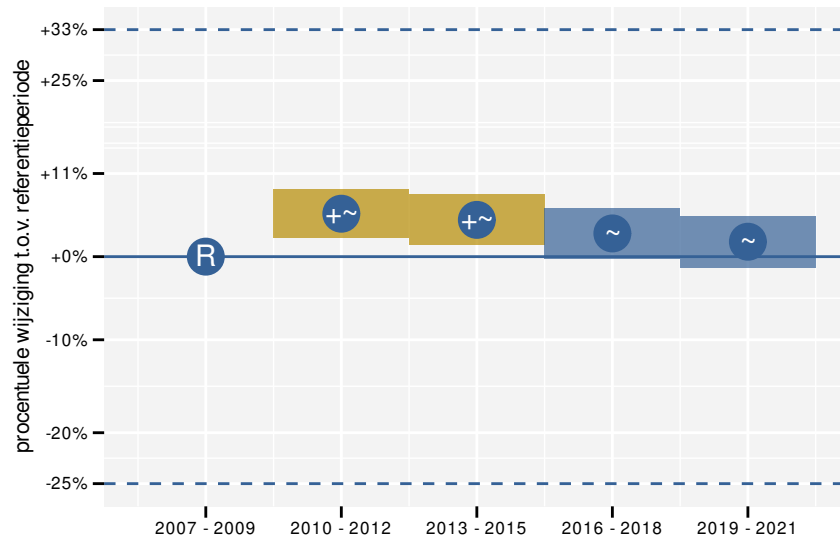
Figuur 52.1: Evolutie van het gemodelleerde gemiddeld aantal waargenomen dieren op een meetpunt voor Houtduif tijdens de referentieperiode. Zie §3.1 voor een verklaring van de intervallen.



Figuur 52.2: Evolutie van het gemodelleerde gemiddeld aantal waargenomen dieren op een meetpunt voor Houtduif tijdens de referentieperiode. Zie §3.1 voor een verklaring van de intervallen.



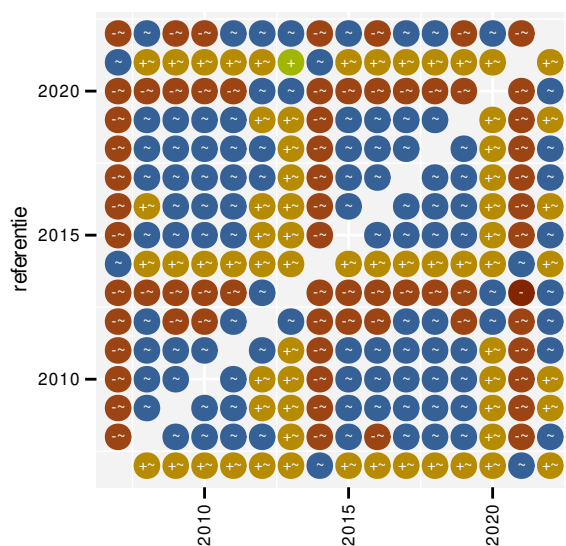
Figuur 52.3: Wijzigingen tussen jaren voor Houtduif. Zie §3.1 voor een verklaring van de intervallen en §3.2 voor uitleg over de symbolen en referentielijnen.



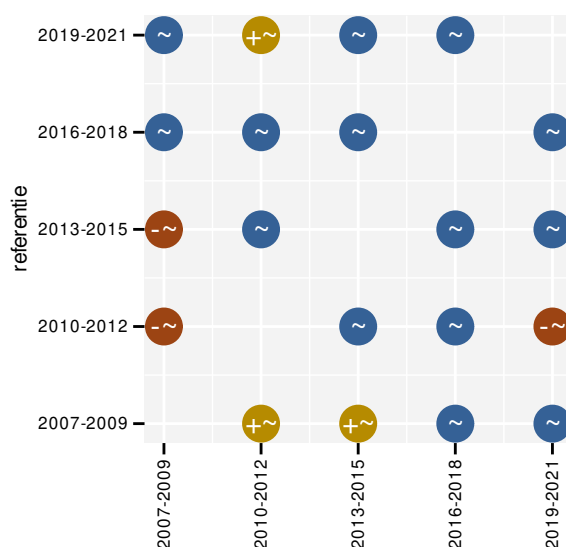
Figuur 52.4: Wijzigingen per driejarige cyclus voor Houtduif. Zie §3.1 voor een verklaring van de intervallen en §3.2 voor uitleg over de symbolen en referentielijnen.

Tabel 52.1: Stratumgewicht, raming van het aantal hokken waarin de soort aanwezig is, aantal relevante hokken voor de analyse, aantal onderzochte hokken in het stratum, totaal aantal hokken van het stratum in Vlaanderen, aantal bezoeken aan een meetpunt en het gemiddeld aandeel relevante punten per hok voor Houtduif (zie §2.5).

stratum	gewicht	aanwezig	relevant	onderzocht	totaal	bezoeken	punten
Landbouw	83.1%	5124.9	350	431	6311	23025	98.3%
Urbaan	5.6%	344.3	72	87	416	4800	99.1%
Bos	4.1%	250.2	149	190	319	9593	95.3%
Heide en duin	2.8%	173.6	82	94	199	5053	91.3%
Suburbaan	2.7%	168.5	57	68	201	3469	96.2%
Moeras en water	1.7%	106.2	62	80	137	4009	95.2%



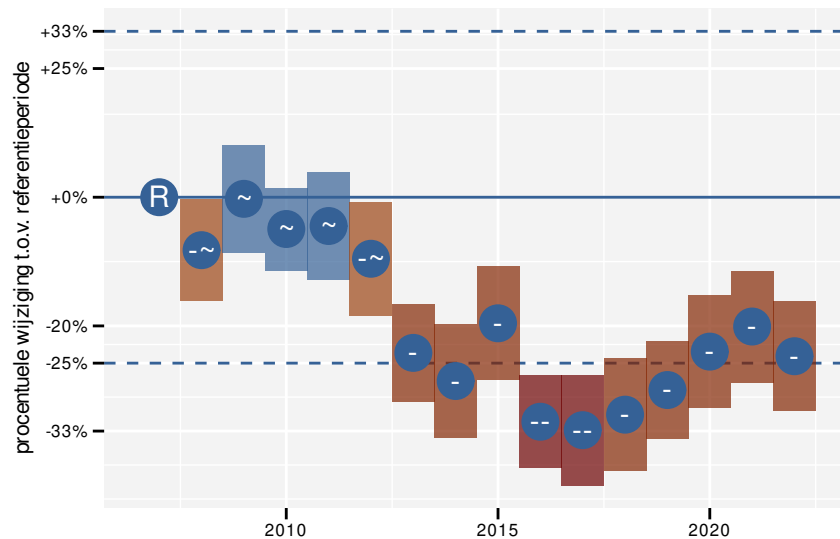
Figuur 52.5: Paarsgewijze vergelijking tussen jaren voor Houtduif. Uitleg van de symbolen in tabel 3.1.



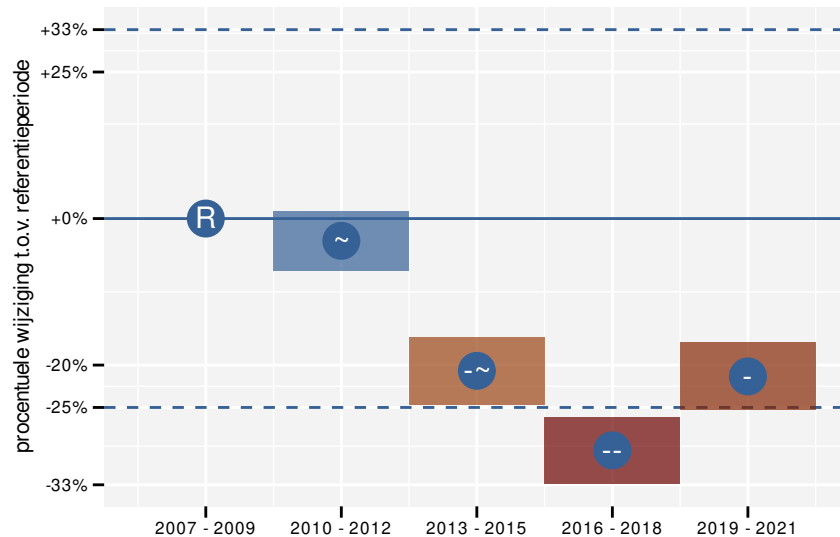
Figuur 52.6: Paarsgewijze vergelijking tussen driejarige cycli voor Houtduif. Uitleg van de symbolen in tabel 3.1.

Tabel 52.2: Data-hashes van de analyses in het kader van traceerbaarheid (zie §4.3).

frequentie	model	analyse	status
jaarlijks	niet-lineair	ce584235d16279569cf3 b8f630b932e6fa17267e	d83c60c09d2578c1c2d8 eefe26ee386c00655c0c
jaarlijks	lineair	d62f79b77438c45c888e d8c5fdd5bfa91c7f04f0	17e33ef106e9589b6f6a 63f74632b459b5b06cc1
driejaarlijks	niet-lineair	7a01f0379c01aaa963b6 da9bddfd5fc9c4b10e9e	1bb5fa7faec462fdb607 42d34ca8bdf18876788d
driejaarlijks	lineair	2689e97bfe0617dd5d45 8ce4cff8b9b4124555bc	9663f12685c34f50792b 05a12e8dd746e9f08a43



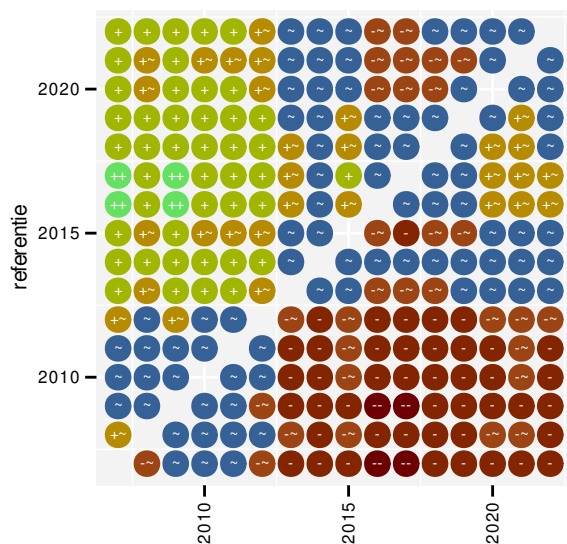
Figuur 53.3: Wijzigingen tussen jaren voor Huismus. Zie §3.1 voor een verklaring van de intervallen en §3.2 voor uitleg over de symbolen en referentielijnen.



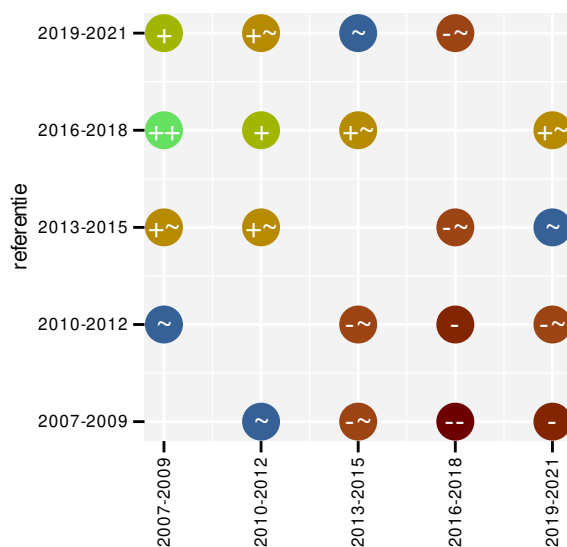
Figuur 53.4: Wijzigingen per driejarige cyclus voor Huismus. Zie §3.1 voor een verklaring van de intervallen en §3.2 voor uitleg over de symbolen en referentielijnen.

Tabel 53.1: Stratumgewicht, raming van het aantal hokken waarin de soort aanwezig is, aantal relevante hokken voor de analyse, aantal onderzochte hokken in het stratum, totaal aantal hokken van het stratum in Vlaanderen, aantal bezoeken aan een meetpunt en het gemiddeld aandeel relevante punten per hok voor Huismus (zie §2.5).

stratum	gewicht	aanwezig	relevant	onderzocht	totaal	bezoeken	punten
Landbouw	88.8%	4392.8	300	431	6311	14711	72.3%
Urbaan	6.9%	339.5	71	87	416	4234	88.0%
Suburbaan	2.3%	112.3	38	68	201	2018	76.8%
Moeras en water	0.9%	42.8	25	80	137	924	55.3%
Heide en duin	0.8%	40.2	19	94	199	736	60.5%
Bos	0.4%	18.5	11	190	319	307	39.4%



Figuur 53.5: Paarsgewijze vergelijking tussen jaren voor Huismus. Uitleg van de symbolen in tabel 3.1.



Figuur 53.6: Paarsgewijze vergelijking tussen driejarige cycli voor Huismus. Uitleg van de symbolen in tabel 3.1.

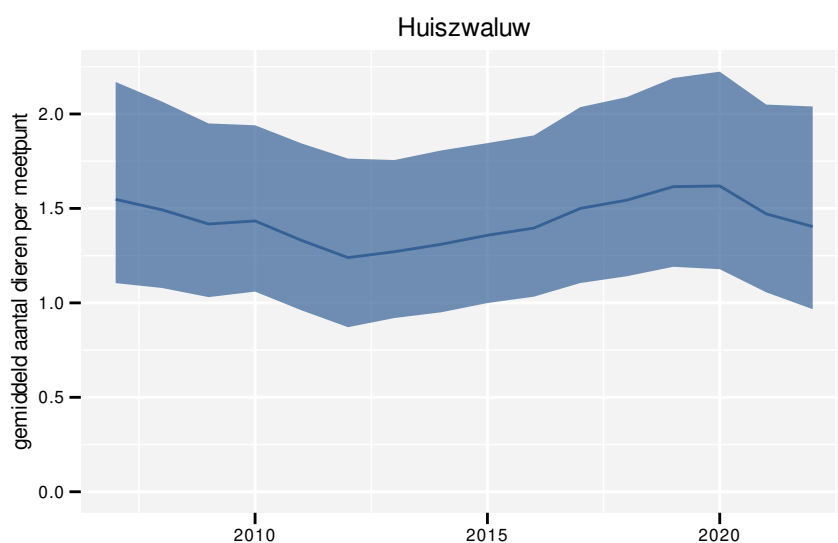
Tabel 53.2: Data-hashes van de analyses in het kader van traceerbaarheid (zie §4.3).

frequentie	model	analyse	status
jaarlijks	niet-lineair	9460d35ec003677dbba4 81b184f39a04ccb10fce	e0a424d2100408d2cf6f 984bc240b84b1ac233bc
jaarlijks	lineair	1c5f73b0ba518220e82a 95c4a4a16cda5ccd1edb	519bdbb093cb217acbd e888ab73cfff398c217
driejaarlijks	niet-lineair	9ecafa5b3bd2b1028e49 60a1e794f4a16f7a371c	5836d993537baaa0417d 962511891fd3c3f3e78b
driejaarlijks	lineair	f1d41716639b13034522 39dd3708d4ab345393c4	fa32f1fbfb68dabc60d4 a22e8fe452030b0e281e

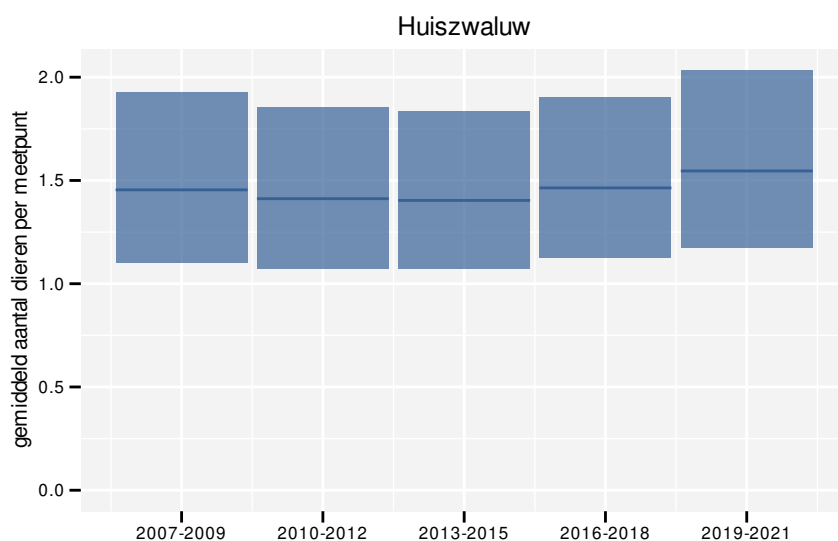
54 HUISZWALUW

Op basis van jaarlijkse gegevens zien we gemiddeld een onduidelijk met +0.3% (-2.6%; +3.3%) per jaar of +5% (-32%; +63%) over de volledige looptijd van het meetnet. Deze trend is mogelijk niet-lineair.

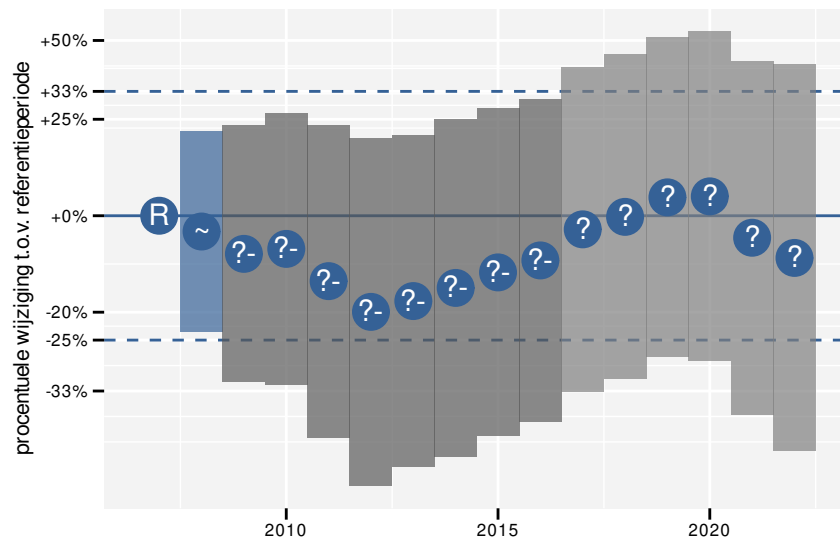
Op basis van driejaarlijkse gegevens zien we gemiddeld een onduidelijk met +0.8% (-2.1%; +3.8%) per jaar of +10% (-30%; +80%) over de volledige looptijd van het meetnet. Deze trend is lineair.



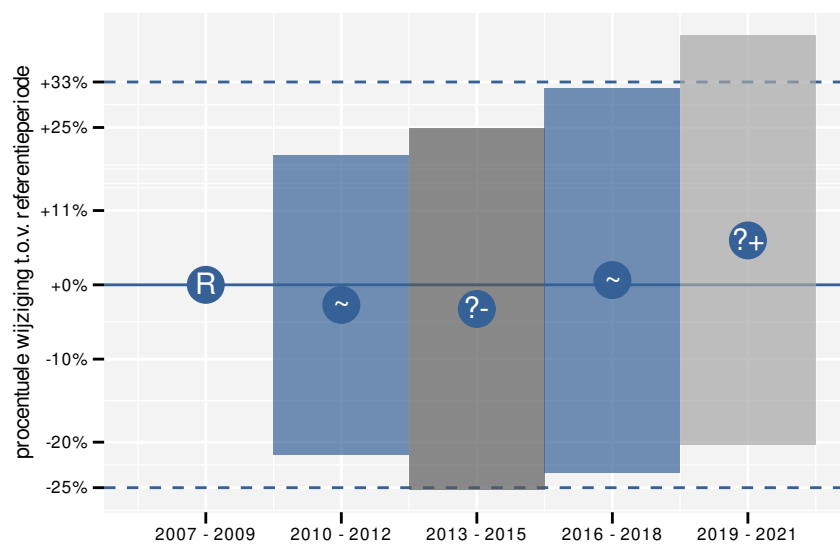
Figuur 54.1: Evolutie van het gemodelleerde gemiddeld aantal waargenomen dieren op een meetpunt voor Huiszwaluw tijdens de referentieperiode. Zie §3.1 voor een verklaring van de intervallen.



Figuur 54.2: Evolutie van het gemodelleerde gemiddeld aantal waargenomen dieren op een meetpunt voor Huiszwaluw tijdens de referentieperiode. Zie §3.1 voor een verklaring van de intervallen.



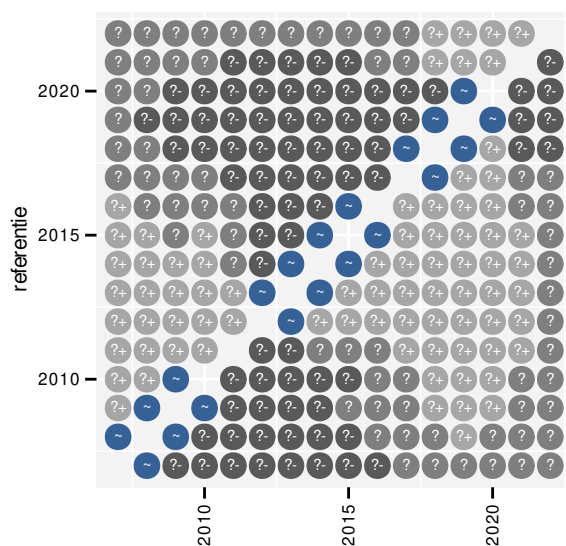
Figuur 54.3: Wijzigingen tussen jaren voor Huiszwaluw. Zie §3.1 voor een verklaring van de intervallen en §3.2 voor uitleg over de symbolen en referentielijnen.



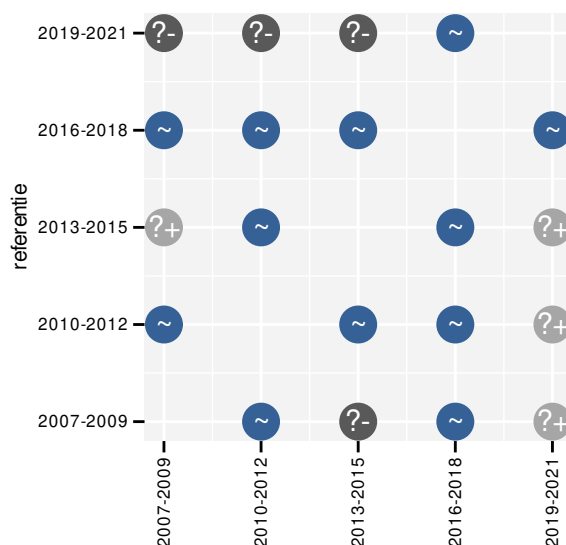
Figuur 54.4: Wijzigingen per driejarige cyclus voor Huiszwaluw. Zie §3.1 voor een verklaring van de intervallen en §3.2 voor uitleg over de symbolen en referentielijnen.

Tabel 54.1: Stratumgewicht, raming van het aantal hokken waarin de soort aanwezig is, aantal relevante hokken voor de analyse, aantal onderzochte hokken in het stratum, totaal aantal hokken van het stratum in Vlaanderen, aantal bezoeken aan een meetpunt en het gemiddeld aandeel relevante punten per hok voor Huiszwaluw (zie §2.5).

stratum	gewicht	aanwezig	relevant	onderzocht	totaal	bezoeken	punten
Landbouw	93.8%	732.1	50	431	6311	1204	47.3%
Urbaan	3.1%	28.7	6	87	416	146	50.0%
Moeras en water	1.3%	12.0	7	80	137	174	54.8%
Suburbaan	1.1%	11.8	4	68	201	71	37.5%
Bos	0.6%	6.7	4	190	319	68	37.5%



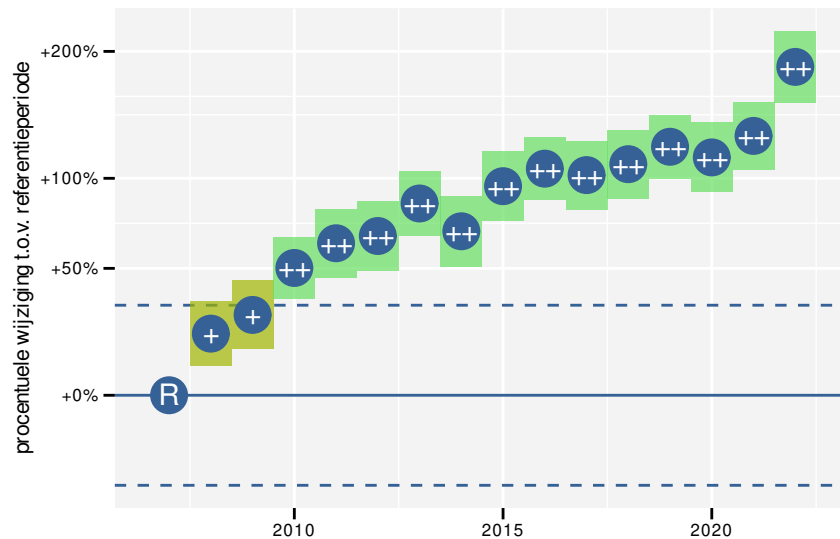
Figuur 54.5: Paarsgewijze vergelijking tussen jaren voor Huiszwaluw. Uitleg van de symbolen in tabel 3.1.



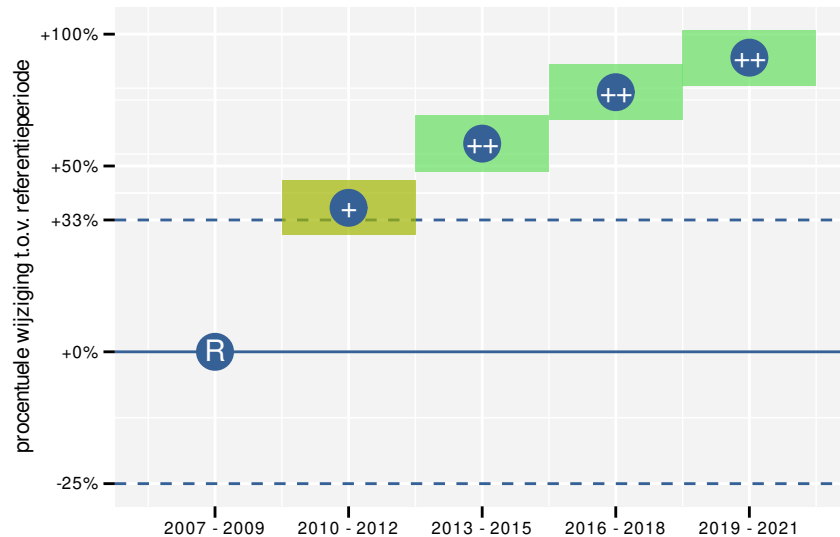
Figuur 54.6: Paarsgewijze vergelijking tussen driejarige cycli voor Huiszwaluw. Uitleg van de symbolen in tabel 3.1.

Tabel 54.2: Data-hashes van de analyses in het kader van traceerbaarheid (zie §4.3).

frequentie	model	analyse	status
jaarlijks	niet-lineair	2b21b940ea1dded50474 1efcc07a64355dc39407	95562ed7fd81876b88df ed92a2ee716c8c06c0d4
jaarlijks	lineair	462d00322f203f266f0e cbf93487643d14e19237	894c0768ef9a7d66d67d 017374bb7ab2042705b5
driejaarlijks	niet-lineair	ee8048fd544be5d13b81 6fd95e0298637efec407	aa0e6bbbed7a91310cdb7 16d53964e6de482e812b
driejaarlijks	lineair	96e17850dc2722766503 6be580c68fe05d14a80c	5a85952175d01739b27d ff834a4c1a7d1082fe3d



Figuur 55.3: Wijzigingen tussen jaren voor Kauw. Zie §3.1 voor een verklaring van de intervallen en §3.2 voor uitleg over de symbolen en referentielijnen.



Figuur 55.4: Wijzigingen per driejarige cyclus voor Kauw. Zie §3.1 voor een verklaring van de intervallen en §3.2 voor uitleg over de symbolen en referentielijnen.

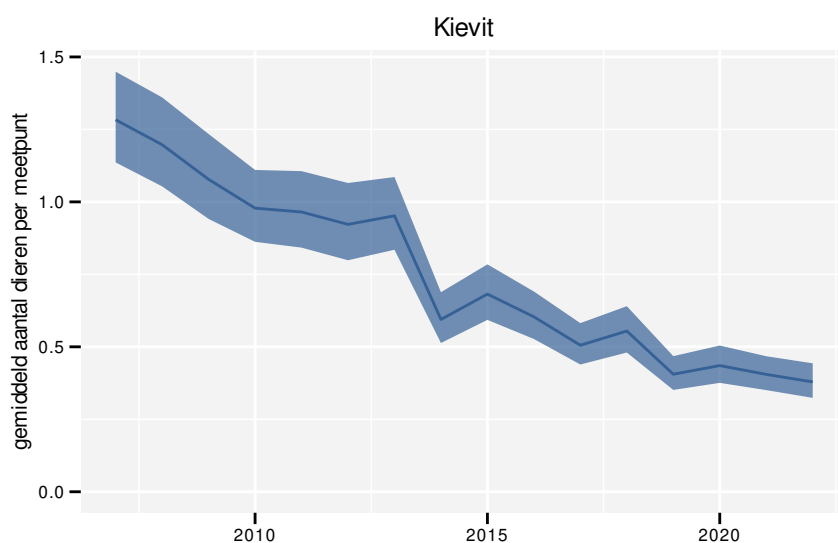
Tabel 55.1: Stratumgewicht, raming van het aantal hokken waarin de soort aanwezig is, aantal relevante hokken voor de analyse, aantal onderzochte hokken in het stratum, totaal aantal hokken van het stratum in Vlaanderen, aantal bezoeken aan een meetpunt en het gemiddeld aandeel relevante punten per hok voor Kauw (zie §2.5).

stratum	gewicht	aanwezig	relevant	onderzocht	totaal	bezoeken	punten
Landbouw	86.3%	4612.4	315	431	6311	19226	87.9%
Urbaan	6.1%	325.1	68	87	416	4476	97.1%
Suburbaan	2.5%	136.0	46	68	201	2756	88.0%
Bos	1.9%	99.1	59	190	319	2968	62.4%
Heide en duin	1.7%	93.1	44	94	199	2282	70.1%
Moeras en water	1.4%	77.1	45	80	137	2167	68.1%

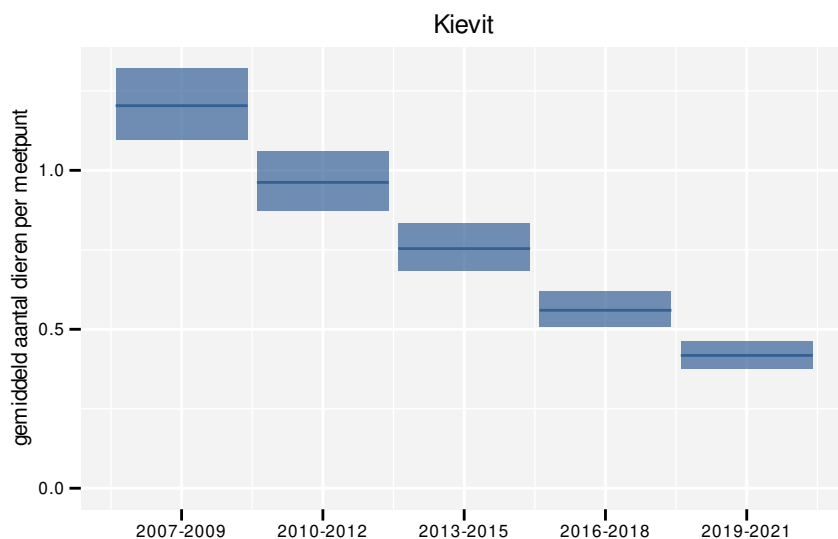
56 KIEVIT

Op basis van jaarlijkse gegevens zien we gemiddeld een sterke afname met -8.3% (-8.9%; -7.8%) per jaar of -72.8% (-75.2%; -70.2%) over de volledige looptijd van het meetnet. Deze trend is niet-lineair.

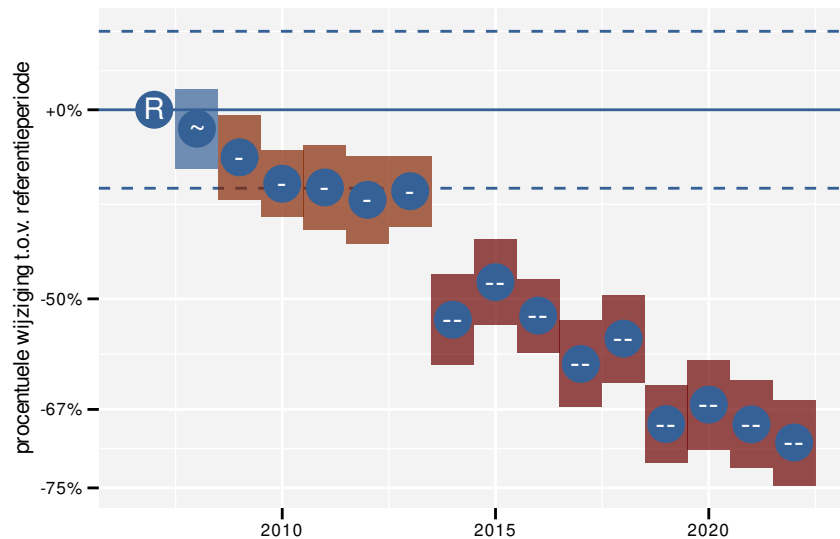
Op basis van driejaarlijkse gegevens zien we gemiddeld een sterke afname met -8.4% (-8.9%; -7.8%) per jaar of -73.0% (-75.4%; -70.4%) over de volledige looptijd van het meetnet. Deze trend is lineair.



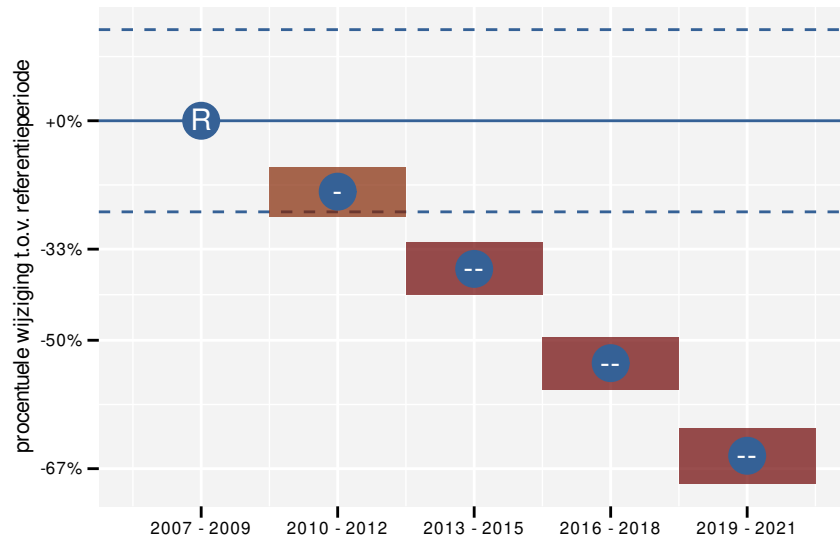
Figuur 56.1: Evolutie van het gemodelleerde gemiddeld aantal waargenomen dieren op een meetpunt voor Kievit tijdens de referentieperiode. Zie §3.1 voor een verklaring van de intervallen.



Figuur 56.2: Evolutie van het gemodelleerde gemiddeld aantal waargenomen dieren op een meetpunt voor Kievit tijdens de referentieperiode. Zie §3.1 voor een verklaring van de intervallen.



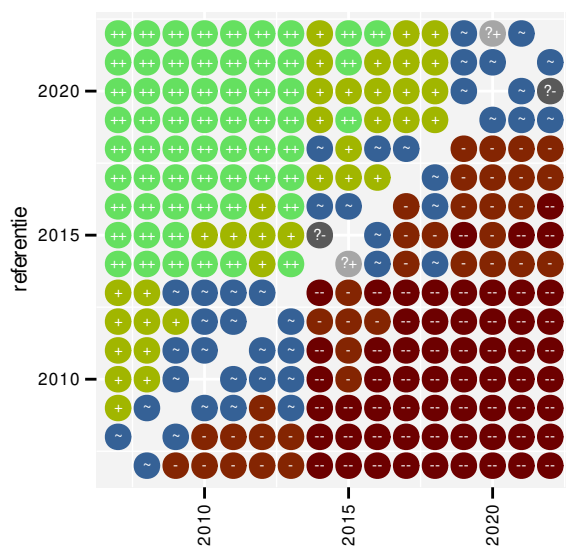
Figuur 56.3: Wijzigingen tussen jaren voor Kievit. Zie §3.1 voor een verklaring van de intervallen en §3.2 voor uitleg over de symbolen en referentielijnen.



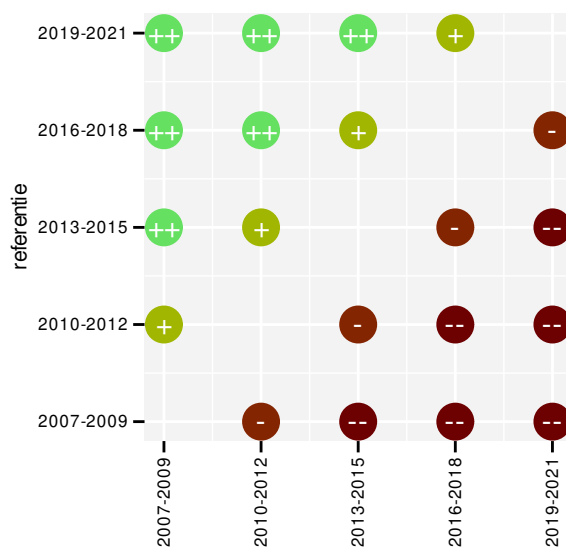
Figuur 56.4: Wijzigingen per driejarige cyclus voor Kievit. Zie §3.1 voor een verklaring van de intervallen en §3.2 voor uitleg over de symbolen en referentielijnen.

Tabel 56.1: Stratumgewicht, raming van het aantal hokken waarin de soort aanwezig is, aantal relevante hokken voor de analyse, aantal onderzochte hokken in het stratum, totaal aantal hokken van het stratum in Vlaanderen, aantal bezoeken aan een meetpunt en het gemiddeld aandeel relevante punten per hok voor Kievit (zie §2.5).

stratum	gewicht	aanwezig	relevant	onderzocht	totaal	bezoeken	punten
Landbouw	96.7%	4495.3	307	431	6311	16328	76.8%
Moeras en water	1.0%	44.5	26	80	137	1270	65.4%
Heide en duin	0.7%	31.8	15	94	199	769	53.3%
Urbaan	0.6%	33.5	7	87	416	125	26.2%
Bos	0.6%	28.5	17	190	319	435	39.2%
Suburbaan	0.4%	23.6	8	68	201	276	58.3%



Figuur 56.5: Paarsgewijze vergelijking tussen jaren voor Kievit. Uitleg van de symbolen in tabel 3.1.



Figuur 56.6: Paarsgewijze vergelijking tussen driejarige cycli voor Kievit. Uitleg van de symbolen in tabel 3.1.

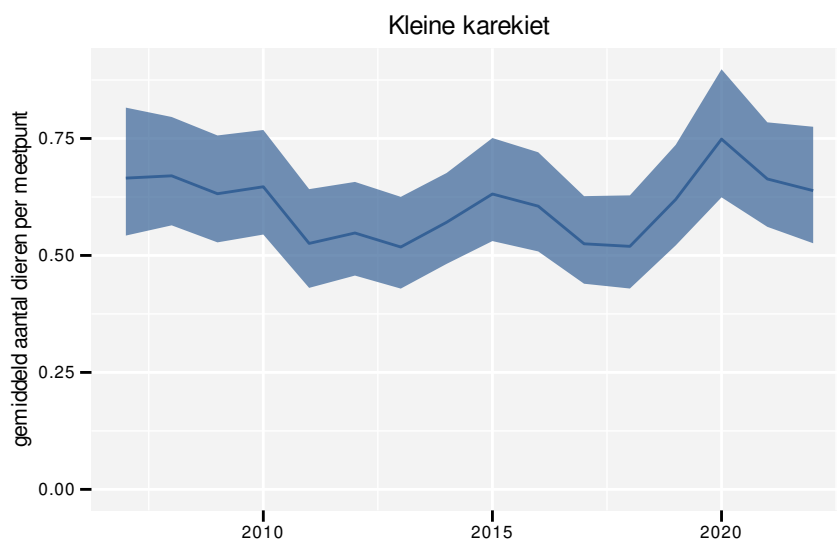
Tabel 56.2: Data-hashes van de analyses in het kader van traceerbaarheid (zie §4.3).

frequentie	model	analyse	status
jaarlijks	niet-lineair	c7064a7eaddc0384f321 2fd5f31267ed2832bc12	dfeeca3d14e45b22d011 448cd3c0c722bddae960
jaarlijks	lineair	16cf88ec9072a50b02a2 25e2dcc4e81251414845	60303efc9c0b8923fb28 a58701537c33c42a6752
driejaarlijks	niet-lineair	b34d63e7b76ed9e164f3 3834811b97527136ec8f	f353c5fbc59d2c58a05b 90d700a540f52d8913b7
driejaarlijks	lineair	f5269811a06bec5381a9 a263ee8374f7bbd39324	afce5d5d8bbb06d1b2ad 77acb77862512a7070f9

57 KLEINE KAREKIET

Op basis van jaarlijkse gegevens zien we gemiddeld een stabiele toestand. De trend blijft beperkt tot +0.27% (-0.89%; +1.44%) per jaar of +4% (-12%; +24%) over de volledige looptijd van het meetnet. Deze trend is niet-lineair.

Op basis van driejaarlijkse gegevens zien we gemiddeld een stabiele toestand. De trend blijft beperkt tot +0.34% (-0.83%; +1.52%) per jaar of +5% (-12%; +25%) over de volledige looptijd van het meetnet. Deze trend is niet-lineair.



Figuur 57.1: Evolutie van het gemodelleerde gemiddeld aantal waargenomen dieren op een meetpunt voor Kleine karekiet tijdens de referentieperiode. Zie §3.1 voor een verklaring van de intervallen.

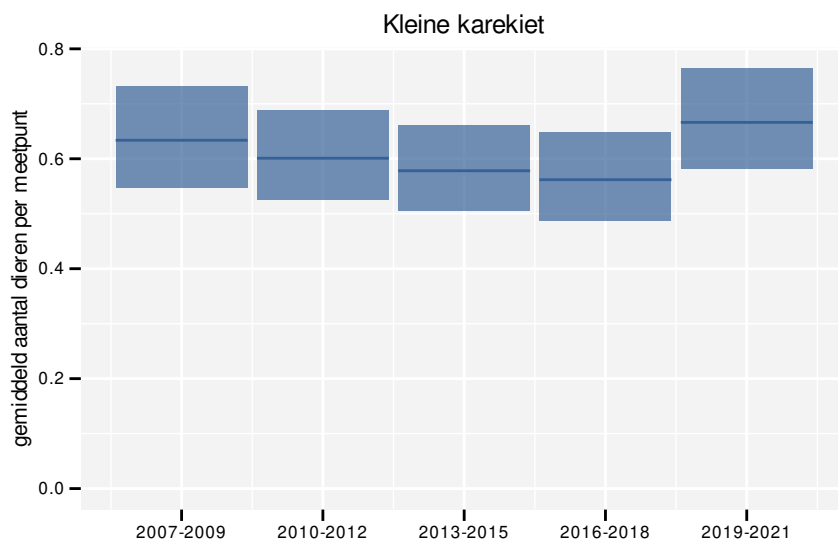
Tabel 57.1: Stratumgewicht, raming van het aantal hokken waarin de soort aanwezig is, aantal relevante hokken voor de analyse, aantal onderzochte hokken in het stratum, totaal aantal hokken van het stratum in Vlaanderen, aantal bezoeken aan een meetpunt en het gemiddeld aandeel relevante punten per hok voor Kleine karekiet (zie §2.5).

stratum	gewicht	aanwezig	relevant	onderzocht	totaal	bezoeken	punten
Landbouw	89.0%	790.7	54	431	6311	1749	59.6%
Moeras en water	7.3%	65.1	38	80	137	1312	66.7%
Suburbaan	2.0%	20.7	7	68	201	124	50.0%
Heide en duin	1.7%	16.9	8	94	199	135	37.5%

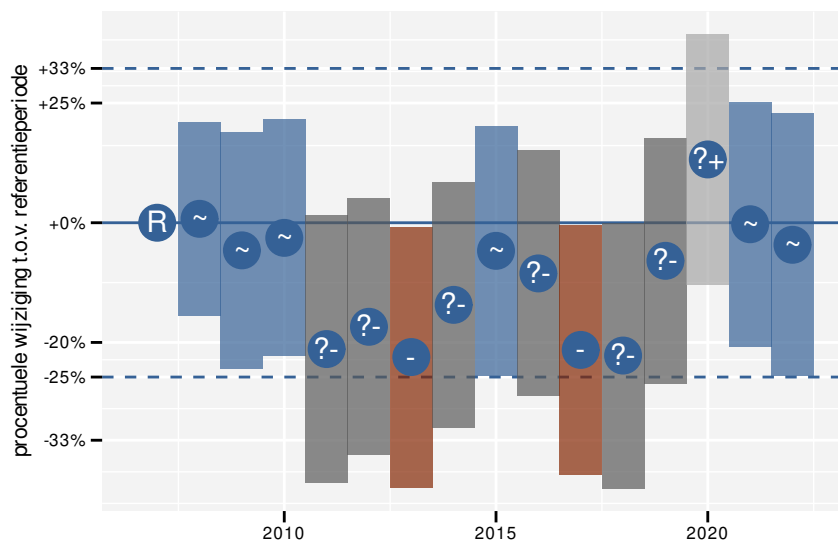
Tabel 57.2: Data-hashes van de analyses in het kader van traceerbaarheid (zie §4.3).

frequentie	model	analyse	status
jaarlijks	niet-lineair	46e2ddec90b25cbc3cfa 4aff7eb8823331fc2b24	750649ede1b3323a71ba a83fcec80012ad23e5fa

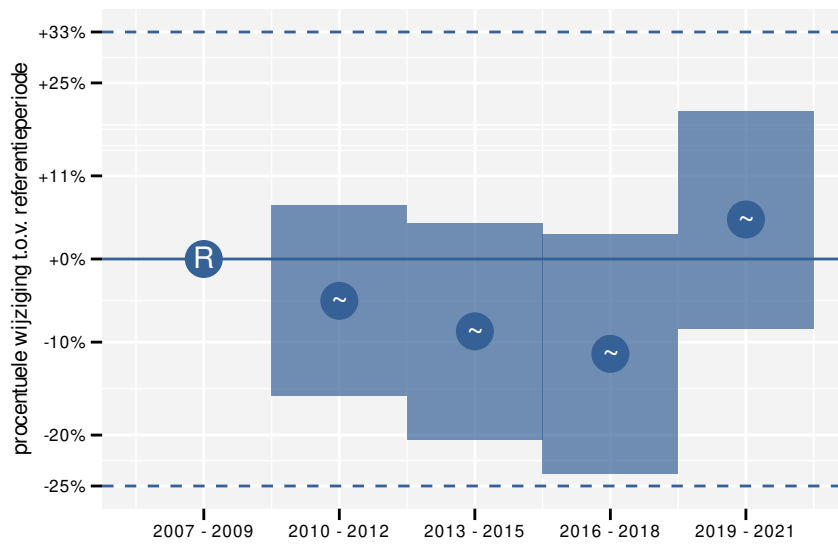
frequentie	model	analyse	status
jaarlijks	lineair	666fd023e60ec5f4c0c7 0ae9b38049cfd8bd7f99	b2b85f00d4281fb3e39b 2a3faed1316220a59967
driejaarlijks	niet-lineair	2bf813b3969c943ef6c8 0659e51cc673fdb1bf3	8a955655df347d6492b3 6482dce76ca6d62a2c4e
driejaarlijks	lineair	2816305fde2bcc5f763b 2ca32919f0d13d90208f	0b4389c6b962318793f1 25916989afc19cd14299



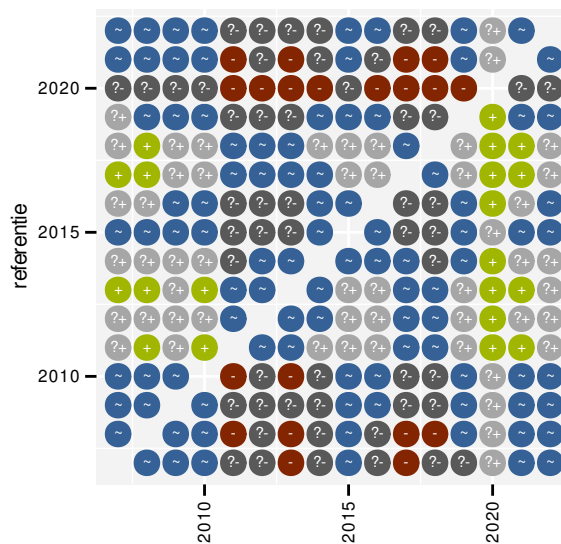
Figuur 57.2: Evolutie van het gemodelleerde gemiddeld aantal waargenomen dieren op een meetpunt voor Kleine karekiet tijdens de referentieperiode. Zie §3.1 voor een verklaring van de intervallen.



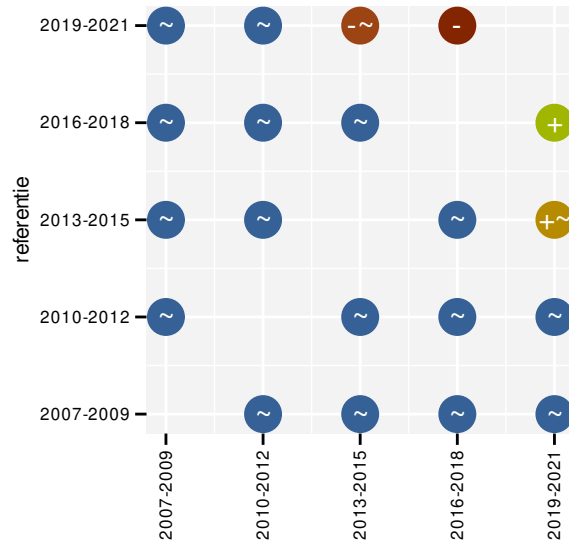
Figuur 57.3: Wijzigingen tussen jaren voor Kleine karekiet. Zie §3.1 voor een verklaring van de intervallen en §3.2 voor uitleg over de symbolen en referentielijnen.



Figuur 57.4: Wijzigingen per driejarige cyclus voor Kleine karekiet. Zie §3.1 voor een verklaring van de intervallen en §3.2 voor uitleg over de symbolen en referentielijnen.



Figuur 57.5: Paarsgewijze vergelijking tussen jaren voor Kleine karekiet. Uitleg van de symbolen in tabel 3.1.

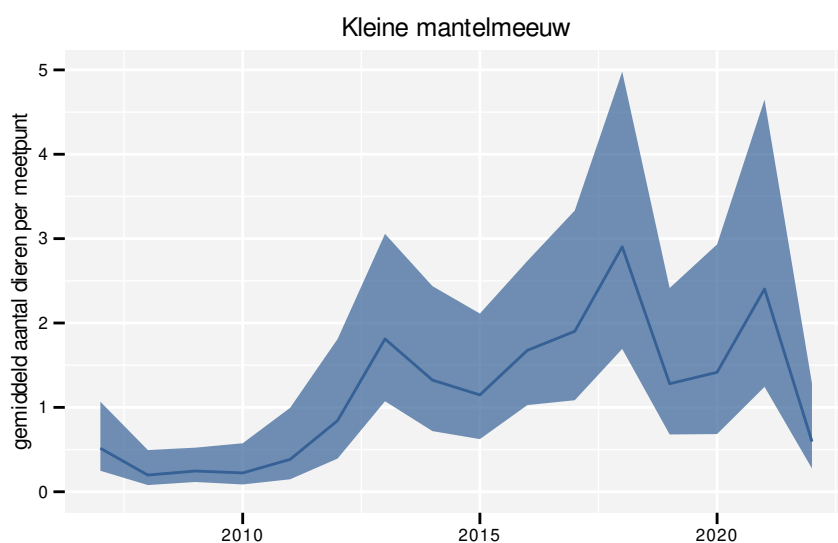


Figuur 57.6: Paarsgewijze vergelijking tussen driejarige cycli voor Kleine karekiet. Uitleg van de symbolen in tabel 3.1.

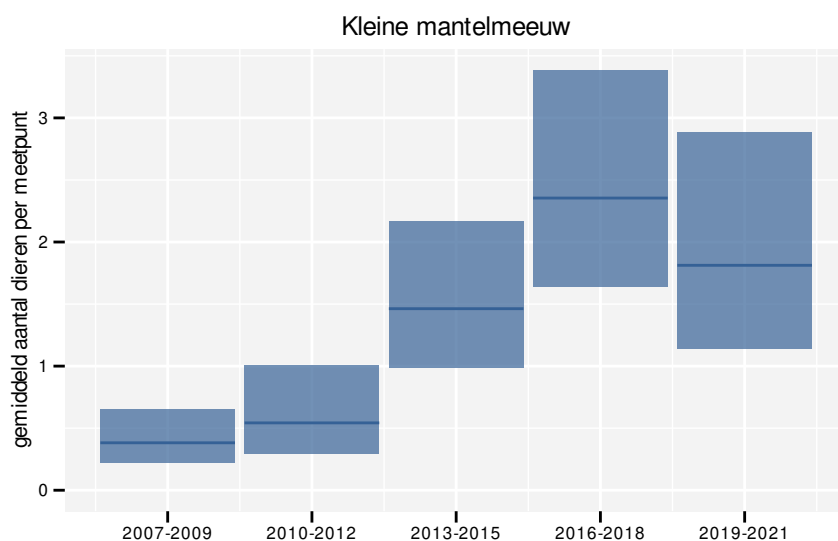
58 KLEINE MANTELMEEUW

Op basis van jaarlijkse gegevens zien we gemiddeld een sterke toename met +13.9% (+8.4%; +19.7%) per jaar of +610% (+240%; +1390%) over de volledige looptijd van het meetnet. Deze trend is niet-lineair.

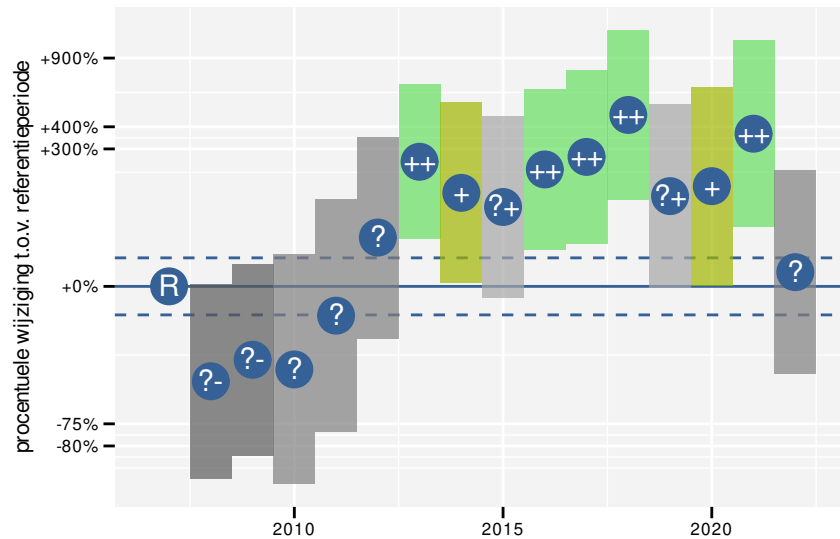
Op basis van driejaarlijkse gegevens zien we gemiddeld een sterke toename met +13.4% (+7.8%; +19.2%) per jaar of +560% (+210%; +1300%) over de volledige looptijd van het meetnet. Deze trend is niet-lineair.



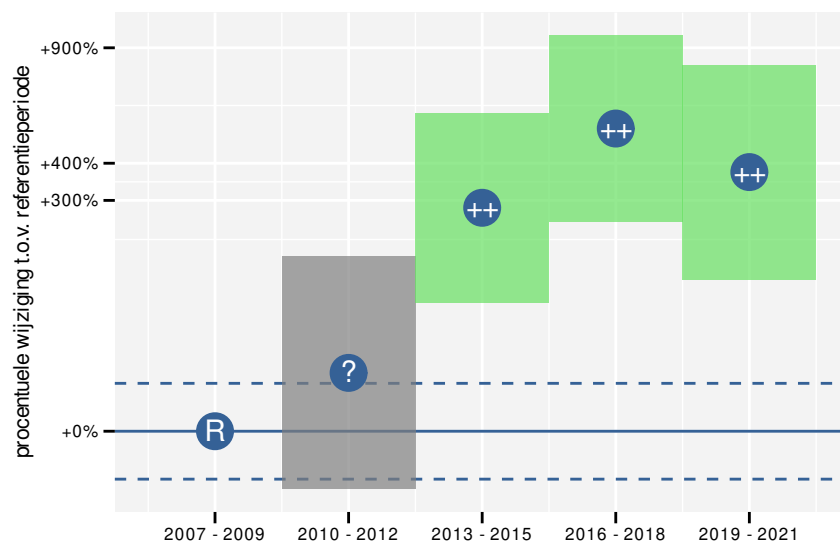
Figuur 58.1: Evolutie van het gemodelleerde gemiddeld aantal waargenomen dieren op een meetpunt voor Kleine mantelmeeuw tijdens de referentieperiode. Zie §3.1 voor een verklaring van de intervallen.



Figuur 58.2: Evolutie van het gemodelleerde gemiddeld aantal waargenomen dieren op een meetpunt voor Kleine mantelmeeuw tijdens de referentieperiode. Zie §3.1 voor een verklaring van de intervallen.



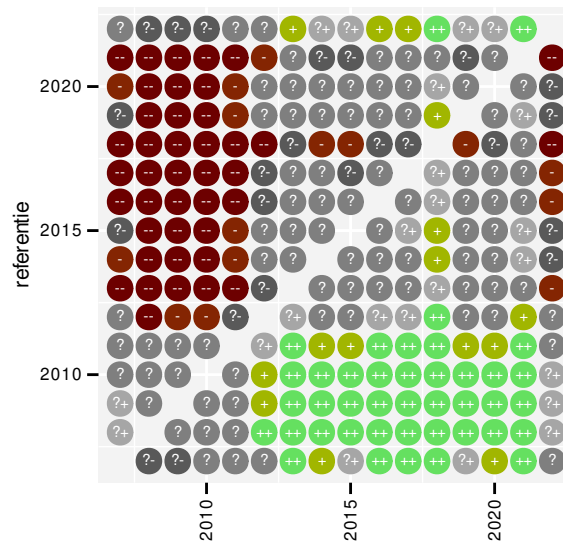
Figuur 58.3: Wijzigingen tussen jaren voor Kleine mantelmeeuw. Zie §3.1 voor een verklaring van de intervallen en §3.2 voor uitleg over de symbolen en referentielijnen.



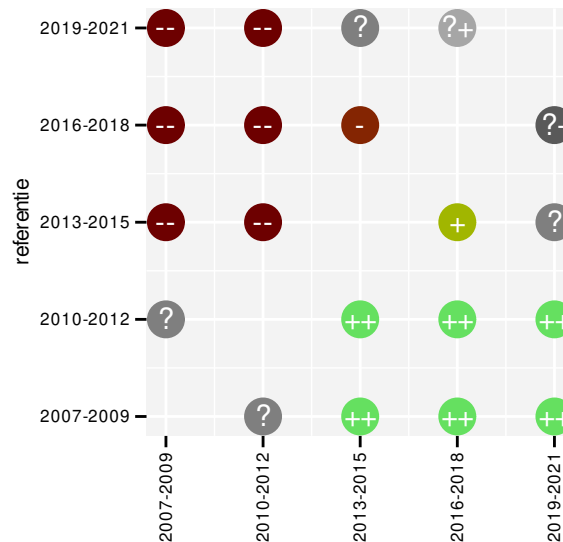
Figuur 58.4: Wijzigingen per driejarige cyclus voor Kleine mantelmeeuw. Zie §3.1 voor een verklaring van de intervallen en §3.2 voor uitleg over de symbolen en referentielijnen.

Tabel 58.1: Stratumgewicht, raming van het aantal hokken waarin de soort aanwezig is, aantal relevante hokken voor de analyse, aantal onderzochte hokken in het stratum, totaal aantal hokken van het stratum in Vlaanderen, aantal bezoeken aan een meetpunt en het gemiddeld aandeel relevante punten per hok voor Kleine mantelmeeuw (zie §2.5).

stratum	gewicht	aanwezig	relevant	onderzocht	totaal	bezoeken	punten
Landbouw	87.0%	205.0	14	431	6311	651	59.5%
Moeras en water	8.0%	18.8	11	80	137	446	53.0%
Suburbaan	5.0%	14.8	5	68	201	173	40.0%



Figuur 58.5: Paarsgewijze vergelijking tussen jaren voor Kleine mantelmeeuw. Uitleg van de symbolen in tabel 3.1.

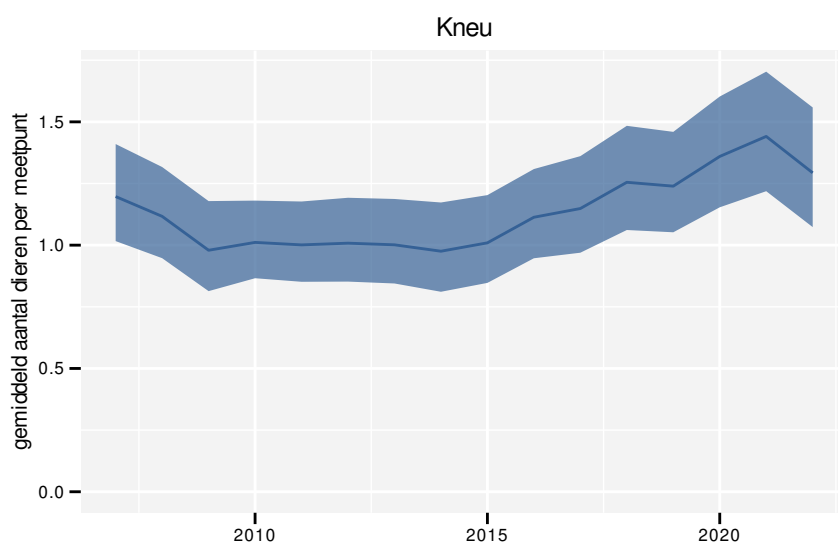


Figuur 58.6: Paarsgewijze vergelijking tussen driejarige cycli voor Kleine mantelmeeuw. Uitleg van de symbolen in tabel 3.1.

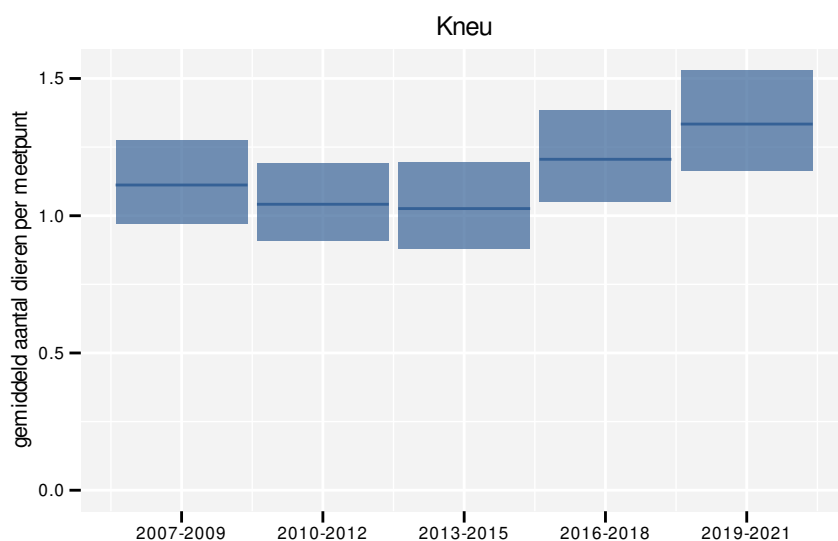
59 KNEU

Op basis van jaarlijkse gegevens zien we gemiddeld een toename met +1.5% (+0.3%; +2.7%) per jaar of +25% (+5%; +50%) over de volledige looptijd van het meetnet. Deze trend is niet-lineair.

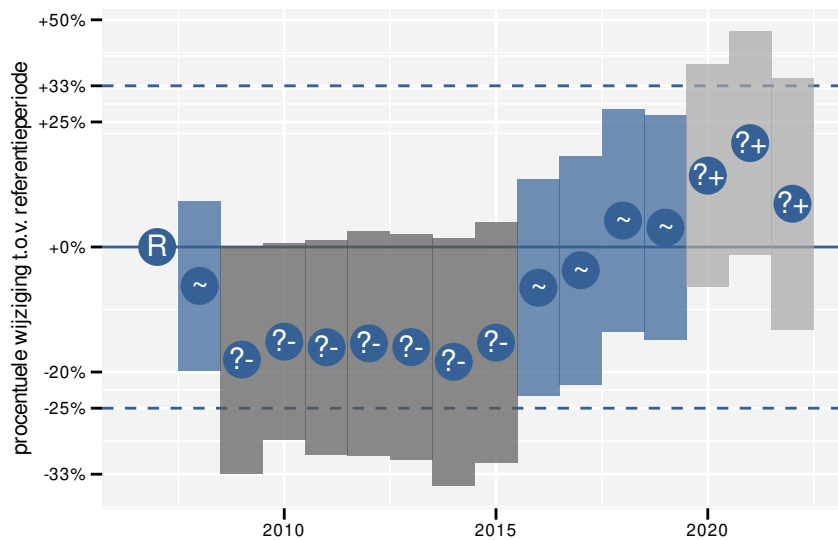
Op basis van driejaarlijkse gegevens zien we gemiddeld een toename met +1.5% (+0.3%; +2.7%) per jaar of +25% (+4%; +50%) over de volledige looptijd van het meetnet. Deze trend is niet-lineair.



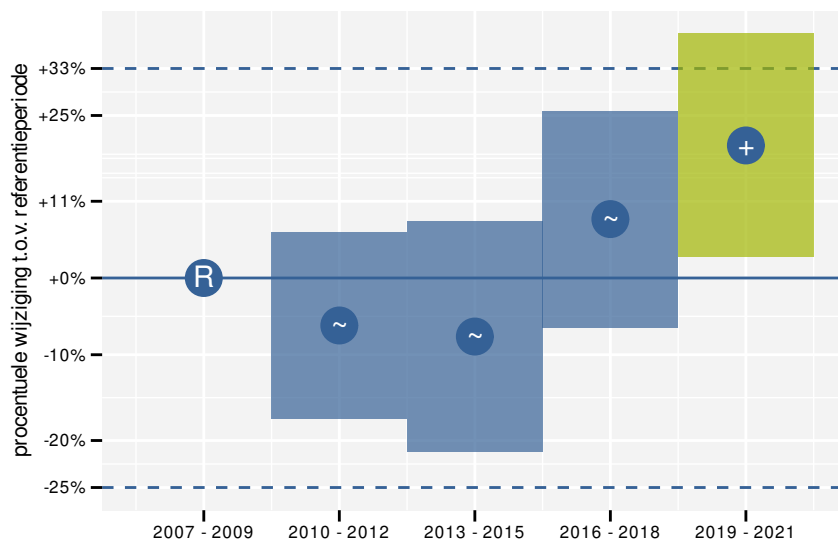
Figuur 59.1: Evolutie van het gemodelleerde gemiddeld aantal waargenomen dieren op een meetpunt voor Kneu tijdens de referentieperiode. Zie §3.1 voor een verklaring van de intervallen.



Figuur 59.2: Evolutie van het gemodelleerde gemiddeld aantal waargenomen dieren op een meetpunt voor Kneu tijdens de referentieperiode. Zie §3.1 voor een verklaring van de intervallen.



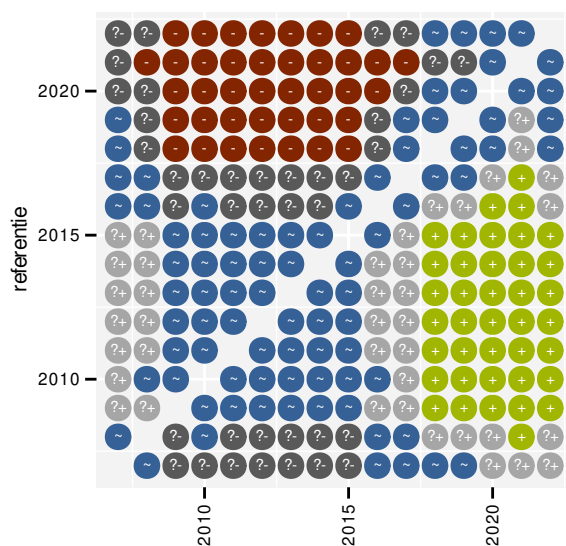
Figuur 59.3: Wijzigingen tussen jaren voor Kneu. Zie §3.1 voor een verklaring van de intervallen en §3.2 voor uitleg over de symbolen en referentielijnen.



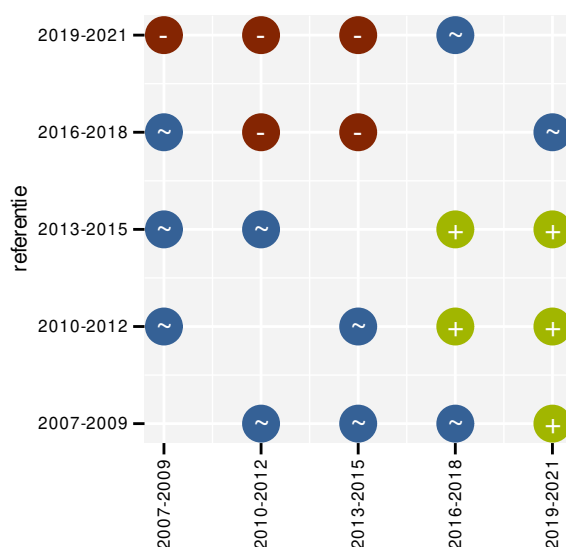
Figuur 59.4: Wijzigingen per driejarige cyclus voor Kneu. Zie §3.1 voor een verklaring van de intervallen en §3.2 voor uitleg over de symbolen en referentielijnen.

Tabel 59.1: Stratumgewicht, raming van het aantal hokken waarin de soort aanwezig is, aantal relevante hokken voor de analyse, aantal onderzochte hokken in het stratum, totaal aantal hokken van het stratum in Vlaanderen, aantal bezoeken aan een meetpunt en het gemiddeld aandeel relevante punten per hok voor Kneu (zie §2.5).

stratum	gewicht	aanwezig	relevant	onderzocht	totaal	bezoeken	punten
Landbouw	92.3%	1888.9	129	431	6311	5927	59.7%
Heide en duin	4.2%	86.8	41	94	199	1665	62.6%
Suburbaan	1.6%	35.5	12	68	201	362	48.6%
Moeras en water	1.1%	22.3	13	80	137	434	46.2%
Bos	0.7%	15.1	9	190	319	395	38.9%



Figuur 59.5: Paarsgewijze vergelijking tussen jaren voor Kneu. Uitleg van de symbolen in tabel 3.1.



Figuur 59.6: Paarsgewijze vergelijking tussen driejarige cycli voor Kneu. Uitleg van de symbolen in tabel 3.1.

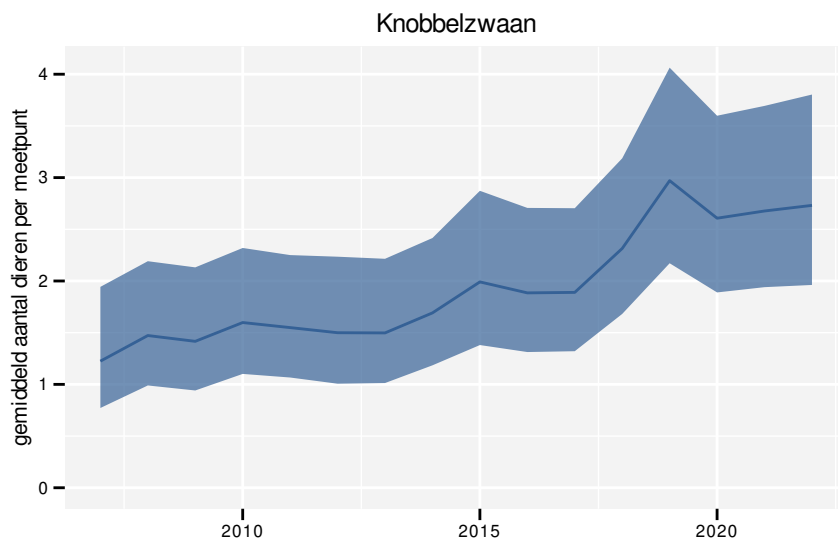
Tabel 59.2: Data-hashes van de analyses in het kader van traceerbaarheid (zie §4.3).

frequentie	model	analyse	status
jaarlijks	niet-lineair	6fa4c7f117652c258f7c 2441955b3cbbc8db72a7	f8817ddd132d926a93d1 2eec1d8348fe3047516a
jaarlijks	lineair	c593fe4176284d70a0ec 2198c6906b20edc27306	2dda43e7887001761986 af82d3a7823cf73332f2
driejaarlijks	niet-lineair	135a425343f119993165 6ffc5647b08a4c03f31c	b1a8a44bbdd16b1a6432 ed7445f2ebf28305c258
driejaarlijks	lineair	099d3d706c6908d40b91 d6a602dd087a2c5e1709	f9d741df429e1acc703c d2240059d905046435e6

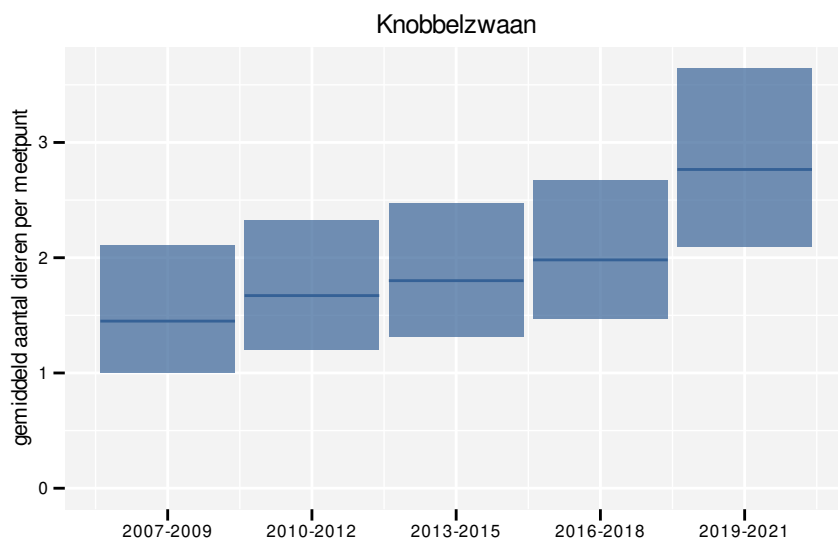
60 KNOBBELZWAAN

Op basis van jaarlijkse gegevens zien we gemiddeld een sterke toename met $+6.9\%$ ($+4.2\%$; $+9.6\%$) per jaar of $+170\%$ ($+90\%$; $+300\%$) over de volledige looptijd van het meetnet. Deze trend is niet-lineair.

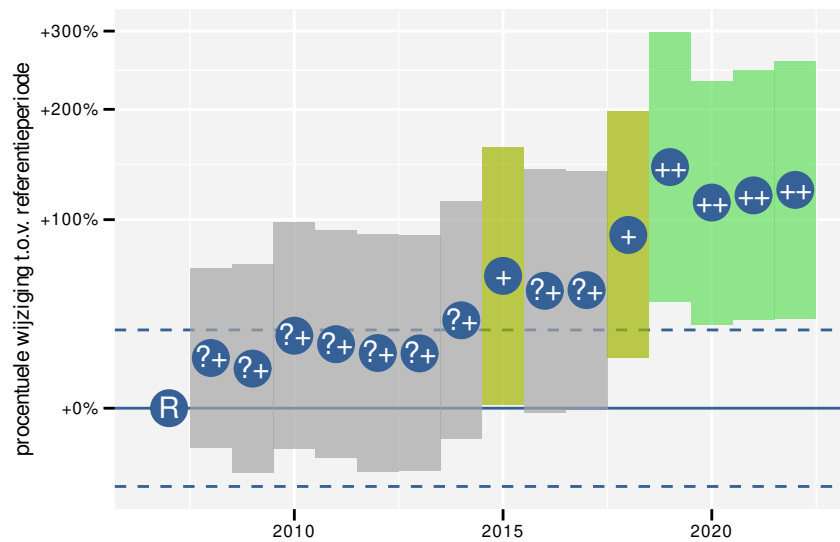
Op basis van driejaarlijkse gegevens zien we gemiddeld een sterke toename met $+6.8\%$ ($+4.1\%$; $+9.5\%$) per jaar of $+170\%$ ($+80\%$; $+290\%$) over de volledige looptijd van het meetnet. Deze trend is niet-lineair.



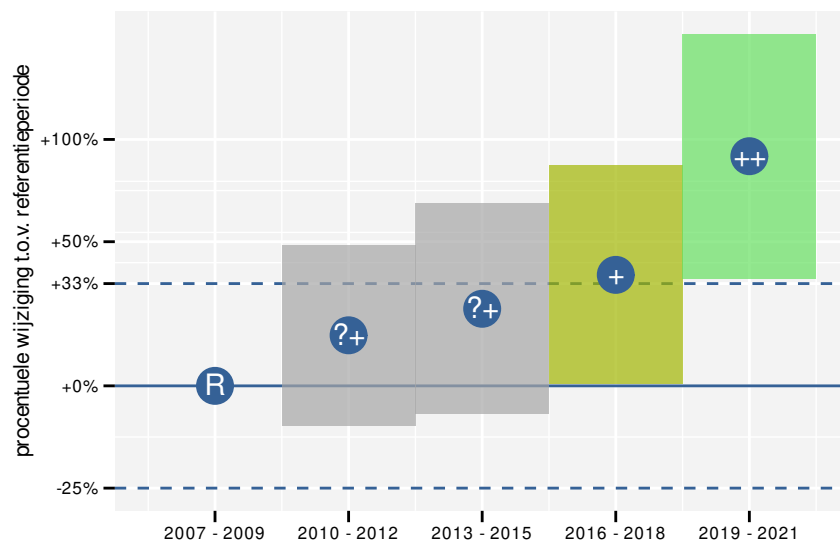
Figuur 60.1: Evolutie van het gemodelleerde gemiddeld aantal waargenomen dieren op een meetpunt voor Knobbelzwaan tijdens de referentieperiode. Zie §3.1 voor een verklaring van de intervallen.



Figuur 60.2: Evolutie van het gemodelleerde gemiddeld aantal waargenomen dieren op een meetpunt voor Knobbelzwaan tijdens de referentieperiode. Zie §3.1 voor een verklaring van de intervallen.



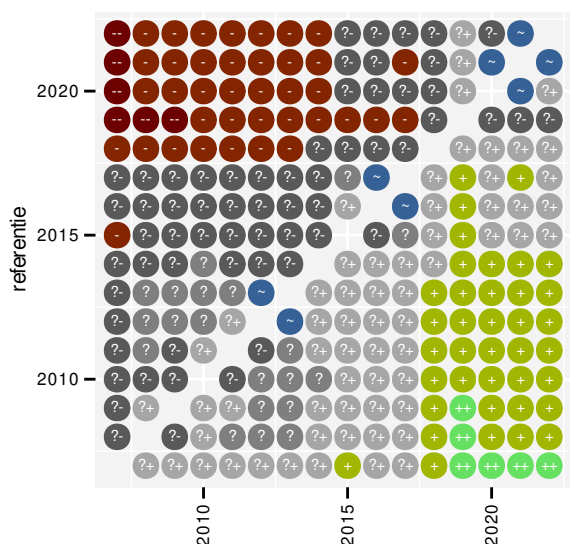
Figuur 60.3: Wijzigingen tussen jaren voor Knobbelzwaan. Zie §3.1 voor een verklaring van de intervallen en §3.2 voor uitleg over de symbolen en referentielijnen.



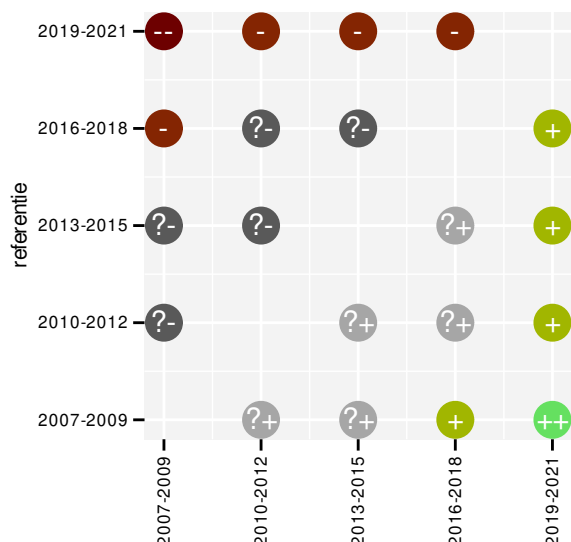
Figuur 60.4: Wijzigingen per driejarige cyclus voor Knobbelzwaan. Zie §3.1 voor een verklaring van de intervallen en §3.2 voor uitleg over de symbolen en referentielijnen.

Tabel 60.1: Stratumgewicht, raming van het aantal hokken waarin de soort aanwezig is, aantal relevante hokken voor de analyse, aantal onderzochte hokken in het stratum, totaal aantal hokken van het stratum in Vlaanderen, aantal bezoeken aan een meetpunt en het gemiddeld aandeel relevante punten per hok voor Knobbelzwaan (zie §2.5).

stratum	gewicht	aanwezig	relevant	onderzocht	totaal	bezoeken	punten
Moeras en water	74.8%	37.7	22	80	137	826	47.0%
Heide en duin	25.2%	14.8	7	94	199	207	38.1%



Figuur 60.5: Paarsgewijze vergelijking tussen jaren voor Knobelzwaan. Uitleg van de symbolen in tabel 3.1.



Figuur 60.6: Paarsgewijze vergelijking tussen driejarige cycli voor Knobelzwaan. Uitleg van de symbolen in tabel 3.1.

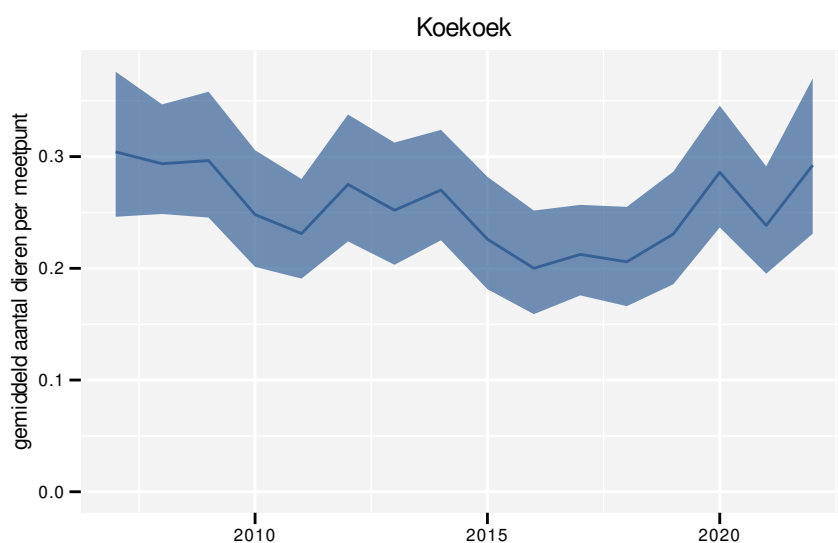
Tabel 60.2: Data-hashes van de analyses in het kader van traceerbaarheid (zie §4.3).

frequentie	model	analyse	status
jaarlijks	niet-lineair	4822ba8964fed1fd1fef aa0765fa65cf3748c262	441c56555fdff07ceb 7b8a3344b818889753d8
jaarlijks	lineair	10cab4607db959ab90df 1e5cf6c4670ea12f14c7	111a49d6ce6fd0e15a0d 454e46f1708be2440e3e
driejaarlijks	niet-lineair	6f0538c8784802032c39 02a75312b81a7cce4d63	b1abbc65a7ba7577cbff 3c926bbcc442ff460b8c
driejaarlijks	lineair	d68da70b5f0079987a9f 39a2f6e92321c3d31831	c06638098718dc7f37ea 37143018d7c222a53eb9

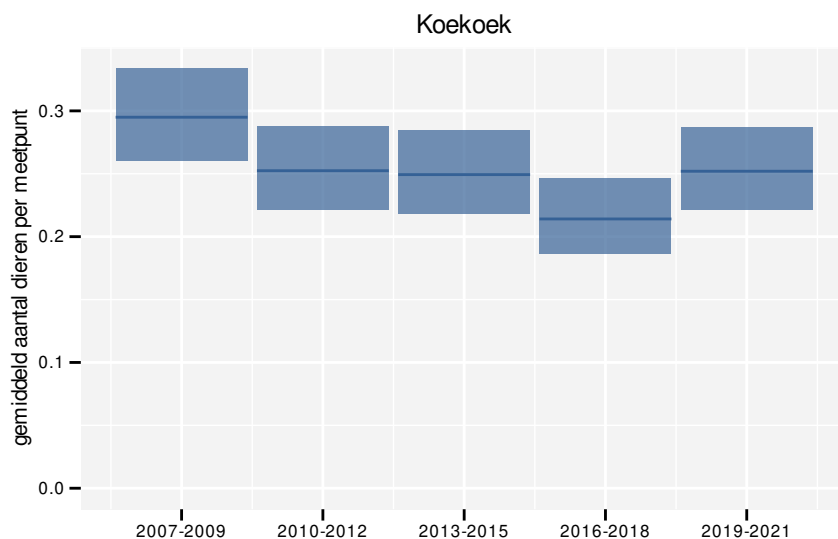
61 KOEKOEK

Op basis van jaarlijkse gegevens zien we gemiddeld een afname met -1.4% (-2.6%; -0.1%) per jaar of -18% (-33%; -1%) over de volledige looptijd van het meetnet. Deze trend is lineair.

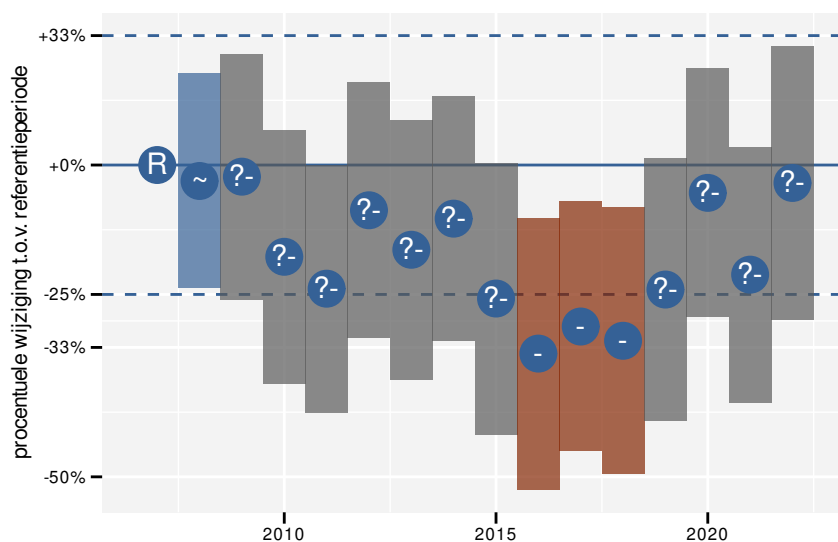
Op basis van driejaarlijkse gegevens zien we gemiddeld een afname met -1.4% (-2.7%; -0.1%) per jaar of -19% (-33%; -2%) over de volledige looptijd van het meetnet. Deze trend is lineair.



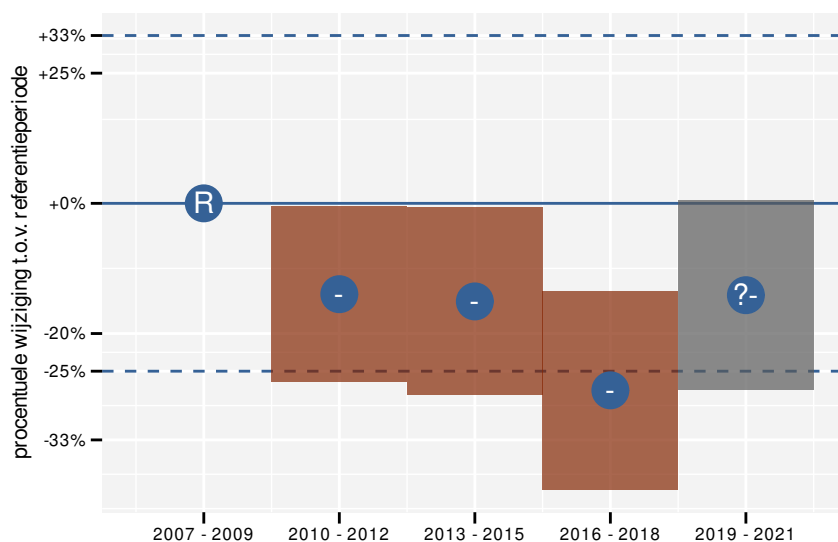
Figuur 61.1: Evolutie van het gemodelleerde gemiddeld aantal waargenomen dieren op een meetpunt voor Koekoek tijdens de referentieperiode. Zie §3.1 voor een verklaring van de intervallen.



Figuur 61.2: Evolutie van het gemodelleerde gemiddeld aantal waargenomen dieren op een meetpunt voor Koekoek tijdens de referentieperiode. Zie §3.1 voor een verklaring van de intervallen.



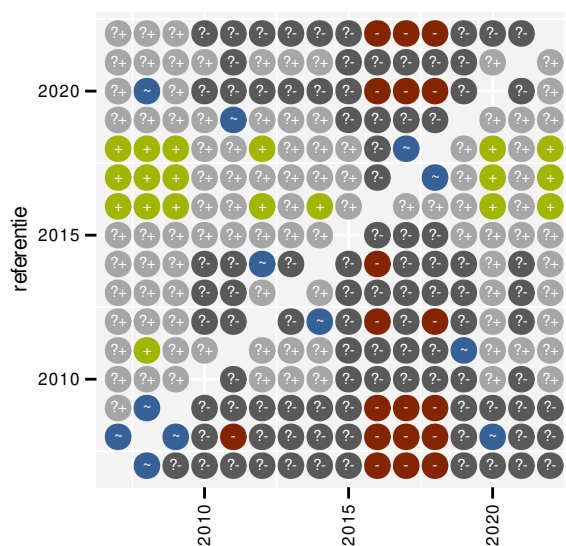
Figuur 61.3: Wijzigingen tussen jaren voor Koekoek. Zie §3.1 voor een verklaring van de intervallen en §3.2 voor uitleg over de symbolen en referentielijnen.



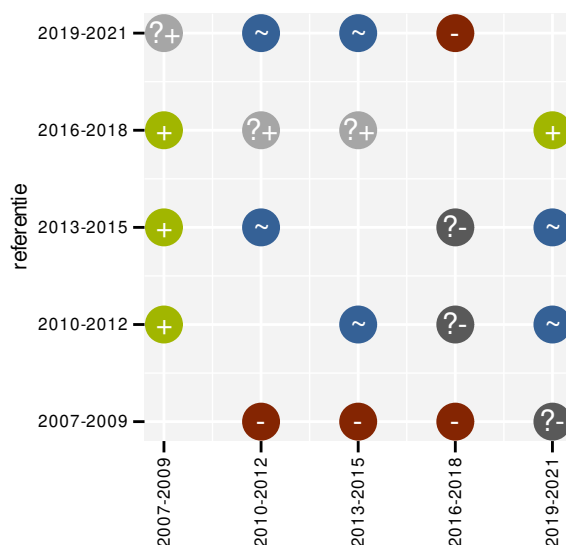
Figuur 61.4: Wijzigingen per driejarige cyclus voor Koekoek. Zie §3.1 voor een verklaring van de intervallen en §3.2 voor uitleg over de symbolen en referentielijnen.

Tabel 61.1: Stratumgewicht, raming van het aantal hokken waarin de soort aanwezig is, aantal relevante hokken voor de analyse, aantal onderzochte hokken in het stratum, totaal aantal hokken van het stratum in Vlaanderen, aantal bezoeken aan een meetpunt en het gemiddeld aandeel relevante punten per hok voor Koekoek (zie §2.5).

stratum	gewicht	aanwezig	relevant	onderzocht	totaal	bezoeken	punten
Landbouw	87.3%	1493.6	102	431	6311	3213	60.6%
Heide en duin	5.3%	91.0	43	94	199	1279	58.1%
Moeras en water	3.6%	61.6	36	80	137	1233	67.6%
Bos	3.0%	52.0	31	190	319	1119	66.7%
Suburbaan	0.7%	14.8	5	68	201	89	33.3%



Figuur 61.5: Paarsgewijze vergelijking tussen jaren voor Koekoek. Uitleg van de symbolen in tabel 3.1.



Figuur 61.6: Paarsgewijze vergelijking tussen driejarige cycli voor Koekoek. Uitleg van de symbolen in tabel 3.1.

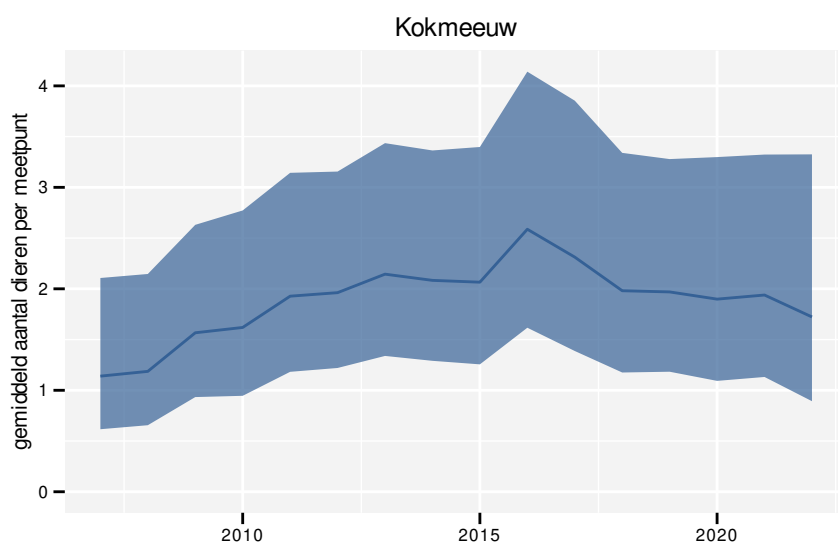
Tabel 61.2: Data-hashes van de analyses in het kader van traceerbaarheid (zie §4.3).

frequentie	model	analyse	status
jaarlijks	niet-lineair	fc12c09fc15523fadd32	0f4363c4785b4ff2c8fb
		3412c6cfc9e5e33c7202	9701da5ce9317712e26d
jaarlijks	lineair	fb9c712c23c4ec049e86	d2c9fe609fce7973a52c
		2681fa0a9268c2ad22ce	2bcd1bb4cd407e1a388f
driejaarlijks	niet-lineair	4ee13f095663ae2076c4	922aaf16bc863147c6a2
		08faa305098a334fcbad	d6ca63358ad670341b5c
driejaarlijks	lineair	f1156a51b52eb36f3274	e7dc3e250d372c66f12b
		9629647c604442fb4e4c	74d77b2c0645417b66fd

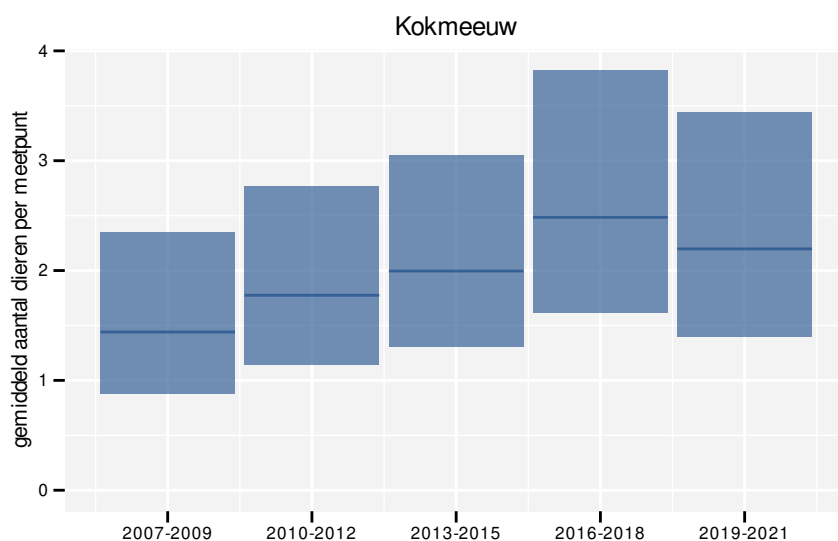
62 KOKMEEUW

Op basis van jaarlijkse gegevens zien we gemiddeld een mogelijke toename met +4% (-1%; +9%) per jaar of +90% (-10%; +280%) over de volledige looptijd van het meetnet. Deze trend is niet-lineair.

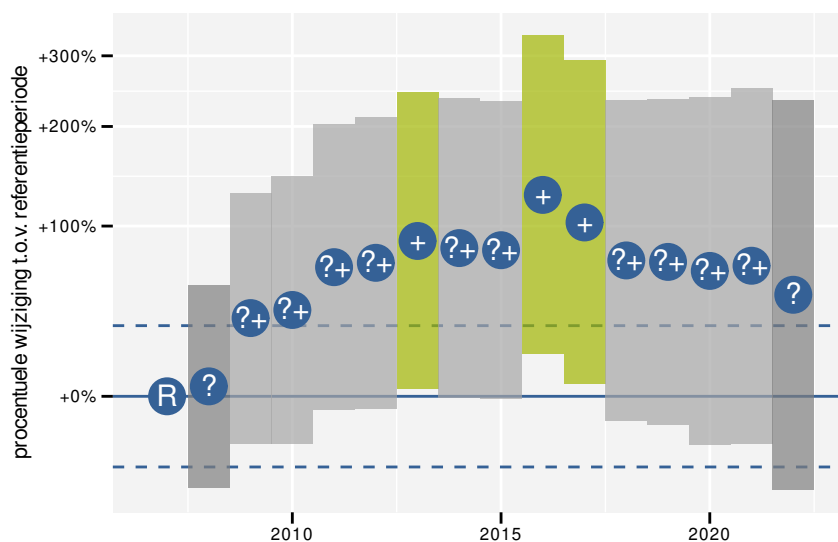
Op basis van driejaarlijkse gegevens zien we gemiddeld een mogelijke toename met +4.6% (-0.3%; +9.6%) per jaar of +100% (-0%; +300%) over de volledige looptijd van het meetnet. Deze trend is niet-lineair.



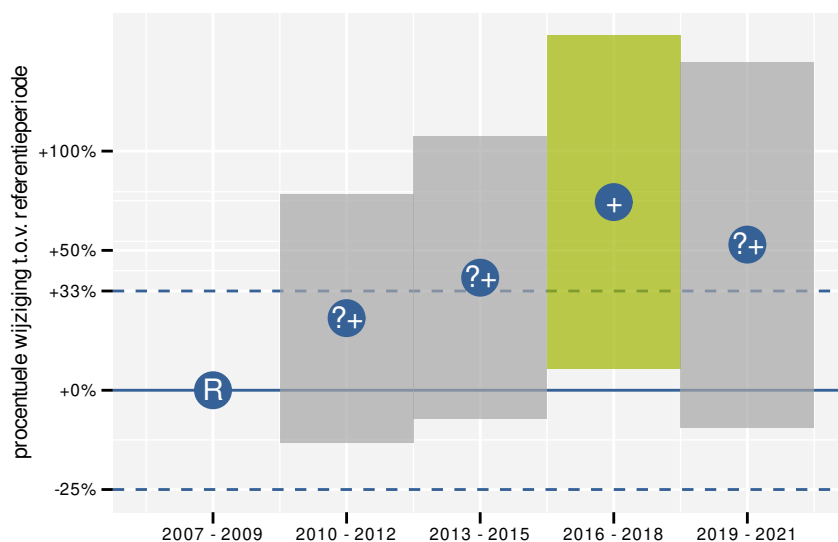
Figuur 62.1: Evolutie van het gemodelleerde gemiddeld aantal waargenomen dieren op een meetpunt voor Kokmeeuw tijdens de referentieperiode. Zie §3.1 voor een verklaring van de intervallen.



Figuur 62.2: Evolutie van het gemodelleerde gemiddeld aantal waargenomen dieren op een meetpunt voor Kokmeeuw tijdens de referentieperiode. Zie §3.1 voor een verklaring van de intervallen.



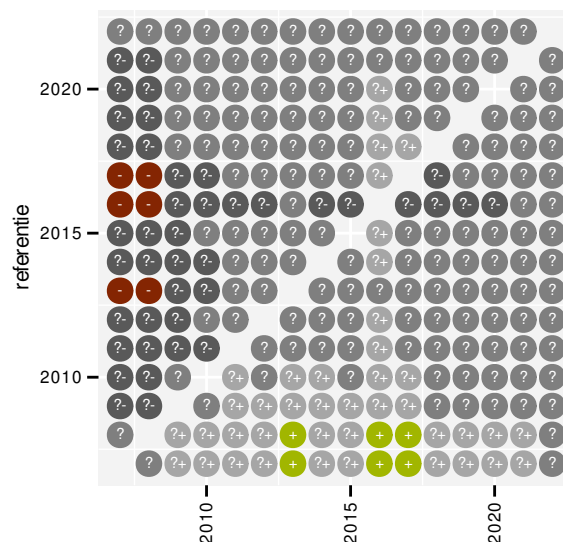
Figuur 62.3: Wijzigingen tussen jaren voor Kokmeeuw. Zie §3.1 voor een verklaring van de intervallen en §3.2 voor uitleg over de symbolen en referentielijnen.



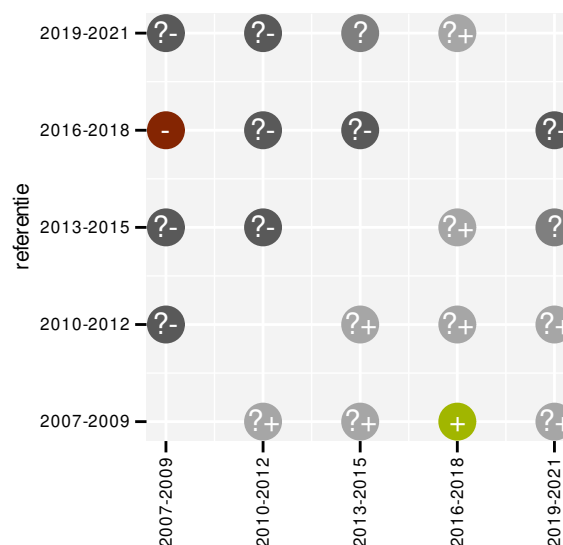
Figuur 62.4: Wijzigingen per driejarige cyclus voor Kokmeeuw. Zie §3.1 voor een verklaring van de intervallen en §3.2 voor uitleg over de symbolen en referentielijnen.

Tabel 62.1: Stratumgewicht, raming van het aantal hokken waarin de soort aanwezig is, aantal relevante hokken voor de analyse, aantal onderzochte hokken in het stratum, totaal aantal hokken van het stratum in Vlaanderen, aantal bezoeken aan een meetpunt en het gemiddeld aandeel relevante punten per hok voor Kokmeeuw (zie §2.5).

stratum	gewicht	aanwezig	relevant	onderzocht	totaal	bezoeken	punten
Landbouw	83.2%	410.0	28	431	6311	1126	58.3%
Moeras en water	5.2%	27.4	16	80	137	751	62.5%
Suburbaan	4.8%	23.6	8	68	201	453	60.4%
Heide en duin	3.9%	19.1	9	94	199	475	64.8%
Urbaan	2.9%	19.1	4	87	416	130	50.0%



Figuur 62.5: Paarsgewijze vergelijking tussen jaren voor Kokmeeuw. Uitleg van de symbolen in tabel 3.1.



Figuur 62.6: Paarsgewijze vergelijking tussen driejarige cycli voor Kokmeeuw. Uitleg van de symbolen in tabel 3.1.

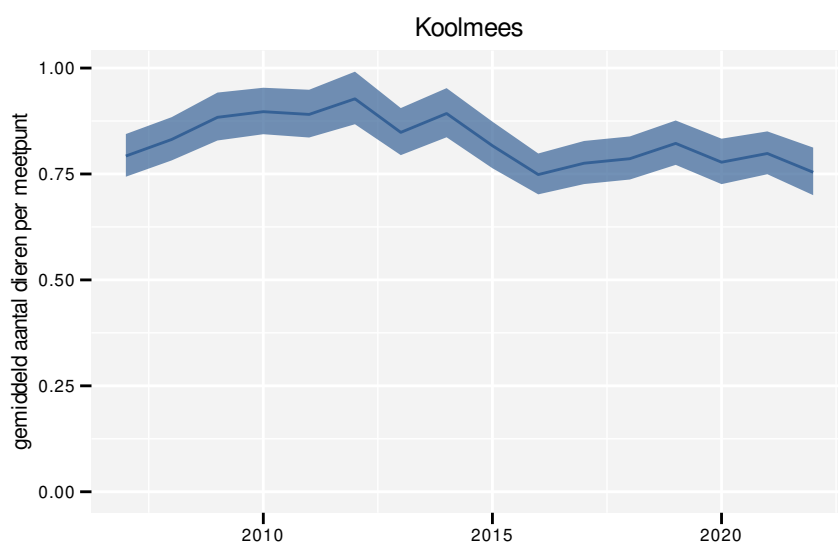
Tabel 62.2: Data-hashes van de analyses in het kader van traceerbaarheid (zie §4.3).

frequentie	model	analyse	status
jaarlijks	niet-lineair	df0375e4131b998dc36d 4c28998e11138de7eb82	dcda12b75a172aabfd0f 57d24a73c97cdb9da98b
jaarlijks	lineair	deac59710af69e29b351 03b52282025036a07afd	0c37ed06ea85e4101f63 f7704ba95d31dcade19a
driejaarlijks	niet-lineair	4b345b27209ebceae009 eac8e24b705cdd345f94	b751103dcf49acfe02e3 95e42e3434ab63f14641
driejaarlijks	lineair	93fda5c3b501f58a87a6 90c9005b72ff7954cd35	82e09028cd9c9931c667 95bbed62cf1710fa07cc

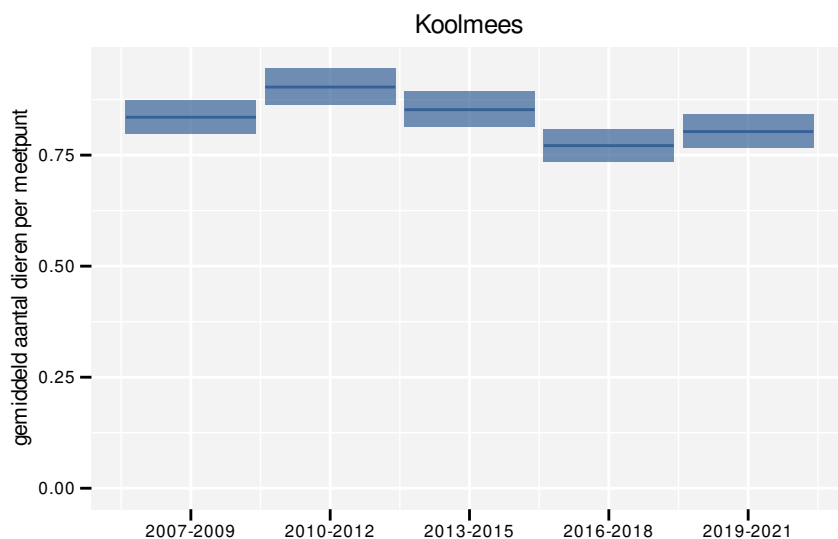
63 KOOLMEES

Op basis van jaarlijkse gegevens zien we gemiddeld een matige afname met -0.777% (-1.084% ; -0.459%) per jaar of -11.04% (-15.08% ; -6.67%) over de volledige looptijd van het meetnet. Deze trend is niet-lineair.

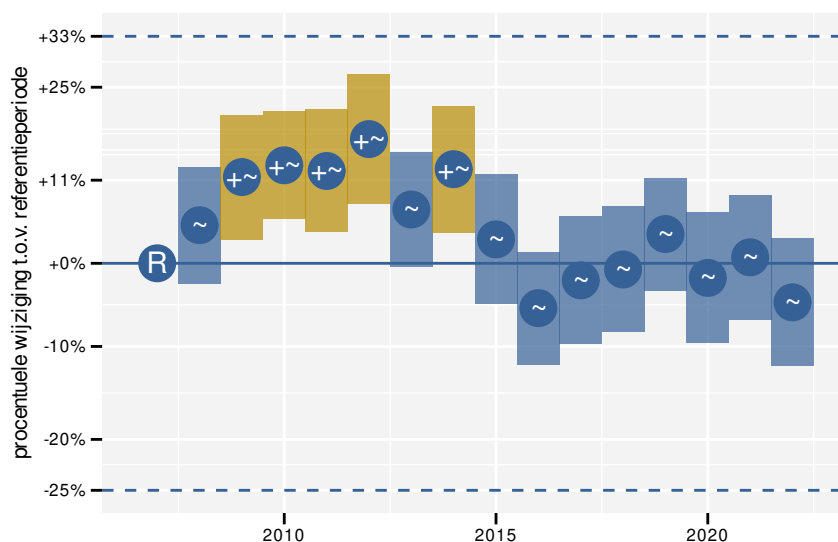
Op basis van driejaarlijkse gegevens zien we gemiddeld een matige afname met -0.817% (-1.130% ; -0.502%) per jaar of -11.57% (-15.68% ; -7.27%) over de volledige looptijd van het meetnet. Deze trend is niet-lineair.



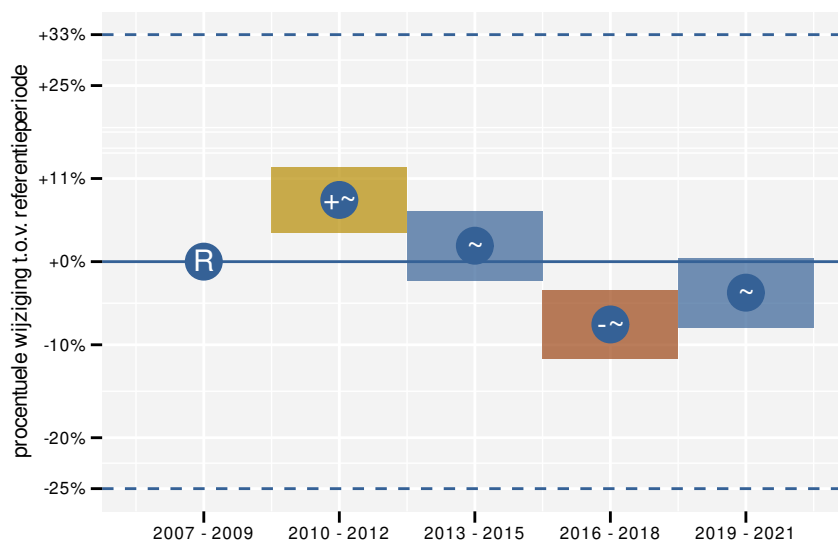
Figuur 63.1: Evolutie van het gemodelleerde gemiddeld aantal waargenomen dieren op een meetpunt voor Koolmees tijdens de referentieperiode. Zie §3.1 voor een verklaring van de intervallen.



Figuur 63.2: Evolutie van het gemodelleerde gemiddeld aantal waargenomen dieren op een meetpunt voor Koolmees tijdens de referentieperiode. Zie §3.1 voor een verklaring van de intervallen.



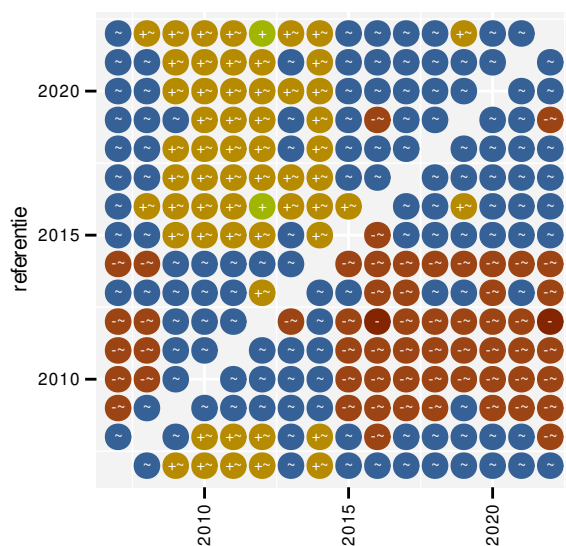
Figuur 63.3: Wijzigingen tussen jaren voor Koolmees. Zie §3.1 voor een verklaring van de intervallen en §3.2 voor uitleg over de symbolen en referentielijnen.



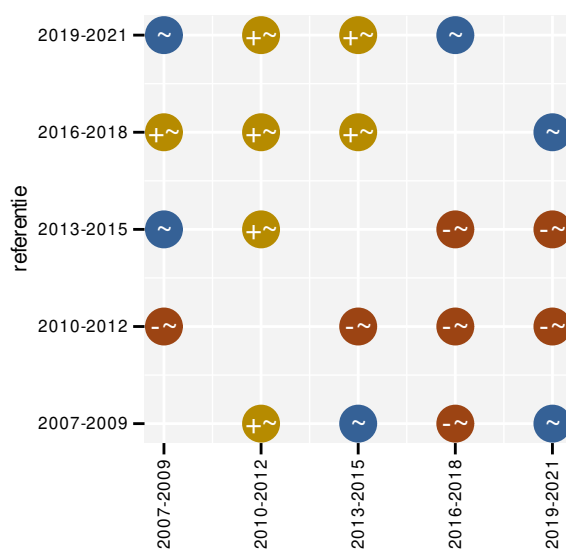
Figuur 63.4: Wijzigingen per driejarige cyclus voor Koolmees. Zie §3.1 voor een verklaring van de intervallen en §3.2 voor uitleg over de symbolen en referentielijnen.

Tabel 63.1: Stratumgewicht, raming van het aantal hokken waarin de soort aanwezig is, aantal relevante hokken voor de analyse, aantal onderzochte hokken in het stratum, totaal aantal hokken van het stratum in Vlaanderen, aantal bezoeken aan een meetpunt en het gemiddeld aandeel relevante punten per hok voor Koolmees (zie §2.5).

stratum	gewicht	aanwezig	relevant	onderzocht	totaal	bezoeken	punten
Landbouw	82.0%	4744.2	324	431	6311	19250	85.9%
Urbaan	6.0%	349.1	73	87	416	4749	97.0%
Bos	4.4%	253.5	151	190	319	9764	97.0%
Heide en duin	3.0%	173.6	82	94	199	4908	88.2%
Suburbaan	2.8%	162.6	55	68	201	3254	91.5%
Moeras en water	1.7%	101.0	59	80	137	3593	89.8%



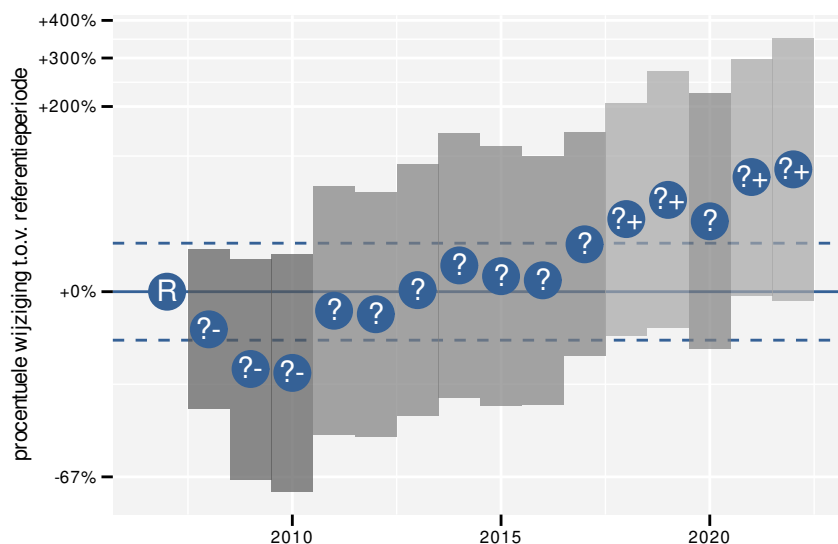
Figuur 63.5: Paarsgewijze vergelijking tussen jaren voor Koolmees. Uitleg van de symbolen in tabel 3.1.



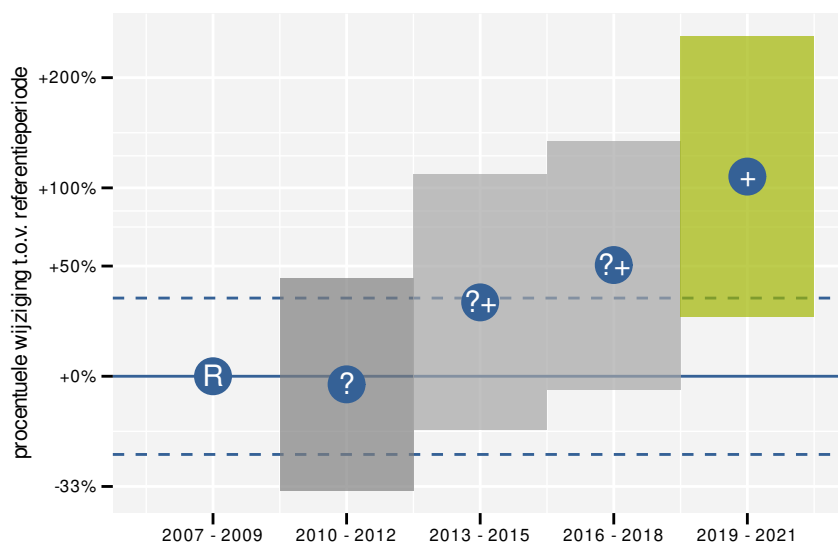
Figuur 63.6: Paarsgewijze vergelijking tussen driejarige cycli voor Koolmees. Uitleg van de symbolen in tabel 3.1.

Tabel 63.2: Data-hashes van de analyses in het kader van traceerbaarheid (zie §4.3).

frequentie	model	analyse	status
jaarlijks	niet-lineair	8570b00dca9acbc8872e 9a597b4be6e5f80a1741	535a76fe37d3ea600cd4 ab06522c4740869736f1
jaarlijks	lineair	3c62c6ef07244000107a 9ed567e05eabb59a1555	78983270c334ccc499a3 b85f79c4c1f1ba3ae8f6
driejaarlijks	niet-lineair	f85470483e5efb0e273e a0f9951aebf02748e7d7	3fa71de7e8ea3f620f1c 79f7ee53bd3344ce7822
driejaarlijks	lineair	78847191a1b73ebd7567 f884c2a0c7690e0c4820	decba40e87af2e21c919 b9a738450bf4f770c433



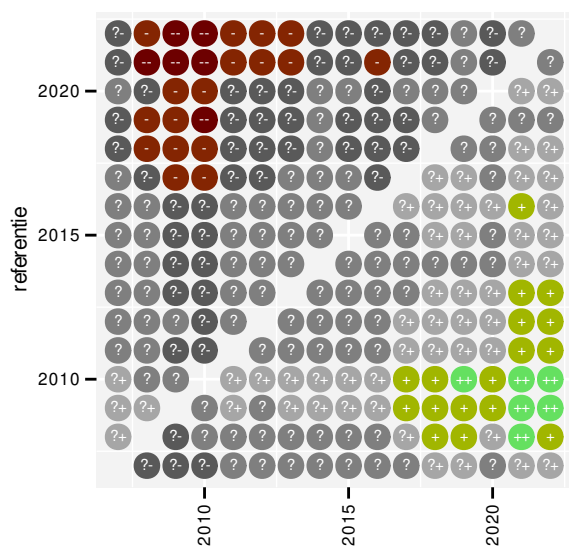
Figuur 64.3: Wijzigingen tussen jaren voor Krakeend. Zie §3.1 voor een verklaring van de intervallen en §3.2 voor uitleg over de symbolen en referentielijnen.



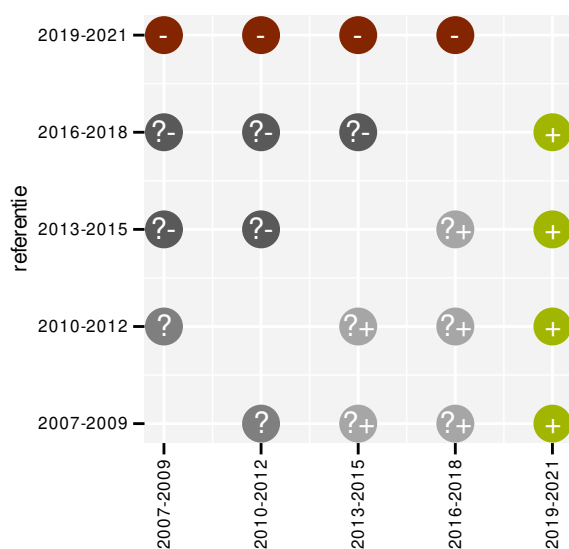
Figuur 64.4: Wijzigingen per driejarige cyclus voor Krakeend. Zie §3.1 voor een verklaring van de intervallen en §3.2 voor uitleg over de symbolen en referentielijnen.

Tabel 64.1: Stratumgewicht, raming van het aantal hokken waarin de soort aanwezig is, aantal relevante hokken voor de analyse, aantal onderzochte hokken in het stratum, totaal aantal hokken van het stratum in Vlaanderen, aantal bezoeken aan een meetpunt en het gemiddeld aandeel relevante punten per hok voor Krakeend (zie §2.5).

stratum	gewicht	aanwezig	relevant	onderzocht	totaal	bezoeken	punten
Landbouw	66.8%	175.7	12	431	6311	301	36.1%
Moeras en water	24.8%	59.9	35	80	137	1264	49.0%
Suburbaan	4.9%	14.8	5	68	201	151	40.0%
Heide en duin	3.5%	10.6	5	94	199	165	46.7%



Figuur 64.5: Paarsgewijze vergelijking tussen jaren voor Krakeend. Uitleg van de symbolen in tabel 3.1.



Figuur 64.6: Paarsgewijze vergelijking tussen driejarige cycli voor Krakeend. Uitleg van de symbolen in tabel 3.1.

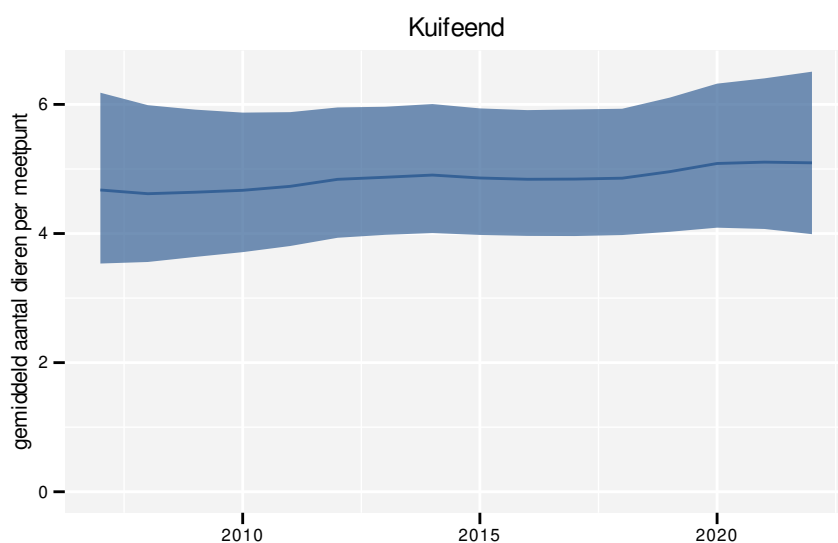
Tabel 64.2: Data-hashes van de analyses in het kader van traceerbaarheid (zie §4.3).

frequentie	model	analyse	status
jaarlijks	niet-lineair	eca1c4a856f49e8eb58b	a13eb85e9425b79b3acf
		1f48094b531b84329d03	735e073cb49feba624a9
jaarlijks	lineair	45b498f30ca956fc7207	6853859f990c2d2190f1
		b938820eae6f33211678	996cef092e8708300882
driejaarlijks	niet-lineair	d11877d207f32f4c2f05	63b1ee772e212448a3a3
		1c07677f7dc5d14f12b0	d1af38107241d90a01d0
driejaarlijks	lineair	15516296dfbd2a5bcd8b	70c7b1fa05e1536877a1
		62ac08f98dce862f1f09	a7d499292e95ddeabdac

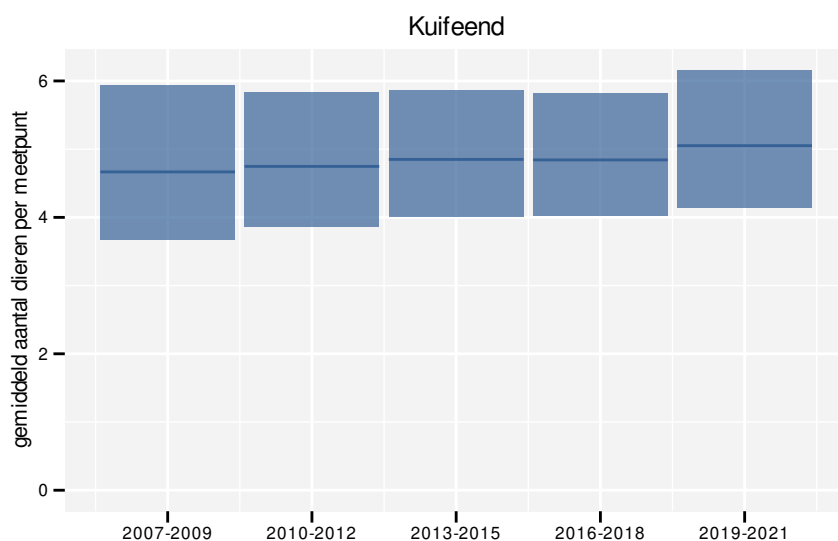
65 KUIFEEND

Op basis van jaarlijkse gegevens zien we gemiddeld een mogelijke toename met +3.2% (-0.8%; +7.4%) per jaar of +61% (-11%; +191%) over de volledige looptijd van het meetnet. Deze trend is niet-lineair.

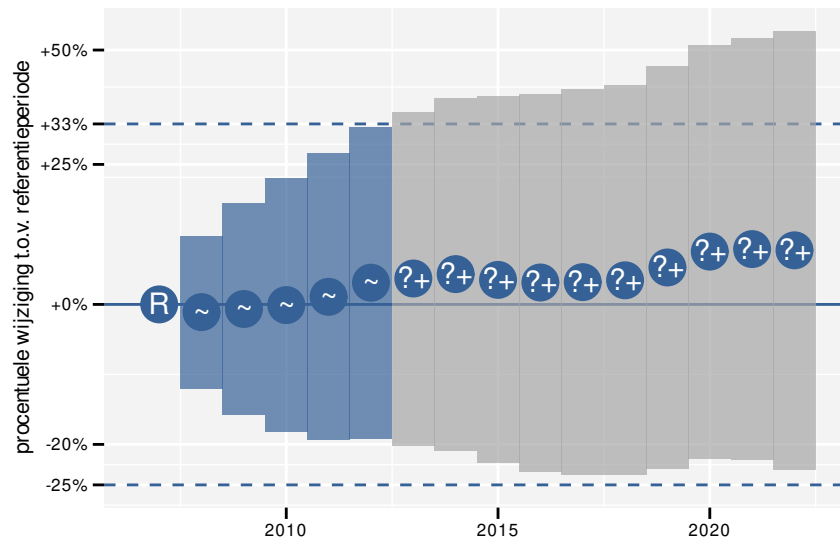
Op basis van driejaarlijkse gegevens zien we gemiddeld een mogelijke toename met +3.0% (-1.0%; +7.2%) per jaar of +56% (-14%; +184%) over de volledige looptijd van het meetnet. Deze trend is niet-lineair.



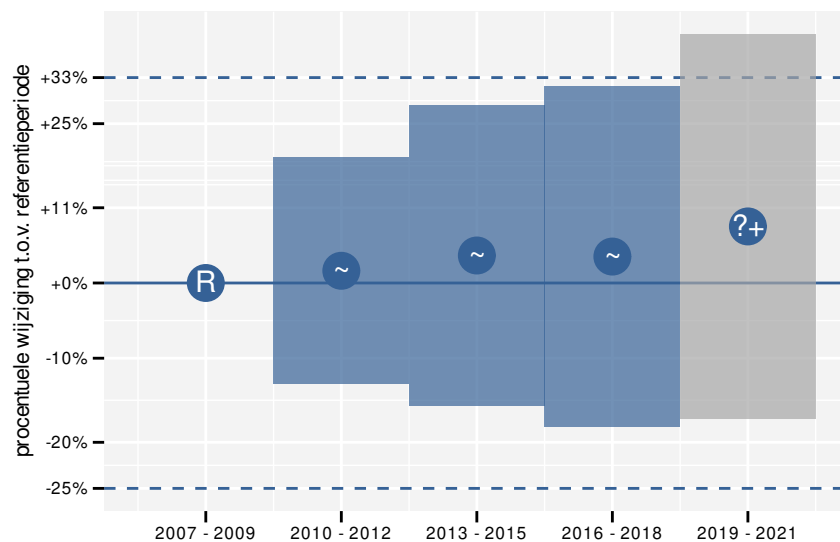
Figuur 65.1: Evolutie van het gemodelleerde gemiddeld aantal waargenomen dieren op een meetpunt voor Kuifeend tijdens de referentieperiode. Zie §3.1 voor een verklaring van de intervallen.



Figuur 65.2: Evolutie van het gemodelleerde gemiddeld aantal waargenomen dieren op een meetpunt voor Kuifeend tijdens de referentieperiode. Zie §3.1 voor een verklaring van de intervallen.



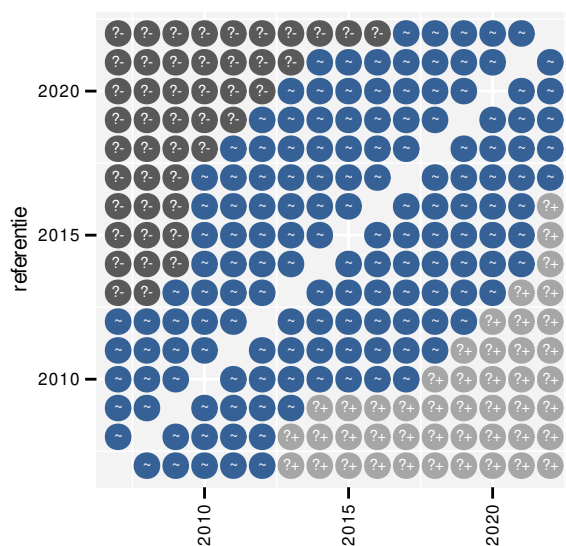
Figuur 65.3: Wijzigingen tussen jaren voor Kuifeend. Zie §3.1 voor een verklaring van de intervallen en §3.2 voor uitleg over de symbolen en referentielijnen.



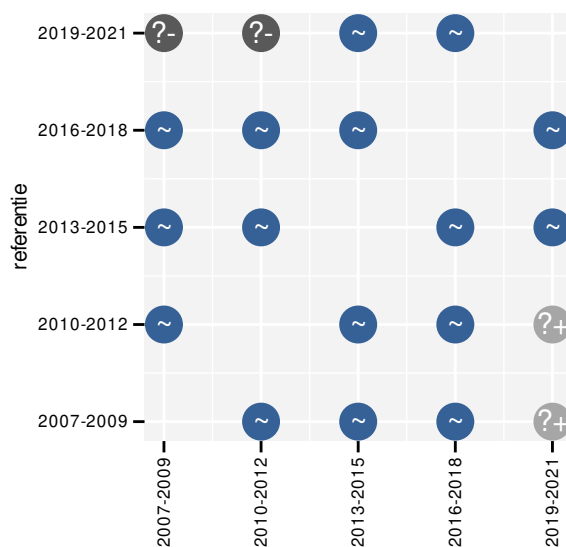
Figuur 65.4: Wijzigingen per driejarige cyclus voor Kuifeend. Zie §3.1 voor een verklaring van de intervallen en §3.2 voor uitleg over de symbolen en referentielijnen.

Tabel 65.1: Stratumgewicht, raming van het aantal hokken waarin de soort aanwezig is, aantal relevante hokken voor de analyse, aantal onderzochte hokken in het stratum, totaal aantal hokken van het stratum in Vlaanderen, aantal bezoeken aan een meetpunt en het gemiddeld aandeel relevante punten per hok voor Kuifeend (zie §2.5).

stratum	gewicht	aanwezig	relevant	onderzocht	totaal	bezoeken	punten
Landbouw	69.5%	248.9	17	431	6311	541	38.2%
Moeras en water	20.6%	73.6	43	80	137	1632	50.8%
Heide en duin	7.1%	25.4	12	94	199	307	38.9%
Bos	2.8%	11.8	7	190	319	118	21.4%



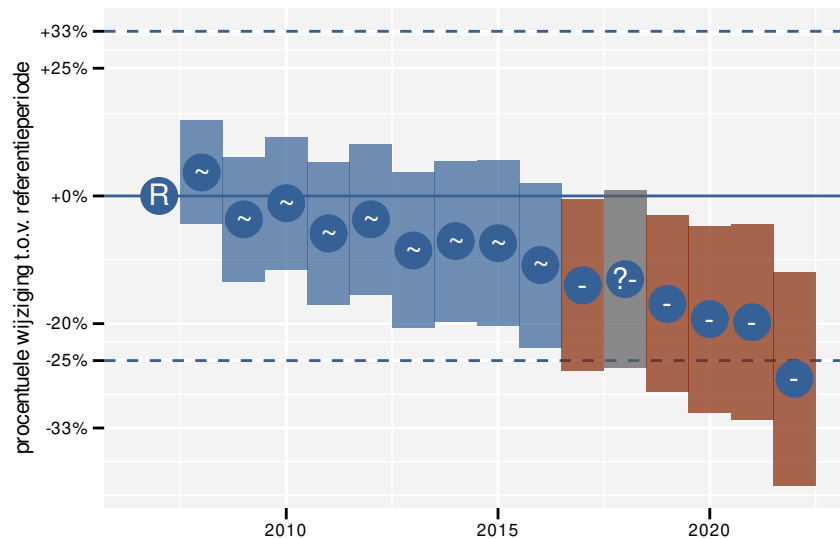
Figuur 65.5: Paarsgewijze vergelijking tussen jaren voor Kuifeend. Uitleg van de symbolen in tabel 3.1.



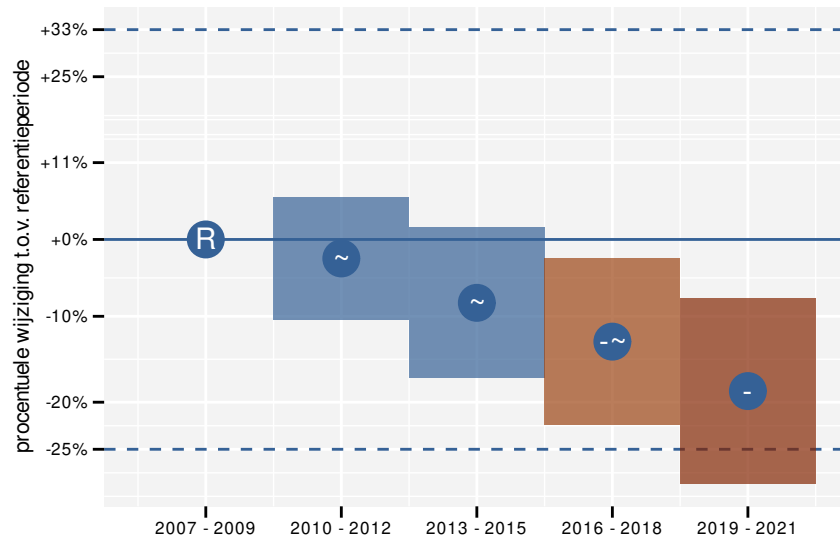
Figuur 65.6: Paarsgewijze vergelijking tussen driejarige cycli voor Kuifeend. Uitleg van de symbolen in tabel 3.1.

Tabel 65.2: Data-hashes van de analyses in het kader van traceerbaarheid (zie §4.3).

frequentie	model	analyse	status
jaarlijks	niet-lineair	4a14eb3547be20ccc709 c49f5d91473ef1726b4f	5a85dd77213673a92705 448c81745e9aafb24531
jaarlijks	lineair	f765fb0970a189fd631d 72740a98fb69c2633869	42656b4c759c3a96cda6 575dce704299ec1eadf4
driejaarlijks	niet-lineair	f852205a8b4238b22ec8 15f3d5d4700048d687ef	edda746f762397bac0fd eb8452c1fc0039f51a06
driejaarlijks	lineair	2f66e9b516120a4c3e64 c2978efdfc6224f07ab3	6cbe2b6f9df4d5bb900f b1dbe607994ff893132a



Figuur 66.3: Wijzigingen tussen jaren voor Kuifmees. Zie §3.1 voor een verklaring van de intervallen en §3.2 voor uitleg over de symbolen en referentielijnen.



Figuur 66.4: Wijzigingen per driejarige cyclus voor Kuifmees. Zie §3.1 voor een verklaring van de intervallen en §3.2 voor uitleg over de symbolen en referentielijnen.

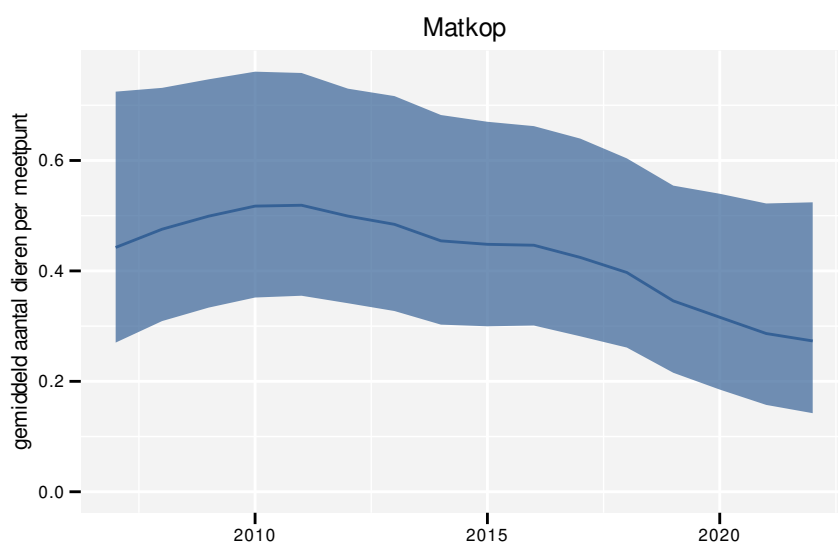
Tabel 66.1: Stratumgewicht, raming van het aantal hokken waarin de soort aanwezig is, aantal relevante hokken voor de analyse, aantal onderzochte hokken in het stratum, totaal aantal hokken van het stratum in Vlaanderen, aantal bezoeken aan een meetpunt en het gemiddeld aandeel relevante punten per hok voor Kuifmees (zie §2.5).

stratum	gewicht	aanwezig	relevant	onderzocht	totaal	bezoeken	punten
Bos	39.7%	147.7	88	190	319	4952	72.3%
Heide en duin	23.3%	86.8	41	94	199	2153	62.6%
Landbouw	19.7%	87.9	6	431	6311	280	41.7%
Suburbaan	7.2%	29.6	10	68	201	240	38.3%
Urbaan	6.4%	28.7	6	87	416	195	38.9%
Moeras en water	3.7%	13.7	8	80	137	286	47.9%

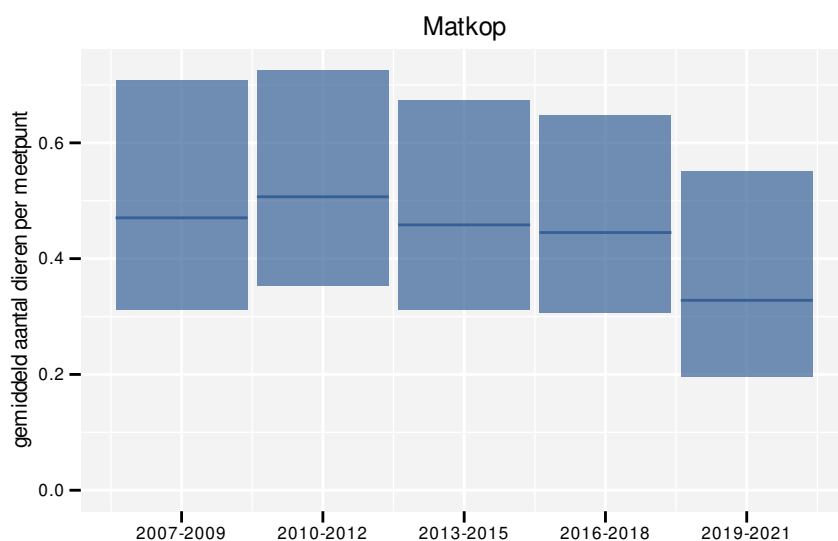
67 MATKOP

Op basis van jaarlijkse gegevens zien we gemiddeld een afname met -5.89% (-10.55%; -0.99%) per jaar of -60% (-81%; -14%) over de volledige looptijd van het meetnet. Deze trend is mogelijk niet-lineair.

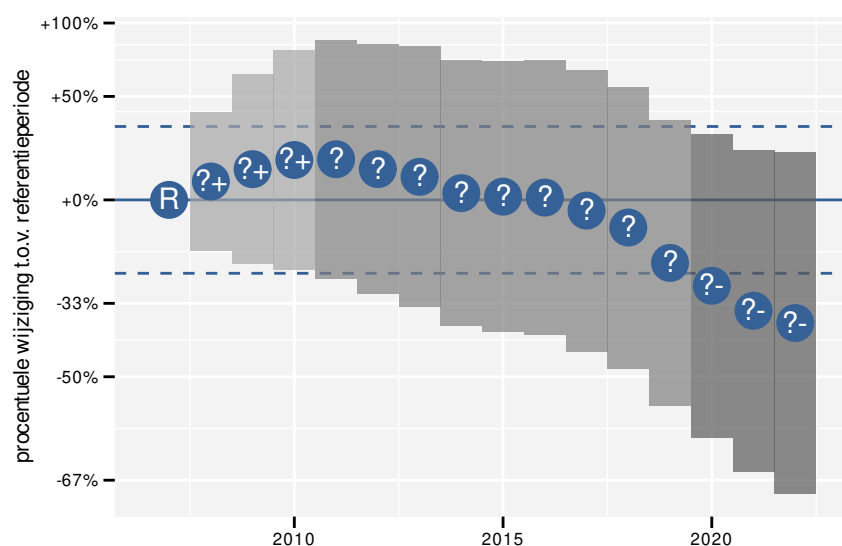
Op basis van driejaarlijkse gegevens zien we gemiddeld een afname met -6.09% (-10.71%; -1.24%) per jaar of -61% (-82%; -17%) over de volledige looptijd van het meetnet. Deze trend is mogelijk niet-lineair.



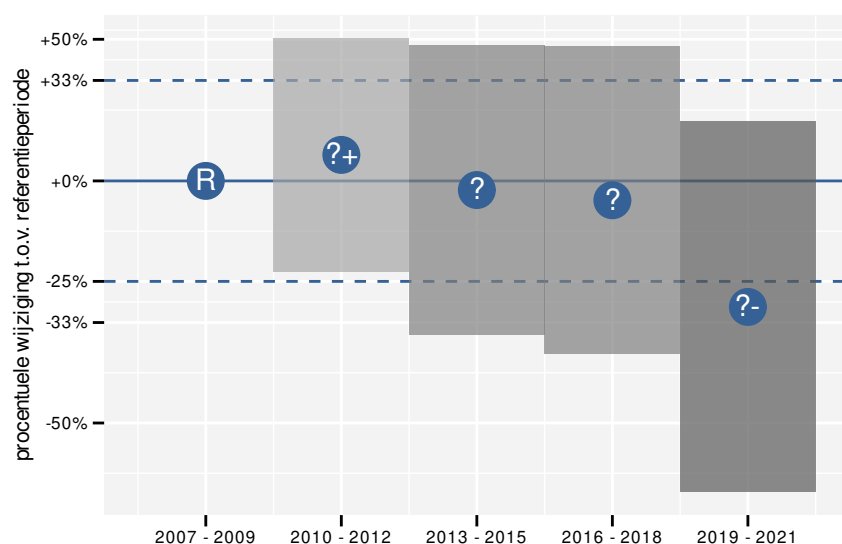
Figuur 67.1: Evolutie van het gemodelleerde gemiddeld aantal waargenomen dieren op een meetpunt voor Matkop tijdens de referentieperiode. Zie §3.1 voor een verklaring van de intervallen.



Figuur 67.2: Evolutie van het gemodelleerde gemiddeld aantal waargenomen dieren op een meetpunt voor Matkop tijdens de referentieperiode. Zie §3.1 voor een verklaring van de intervallen.



Figuur 67.3: Wijzigingen tussen jaren voor Matkop. Zie §3.1 voor een verklaring van de intervallen en §3.2 voor uitleg over de symbolen en referentielijnen.

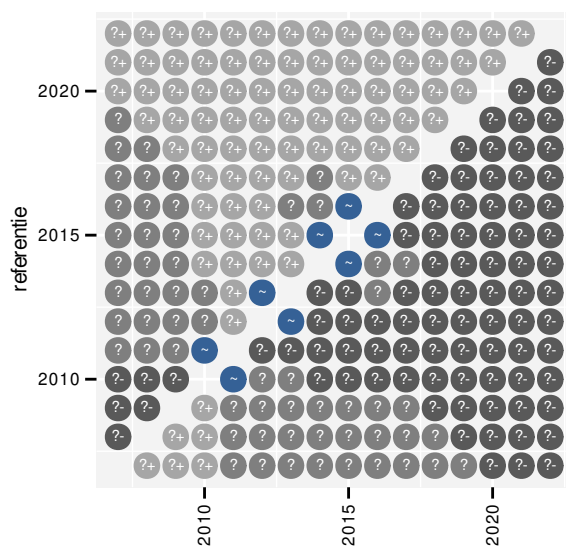


Figuur 67.4: Wijzigingen per driejarige cyclus voor Matkop. Zie §3.1 voor een verklaring van de intervallen en §3.2 voor uitleg over de symbolen en referentielijnen.

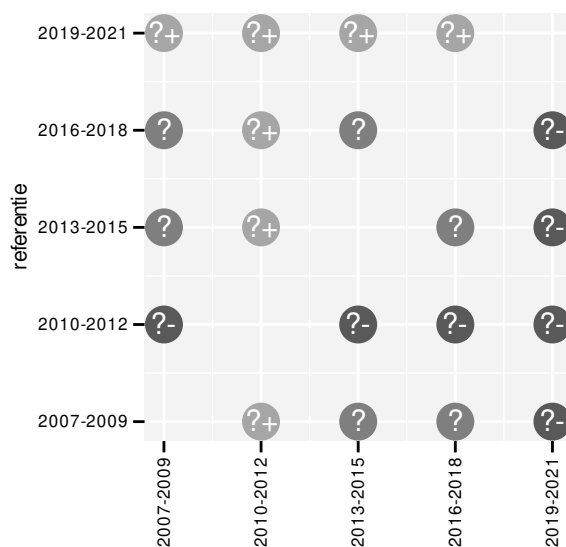
Tabel 67.1: Stratumgewicht, raming van het aantal hokken waarin de soort aanwezig is, aantal relevante hokken voor de analyse, aantal onderzochte hokken in het stratum, totaal aantal hokken van het stratum in Vlaanderen, aantal bezoeken aan een meetpunt en het gemiddeld aandeel relevante punten per hok voor Matkop (zie §2.5).

stratum	gewicht	aanwezig	relevant	onderzocht	totaal	bezoeken	punten
Landbouw	66.0%	117.1	8	431	6311	195	33.3%
Bos	18.4%	28.5	17	190	319	890	49.0%
Moeras en water	8.8%	13.7	8	80	137	326	50.0%
Heide en duin	6.8%	12.7	6	94	199	171	33.3%





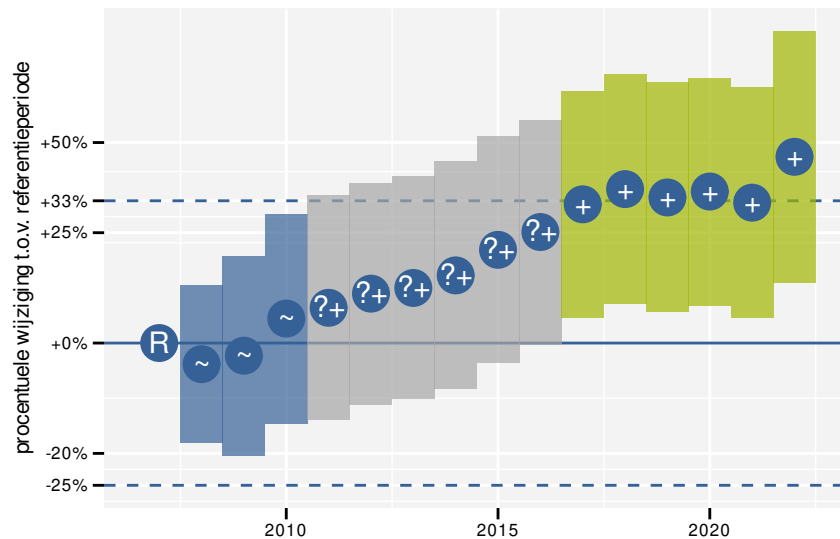
Figuur 67.5: Paarsgewijze vergelijking tussen jaren voor Matkop. Uitleg van de symbolen in tabel 3.1.



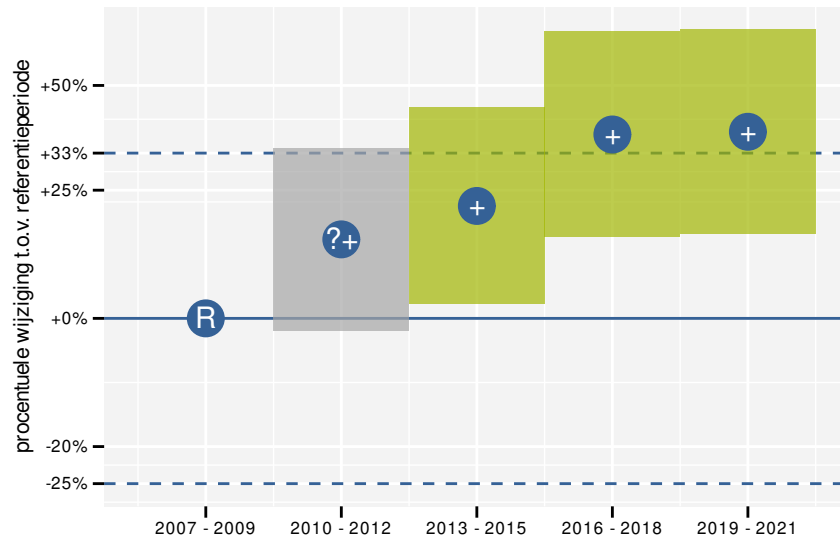
Figuur 67.6: Paarsgewijze vergelijking tussen driejarige cycli voor Matkop. Uitleg van de symbolen in tabel 3.1.

Tabel 67.2: Data-hashes van de analyses in het kader van traceerbaarheid (zie §4.3).

frequentie	model	analyse	status
jaarlijks	niet-lineair	9103046c62a3d04c4a1a 3a1790e58c2636cea54f	29233570ab4cf40fdcef 4d9a73a5295685738744
jaarlijks	lineair	f3f0b7613e5501dda93c 73d6d0ac93f006542e1e	172b2d5456fe9c7399dd 0efcdb1799a41aa6b41f
driejaarlijks	niet-lineair	b074989478ec677bd9b7 fb5a3b0a6dbd7d38304d	ff1ea61680a758f41a4d c948b7ac095fa4bb2477
driejaarlijks	lineair	c41124db230f66b1c0ab 767aad18d4f7cc791eb2	21fb7c9deb97edfdff4b 907dc248d0fab61079e2



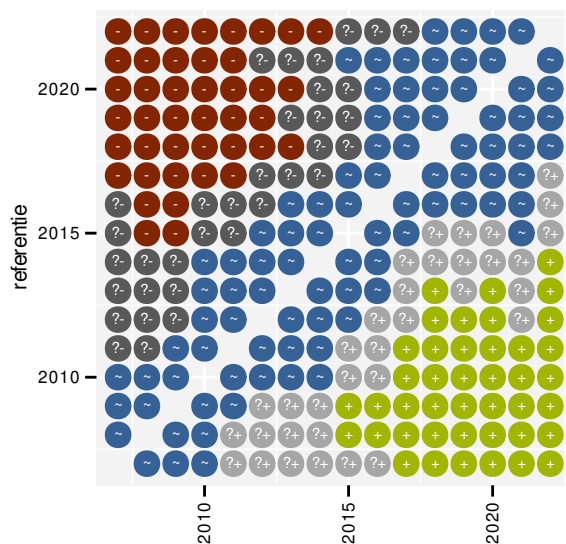
Figuur 68.3: Wijzigingen tussen jaren voor Meerkoet. Zie §3.1 voor een verklaring van de intervallen en §3.2 voor uitleg over de symbolen en referentielijnen.



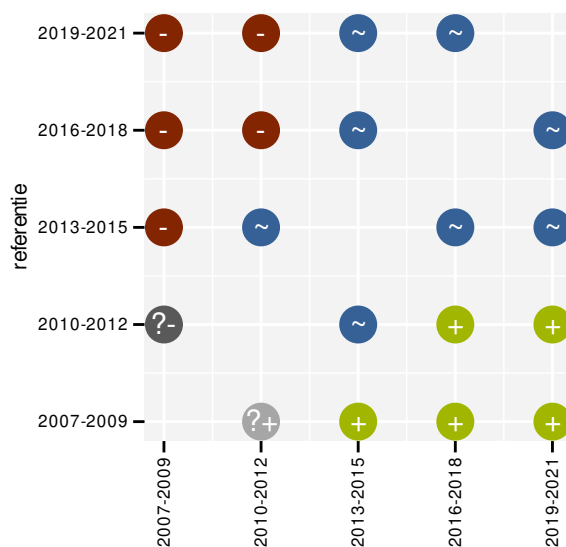
Figuur 68.4: Wijzigingen per driejarige cyclus voor Meerkoet. Zie §3.1 voor een verklaring van de intervallen en §3.2 voor uitleg over de symbolen en referentielijnen.

Tabel 68.1: Stratumgewicht, raming van het aantal hokken waarin de soort aanwezig is, aantal relevante hokken voor de analyse, aantal onderzochte hokken in het stratum, totaal aantal hokken van het stratum in Vlaanderen, aantal bezoeken aan een meetpunt en het gemiddeld aandeel relevante punten per hok voor Meerkoet (zie §2.5).

stratum	gewicht	aanwezig	relevant	onderzocht	totaal	bezoeken	punten
Landbouw	81.0%	937.1	64	431	6311	2481	49.7%
Moeras en water	7.7%	89.0	52	80	137	2369	64.4%
Heide en duin	3.7%	42.3	20	94	199	632	43.3%
Urbaan	2.9%	38.3	8	87	416	111	20.8%
Bos	2.5%	28.5	17	190	319	584	40.2%
Suburbaan	2.3%	29.6	10	68	201	267	46.7%



Figuur 68.5: Paarsgewijze vergelijking tussen jaren voor Meerkoet. Uitleg van de symbolen in tabel 3.1.



Figuur 68.6: Paarsgewijze vergelijking tussen driejarige cycli voor Meerkoet. Uitleg van de symbolen in tabel 3.1.

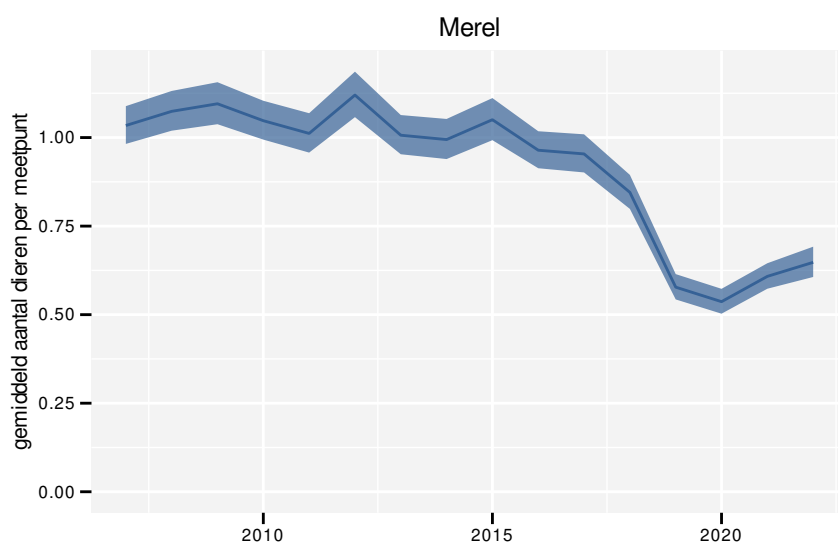
Tabel 68.2: Data-hashes van de analyses in het kader van traceerbaarheid (zie §4.3).

frequentie	model	analyse	status
jaarlijks	niet-lineair	5f21d90fbf3540e5a9f3	c43af7d2ea1296b171c9
		b97ae0c313dc887db759	2a7660678e8ec331a3b3
jaarlijks	lineair	594e52e25f8e90699071	c80c143ba0a41ad893c9
		65d780d34f89ab4819df	9334651e61df66e14687
driejaarlijks	niet-lineair	1447a34f5d99425b29c9	d9fb492254d398eddcf2
		d43ade48c77ad2c19506	86e6c2df5082c7247ffc
driejaarlijks	lineair	73a69607d09650b78485	64648c2fbda3ade26b37
		bedf052e56ffa8659c89	9901e41aecc933463d30

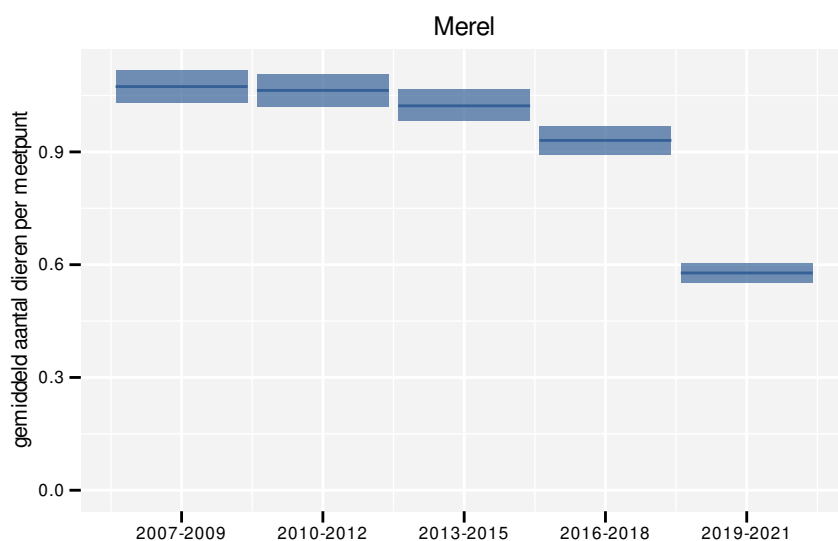
69 MEREL

Op basis van jaarlijkse gegevens zien we gemiddeld een sterke afname met -3.76% (-3.97%; -3.54%) per jaar of -43.7% (-45.5%; -41.7%) over de volledige looptijd van het meetnet. Deze trend is niet-lineair.

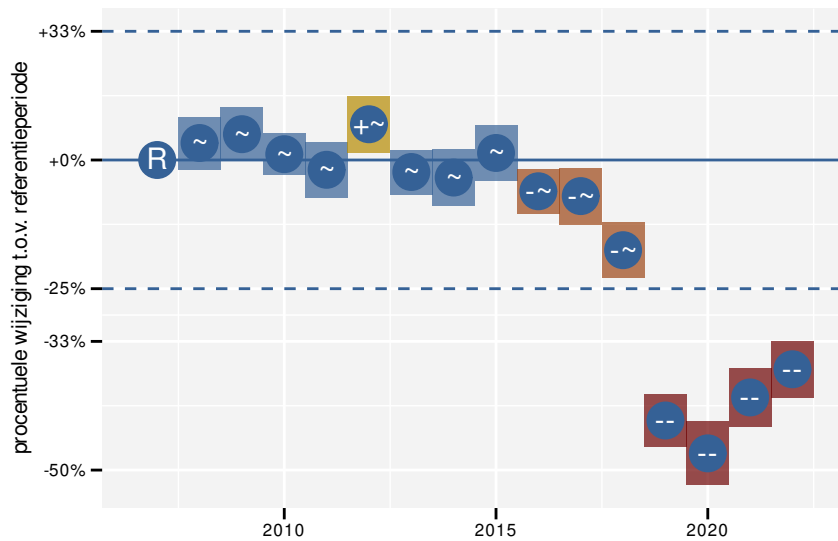
Op basis van driejaarlijkse gegevens zien we gemiddeld een sterke afname met -3.81% (-4.03%; -3.59%) per jaar of -44.1% (-46.0%; -42.2%) over de volledige looptijd van het meetnet. Deze trend is niet-lineair.



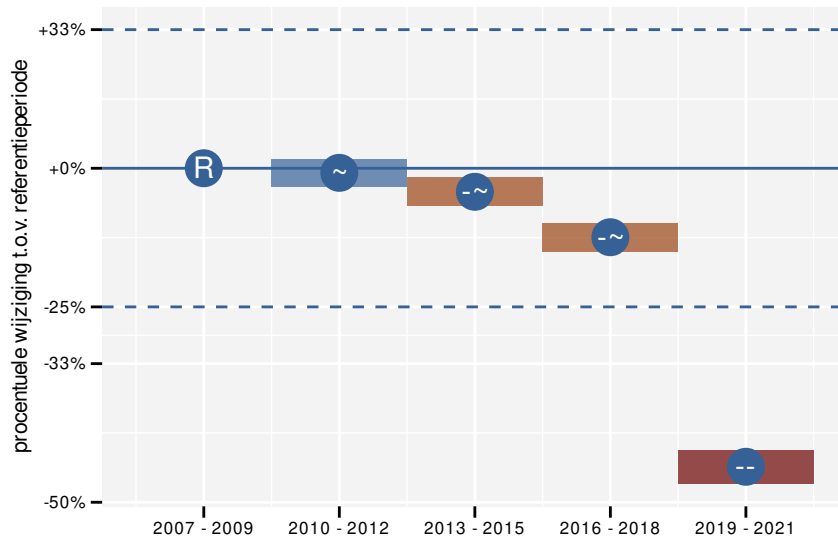
Figuur 69.1: Evolutie van het gemodelleerde gemiddeld aantal waargenomen dieren op een meetpunt voor Merel tijdens de referentieperiode. Zie §3.1 voor een verklaring van de intervallen.



Figuur 69.2: Evolutie van het gemodelleerde gemiddeld aantal waargenomen dieren op een meetpunt voor Merel tijdens de referentieperiode. Zie §3.1 voor een verklaring van de intervallen.



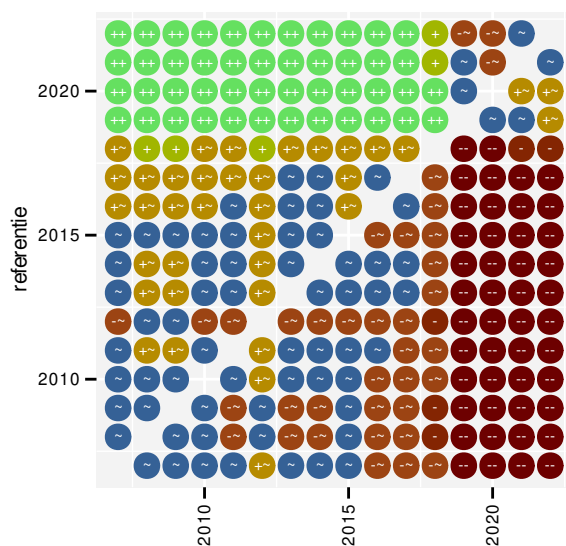
Figuur 69.3: Wijzigingen tussen jaren voor Merel. Zie §3.1 voor een verklaring van de intervallen en §3.2 voor uitleg over de symbolen en referentielijnen.



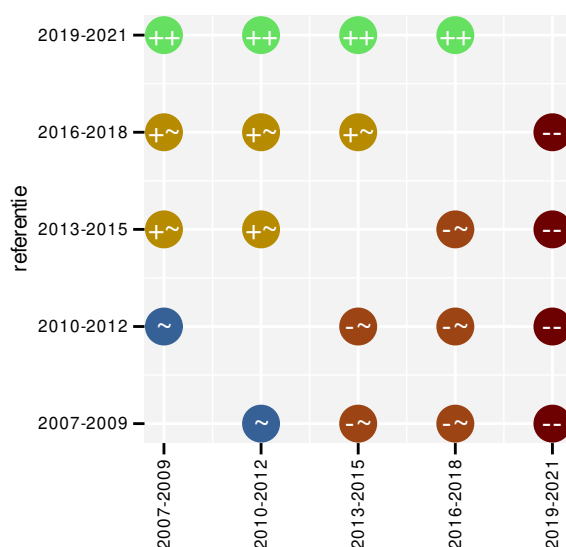
Figuur 69.4: Wijzigingen per driejarige cyclus voor Merel. Zie §3.1 voor een verklaring van de intervallen en §3.2 voor uitleg over de symbolen en referentielijnen.

Tabel 69.1: Stratumgewicht, raming van het aantal hokken waarin de soort aanwezig is, aantal relevante hokken voor de analyse, aantal onderzochte hokken in het stratum, totaal aantal hokken van het stratum in Vlaanderen, aantal bezoeken aan een meetpunt en het gemiddeld aandeel relevante punten per hok voor Merel (zie §2.5).

stratum	gewicht	aanwezig	relevant	onderzocht	totaal	bezoeken	punten
Landbouw	82.9%	5081.0	347	431	6311	22091	95.1%
Urbaan	5.7%	349.1	73	87	416	4834	99.1%
Bos	4.1%	253.5	151	190	319	9710	96.6%
Suburbaan	2.8%	168.5	57	68	201	3425	95.0%
Heide en duin	2.7%	167.2	79	94	199	4949	91.4%
Moeras en water	1.8%	107.9	63	80	137	3888	91.5%



Figuur 69.5: Paarsgewijze vergelijking tussen jaren voor Merel. Uitleg van de symbolen in tabel 3.1.



Figuur 69.6: Paarsgewijze vergelijking tussen driejarige cycli voor Merel. Uitleg van de symbolen in tabel 3.1.

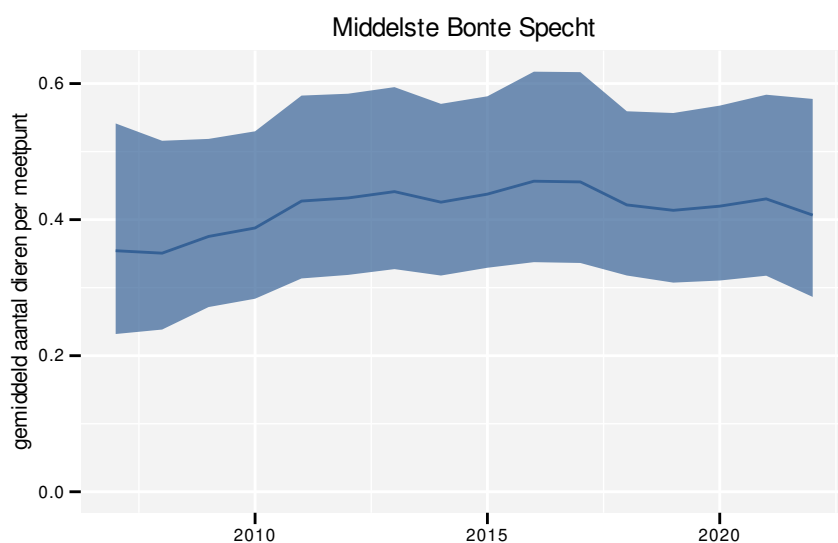
Tabel 69.2: Data-hashes van de analyses in het kader van traceerbaarheid (zie §4.3).

frequentie	model	analyse	status
jaarlijks	niet-lineair	504726d1718c269371d8 4db71749b9424554d195	df25604eb4f0bc4a830f 3e952068038dd923792f
jaarlijks	lineair	6e766f98cc999071203e b980aa8b676c538e8f66	daf92476c2473f933237 335c69af96eaa0f2d38
driejaarlijks	niet-lineair	6bd2a7db4004ebdbaaf6 c5e1a6c84b650866f013	5e990cbeca3d5c3f485a db425928861268cad480
driejaarlijks	lineair	1fa838f5f271d5fc2625 4bd273a9b2d08b490966	6236bc2ccad0630a4fab 066cef9a8e8bac4acddb

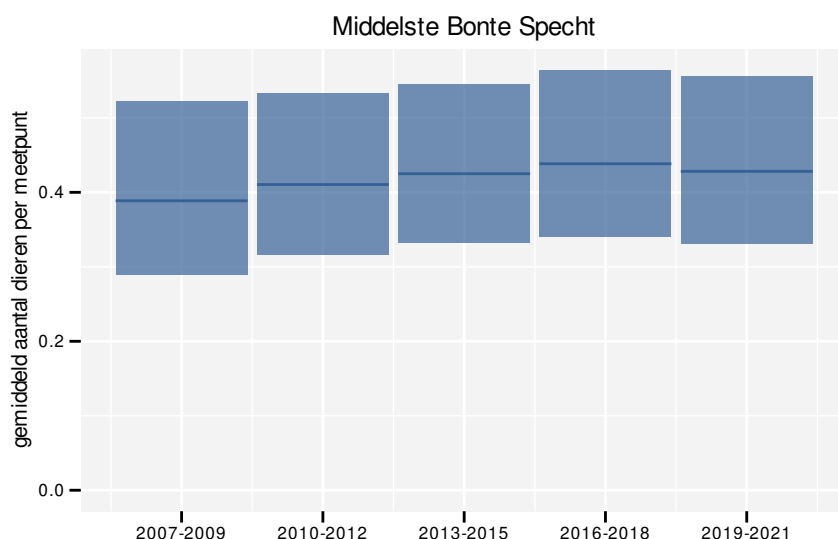
70 MIDDELSTE BONTE SPECHT

Op basis van jaarlijkse gegevens zien we gemiddeld een mogelijke toename met +1.2% (-1.8%; +4.3%) per jaar of +20% (-20%; +90%) over de volledige looptijd van het meetnet. Deze trend is niet-lineair.

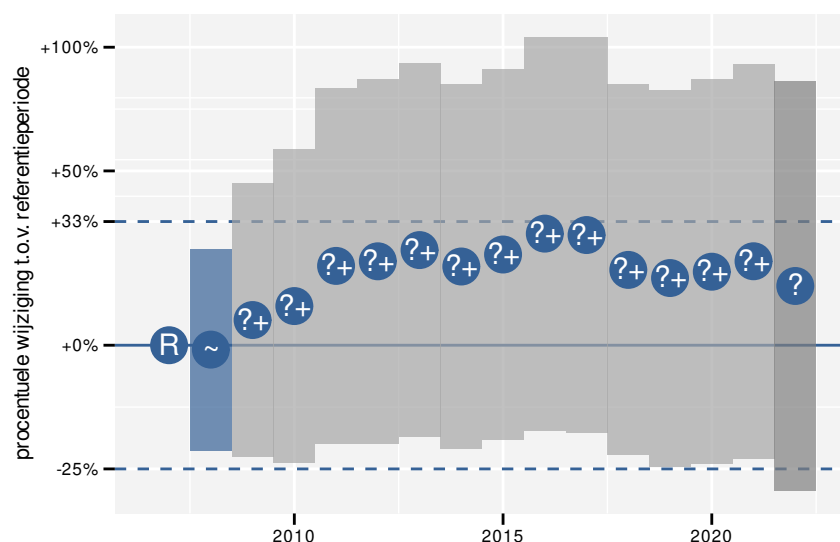
Op basis van driejaarlijkse gegevens zien we gemiddeld een onduidelijk met +1.0% (-2.0%; +4.1%) per jaar of +20% (-30%; +80%) over de volledige looptijd van het meetnet. Deze trend is mogelijk niet-lineair.



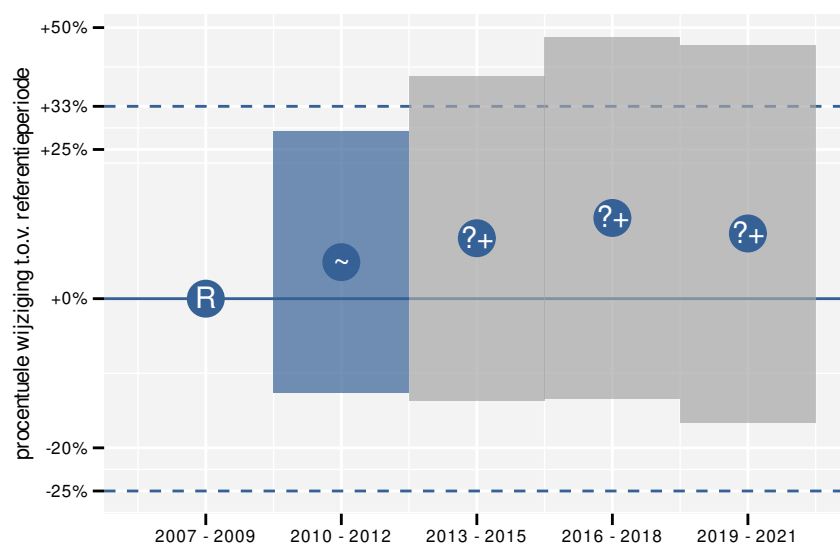
Figuur 70.1: Evolutie van het gemodelleerde gemiddeld aantal waargenomen dieren op een meetpunt voor Middelste Bonte Specht tijdens de referentieperiode. Zie §3.1 voor een verklaring van de intervallen.



Figuur 70.2: Evolutie van het gemodelleerde gemiddeld aantal waargenomen dieren op een meetpunt voor Middelste Bonte Specht tijdens de referentieperiode. Zie §3.1 voor een verklaring van de intervallen.



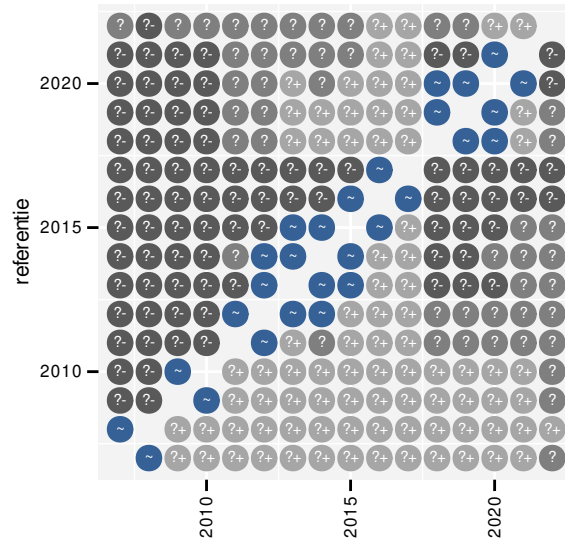
Figuur 70.3: Wijzigingen tussen jaren voor Middelste Bonte Specht. Zie §3.1 voor een verklaring van de intervallen en §3.2 voor uitleg over de symbolen en referentielijnen.



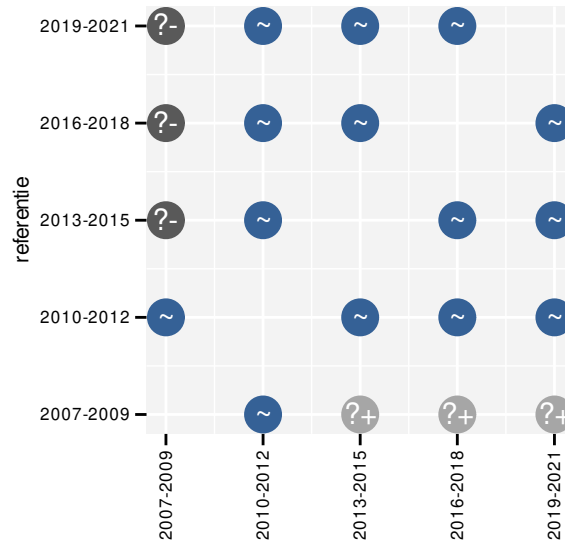
Figuur 70.4: Wijzigingen per driejarige cyclus voor Middelste Bonte Specht. Zie §3.1 voor een verklaring van de intervallen en §3.2 voor uitleg over de symbolen en referentielijnen.

Tabel 70.1: Stratumgewicht, raming van het aantal hokken waarin de soort aanwezig is, aantal relevante hokken voor de analyse, aantal onderzochte hokken in het stratum, totaal aantal hokken van het stratum in Vlaanderen, aantal bezoeken aan een meetpunt en het gemiddeld aandeel relevante punten per hok voor Middelste Bonte Specht (zie §2.5).

stratum	gewicht	aanwezig	relevant	onderzocht	totaal	bezoeken	punten
Bos	100.0%	30.2	18	190	319	677	54.6%



Figuur 70.5: Paarsgewijze vergelijking tussen jaren voor Middelste Bonte Specht. Uitleg van de symbolen in tabel 3.1.



Figuur 70.6: Paarsgewijze vergelijking tussen driejarige cycli voor Middelste Bonte Specht. Uitleg van de symbolen in tabel 3.1.

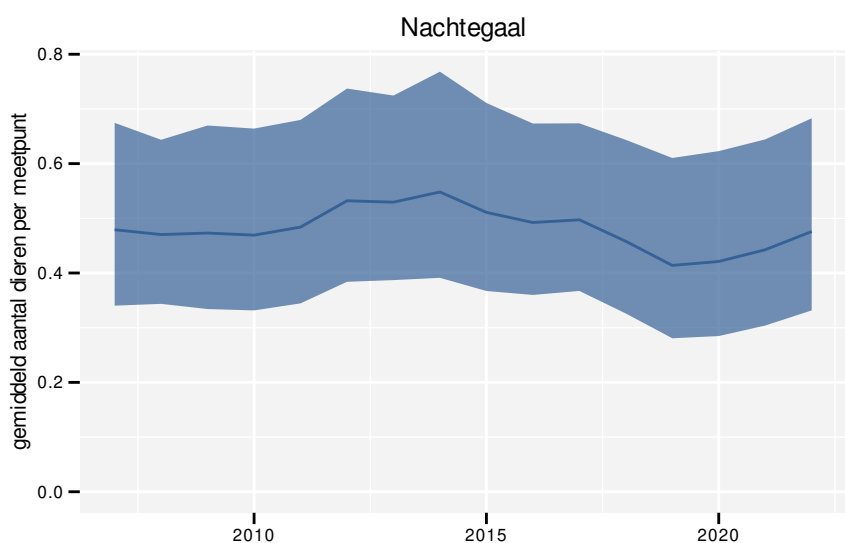
Tabel 70.2: Data-hashes van de analyses in het kader van traceerbaarheid (zie §4.3).

frequentie	model	analyse	status
jaarlijks	niet-lineair	b71f17b6aa6d44d061d2 0b84c31e9d037b47ea32	f98d22b8536b70ac1bc2 60a932477d1ff4d5e6bd
jaarlijks	lineair	80db8c40bdfa2880829b 1c21b9fa6be55b5271a1	8fc8f512afd6c66d8ad7 1765d8d36d441bf854e1
driejaarlijks	niet-lineair	9c53f5ca94fff5c01fea e3026d9dd584fae0727c	61880e8db3ca4650f64b 5ffe28d670c1d3817477
driejaarlijks	lineair	4da05133192ea8b72fac c8c3f647b34d3c8aad98	5faacab79a6c056f8bcb 9ba0bbc296cde924dfbd

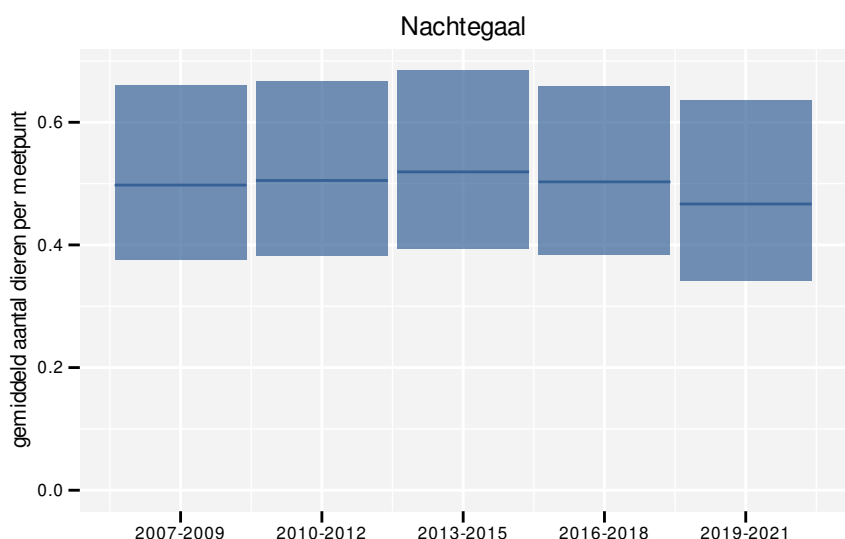
71 NACHTEGAAL

Op basis van jaarlijkse gegevens zien we gemiddeld een mogelijke afname met -0.7% (-3.1% ; $+1.7\%$) per jaar of -10% (-37% ; $+29\%$) over de volledige looptijd van het meetnet. Deze trend is niet-lineair.

Op basis van driejaarlijkse gegevens zien we gemiddeld een mogelijke afname met -0.9% (-3.2% ; $+1.5\%$) per jaar of -13% (-39% ; $+25\%$) over de volledige looptijd van het meetnet. Deze trend is lineair.

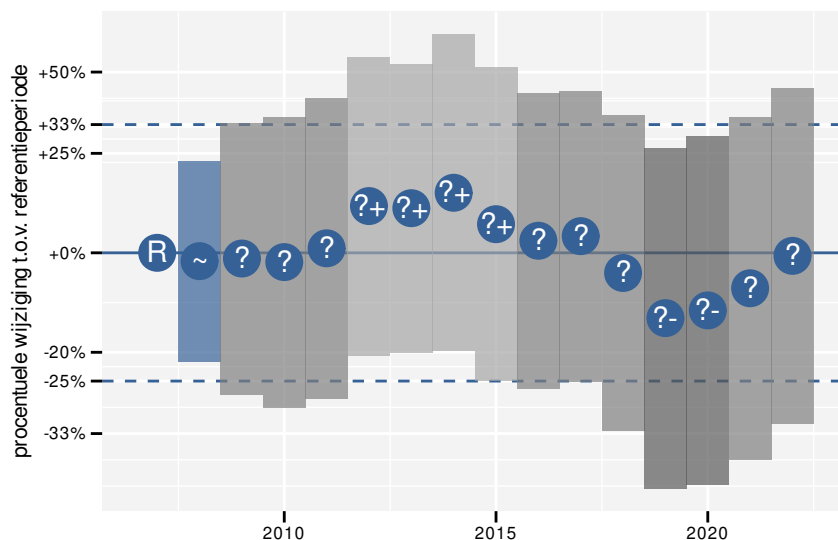


Figuur 71.1: Evolutie van het gemodelleerde gemiddeld aantal waargenomen dieren op een meetpunt voor Nachtegaal tijdens de referentieperiode. Zie §3.1 voor een verklaring van de intervallen.

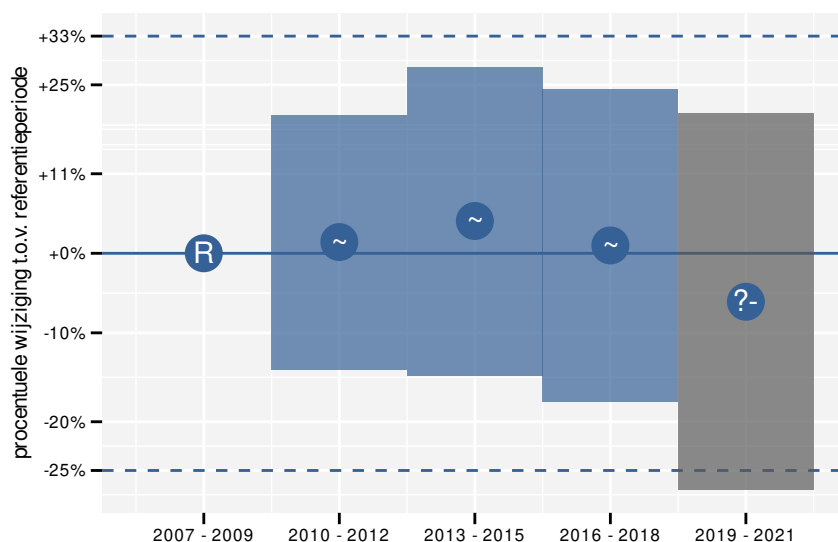


Figuur 71.2: Evolutie van het gemodelleerde gemiddeld aantal waargenomen dieren op een meetpunt voor Nachtegaal tijdens de referentieperiode. Zie §3.1 voor een verklaring van de intervallen.





Figuur 71.3: Wijzigingen tussen jaren voor Nachtegaal. Zie §3.1 voor een verklaring van de intervallen en §3.2 voor uitleg over de symbolen en referentielijnen.



Figuur 71.4: Wijzigingen per driejarige cyclus voor Nachtegaal. Zie §3.1 voor een verklaring van de intervallen en §3.2 voor uitleg over de symbolen en referentielijnen.

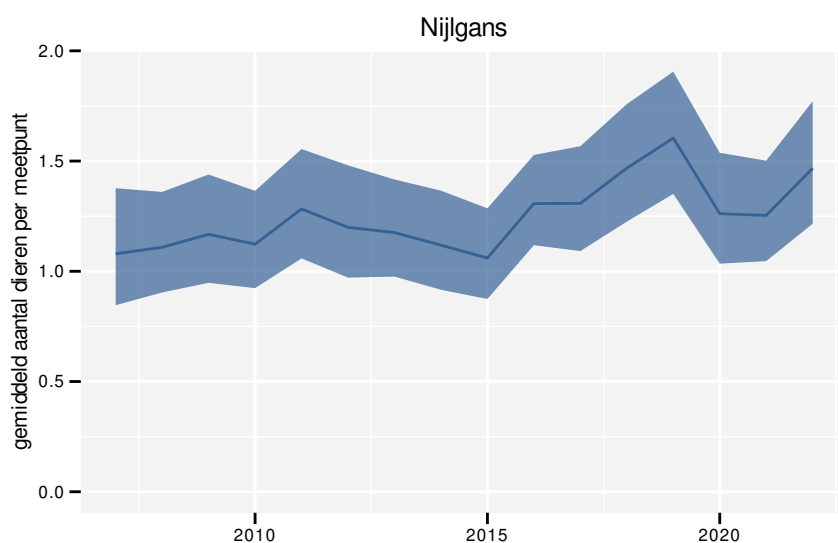
Tabel 71.1: Stratumgewicht, raming van het aantal hokken waarin de soort aanwezig is, aantal relevante hokken voor de analyse, aantal onderzochte hokken in het stratum, totaal aantal hokken van het stratum in Vlaanderen, aantal bezoeken aan een meetpunt en het gemiddeld aandeel relevante punten per hok voor Nachtegaal (zie §2.5).

stratum	gewicht	aanwezig	relevant	onderzocht	totaal	bezoeken	punten
Heide en duin	63.0%	25.4	12	94	199	316	65.3%
Moeras en water	37.0%	15.4	9	80	137	257	50.0%

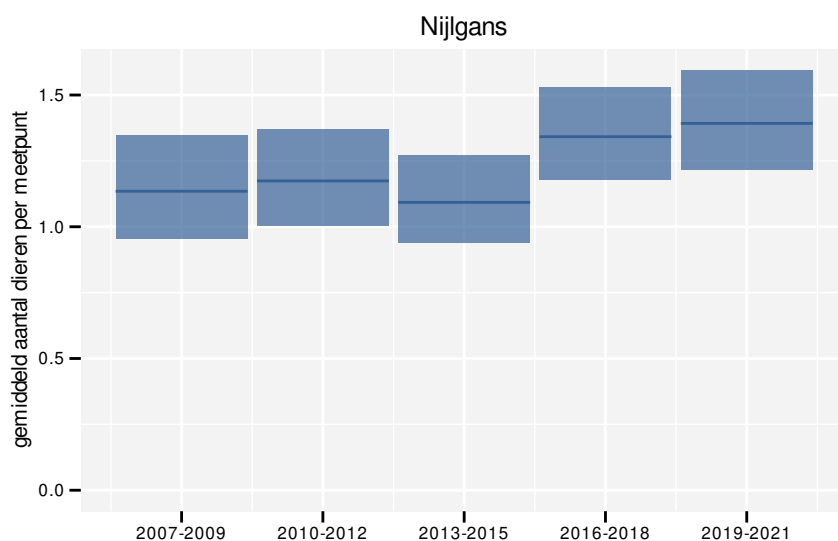
72 NIJLGANS

Op basis van jaarlijkse gegevens zien we gemiddeld een toename met +2.4% (+1.1%; +3.7%) per jaar of +43% (+18%; +73%) over de volledige looptijd van het meetnet. Deze trend is lineair.

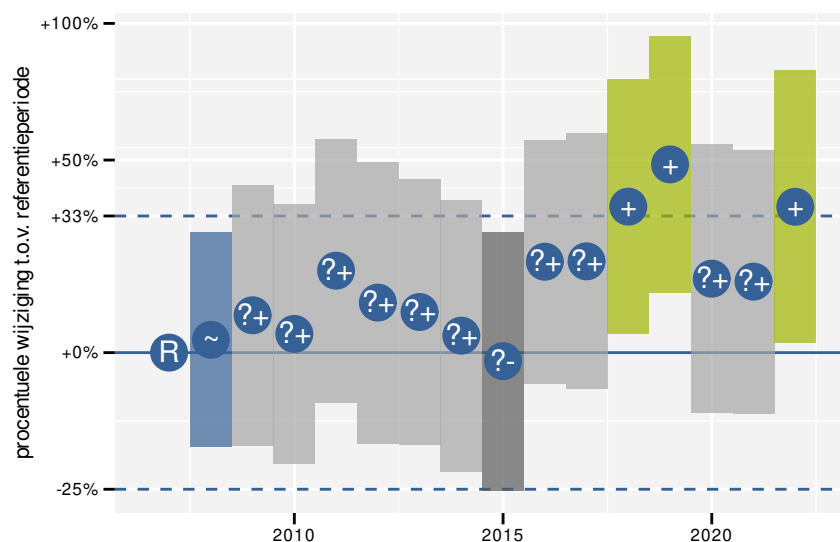
Op basis van driejaarlijkse gegevens zien we gemiddeld een toename met +2.7% (+1.4%; +4.0%) per jaar of +48% (+23%; +80%) over de volledige looptijd van het meetnet. Deze trend is niet-lineair.



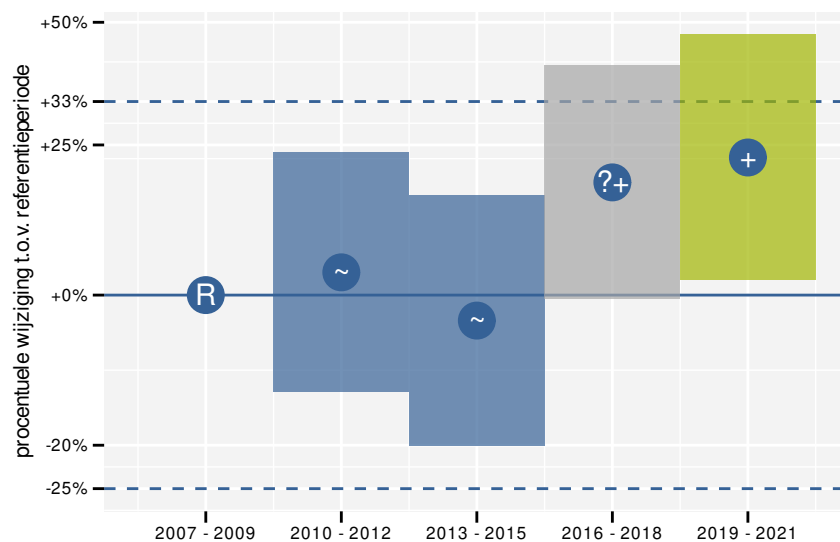
Figuur 72.1: Evolutie van het gemodelleerde gemiddeld aantal waargenomen dieren op een meetpunt voor Nijlgans tijdens de referentieperiode. Zie §3.1 voor een verklaring van de intervallen.



Figuur 72.2: Evolutie van het gemodelleerde gemiddeld aantal waargenomen dieren op een meetpunt voor Nijlgans tijdens de referentieperiode. Zie §3.1 voor een verklaring van de intervallen.



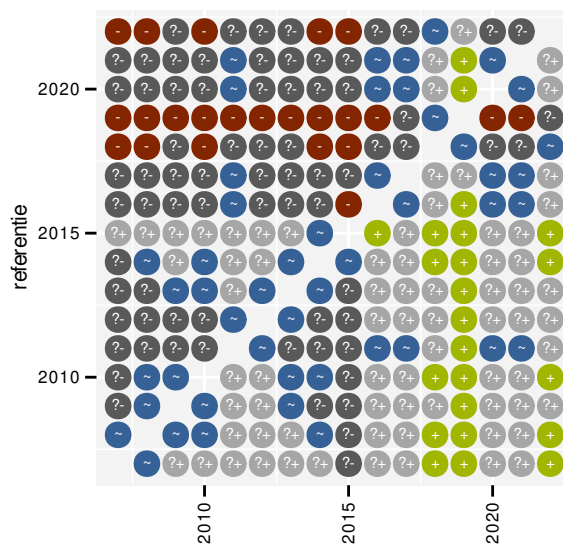
Figuur 72.3: Wijzigingen tussen jaren voor Nijlgans. Zie §3.1 voor een verklaring van de intervallen en §3.2 voor uitleg over de symbolen en referentielijnen.



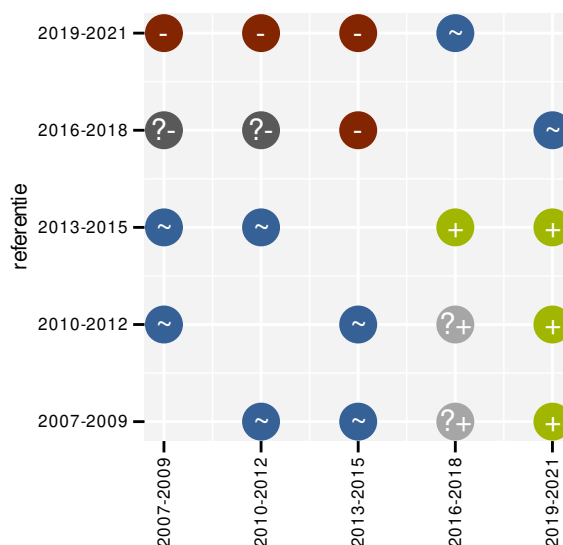
Figuur 72.4: Wijzigingen per driejarige cyclus voor Nijlgans. Zie §3.1 voor een verklaring van de intervallen en §3.2 voor uitleg over de symbolen en referentielijnen.

Tabel 72.1: Stratumgewicht, raming van het aantal hokken waarin de soort aanwezig is, aantal relevante hokken voor de analyse, aantal onderzochte hokken in het stratum, totaal aantal hokken van het stratum in Vlaanderen, aantal bezoeken aan een meetpunt en het gemiddeld aandeel relevante punten per hok voor Nijlgans (zie §2.5).

stratum	gewicht	aanwezig	relevant	onderzocht	totaal	bezoeken	punten
Landbouw	91.2%	1537.5	105	431	6311	4489	53.8%
Moeras en water	3.5%	58.2	34	80	137	1566	60.8%
Heide en duin	2.1%	36.0	17	94	199	624	49.0%
Bos	1.5%	25.2	15	190	319	616	46.7%
Suburbaan	0.9%	17.7	6	68	201	204	41.7%
Urbaan	0.9%	19.1	4	87	416	62	25.0%



Figuur 72.5: Paarsgewijze vergelijking tussen jaren voor Nijlgans. Uitleg van de symbolen in tabel 3.1.



Figuur 72.6: Paarsgewijze vergelijking tussen driejarige cycli voor Nijlgans. Uitleg van de symbolen in tabel 3.1.

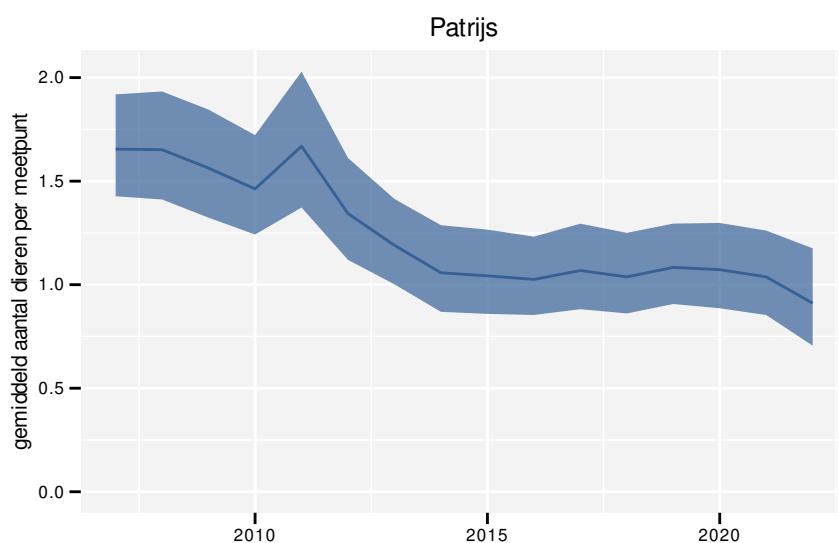
Tabel 72.2: Data-hashes van de analyses in het kader van traceerbaarheid (zie §4.3).

frequentie	model	analyse	status
jaarlijks	niet-lineair	7173fcf19b8f547d2e7d 4b46e0ea5012ac372048	9231ed0effbd7c551dde 6379338d228bc1acb1a9
jaarlijks	lineair	6d850ffdc84fe6e4d9b9 f94de334028672be5112	bd16052c21bf1f6f8b2c a74e75d4f29202173f03
driejaarlijks	niet-lineair	fb775faa5c8a5da035db 4a00237fd0e999acdf92	504c60299c60bf1ded95 30ef9ad4634e9fdce352
driejaarlijks	lineair	1e102d8fb8169d40093a 64093274d73bebe74ea6	9319288209ddb7451a22 af5c69f60a18c6c8fde2

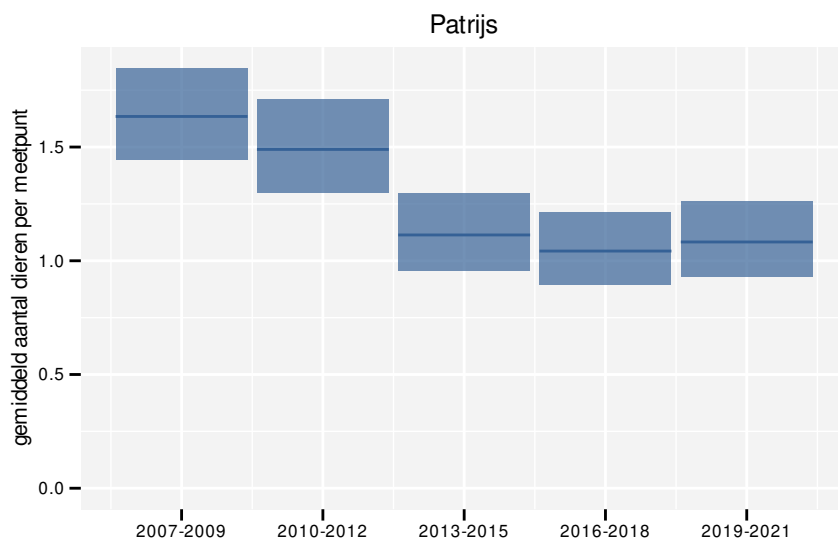
73 PATRIJS

Op basis van jaarlijkse gegevens zien we gemiddeld een sterke afname met -4.2% (-5.4%; -3.0%) per jaar of -47% (-56%; -37%) over de volledige looptijd van het meetnet. Deze trend is niet-lineair.

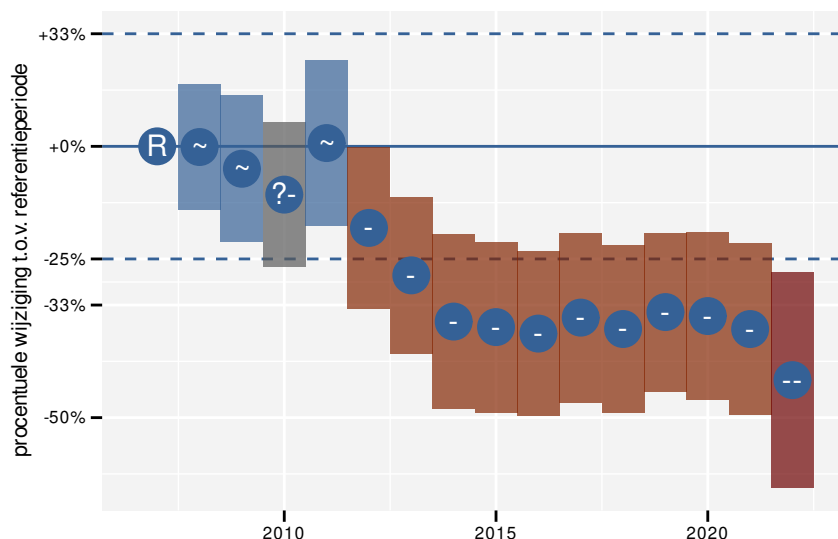
Op basis van driejaarlijkse gegevens zien we gemiddeld een sterke afname met -4.3% (-5.5%; -3.1%) per jaar of -48% (-57%; -38%) over de volledige looptijd van het meetnet. Deze trend is niet-lineair.



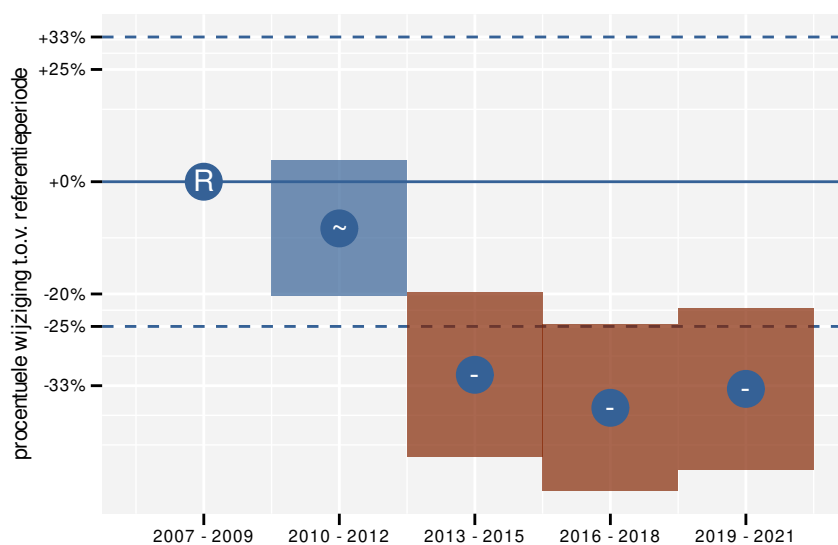
Figuur 73.1: Evolutie van het gemodelleerde gemiddeld aantal waargenomen dieren op een meetpunt voor Patrijs tijdens de referentieperiode. Zie §3.1 voor een verklaring van de intervallen.



Figuur 73.2: Evolutie van het gemodelleerde gemiddeld aantal waargenomen dieren op een meetpunt voor Patrijs tijdens de referentieperiode. Zie §3.1 voor een verklaring van de intervallen.



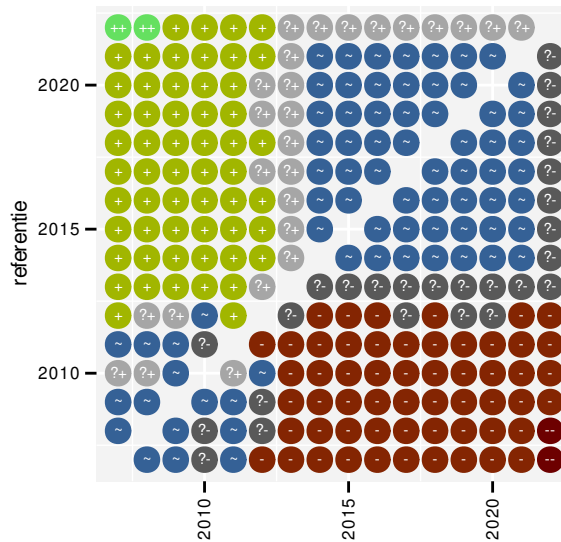
Figuur 73.3: Wijzigingen tussen jaren voor Patrijs. Zie §3.1 voor een verklaring van de intervallen en §3.2 voor uitleg over de symbolen en referentielijnen.



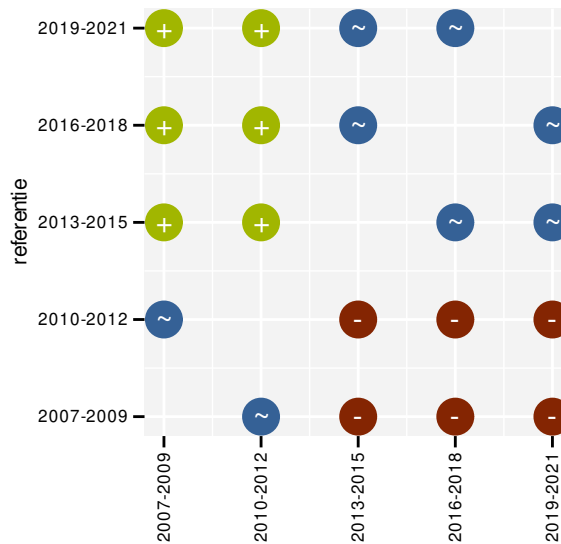
Figuur 73.4: Wijzigingen per driejarige cyclus voor Patrijs. Zie §3.1 voor een verklaring van de intervallen en §3.2 voor uitleg over de symbolen en referentielijnen.

Tabel 73.1: Stratumgewicht, raming van het aantal hokken waarin de soort aanwezig is, aantal relevante hokken voor de analyse, aantal onderzochte hokken in het stratum, totaal aantal hokken van het stratum in Vlaanderen, aantal bezoeken aan een meetpunt en het gemiddeld aandeel relevante punten per hok voor Patrijs (zie §2.5).

stratum	gewicht	aanwezig	relevant	onderzocht	totaal	bezoeken	punten
Landbouw	100.0%	2123.2	145	431	6311	5987	53.6%



Figuur 73.5: Paarsgewijze vergelijking tussen jaren voor Patrijs. Uitleg van de symbolen in tabel 3.1.



Figuur 73.6: Paarsgewijze vergelijking tussen driejarige cycli voor Patrijs. Uitleg van de symbolen in tabel 3.1.

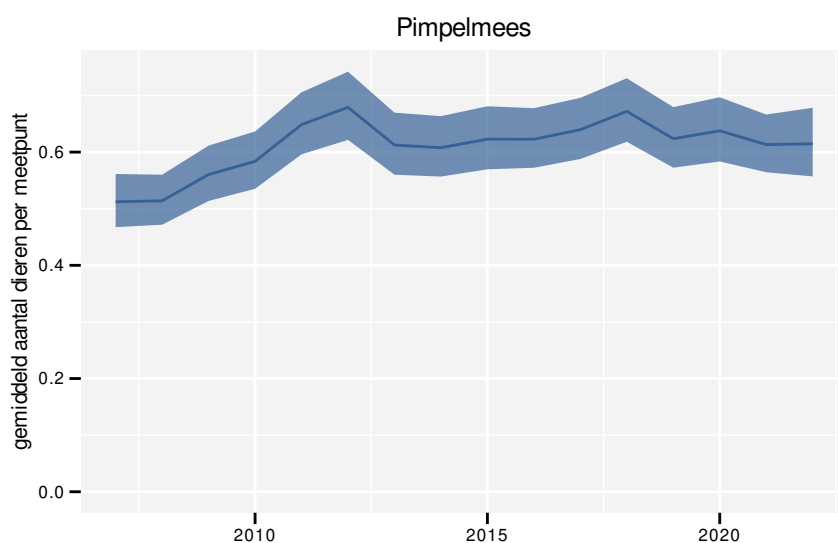
Tabel 73.2: Data-hashes van de analyses in het kader van traceerbaarheid (zie §4.3).

frequentie	model	analyse	status
jaarlijks	niet-lineair	e1a875a4573a257721a2 90258871d02165bf9151	874cf5e03d18e4c1277e f0f2199723adff638174
jaarlijks	lineair	716133e80718e07f7a8d a314de0e3fcaa0d109d5	a3257a719d5f089899cc c96155afa1086a05b6eb
driejaarlijks	niet-lineair	b79b5984bc5719aae1ca 5e8bd93a2a4badd906fc	f803bb873e7f18eaf34f 6e88a37357596583c84a
driejaarlijks	lineair	713eb176b2d015fb6cdd a64033b299fde62b6bad	eea9fd64f2a0778dea2d 5a4103553df9110dcdc7

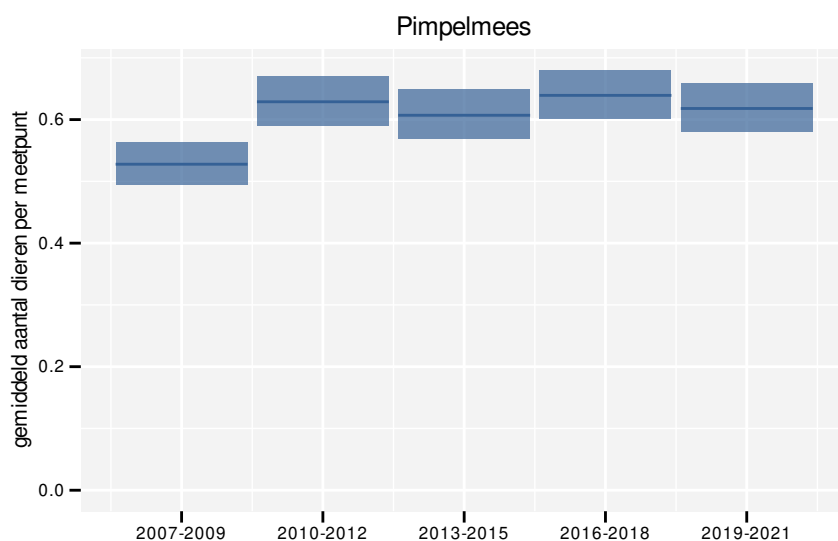
74 PIMPELMEES

Op basis van jaarlijkse gegevens zien we gemiddeld een matige toename met +1.116% (+0.622%; +1.613%) per jaar of +18% (+10%; +27%) over de volledige looptijd van het meetnet. Deze trend is lineair.

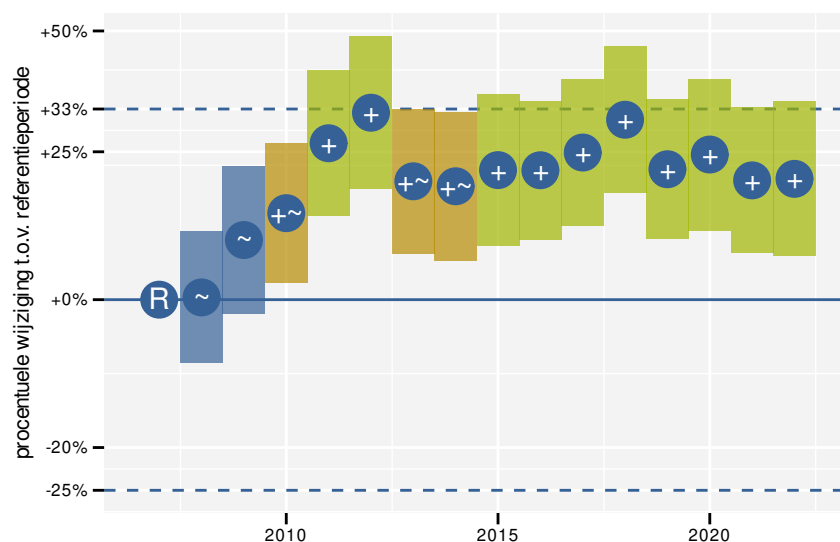
Op basis van driejaarlijkse gegevens zien we gemiddeld een matige toename met +1.032% (+0.538%; +1.532%) per jaar of +17% (+8%; +26%) over de volledige looptijd van het meetnet. Deze trend is lineair.



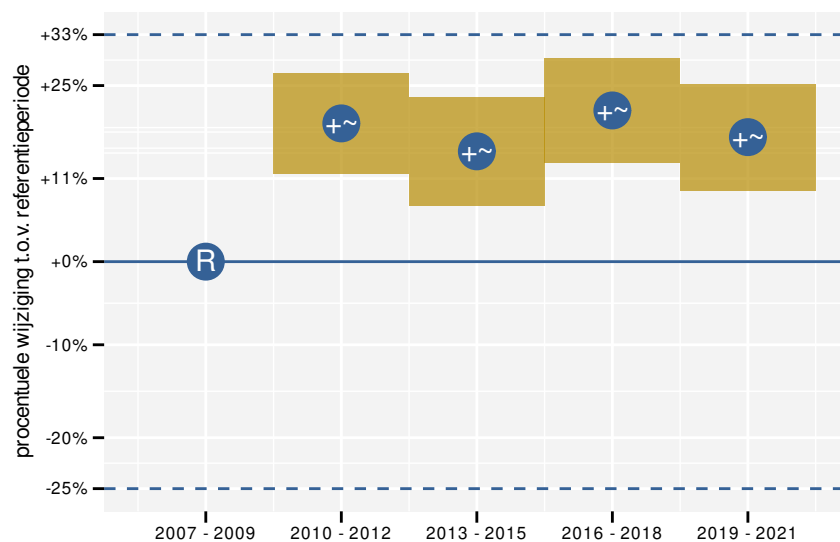
Figuur 74.1: Evolutie van het gemodelleerde gemiddeld aantal waargenomen dieren op een meetpunt voor Pimpelmees tijdens de referentieperiode. Zie §3.1 voor een verklaring van de intervallen.



Figuur 74.2: Evolutie van het gemodelleerde gemiddeld aantal waargenomen dieren op een meetpunt voor Pimpelmees tijdens de referentieperiode. Zie §3.1 voor een verklaring van de intervallen.



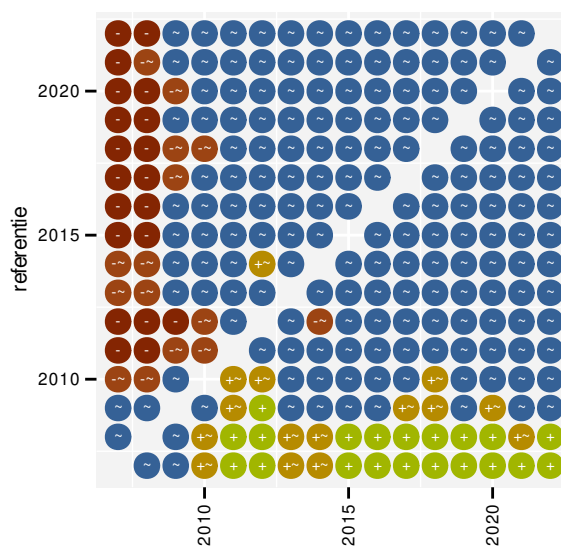
Figuur 74.3: Wijzigingen tussen jaren voor Pimpelmees. Zie §3.1 voor een verklaring van de intervallen en §3.2 voor uitleg over de symbolen en referentielijnen.



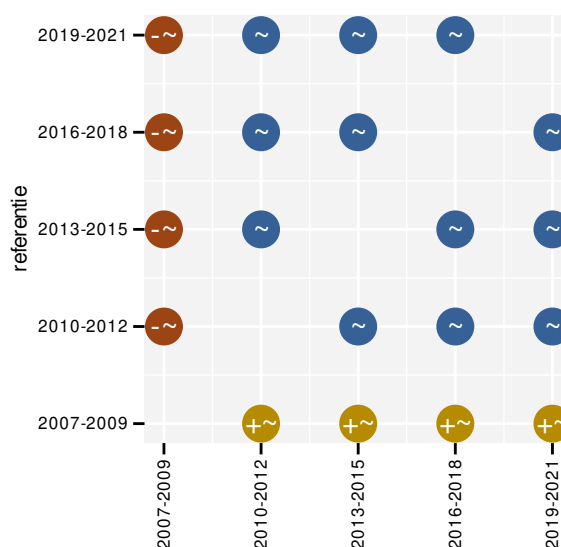
Figuur 74.4: Wijzigingen per driejarige cyclus voor Pimpelmees. Zie §3.1 voor een verklaring van de intervallen en §3.2 voor uitleg over de symbolen en referentielijnen.

Tabel 74.1: Stratumgewicht, raming van het aantal hokken waarin de soort aanwezig is, aantal relevante hokken voor de analyse, aantal onderzochte hokken in het stratum, totaal aantal hokken van het stratum in Vlaanderen, aantal bezoeken aan een meetpunt en het gemiddeld aandeel relevante punten per hok voor Pimpelmees (zie §2.5).

stratum	gewicht	aanwezig	relevant	onderzocht	totaal	bezoeken	punten
Landbouw	81.1%	4085.3	279	431	6311	14673	72.9%
Urbaan	6.6%	334.7	70	87	416	4018	83.6%
Bos	4.5%	228.3	136	190	319	8596	89.5%
Heide en duin	2.9%	148.2	70	94	199	3886	76.9%
Suburbaan	2.8%	141.9	48	68	201	2575	80.6%
Moeras en water	1.9%	97.6	57	80	137	3140	77.5%



Figuur 74.5: Paarsgewijze vergelijking tussen jaren voor Pimpelmees. Uitleg van de symbolen in tabel 3.1.



Figuur 74.6: Paarsgewijze vergelijking tussen driejarige cycli voor Pimpelmees. Uitleg van de symbolen in tabel 3.1.

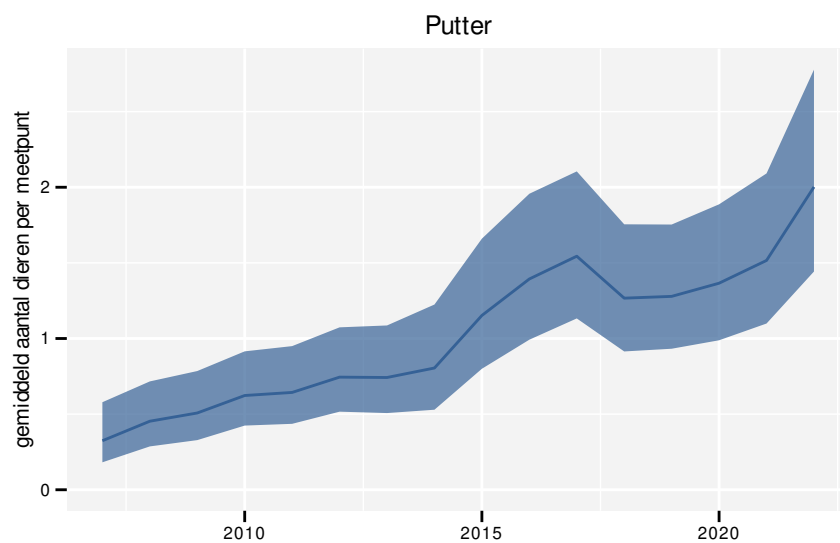
Tabel 74.2: Data-hashes van de analyses in het kader van traceerbaarheid (zie §4.3).

frequentie	model	analyse	status
jaarlijks	niet-lineair	86491b2ed529b41169c6 f2ef7ff6a1fa8099a7dc	6481b6ddee4f275fda22 921dde3ea840f0e5a897
jaarlijks	lineair	1e498ed982968dc5a604 44a00bd46c7dae624eaa	80b7cc540d6d1dea845d 9d1f6a6a280c07bdbcdf
driejaarlijks	niet-lineair	f92ad56daa754c704530 96769f5a4fcd6e753b7b	5c504a64fa6f39a7cb76 84053e1c7b2595a24db2
driejaarlijks	lineair	0a6e14ab1d54d6548351 2198015dc7e5e3b82b4d	6635fbd016a6bbcce4ed c3d7a1acca502492c263

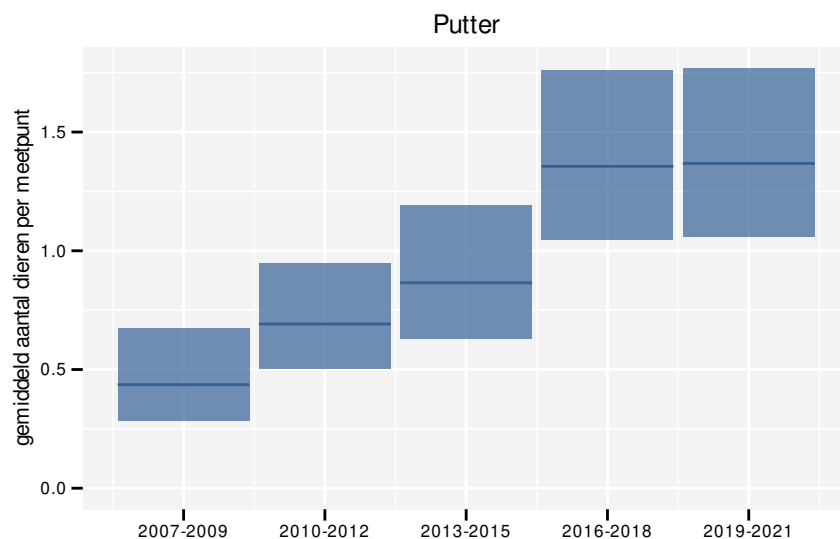
75 PUTTER

Op basis van jaarlijkse gegevens zien we gemiddeld een sterke toename met +12.41% (+9.20%; +15.73%) per jaar of +480% (+270%; +790%) over de volledige looptijd van het meetnet. Deze trend is niet-lineair.

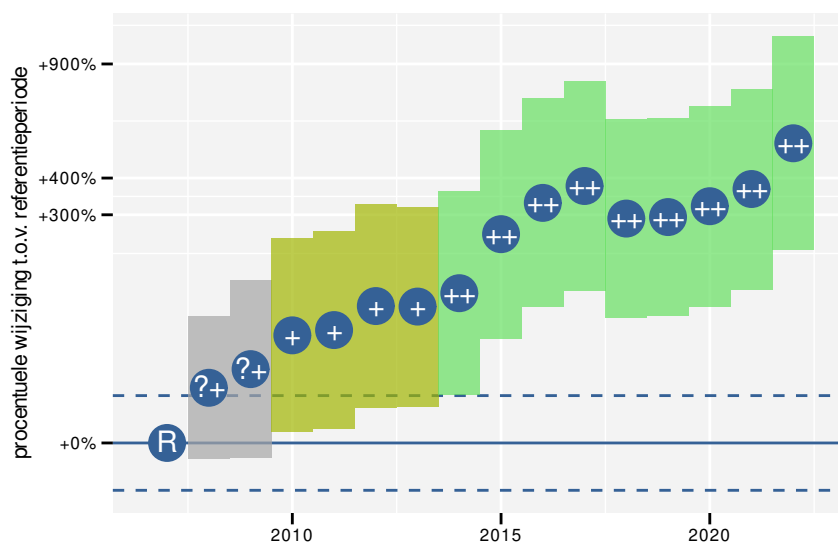
Op basis van driejaarlijkse gegevens zien we gemiddeld een sterke toename met +12.27% (+9.10%; +15.53%) per jaar of +470% (+270%; +770%) over de volledige looptijd van het meetnet. Deze trend is niet-lineair.



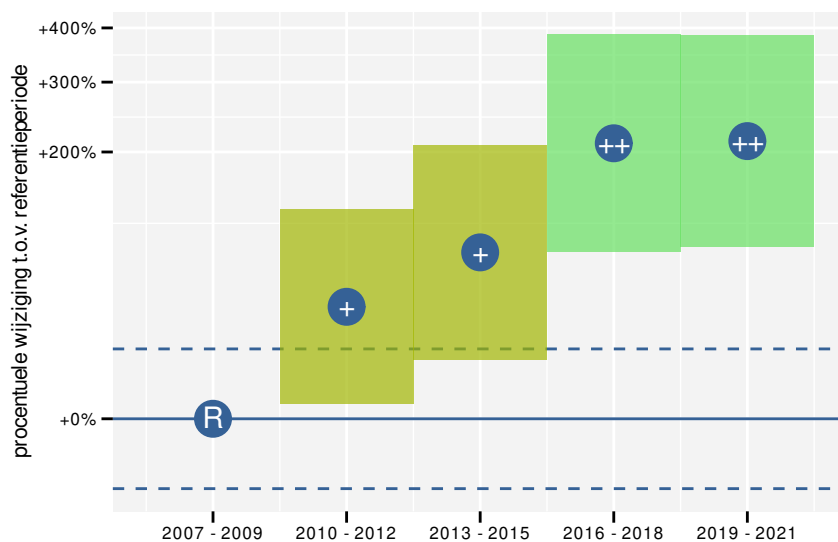
Figuur 75.1: Evolutie van het gemodelleerde gemiddeld aantal waargenomen dieren op een meetpunt voor Putter tijdens de referentieperiode. Zie §3.1 voor een verklaring van de intervallen.



Figuur 75.2: Evolutie van het gemodelleerde gemiddeld aantal waargenomen dieren op een meetpunt voor Putter tijdens de referentieperiode. Zie §3.1 voor een verklaring van de intervallen.



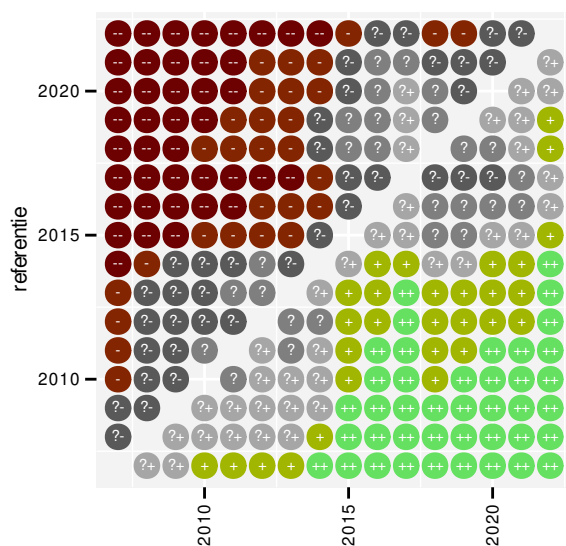
Figuur 75.3: Wijzigingen tussen jaren voor Putter. Zie §3.1 voor een verklaring van de intervallen en §3.2 voor uitleg over de symbolen en referentielijnen.



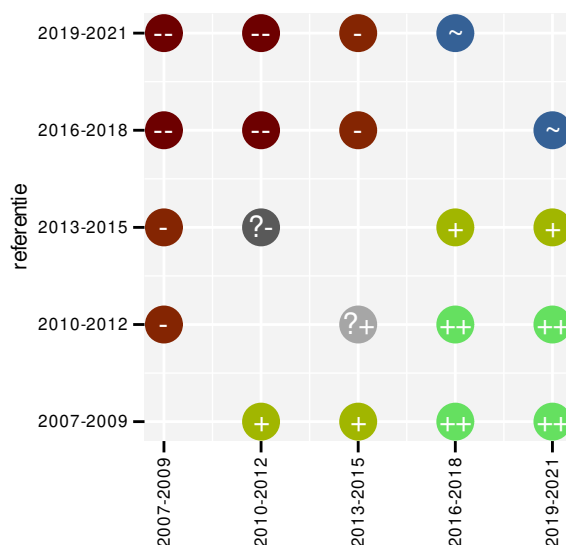
Figuur 75.4: Wijzigingen per driejarige cyclus voor Putter. Zie §3.1 voor een verklaring van de intervallen en §3.2 voor uitleg over de symbolen en referentielijnen.

Tabel 75.1: Stratumgewicht, raming van het aantal hokken waarin de soort aanwezig is, aantal relevante hokken voor de analyse, aantal onderzochte hokken in het stratum, totaal aantal hokken van het stratum in Vlaanderen, aantal bezoeken aan een meetpunt en het gemiddeld aandeel relevante punten per hok voor Putter (zie §2.5).

stratum	gewicht	aanwezig	relevant	onderzocht	totaal	bezoeken	punten
Landbouw	88.6%	732.1	50	431	6311	1790	42.7%
Urbaan	4.0%	38.3	8	87	416	369	47.9%
Suburbaan	3.2%	26.6	9	68	201	396	61.1%
Moeras en water	2.3%	18.8	11	80	137	455	51.5%
Heide en duin	1.3%	12.7	6	94	199	142	33.3%
Bos	0.6%	6.7	4	190	319	151	50.0%



Figuur 75.5: Paarsgewijze vergelijking tussen jaren voor Putter. Uitleg van de symbolen in tabel 3.1.



Figuur 75.6: Paarsgewijze vergelijking tussen driejarige cycli voor Putter. Uitleg van de symbolen in tabel 3.1.

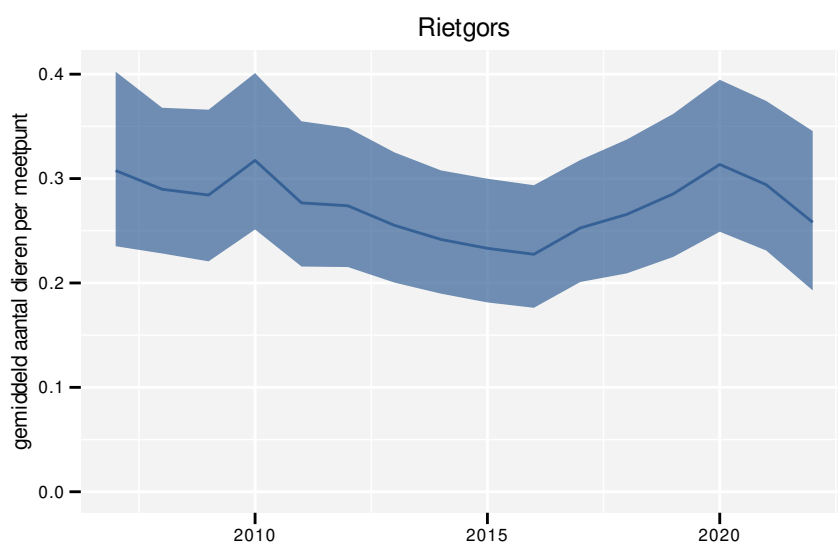
Tabel 75.2: Data-hashes van de analyses in het kader van traceerbaarheid (zie §4.3).

frequentie	model	analyse	status
jaarlijks	niet-lineair	e31dea0986686e789473	6f9ebe35ced079910862
jaarlijks	lineair	2bbf1073e5a69b7e0643	6182ca9ae8a4a23dc7ed
driejaarlijks	niet-lineair	d24f1038d81955d2ce15	62b4c11676bce83200d1
driejaarlijks	lineair	6c691360fb54cd8b5c7e	c249e23ebaddefcc975b
driejaarlijks	niet-lineair	d8a542acbe6a803b68a5	177914bffadacd55b3b0
driejaarlijks	lineair	42b18f8c1d8015355707	0d06cb517c149f8b7343
driejaarlijks	niet-lineair	2fc5de6b3613d09fa899	6bad946499811fe545e2
driejaarlijks	lineair	9d929234bedff31313ba	9a5c8b060b5919a30504

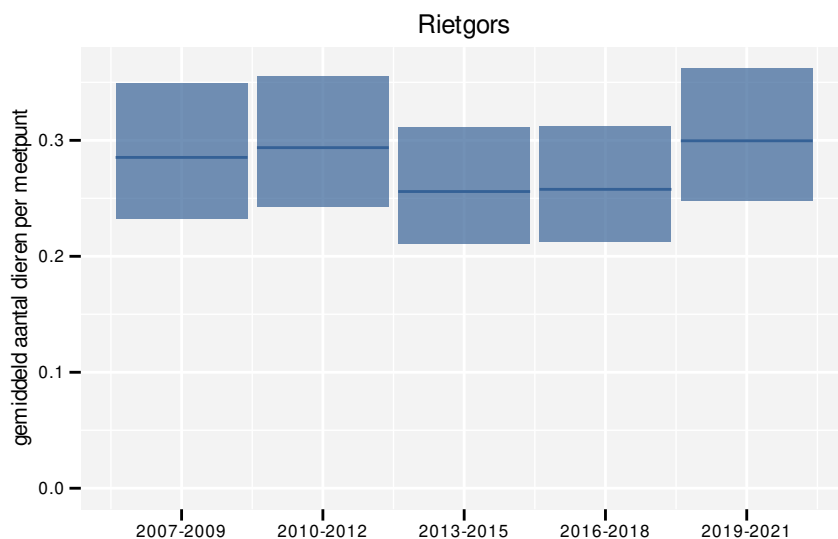
76 RIETGORS

Op basis van jaarlijkse gegevens zien we gemiddeld een mogelijke afname met -0.6% (-2.3%; +1.2%) per jaar of -8% (-29%; +20%) over de volledige looptijd van het meetnet. Deze trend is lineair.

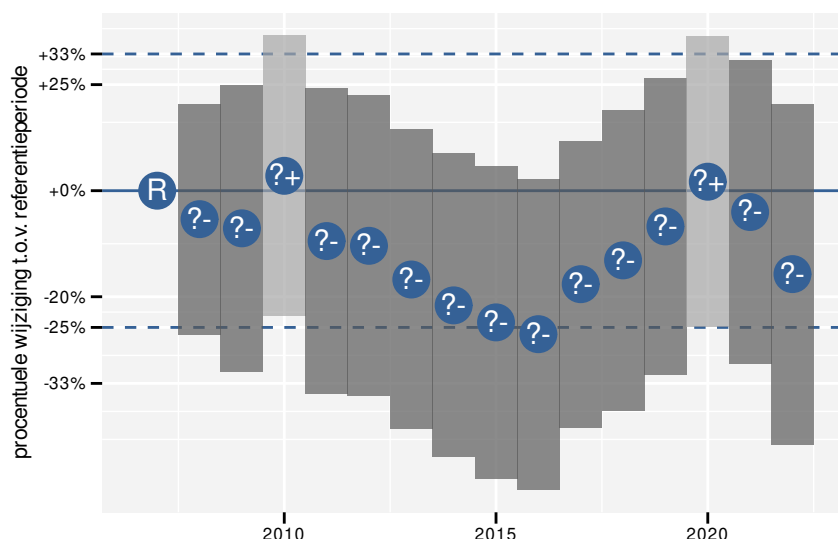
Op basis van driejaarlijkse gegevens zien we gemiddeld een mogelijke afname met -0.5% (-2.3%; +1.2%) per jaar of -8% (-29%; +20%) over de volledige looptijd van het meetnet. Deze trend is niet-lineair.



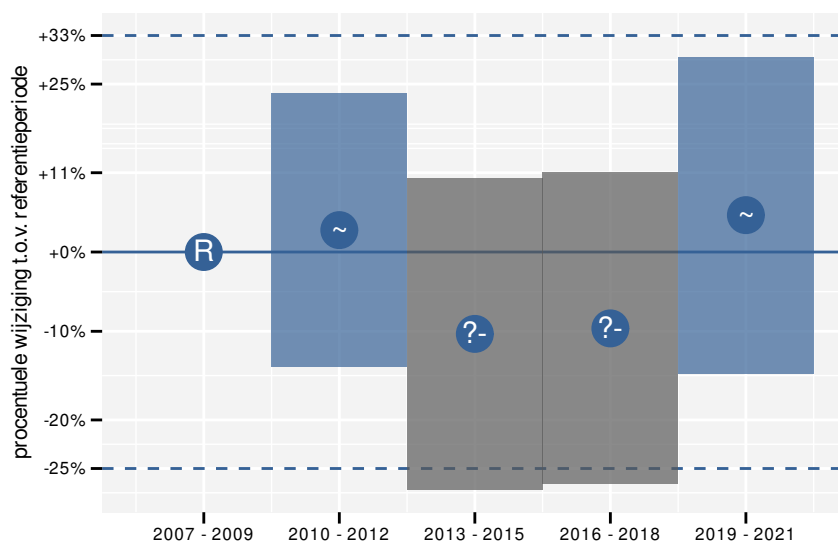
Figuur 76.1: Evolutie van het gemodelleerde gemiddeld aantal waargenomen dieren op een meetpunt voor Rietgors tijdens de referentieperiode. Zie §3.1 voor een verklaring van de intervallen.



Figuur 76.2: Evolutie van het gemodelleerde gemiddeld aantal waargenomen dieren op een meetpunt voor Rietgors tijdens de referentieperiode. Zie §3.1 voor een verklaring van de intervallen.



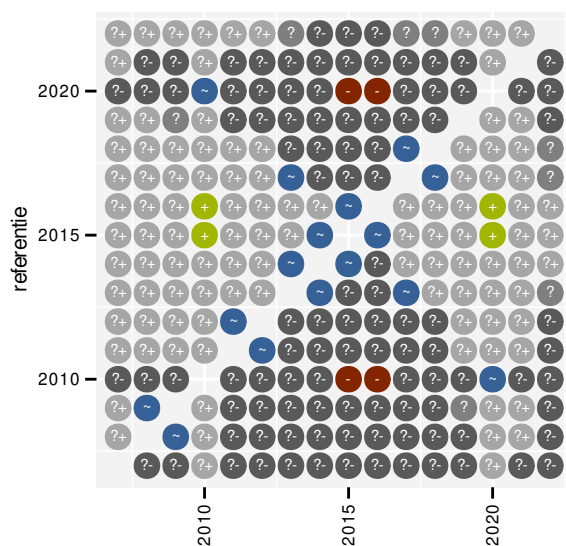
Figuur 76.3: Wijzigingen tussen jaren voor Rietgors. Zie §3.1 voor een verklaring van de intervallen en §3.2 voor uitleg over de symbolen en referentielijnen.



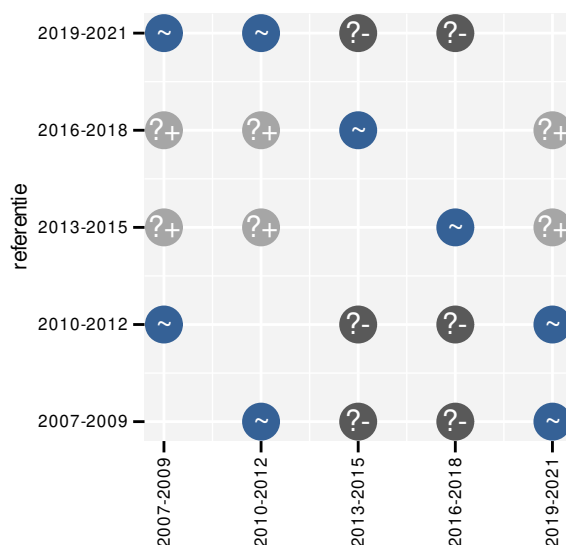
Figuur 76.4: Wijzigingen per driejarige cyclus voor Rietgors. Zie §3.1 voor een verklaring van de intervallen en §3.2 voor uitleg over de symbolen en referentielijnen.

Tabel 76.1: Stratumgewicht, raming van het aantal hokken waarin de soort aanwezig is, aantal relevante hokken voor de analyse, aantal onderzochte hokken in het stratum, totaal aantal hokken van het stratum in Vlaanderen, aantal bezoeken aan een meetpunt en het gemiddeld aandeel relevante punten per hok voor Rietgors (zie §2.5).

stratum	gewicht	aanwezig	relevant	onderzocht	totaal	bezoeken	punten
Landbouw	81.3%	424.6	29	431	6311	1401	58.0%
Heide en duin	7.7%	40.2	19	94	199	765	54.4%
Moeras en water	7.2%	37.7	22	80	137	1021	59.1%
Suburbaan	2.8%	17.7	6	68	201	206	69.4%
Bos	1.0%	6.7	4	190	319	134	33.3%



Figuur 76.5: Paarsgewijze vergelijking tussen jaren voor Rietgors. Uitleg van de symbolen in tabel 3.1.



Figuur 76.6: Paarsgewijze vergelijking tussen driejarige cycli voor Rietgors. Uitleg van de symbolen in tabel 3.1.

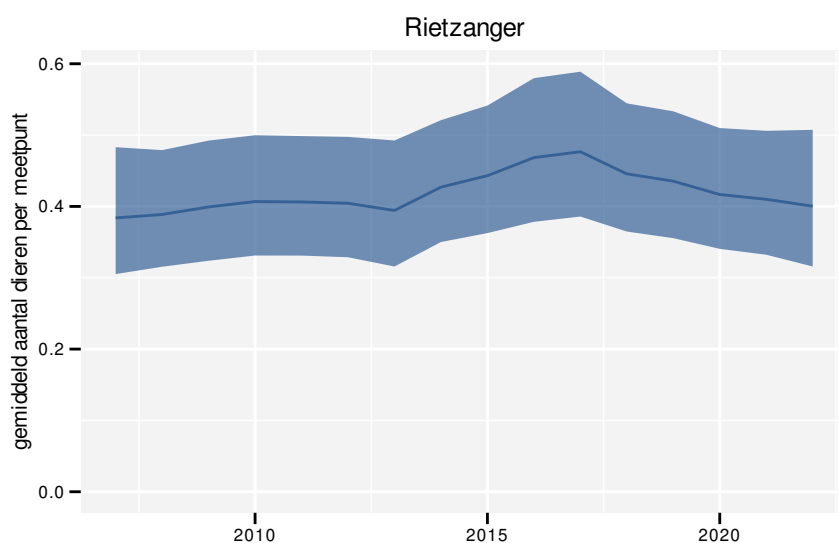
Tabel 76.2: Data-hashes van de analyses in het kader van traceerbaarheid (zie §4.3).

frequentie	model	analyse	status
jaarlijks	niet-lineair	2bcf22fbf78eb2e43bfc 9f5eda7b3bf1826cdb80	e40192f4f3987dc2ef89 db99d97ea928320e41e5
jaarlijks	lineair	2c7ccc4f80f587f1a119 754225b1efaa60a8a16e	a4411d7a9212ac544830 6037ab2a7b347aa85df5
driejaarlijks	niet-lineair	5e19384d8e2d378ff85b ec43c8982bee1d7eae6f	2aac4f40263496e58789 08472e23eade15302d14
driejaarlijks	lineair	d682cbffd84997e09129 a9362925a2a804b69d75	68e3aee5931781c42bc b8ea53bab36f28e451fb

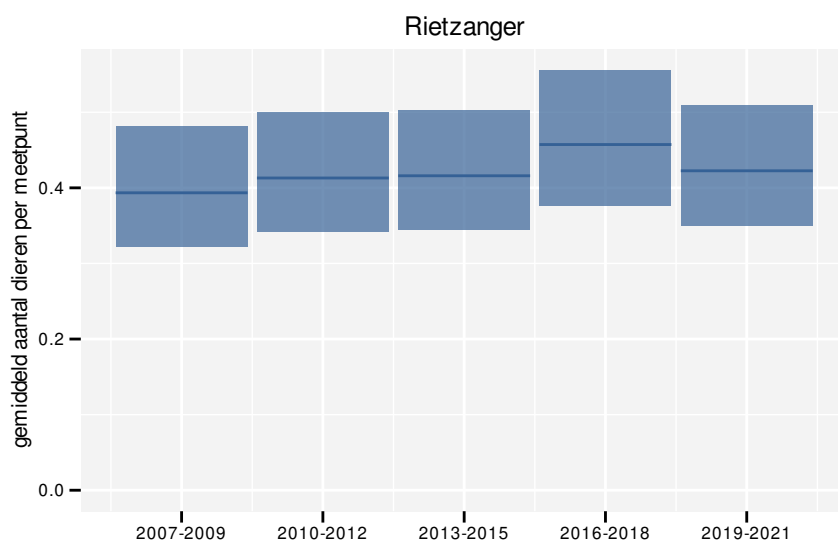
77 RIETZANGER

Op basis van jaarlijkse gegevens zien we gemiddeld een mogelijke toename met +0.9% (-0.5%; +2.2%) per jaar of +14% (-7%; +39%) over de volledige looptijd van het meetnet. Deze trend is niet-lineair.

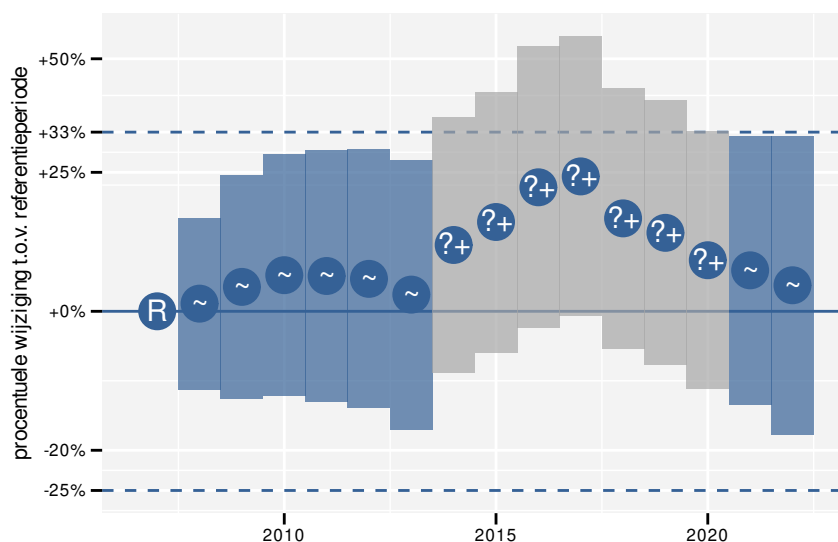
Op basis van driejaarlijkse gegevens zien we gemiddeld een mogelijke toename met +0.8% (-0.6%; +2.2%) per jaar of +13% (-8%; +38%) over de volledige looptijd van het meetnet. Deze trend is mogelijk niet-lineair.



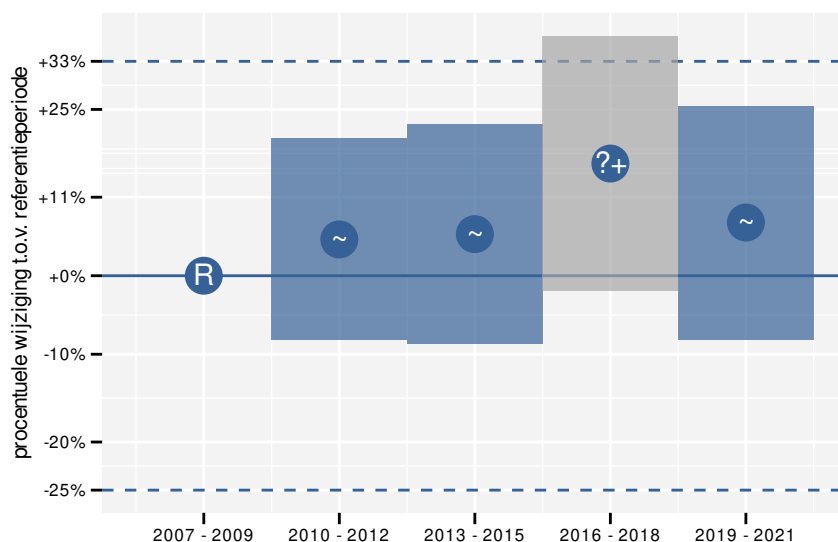
Figuur 77.1: Evolutie van het gemodelleerde gemiddeld aantal waargenomen dieren op een meetpunt voor Rietzanger tijdens de referentieperiode. Zie §3.1 voor een verklaring van de intervallen.



Figuur 77.2: Evolutie van het gemodelleerde gemiddeld aantal waargenomen dieren op een meetpunt voor Rietzanger tijdens de referentieperiode. Zie §3.1 voor een verklaring van de intervallen.



Figuur 77.3: Wijzigingen tussen jaren voor Rietzanger. Zie §3.1 voor een verklaring van de intervallen en §3.2 voor uitleg over de symbolen en referentielijnen.



Figuur 77.4: Wijzigingen per driejarige cyclus voor Rietzanger. Zie §3.1 voor een verklaring van de intervallen en §3.2 voor uitleg over de symbolen en referentielijnen.

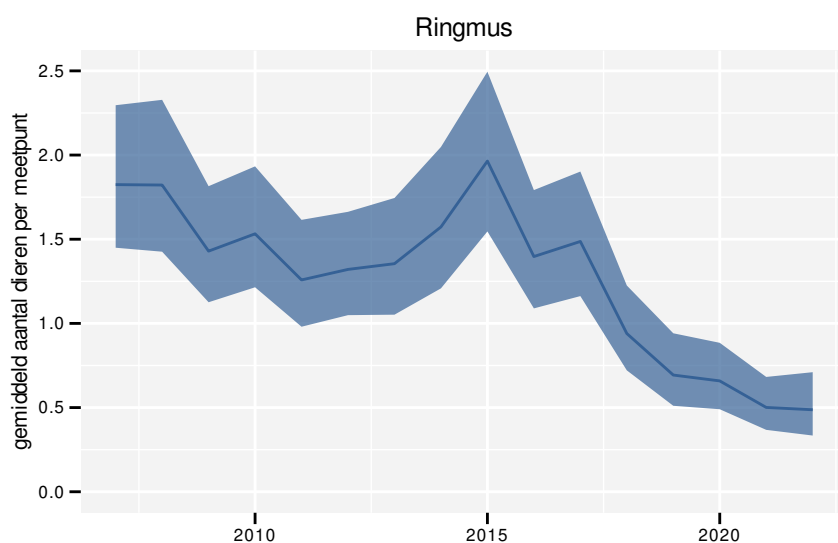
Tabel 77.1: Stratumgewicht, raming van het aantal hokken waarin de soort aanwezig is, aantal relevante hokken voor de analyse, aantal onderzochte hokken in het stratum, totaal aantal hokken van het stratum in Vlaanderen, aantal bezoeken aan een meetpunt en het gemiddeld aandeel relevante punten per hok voor Rietzanger (zie §2.5).

stratum	gewicht	aanwezig	relevant	onderzocht	totaal	bezoeken	punten
Landbouw	96.6%	541.8	37	431	6311	1919	62.6%
Moeras en water	3.4%	18.8	11	80	137	410	51.5%

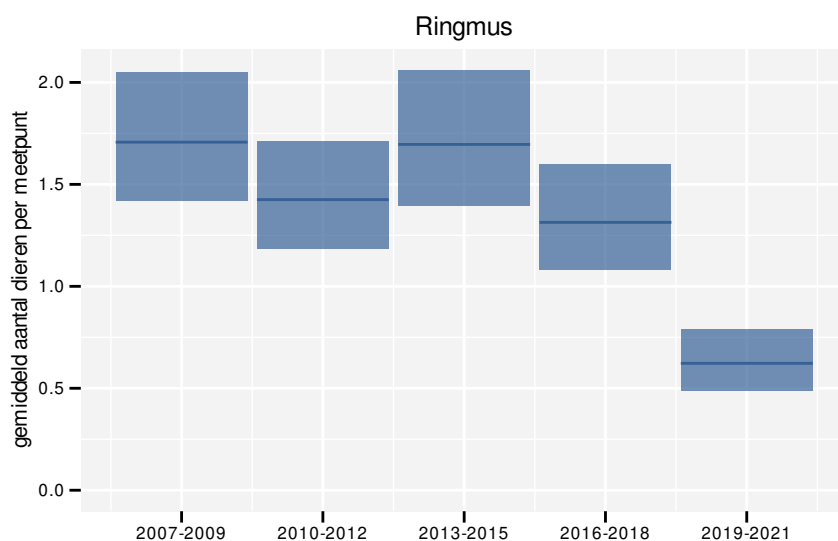
78 RINGMUS

Op basis van jaarlijkse gegevens zien we gemiddeld een sterke afname met -5.7% (-7.1%; -4.3%) per jaar of -59% (-67%; -48%) over de volledige looptijd van het meetnet. Deze trend is niet-lineair.

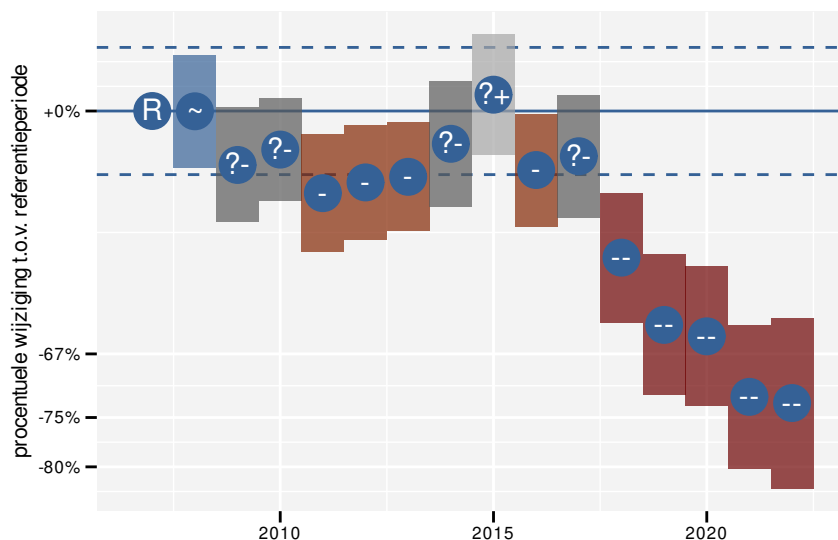
Op basis van driejaarlijkse gegevens zien we gemiddeld een sterke afname met -5.7% (-7.1%; -4.3%) per jaar of -59% (-67%; -48%) over de volledige looptijd van het meetnet. Deze trend is lineair.



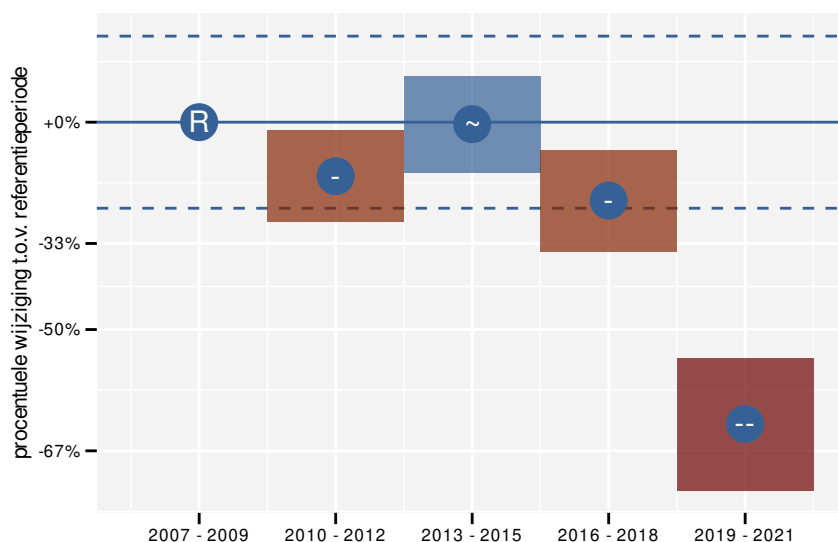
Figuur 78.1: Evolutie van het gemodelleerde gemiddeld aantal waargenomen dieren op een meetpunt voor Ringmus tijdens de referentieperiode. Zie §3.1 voor een verklaring van de intervallen.



Figuur 78.2: Evolutie van het gemodelleerde gemiddeld aantal waargenomen dieren op een meetpunt voor Ringmus tijdens de referentieperiode. Zie §3.1 voor een verklaring van de intervallen.



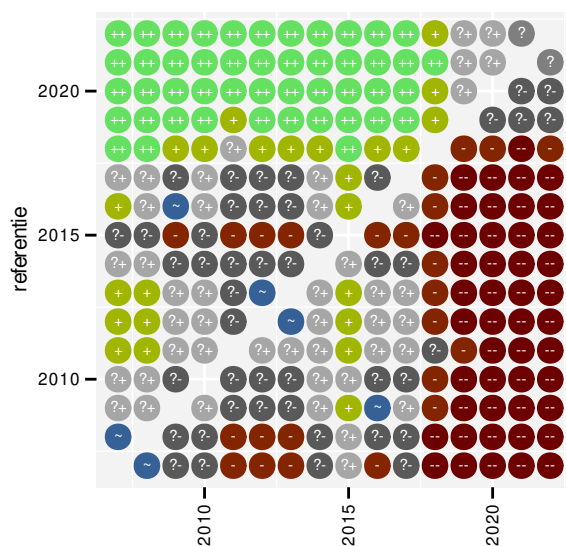
Figuur 78.3: Wijzigingen tussen jaren voor Ringmus. Zie §3.1 voor een verklaring van de intervallen en §3.2 voor uitleg over de symbolen en referentielijnen.



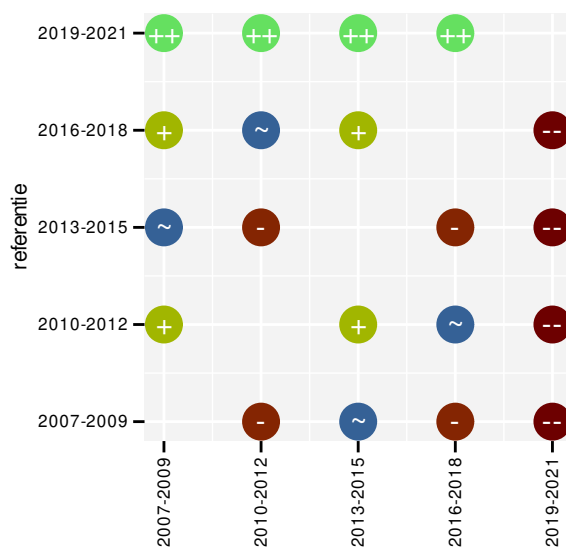
Figuur 78.4: Wijzigingen per driejarige cyclus voor Ringmus. Zie §3.1 voor een verklaring van de intervallen en §3.2 voor uitleg over de symbolen en referentielijnen.

Tabel 78.1: Stratumgewicht, raming van het aantal hokken waarin de soort aanwezig is, aantal relevante hokken voor de analyse, aantal onderzochte hokken in het stratum, totaal aantal hokken van het stratum in Vlaanderen, aantal bezoeken aan een meetpunt en het gemiddeld aandeel relevante punten per hok voor Ringmus (zie §2.5).

stratum	gewicht	aanwezig	relevant	onderzocht	totaal	bezoeken	punten
Landbouw	99.6%	1317.8	90	431	6311	3606	52.6%
Moeras en water	0.4%	6.8	4	80	137	142	37.5%



Figuur 78.5: Paarsgewijze vergelijking tussen jaren voor Ringmus. Uitleg van de symbolen in tabel 3.1.



Figuur 78.6: Paarsgewijze vergelijking tussen driejarige cycli voor Ringmus. Uitleg van de symbolen in tabel 3.1.

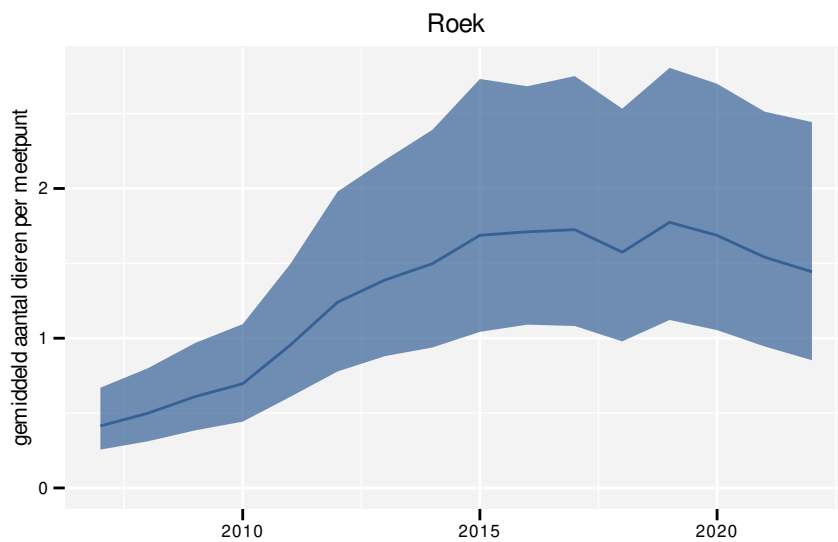
Tabel 78.2: Data-hashes van de analyses in het kader van traceerbaarheid (zie §4.3).

frequentie	model	analyse	status
jaarlijks	niet-lineair	c790d146d1173a0633bf d505e9ea47505061c3de	e9740f9c574bfbcf8276 1eaed7f719a591e2ba54
jaarlijks	lineair	5e6be0b7a322e2056314 8a3b75eed8ab9c1c36d4	ea0d10cb52d05a12ec96 ea168dd90ea49df88f4b
driejaarlijks	niet-lineair	b4398d163ed3f6d2857e bd757905961d4862df6a	3518f72cf83177d9bd04 c74fec679246e76c3672
driejaarlijks	lineair	8018333c06c02f948cab 9fe5cbfa7ddb5346af3a	a94e412a21290c96b1e4 f4b962c94d327d6b5c10

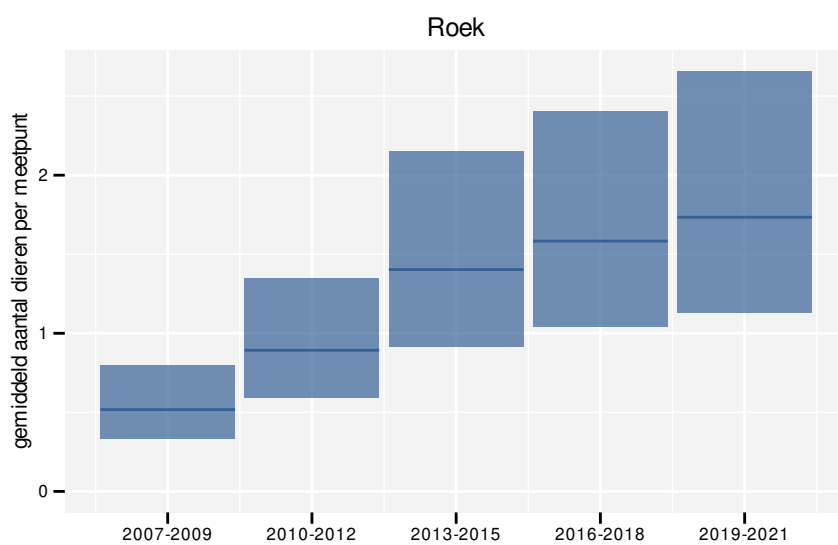
79 ROEK

Op basis van jaarlijkse gegevens zien we gemiddeld een sterke toename met +11.75% (+8.27%; +15.33%) per jaar of +430% (+230%; +750%) over de volledige looptijd van het meetnet. Deze trend is niet-lineair.

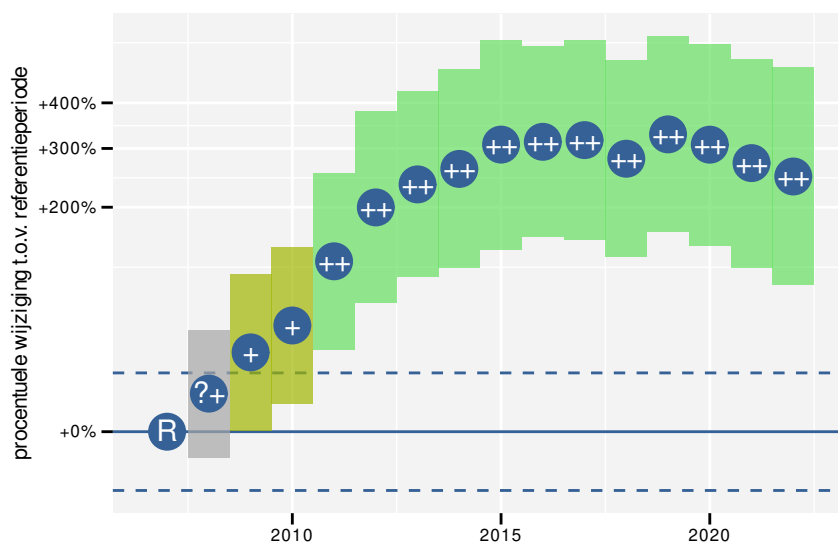
Op basis van driejaarlijkse gegevens zien we gemiddeld een sterke toename met +11.23% (+7.82%; +14.75%) per jaar of +390% (+210%; +690%) over de volledige looptijd van het meetnet. Deze trend is mogelijk niet-lineair.



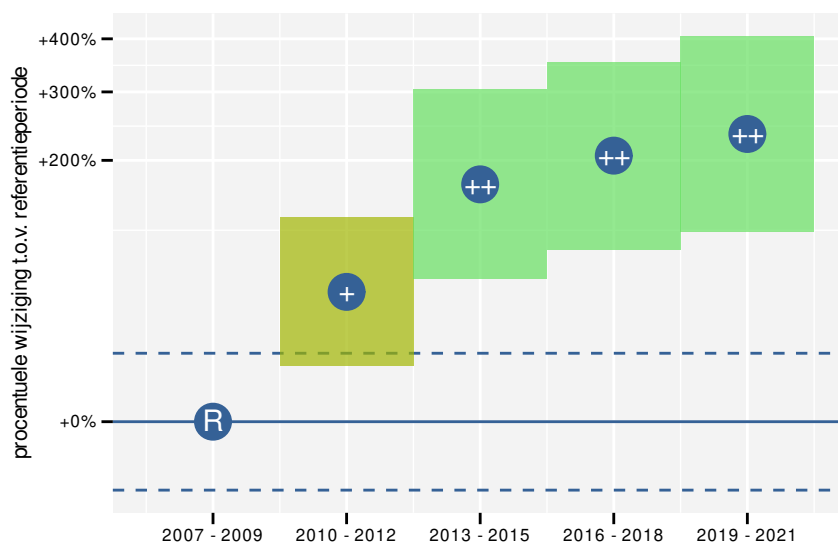
Figuur 79.1: Evolutie van het gemodelleerde gemiddeld aantal waargenomen dieren op een meetpunt voor Roek tijdens de referentieperiode. Zie §3.1 voor een verklaring van de intervallen.



Figuur 79.2: Evolutie van het gemodelleerde gemiddeld aantal waargenomen dieren op een meetpunt voor Roek tijdens de referentieperiode. Zie §3.1 voor een verklaring van de intervallen.



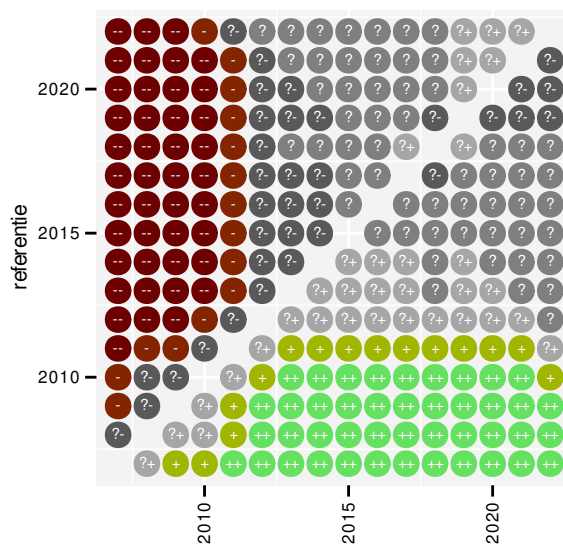
Figuur 79.3: Wijzigingen tussen jaren voor Roek. Zie §3.1 voor een verklaring van de intervallen en §3.2 voor uitleg over de symbolen en referentielijnen.



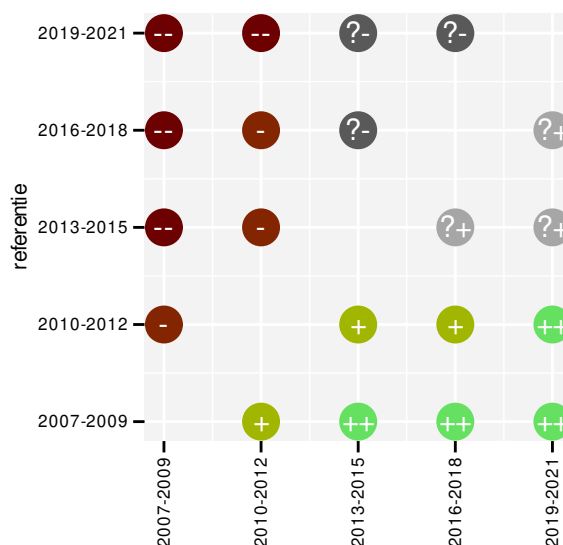
Figuur 79.4: Wijzigingen per driejarige cyclus voor Roek. Zie §3.1 voor een verklaring van de intervallen en §3.2 voor uitleg over de symbolen en referentielijnen.

Tabel 79.1: Stratumgewicht, raming van het aantal hokken waarin de soort aanwezig is, aantal relevante hokken voor de analyse, aantal onderzochte hokken in het stratum, totaal aantal hokken van het stratum in Vlaanderen, aantal bezoeken aan een meetpunt en het gemiddeld aandeel relevante punten per hok voor Roek (zie §2.5).

stratum	gewicht	aanwezig	relevant	onderzocht	totaal	bezoeken	punten
Landbouw	94.1%	453.9	31	431	6311	1535	68.3%
Urbaan	5.9%	33.5	7	87	416	269	59.5%



Figuur 79.5: Paarsgewijze vergelijking tussen jaren voor Roek. Uitleg van de symbolen in tabel 3.1.



Figuur 79.6: Paarsgewijze vergelijking tussen driejarige cycli voor Roek. Uitleg van de symbolen in tabel 3.1.

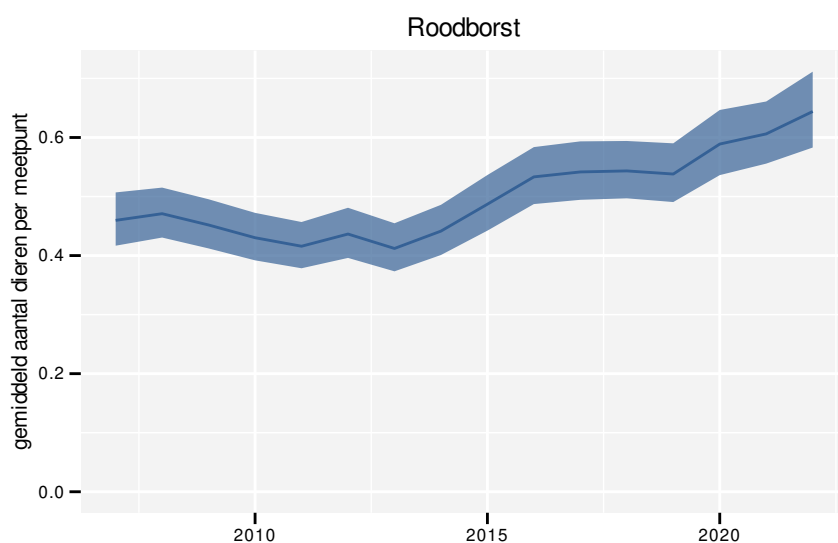
Tabel 79.2: Data-hashes van de analyses in het kader van traceerbaarheid (zie §4.3).

frequentie	model	analyse	status
jaarlijks	niet-lineair	97abf65a03dfae33afeb 28ecff7c06349a1e47a9	d0acfb07d9be12792b74 a16cf82655826a105a72
jaarlijks	lineair	51746e9cdd7e85e48138 6cb6b506d467c16ef118	0fdd582da3277bf681de 36bddd31dd312545ec02
driejaarlijks	niet-lineair	0465375f1377dfbc3dec 9d471b521d9516559c22	e46f1ed77b673eac1e10 06d250ffebcb813a5d12
driejaarlijks	lineair	ff24c8ea3b52cf97e6b2 95919ca27706d22e384b	bd98dc7c7ac5bbc2684d 805ede1f2286c93dca22

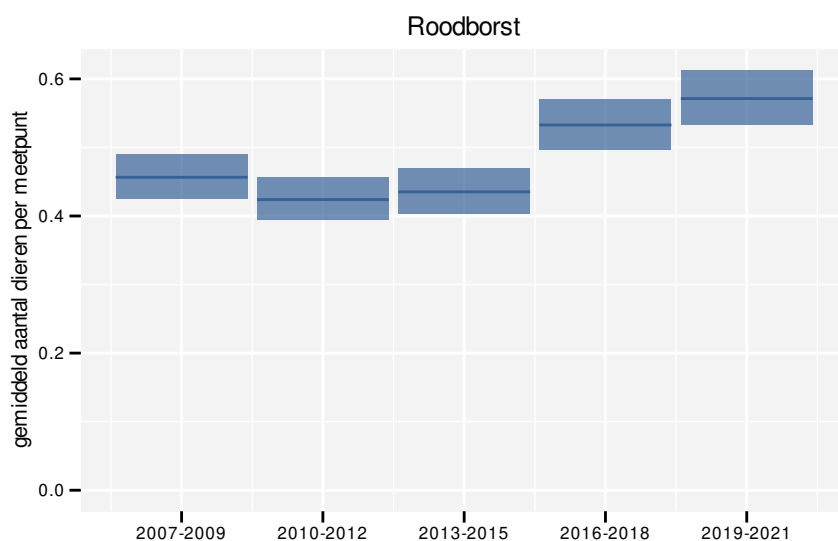
80 ROODBORST

Op basis van jaarlijkse gegevens zien we gemiddeld een toename met +2.4% (+1.9%; +3.0%) per jaar of +44% (+33%; +55%) over de volledige looptijd van het meetnet. Deze trend is niet-lineair.

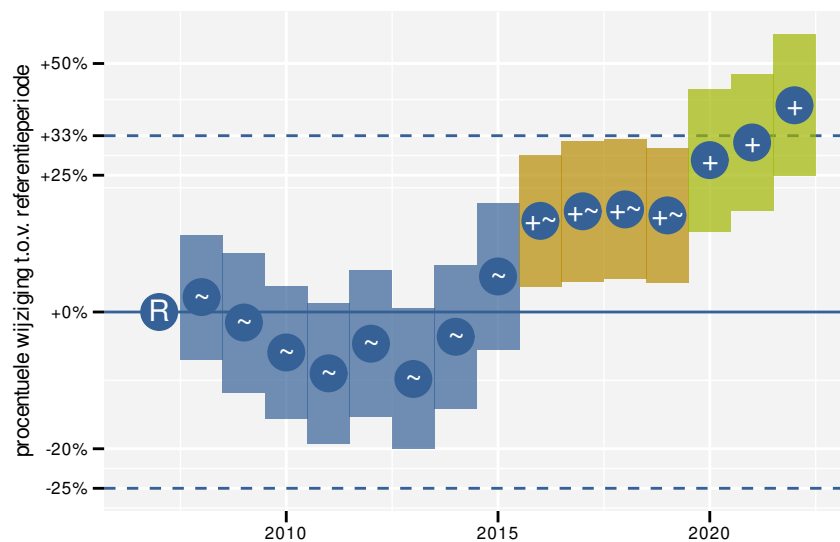
Op basis van driejaarlijkse gegevens zien we gemiddeld een toename met +2.4% (+1.9%; +2.9%) per jaar of +42% (+32%; +54%) over de volledige looptijd van het meetnet. Deze trend is niet-lineair.



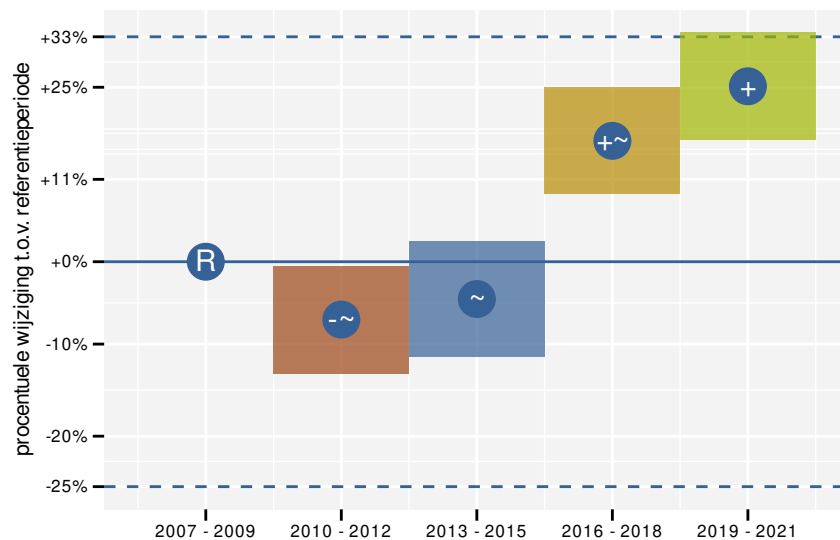
Figuur 80.1: Evolutie van het gemodelleerde gemiddeld aantal waargenomen dieren op een meetpunt voor Roodborst tijdens de referentieperiode. Zie §3.1 voor een verklaring van de intervallen.



Figuur 80.2: Evolutie van het gemodelleerde gemiddeld aantal waargenomen dieren op een meetpunt voor Roodborst tijdens de referentieperiode. Zie §3.1 voor een verklaring van de intervallen.



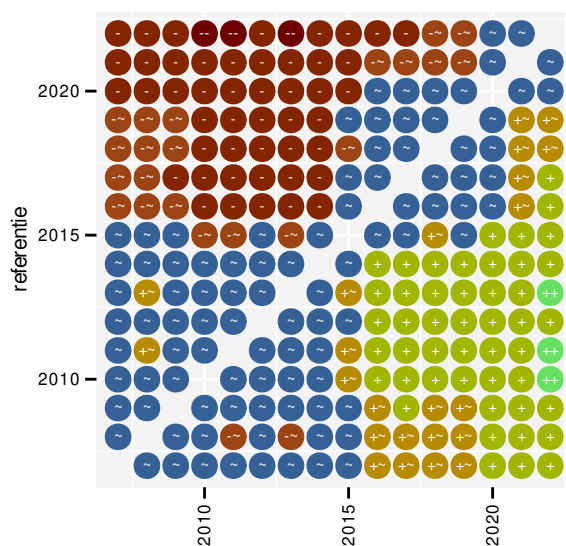
Figuur 80.3: Wijzigingen tussen jaren voor Roodborst. Zie §3.1 voor een verklaring van de intervallen en §3.2 voor uitleg over de symbolen en referentielijnen.



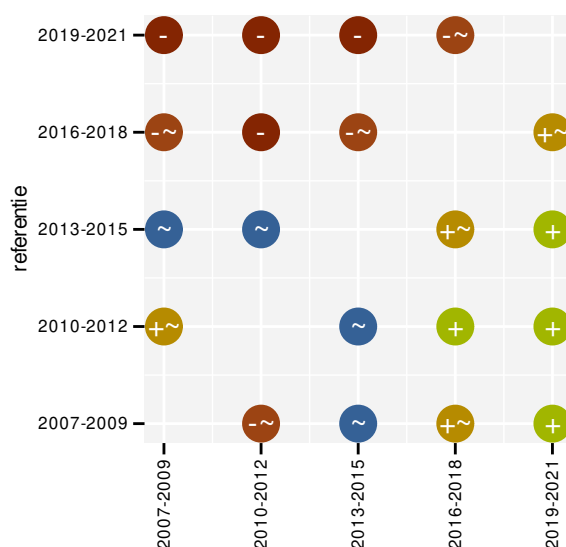
Figuur 80.4: Wijzigingen per driejarige cyclus voor Roodborst. Zie §3.1 voor een verklaring van de intervallen en §3.2 voor uitleg over de symbolen en referentielijnen.

Tabel 80.1: Stratumgewicht, raming van het aantal hokken waarin de soort aanwezig is, aantal relevante hokken voor de analyse, aantal onderzochte hokken in het stratum, totaal aantal hokken van het stratum in Vlaanderen, aantal bezoeken aan een meetpunt en het gemiddeld aandeel relevante punten per hok voor Roodborst (zie §2.5).

stratum	gewicht	aanwezig	relevant	onderzocht	totaal	bezoeken	punten
Landbouw	77.3%	3236.0	221	431	6311	11131	69.2%
Urbaan	7.4%	310.8	65	87	416	3172	67.9%
Bos	6.1%	253.5	151	190	319	9850	98.2%
Heide en duin	3.7%	156.7	74	94	199	4266	80.6%
Suburbaan	3.2%	136.0	46	68	201	2200	74.3%
Moeras en water	2.2%	90.8	53	80	137	3052	83.6%



Figuur 80.5: Paarsgewijze vergelijking tussen jaren voor Roodborst. Uitleg van de symbolen in tabel 3.1.



Figuur 80.6: Paarsgewijze vergelijking tussen driejarige cycli voor Roodborst. Uitleg van de symbolen in tabel 3.1.

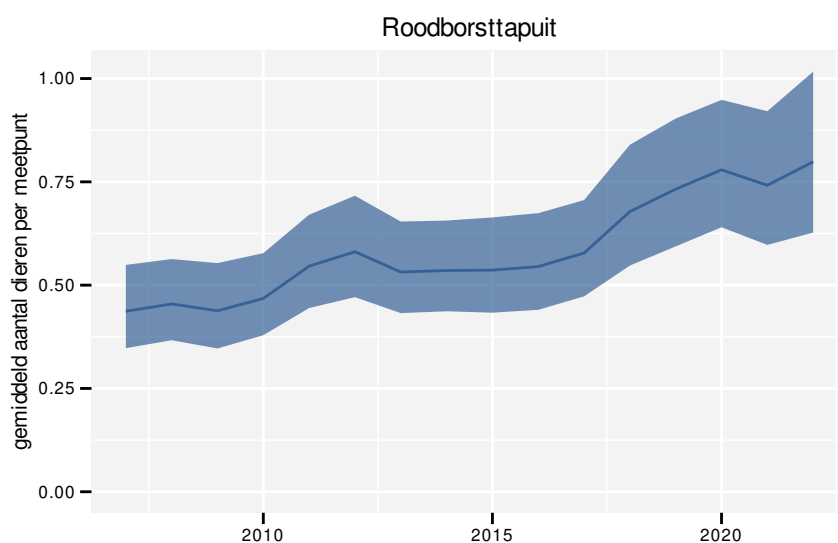
Tabel 80.2: Data-hashes van de analyses in het kader van traceerbaarheid (zie §4.3).

frequentie	model	analyse	status
jaarlijks	niet-lineair	ac4b68fda56d498c451c 50fcce2764e7e71098d7	fa883f5c0bf7d7ad3b73 ce0ede733c3963f4e529
jaarlijks	lineair	824b37ac05bf0f2ec6ed 6db9ea0b8869097f2390	6b4f1be7e1ec7e9aef6d 51b514ea38679759c133
driejaarlijks	niet-lineair	05b647e187ba44807e16 290c17bb2e3fd0f22ae1	54c07f0a93ceb2b87e1b ed9bc3b4a79cfbe0bef6
driejaarlijks	lineair	37568bb64a00ac8eac14 fadfbaa07befd52dc431	4fd855838ead25a9745a 74d15718711c549782fe

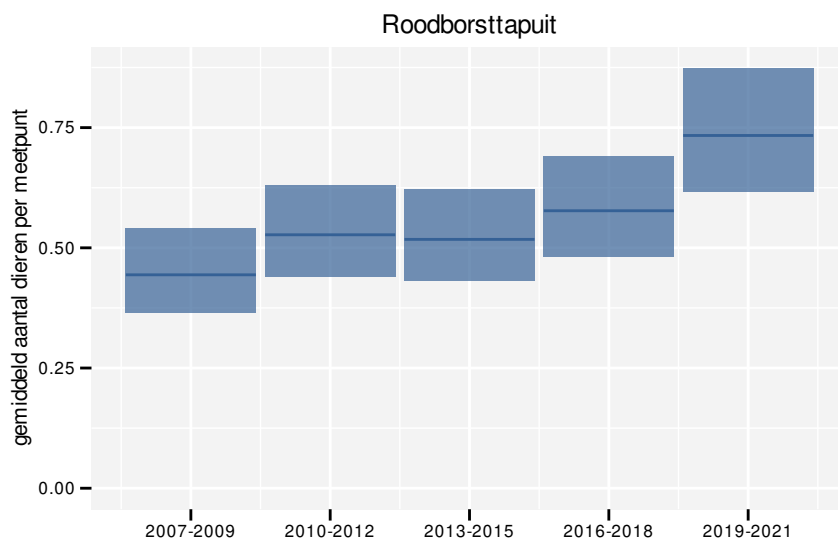
81 ROODBORSTTAPUIT

Op basis van jaarlijkse gegevens zien we gemiddeld een sterke toename met +4.1% (+2.6%; +5.8%) per jaar of +83.9% (+45.9%; +131.6%) over de volledige looptijd van het meetnet. Deze trend is niet-lineair.

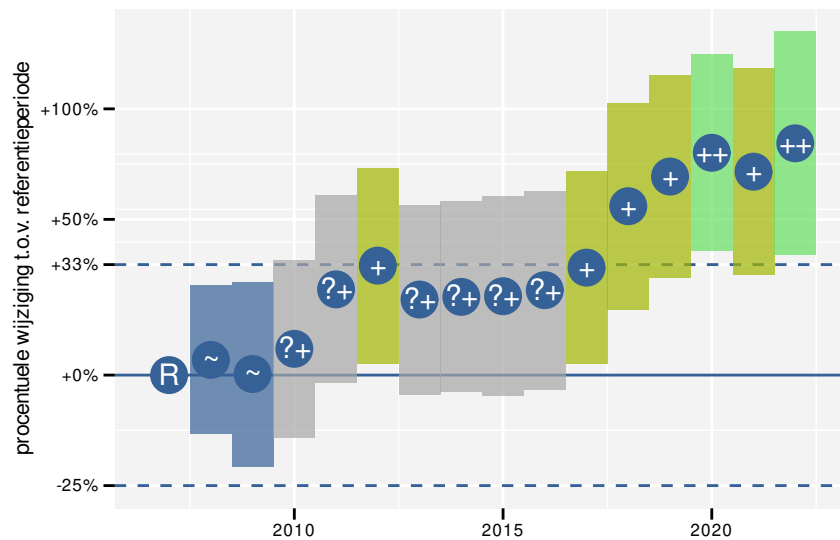
Op basis van driejaarlijkse gegevens zien we gemiddeld een sterke toename met +4.1% (+2.5%; +5.7%) per jaar of +81.6% (+44.1%; +128.8%) over de volledige looptijd van het meetnet. Deze trend is niet-lineair.



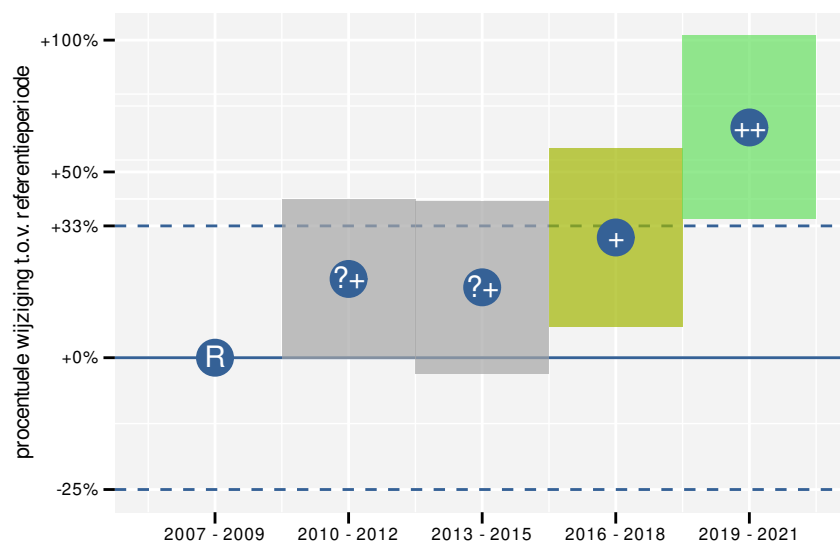
Figuur 81.1: Evolutie van het gemodelleerde gemiddeld aantal waargenomen dieren op een meetpunt voor Roodborsttapuit tijdens de referentieperiode. Zie §3.1 voor een verklaring van de intervallen.



Figuur 81.2: Evolutie van het gemodelleerde gemiddeld aantal waargenomen dieren op een meetpunt voor Roodborsttapuit tijdens de referentieperiode. Zie §3.1 voor een verklaring van de intervallen.



Figuur 81.3: Wijzigingen tussen jaren voor Roodborsttapuit. Zie §3.1 voor een verklaring van de intervallen en §3.2 voor uitleg over de symbolen en referentielijnen.



Figuur 81.4: Wijzigingen per driejarige cyclus voor Roodborsttapuit. Zie §3.1 voor een verklaring van de intervallen en §3.2 voor uitleg over de symbolen en referentielijnen.

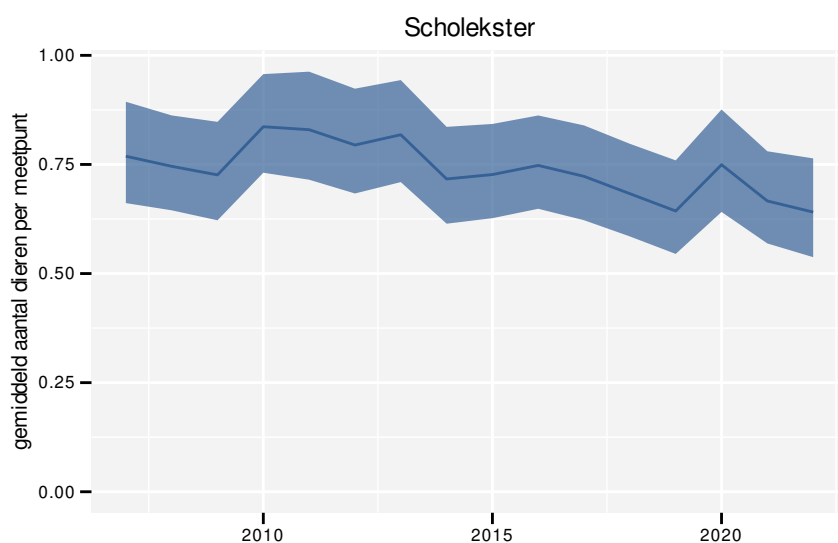
Tabel 81.1: Stratumgewicht, raming van het aantal hokken waarin de soort aanwezig is, aantal relevante hokken voor de analyse, aantal onderzochte hokken in het stratum, totaal aantal hokken van het stratum in Vlaanderen, aantal bezoeken aan een meetpunt en het gemiddeld aandeel relevante punten per hok voor Roodborsttapuit (zie §2.5).

stratum	gewicht	aanwezig	relevant	onderzocht	totaal	bezoeken	punten
Landbouw	82.7%	629.6	43	431	6311	1769	48.8%
Heide en duin	13.1%	99.5	47	94	199	2285	65.2%
Bos	1.8%	15.1	9	190	319	260	42.6%
Moeras en water	1.3%	10.3	6	80	137	239	47.2%
Suburbaan	1.2%	11.8	4	68	201	101	41.7%

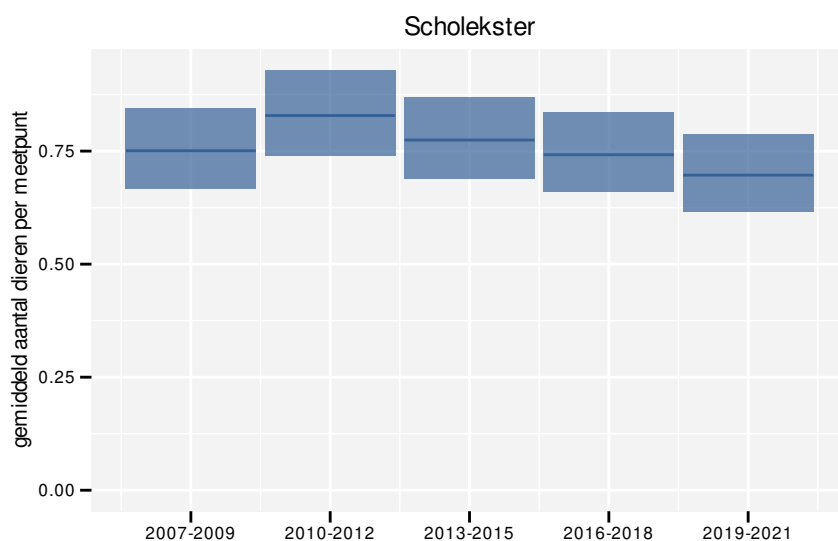
82 SCHOLEKSTER

Op basis van jaarlijkse gegevens zien we gemiddeld een afname met -1.2% (-2.1%; -0.3%) per jaar of -16% (-27%; -4%) over de volledige looptijd van het meetnet. Deze trend is niet-lineair.

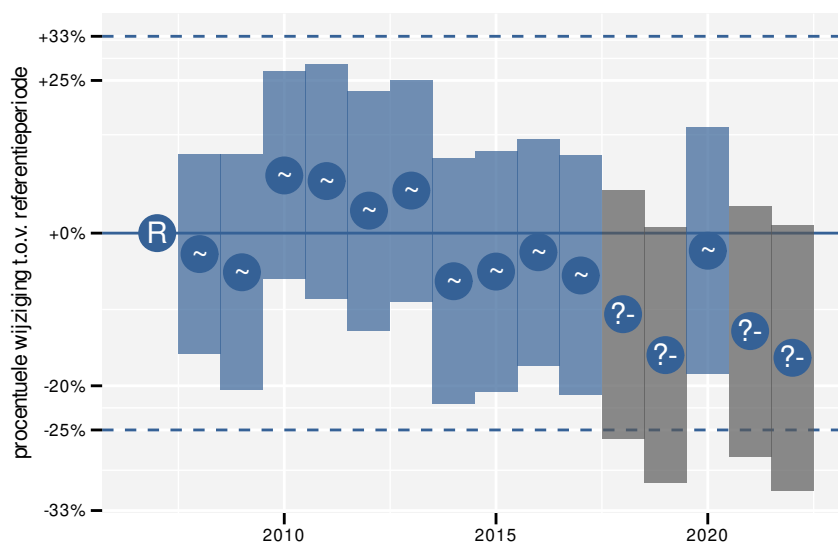
Op basis van driejaarlijkse gegevens zien we gemiddeld een afname met -1.06% (-1.95%; -0.16%) per jaar of -15% (-26%; -2%) over de volledige looptijd van het meetnet. Deze trend is niet-lineair.



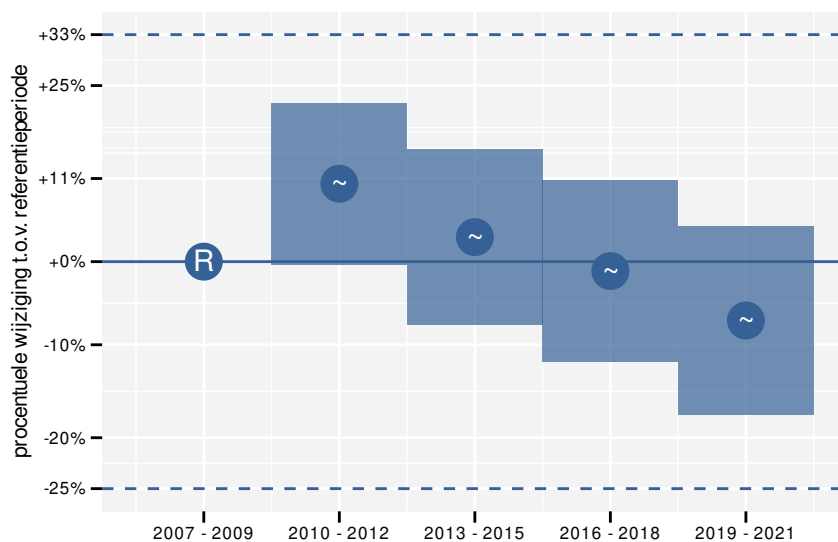
Figuur 82.1: Evolutie van het gemodelleerde gemiddeld aantal waargenomen dieren op een meetpunt voor Scholekster tijdens de referentieperiode. Zie §3.1 voor een verklaring van de intervallen.



Figuur 82.2: Evolutie van het gemodelleerde gemiddeld aantal waargenomen dieren op een meetpunt voor Scholekster tijdens de referentieperiode. Zie §3.1 voor een verklaring van de intervallen.



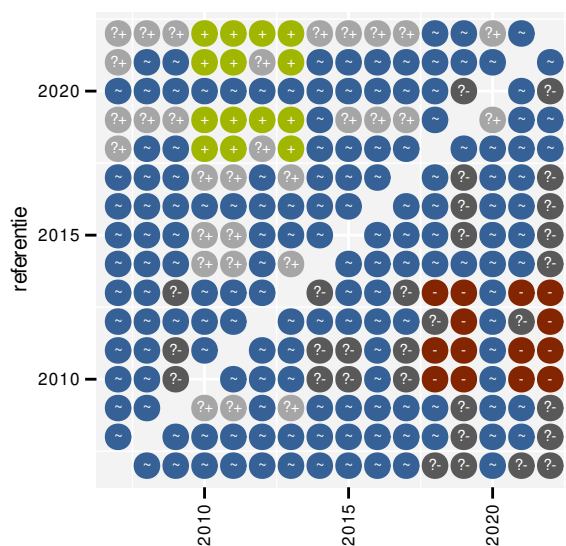
Figuur 82.3: Wijzigingen tussen jaren voor Scholekster. Zie §3.1 voor een verklaring van de intervallen en §3.2 voor uitleg over de symbolen en referentielijnen.



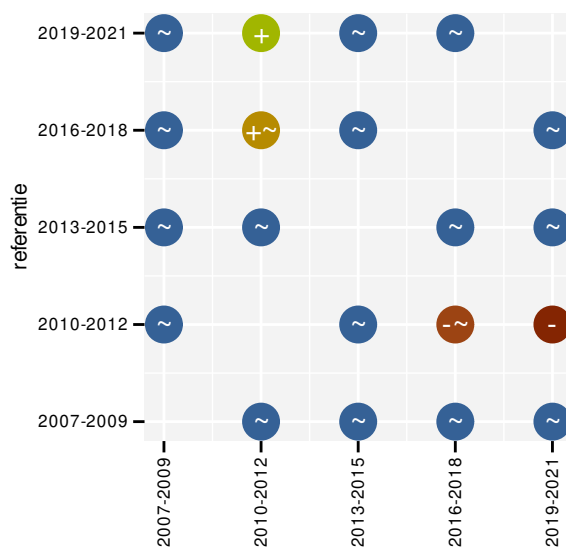
Figuur 82.4: Wijzigingen per driejarige cyclus voor Scholekster. Zie §3.1 voor een verklaring van de intervallen en §3.2 voor uitleg over de symbolen en referentielijnen.

Tabel 82.1: Stratumgewicht, raming van het aantal hokken waarin de soort aanwezig is, aantal relevante hokken voor de analyse, aantal onderzochte hokken in het stratum, totaal aantal hokken van het stratum in Vlaanderen, aantal bezoeken aan een meetpunt en het gemiddeld aandeel relevante punten per hok voor Scholekster (zie §2.5).

stratum	gewicht	aanwezig	relevant	onderzocht	totaal	bezoeken	punten
Landbouw	94.4%	2108.5	144	431	6311	7221	67.2%
Suburbaan	1.9%	44.3	15	68	201	544	53.3%
Moeras en water	1.7%	37.7	22	80	137	1068	65.9%
Urbaan	0.9%	23.9	5	87	416	167	40.0%
Heide en duin	0.9%	21.2	10	94	199	501	50.0%
Bos	0.4%	10.1	6	190	319	256	44.4%



Figuur 82.5: Paarsgewijze vergelijking tussen jaren voor Scholekster. Uitleg van de symbolen in tabel 3.1.



Figuur 82.6: Paarsgewijze vergelijking tussen driejarige cycli voor Scholekster. Uitleg van de symbolen in tabel 3.1.

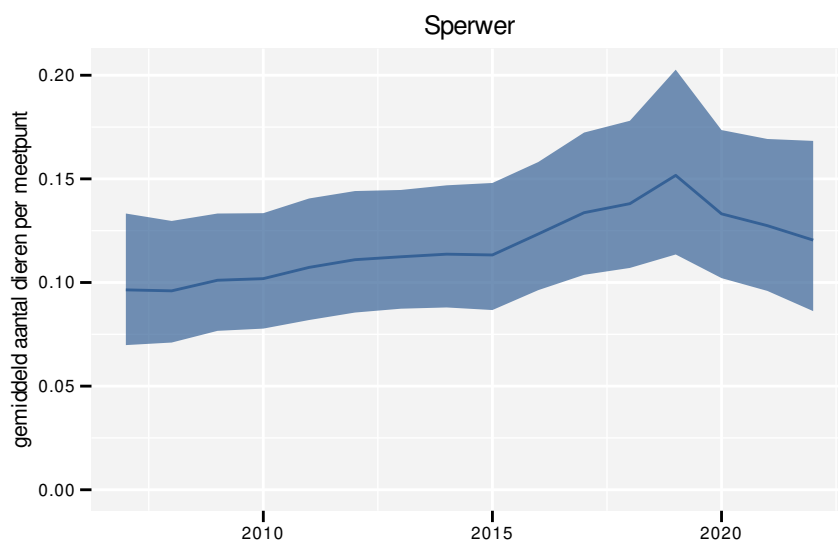
Tabel 82.2: Data-hashes van de analyses in het kader van traceerbaarheid (zie §4.3).

frequentie	model	analyse	status
jaarlijks	niet-lineair	38b1287c2496ba6871d3 ef15f8da02f869852174	f0346b40e783ab965d80 4e0f10e6b07ac2ae0e59
jaarlijks	lineair	a54909d6d87ce083a971 1abdf7a57d2352a7df53	8f2c52778c046c7f953b f50091fa5720c6d935f2
driejaarlijks	niet-lineair	fa9706b2749de32a4fb0 25d236343a70898ff186	5fd280414a2f8582251b 59862a54c19c68c7c22b
driejaarlijks	lineair	e8c3f885045a5b1ff151 a63dac433a552e7e5f26	ffbf1abf7f9e8c628fe7 8b9462ed23b104b8efce

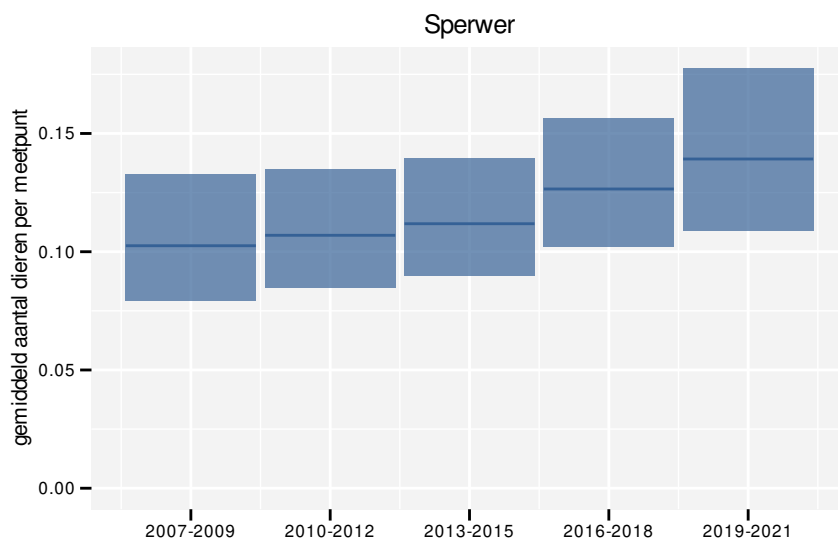
83 SPERWER

Op basis van jaarlijkse gegevens zien we gemiddeld een toename met +2.8% (+0.1%; +5.7%) per jaar of +52% (+1%; +129%) over de volledige looptijd van het meetnet. Deze trend is niet-lineair.

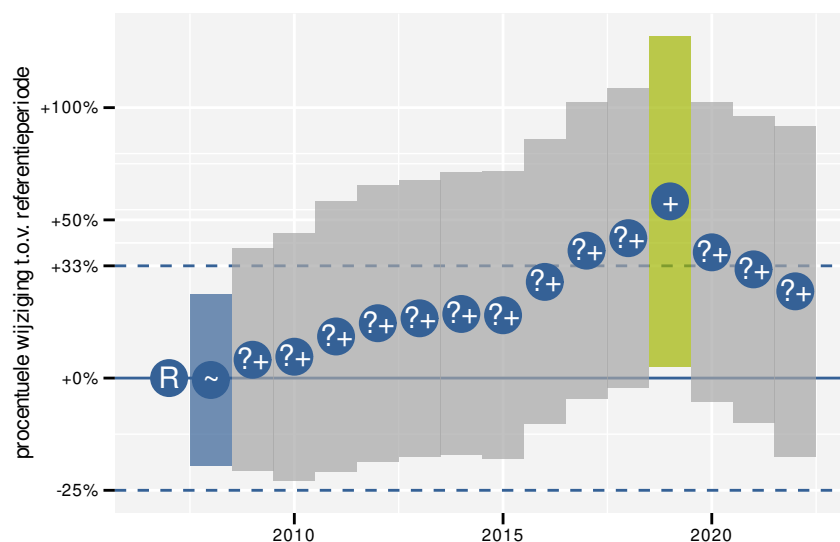
Op basis van driejaarlijkse gegevens zien we gemiddeld een toename met +3.1% (+0.4%; +6.0%) per jaar of +59% (+6%; +139%) over de volledige looptijd van het meetnet. Deze trend is niet-lineair.



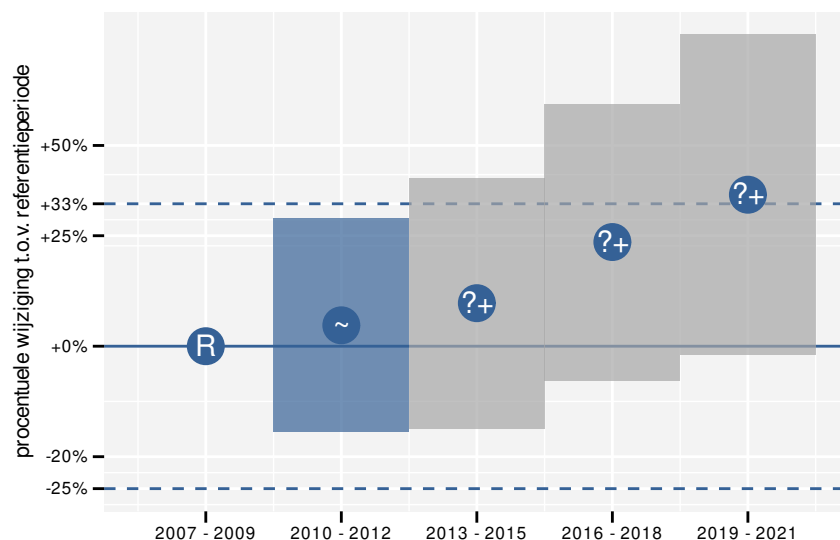
Figuur 83.1: Evolutie van het gemodelleerde gemiddeld aantal waargenomen dieren op een meetpunt voor Sperwer tijdens de referentieperiode. Zie §3.1 voor een verklaring van de intervallen.



Figuur 83.2: Evolutie van het gemodelleerde gemiddeld aantal waargenomen dieren op een meetpunt voor Sperwer tijdens de referentieperiode. Zie §3.1 voor een verklaring van de intervallen.



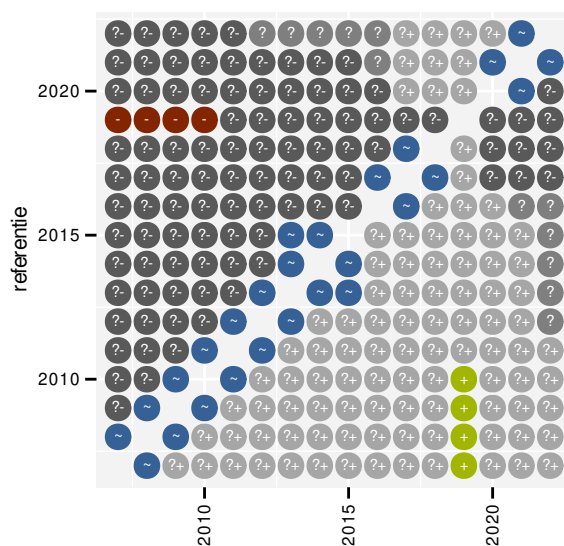
Figuur 83.3: Wijzigingen tussen jaren voor Sperwer. Zie §3.1 voor een verklaring van de intervallen en §3.2 voor uitleg over de symbolen en referentielijnen.



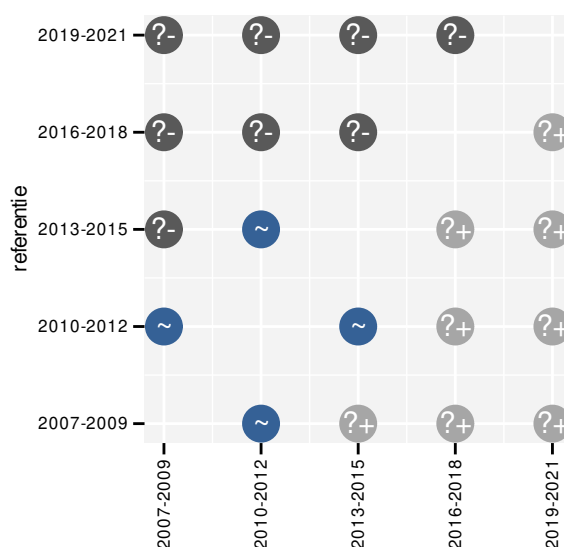
Figuur 83.4: Wijzigingen per driejarige cyclus voor Sperwer. Zie §3.1 voor een verklaring van de intervallen en §3.2 voor uitleg over de symbolen en referentielijnen.

Tabel 83.1: Stratumgewicht, raming van het aantal hokken waarin de soort aanwezig is, aantal relevante hokken voor de analyse, aantal onderzochte hokken in het stratum, totaal aantal hokken van het stratum in Vlaanderen, aantal bezoeken aan een meetpunt en het gemiddeld aandeel relevante punten per hok voor Sperwer (zie §2.5).

stratum	gewicht	aanwezig	relevant	onderzocht	totaal	bezoeken	punten
Landbouw	86.4%	600.4	41	431	6311	1351	38.6%
Urbaan	4.8%	33.5	7	87	416	165	31.0%
Bos	3.4%	23.5	14	190	319	571	44.0%
Heide en duin	2.1%	16.9	8	94	199	155	29.2%
Moeras en water	2.0%	15.4	9	80	137	311	46.3%
Suburbaan	1.3%	11.8	4	68	201	92	33.3%



Figuur 83.5: Paarsgewijze vergelijking tussen jaren voor Sperwer. Uitleg van de symbolen in tabel 3.1.



Figuur 83.6: Paarsgewijze vergelijking tussen driejarige cycli voor Sperwer. Uitleg van de symbolen in tabel 3.1.

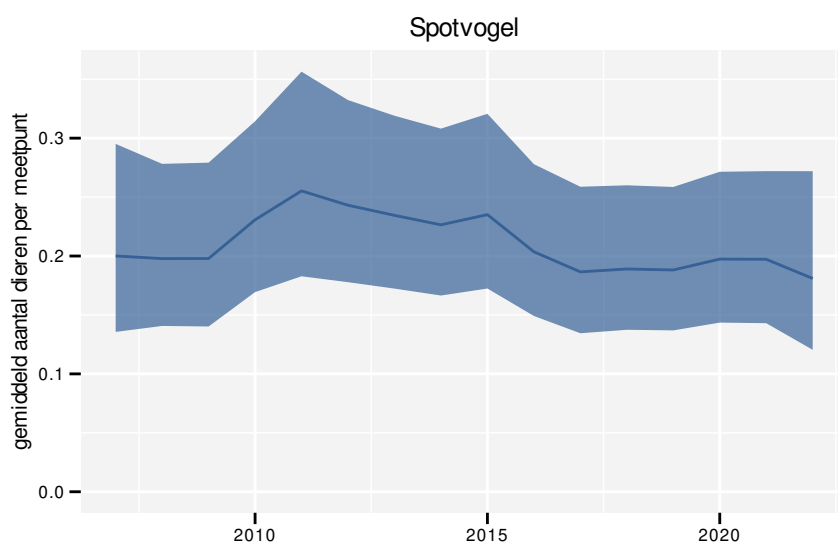
Tabel 83.2: Data-hashes van de analyses in het kader van traceerbaarheid (zie §4.3).

frequentie	model	analyse	status
jaarlijks	niet-lineair	3e6e9f41739e7bfa4d7 f1dcecb4b2fed6dce33a	2a2aff8f9f717d57d91b 67d0fbd7df8a79d10faa
jaarlijks	lineair	8b287342d84fd88eb160 43496f3d5c30f4b820fc	656689156fcbf4f796ca ddbccd83082015734f1a
driejaarlijks	niet-lineair	6230fec3d8c6e7864271 69056dea5f8aaba93575	fd957db2a521694dda8c 3b7b799213de70c31b41
driejaarlijks	lineair	8165ed1a8e444a679ac4 5b3cddb7cbe288273c7d	9272928c21a6e307256b 05eed1ff69403cbff68a

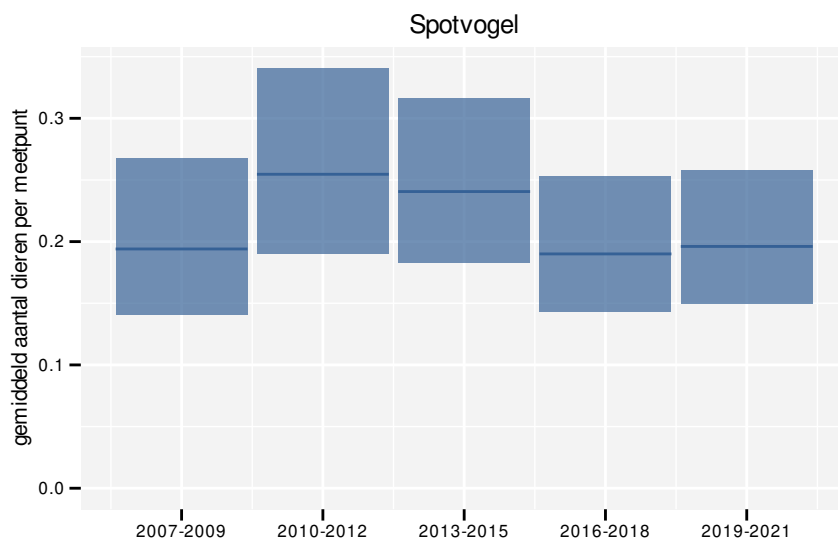
84 SPOTVOGEL

Op basis van jaarlijkse gegevens zien we gemiddeld een mogelijke afname met -1.5% (-4.6%; +1.6%) per jaar of -21% (-51%; +28%) over de volledige looptijd van het meetnet. Deze trend is niet-lineair.

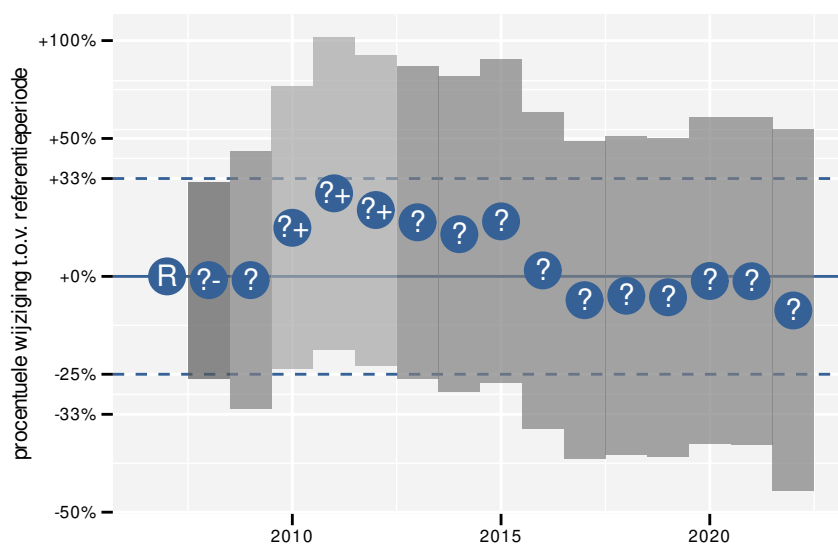
Op basis van driejaarlijkse gegevens zien we gemiddeld een mogelijke afname met -1.9% (-5.0%; +1.3%) per jaar of -25% (-53%; +22%) over de volledige looptijd van het meetnet. Deze trend is niet-lineair.



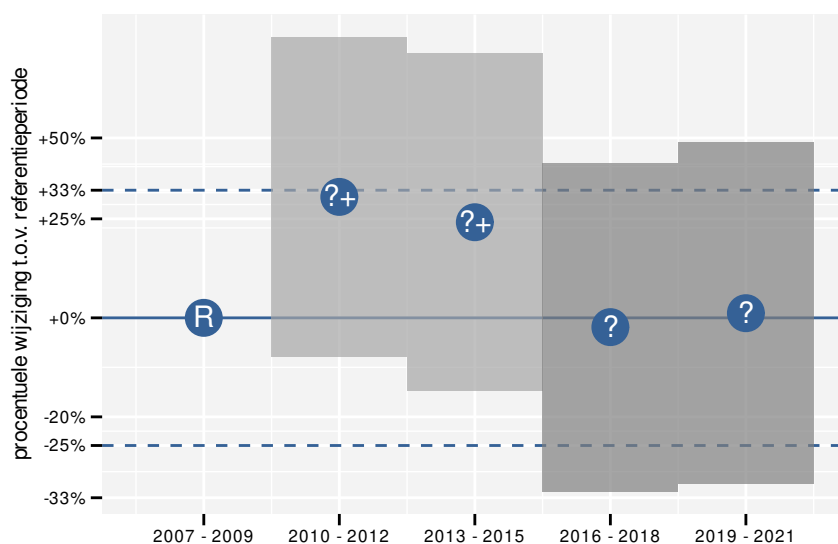
Figuur 84.1: Evolutie van het gemodelleerde gemiddeld aantal waargenomen dieren op een meetpunt voor Spotvogel tijdens de referentieperiode. Zie §3.1 voor een verklaring van de intervallen.



Figuur 84.2: Evolutie van het gemodelleerde gemiddeld aantal waargenomen dieren op een meetpunt voor Spotvogel tijdens de referentieperiode. Zie §3.1 voor een verklaring van de intervallen.



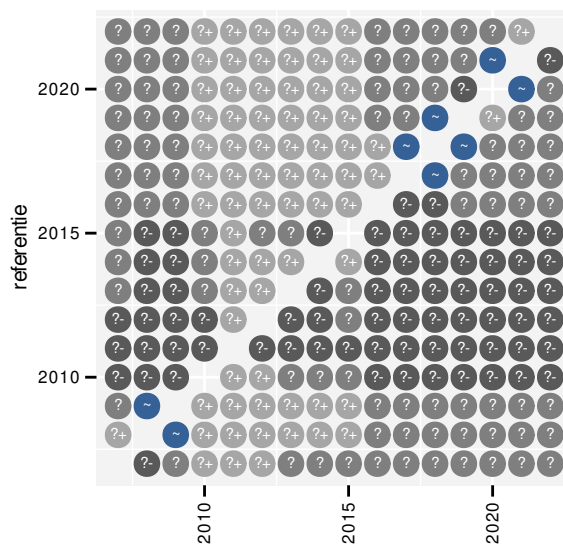
Figuur 84.3: Wijzigingen tussen jaren voor Spotvogel. Zie §3.1 voor een verklaring van de intervallen en §3.2 voor uitleg over de symbolen en referentielijnen.



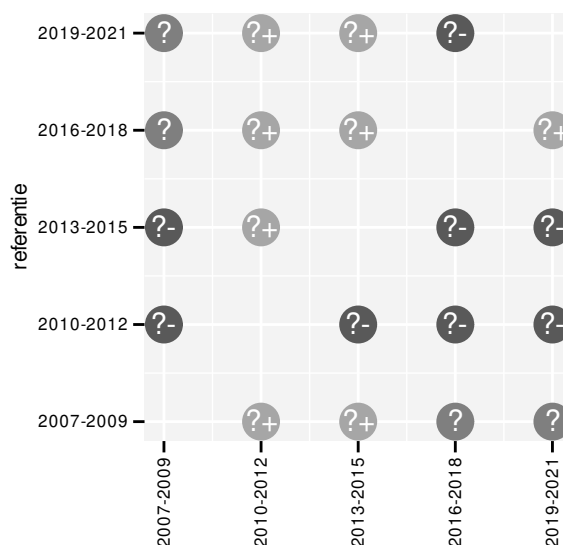
Figuur 84.4: Wijzigingen per driejarige cyclus voor Spotvogel. Zie §3.1 voor een verklaring van de intervallen en §3.2 voor uitleg over de symbolen en referentielijnen.

Tabel 84.1: Stratumgewicht, raming van het aantal hokken waarin de soort aanwezig is, aantal relevante hokken voor de analyse, aantal onderzochte hokken in het stratum, totaal aantal hokken van het stratum in Vlaanderen, aantal bezoeken aan een meetpunt en het gemiddeld aandeel relevante punten per hok voor Spotvogel (zie §2.5).

stratum	gewicht	aanwezig	relevant	onderzocht	totaal	bezoeken	punten
Landbouw	95.8%	497.9	34	431	6311	608	36.3%
Heide en duin	3.3%	19.1	9	94	199	148	33.3%
Moeras en water	1.0%	6.8	4	80	137	66	29.2%



Figuur 84.5: Paarsgewijze vergelijking tussen jaren voor Spotvogel. Uitleg van de symbolen in tabel 3.1.



Figuur 84.6: Paarsgewijze vergelijking tussen driejarige cycli voor Spotvogel. Uitleg van de symbolen in tabel 3.1.

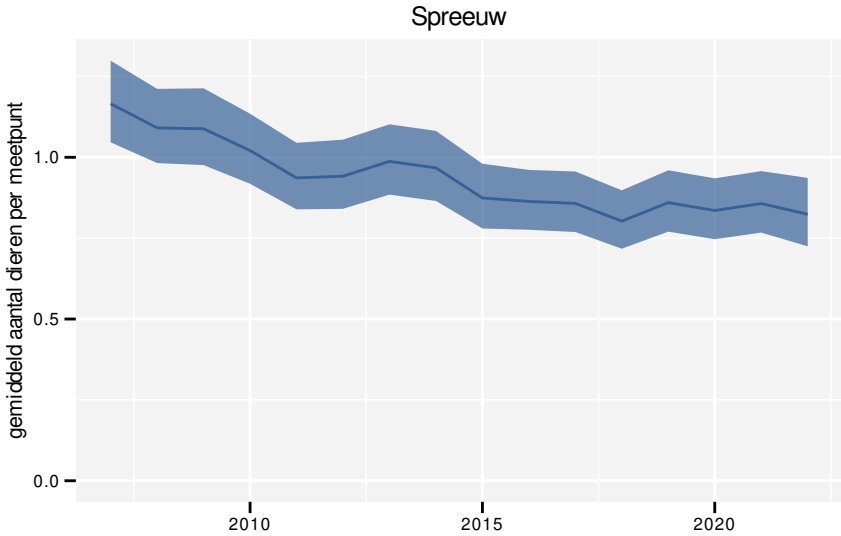
Tabel 84.2: Data-hashes van de analyses in het kader van traceerbaarheid (zie §4.3).

frequentie	model	analyse	status
jaarlijks	niet-lineair	05126b907b0899f8d71c	780cd5838740d894ceb6
		99b28ad84117c2cb9edb	1061e0b02198aa5ac78c
jaarlijks	lineair	342382a5b2402fc84301	67d3468c02a0a10c0ce6
		1b7cbba3366ecacf92e2	f23fa87c81b44041c6a9
driejaarlijks	niet-lineair	c3dac6c14a8d8530aa61	7cad4e2ca0dca279ad4c
		355ba10621dc954d54e5	104343c4992c58632bda
driejaarlijks	lineair	613ad923533299afd8ed	76a07ab359187ff6d6b9
		60217868db6c38c01a49	b51df5fd1f4bdb34cd8b

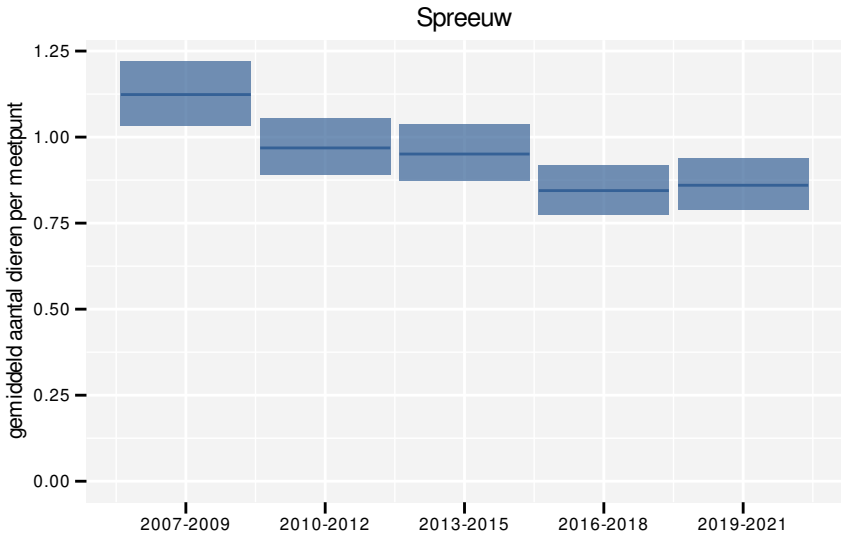
85 SPREEUW

Op basis van jaarlijkse gegevens zien we gemiddeld een afname met -2.3% (-2.9%; -1.7%) per jaar of -30% (-36%; -23%) over de volledige looptijd van het meetnet. Deze trend is lineair.

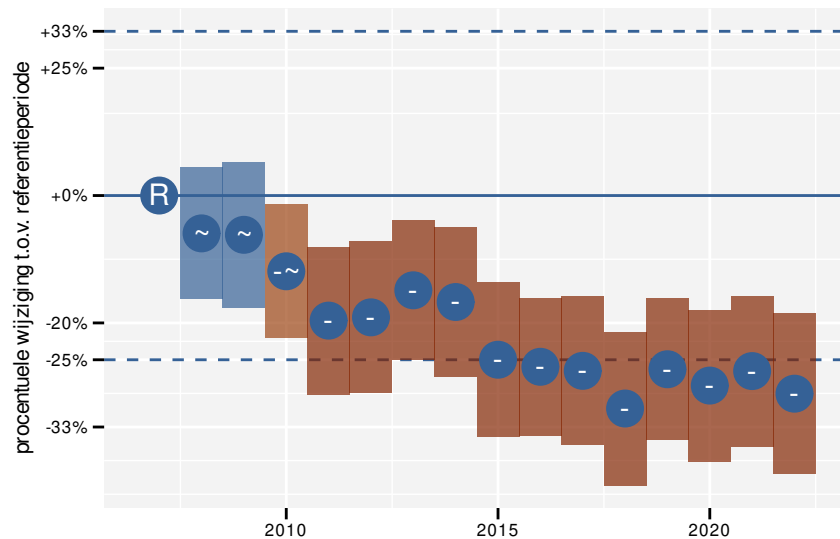
Op basis van driejaarlijkse gegevens zien we gemiddeld een afname met -2.3% (-2.9%; -1.7%) per jaar of -29% (-35%; -23%) over de volledige looptijd van het meetnet. Deze trend is lineair.



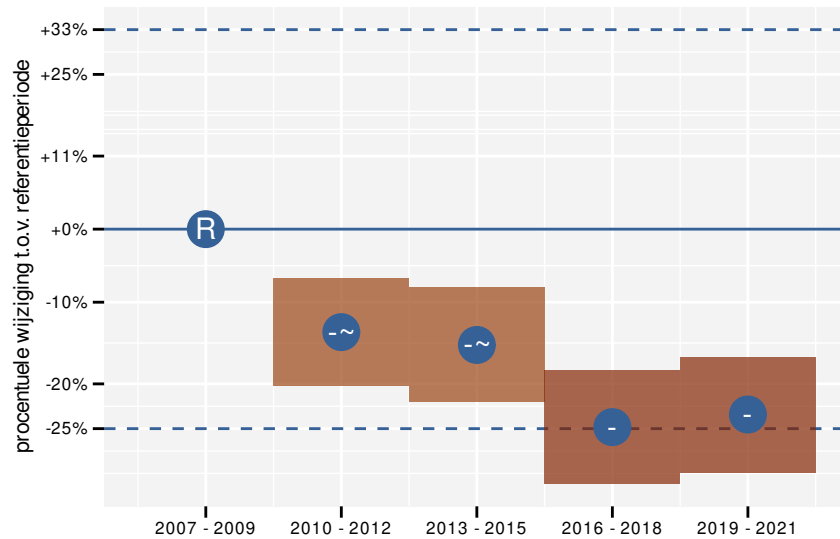
Figuur 85.1: Evolutie van het gemodelleerde gemiddeld aantal waargenomen dieren op een meetpunt voor Spreeuw tijdens de referentieperiode. Zie §3.1 voor een verklaring van de intervallen.



Figuur 85.2: Evolutie van het gemodelleerde gemiddeld aantal waargenomen dieren op een meetpunt voor Spreeuw tijdens de referentieperiode. Zie §3.1 voor een verklaring van de intervallen.



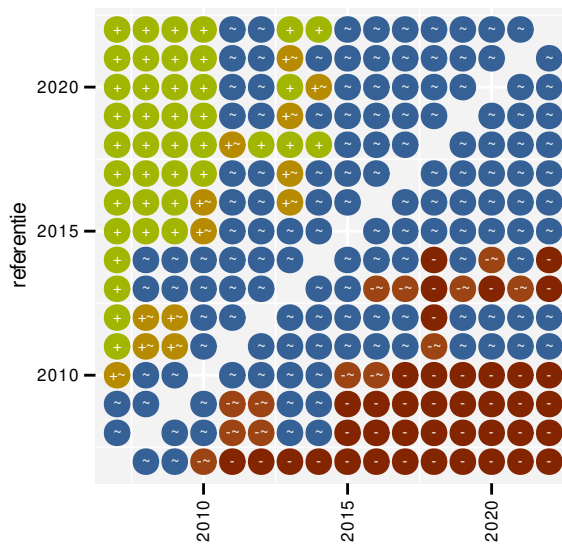
Figuur 85.3: Wijzigingen tussen jaren voor Spreeuw. Zie §3.1 voor een verklaring van de intervallen en §3.2 voor uitleg over de symbolen en referentielijnen.



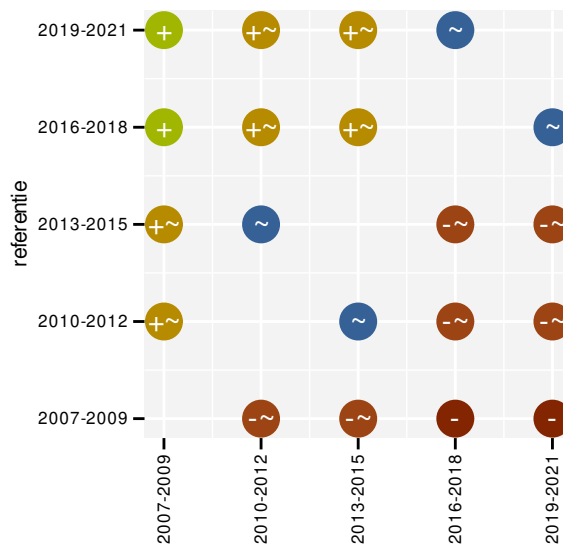
Figuur 85.4: Wijzigingen per driejarige cyclus voor Spreeuw. Zie §3.1 voor een verklaring van de intervallen en §3.2 voor uitleg over de symbolen en referentielijnen.

Tabel 85.1: Stratumgewicht, raming van het aantal hokken waarin de soort aanwezig is, aantal relevante hokken voor de analyse, aantal onderzochte hokken in het stratum, totaal aantal hokken van het stratum in Vlaanderen, aantal bezoeken aan een meetpunt en het gemiddeld aandeel relevante punten per hok voor Spreeuw (zie §2.5).

stratum	gewicht	aanwezig	relevant	onderzocht	totaal	bezoeken	punten
Landbouw	88.2%	4802.8	328	431	6311	19138	84.1%
Urbaan	5.5%	301.2	63	87	416	3747	87.3%
Suburbaan	2.3%	124.1	42	68	201	2258	78.6%
Heide en duin	1.5%	82.6	39	94	199	1833	62.0%
Moeras en water	1.4%	75.3	44	80	137	2221	68.6%
Bos	1.1%	60.4	36	190	319	1512	56.5%



Figuur 85.5: Paarsgewijze vergelijking tussen jaren voor Spreeuw. Uitleg van de symbolen in tabel 3.1.



Figuur 85.6: Paarsgewijze vergelijking tussen driejarige cycli voor Spreeuw. Uitleg van de symbolen in tabel 3.1.

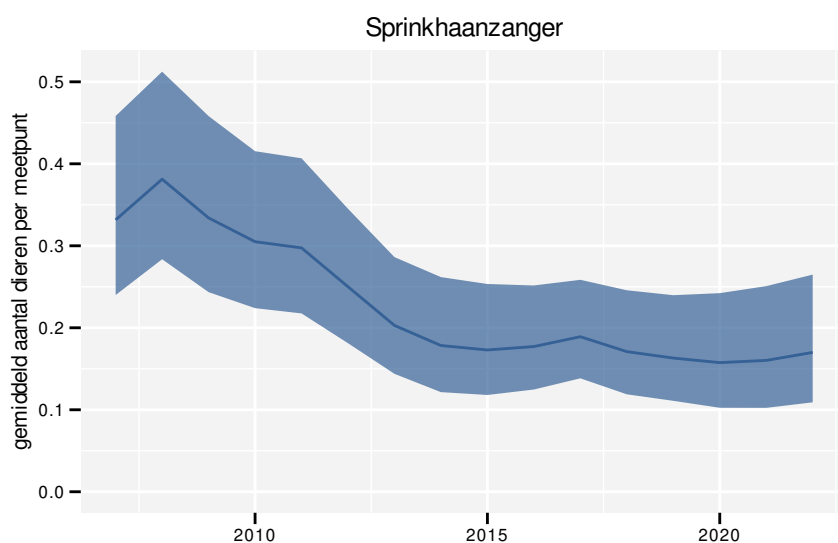
Tabel 85.2: Data-hashes van de analyses in het kader van traceerbaarheid (zie §4.3).

frequentie	model	analyse	status
jaarlijks	niet-lineair	8d495948b86d114492d9	50642ac559c4ee1bdfef
jaarlijks	lineair	8c8403c73870d1a8ff8b	28715c5914fbef53f0a9
jaarlijks	lineair	f5859f6e2858a3761cca	d3350941025380795e39
jaarlijks	lineair	8ae14165476b5fe78d43	0af453b4905e954143f5
driejaarlijks	niet-lineair	503aadfbdbd89e8575e82	733d5acd3fe9c6fa8792
driejaarlijks	niet-lineair	183e95ea35a763720313	232fcc801ba8829a701c
driejaarlijks	lineair	e90382a2ab6b3a48f103	5e1a14027a14a88ece00
driejaarlijks	lineair	b388bfccf519ba697088	39f52b5fb62e6dbf3199

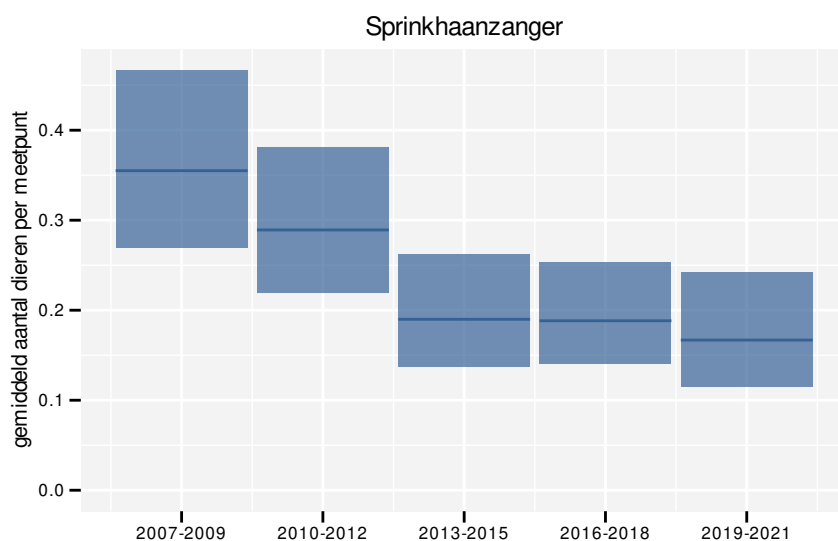
86 SPRINKHAANZANGER

Op basis van jaarlijkse gegevens zien we gemiddeld een sterke afname met -8.59% (-11.53%; -5.55%) per jaar of -74% (-84%; -58%) over de volledige looptijd van het meetnet. Deze trend is lineair.

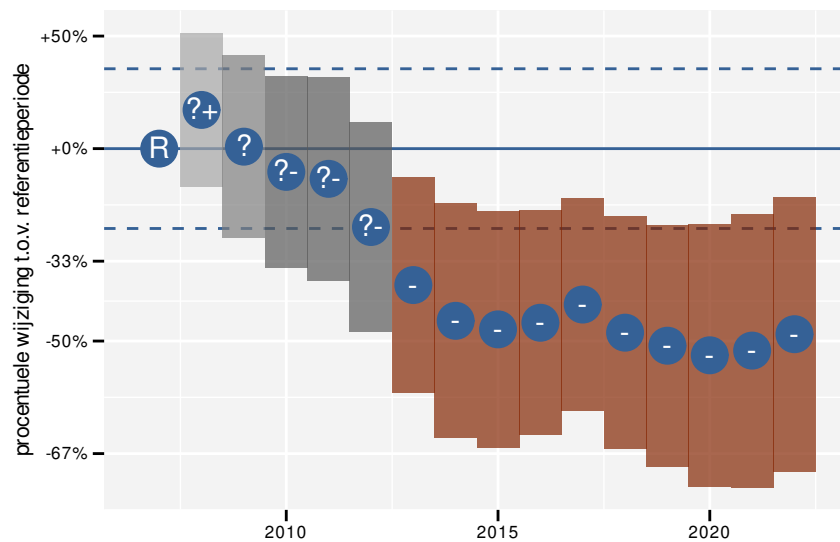
Op basis van driejaarlijkse gegevens zien we gemiddeld een sterke afname met -9.15% (-12.15%; -6.05%) per jaar of -76% (-86%; -61%) over de volledige looptijd van het meetnet. Deze trend is lineair.



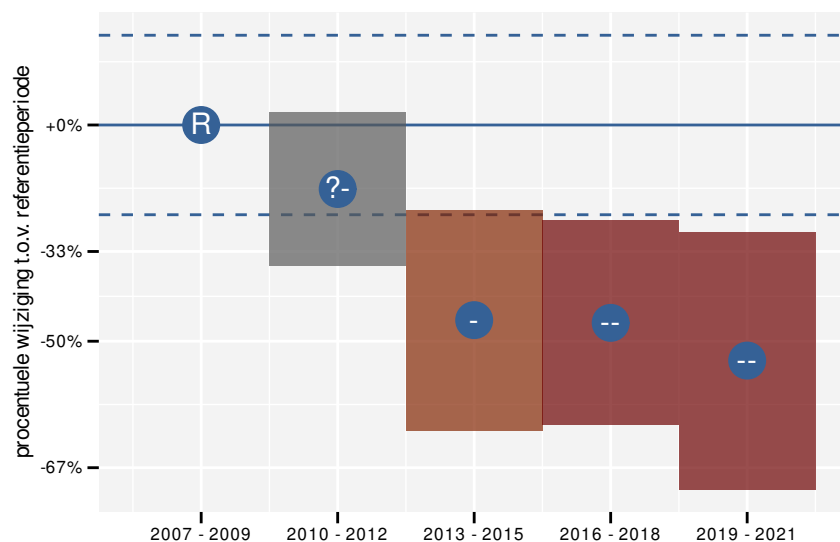
Figuur 86.1: Evolutie van het gemodelleerde gemiddeld aantal waargenomen dieren op een meetpunt voor Sprinkhaanzanger tijdens de referentieperiode. Zie §3.1 voor een verklaring van de intervallen.



Figuur 86.2: Evolutie van het gemodelleerde gemiddeld aantal waargenomen dieren op een meetpunt voor Sprinkhaanzanger tijdens de referentieperiode. Zie §3.1 voor een verklaring van de intervallen.



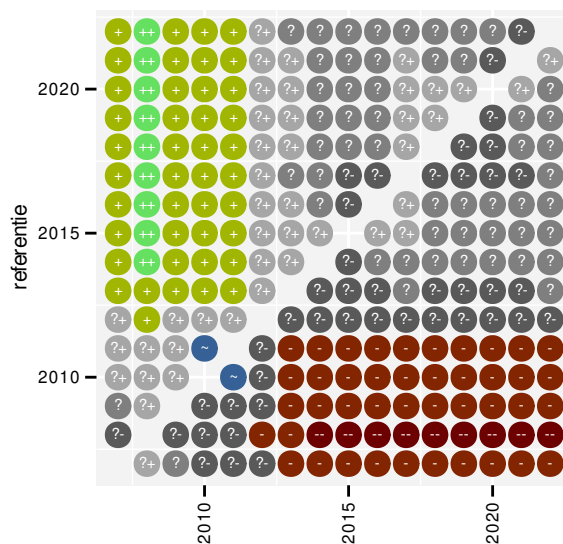
Figuur 86.3: Wijzigingen tussen jaren voor Sprinkhaanzanger. Zie §3.1 voor een verklaring van de intervallen en §3.2 voor uitleg over de symbolen en referentielijnen.



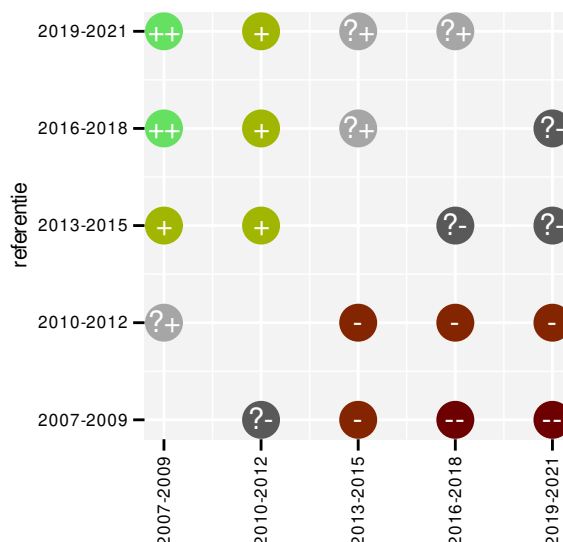
Figuur 86.4: Wijzigingen per driejarige cyclus voor Sprinkhaanzanger. Zie §3.1 voor een verklaring van de intervallen en §3.2 voor uitleg over de symbolen en referentielijnen.

Tabel 86.1: Stratumgewicht, raming van het aantal hokken waarin de soort aanwezig is, aantal relevante hokken voor de analyse, aantal onderzochte hokken in het stratum, totaal aantal hokken van het stratum in Vlaanderen, aantal bezoeken aan een meetpunt en het gemiddeld aandeel relevante punten per hok voor Sprinkhaanzanger (zie §2.5).

stratum	gewicht	aanwezig	relevant	onderzocht	totaal	bezoeken	punten
Heide en duin	62.4%	31.8	15	94	199	455	48.9%
Moeras en water	20.2%	12.0	7	80	137	197	38.1%
Suburbaan	17.4%	11.8	4	68	201	105	41.7%



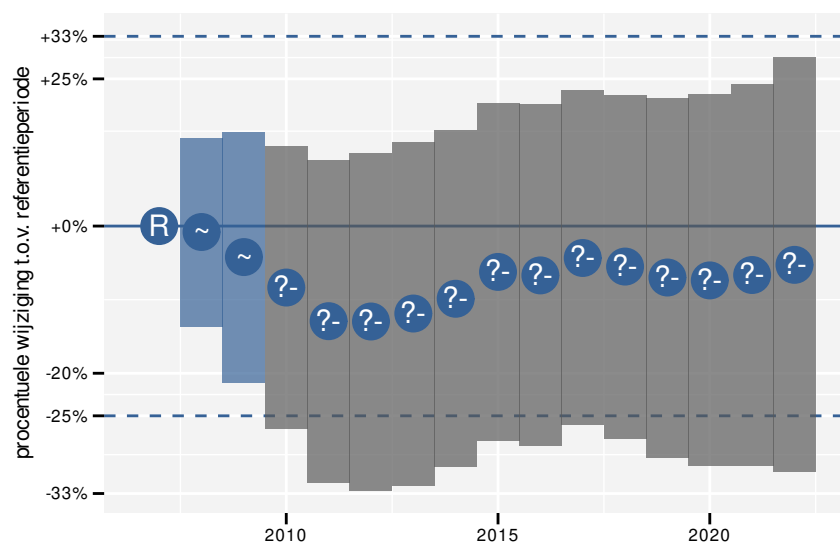
Figuur 86.5: Paarsgewijze vergelijking tussen jaren voor Sprinkhaanzanger. Uitleg van de symbolen in tabel 3.1.



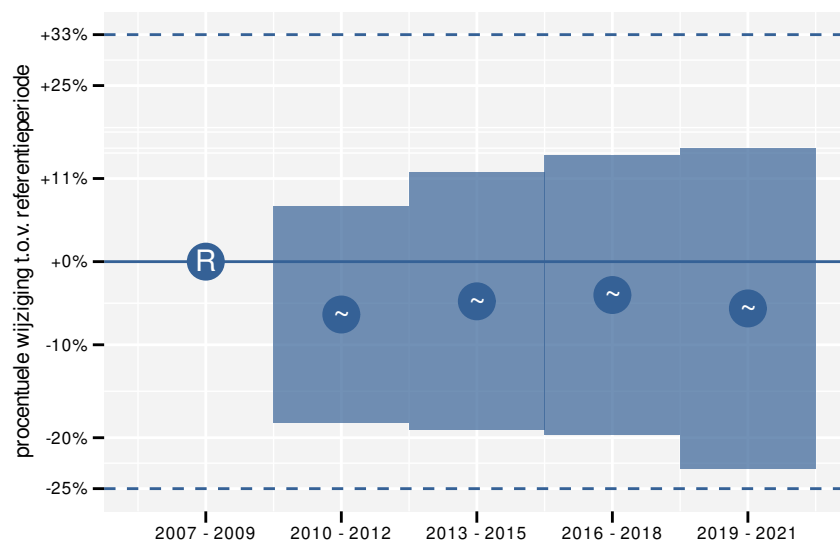
Figuur 86.6: Paarsgewijze vergelijking tussen driejarige cycli voor Sprinkhaanzanger. Uitleg van de symbolen in tabel 3.1.

Tabel 86.2: Data-hashes van de analyses in het kader van traceerbaarheid (zie §4.3).

frequentie	model	analyse	status
jaarlijks	niet-lineair	7f3dfe727ce7331b6930	0460254145bd87760649
		2c303ddb9b9337ffdb82	f2802267f606fd7c7842
jaarlijks	lineair	7de91e719b3776266f38	5028541633308cee921b
		97add39501494316d42c	7ee46f1337ae973d5071
driejaarlijks	niet-lineair	a829cdac60f4d983a566	4f899b8a3f0ffd87e822
		0598f4152362b1b58b3a	d90bbde337823f084d3b
driejaarlijks	lineair	a5d46f004e60dae27272	2cf5b772ab39cf2d2624
		ad4d5e73cd4595ea8b70	a3c457143a613de5e188



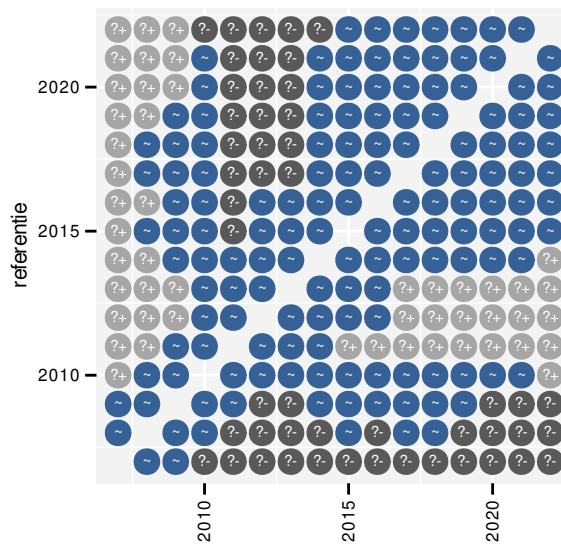
Figuur 87.3: Wijzigingen tussen jaren voor Staartmees. Zie §3.1 voor een verklaring van de intervallen en §3.2 voor uitleg over de symbolen en referentielijnen.



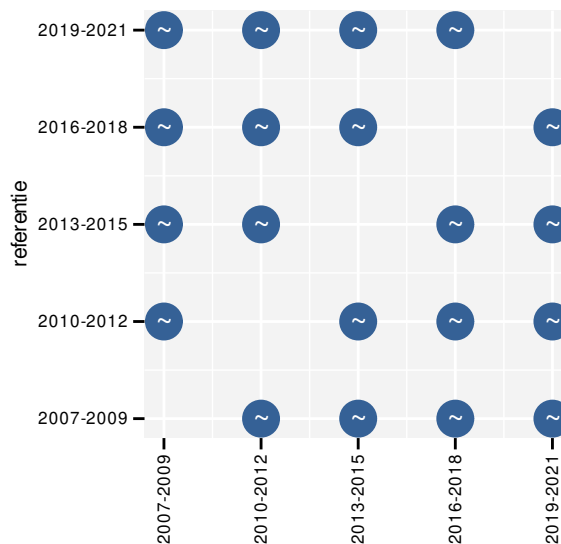
Figuur 87.4: Wijzigingen per driejarige cyclus voor Staartmees. Zie §3.1 voor een verklaring van de intervallen en §3.2 voor uitleg over de symbolen en referentielijnen.

Tabel 87.1: Stratumgewicht, raming van het aantal hokken waarin de soort aanwezig is, aantal relevante hokken voor de analyse, aantal onderzochte hokken in het stratum, totaal aantal hokken van het stratum in Vlaanderen, aantal bezoeken aan een meetpunt en het gemiddeld aandeel relevante punten per hok voor Staartmees (zie §2.5).

stratum	gewicht	aanwezig	relevant	onderzocht	totaal	bezoeken	punten
Landbouw	71.2%	776.1	53	431	6311	1552	34.6%
Bos	8.5%	92.3	55	190	319	2077	45.2%
Urbaan	5.7%	62.2	13	87	416	491	39.7%
Suburbaan	5.4%	59.1	20	68	201	790	49.2%
Heide en duin	4.7%	50.8	24	94	199	896	42.4%
Moeras en water	4.6%	49.7	29	80	137	1258	55.2%



Figuur 87.5: Paarsgewijze vergelijking tussen jaren voor Staartmees. Uitleg van de symbolen in tabel 3.1.



Figuur 87.6: Paarsgewijze vergelijking tussen driejarige cycli voor Staartmees. Uitleg van de symbolen in tabel 3.1.

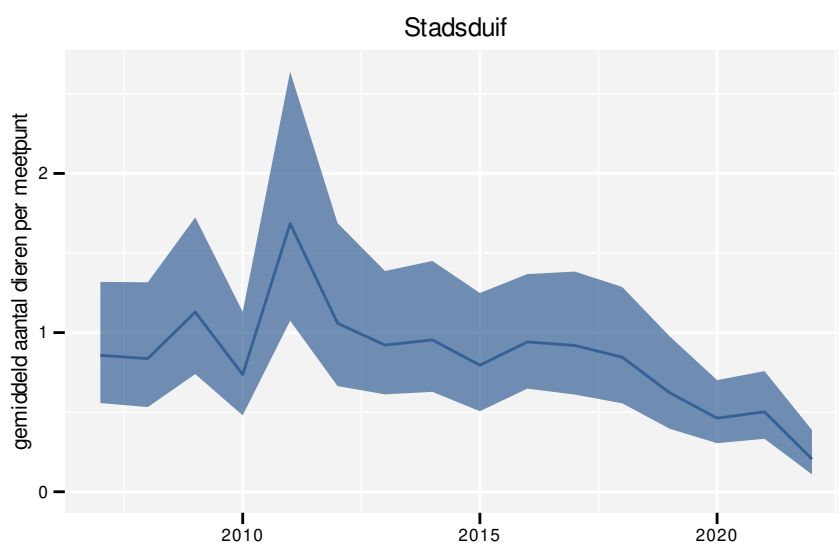
Tabel 87.2: Data-hashes van de analyses in het kader van traceerbaarheid (zie §4.3).

frequentie	model	analyse	status
jaarlijks	niet-lineair	e054e49d4640f32e6cdf	ef4f3d70bf0b83d91b49
		4a967ff7005d90bee78b	08ffb7a8c6be3d01d936
jaarlijks	lineair	cc6bb803d8ec61ff5d2b	11a7f54b07ea5630530a
		f01e3f381740f832df5d	065211d90ba4294ea5c4
driejaarlijks	niet-lineair	fe3598a1226640c76766	f43878cc8f04adcdb46f
		4e8852bab67287805b7c	3910800fc2f2540bcc80
driejaarlijks	lineair	ca3459b06abc6cf5df05	5283d4473a14d647f78a
		4b6f2ae9b34063c6422b	b146258c110252b83bcb

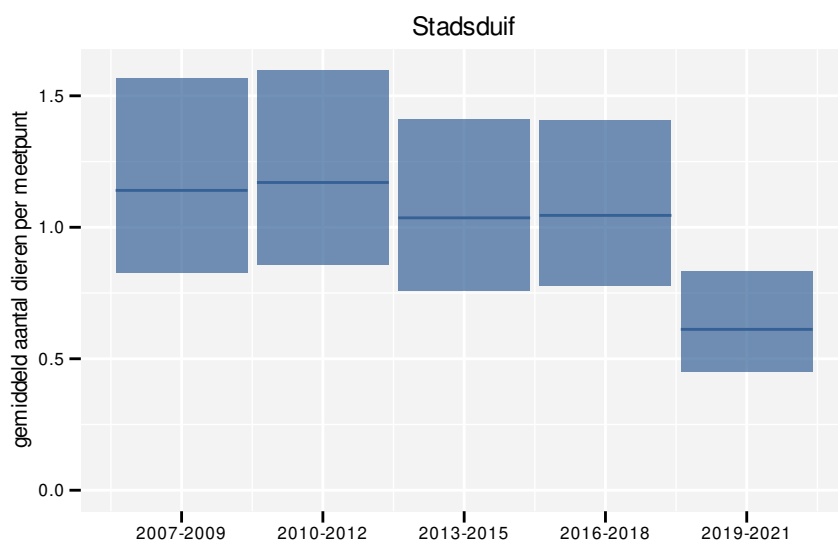
88 STADSDUIF

Op basis van jaarlijkse gegevens zien we gemiddeld een sterke afname met -5.4% (-7.8%; -2.9%) per jaar of -56% (-70%; -36%) over de volledige looptijd van het meetnet. Deze trend is niet-lineair.

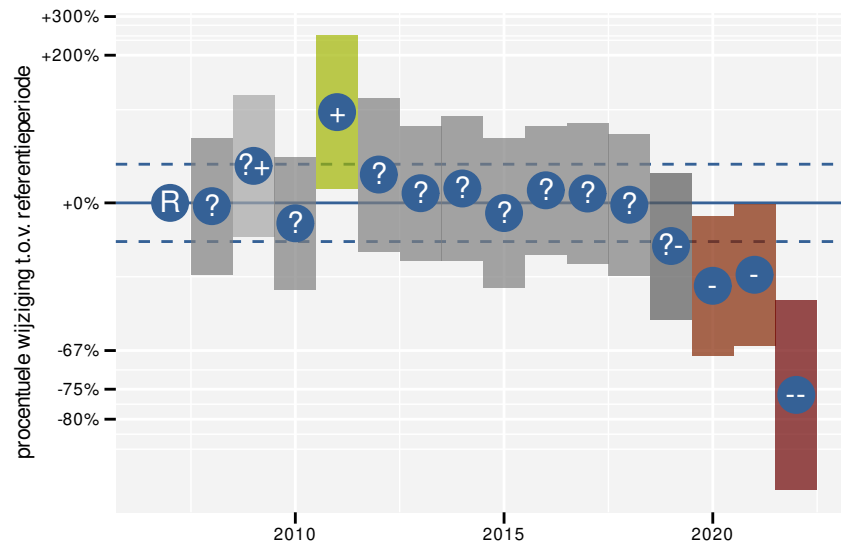
Op basis van driejaarlijkse gegevens zien we gemiddeld een sterke afname met -5.7% (-8.1%; -3.2%) per jaar of -58% (-72%; -38%) over de volledige looptijd van het meetnet. Deze trend is niet-lineair.



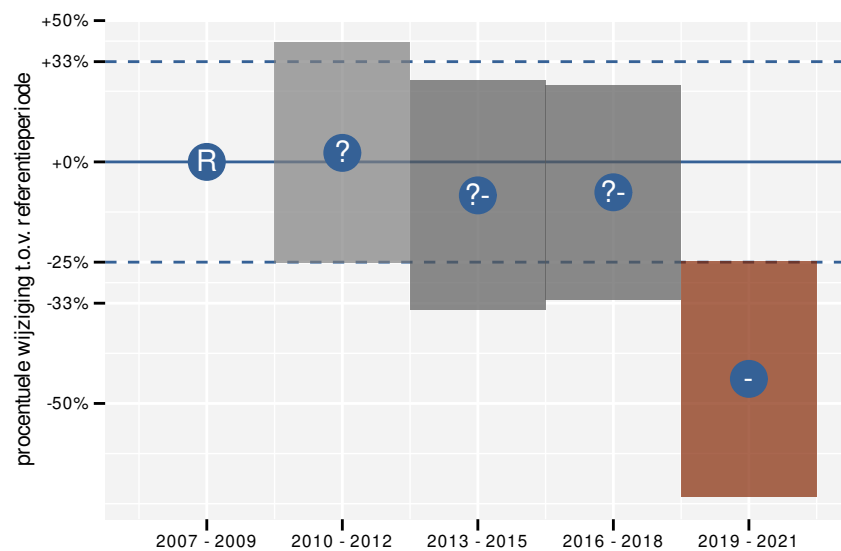
Figuur 88.1: Evolutie van het gemodelleerde gemiddeld aantal waargenomen dieren op een meetpunt voor Stadsduif tijdens de referentieperiode. Zie §3.1 voor een verklaring van de intervallen.



Figuur 88.2: Evolutie van het gemodelleerde gemiddeld aantal waargenomen dieren op een meetpunt voor Stadsduif tijdens de referentieperiode. Zie §3.1 voor een verklaring van de intervallen.



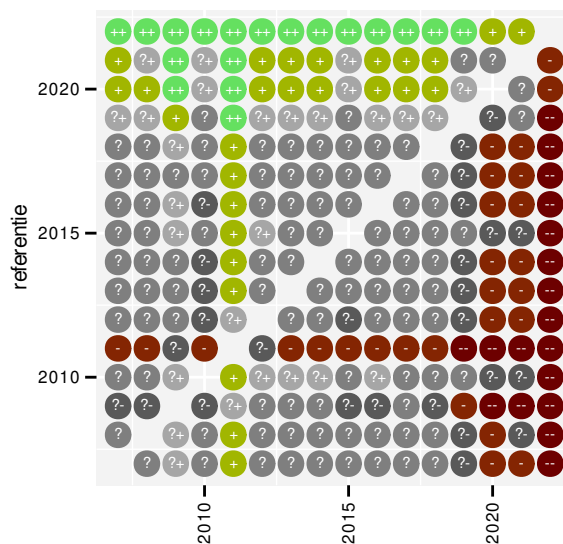
Figuur 88.3: Wijzigingen tussen jaren voor Stadstduif. Zie §3.1 voor een verklaring van de intervallen en §3.2 voor uitleg over de symbolen en referentielijnen.



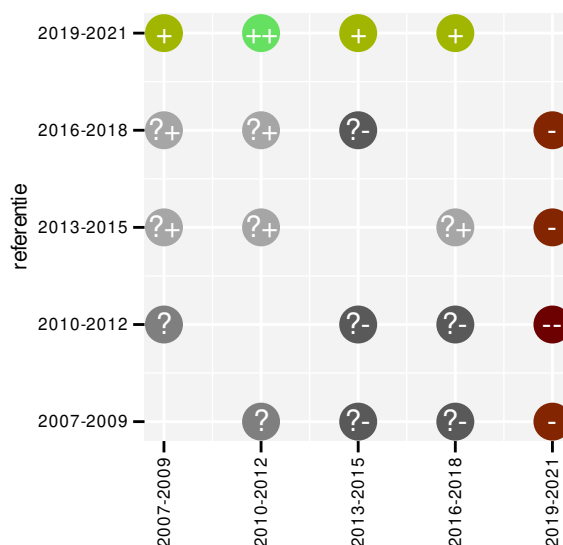
Figuur 88.4: Wijzigingen per driejarige cyclus voor Stadstduif. Zie §3.1 voor een verklaring van de intervallen en §3.2 voor uitleg over de symbolen en referentielijnen.

Tabel 88.1: Stratumgewicht, raming van het aantal hokken waarin de soort aanwezig is, aantal relevante hokken voor de analyse, aantal onderzochte hokken in het stratum, totaal aantal hokken van het stratum in Vlaanderen, aantal bezoeken aan een meetpunt en het gemiddeld aandeel relevante punten per hok voor Stadstduif (zie §2.5).

stratum	gewicht	aanwezig	relevant	onderzocht	totaal	bezoeken	punten
Landbouw	74.3%	468.6	32	431	6311	1550	62.0%
Urbaan	16.7%	105.2	22	87	416	1096	74.2%
Suburbaan	5.2%	35.5	12	68	201	608	66.7%
Moeras en water	2.2%	13.7	8	80	137	401	77.1%
Heide en duin	1.7%	12.7	6	94	199	199	58.3%



Figuur 88.5: Paarsgewijze vergelijking tussen jaren voor Stadskuif. Uitleg van de symbolen in tabel 3.1.



Figuur 88.6: Paarsgewijze vergelijking tussen driejarige cycli voor Stadskuif. Uitleg van de symbolen in tabel 3.1.

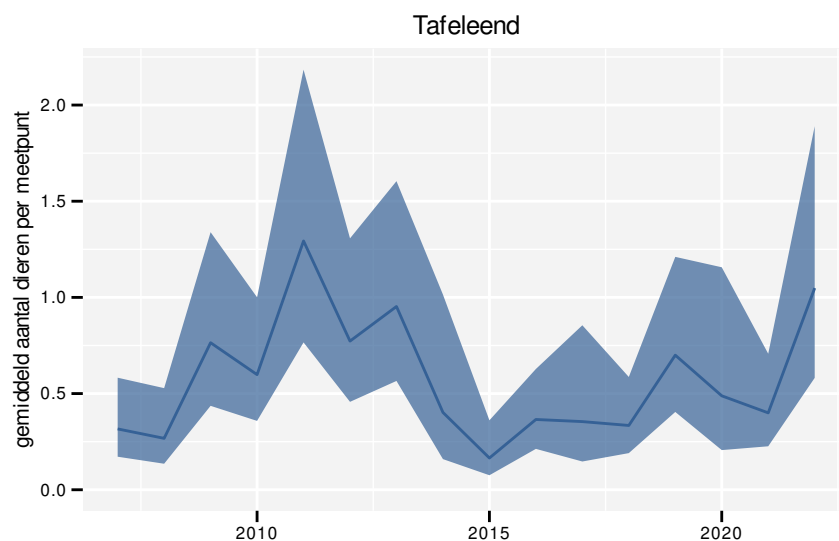
Tabel 88.2: Data-hashes van de analyses in het kader van traceerbaarheid (zie §4.3).

frequentie	model	analyse	status
jaarlijks	niet-lineair	766b2470b090e79960d8 39ffc1cdf47dbb05a536	9ca9cc306d4f1c386885 2682b5d888180f30fd22
jaarlijks	lineair	ee84637deb60444d7d78 c13ed4b43ce8317de936	65cf6aea9509d27107dd f5a520db5cf72899f7d4
driejaarlijks	niet-lineair	5558fe430d0d00532660 ae4d16225c968fd46008	035dbea43d105d7d0315 cb6184721d8974d266a6
driejaarlijks	lineair	31dba93697fd6f7c972b 3cc5f6b12e2ab2ca0f42	2011ae0b9ff11c2bdc4e 7e494c3cd1eb5739c7b3

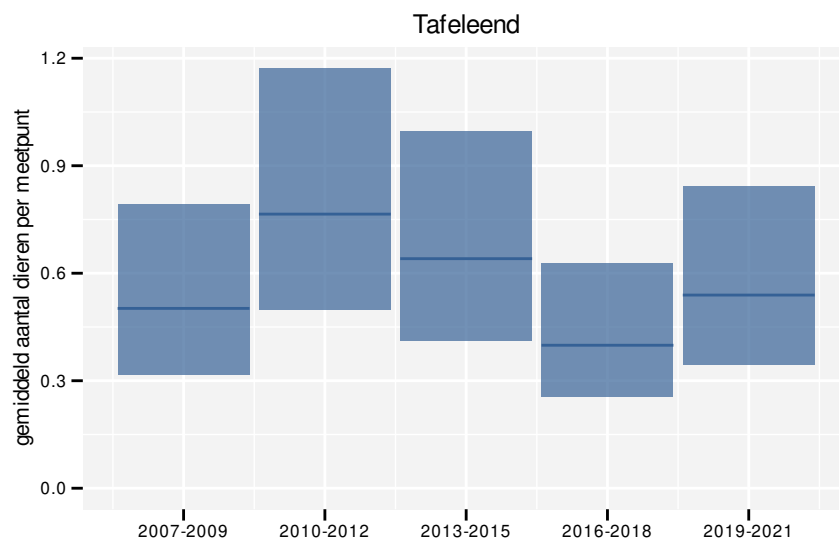
89 TAFELEEND

Op basis van jaarlijkse gegevens zien we gemiddeld een mogelijke toename met +2.6% (-1.3%; +6.7%) per jaar of +48% (-18%; +166%) over de volledige looptijd van het meetnet. Deze trend is niet-lineair.

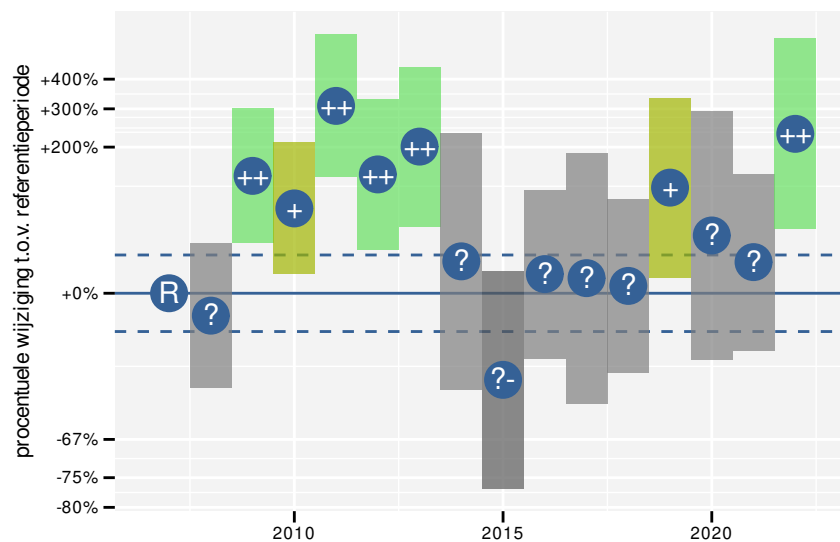
Op basis van driejaarlijkse gegevens zien we gemiddeld een mogelijke toename met +2.3% (-1.4%; +6.1%) per jaar of +40% (-19%; +144%) over de volledige looptijd van het meetnet. Deze trend is niet-lineair.



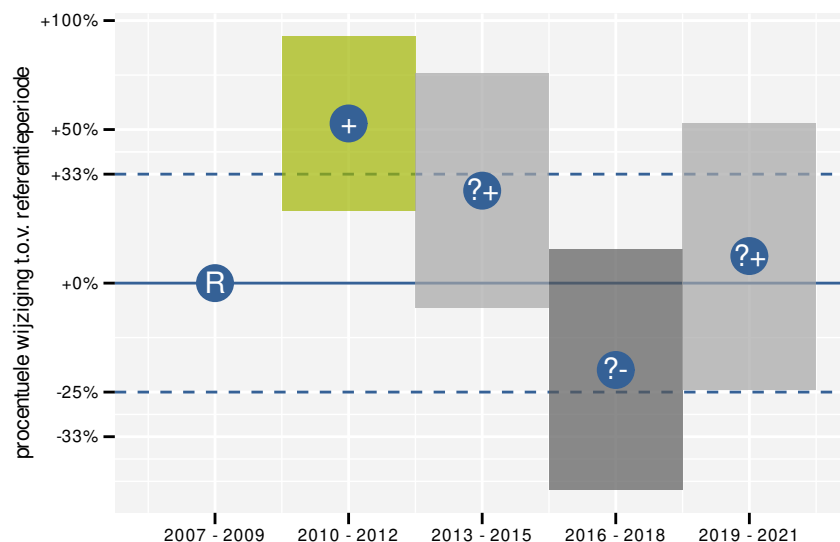
Figuur 89.1: Evoluitie van het gemodelleerde gemiddeld aantal waargenomen dieren op een meetpunt voor Tafeleend tijdens de referentieperiode. Zie §3.1 voor een verklaring van de intervallen.



Figuur 89.2: Evoluitie van het gemodelleerde gemiddeld aantal waargenomen dieren op een meetpunt voor Tafeleend tijdens de referentieperiode. Zie §3.1 voor een verklaring van de intervallen.



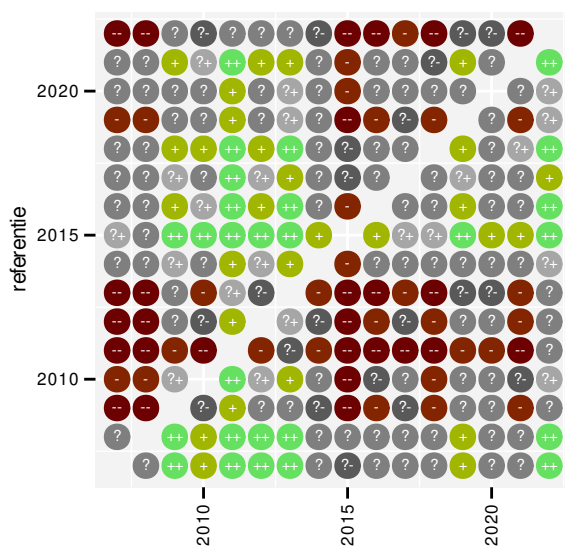
Figuur 89.3: Wijzigingen tussen jaren voor Tafeleend. Zie §3.1 voor een verklaring van de intervallen en §3.2 voor uitleg over de symbolen en referentielijnen.



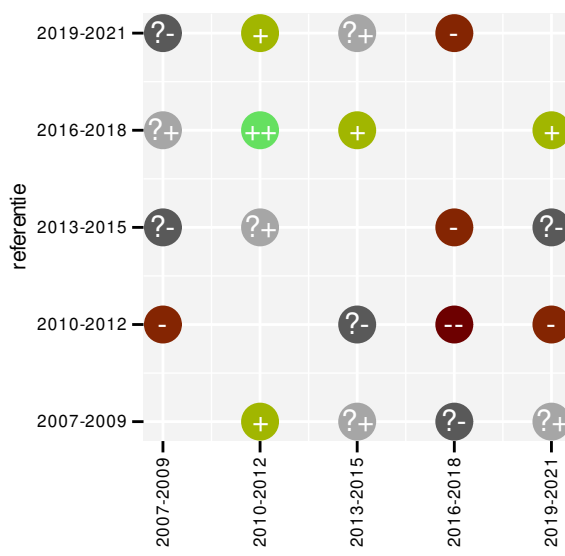
Figuur 89.4: Wijzigingen per driejarige cyclus voor Tafeleend. Zie §3.1 voor een verklaring van de intervallen en §3.2 voor uitleg over de symbolen en referentielijnen.

Tabel 89.1: Stratumgewicht, raming van het aantal hokken waarin de soort aanwezig is, aantal relevante hokken voor de analyse, aantal onderzochte hokken in het stratum, totaal aantal hokken van het stratum in Vlaanderen, aantal bezoeken aan een meetpunt en het gemiddeld aandeel relevante punten per hok voor Tafeleend (zie §2.5).

stratum	gewicht	aanwezig	relevant	onderzocht	totaal	bezoeken	punten
Moeras en water	78.9%	20.6	12	80	137	452	45.8%
Bos	21.1%	6.7	4	190	319	30	16.7%



Figuur 89.5: Paarsgewijze vergelijking tussen jaren voor Tafelend. Uitleg van de symbolen in tabel 3.1.



Figuur 89.6: Paarsgewijze vergelijking tussen driejarige cycli voor Tafelend. Uitleg van de symbolen in tabel 3.1.

Tabel 89.2: Data-hashes van de analyses in het kader van traceerbaarheid (zie §4.3).

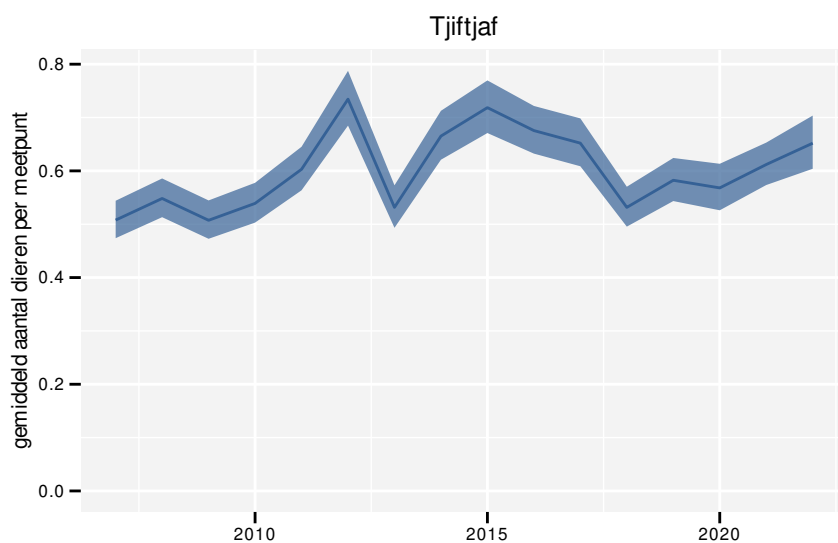
frequentie	model	analyse	status
jaarlijks	niet-lineair	1e69c894454abcd9ec8 eb8a06835794b54e16b1	927afe30fe8d85a41c11 a899c61b8c0ab4e54183
jaarlijks	lineair	cbe568666381228bafc0 48cb927eb337b71426a3	6308e2c8d84a28be1297 d7c5cc010114c678033f
driejaarlijks	niet-lineair	92a19eab12402e837636 7cf15b4d75763b797f16	abb131761d7ee9387520 3bebd5f1891869f53c8d
driejaarlijks	lineair	951a137962a8e9396400 a07701609a7a45d23a0c	a8a2764e5c8eccc77552 546032bd6b0b8cacd35f



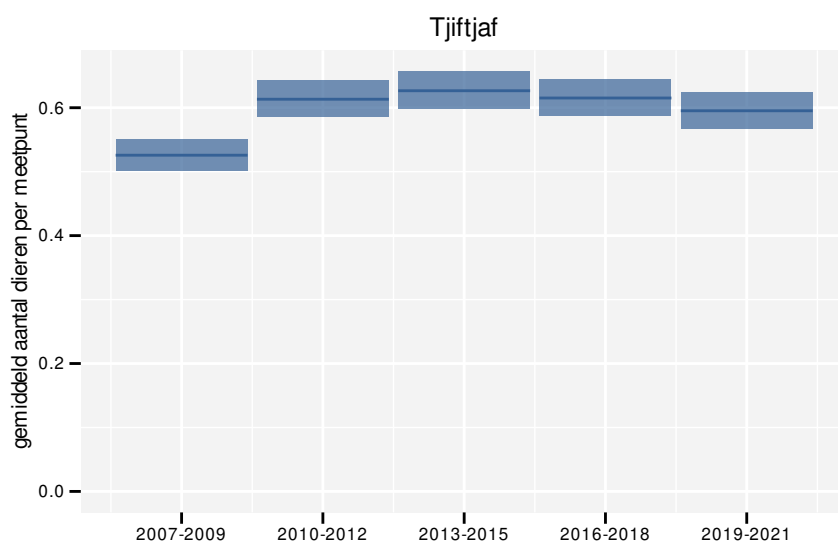
90 TJIFTJAF

Op basis van jaarlijkse gegevens zien we gemiddeld een matige toename met +1.005% (+0.672%; +1.329%) per jaar of +16% (+11%; +22%) over de volledige looptijd van het meetnet. Deze trend is niet-lineair.

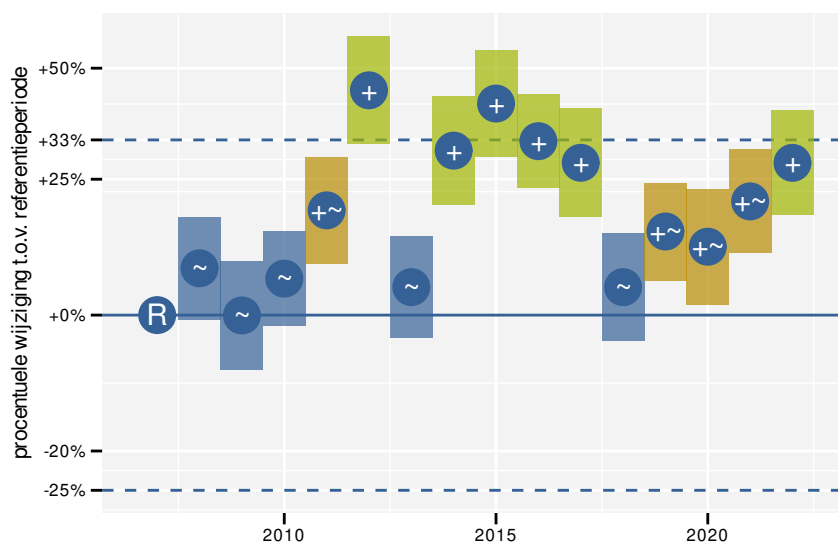
Op basis van driejaarlijkse gegevens zien we gemiddeld een matige toename met +0.948% (+0.615%; +1.281%) per jaar of +15% (+10%; +21%) over de volledige looptijd van het meetnet. Deze trend is niet-lineair.



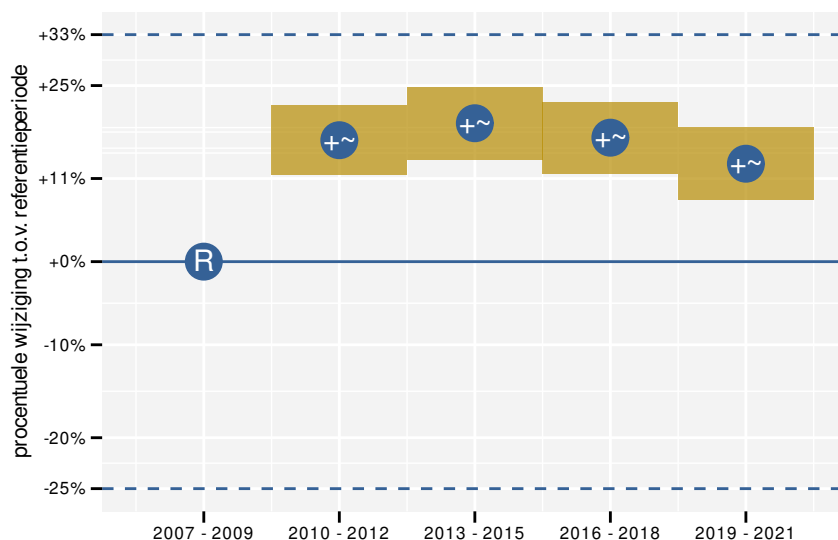
Figuur 90.1: Evolutie van het gemodelleerde gemiddeld aantal waargenomen dieren op een meetpunt voor Tjiftjaf tijdens de referentieperiode. Zie §3.1 voor een verklaring van de intervallen.



Figuur 90.2: Evolutie van het gemodelleerde gemiddeld aantal waargenomen dieren op een meetpunt voor Tjiftjaf tijdens de referentieperiode. Zie §3.1 voor een verklaring van de intervallen.



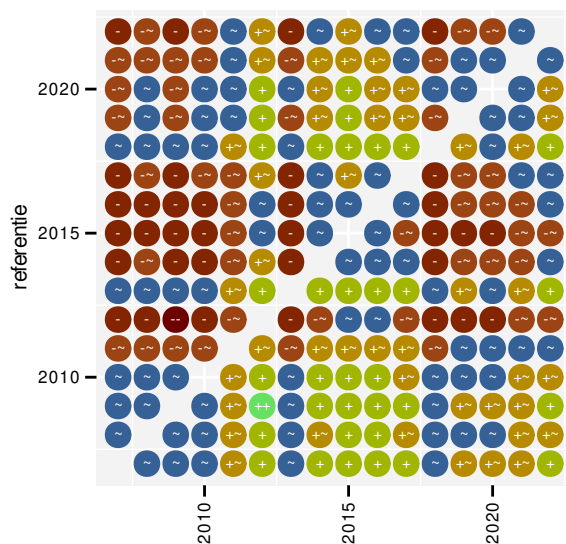
Figuur 90.3: Wijzigingen tussen jaren voor Tjiftjaf. Zie §3.1 voor een verklaring van de intervallen en §3.2 voor uitleg over de symbolen en referentielijnen.



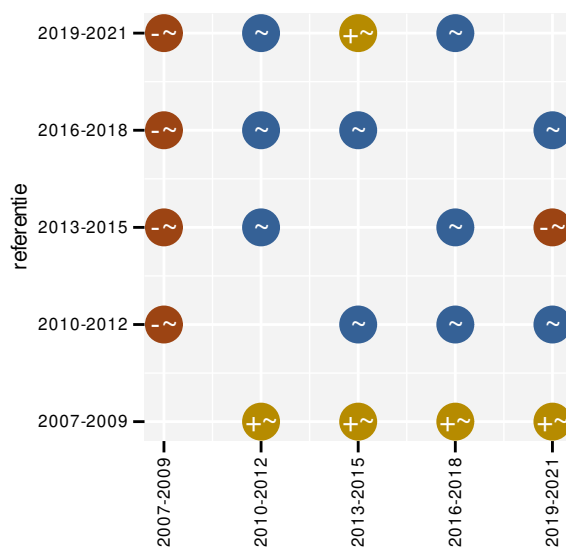
Figuur 90.4: Wijzigingen per driejarige cyclus voor Tjiftjaf. Zie §3.1 voor een verklaring van de intervallen en §3.2 voor uitleg over de symbolen en referentielijnen.

Tabel 90.1: Stratumgewicht, raming van het aantal hokken waarin de soort aanwezig is, aantal relevante hokken voor de analyse, aantal onderzochte hokken in het stratum, totaal aantal hokken van het stratum in Vlaanderen, aantal bezoeken aan een meetpunt en het gemiddeld aandeel relevante punten per hok voor Tjiftjaf (zie §2.5).

stratum	gewicht	aanwezig	relevant	onderzocht	totaal	bezoeken	punten
Landbouw	81.9%	4509.9	308	431	6311	17748	82.6%
Urbaan	5.8%	320.4	67	87	416	3485	74.9%
Bos	4.5%	248.5	148	190	319	9396	92.8%
Heide en duin	3.1%	169.4	80	94	199	4908	89.2%
Suburbaan	2.8%	156.7	53	68	201	3080	88.7%
Moeras en water	1.9%	104.5	61	80	137	3797	91.5%



Figuur 90.5: Paarsgewijze vergelijking tussen jaren voor Tjiftjaf. Uitleg van de symbolen in tabel 3.1.



Figuur 90.6: Paarsgewijze vergelijking tussen driejarige cycli voor Tjiftjaf. Uitleg van de symbolen in tabel 3.1.

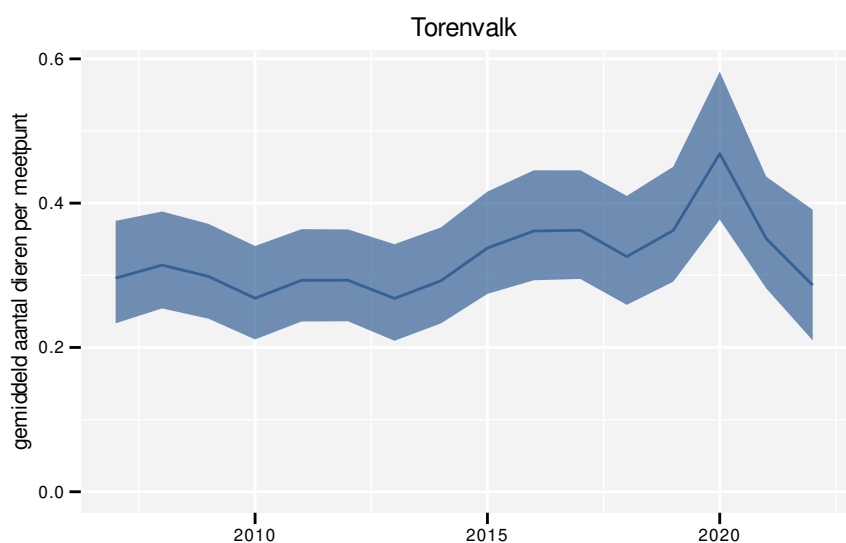
Tabel 90.2: Data-hashes van de analyses in het kader van traceerbaarheid (zie §4.3).

frequentie	model	analyse	status
jaarlijks	niet-lineair	bd2ec6174c86d15d2793 9ec0aa8a58209c974e26	8bc7ca2619df8df1034f fedfa8c03cee512db507
jaarlijks	lineair	1f6c0f41e72a4c991a28 76fbb881732e90028690	d6946449886c47d85a41 0cda546d9fb9f3f2003f
driejaarlijks	niet-lineair	3fdfc53324edf338cd6d a55a0b42cd717971bce6	0a2424e41254d2d2198b 189a395db4961b0e27a2
driejaarlijks	lineair	4a084499c119e100aa8d 1ddf5769775d92704675	1ecab0041643afcd6296 0c9531ea07b7e904f655

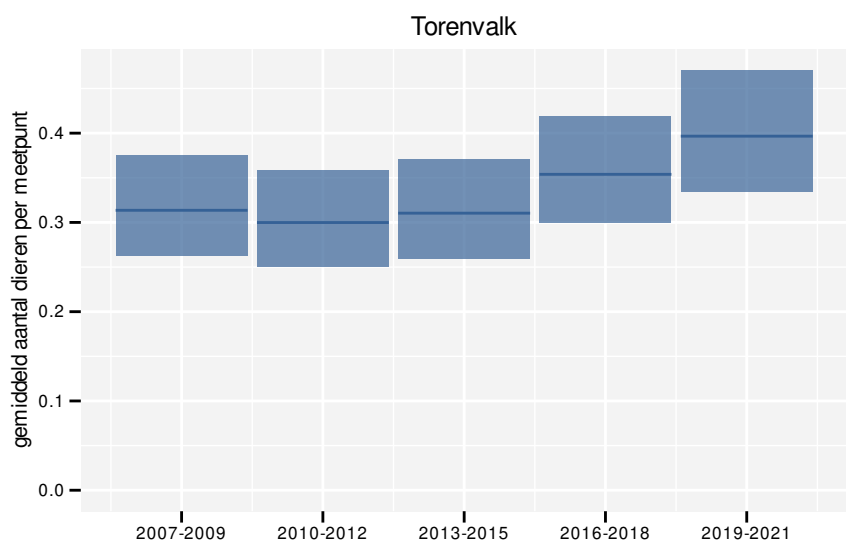
91 TORENVALK

Op basis van jaarlijkse gegevens zien we gemiddeld een toename met +2.1% (+0.7%; +3.4%) per jaar of +36% (+11%; +66%) over de volledige looptijd van het meetnet. Deze trend is niet-lineair.

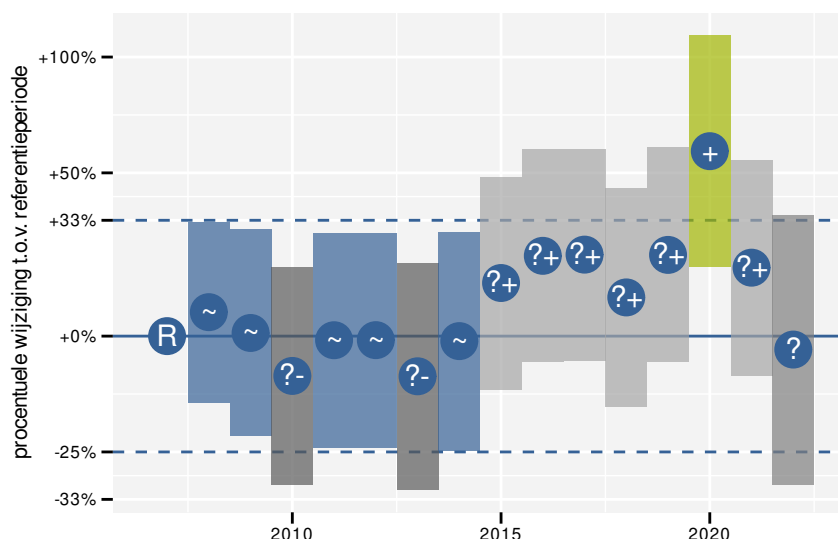
Op basis van driejaarlijkse gegevens zien we gemiddeld een toename met +1.9% (+0.6%; +3.3%) per jaar of +33% (+9%; +62%) over de volledige looptijd van het meetnet. Deze trend is niet-lineair.



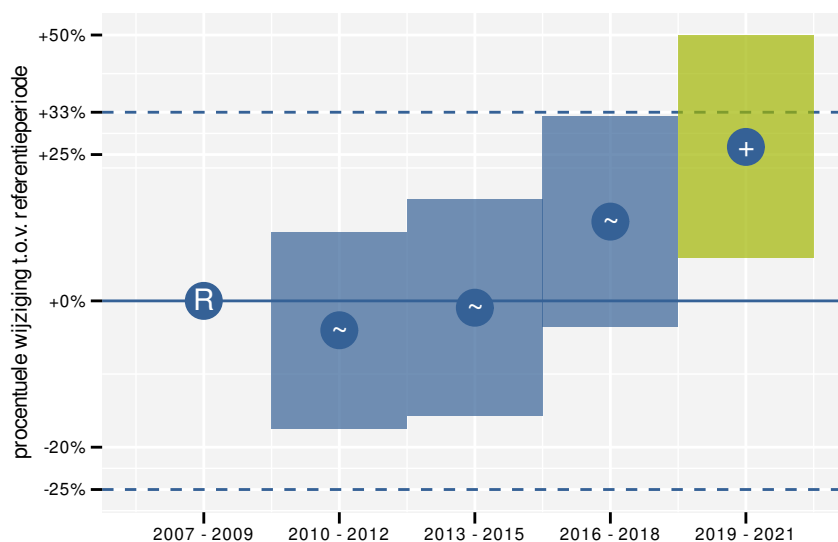
Figuur 91.1: Evolutie van het gemodelleerde gemiddeld aantal waargenomen dieren op een meetpunt voor Torenvalk tijdens de referentieperiode. Zie §3.1 voor een verklaring van de intervallen.



Figuur 91.2: Evolutie van het gemodelleerde gemiddeld aantal waargenomen dieren op een meetpunt voor Torenvalk tijdens de referentieperiode. Zie §3.1 voor een verklaring van de intervallen.



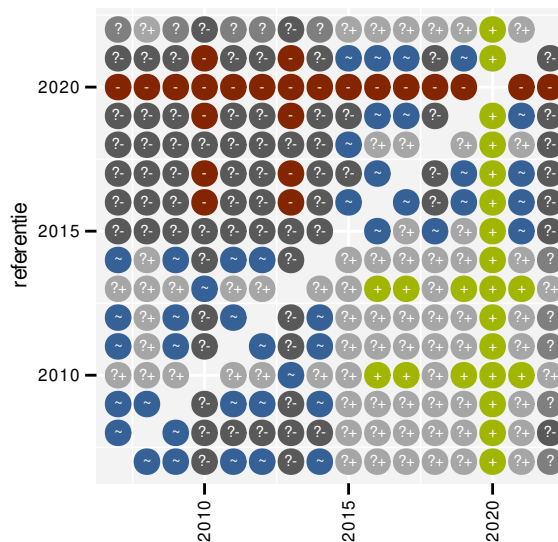
Figuur 91.3: Wijzigingen tussen jaren voor Torenvalk. Zie §3.1 voor een verklaring van de intervallen en §3.2 voor uitleg over de symbolen en referentielijnen.



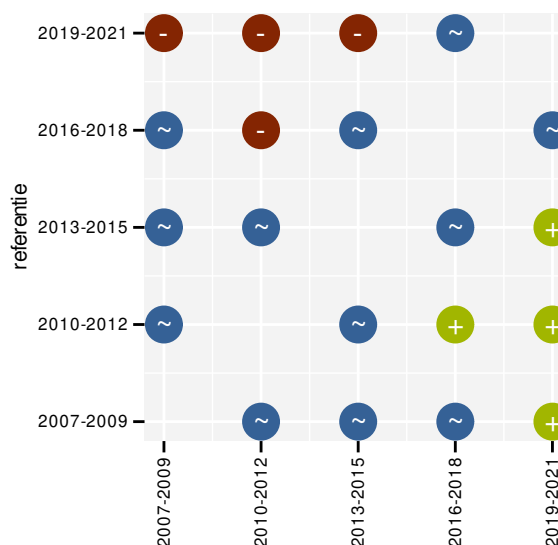
Figuur 91.4: Wijzigingen per driejarige cyclus voor Torenvalk. Zie §3.1 voor een verklaring van de intervallen en §3.2 voor uitleg over de symbolen en referentielijnen.

Tabel 91.1: Stratumgewicht, raming van het aantal hokken waarin de soort aanwezig is, aantal relevante hokken voor de analyse, aantal onderzochte hokken in het stratum, totaal aantal hokken van het stratum in Vlaanderen, aantal bezoeken aan een meetpunt en het gemiddeld aandeel relevante punten per hok voor Torenvalk (zie §2.5).

stratum	gewicht	aanwezig	relevant	onderzocht	totaal	bezoeken	punten
Landbouw	96.2%	2064.6	141	431	6311	5773	53.0%
Heide en duin	1.7%	36.0	17	94	199	597	43.1%
Suburbaan	1.1%	26.6	9	68	201	288	40.7%
Moeras en water	0.6%	15.4	9	80	137	340	46.3%
Bos	0.4%	10.1	6	190	319	192	47.2%



Figuur 91.5: Paarsgewijze vergelijking tussen jaren voor Torenvalk. Uitleg van de symbolen in tabel 3.1.



Figuur 91.6: Paarsgewijze vergelijking tussen driejarige cycli voor Torenvalk. Uitleg van de symbolen in tabel 3.1.

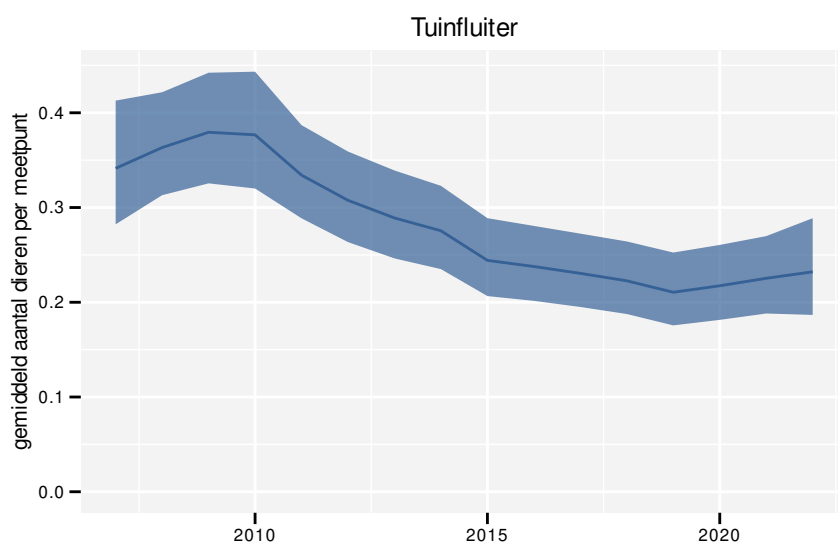
Tabel 91.2: Data-hashes van de analyses in het kader van traceerbaarheid (zie §4.3).

frequentie	model	analyse	status
jaarlijks	niet-lineair	93a2dc7cfd15f3bc62ef cb7cffebee43dbea1e7a	fc3536cb38cb56b33dc a3107a24da54eec647b7
jaarlijks	lineair	e9a5b3fe3a86541ad1b8 4a58838b728eef4ff81	e1f700773d394bab4bf3 a26ccde71c26b290fbc0
driejaarlijks	niet-lineair	15c98db120d587518b0b aaa0a1ef277afb4cf712	d9415bd2835a44c68d00 f626cb3bc0d5243b0352
driejaarlijks	lineair	5ef5ef8dac7648cb6b67 62db7265223c5b1d4daf	f29ae7092d0dc816cd4c f6747db3a6acedbf0972

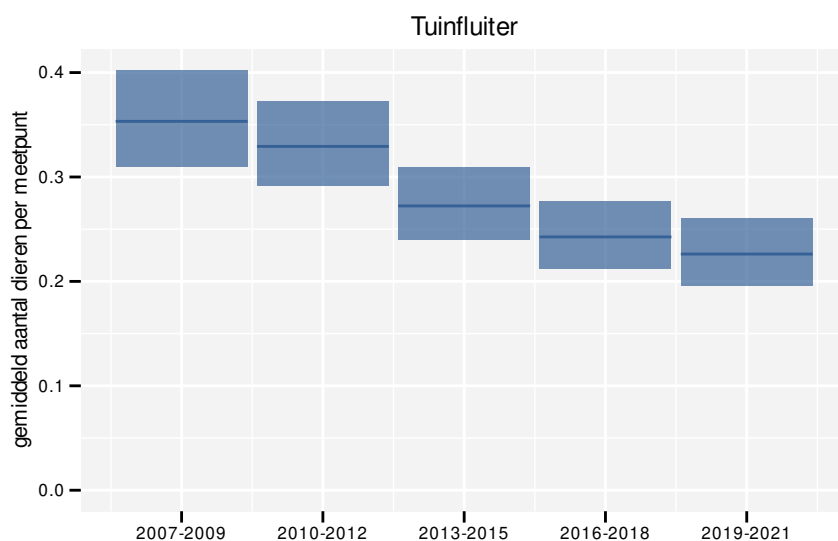
92 TUINFLUITER

Op basis van jaarlijkse gegevens zien we gemiddeld een sterke afname met -5.3% (-6.8%; -3.7%) per jaar of -56% (-65%; -44%) over de volledige looptijd van het meetnet. Deze trend is niet-lineair.

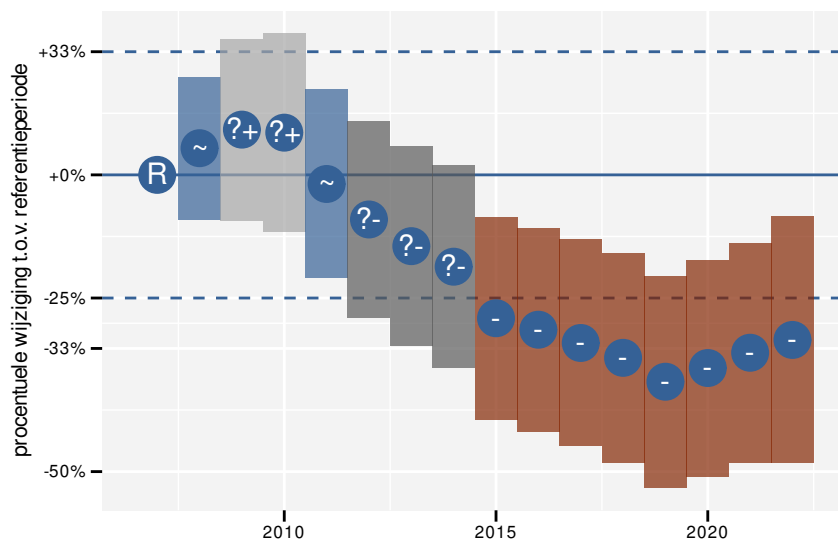
Op basis van driejaarlijkse gegevens zien we gemiddeld een sterke afname met -5.2% (-6.7%; -3.7%) per jaar of -55% (-65%; -43%) over de volledige looptijd van het meetnet. Deze trend is lineair.



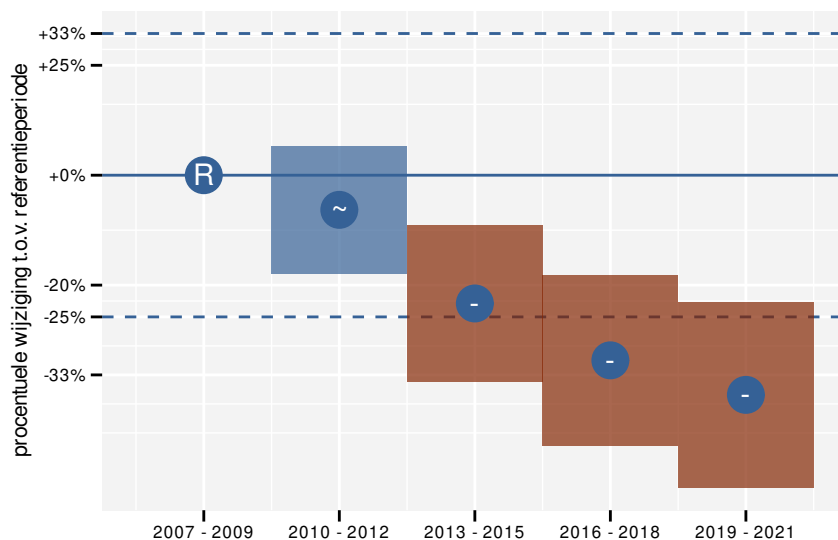
Figuur 92.1: Evolutie van het gemodelleerde gemiddeld aantal waargenomen dieren op een meetpunt voor Tuinfluiter tijdens de referentieperiode. Zie §3.1 voor een verklaring van de intervallen.



Figuur 92.2: Evolutie van het gemodelleerde gemiddeld aantal waargenomen dieren op een meetpunt voor Tuinfluiter tijdens de referentieperiode. Zie §3.1 voor een verklaring van de intervallen.



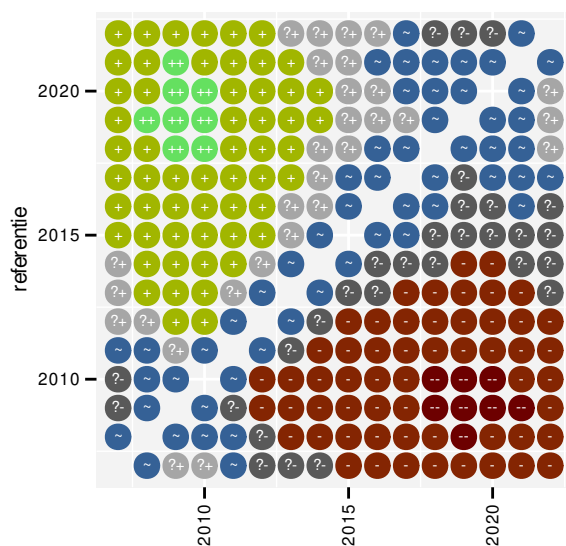
Figuur 92.3: Wijzigingen tussen jaren voor Tuinfluiter. Zie §3.1 voor een verklaring van de intervallen en §3.2 voor uitleg over de symbolen en referentielijnen.



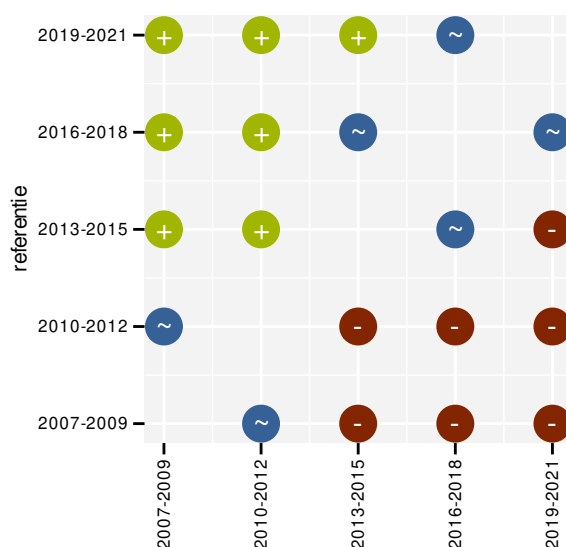
Figuur 92.4: Wijzigingen per driejarige cyclus voor Tuinfluiter. Zie §3.1 voor een verklaring van de intervallen en §3.2 voor uitleg over de symbolen en referentielijnen.

Tabel 92.1: Stratumgewicht, raming van het aantal hokken waarin de soort aanwezig is, aantal relevante hokken voor de analyse, aantal onderzochte hokken in het stratum, totaal aantal hokken van het stratum in Vlaanderen, aantal bezoeken aan een meetpunt en het gemiddeld aandeel relevante punten per hok voor Tuinfluiter (zie §2.5).

stratum	gewicht	aanwezig	relevant	onderzocht	totaal	bezoeken	punten
Landbouw	83.8%	1200.7	82	431	6311	1822	44.5%
Heide en duin	5.3%	76.2	36	94	199	830	48.1%
Bos	4.9%	70.5	42	190	319	1157	56.0%
Moeras en water	4.1%	58.2	34	80	137	1049	59.3%
Suburbaan	1.9%	26.6	9	68	201	153	35.2%



Figuur 92.5: Paarsgewijze vergelijking tussen jaren voor Tuinfluiter. Uitleg van de symbolen in tabel 3.1.



Figuur 92.6: Paarsgewijze vergelijking tussen driejarige cycli voor Tuinfluiter. Uitleg van de symbolen in tabel 3.1.

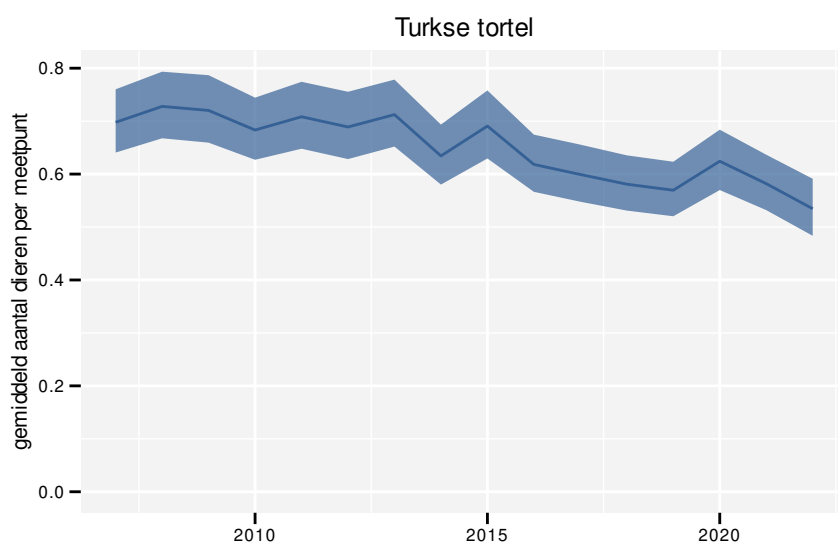
Tabel 92.2: Data-hashes van de analyses in het kader van traceerbaarheid (zie §4.3).

frequentie	model	analyse	status
jaarlijks	niet-lineair	1abbe6c7693cb7e60567 e13954e936f36ff4c357	af09de46398ec033860e db7e9a84639712e54c7b
jaarlijks	lineair	bdc4d19d1d0663ba68eb 3f31aff78a5d06c0a796	0531461fe30314df2cc3 95580ba59b6d5ff44c71
driejaarlijks	niet-lineair	cc0f5c936cee6caa135c 250d0d8b5af07a4c3c03	ede179f35e6213ba1216 0eb713cb8f1dedcdd9cd
driejaarlijks	lineair	0e87cc01d2d53927ee8b a8bffa6098f3e09fbfbf	8829ba703e17e04f0df3 40751f93910fec325e9e

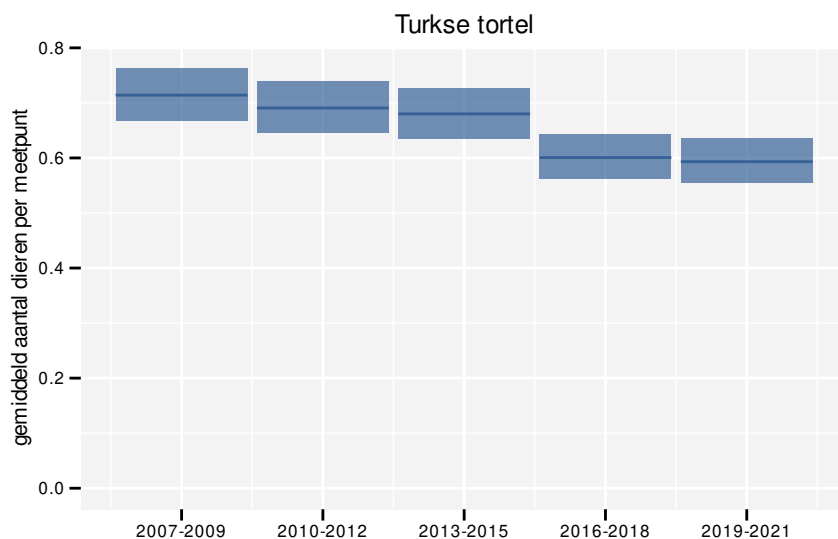
93 TURKSE TORTEL

Op basis van jaarlijkse gegevens zien we gemiddeld een afname met -1.77% (-2.10%; -1.45%) per jaar of -23.5% (-27.2%; -19.7%) over de volledige looptijd van het meetnet. Deze trend is niet-lineair.

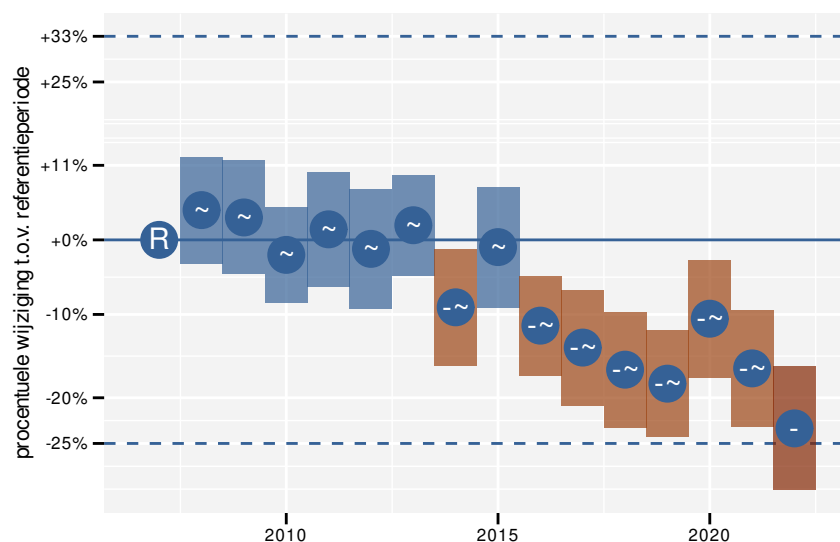
Op basis van driejaarlijkse gegevens zien we gemiddeld een afname met -1.81% (-2.13%; -1.49%) per jaar of -24.0% (-27.6%; -20.1%) over de volledige looptijd van het meetnet. Deze trend is niet-lineair.



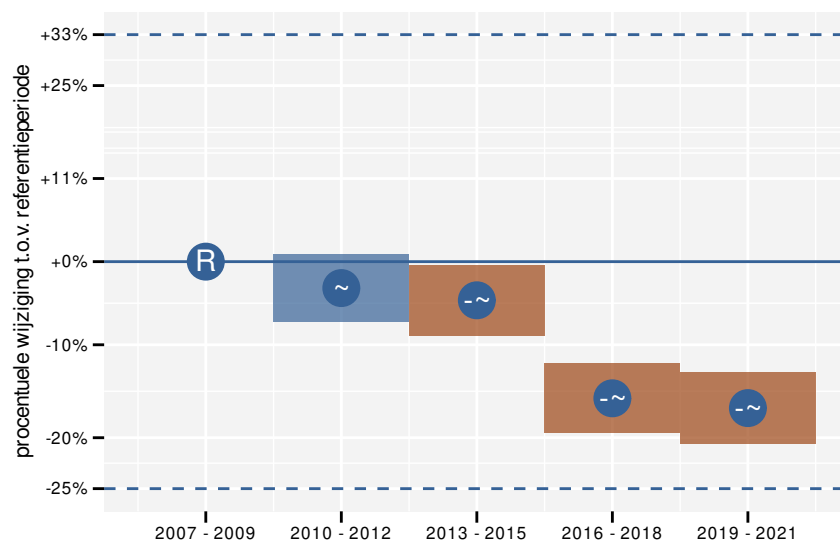
Figuur 93.1: Evolutie van het gemodelleerde gemiddeld aantal waargenomen dieren op een meetpunt voor Turkse tortel tijdens de referentieperiode. Zie §3.1 voor een verklaring van de intervallen.



Figuur 93.2: Evolutie van het gemodelleerde gemiddeld aantal waargenomen dieren op een meetpunt voor Turkse tortel tijdens de referentieperiode. Zie §3.1 voor een verklaring van de intervallen.



Figuur 93.3: Wijzigingen tussen jaren voor Turkse tortel. Zie §3.1 voor een verklaring van de intervallen en §3.2 voor uitleg over de symbolen en referentielijnen.



Figuur 93.4: Wijzigingen per driejarige cyclus voor Turkse tortel. Zie §3.1 voor een verklaring van de intervallen en §3.2 voor uitleg over de symbolen en referentielijnen.

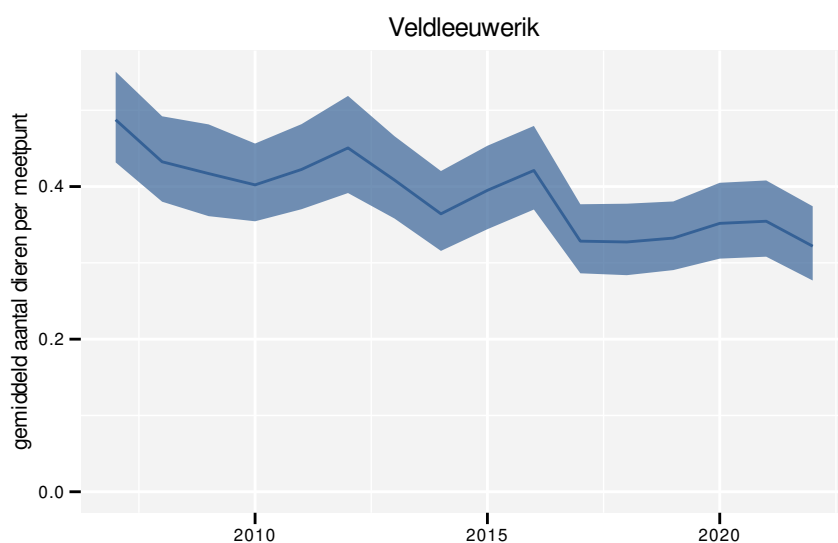
Tabel 93.1: Stratumgewicht, raming van het aantal hokken waarin de soort aanwezig is, aantal relevante hokken voor de analyse, aantal onderzochte hokken in het stratum, totaal aantal hokken van het stratum in Vlaanderen, aantal bezoeken aan een meetpunt en het gemiddeld aandeel relevante punten per hok voor Turkse tortel (zie §2.5).

stratum	gewicht	aanwezig	relevant	onderzocht	totaal	bezoeken	punten
Landbouw	87.2%	4539.2	310	431	6311	16648	77.7%
Urbaan	6.7%	349.1	73	87	416	4764	96.8%
Suburbaan	2.7%	141.9	48	68	201	2805	85.1%
Heide en duin	1.3%	67.7	32	94	199	1288	60.4%
Moeras en water	1.2%	59.9	35	80	137	1447	58.6%
Bos	0.9%	47.0	28	190	319	1167	54.8%

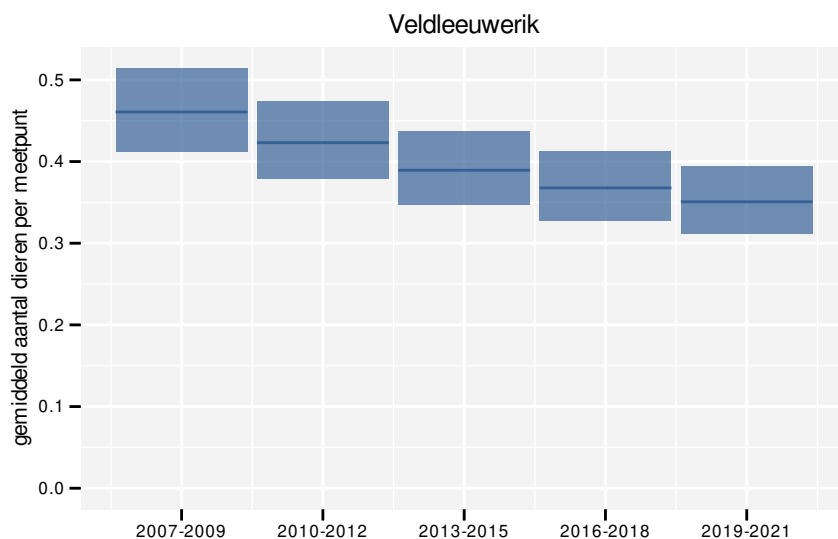
94 VELDLEEUWERIK

Op basis van jaarlijkse gegevens zien we gemiddeld een sterke afname met -2.5% (-3.1%; -2.0%) per jaar of -32% (-37%; -26%) over de volledige looptijd van het meetnet. Deze trend is niet-lineair.

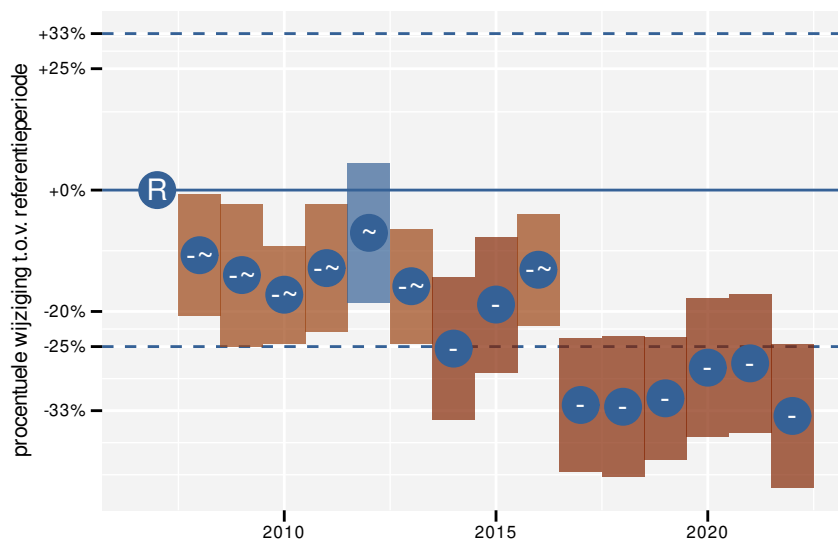
Op basis van driejaarlijkse gegevens zien we gemiddeld een sterke afname met -2.5% (-3.1%; -2.0%) per jaar of -32% (-37%; -26%) over de volledige looptijd van het meetnet. Deze trend is lineair.



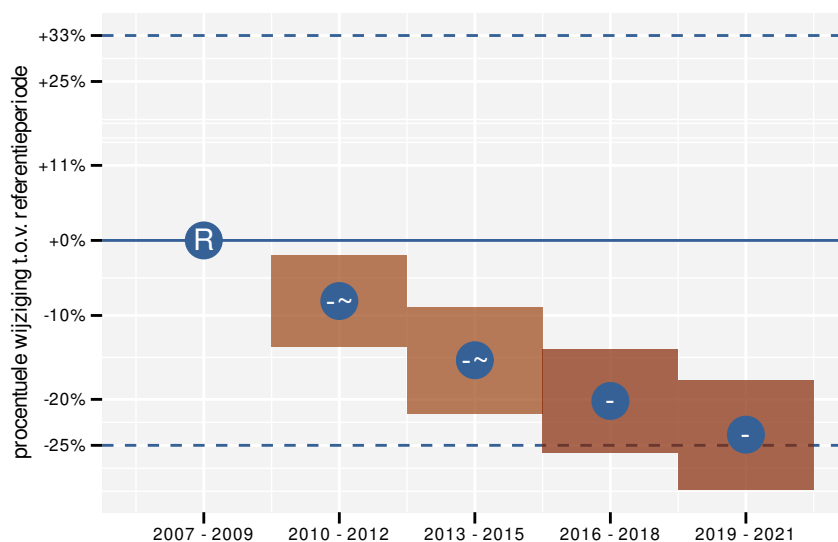
Figuur 94.1: Evolutie van het gemodelleerde gemiddeld aantal waargenomen dieren op een meetpunt voor Veldleeuwerik tijdens de referentieperiode. Zie §3.1 voor een verklaring van de intervallen.



Figuur 94.2: Evolutie van het gemodelleerde gemiddeld aantal waargenomen dieren op een meetpunt voor Veldleeuwerik tijdens de referentieperiode. Zie §3.1 voor een verklaring van de intervallen.



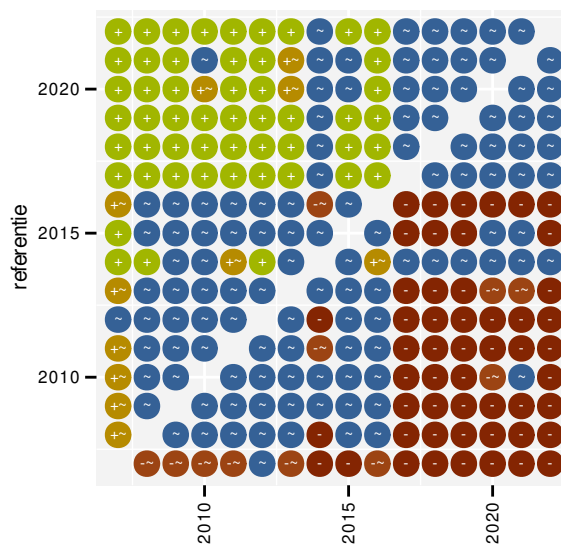
Figuur 94.3: Wijzigingen tussen jaren voor Veldleeuwertik. Zie §3.1 voor een verklaring van de intervallen en §3.2 voor uitleg over de symbolen en referentielijnen.



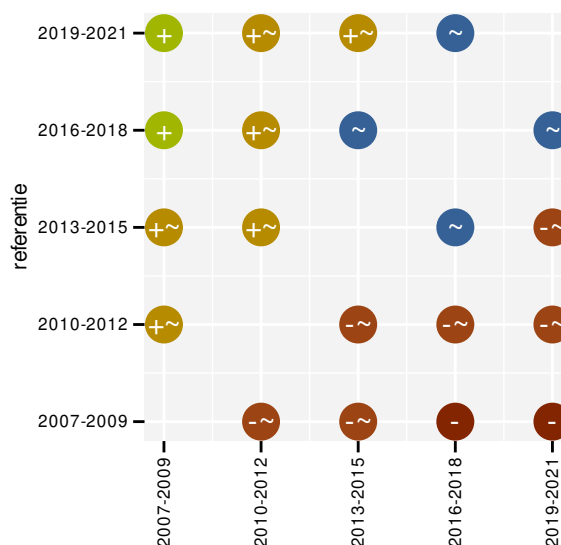
Figuur 94.4: Wijzigingen per driejarige cyclus voor Veldleeuwertik. Zie §3.1 voor een verklaring van de intervallen en §3.2 voor uitleg over de symbolen en referentielijnen.

Tabel 94.1: Stratumgewicht, raming van het aantal hokken waarin de soort aanwezig is, aantal relevante hokken voor de analyse, aantal onderzochte hokken in het stratum, totaal aantal hokken van het stratum in Vlaanderen, aantal bezoeken aan een meetpunt en het gemiddeld aandeel relevante punten per hok voor Veldleeuwertik (zie §2.5).

stratum	gewicht	aanwezig	relevant	onderzocht	totaal	bezoeken	punten
Landbouw	95.8%	2386.8	163	431	6311	8316	71.3%
Heide en duin	2.5%	63.5	30	94	199	1271	64.4%
Moeras en water	0.8%	20.6	12	80	137	427	47.2%
Suburbaan	0.5%	14.8	5	68	201	105	63.3%
Bos	0.5%	13.4	8	190	319	264	41.7%



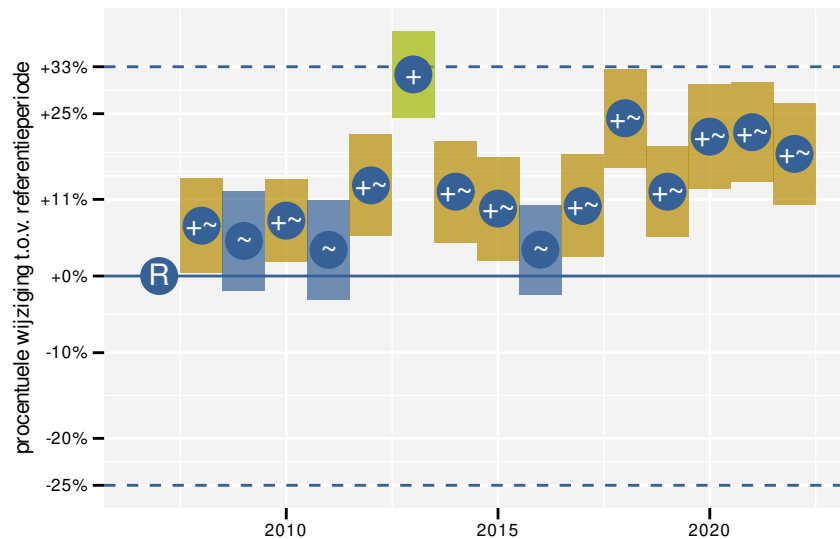
Figuur 94.5: Paarsgewijze vergelijking tussen jaren voor Veldleeuwerik. Uitleg van de symbolen in tabel 3.1.



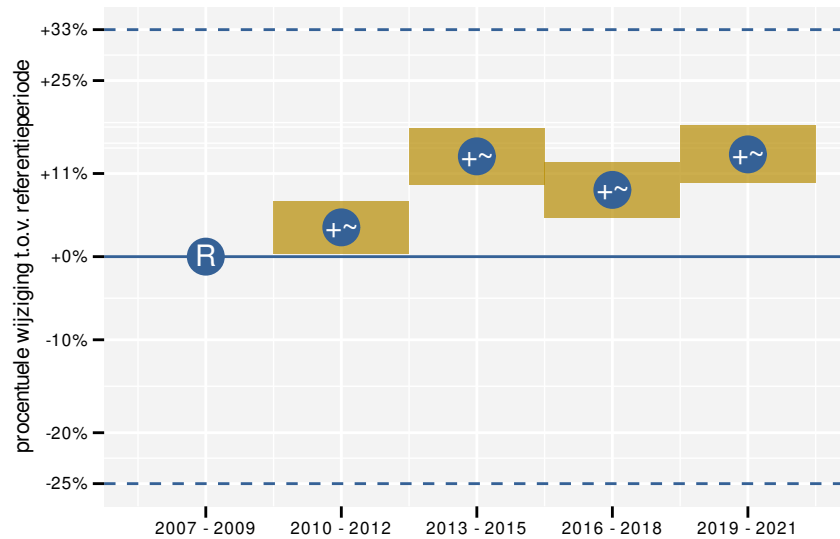
Figuur 94.6: Paarsgewijze vergelijking tussen driejarige cycli voor Veldleeuwerik. Uitleg van de symbolen in tabel 3.1.

Tabel 94.2: Data-hashes van de analyses in het kader van traceerbaarheid (zie §4.3).

frequentie	model	analyse	status
jaarlijks	niet-lineair	b9f894f29990f6475f2a 2db2d611b874f0fedd69	3be0820efebfe18edede 5347d0db717aff577ee
jaarlijks	lineair	9ff109bce59bb5500e14 1df00ca6e04cf31b7d03	aed6097c3452b908593b 7dbc50af08f3871a1033
driejaarlijks	niet-lineair	d11a9881d716d228b443 2043da81633833ff0fd4	1eed8f94cd3a46656099 81e57c62df0dfb2b7f04
driejaarlijks	lineair	1ef3ded7afe313b661ee 23405bb33b59aedd1e1b	b49a8369ee934e735b68 8a76dfceb698596786cb



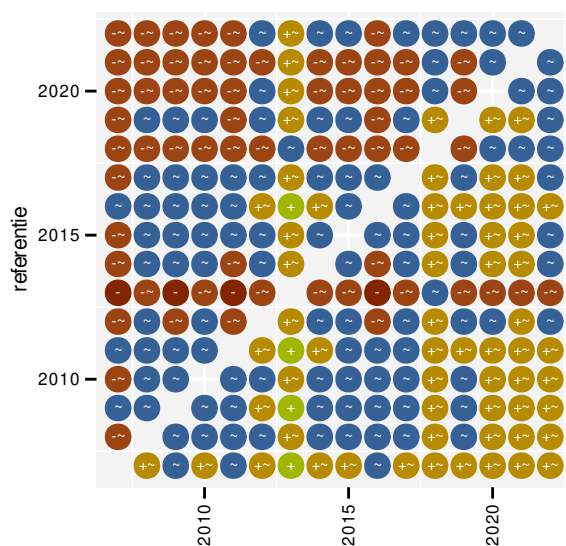
Figuur 95.3: Wijzigingen tussen jaren voor Vink. Zie §3.1 voor een verklaring van de intervallen en §3.2 voor uitleg over de symbolen en referentielijnen.



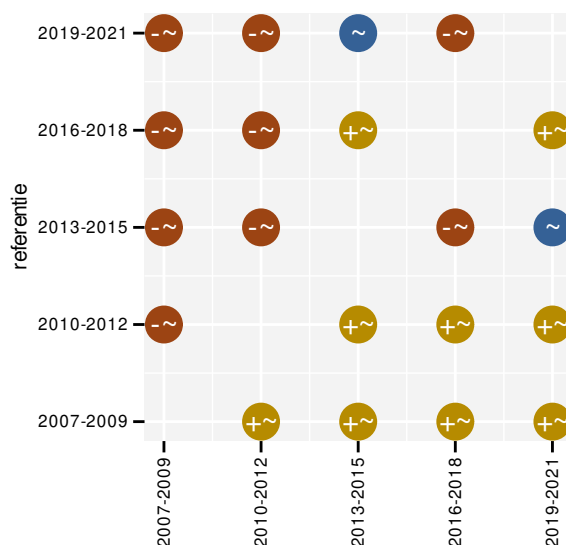
Figuur 95.4: Wijzigingen per driejarige cyclus voor Vink. Zie §3.1 voor een verklaring van de intervallen en §3.2 voor uitleg over de symbolen en referentielijnen.

Tabel 95.1: Stratumgewicht, raming van het aantal hokken waarin de soort aanwezig is, aantal relevante hokken voor de analyse, aantal onderzochte hokken in het stratum, totaal aantal hokken van het stratum in Vlaanderen, aantal bezoeken aan een meetpunt en het gemiddeld aandeel relevante punten per hok voor Vink (zie §2.5).

stratum	gewicht	aanwezig	relevant	onderzocht	totaal	bezoeken	punten
Landbouw	83.0%	4685.7	320	431	6311	20006	91.0%
Urbaan	5.7%	320.4	67	87	416	3758	81.6%
Bos	4.5%	251.8	150	190	319	9869	99.4%
Heide en duin	2.7%	154.5	73	94	199	4729	93.4%
Suburbaan	2.4%	136.0	46	68	201	2557	88.4%
Moeras en water	1.7%	95.9	56	80	137	3367	87.2%



Figuur 95.5: Paarsgewijze vergelijking tussen jaren voor Vink. Uitleg van de symbolen in tabel 3.1.



Figuur 95.6: Paarsgewijze vergelijking tussen driejarige cycli voor Vink. Uitleg van de symbolen in tabel 3.1.

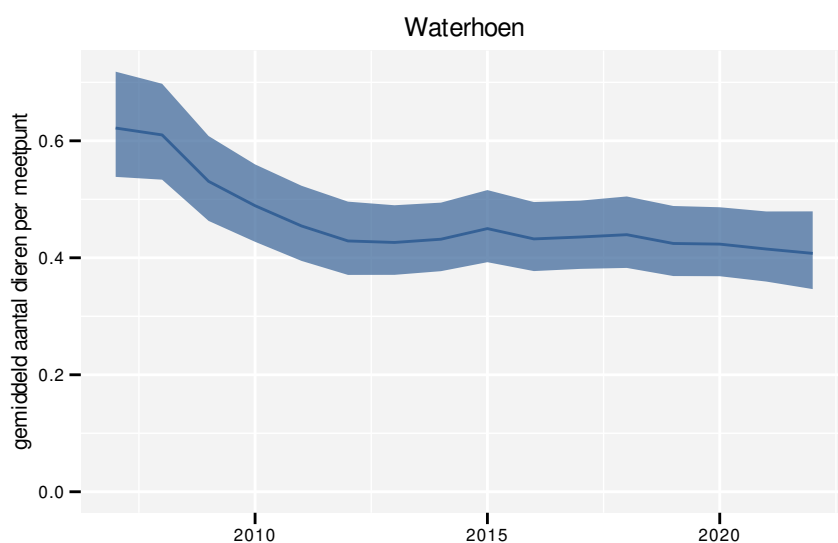
Tabel 95.2: Data-hashes van de analyses in het kader van traceerbaarheid (zie §4.3).

frequentie	model	analyse	status
jaarlijks	niet-lineair	9230a6ff586c78f7b38b e7d69d0e4d59ecec7f42	e9b92a998253c2213bcb 04bd56197273c5b005e6
jaarlijks	lineair	9dd1f5e423e081734d4e 905f690e20b9ccc148ad	8f2cb9a43320f58afc5f 91111b8637e2a60e2463
driejaarlijks	niet-lineair	e13604984c27085e6ac4 2f6ab5cba241727143b1	0db6a58743795bf7ccf2 3d6a9271e56f432c9784
driejaarlijks	lineair	181081d8c96a27f3200f 4778508c923cfd5a4fbb	b3e732f9d5ef56c32a45 8525d7d476168db34df2

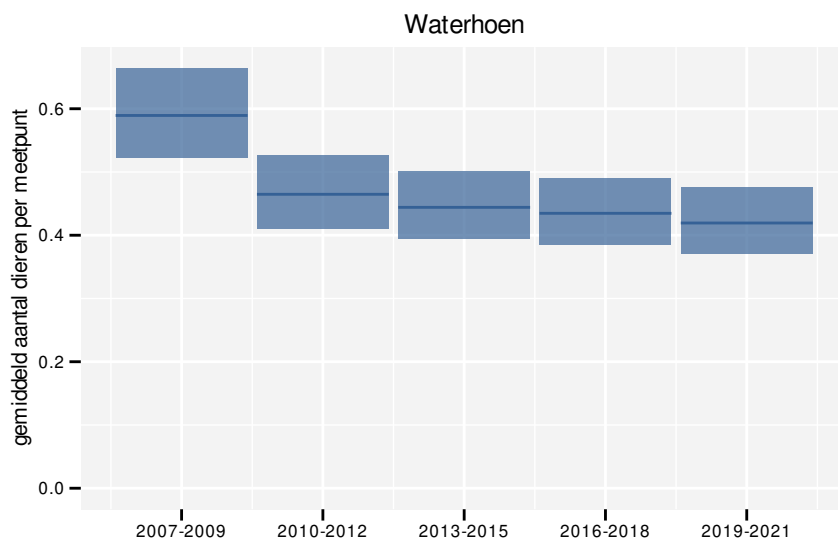
96 WATERHOEN

Op basis van jaarlijkse gegevens zien we gemiddeld een sterke afname met -2.8% (-3.6%; -1.9%) per jaar of -34% (-43%; -25%) over de volledige looptijd van het meetnet. Deze trend is niet-lineair.

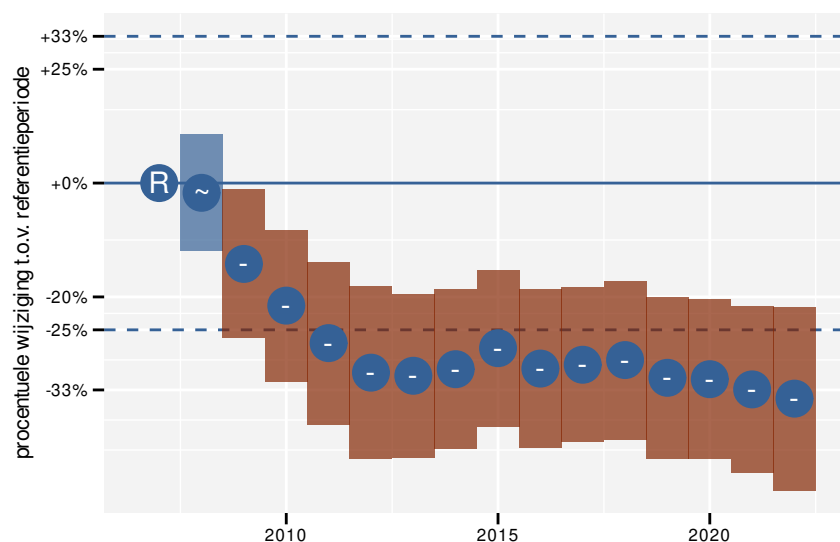
Op basis van driejaarlijkse gegevens zien we gemiddeld een sterke afname met -2.8% (-3.7%; -1.9%) per jaar of -35% (-43%; -26%) over de volledige looptijd van het meetnet. Deze trend is niet-lineair.



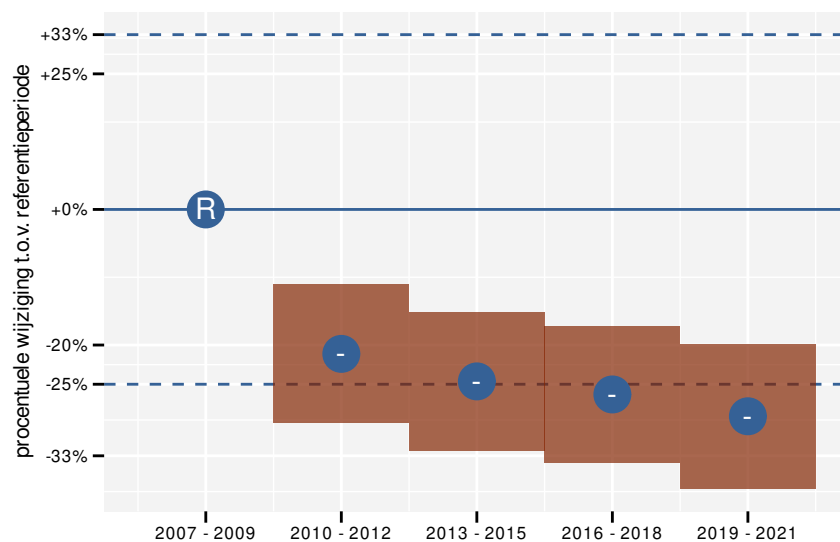
Figuur 96.1: Evolutie van het gemodelleerde gemiddeld aantal waargenomen dieren op een meetpunt voor Waterhoen tijdens de referentieperiode. Zie §3.1 voor een verklaring van de intervallen.



Figuur 96.2: Evolutie van het gemodelleerde gemiddeld aantal waargenomen dieren op een meetpunt voor Waterhoen tijdens de referentieperiode. Zie §3.1 voor een verklaring van de intervallen.



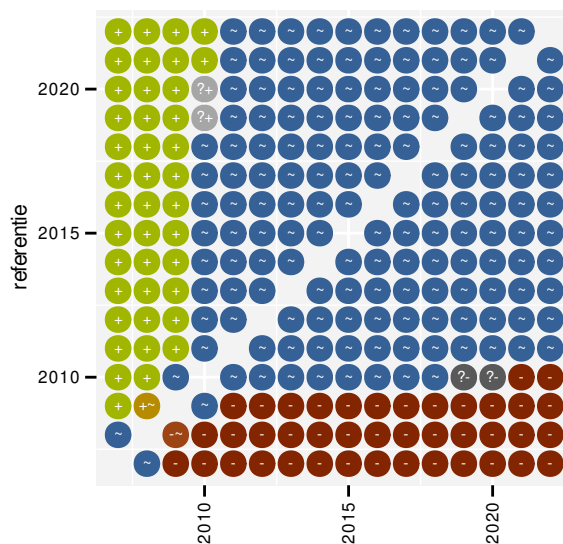
Figuur 96.3: Wijzigingen tussen jaren voor Waterhoen. Zie §3.1 voor een verklaring van de intervallen en §3.2 voor uitleg over de symbolen en referentielijnen.



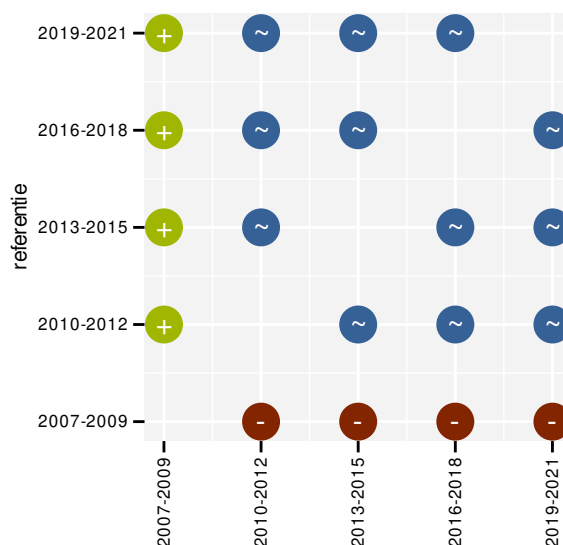
Figuur 96.4: Wijzigingen per driejarige cyclus voor Waterhoen. Zie §3.1 voor een verklaring van de intervallen en §3.2 voor uitleg over de symbolen en referentielijnen.

Tabel 96.1: Stratumgewicht, raming van het aantal hokken waarin de soort aanwezig is, aantal relevante hokken voor de analyse, aantal onderzochte hokken in het stratum, totaal aantal hokken van het stratum in Vlaanderen, aantal bezoeken aan een meetpunt en het gemiddeld aandeel relevante punten per hok voor Waterhoen (zie §2.5).

stratum	gewicht	aanwezig	relevant	onderzocht	totaal	bezoeken	punten
Landbouw	90.0%	2064.6	141	431	6311	5453	51.2%
Urbaan	3.8%	86.1	18	87	416	379	27.8%
Moeras en water	2.3%	53.1	31	80	137	1303	55.4%
Suburbaan	1.7%	38.4	13	68	201	437	46.2%
Heide en duin	1.2%	29.6	14	94	199	464	42.9%
Bos	1.1%	25.2	15	190	319	533	38.9%



Figuur 96.5: Paarsgewijze vergelijking tussen jaren voor Waterhoen. Uitleg van de symbolen in tabel 3.1.



Figuur 96.6: Paarsgewijze vergelijking tussen driejarige cycli voor Waterhoen. Uitleg van de symbolen in tabel 3.1.

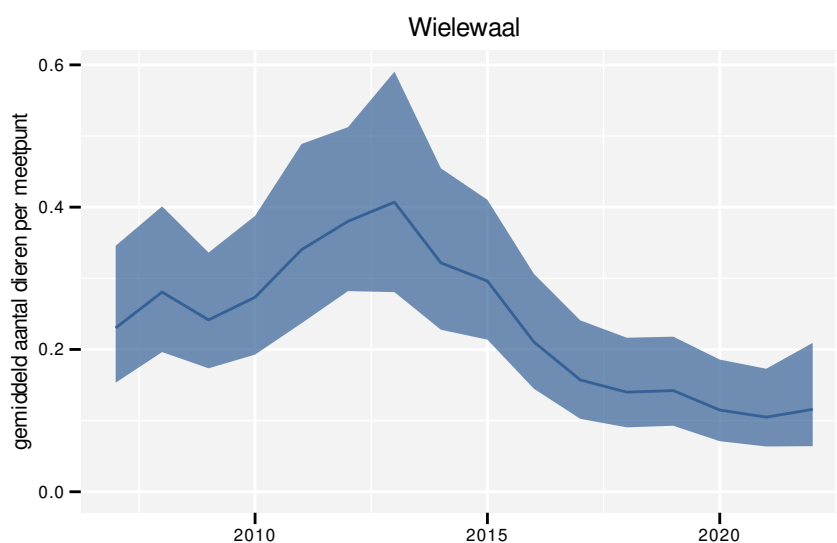
Tabel 96.2: Data-hashes van de analyses in het kader van traceerbaarheid (zie §4.3).

frequentie	model	analyse	status
jaarlijks	niet-lineair	43ea61ce5fd84d799a4b 77f8a8e38d02d96b3ff1	757f9755b26dae8d82e7 024107e6115fc2897b46
jaarlijks	lineair	4d6de9346ababfd148d1 d8a0f3086d8a718df78b	87f9e5b9eacd5a759e15 dafa0f6b99670a435a07
driejaarlijks	niet-lineair	be2f668fc1f5ef9e4312 5c871e0b218c241c6c15	a9cb6727061e62793c78 277d332b38a066350cda
driejaarlijks	lineair	4d26d00e8195ffebbf84 4c421bf73a727beea793	f83ca606a44b077f37cb a3bed5d0ac155005ae86

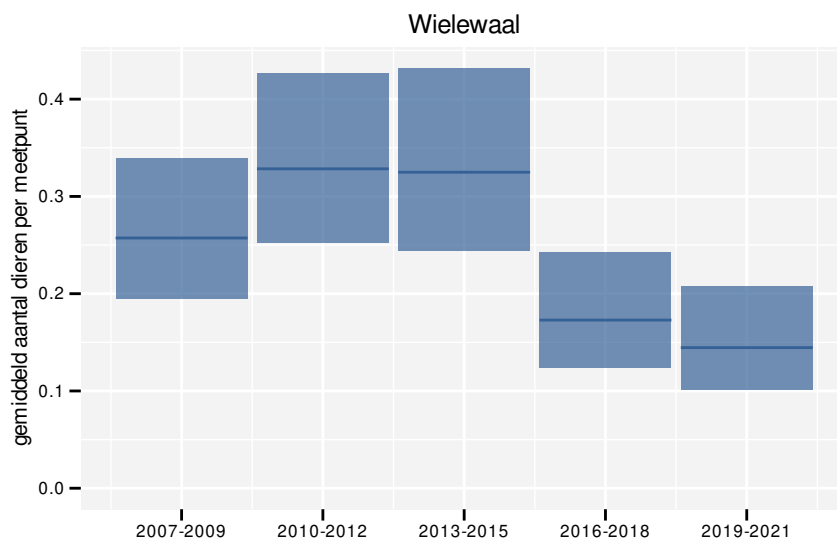
97 WIELEWAAL

Op basis van jaarlijkse gegevens zien we gemiddeld een sterke afname met -5.5% (-8.6%; -2.2%) per jaar of -57% (-74%; -29%) over de volledige looptijd van het meetnet. Deze trend is niet-lineair.

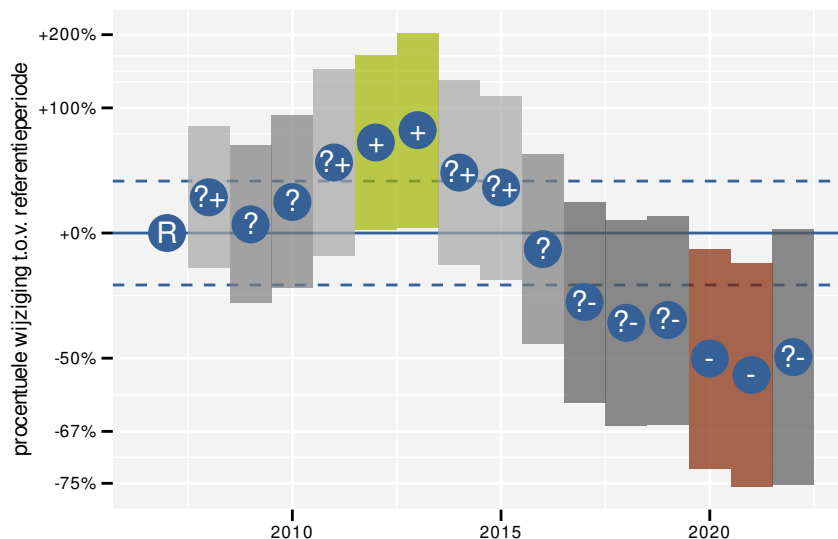
Op basis van driejaarlijkse gegevens zien we gemiddeld een sterke afname met -5.4% (-8.5%; -2.1%) per jaar of -56% (-74%; -27%) over de volledige looptijd van het meetnet. Deze trend is niet-lineair.



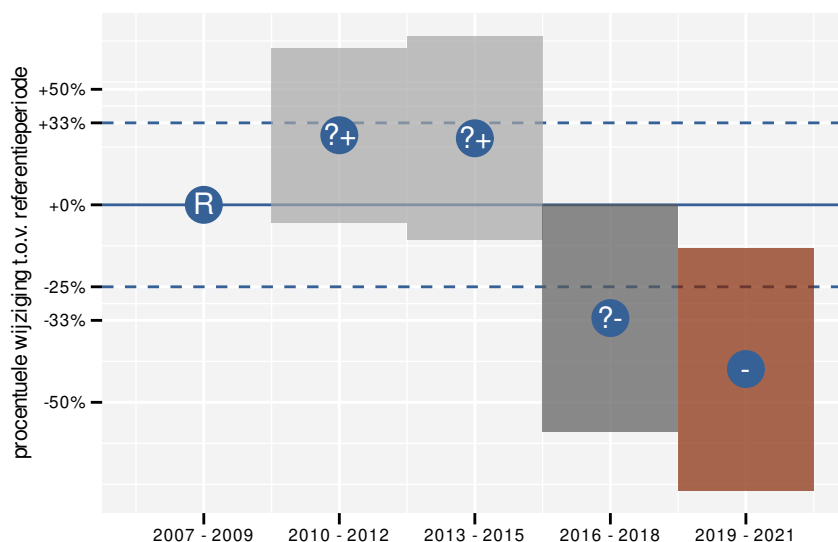
Figuur 97.1: Evolutie van het gemodelleerde gemiddeld aantal waargenomen dieren op een meetpunt voor Wielewaal tijdens de referentieperiode. Zie §3.1 voor een verklaring van de intervallen.



Figuur 97.2: Evolutie van het gemodelleerde gemiddeld aantal waargenomen dieren op een meetpunt voor Wielewaal tijdens de referentieperiode. Zie §3.1 voor een verklaring van de intervallen.



Figuur 97.3: Wijzigingen tussen jaren voor Wielawaal. Zie §3.1 voor een verklaring van de intervallen en §3.2 voor uitleg over de symbolen en referentielijnen.



Figuur 97.4: Wijzigingen per driejarige cyclus voor Wielawaal. Zie §3.1 voor een verklaring van de intervallen en §3.2 voor uitleg over de symbolen en referentielijnen.

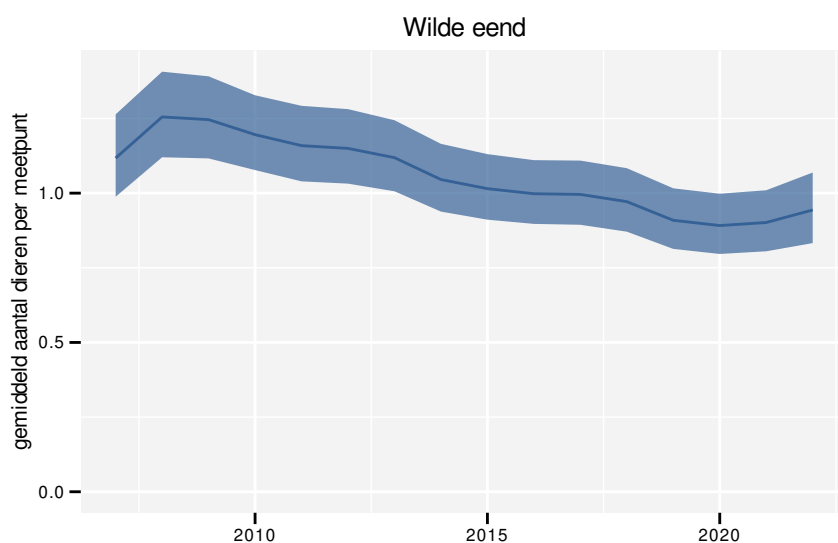
Tabel 97.1: Stratumgewicht, raming van het aantal hokken waarin de soort aanwezig is, aantal relevante hokken voor de analyse, aantal onderzochte hokken in het stratum, totaal aantal hokken van het stratum in Vlaanderen, aantal bezoeken aan een meetpunt en het gemiddeld aandeel relevante punten per hok voor Wielawaal (zie §2.5).

stratum	gewicht	aanwezig	relevant	onderzocht	totaal	bezoeken	punten
Landbouw	84.9%	190.4	13	431	6311	406	64.1%
Moeras en water	6.9%	15.4	9	80	137	250	51.9%
Bos	4.5%	11.8	7	190	319	204	57.1%
Heide en duin	3.8%	10.6	5	94	199	119	46.7%

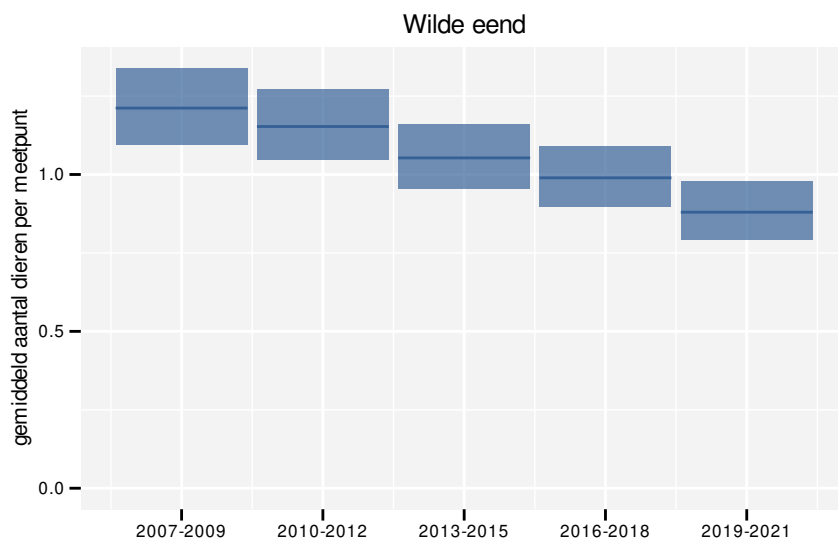
98 WILDE EEND

Op basis van jaarlijkse gegevens zien we gemiddeld een afname met -2.5% (-3.1%; -1.9%) per jaar of -32% (-38%; -25%) over de volledige looptijd van het meetnet. Deze trend is niet-lineair.

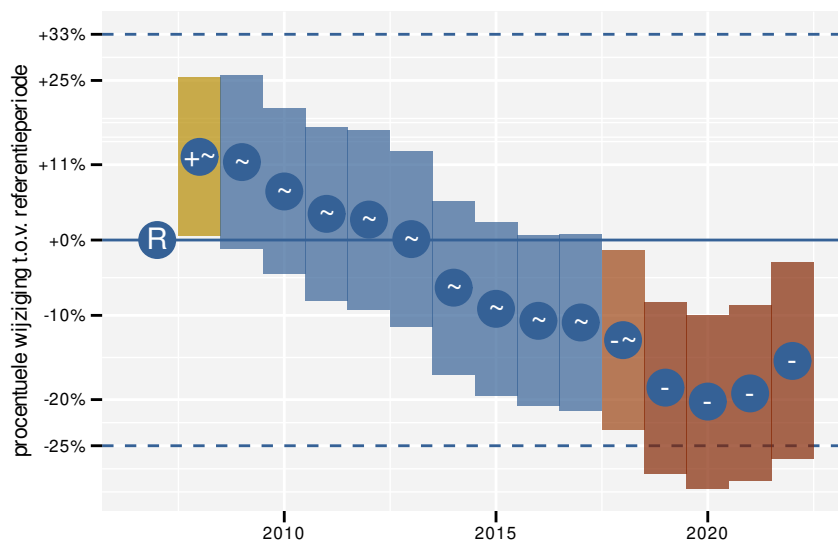
Op basis van driejaarlijkse gegevens zien we gemiddeld een sterke afname met -2.5% (-3.2%; -1.9%) per jaar of -32% (-38%; -25%) over de volledige looptijd van het meetnet. Deze trend is lineair.



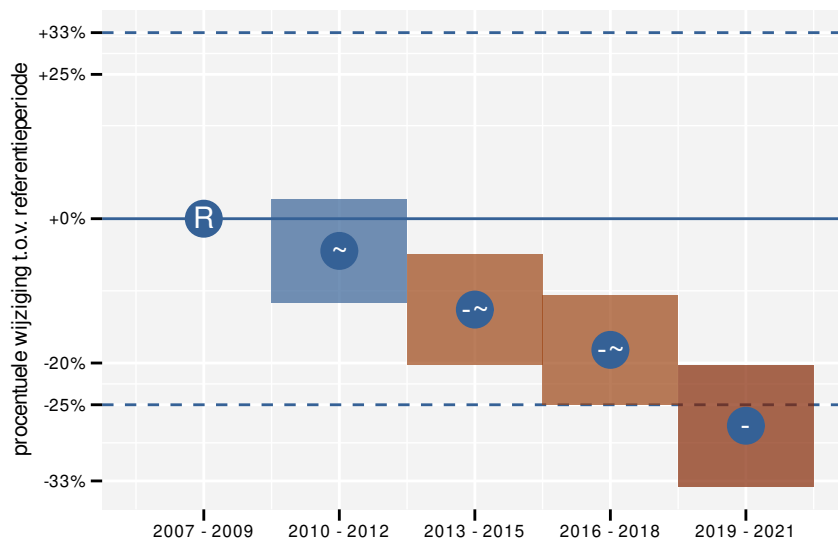
Figuur 98.1: Evolutie van het gemodelleerde gemiddeld aantal waargenomen dieren op een meetpunt voor Wilde eend tijdens de referentieperiode. Zie §3.1 voor een verklaring van de intervallen.



Figuur 98.2: Evolutie van het gemodelleerde gemiddeld aantal waargenomen dieren op een meetpunt voor Wilde eend tijdens de referentieperiode. Zie §3.1 voor een verklaring van de intervallen.



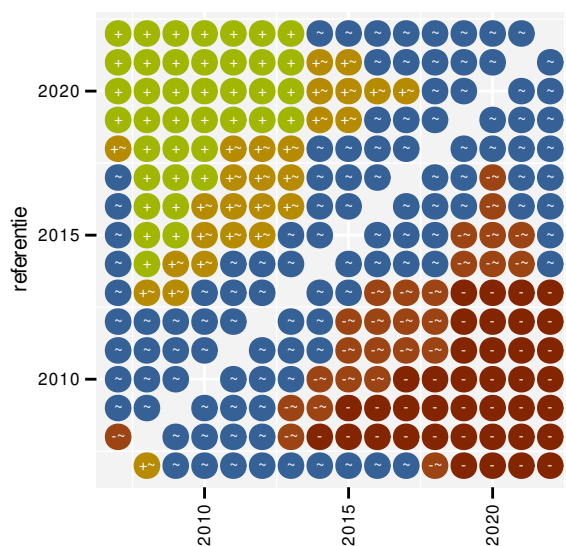
Figuur 98.3: Wijzigingen tussen jaren voor Wilde eend. Zie §3.1 voor een verklaring van de intervallen en §3.2 voor uitleg over de symbolen en referentielijnen.



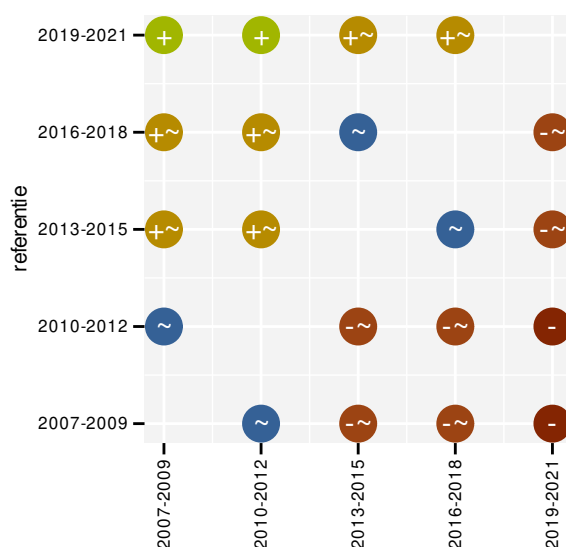
Figuur 98.4: Wijzigingen per driejarige cyclus voor Wilde eend. Zie §3.1 voor een verklaring van de intervallen en §3.2 voor uitleg over de symbolen en referentielijnen.

Tabel 98.1: Stratumgewicht, raming van het aantal hokken waarin de soort aanwezig is, aantal relevante hokken voor de analyse, aantal onderzochte hokken in het stratum, totaal aantal hokken van het stratum in Vlaanderen, aantal bezoeken aan een meetpunt en het gemiddeld aandeel relevante punten per hok voor Wilde eend (zie §2.5).

stratum	gewicht	aanwezig	relevant	onderzocht	totaal	bezoeken	punten
Landbouw	89.3%	3938.9	269	431	6311	14249	72.1%
Urbaan	2.8%	124.3	26	87	416	866	43.6%
Heide en duin	2.3%	99.5	47	94	199	2069	57.4%
Moeras en water	2.2%	97.6	57	80	137	3108	78.9%
Suburbaan	1.8%	79.8	27	68	201	990	54.9%
Bos	1.6%	68.8	41	190	319	1816	52.0%



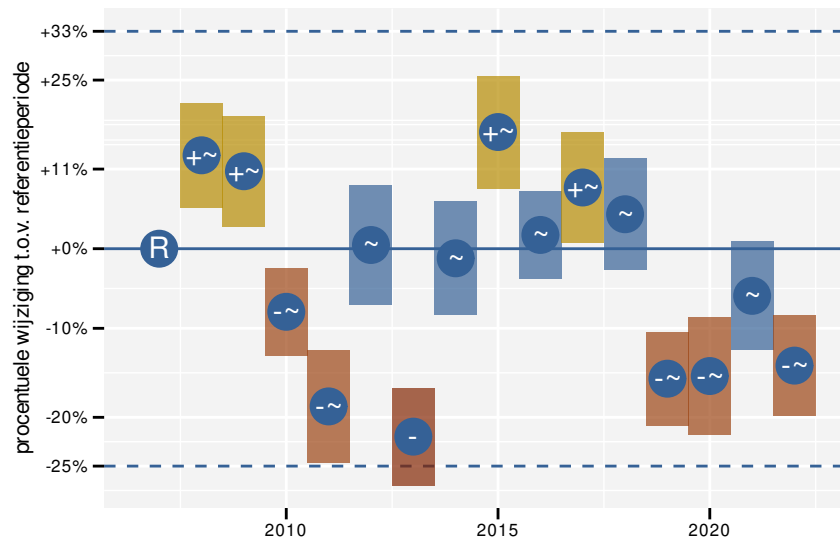
Figuur 98.5: Paarsgewijze vergelijking tussen jaren voor Wilde eend. Uitleg van de symbolen in tabel 3.1.



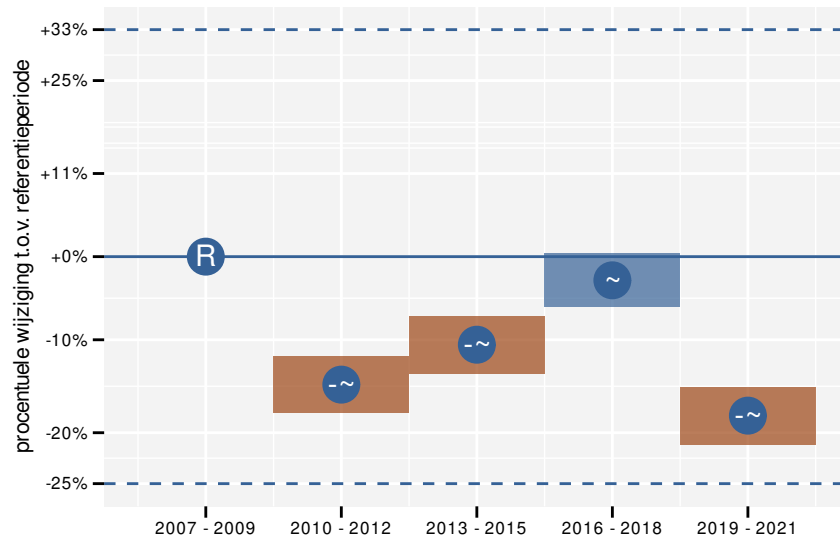
Figuur 98.6: Paarsgewijze vergelijking tussen driejarige cycli voor Wilde eend. Uitleg van de symbolen in tabel 3.1.

Tabel 98.2: Data-hashes van de analyses in het kader van traceerbaarheid (zie §4.3).

frequentie	model	analyse	status
jaarlijks	niet-lineair	431ed5937aaf806dc29c	e2d8443e68c39af5cf40
		57fa636491c7964357e3	8a13193e0a95829cbd5d
jaarlijks	lineair	f6fb097e85ef99d3fd30	e0d131d83409a2ff7baf
		03ec0e63b57e2cb5ec46	95b0c2d74e24774f108e
driejaarlijks	niet-lineair	fddb8bd9c180af04f492	f38556d6d5bbba4a6891
		d2691405a6135de6ee55	2b62339b096494af8b9a
driejaarlijks	lineair	9fd30f36a2cef5739ce1	aa95f8693b3166c70d62
		0c91745d53aa18e5b279	524032300d509c6d33fd



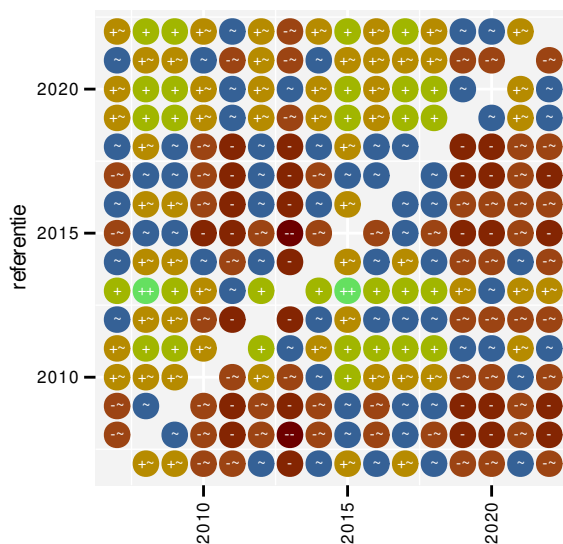
Figuur 99.3: Wijzigingen tussen jaren voor Winterkoning. Zie §3.1 voor een verklaring van de intervallen en §3.2 voor uitleg over de symbolen en referentielijnen.



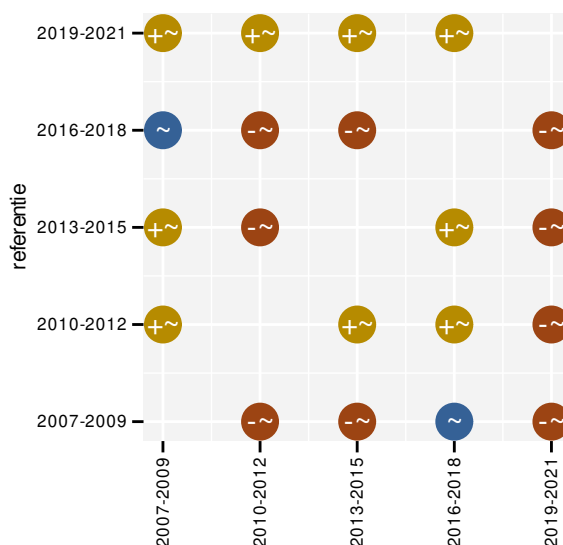
Figuur 99.4: Wijzigingen per driejarige cyclus voor Winterkoning. Zie §3.1 voor een verklaring van de intervallen en §3.2 voor uitleg over de symbolen en referentielijnen.

Tabel 99.1: Stratumgewicht, raming van het aantal hokken waarin de soort aanwezig is, aantal relevante hokken voor de analyse, aantal onderzochte hokken in het stratum, totaal aantal hokken van het stratum in Vlaanderen, aantal bezoeken aan een meetpunt en het gemiddeld aandeel relevante punten per hok voor Winterkoning (zie §2.5).

stratum	gewicht	aanwezig	relevant	onderzocht	totaal	bezoeken	punten
Landbouw	82.8%	4773.5	326	431	6311	20446	91.2%
Urbaan	5.7%	329.9	69	87	416	4094	87.9%
Bos	4.3%	250.2	149	190	319	9684	96.8%
Suburbaan	2.8%	159.6	54	68	201	3108	88.6%
Heide en duin	2.6%	150.3	71	94	199	4348	86.4%
Moeras en water	1.8%	101.0	59	80	137	3613	88.4%



Figuur 99.5: Paarsgewijze vergelijking tussen jaren voor Winterkoning. Uitleg van de symbolen in tabel 3.1.



Figuur 99.6: Paarsgewijze vergelijking tussen driejarige cycli voor Winterkoning. Uitleg van de symbolen in tabel 3.1.

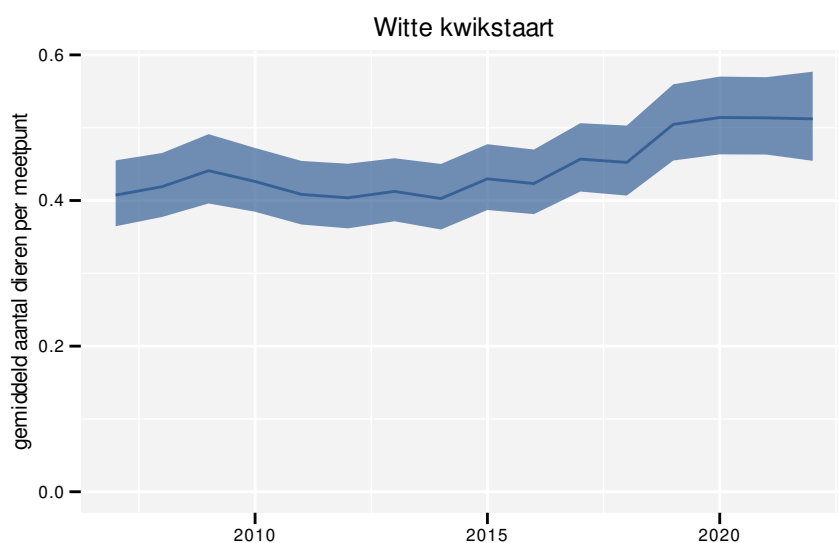
Tabel 99.2: Data-hashes van de analyses in het kader van traceerbaarheid (zie §4.3).

frequentie	model	analyse	status
jaarlijks	niet-lineair	64ac59bf6919f39bf58e a159ca247e33ab8024cb	91a4a3c10b894929616b 5dca1d5c1b37d8d21f2b
jaarlijks	lineair	bba560d65ad03c39baca c35052c7f8baba175569	48f1c6feccf5d0823271 423d4a6fb21741281dc3
driejaarlijks	niet-lineair	86c23196327819a53e64 1689b04e4307302bba36	3bc51c78b2b63f9706ef c6e636a8b0481b5422c9
driejaarlijks	lineair	71de8a3634dce61cbcb4 8ddc98a3cae0cc568d77	72f817e2617f4a3f7558 206969299be53405af3e

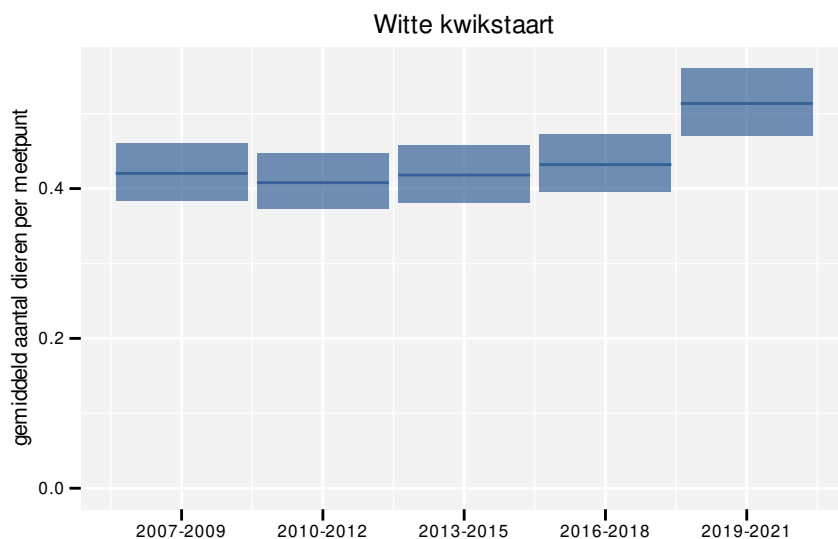
100 WITTE KWIKSTAART

Op basis van jaarlijkse gegevens zien we gemiddeld een toename met +1.7% (+1.0%; +2.3%) per jaar of +28% (+16%; +42%) over de volledige looptijd van het meetnet. Deze trend is niet-lineair.

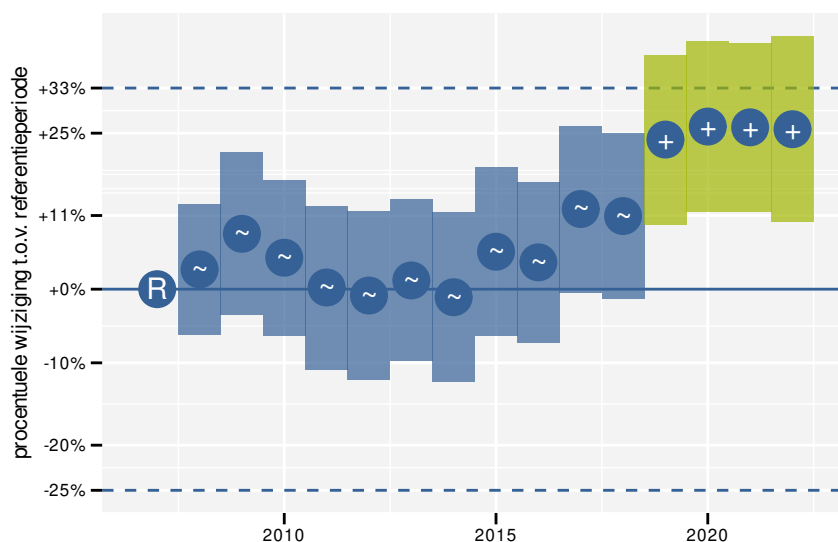
Op basis van driejaarlijkse gegevens zien we gemiddeld een toename met +1.7% (+1.0%; +2.4%) per jaar of +29% (+16%; +42%) over de volledige looptijd van het meetnet. Deze trend is niet-lineair.



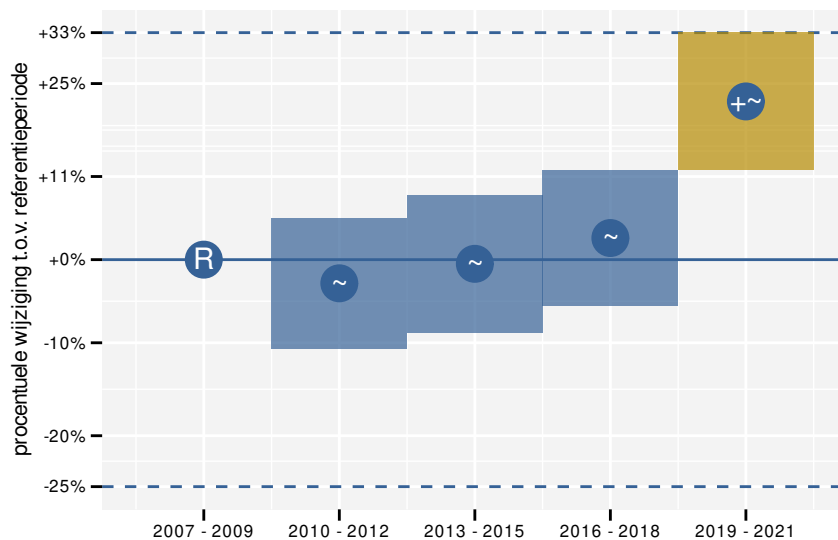
Figuur 100.1: Evolutie van het gemodelleerde gemiddeld aantal waargenomen dieren op een meetpunt voor Witte kwikstaart tijdens de referentieperiode. Zie §3.1 voor een verklaring van de intervallen.



Figuur 100.2: Evolutie van het gemodelleerde gemiddeld aantal waargenomen dieren op een meetpunt voor Witte kwikstaart tijdens de referentieperiode. Zie §3.1 voor een verklaring van de intervallen.



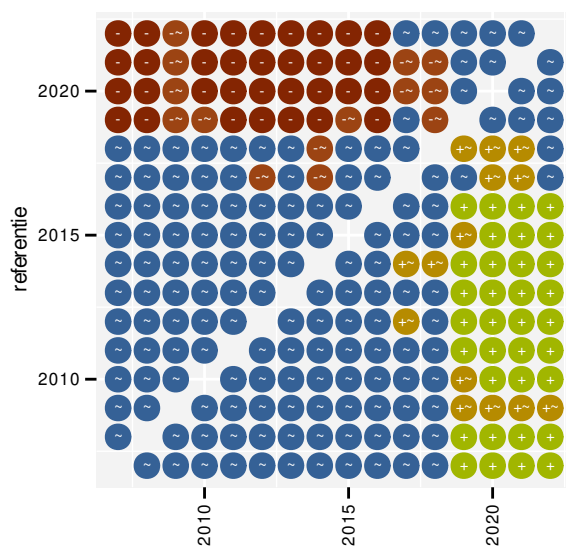
Figuur 100.3: Wijzigingen tussen jaren voor Witte kwikstaart. Zie §3.1 voor een verklaring van de intervallen en §3.2 voor uitleg over de symbolen en referentielijnen.



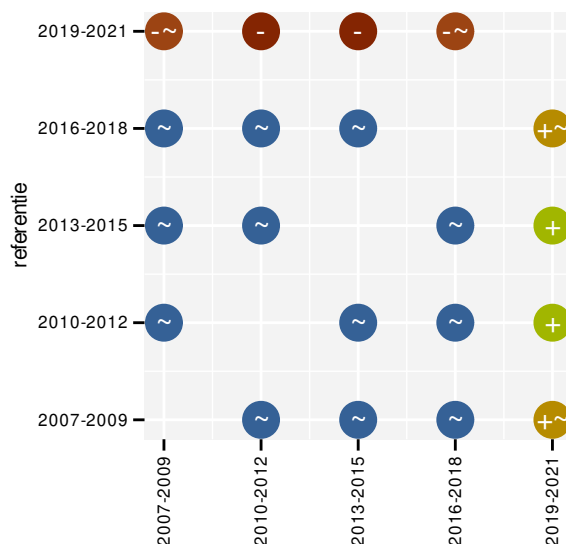
Figuur 100.4: Wijzigingen per driejarige cyclus voor Witte kwikstaart. Zie §3.1 voor een verklaring van de intervallen en §3.2 voor uitleg over de symbolen en referentielijnen.

Tabel 100.1: Stratumgewicht, raming van het aantal hokken waarin de soort aanwezig is, aantal relevante hokken voor de analyse, aantal onderzochte hokken in het stratum, totaal aantal hokken van het stratum in Vlaanderen, aantal bezoeken aan een meetpunt en het gemiddeld aandeel relevante punten per hok voor Witte kwikstaart (zie §2.5).

stratum	gewicht	aanwezig	relevant	onderzocht	totaal	bezoeken	punten
Landbouw	92.6%	4070.7	278	431	6311	13873	68.2%
Suburbaan	2.0%	88.7	30	68	201	1159	57.8%
Urbaan	1.5%	66.9	14	87	416	584	48.8%
Heide en duin	1.4%	61.4	29	94	199	1335	58.0%
Moeras en water	1.4%	59.9	35	80	137	1494	57.6%
Bos	1.1%	50.4	30	190	319	907	37.2%



Figuur 100.5: Paarsgewijze vergelijking tussen jaren voor Witte kwikstaart. Uitleg van de symbolen in tabel 3.1.



Figuur 100.6: Paarsgewijze vergelijking tussen driejarige cycli voor Witte kwikstaart. Uitleg van de symbolen in tabel 3.1.

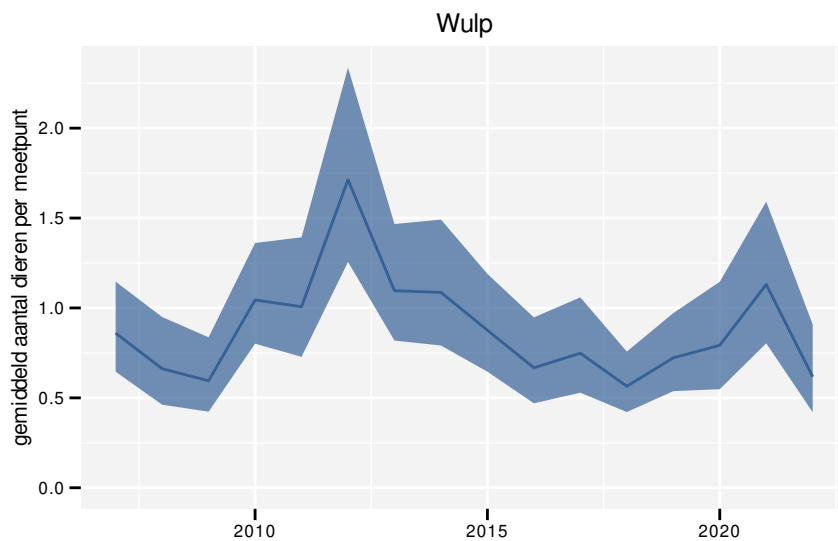
Tabel 100.2: Data-hashes van de analyses in het kader van traceerbaarheid (zie §4.3).

frequentie	model	analyse	status
jaarlijks	niet-lineair	fbdb56b763676dc013d5 31fbe529f9b625f4506b	9d866b07d2bdb9cc22aa 2d6ecc68d460db854a05
jaarlijks	lineair	f96c097fec87d15d733 a9e8c45c8b76b3aafa80	de019eab64feba475717 cd78885f2884906fb58e
driejaarlijks	niet-lineair	63bd1f6d554f98f10b81 3cd439f3a6123b39dfc6	ab0ddb6551f6c002a529 bc872ee75514a0339373
driejaarlijks	lineair	aa2a645edb15b591ceee 3f50b2f7757f0e289499	67a71757712974a6e6c3 76ffb487deb4751f3c98

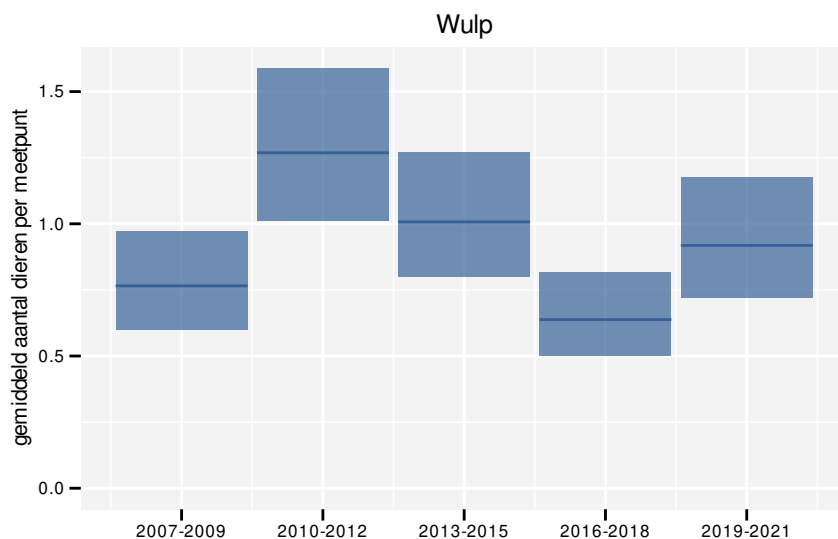
101 WULP

Op basis van jaarlijkse gegevens zien we gemiddeld een mogelijke afname met -1.5% (-3.2%; +0.2%) per jaar of -21% (-39%; +2%) over de volledige looptijd van het meetnet. Deze trend is niet-lineair.

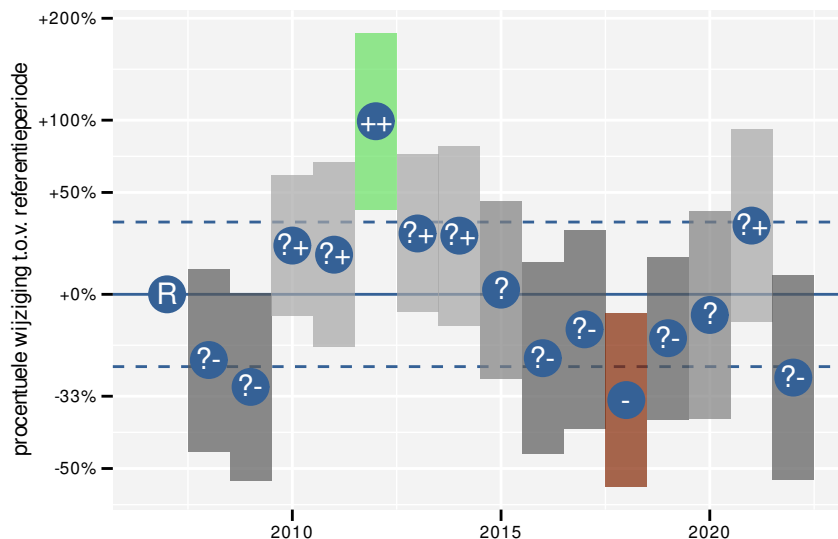
Op basis van driejaarlijkse gegevens zien we gemiddeld een afname met -1.7% (-3.4%; -0.0%) per jaar of -23% (-41%; -0%) over de volledige looptijd van het meetnet. Deze trend is niet-lineair.



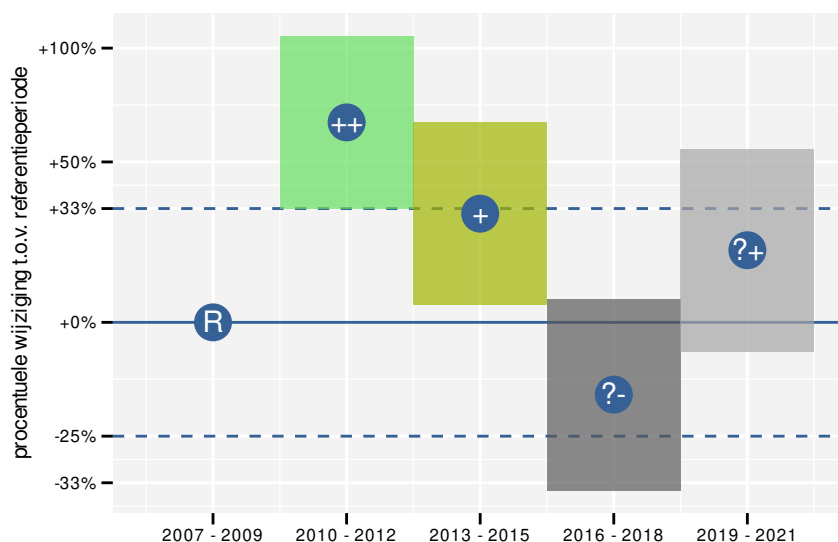
Figuur 101.1: Evolutie van het gemodelleerde gemiddeld aantal waargenomen dieren op een meetpunt voor Wulp tijdens de referentieperiode. Zie §3.1 voor een verklaring van de intervallen.



Figuur 101.2: Evolutie van het gemodelleerde gemiddeld aantal waargenomen dieren op een meetpunt voor Wulp tijdens de referentieperiode. Zie §3.1 voor een verklaring van de intervallen.



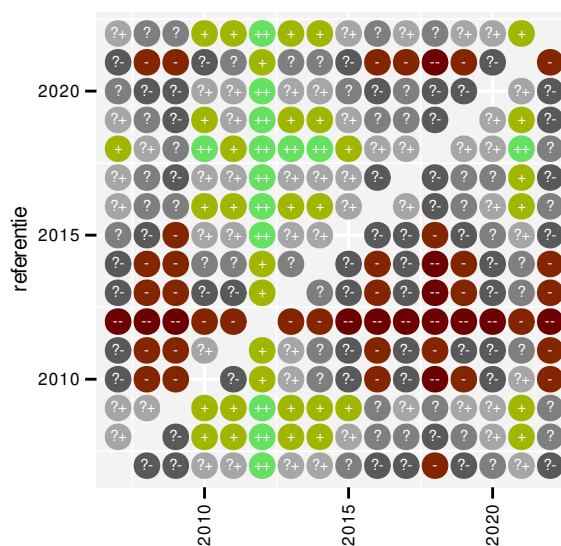
Figuur 101.3: Wijzigingen tussen jaren voor Wulp. Zie §3.1 voor een verklaring van de intervallen en §3.2 voor uitleg over de symbolen en referentielijnen.



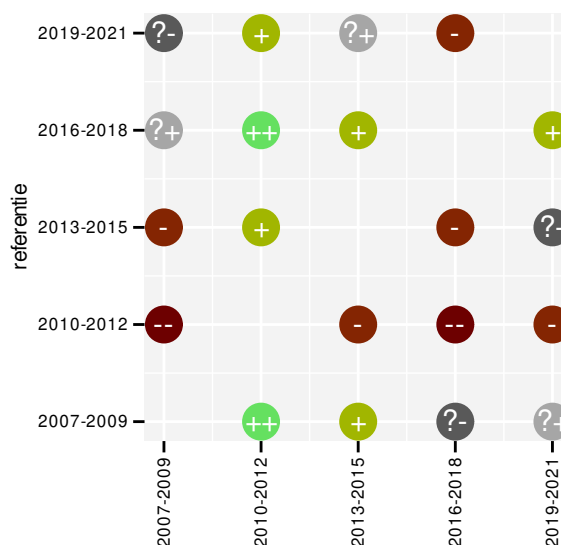
Figuur 101.4: Wijzigingen per driejarige cyclus voor Wulp. Zie §3.1 voor een verklaring van de intervallen en §3.2 voor uitleg over de symbolen en referentielijnen.

Tabel 101.1: Stratumgewicht, raming van het aantal hokken waarin de soort aanwezig is, aantal relevante hokken voor de analyse, aantal onderzochte hokken in het stratum, totaal aantal hokken van het stratum in Vlaanderen, aantal bezoeken aan een meetpunt en het gemiddeld aandeel relevante punten per hok voor Wulp (zie §2.5).

stratum	gewicht	aanwezig	relevant	onderzocht	totaal	bezoeken	punten
Landbouw	88.1%	527.1	36	431	6311	1644	61.6%
Heide en duin	8.5%	50.8	24	94	199	1143	62.5%
Bos	2.0%	13.4	8	190	319	187	47.9%
Moeras en water	1.4%	10.3	6	80	137	204	50.0%



Figuur 101.5: Paarsgewijze vergelijking tussen jaren voor Wulp. Uitleg van de symbolen in tabel 3.1.



Figuur 101.6: Paarsgewijze vergelijking tussen driejarige cycli voor Wulp. Uitleg van de symbolen in tabel 3.1.

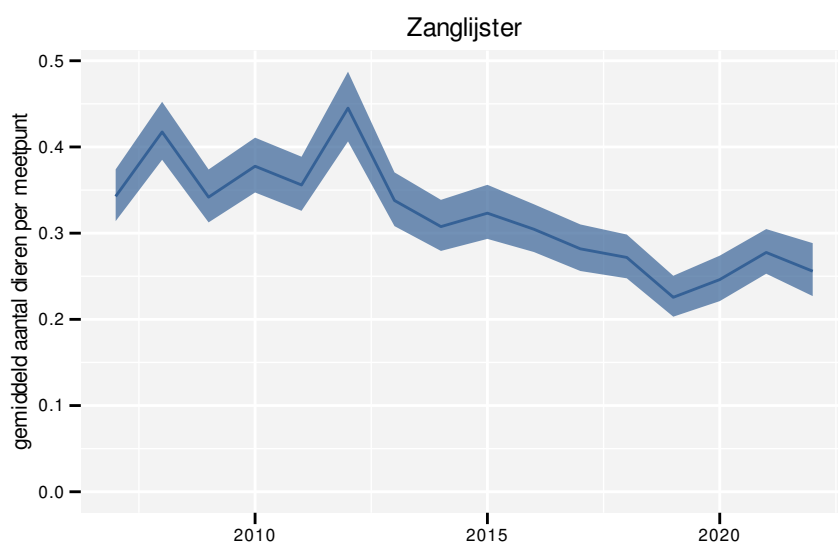
Tabel 101.2: Data-hashes van de analyses in het kader van traceerbaarheid (zie §4.3).

frequentie	model	analyse	status
jaarlijks	niet-lineair	40175c7cd0f6029ada84	9bc5cbfea27abb240734
		896b3a688e256e7ae7fe	fd0edf74759e49471430
jaarlijks	lineair	7d85c086e546bb1aee96	a05b4009986af9f49e20
		8444371ef7eaff6a7c79	2d19a42af47127d671c5
driejaarlijks	niet-lineair	a734c2c917fda854cef2	80d519e34b174a493c75
		119f26b57424f325b5a1	8ae3a4088a8c9d1f21b5
driejaarlijks	lineair	7a396e5e05693af69349	5bf6599afdb2b8e3914a
		68c811e113597d222e7f	533a8338fb85eedd65e2

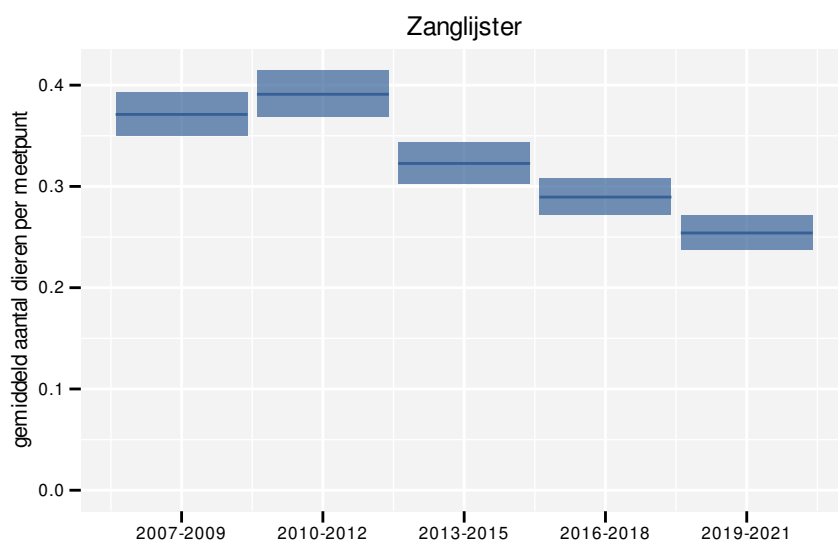
102 ZANGLIJSTER

Op basis van jaarlijkse gegevens zien we gemiddeld een sterke afname met -3.20% (-3.68%; -2.71%) per jaar of -38.6% (-43.0%; -33.8%) over de volledige looptijd van het meetnet. Deze trend is niet-lineair.

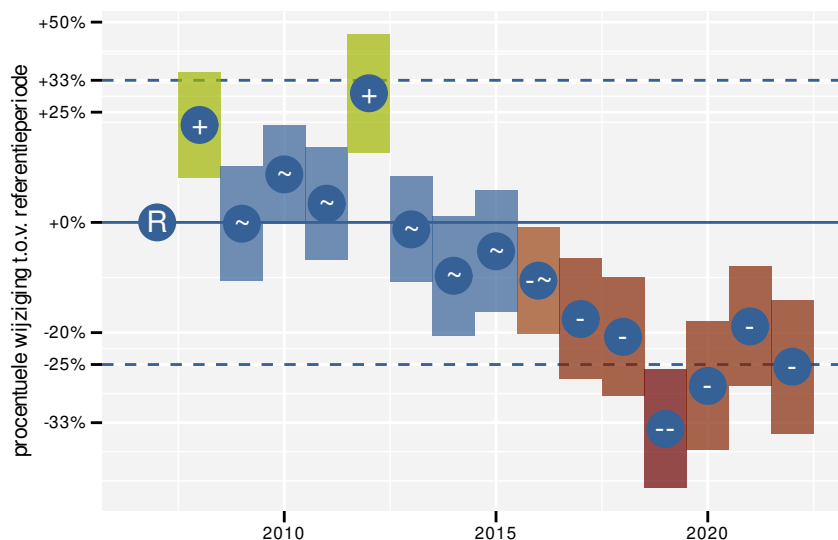
Op basis van driejaarlijkse gegevens zien we gemiddeld een sterke afname met -3.30% (-3.79%; -2.82%) per jaar of -39.6% (-44.0%; -34.9%) over de volledige looptijd van het meetnet. Deze trend is niet-lineair.



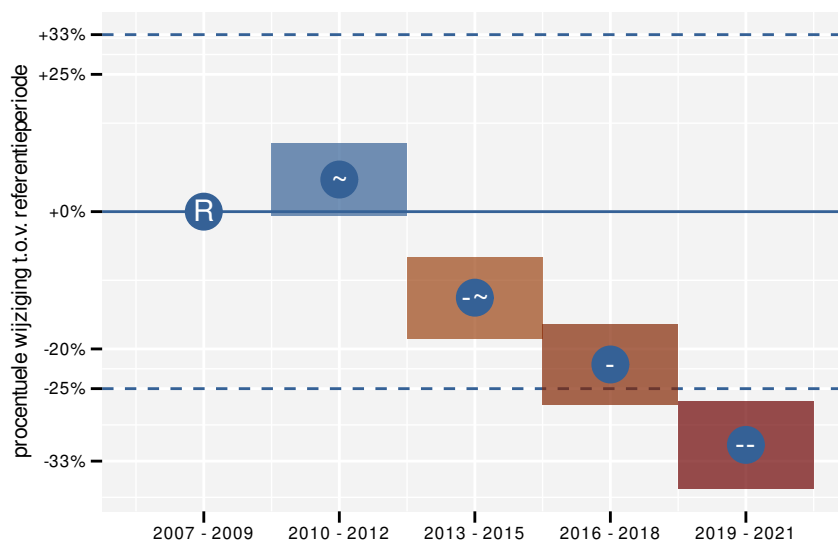
Figuur 102.1: Evolutie van het gemodelleerde gemiddeld aantal waargenomen dieren op een meetpunt voor Zanglijster tijdens de referentieperiode. Zie §3.1 voor een verklaring van de intervallen.



Figuur 102.2: Evolutie van het gemodelleerde gemiddeld aantal waargenomen dieren op een meetpunt voor Zanglijster tijdens de referentieperiode. Zie §3.1 voor een verklaring van de intervallen.



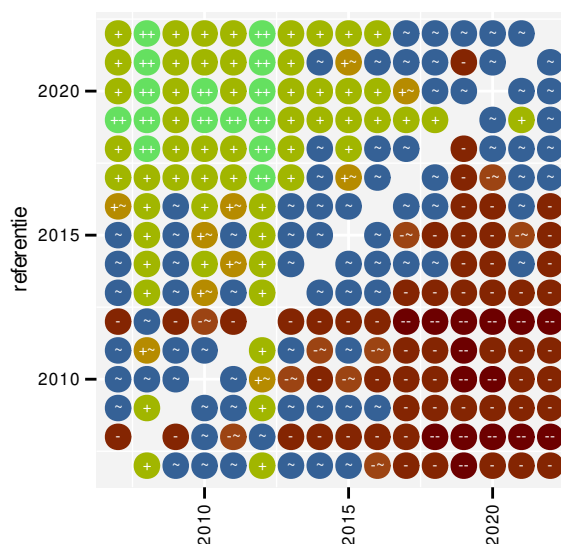
Figuur 102.3: Wijzigingen tussen jaren voor Zanglijster. Zie §3.1 voor een verklaring van de intervallen en §3.2 voor uitleg over de symbolen en referentielijnen.



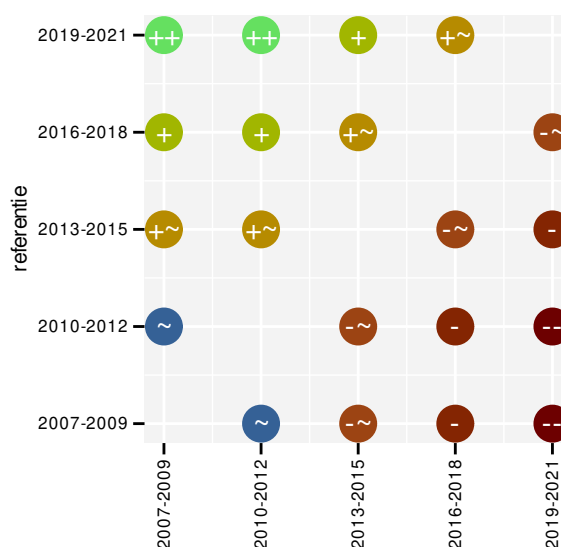
Figuur 102.4: Wijzigingen per driejarige cyclus voor Zanglijster. Zie §3.1 voor een verklaring van de intervallen en §3.2 voor uitleg over de symbolen en referentielijnen.

Tabel 102.1: Stratumgewicht, raming van het aantal hokken waarin de soort aanwezig is, aantal relevante hokken voor de analyse, aantal onderzochte hokken in het stratum, totaal aantal hokken van het stratum in Vlaanderen, aantal bezoeken aan een meetpunt en het gemiddeld aandeel relevante punten per hok voor Zanglijster (zie §2.5).

stratum	gewicht	aanwezig	relevant	onderzocht	totaal	bezoeken	punten
Landbouw	82.8%	4085.3	279	431	6311	15227	76.3%
Urbaan	5.3%	263.0	55	87	416	2906	73.9%
Bos	4.8%	236.7	141	190	319	8592	86.2%
Heide en duin	2.7%	133.4	63	94	199	3724	78.8%
Suburbaan	2.5%	124.1	42	68	201	2321	77.4%
Moeras en water	1.8%	90.8	53	80	137	3001	78.0%



Figuur 102.5: Paarsgewijze vergelijking tussen jaren voor Zanglijster. Uitleg van de symbolen in tabel 3.1.



Figuur 102.6: Paarsgewijze vergelijking tussen driejarige cycli voor Zanglijster. Uitleg van de symbolen in tabel 3.1.

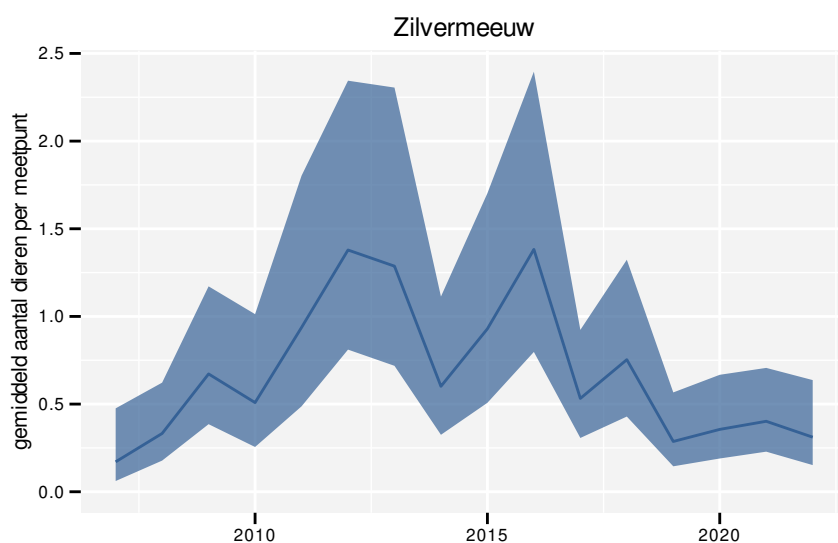
Tabel 102.2: Data-hashes van de analyses in het kader van traceerbaarheid (zie §4.3).

frequentie	model	analyse	status
jaarlijks	niet-lineair	de3bf18d27271a26d65d d97169c5a85ea3da7403	2b28dde14a6f127bb0f9 35796e8bed5523b45fc4
jaarlijks	lineair	d5c76f405a06aa546287 168e2bbe2a7041a04419	a05124542a1c98c89167 1c1266e541b5126e3485
driejaarlijks	niet-lineair	59d3365ee816cf5ecaf5 b70c06c86b42d3b0e59a	cc8293f9bda947a07df9 540162b4ddffb2f4e870
driejaarlijks	lineair	68a53218105ff1db41e3 22513e2173dd28f8e634	366c9306fb5c9326a24a f8f5f633ec544c5639b8

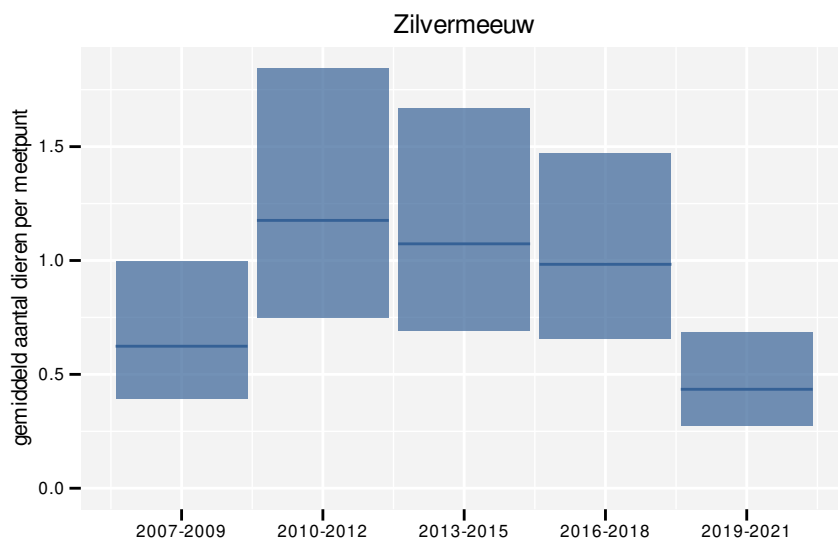
103 ZILVERMEEUW

Op basis van jaarlijkse gegevens zien we gemiddeld een afname met -5.2% (-8.5%; -1.8%) per jaar of -55% (-74%; -24%) over de volledige looptijd van het meetnet. Deze trend is niet-lineair.

Op basis van driejaarlijkse gegevens zien we gemiddeld een sterke afname met -5.7% (-9.0%; -2.3%) per jaar of -59% (-76%; -30%) over de volledige looptijd van het meetnet. Deze trend is niet-lineair.

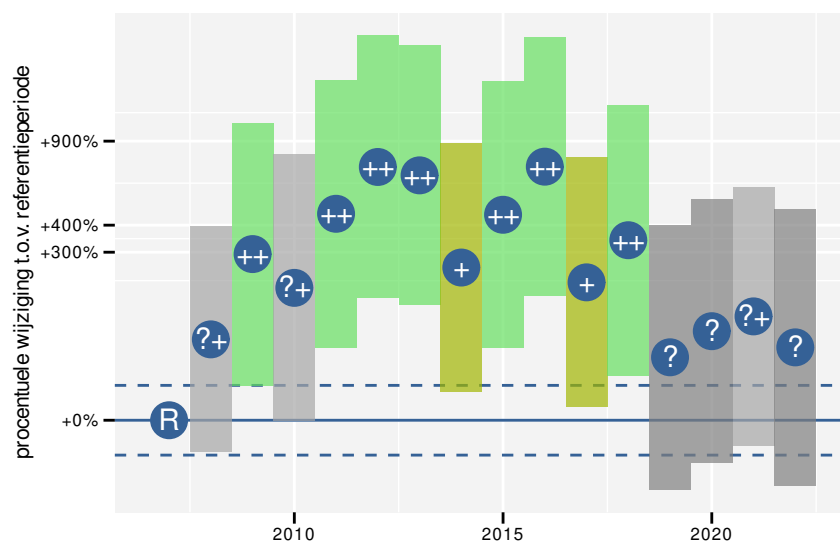


Figuur 103.1: Evolutie van het gemodelleerde gemiddeld aantal waargenomen dieren op een meetpunt voor Zilvermeeuw tijdens de referentieperiode. Zie §3.1 voor een verklaring van de intervallen.

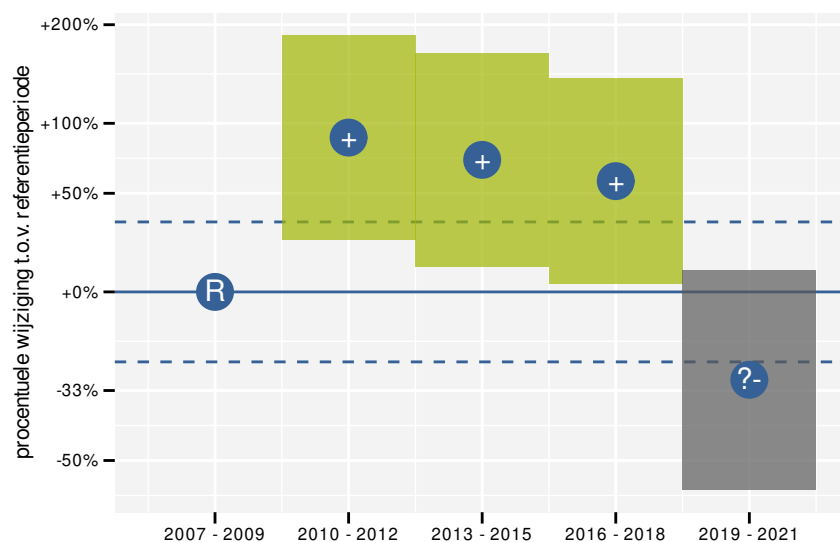


Figuur 103.2: Evolutie van het gemodelleerde gemiddeld aantal waargenomen dieren op een meetpunt voor Zilvermeeuw tijdens de referentieperiode. Zie §3.1 voor een verklaring van de intervallen.





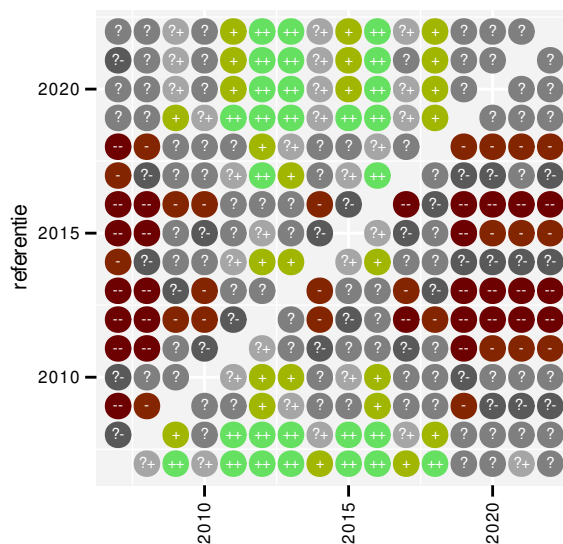
Figuur 103.3: Wijzigingen tussen jaren voor Zilvermeeuw. Zie §3.1 voor een verklaring van de intervallen en §3.2 voor uitleg over de symbolen en referentielijnen.



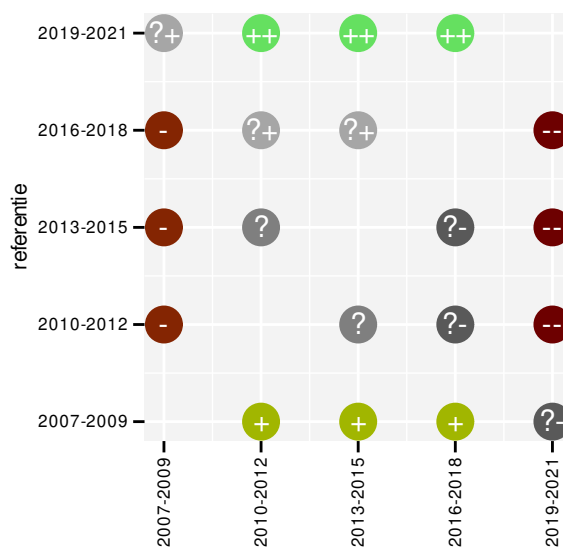
Figuur 103.4: Wijzigingen per driejarige cyclus voor Zilvermeeuw. Zie §3.1 voor een verklaring van de intervallen en §3.2 voor uitleg over de symbolen en referentielijnen.

Tabel 103.1: Stratumgewicht, raming van het aantal hokken waarin de soort aanwezig is, aantal relevante hokken voor de analyse, aantal onderzochte hokken in het stratum, totaal aantal hokken van het stratum in Vlaanderen, aantal bezoeken aan een meetpunt en het gemiddeld aandeel relevante punten per hok voor Zilvermeeuw (zie §2.5).

stratum	gewicht	aanwezig	relevant	onderzocht	totaal	bezoeken	punten
Landbouw	83.0%	234.3	16	431	6311	893	77.1%
Moeras en water	5.5%	15.4	9	80	137	466	74.1%
Urbaan	5.1%	19.1	4	87	416	175	62.5%
Suburbaan	4.2%	14.8	5	68	201	290	63.3%
Heide en duin	2.2%	8.5	4	94	199	197	58.3%



Figuur 103.5: Paarsgewijze vergelijking tussen jaren voor Zilvermeeuw. Uitleg van de symbolen in tabel 3.1.



Figuur 103.6: Paarsgewijze vergelijking tussen driejarige cycli voor Zilvermeeuw. Uitleg van de symbolen in tabel 3.1.

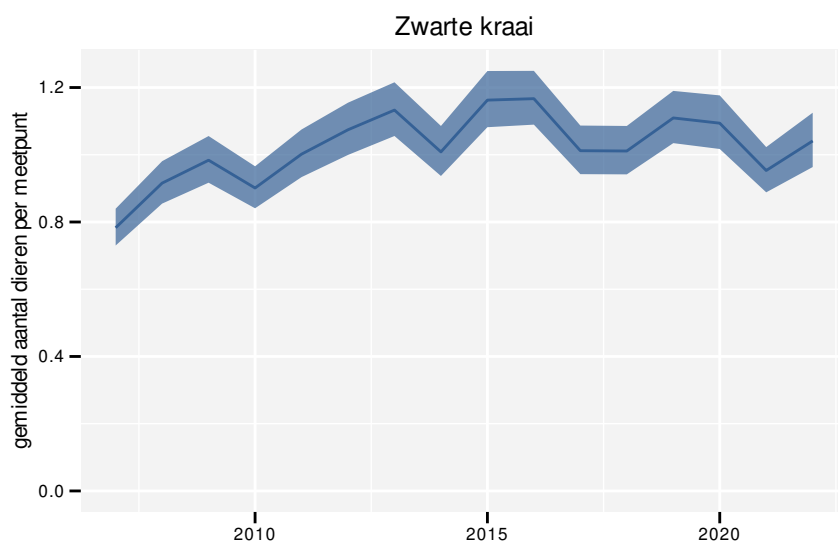
Tabel 103.2: Data-hashes van de analyses in het kader van traceerbaarheid (zie §4.3).

frequentie	model	analyse	status
jaarlijks	niet-lineair	b47a861e665729f337a0	faf2bd71e83b461a3c96
		b5268222e927355e081	0cd0ea9d7dcd3c3080b
jaarlijks	lineair	9f87033aa8f8f11dcde5	2715ed48af65d79b9c0c
		5ab76dd927a3636e2989	e23a13e3d50c714ca6f2
driejaarlijks	niet-lineair	77bf789884b5fca0d93e	57387acc2161464cb891
		2e381b2576b4fe970eaf	d29db32d0b9274bbbed12
driejaarlijks	lineair	5ba800ff8e1051529305	6aa70284f92658fa76fb
		dcc133b0aa93462c2b2e	0e5c71b0c75f9e196975

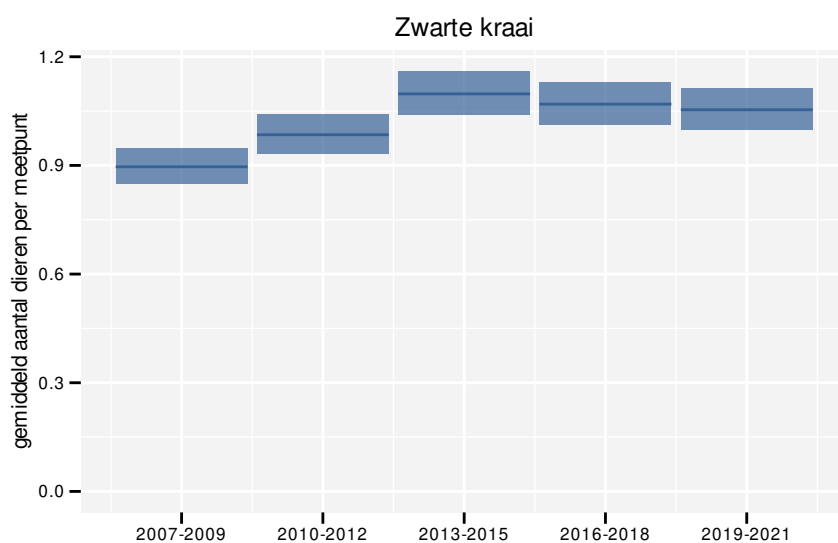
104 ZWARTE KRAAI

Op basis van jaarlijkse gegevens zien we gemiddeld een matige toename met +1.298% (+0.995%; +1.613%) per jaar of +21% (+16%; +27%) over de volledige looptijd van het meetnet. Deze trend is niet-lineair.

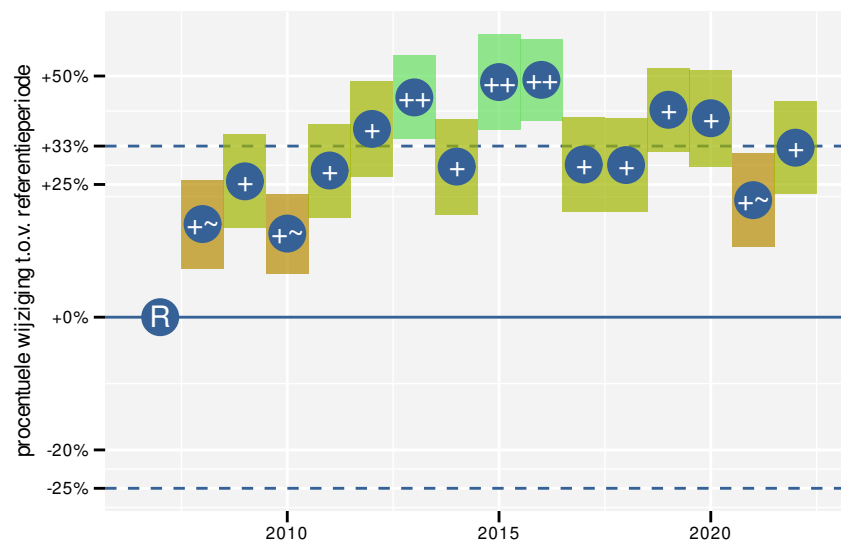
Op basis van driejaarlijkse gegevens zien we gemiddeld een matige toename met +1.305% (+0.992%; +1.620%) per jaar of +21% (+16%; +27%) over de volledige looptijd van het meetnet. Deze trend is niet-lineair.



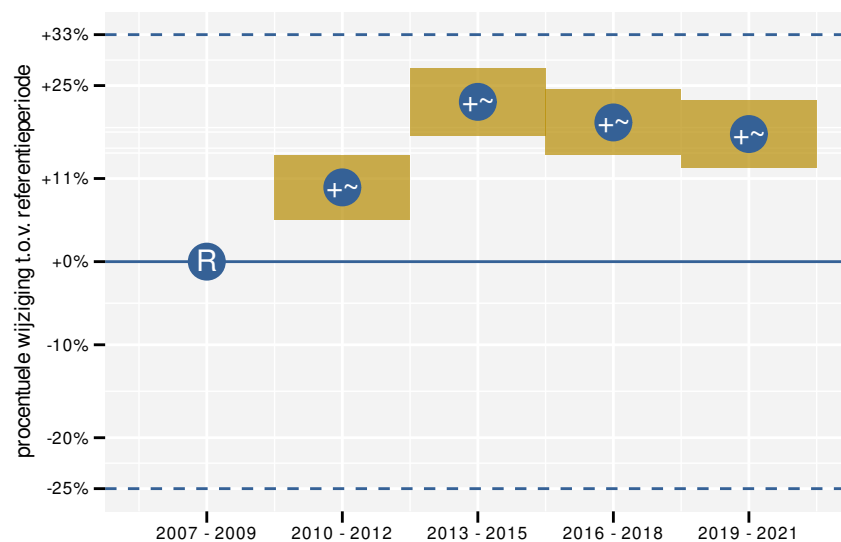
Figuur 104.1: Evolutie van het gemodelleerde gemiddeld aantal waargenomen dieren op een meetpunt voor Zwarte kraai tijdens de referentieperiode. Zie §3.1 voor een verklaring van de intervallen.



Figuur 104.2: Evolutie van het gemodelleerde gemiddeld aantal waargenomen dieren op een meetpunt voor Zwarte kraai tijdens de referentieperiode. Zie §3.1 voor een verklaring van de intervallen.



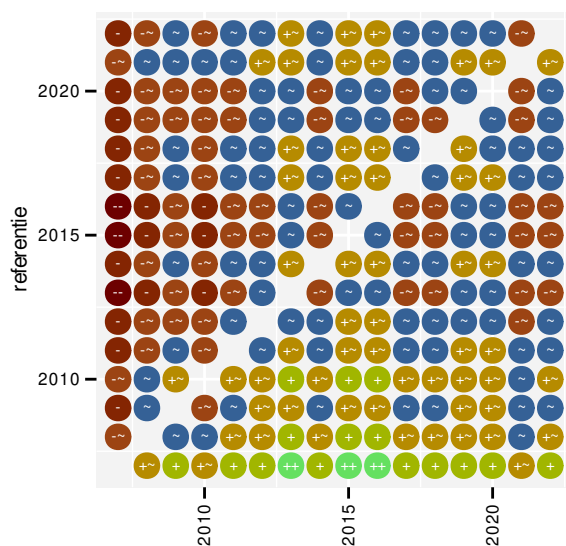
Figuur 104.3: Wijzigingen tussen jaren voor Zwarte kraai. Zie §3.1 voor een verklaring van de intervallen en §3.2 voor uitleg over de symbolen en referentielijnen.



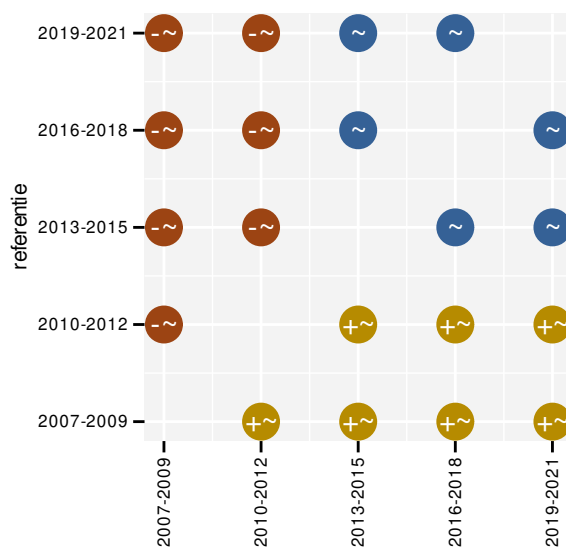
Figuur 104.4: Wijzigingen per driejarige cyclus voor Zwarte kraai. Zie §3.1 voor een verklaring van de intervallen en §3.2 voor uitleg over de symbolen en referentielijnen.

Tabel 104.1: Stratumgewicht, raming van het aantal hokken waarin de soort aanwezig is, aantal relevante hokken voor de analyse, aantal onderzochte hokken in het stratum, totaal aantal hokken van het stratum in Vlaanderen, aantal bezoeken aan een meetpunt en het gemiddeld aandeel relevante punten per hok voor Zwarte kraai (zie §2.5).

stratum	gewicht	aanwezig	relevant	onderzocht	totaal	bezoeken	punten
Landbouw	83.2%	4890.7	334	431	6311	21938	96.5%
Urbaan	5.4%	315.6	66	87	416	4171	90.2%
Bos	4.0%	236.7	141	190	319	8912	90.5%
Heide en duin	2.9%	169.4	80	94	199	4931	89.2%
Suburbaan	2.7%	159.6	54	68	201	3260	92.6%
Moeras en water	1.8%	106.2	62	80	137	3989	95.2%



Figuur 104.5: Paarsgewijze vergelijking tussen jaren voor Zwarte kraai. Uitleg van de symbolen in tabel 3.1.



Figuur 104.6: Paarsgewijze vergelijking tussen driejarige cycli voor Zwarte kraai. Uitleg van de symbolen in tabel 3.1.

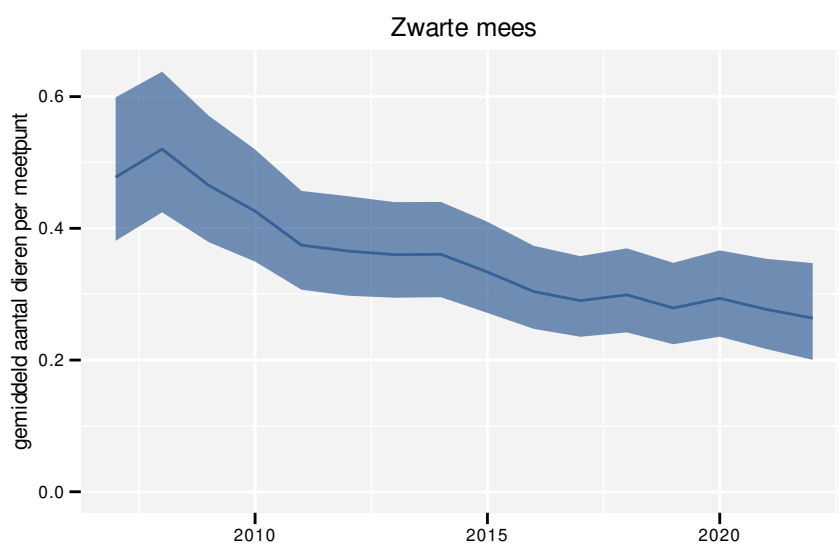
Tabel 104.2: Data-hashes van de analyses in het kader van traceerbaarheid (zie §4.3).

frequentie	model	analyse	status
jaarlijks	niet-lineair	1e5bb82cc661b3cdaa58 d6a2d206f82c83326b53	d57785842faa1f4c5c89 c645887917c7993d6269
jaarlijks	lineair	74f94df19d2871e965a0 158f07b38dff6d15dc90	8d6dcfa88afcdf4f7433 9e100bc66f80d4751f03
driejaarlijks	niet-lineair	f3e5e1fe95716a56f0ca 87fe92b9bf23b7e63029	e0d3c00f18ee0a9c18c0 517f71027e7fb356d109
driejaarlijks	lineair	0cc2715da03fa778fcd6 c17c03e32f01effbac37	3f1cd2f90fd9324c56d7 5208ae66d23cd15ef84b

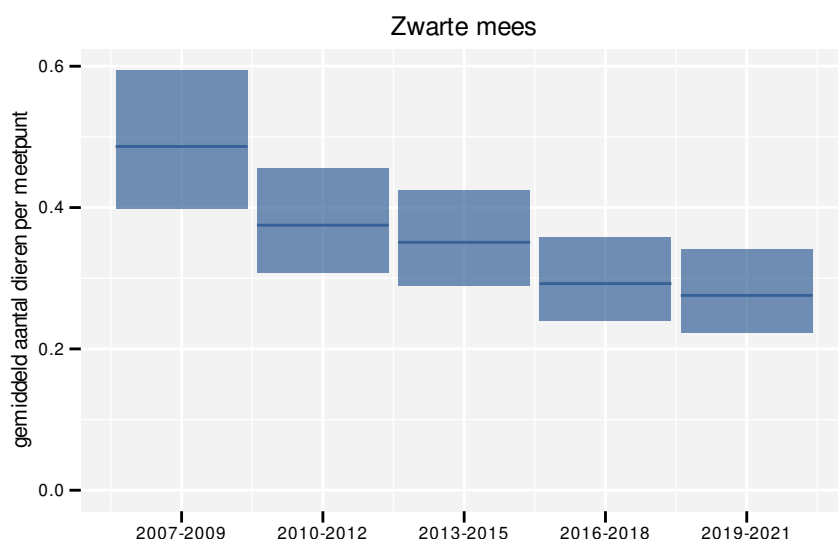
105 ZWARTE MEES

Op basis van jaarlijkse gegevens zien we gemiddeld een sterke afname met -5.0% (-7.7%; -2.2%) per jaar of -54% (-70%; -29%) over de volledige looptijd van het meetnet. Deze trend is niet-lineair.

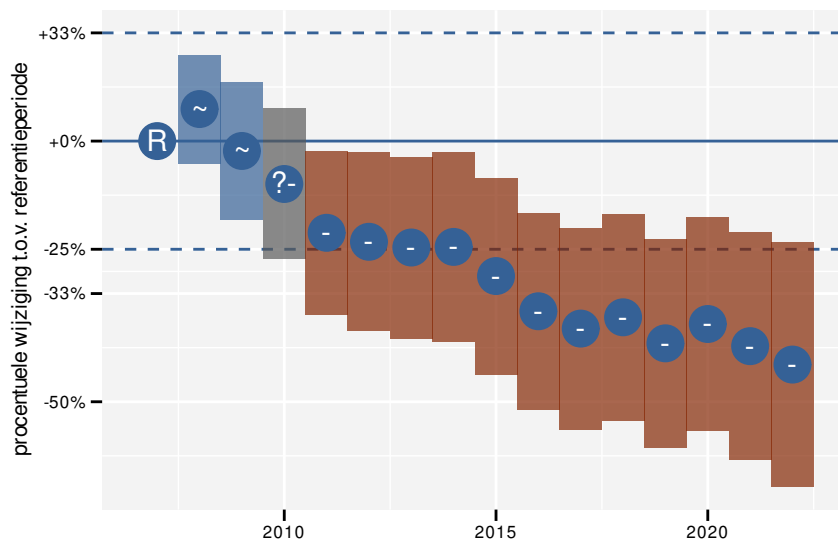
Op basis van driejaarlijkse gegevens zien we gemiddeld een sterke afname met -5.3% (-7.9%; -2.6%) per jaar of -56% (-71%; -32%) over de volledige looptijd van het meetnet. Deze trend is lineair.



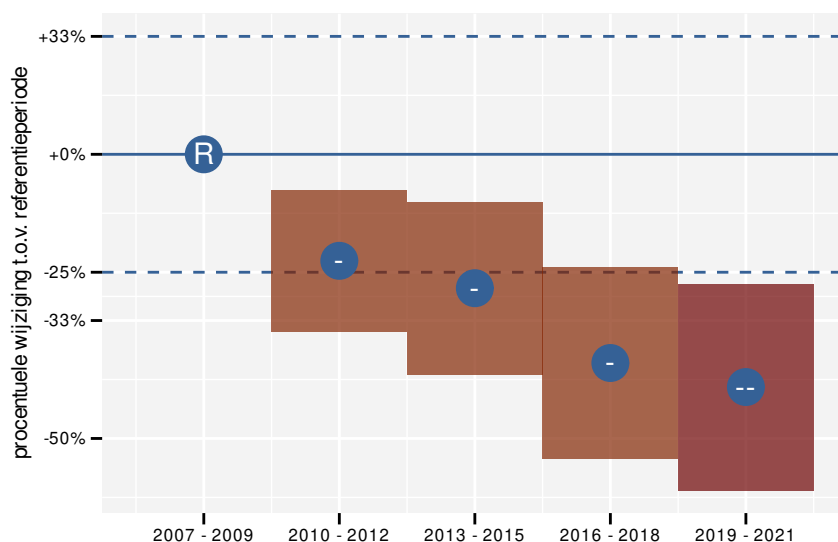
Figuur 105.1: Evolutie van het gemodelleerde gemiddeld aantal waargenomen dieren op een meetpunt voor Zwarte mees tijdens de referentieperiode. Zie §3.1 voor een verklaring van de intervallen.



Figuur 105.2: Evolutie van het gemodelleerde gemiddeld aantal waargenomen dieren op een meetpunt voor Zwarte mees tijdens de referentieperiode. Zie §3.1 voor een verklaring van de intervallen.



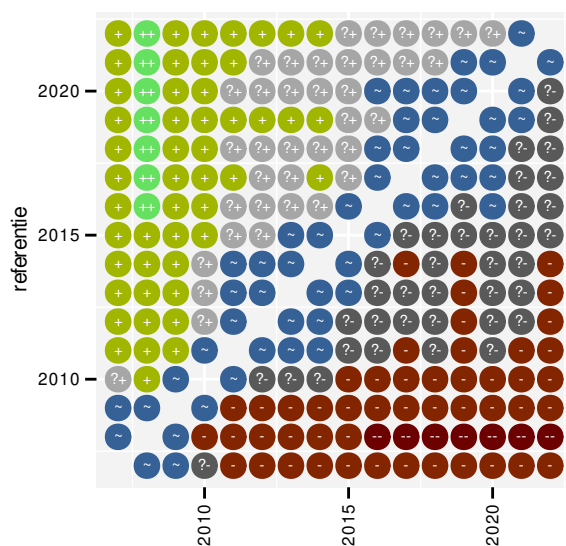
Figuur 105.3: Wijzigingen tussen jaren voor Zwarte mees. Zie §3.1 voor een verklaring van de intervallen en §3.2 voor uitleg over de symbolen en referentielijnen.



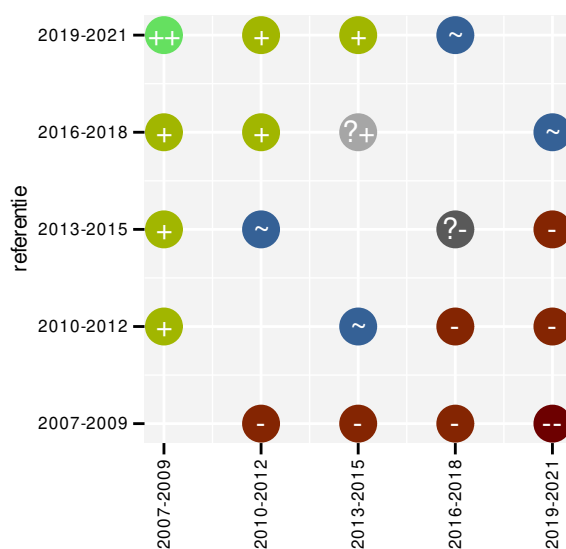
Figuur 105.4: Wijzigingen per driejarige cyclus voor Zwarte mees. Zie §3.1 voor een verklaring van de intervallen en §3.2 voor uitleg over de symbolen en referentielijnen.

Tabel 105.1: Stratumgewicht, raming van het aantal hokken waarin de soort aanwezig is, aantal relevante hokken voor de analyse, aantal onderzochte hokken in het stratum, totaal aantal hokken van het stratum in Vlaanderen, aantal bezoeken aan een meetpunt en het gemiddeld aandeel relevante punten per hok voor Zwarte mees (zie §2.5).

stratum	gewicht	aanwezig	relevant	onderzocht	totaal	bezoeken	punten
Bos	43.8%	119.2	71	190	319	3978	70.4%
Landbouw	32.3%	87.9	6	431	6311	238	38.9%
Heide en duin	16.3%	44.5	21	94	199	972	50.8%
Suburbaan	7.6%	23.6	8	68	201	196	35.4%



Figuur 105.5: Paarsgewijze vergelijking tussen jaren voor Zwarte mees. Uitleg van de symbolen in tabel 3.1.



Figuur 105.6: Paarsgewijze vergelijking tussen driejarige cycli voor Zwarte mees. Uitleg van de symbolen in tabel 3.1.

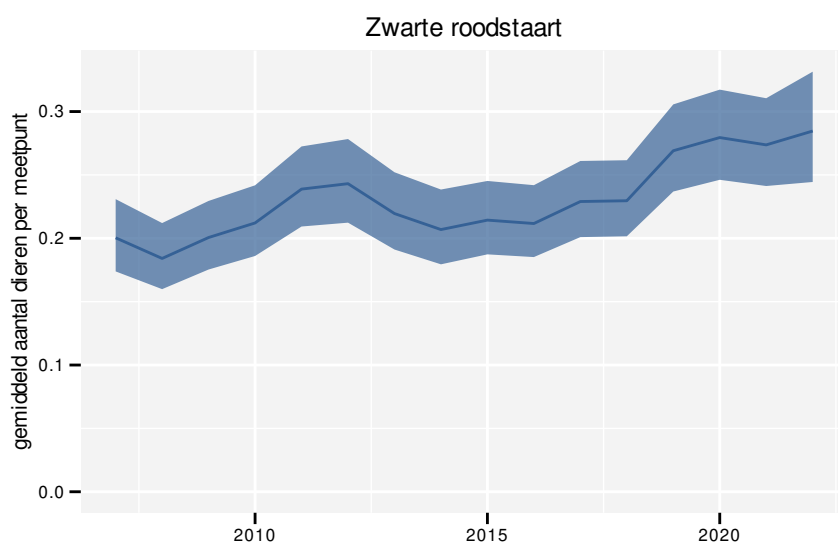
Tabel 105.2: Data-hashes van de analyses in het kader van traceerbaarheid (zie §4.3).

frequentie	model	analyse	status
jaarlijks	niet-lineair	037e8f6b1561dada5ec1	c6875a91397cfaa9fcb0
		eb5fc1b66161d2f3666b	2891d67875f61de92988
jaarlijks	lineair	15885a49fc3365c8e1f2	7d8b24b52bfcc07a7b6
		caadf6bd6c447a0871cb	2cae408b79bf5b1441c5
driejaarlijks	niet-lineair	41c9a5ad4d63978cc65f	bd81a6e1ff916ec8ad17
		09bd5544f829de2fcefc	52f305469166018f8a2e
driejaarlijks	lineair	69007ac0e9f618e16077	db560f1542d26cd5dbe7
		6a37bb669ed3dba8409e	d97c4d2b394dabab827a

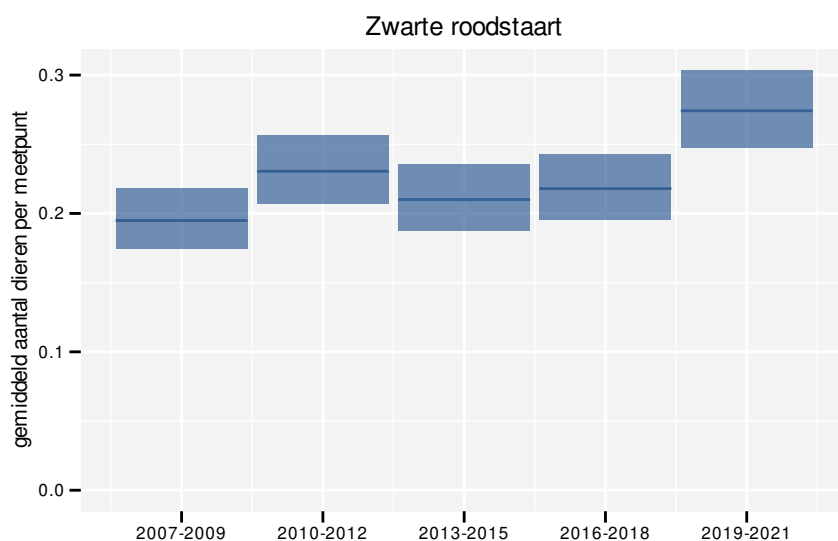
106 ZWARTE ROODSTAART

Op basis van jaarlijkse gegevens zien we gemiddeld een toename met +2.3% (+1.4%; +3.2%) per jaar of +40% (+23%; +60%) over de volledige looptijd van het meetnet. Deze trend is niet-lineair.

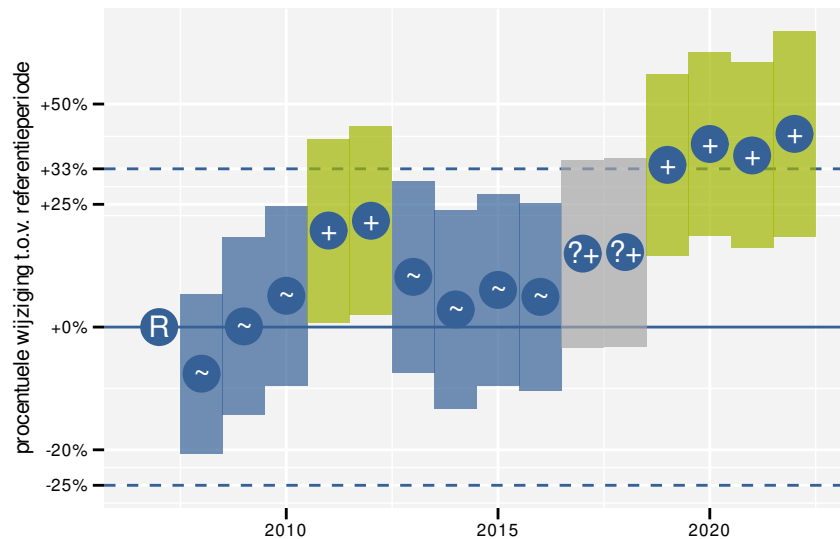
Op basis van driejaarlijkse gegevens zien we gemiddeld een toename met +2.3% (+1.4%; +3.2%) per jaar of +41% (+23%; +61%) over de volledige looptijd van het meetnet. Deze trend is niet-lineair.



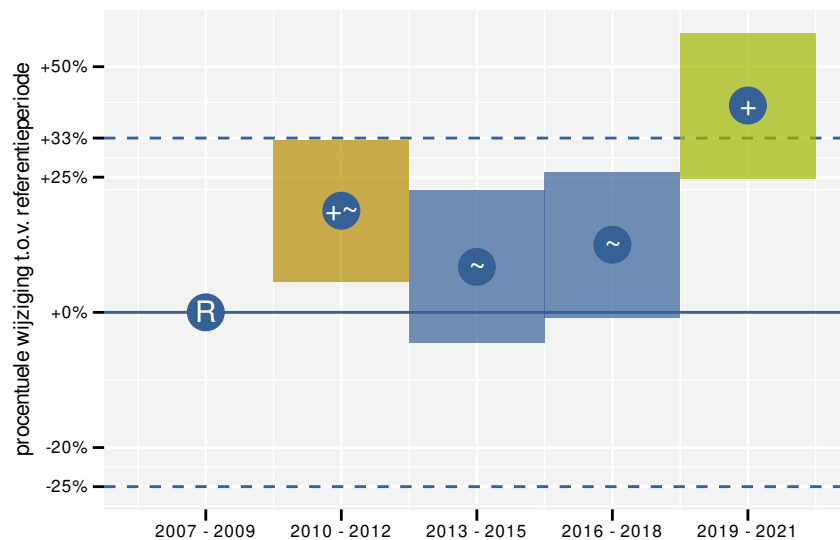
Figuur 106.1: Evolutie van het gemodelleerde gemiddeld aantal waargenomen dieren op een meetpunt voor Zwarte roodstaart tijdens de referentieperiode. Zie §3.1 voor een verklaring van de intervallen.



Figuur 106.2: Evolutie van het gemodelleerde gemiddeld aantal waargenomen dieren op een meetpunt voor Zwarte roodstaart tijdens de referentieperiode. Zie §3.1 voor een verklaring van de intervallen.



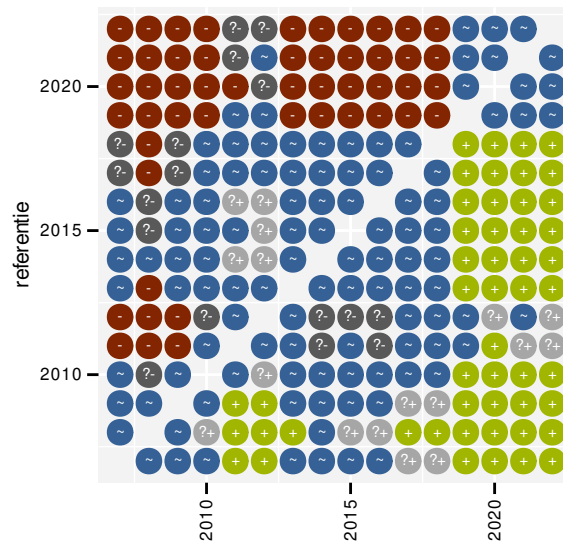
Figuur 106.3: Wijzigingen tussen jaren voor Zwarte roodstaart. Zie §3.1 voor een verklaring van de intervallen en §3.2 voor uitleg over de symbolen en referentielijnen.



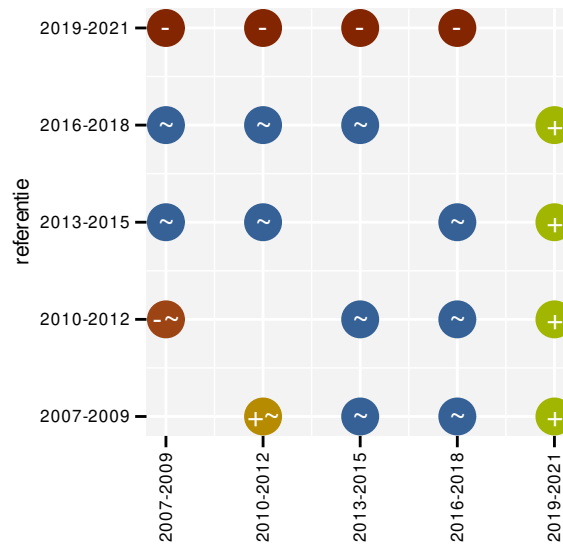
Figuur 106.4: Wijzigingen per driejarige cyclus voor Zwarte roodstaart. Zie §3.1 voor een verklaring van de intervallen en §3.2 voor uitleg over de symbolen en referentielijnen.

Tabel 106.1: Stratumgewicht, raming van het aantal hokken waarin de soort aanwezig is, aantal relevante hokken voor de analyse, aantal onderzochte hokken in het stratum, totaal aantal hokken van het stratum in Vlaanderen, aantal bezoeken aan een meetpunt en het gemiddeld aandeel relevante punten per hok voor Zwarte roodstaart (zie §2.5).

stratum	gewicht	aanwezig	relevant	onderzocht	totaal	bezoeken	punten
Landbouw	90.0%	2386.8	163	431	6311	6550	52.9%
Urbaan	4.7%	124.3	26	87	416	1093	53.2%
Suburbaan	3.2%	85.7	29	68	201	1538	70.1%
Moeras en water	1.0%	27.4	16	80	137	643	54.2%
Heide en duin	0.6%	19.1	9	94	199	340	46.3%
Bos	0.4%	11.8	7	190	319	251	42.9%



Figuur 106.5: Paarsgewijze vergelijking tussen jaren voor Zwarte roodstaart. Uitleg van de symbolen in tabel 3.1.

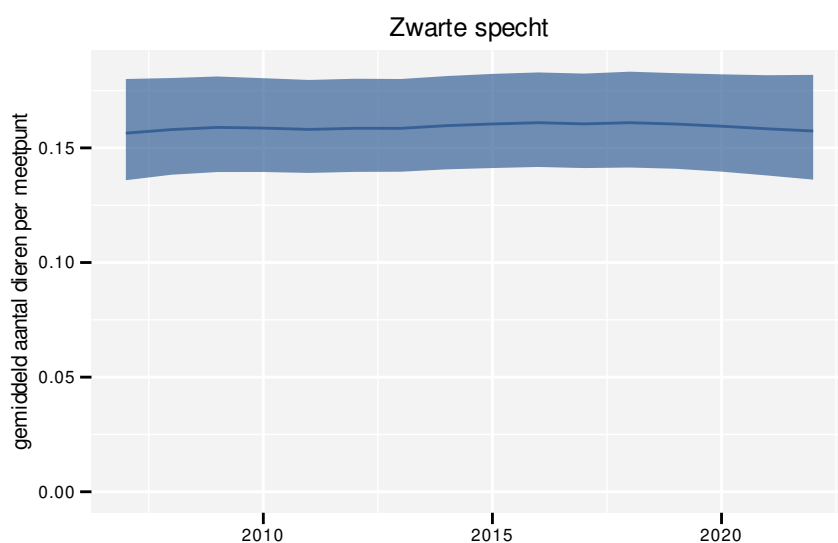


Figuur 106.6: Paarsgewijze vergelijking tussen driejarige cycli voor Zwarte roodstaart. Uitleg van de symbolen in tabel 3.1.

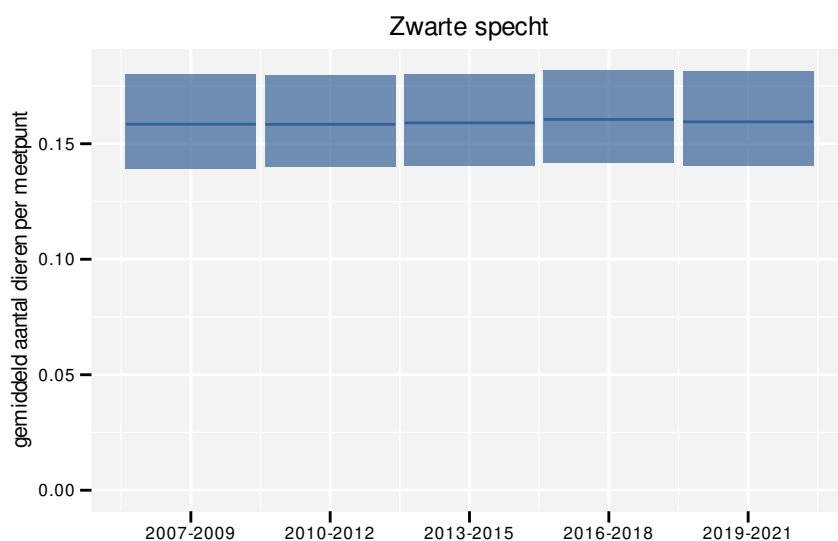
107 ZWARTE SPECHT

Op basis van jaarlijkse gegevens zien we gemiddeld een mogelijke afname met -1.4% (-4.0%; +1.2%) per jaar of -20% (-45%; +19%) over de volledige looptijd van het meetnet. Deze trend is niet-lineair.

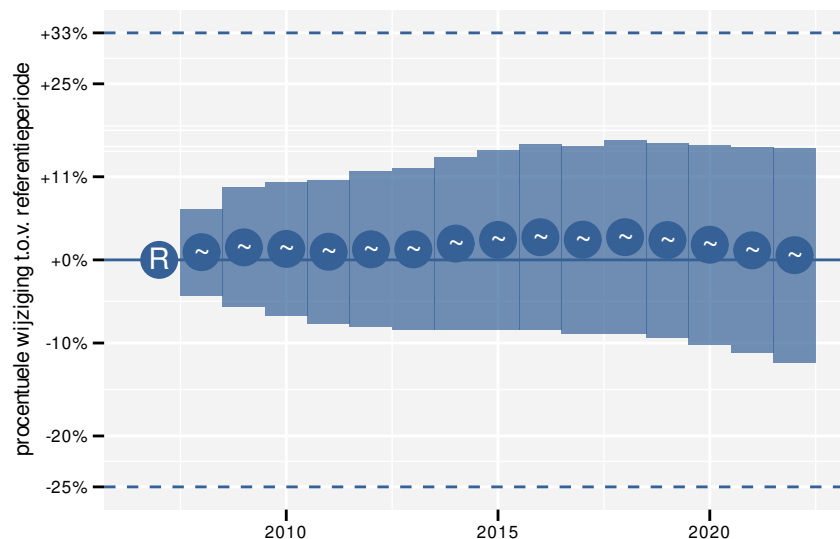
Op basis van driejaarlijkse gegevens zien we gemiddeld een mogelijke afname met -1.5% (-3.9%; +1.1%) per jaar of -20% (-45%; +17%) over de volledige looptijd van het meetnet. Deze trend is niet-lineair.



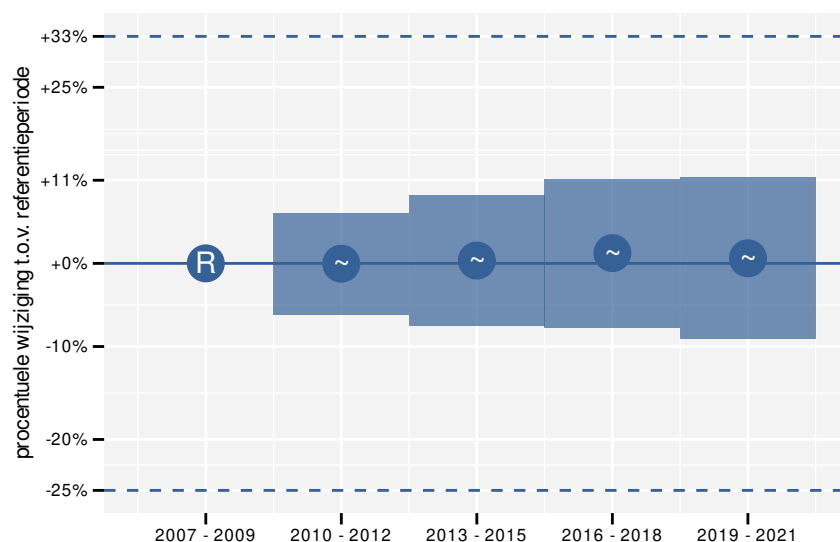
Figuur 107.1: Evolutie van het gemodelleerde gemiddeld aantal waargenomen dieren op een meetpunt voor Zwarte specht tijdens de referentieperiode. Zie §3.1 voor een verklaring van de intervallen.



Figuur 107.2: Evolutie van het gemodelleerde gemiddeld aantal waargenomen dieren op een meetpunt voor Zwarte specht tijdens de referentieperiode. Zie §3.1 voor een verklaring van de intervallen.



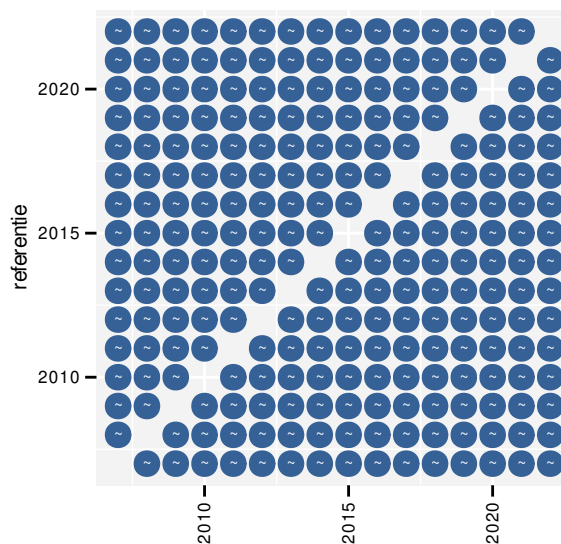
Figuur 107.3: Wijzigingen tussen jaren voor Zwarte specht. Zie §3.1 voor een verklaring van de intervallen en §3.2 voor uitleg over de symbolen en referentielijnen.



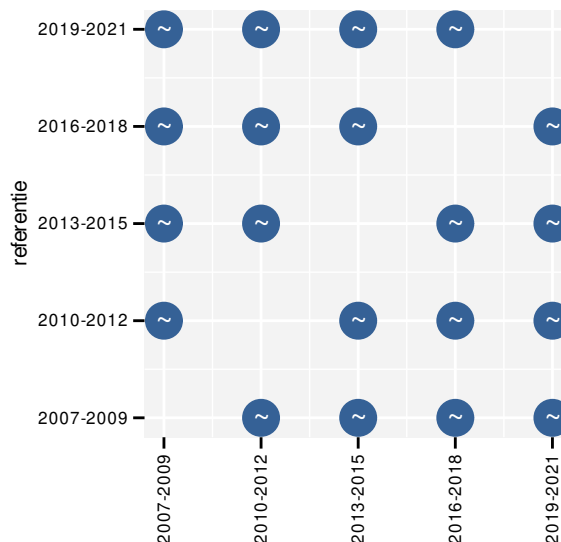
Figuur 107.4: Wijzigingen per driejarige cyclus voor Zwarte specht. Zie §3.1 voor een verklaring van de intervallen en §3.2 voor uitleg over de symbolen en referentielijnen.

Tabel 107.1: Stratumgewicht, raming van het aantal hokken waarin de soort aanwezig is, aantal relevante hokken voor de analyse, aantal onderzochte hokken in het stratum, totaal aantal hokken van het stratum in Vlaanderen, aantal bezoeken aan een meetpunt en het gemiddeld aandeel relevante punten per hok voor Zwarte specht (zie §2.5).

stratum	gewicht	aanwezig	relevant	onderzocht	totaal	bezoeken	punten
Bos	48.5%	112.5	67	190	319	3445	59.2%
Heide en duin	27.4%	63.5	30	94	199	1444	53.9%
Landbouw	18.9%	58.6	4	431	6311	122	33.3%
Moeras en water	5.2%	12.0	7	80	137	426	69.0%



Figuur 107.5: Paarsgewijze vergelijking tussen jaren voor Zwarte specht. Uitleg van de symbolen in tabel 3.1.



Figuur 107.6: Paarsgewijze vergelijking tussen driejarige cycli voor Zwarte specht. Uitleg van de symbolen in tabel 3.1.

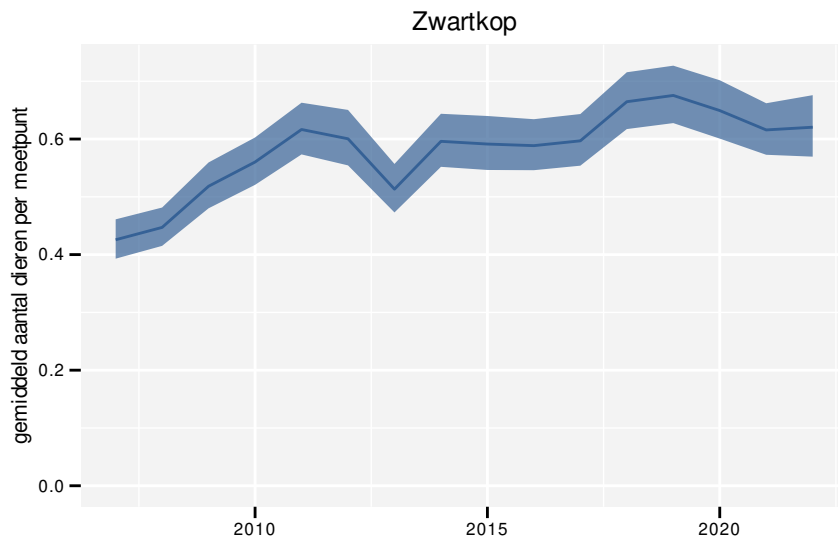
Tabel 107.2: Data-hashes van de analyses in het kader van traceerbaarheid (zie §4.3).

frequentie	model	analyse	status
jaarlijks	niet-lineair	3e375da885e896e3a8d4 48cc8522ab89a18df2df	923b58fd29226bd2c432 a08dfab067e0fc73d0f2
jaarlijks	lineair	11aaf03ec06e0d848785 04b9c502c627df8aff4a	8140ce4582ee9f135c0d eed40f473beacfd2fb07
driejaarlijks	niet-lineair	c7f429cdcc94b694cf52 659a4d977307aec3d2c4	96fd778767ffd17cedca 498bcdb5bdb6808dfefa
driejaarlijks	lineair	b9a86660d605c5d809fc 70479e6d9c67c25e5f60	ea9309c0b082dbb6b142 d1425ff70b6df2de119e

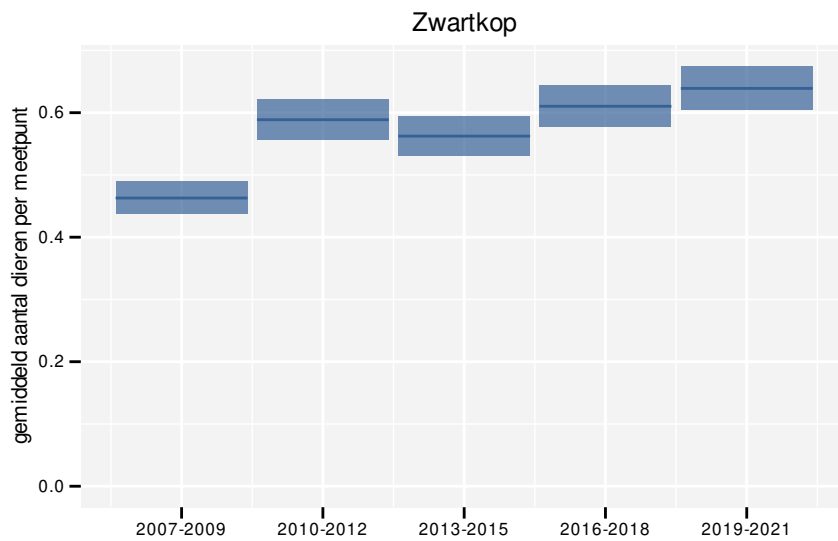
108 ZWARTKOP

Op basis van jaarlijkse gegevens zien we gemiddeld een toename met +2.28% (+1.88%; +2.66%) per jaar of +40% (+32%; +48%) over de volledige looptijd van het meetnet. Deze trend is niet-lineair.

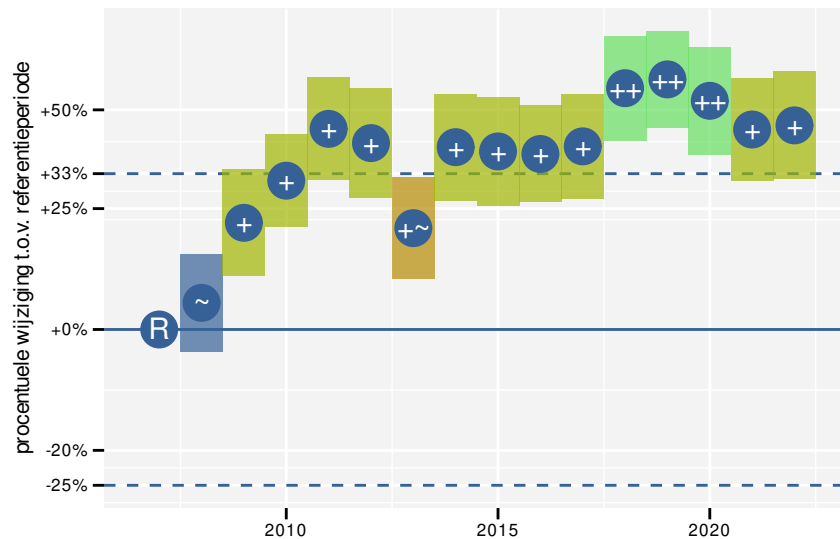
Op basis van driejaarlijkse gegevens zien we gemiddeld een toename met +2.21% (+1.82%; +2.61%) per jaar of +39% (+31%; +47%) over de volledige looptijd van het meetnet. Deze trend is niet-lineair.



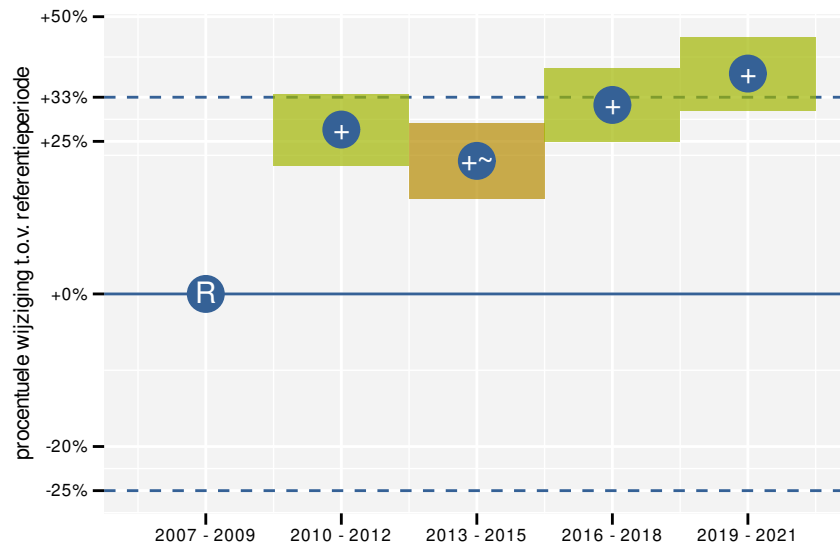
Figuur 108.1: Evolutie van het gemodelleerde gemiddeld aantal waargenomen dieren op een meetpunt voor Zwartkop tijdens de referentieperiode. Zie §3.1 voor een verklaring van de intervallen.



Figuur 108.2: Evolutie van het gemodelleerde gemiddeld aantal waargenomen dieren op een meetpunt voor Zwartkop tijdens de referentieperiode. Zie §3.1 voor een verklaring van de intervallen.



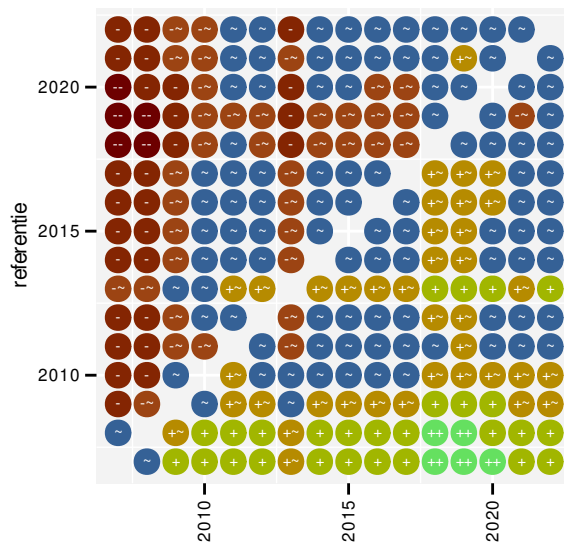
Figuur 108.3: Wijzigingen tussen jaren voor Zwartkop. Zie §3.1 voor een verklaring van de intervallen en §3.2 voor uitleg over de symbolen en referentielijnen.



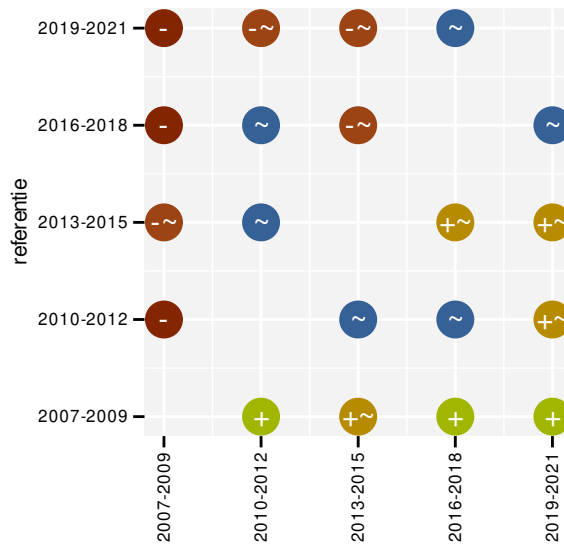
Figuur 108.4: Wijzigingen per driejarige cyclus voor Zwartkop. Zie §3.1 voor een verklaring van de intervallen en §3.2 voor uitleg over de symbolen en referentielijnen.

Tabel 108.1: Stratumgewicht, raming van het aantal hokken waarin de soort aanwezig is, aantal relevante hokken voor de analyse, aantal onderzochte hokken in het stratum, totaal aantal hokken van het stratum in Vlaanderen, aantal bezoeken aan een meetpunt en het gemiddeld aandeel relevante punten per hok voor Zwartkop (zie §2.5).

stratum	gewicht	aanwezig	relevant	onderzocht	totaal	bezoeken	punten
Landbouw	82.0%	4231.7	289	431	6311	15834	78.6%
Urbaan	5.5%	282.1	59	87	416	3170	77.7%
Bos	4.8%	248.5	148	190	319	9469	95.6%
Heide en duin	3.0%	154.5	73	94	199	4338	85.2%
Suburbaan	2.8%	144.8	49	68	201	2670	82.7%
Moeras en water	1.9%	99.3	58	80	137	3600	88.8%



Figuur 108.5: Paarsgewijze vergelijking tussen jaren voor Zwartkop. Uitleg van de symbolen in tabel 3.1.



Figuur 108.6: Paarsgewijze vergelijking tussen driejarige cycli voor Zwartkop. Uitleg van de symbolen in tabel 3.1.

Tabel 108.2: Data-hashes van de analyses in het kader van traceerbaarheid (zie §4.3).

frequentie	model	analyse	status
jaarlijks	niet-lineair	9d9bde230525535316e4 c7167f08102e13dbcc70	51378da15879b11353f3 4d91a245affeb8c89b95
jaarlijks	lineair	68a1791aa2fbf07b9da2 aecdff9401b5d0cb1d24	ac4686422a6daf4987a4 e42c061359b7b3eda959
driejaarlijks	niet-lineair	cdd684a92a053d7d27fa b1afe2cfbafa2dd0833e	13af931c6cb59261c5db 107dd934d77f924727b6
driejaarlijks	lineair	18aeb3309fb862bac18e fa79c02247f8476b2e6b	6cdc66ee534bc9b273e1 87069188b8018f12c786

Referenties

- Britton E., Fisher P. & Whitley J. (1998). The Inflation Report Projections: Understanding the Fan Chart. Bank of England Quarterly Bulletin 30–37.
- Gelman A., Hwang J. & Vehtari A. (2014). Understanding Predictive Information Criteria for Bayesian Models. *Statistics and Computing* 24 (6): 997–1016. <https://doi.org/10.1007/s11222-013-9416-2>.
- Onkelinx T. (2022a). git2rdata: Store and Retrieve Data.frames in a Git Repository. Version 0.4.0. <https://ropensci.github.io/git2rdata/>.
- Onkelinx T. (2022b). abvanalysis: Analysis of the Common Breeding Bird Survey. Version 0.2.3. <https://github.com/inbo/abvanalysis>.
- Onkelinx T. (2022c). n2kanalysis: Generic Functions to Analyse Data from the Natura 2000 Monitoring. Version 0.3.0. <https://doi.org/10.5281/zenodo.3576047>.
- R Core Team (2022). R: A Language and Environment for Statistical Computing. R Foundation for Statistical Computing, Vienna, Austria. <https://www.R-project.org/>.
- Rue H., Martino S., Lindgren F., Simpson D. & Riebler A. (2009). INLA: Functions Which Allow to Perform Full Bayesian Analysis of Latent Gaussian Models Using Integrated Nested Laplace Approximation.
- Simpson D.P., HRue, Martins T.G., Riebler A. & Sørbye S.H. (2017). Penalising Model Component Complexity: A Principled, Practical Approach to Constructing Priors. *Statistical Science* 32 (1): 1–28. <https://doi.org/10.1214/16-STS576>.
- Vermeersch G., Anselin A., Herremans M. & Brosens D. (2018a). ABV - Common Breeding Birds in Flanders, Belgium. Version 1.7. Research Institute for Nature and Forest (INBO).
- Vermeersch G., Ledegen H. & Feys S. (2018b). Methodehandleiding Bij Het Project 'Algemene Broedvogelmonitoring Vlaanderen (ABV)'. Nr. 2018 93. Instituut voor Natuur- en Bosonderzoek, Brussels, Belgium. <https://doi.org/10.21436/inbor.15674942>.
- Vriens L., Bosch H., De Knijf G., De Saeger S., Guelinckx R., Oosterlynck P., Van Hove M. & Paelinckx D. (2011). De biologische waarderingskaart: biotopen en hun verspreiding in vlaanderen en het Brussels Hoofdstedelijk Gewest. Mededelingen van het Instituut voor Natuur- en Bosonderzoek, Nr. INBO.M.2011.1. Instituut voor Natuur- en Bosonderzoek, België.